



FACULTAD DE INGENIERIA U.N.A.M.
DIVISION DE EDUCACION CONTINUA

CURSOS ABIERTOS

X CURSO INTERNACIONAL
CONTAMINACIÓN DE ACUÍFEROS

MÓDULO I:

GEOHIDROLOGÍA

TEMA :

*DEFINICIÓN DE FLUJO REGIONAL DEL AGUA
SUBTERRÁNEA, SU POTENCIALIDAD Y USO
EN LA ZONA DE LA CIUDAD DE MÉXICO*

PRESENTADO POR: FIS ALEJANDRA CORTES SILVA
SEPTIEMBRE 1998



INSTITUTO DE GEOFISICA

CIUDAD UNIVERSITARIA

DELEGACION DE COYOACAN

CODIGO 04510 MEXICO, D.F.

DEFINICIÓN DEL FLUJO REGIONAL DE AGUA SUBTERRÁNEA, SU POTENCIALIDAD Y USO EN LA ZONA DE LA CIUDAD DE AGUASCALIENTES, AGS.

Un estudio geohidrológico de una zona árida como el Valle de Aguascalientes es de suma importancia para la planeación del desarrollo regional debido a que el agua subterránea es la fuente de abastecimiento de agua más importante de la zona, el escaso conocimiento del sistema acuífero y de la hidrodinámica del flujo subterráneo limitan una gestión sustentable.

Una complicante adicional es la presencia de aguas termales en un buen porcentaje de pozos del Valle. No solo la temperatura representa un problema, sino los contenidos relativamente altos de fluoruros que están presentes en algunos pozos de abastecimiento de agua potable. El régimen regional de precipitación no representa volúmenes importantes de recarga, por lo que una estimación de la potencialidad del sistema acuífero representa un elemento indispensable en las agendas de las autoridades encargadas del suministro y administración del vital líquido.

Análisis de resultados isotópicos

Como resultado del análisis de los datos isotópicos de muestras de agua subterránea de pozos de la zona sur del Valle, se ha determinado lo siguiente:

El agua de los pozos muestreados corresponden a una misma familia de agua, considerada dentro del grupo de aguas normales debido a que dentro de la línea meteórica local (LML), determinada por Cortes y Farvolden (1989).

$$\delta D = -7.97 \delta^{18} O - 11.03$$

$$(n=85, r^2=0.97)$$

Se consideran aguas normales a aquellas aguas que no han sufrido ninguna alteración que pueda modificar su relación isotópica posterior al proceso de infiltración, como: evaporación, intercambio con H₂S, hidratación de silicatos, intercambio con CO₂ o

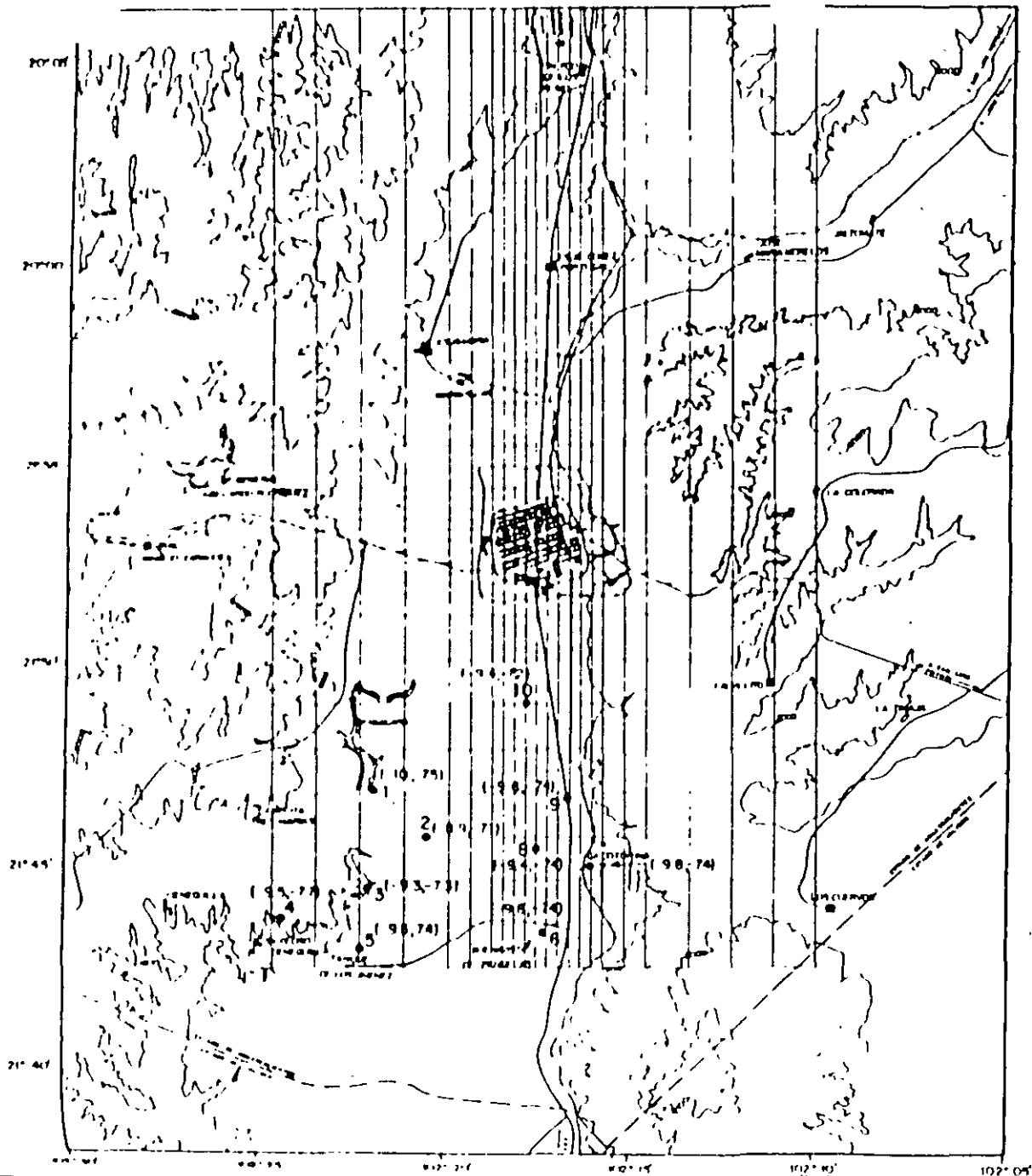
CONTRIBUCIONES DE UN LAGO A LA RECARGA DEL AGUA SUBTERRÁNEA

LAGO DE CHALA

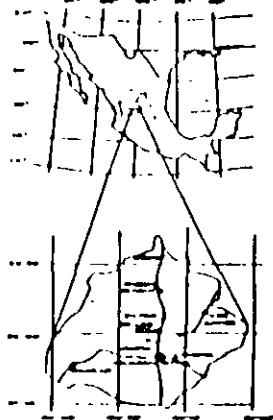
El lago Chala es un cráter volcánico a una elevación de 840 msnm. entre Kenya y Tanzania. Tiene una área de 4.2 Km² y una profundidad máxima de 100 mts. El problema planteado fue el de conocer si el lago proveía una proporción significativa de agua de recarga a los manantiales que se encuentran en la ladera del cráter las cuales eran utilizadas para abastecimientos local. El agua del cráter se deseaba utilizar como fuente de abastecimiento industrial sin que esto dañara el uso actual de los manantiales.

Composicion Isotopica del Lago Chala y el Agua Subterranea

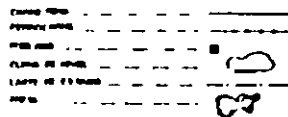
SITIO	$\delta^{18}\text{O}$	δD
Lago Chala 1967	2.51	7.3
Lago Chala 1968	2.43	4.9
Manantial Homer	-3.96	-20.5
Manantial Kileo	-4.72	-23.3
Manantial Kitovo	-4.56	-21.9
Manantial Lenonva	-4.11	-17.3
Manantial Litie Lumi	-4.20	-18.3
Manantial Magi ya Waleni	-3.97	-17.2
Manantial Niroo Kubwa	-4.05	-19.4
Manantial Niroo Ndogo	-4.04	-18.6
Latema Borehole	-4.53	-22.1



LOCALIZACION



LEGENDA



- 1) EL NIAGARA
- 2) SALTO DE LOS SALADO
- 3) RIO SN PEDRO
- 4) SN PEDRO CIENEGUILLA
- 5) TANQUE DE LOS JIMÉNEZ
- 6) EL REFUGIO DE PEÑUELAS
- 7) EJIDO DE PEÑUELAS
- 8) MONTORO
- 9) CARRETERA PANAMERICANA
- 10) VIÑEDOS STA. MÓNICA
- 11) LAS PALOMAS



TRABAJO DE GRUPO DEL ESTADO DE AGUASCALIENTES
UNIVERSIDAD NACIONAL AUTÓNOMA DE MÉXICO

SECRETARÍA DE AGRICULTURA Y GANADERÍA	INSTITUTO DE CIENCIAS
---------------------------------------	-----------------------

LOCALIZACIÓN DE PUNTOS DE MUESTREO ISOTÓPICO.

TÍTULO	NÚMERO 5.1
--------	------------



FACULTAD DE INGENIERIA U.N.A.M.
DIVISION DE EDUCACION CONTINUA

CURSOS ABIERTOS

*“DIPLOMADO EN INGENIERÍA
DE PRODUCCIÓN”*

MÓDULO II
PLANEACIÓN Y CONTROL
DE LA PRODUCCIÓN

TEMA

MRP II COMPANY PROFILE AND
IMPLEMENTATION PROBLEMS:

A SINGAPORE EXPERIENCE

M. en I. EL GENIO LOPEZ ORTEGA
PALACIO DE MINERIA
SEPTIEMBRE / OCTUBRE 1998



ELSEVIER

Int. J. Production Economics 34 (1994) 35-45

International Journal of
**production
economics**

MRP II company profile and implementation problems: A Singapore experience

J.S.K. Ang*, C.C. Sum, K.K. Yang

Department of Decision Sciences, Faculty of Business Administration, National University of Singapore, Singapore 0511

(Received 11 March 1993; accepted after two revisions 30 August 1993)

Abstract

This study, jointly conducted by the National University of Singapore and the National Computer Board (NCB), was motivated by the growing interest shown by the manufacturing industry in using MRP II to manage and improve their companies' operations. Using survey methodology, we gathered data on (1) the fundamental characteristics of the company, (2) the MRP II features and (3) the problems encountered during MRP II implementation. We use user satisfaction with MRP II as a surrogate measure for MRP II implementation outcome. The relationships between organizational and operation variables and MRP II implementation outcome were investigated. Implementation problems were also analyzed. Singapore manufacturing companies cannot afford to experiment with emerging technologies such as MRP II. It is costly to do so. Potential users can use the findings as a guide to enhance the probability of success in MRP II implementation, while existing users can use the findings to manage their MRP II more effectively.

1. Introduction

Skeptics may label manufacturing resource planning (MRP II) systems¹ a fad, in that companies may not be motivated by any rational calculation of the expected contribution to profitability or to growth so much as by the desire to follow what they see other successful companies are doing. The problem

lies in knowing when to install MRP II systems so that they function effectively as an integral part of the organization's information system infrastructure. In implementing an MRP II system, which is a formal system for planning and controlling manufacturing operations, one has to take into account the dynamics of change that accompanies the introduction of such a complex system [1]. Unlike businesses such as banking and finance, the dynamics of a manufacturing environment renders any computerization a complex endeavor [2]. Features that characterize the dynamics include the large number of purchase and manufacturing orders issued per week, the large number of active part numbers (some over 100,000) in the inventory system, unpredictable vendor lead times,

* Corresponding author.

¹ The term 'MRP II' is used here to refer to all versions of MRP II (e.g. MRP I, closed-loop MRP and manufacturing resource planning systems). Given the wide range of definitions Singapore practitioners of MRP II adopt, this is probably a justified approach.

the many levels in a product's bill of material and the complex web of interactions on the shop floor.

MRP II systems properly implemented have enormous potential for improving productivity. Some firms reported gains in manufacturing productivity of 15%, reductions in overtime of 50%, reductions in inventory investment of 33% and reductions in inventory shortages of 80% [3]. While MRP II systems are critically important in a manufacturing environment, the implementation failure rate of such systems is high [4, 5]. "Failure" refers to the nonattainment of the performance objectives established for the MRP II system. In fact, a study sponsored by the American Production and Inventory Control Society (APICS) in 1981 reported a failure rate of 76%. This is disturbing considering the high costs (i.e. hardware and software costs, organizational perturbations) involved in the implementation of such systems. Although failures can provide valuable lessons from which one can put together the recipe for success, such failures are seldom reported [6, 7].

Two objectives underlie this paper. First, it seeks to examine the macro-organizational variables (e.g. firm size, types of manufacturing processes) of those Singapore companies that have implemented MRP II and the manner in which these variables are related to MRP II implementation outcome. Knowing the macro-organizational variables that correlate with successful MRP II implementation permits firms contemplating installing MRP II to exert a firmer control over these variables, thus enhancing the probability of successful implementation. Firms wanting to upgrade their MRP II can pay more attention to those variables that are correlates of successful MRP II implementation outcome. Second, it examines the problems companies encountered in MRP II implementation and provides insight into the manner in which some of these problems can be handled. Given that MRP II is in its embryonic phase in Singapore, how different are the implementation problems compared with those reported in the literature.

Our study is important because the manufacturing sector makes up about 30% of Singapore's

GDP. Our findings can help enhance the understanding of the MRP II implementation process and help Singapore companies make greater headway in the use of MRP II. Improving manufacturing productivity is important for Singapore because the nature of competition has changed considerably. Whereas most manufacturing firms had to meet only national, or sometimes regional competition a few decades ago, nowadays competition has become global. As Singapore is a very successful newly industrialized economy (NIE), her experience with a popular technology such as MRP II can have transfer value to other NIEs and developing countries.

We use user satisfaction with MRP II as a surrogate measure of success in MRP II implementation outcome. High user satisfaction indicates that the initial expectations of benefits (e.g. meet delivery dates better, lower inventory costs, improve productivity, improve competitive position) have been perceived to be fulfilled. Our choice of user satisfaction is based on the fact that it is a potentially measurable surrogate in systems success and that it has been widely used in information systems research [8].

Following the introduction, Section 2 reviews the literature on MRP II implementation. Section 3 discusses the survey methodology, while Section 4 presents the results of the survey. We conclude with some general observations.

2. Literature review

There is a dearth of research in MRP II implementation process. Studies on implementation are weak in methodology, usually using the case study approach (e.g. [9, 10]). Some are anecdotes. For instance, Bevis [11] provided rich insight into the problems the Tennant Company faced during the implementation of an MRP system. These case studies are definitely useful as detailed descriptions of the implementation process in specific organizational settings, but generalizations cannot be drawn. Survey studies allow breadth of perspective, although detailed documentation of the implementation process has to be foregone. The survey

methodology is, therefore, appropriate in abstracting the set of macro-organizational parameters that are relevant to MRP II implementation outcome.

In a large-scale survey of production and inventory control managers, White et al. [12] examined the correlates of successful MRP II implementation. Data accuracy (especially inventory records, market forecasts and capacity plan), high level of computerization, top management support and company expertise in MRP II correlated with MRP II implementation success. Inaccurate data [13], invalid master schedules [14], inappropriate lot sizing techniques and poor integration of MRP II with other information systems [15] often resulted in MRP II failures.

The importance of organizational factors has also received considerable attention. Top management support, overcoming human resistance [16], organization willingness to change [7] and educational programs [17] need to be addressed in any MRP II implementation. The Lewin-Schein theory of change has been used to guide the behavioral dynamics of MRP II implementation [1]. Not only must individuals be prepared to accept the social structure brought about by MRP II implementation, but also they must be trained to work within the new framework.

Sum and Yang [18] examined the state-of-art application of MRP II in Singapore and found that MRP II is more commonly used in larger companies that operate in complex manufacturing environments. They also found that more MRP II used in Singapore comprised the basic MRP II modules such as inventory control, material requirements planning and accounting. Sum and Yang briefly touched on implementation issues, costs and benefits obtained, and the profiles of both companies which implemented MRP II and those which did not.

This paper differs from Sum and Yang in two important aspects. First, our approach is more focused. While Sum and Yang provided a good descriptive analysis of the general MRP II practices in Singapore, we present a more rigorous treatment of the correlates of successful MRP II implementation. Chi-square analyses are used to test the significance of relationship between macro-

organizational variables and MRP II implementation outcome. Such a detailed analysis would help companies wanting to implement MRP II to focus on those macro-organizational variables that are more likely to lead to successful MRP II implementation. Second, while Sum and Yang presented an overview of MRP II implementation issues, we provide an elaborate and in-depth treatment of these issues, including the manner in which some of the major implementation problems (e.g. lack of company expertise) can be handled.

3. Survey methodology

We do not know the number of companies in Singapore having MRP II systems. Our discussions with MRP II consultants/vendors suggested that the total number of companies having at least the basic MRP modules like inventory control, bill of material, material requirements planning and accounting is about 150. While these consultants/vendors consider MRP II a total business system, they are of the opinion that few companies have implemented advanced modules such as capacity planning, shop floor control and financial planning to achieve Class A status yet. Given the short presence of MRP II in Singapore, this is not surprising.

The survey, jointly conducted by the National University of Singapore and the National Computer Board (NCB), was motivated by the growing interest shown by the manufacturing industry in using MRP II to manage and improve their companies' operations. The survey questionnaire collected data on the following topics:

(1) the fundamental characteristics of the company (e.g. fixed production assets, number of employees, major types of products and major types of manufacturing processes);

(2) the MRP II features (e.g. hardware, source of software, MRP II accountability);

(3) the problems encountered during the MRP II implementation.

The questionnaire was tested by practitioners, consultants and academics before it was mailed to the participant companies. The sample for this

study was compiled from various sources (e.g. government agencies, manufacturing associations, directories, vendors, consultants and personal contacts) that are knowledgeable about the current users of MRP II. Owing to the confidentiality agreements between the consultants/vendors and their clients, questionnaires were sent to the consultants/vendors to be redirected to their clients. As such, we do not know if some of their clients are already on our own mailing list. Neither do we know the actual number of questionnaires sent by the consultants/vendors. We, therefore, do not know the number of companies which received the questionnaires. Our estimate is 750.

A total of 128 responses was received, of which 59 companies had implemented MRP II. Assuming that 750 companies received our questionnaire, the response rate is 17%. Although this is a respectable rate, it is not a meaningful indicator of the degree of success of our survey. First, we do not know the number of nonresponding companies that have MRP II systems. Second, we also do not know the number of companies that received questionnaires both from the consultants/vendors and from us directly. However, 59 represents a significant proportion of the total number of users. Yuen [19] had a sample of 36. To the best of our knowledge, our study is the most comprehensive in terms of sample size and the breadth and depth of the survey instrument. The questionnaire was completed either by a materials manager, a production and inventory control manager, a master scheduler, a MIS manager or a production manager.

4. Data analysis and discussion

4.1 Organizational operations variables and MRP II

The relationship between organizational variables (especially firm size) and the extent of an organization's adoption and the use of information technology has been the subject of much research and discussion [20]. Firm size has been the most

frequently examined structural characteristic, partly because it is presumed that large firms are better poised to take advantage of information technology to gain economic and strategic incentives (e.g. competitive edge in meeting delivery dates, improving quality of product and enhancing productivity). Evidence points to the existence of a direct relationship between firm size and the use and adoption of information technology (e.g. [21]).

Conrath et al. [22] and Doll and Torkzadeh [23] used gross annual sales and the total number of employees to characterize firm size. We added to a third dimension, production assets, because we wanted to be as comprehensive as possible in our operationalization of the construct, firm size. The relationships between these three variables and MRP II implementation outcome are statistically significant (Table 1). High fixed production assets, higher gross annual sales and a large work force are positively related to perceived success of MRP II implementation. Our findings are in line with those in the literature. Anderson et al. and Burns et al. found that organizations which used an MRP II system had a larger work force, higher annual sales and more end items than organizations that did not use MRP II.

The probability of success in MRP II implementation is much lower for smaller companies [24]. MRP II systems are complex and the dynamics of changes that ensue are better managed by large companies. In fact, firm size has been shown to be a significant predictor of implementation outcome of any large, complex computer systems [22]. In systems implementation, concurrent operations of two systems (i.e. the old and the new) over a certain duration may be necessary to assess the viability of the new system. Small firms typically do not have the resources for such extended operations. Even in pilot system approach, the scale of operation favors larger firms. Brenizer, however, suggests that MRP II implementation is less difficult in small firms because they are less complex. Whatever plausibility Brenizer's suggestion may have, it is not supported empirically.

MRP II implementation outcome is positively related with the age of the company (Table 1). Companies which have implemented MRP II vary from

Table 1
Relationship between organizational and operations variables and MRP II implementation

Organizational operations variables	S	NS	Chi-square test
Company's fixed production assets (costs of factory, buildings, machinery and equipment)			
Less than S\$8 million	5	16	Chi-square value = 4.488 df = 1, p < 0.034
S\$8 million and more	17	15	
Sample (53)			
Years company has been operating in Singapore			
5 years and less	4	6	Chi-square value = 2.605 df = 3, p > 0.457
6-10 years	2	7	
11-15 years	10	9	
15 years and more	6	11	
Sample (55)			
Company's gross annual sales			
Less than S\$50 million	5	19	Chi-square value = 10.597 df = 2, p > 0.005
More than S\$200 and less than S\$200 million	9	10	
More than S\$200 million	8	2	
Sample (53)			
Total number of employees			
Less than 150	2	13	Chi-square value = 9.861 df = 2, p > 0.007
150-299	4	9	
300 and more	16	10	
Sample (54)			
Type of products			
Make-to-order customized	5	14	Chi-square value = 2.285 df = 2, p > 0.319
Make-to-stock standard	5	6	
Both customized and standard	12	13	
Sample (55)			
Type of manufacturing operations/process			
Assembly	9	6	Chi-square value = 9.748 df = 4, p > 0.0045
Fabrication	1	3	
Assembly and fabrication	10	9	
Repair/service	1	12	
Continuous process flow	3	5	
Sample (59)			
Major type of process layout			
Job shop	4	14	Chi-square value = 6.319 df = 2, p > 0.042
Continuous process	6	7	
Assembly line	12	7	
Sample (50)			

Note: S denotes successful MRP II implementation; NS denotes unsuccessful MRP II implementation.

those which have been operating in Singapore for more than 15 years to those which have been in operation for less than 5 years. MRP II is a relatively new system in Singapore. While it may be true that older companies are more willing to invest

in complex computer systems such as MRP II, it is equally true that willingness does not translate to successful implementation.

Operations variables such as type of products, type of manufacturing processes operations and

major type of layout and MRP II implementation outcome are correlated (Table I). While the correlation between type of products and MRP II implementation outcome is not statistically significant, those between type of operations and type of layout of the process and MRP II implementation are. Our findings are consistent with those reported in the literature (e.g. [25]).

A few points are worthy to note. First, in using the chi-square test, we are not guided by any normative model of MRP II. We are merely examining the relationships between organizational/operations variables and implementation outcome so that MRP II practitioners can focus their attention more on those variables that show statistically significant relationships with implementation outcome. Second, customized products are characterized by dynamic changes in features such as bill of material, demand and delivery requirements. This probably explains why MRP implementation for customized products was perceived as not successful. Third, job shop layout requires a sound capacity management and MRP II contributions may be less tangible here. The job shop layout also involves difficult scheduling problems, since factors such as ways of setting due dates and order sizes significantly increase the order of complexity [26]. Most companies with job shop layout are more likely to be producing customized products where demand is less deterministic and, when this is so, capacity management becomes problematic. What all this points to is the need for a more sophisticated forecast MRP II module. Fourth, the demand for repair services is, in general, uncertain when compared to that of other environments (e.g. continuous flow). This probably explains why only one out of 13 repair services companies reported successful MRP II implementation.

4.2. MRP II features

No statistically significant correlations exist between MRP II implementation outcome and the type of hardware, the source of MRP II software, the investment in MRP II and the department responsible for MRP II implementation (Table 2).

MRP II implementation should be viewed as an incremental process. While striving towards a total MRP II environment, it is prudent to review basic needs to ascertain which software modules need to be installed first. Many "canned packages" are available and these usually include different ways of managing the bill of material, material requirement planning (parts explosion) and master production schedule. More important than the technical features of MRP II are the organizational factors such as the system user understanding and top management support.

A thorough understanding of how MRP II works before a software package is selected is important as this will ensure that the needs of the business are considered. Top management support is essential since MRP II implementation usually entails significant organizational changes such as reconfigured work patterns and new problem-solving methods. Like any complex information system, successful MRP II implementation depends, to a large extent, on the availability of a pool of system users who are trained in MRP II concepts [24, 2].

Our findings are at variance with those of Burns et al. The latter found source of software to correlate significantly with MRP II success and that organizations experienced lower success when the packaged software was used. A company lacking MRP II expertise may be better off with packaged software if educational, training etc., constitute part of the purchase. One attractive feature with packaged software is that it reduces some of the bottlenecks in the development process (e.g. the difficult stage of working with the users to structure the specifications) [27]. Even if company expertise is available, developing the entire software in-house may not be advisable, if doing so will result in major organizational perturbations. Admittedly, the learning and educational experience that comes with in-house software development is invaluable. Before any generalization regarding in-house development versus prepackaged software can be made, additional research is needed to understand fully the relationship between source of software and MRP II success.

Our results also indicate that the degree of integration of the various modules was not significantly

Table 2
Relationship between MRP II features and MRP II implementation

MRP II features	S	NS	Chi-square test
Type of hardware			
Mainframe	8	6	Chi-square value = 2.431 df = 2, $p > 0.297$
Minicomputer	10	16	
Microcomputer	3	8	
Sample (51)			
Source of software for MRP II			
Vendor supplied with no modification	4	11	Chi-square value = 1.353 df = 4, $p > 0.852$
Vendor supplied with minor modifications	9	11	
Vendor supplied with major modifications	2	3	
Developed entirely in-house	3	4	
Developed partially in-house	3	4	
Sample (54)			
Investment (in \$) in MRP II			
Less than \$200,000	5	13	Chi-square value = 2.769 df = 2, $p > 0.250$
Between \$200,000 and \$400,000	4	8	
More than \$400,000	12	11	
Sample (53)			
Department responsible/accountable for MRP II system			
Production department	3	10	Chi-square value = 1.685 df = 3, $p > 0.640$
Materials and inventory control department	11	14	
Information systems/data processing department	13	19	
Special project group/committee	3	8	
Sample (83)			
(Note: Multiple responses are included in the analysis. This explains the enlarged sample.)			
Degree of integration of the various modules			
Low	2	7	Chi-square value = 2.210 df = 2, $p > 0.331$
Medium	7	6	
High	13	17	
Sample (52)			

Note: S denotes successful MRP II implementation, NS denotes unsuccessful MRP II implementation.

related to MRP II success. When the modules were highly integrated, more respondents reported dissatisfaction. Independent systems resulted in even less success than partially integrated systems. This again contains with the findings of Burns et al., which suggested that a high degree of integration correlated highly with MRP II success. Our findings suggest that we do not know enough about the relationship between MRP II features and implementation outcome to make any definitive statements. One possibility is that for a highly integrated MRP II system to produce the desired effects, a number of factors have to process at the same rate, a state of affairs that is difficult to manage. These factors include a high degree of data

accuracy, the active support of top management, the organization's willingness to change, and the cooperation at all levels of the organizational hierarchy. Admittedly, these are important intervening factors that lead to successful MRP II implementation. Future MRP II research should address the control of such factors.

4.3 Problems encountered in MRP II implementation

4.3.1 Data accuracy

Most of our respondents (both those who reported successful and unsuccessful implementation)

cited data accuracy as a major problem. This is not surprising since MRP II requires an extremely high standard of accuracy in input data. Only a few respondents met the data accuracy requirement of 99% and 95% suggested by Blackstone and Cox, respectively, for the bill of material and inventory records. Respondents were asked to rate on a scale of 1 to 5 (1 indicates low degree of problem, and 5 high degree of problem), the extent of problem in data accuracy in the various MRP II areas. Forecast data pose the highest degree of problem followed by inventory records and master production schedule. Predicting the future values of a time-oriented variable like market forecast is difficult, although it is essential for the efficient operation of a manufacturing environment. For instance, a forecast for a product may be needed to schedule production and adjust inventories of that product. This explains why accuracy of inventory records and production schedule came a close second and third (Table 3). Looking at Table 3, the mean scores for work center, bill of material, vendor lead times and production lead times are significantly lower than the mean scores of the top four, which are areas where extra attention needs to be focused in the implementation process.

4.3.2 Organizational problems

Beyond data accuracy, many organizational problems were encountered during the implementation stage (Table 4). Foremost is the lack of

Table 3
Problems on data accuracy encountered during implementation (scale of 1 to 5 where 1 indicates low degree of problem and 5 high degree of problem)

	Mean
Inaccurate/unreliable forecasts	2.929
Inaccurate/unreliable inventory records	2.825
Inaccurate/unreliable master production schedule	2.485
Inaccurate/unreliable shop floor control data	2.470
Inaccurate/unreliable production lead times	2.413
Inaccurate/unreliable vendor lead times	2.191
Inaccurate/unreliable bill of material records	2.316
Inaccurate/unreliable routing/work center data	2.336

Table 4
Organizational or system problems encountered during implementation (on a scale of 1 to 5 where 1 indicates low degree of problem and 5 high degree of problem)

	Mean
Lack of company expertise in MRP II	3.058
Lack of training/education on MRP II	2.961
Lack of communication	2.686
Lack of suitability of software	2.600
Lack of support from vendor	2.551
Lack of information technology expertise	2.520
Lack of vendor knowledge on MRP II	2.480
High cost of MRP II system	2.469
Lack of support from marketing	2.295
Lack of clear goals for MRP II efforts	2.280
Lack of support from production	2.149
Lack of suitability of hardware	2.143
Lack of support from supervisor/foreman	2.085
Lack of support from top management	1.876
Lack of support from finance	1.867

company expertise in MRP II (mean score of 3.058) followed by the closely related issues of lack of training/education on MRP II (mean score 2.961) and lack of communication (mean score 2.686). Company expertise in MRP II contributes significantly to the effectiveness of the implementation process. The use of MRP II often requires significant organizational changes such as new work configurations, new problem-solving methods and a redistribution of power. Being a "total company system", MRP II requires the development and regular use of formal linkages between manufacturing and other functional groups. This requires system users to understand the MRP II concepts so that they can harness the potential of the system fully. Education is, therefore, an important requirement of MRP II implementation. A sound, continuing educational program provides the opportunity to expose weaknesses and identify strengths of the system, and also helps to overcome resistance to change (a phenomenon which embraces a wide range of diverse activities from nonuse of the system for any reason to violence and sabotage).

Educational programs are an integral part of the MRP implementation process in that they

help enhance the users' understanding of the benefits and limitations of MRP. Information technology's impact in manufacturing is becoming more and more pronounced that continuing education and refresher courses are required. Information systems personnel should be familiar with manufacturing applications, and manufacturing personnel should be familiar with database technology, if not in its depth, at least in its breadth. In fact, the sociotechnical school [28] emphasizes the need for research to shed light on the relationship between information technology and organizations.

Unlike Cox and Clark [2] and Kneppelt [29], lack of top management support does not figure as a major problem. Recognizing the importance of information technology, Singapore firms, with the help of the government, are identifying emerging technologies. MRP II is one of them. It is likely that companies having MRP II are those whose top management is aware of the need for its involvements in any complex system implementation. In fact, of the 59 companies, top management took the initiative in implementing MRP II in 39 of them. In another 10, top management and the production and inventory control management jointly initiated the MRP II implementation process.

Singapore exemplifies a technology-driven society. Being a newly industrialized economy and wanting to make quantum leaps to join the league of developed economies such as Japan and United States, the Singapore government, through the NCB, plays a major role in ensuring that industries are equipped to play their roles in the rapidly accelerating pace of change in technology. Top managers attend productivity courses and seminars conducted by quasi-governmental bodies such as the National Productivity Board (NPB). The objective of these courses and seminars is to inform the managers of the potentials of technology and the ways in which technology can spawn benefits for their companies.

Other implementation problems include software suitability and vendor support for MRP II (Table 4). The use of MRP II is in its embryonic stage in Singapore. Adoption of MRP II software packages are not familiar with MRP technology

Table 5
Factors that can promote MRP II

	Mean
Government support (e.g. grants, tax incentives)	4.261
Education and training provided by government/professional bodies	4.234
Education and training provided by software and hardware vendors	4.102
Information sharing among users	3.886
Low-cost consultancy	3.771

and use, and could have purchased modules that are not suitable for the needs of their organization. This is compounded by the fact that most distributors are not trained technically in the use of the software.

4.3.3. Factors that can promote MRP II

We were also interested in knowing what the respondents perceived as factors that can help firms harness the potential of MRP II. Respondents were asked to rate five factors that can help promote the use of MRP II in Singapore on a scale of 1 to 5 (1 indicates low degree of importance, and 5 high degree of importance). The mean scores are shown in Table 5. Government support in the form of grants and tax incentives was perceived to be the most important factor in promoting the use of MRP II, followed closely by education and training provided by government and professional bodies.

5. Discussion

Our research findings are valuable in that they serve as a guide for Singapore firms using MRP II or are in the process of using MRP II. Organizational and operation variables were correlated with MRP II implementation outcome. The statistically significant relationship between firm size and MRP II implementation outcome suggests that firms embarking on MRP II should be reasonably large. This does not mean that small firms cannot

reap the benefits of MRP II, but the mode of implementation has to be adapted to take into account the resource constraint that small firms face. Although MRP II contributions seem to be less pronounced for customized products, repair services operations and job shop process, these contributions could be augmented by developing MRP II systems with more sophisticated capacity management and scheduling modules.

Beyond data accuracy, lack of company expertise in MRP II and lack of sound training/educational programs seem to hinder the MRP II implementation process. Other implementation problems include software suitability and vendor support for MRP II.

Except for top management support, the problems encountered in the implementation process seem to be the same as those reported in the literature. We found that top management support does not pose a problem. Of the 59 companies top management took the initiative in implementing MRP II in 39 of them. This is remarkable and can be attributed to the fact that top managers fully aware of the need to use emerging technologies to compete internationally.

Our findings are particularly significant for a small NIE like Singapore. Singapore manufacturing companies cannot afford to experiment with emerging technologies such as MRP II. It is too costly to do so. For potential users, the findings serve to enhance the probability of success in MRP II implementation. Existing users can use the findings to manage their MRP II systems more effectively. For instance, company expertise is an important factor in MRP II implementation. The NPB can be requested to conduct courses on MRP II.

As we were more interested in abstracting those parameters that are relevant to the MRP II implementation process, the survey methodology was used. Our sample of 59 is relatively large and our findings are unlikely to be biased.

References

- [1] Cooper, R.B. and Zmud, R.W., 1985. Material requirements planning system success. *OMEGA*, 13, 37-49.
- [2] Cox, J.F. and Clark, S.J., 1984. An examination of problems encountered in implementing and operating a manufacturing resource planning system. *J. Mgmt. Inform. Systems*, 81-101.
- [3] Productivity out of MRP - A New Game Plan, 1981. Modern Materials Handling.
- [4] APICS National Conference Proceedings, Boston, October 6-9, 1981, 119-120. MRP Re-implementation. You Too Can Be Successful.
- [5] Business Week, 72D-7J, 1979. The Trick of Material Requirements Planning.
- [6] Anderson, J.C., Schroeder, R.G., Tupsy, S.E. and White, E.M., 1982. Material requirements planning systems: the state of the art. *Prod. J. Invest. Mgmt.*, 23(4): 51-66.
- [7] Burns, O.M., Tupsy, D. and Riggs, W.E., 1991. Critical success factors in manufacturing resource planning implementation. *Int. J. Oper. Prod. Mgmt.*, 11(4): 5-19.
- [8] Baroudi, J.J., Olson, M.H. and Ives, B., 1986. An empirical study of the impact of user involvement on system usage and information satisfaction. *Commun. ACM*, 29, 232-238.
- [9] Melnyx, S.A., Gonzalez, R.F. and Anderson, S.T., 1983. Manufacturing resource planning: insights into a new corporate way of life. APICS Research Report 82-8. American Production and Inventory Control Society.
- [10] Rosolen, N., 1987. Component part number substitution in MRP. *Prod. Inv. Mgmt.*, Third Quarter, 22-26.
- [11] Bena, G.E., 1976. A management viewpoint on the implementation of a MRP system. *Prod. Inv. Mgmt.*, 1st Quarter, 105-116.
- [12] White, E.M., Anderson, J.C., Schroeder, R.G. and Tupsy, S.E., 1982. A study of MRP implementation process. *J. Oper. Mgmt.*, 2, 145-153.
- [13] Fisher, K., 1981. How to implement MRP successfully. *Prod. Inv. Mgmt.*, 22, 36-54.
- [14] Brenner, N.W., 1981. The Odyssey of inventory management. *Prod. Inv. Mgmt.*, 22, 23-36.
- [15] Bahl, H.C. and Ritzman, L.P., 1983. An empirical investigation of different strategies for material requirements planning. *J. Oper. Mgmt.*, 3(2), 67-79.
- [16] Wacker, J. and Hillis, F.S., 1977. The key to success or failure of MRP: Overcoming human resistance. *Prod. Inv. Mgmt.*, Fourth Quarter, 7-16.
- [17] Safizadeh, M.H. and Raafat, F., 1986. Formal/informal systems and MRP implementation. *Prod. Inv. Mgmt.*, First Quarter, 115-120.
- [18] Sum, C.C. and Yang, K.K., 1993. A study on manufacturing resource planning (MRP II) practices in Singapore. *OMEGA*, 21, 187-197.
- [19] Yuen, C.C., 1990. Measuring MRP system effectiveness: An investigation of MRP practices in Singapore. Unpublished Undergraduate Honours Year Thesis, Faculty of Business Administration, Nanyang University of Singapore.
- [20] Harris, S.E. and Katz, J.L., 1991. Firm size and the information technology investment intensity of life insurers. *MIS Quarterly*, 15, 303-332.

- [21] Lind, M.K., Zmud, R.W. and Fischer, W.A., 1989. Micro-computer adoption - the impact of organizational size and structure. *Inform. Mgmt.*, 16: 157-162.
- [22] Conrath, D.W., Ang, J. and Mattay, S., 1992. Strategic planning for information systems: A study of Canadian organizations. *INFOR*, 30(4): 364-378.
- [23] Doll, W.J. and Torkzadeh, G., 1987. The relationship of MIS steering committees to size of firm and formalization of MIS planning. *Commun. ACM*, 30: 972-978.
- [24] Blackstone Jr, J.H. and Cox, J.F., 1985. MRP design and implementation issues for small manufacturers. *Prod. Inv. Mgmt.*, Third Quarter, 65-76.
- [25] Schroeder, R.G., Anderson, J.C., Tupy, S.E. and White, E.M., 1981. A study of benefits and costs. *J. Oper. Mgmt.*, 2(1): 1-9.
- [26] Emmons, H., 1987. Scheduling and sequencing algorithms. In: J.A. White (Ed.) *Production Handbook*, 4th ed. J. Wiley, New York.
- [27] Duchesni, P., Schaninger, C.M., Hobbs, D.R. and Pentak, L.P., 1988. Determinants of success in implementing material requirements planning (MRP). *Manuf. Oper. Mgmt.*, 263-304.
- [28] Mumford, E., Hirschheim, R., Fitzgerald, G. and Wood-Harper, A.T. (Eds.), 1985. *Research Methods on Information Systems*. North-Holland, Amsterdam.
- [29] Kneppelt, L.R., 1981. Implementing manufacturing resource planning: difficulty of the task. *Prod. Inv. Mgmt.*, 22: 2nd Quarter, 59-77.

1995

SOFTWARE/VENDOR DIRECTORY

PRODUCT/VENDOR	DBMS	IBM	INCO	CLIENT/SERVER	PART-PLANT	BILLS OF MATERIAL	PLANNING BILLS	ENGINEERING (CHANGE) CONTROL	PRODUCT CONFIG-URATOR	CON-FIGURATION VALIDATOR	CAPACITY PLANNING - INFINITE	CAPACITY PLANNING - FINITE	ITEM MASTER	ORDER REVIEW/RELEASE	WIP-INVENTORY CONTROL	STOCK INGRUENT SYSTEM INGRUENT	PLANT/POPE NAME	PRE-PROCESSING CAPABILITIES	PRE-PROCESSING CONTROL
TRASE TRASE Computer	Y	Y	Y	Y	Y	Y	Y	Y	Y	Y	Y	Y	Y	Y	Y	Y	Y	Y	Y
ADAGE Systems and Computer Technology	Y	Y	Y	Y	Y	Y	Y	Y	Y	Y	Y	Y	Y	Y	Y	Y	Y	Y	Y
AIM Manufacturing Package AIM Computer Solutions Inc.	N	Y	Y	Y	Y	Y	Y	Y	N	N	Y	N	Y	N	N	Y	Y	Y	Y
APS Universal Enterprise Planning Systems Corp.	N	Y	Y	Y	Y	Y	Y	Y	N	Y	Y	Y	Y	N	N	Y	Y	Y	Y
AVALON Avolon Software Inc.	N	Y	Y	Y	Y	Y	Y	Y	Y	Y	Y	Y	Y	Y	Y	Y	Y	Y	Y
AXIOM/acc Open AXIS Computer Systems Inc.	N	Y	Y	Y	Y	Y	Y	Y	Y	Y	Y	Y	Y	Y	N	Y	Y	Y	Y
Abba Manufacturing Partner Abba Computer Systems	Y	Y	Y	Y	Y	Y	Y	Y	Y	Y	Y	Y	Y	Y	Y	Y	Y	Y	Y
Adaptive Manufacturing Adaptive Business Systems	N	Y	Y	Y	Y	Y	Y	Y	Y	Y	Y	Y	Y	Y	Y	Y	Y	Y	Y
Add-On Advantage/AT Add-On Software Inc.	Y	Y	Y	Y	Y	Y	Y	Y	N	N	Y	N	Y	Y	N	Y	Y	Y	Y
Backstreet Backstreet Software Corp.	Y	Y	Y	Y	Y	Y	Y	Y	Y	Y	Y	N	Y	Y	Y	Y	Y	Y	Y
Business Planner BPA Express	Y	Y	Y	Y	Y	Y	Y	Y	N	Y	Y	Y	Y	Y	Y	Y	Y	Y	Y
CAMM/plus CAMM Inc.	Y	Y	Y	Y	Y	Y	Y	Y	Y	Y	Y	Y	Y	Y	Y	Y	Y	Y	Y
C/S/Manufacturing C/S Inc.	Y	Y	Y	Y	Y	Y	Y	Y	N	N	Y	Y	Y	Y	Y	Y	Y	Y	Y
CIMA MBO System CIM America Inc. (CIMA)	N	Y	Y	Y	Y	Y	Y	Y	Y	Y	Y	N	Y	Y	Y	Y	Y	Y	Y
CLC MRP Communal Ltd Corp.	N	Y	Y	Y	Y	Y	Y	Y	Y	Y	Y	Y	Y	Y	Y	Y	Y	Y	Y
Compu Manufacturing System Compu Inc.	N	Y	Y	Y	Y	Y	Y	Y	Y	Y	Y	Y	Y	Y	Y	Y	Y	Y	Y
Comshare Manufacturing and Computer Systems	Y	Y	Y	Y	Y	Y	Y	Y	Y	Y	Y	N	Y	Y	Y	Y	Y	Y	Y
Conrad Gold Conrad Manufacturing	Y	Y	Y	Y	Y	Y	Y	Y	Y	Y	Y	Y	Y	Y	N	Y	Y	Y	Y
Control Control Systems Inc.	N	Y	Y	Y	Y	Y	Y	Y	Y	Y	Y	Y	Y	N	N	Y	Y	Y	Y
Control CONTRACT Whelan Data Systems	N	Y	Y	Y	Y	Y	Y	Y	N	Y	Y	Y	Y	Y	Y	Y	Y	Y	Y
Computer Order Manufacturing System Inter-Data Systems Inc.	Y	Y	Y	Y	Y	Y	Y	Y	Y	Y	Y	Y	Y	Y	Y	Y	Y	Y	Y
Control Control Systems Corp.	N	Y	Y	Y	Y	Y	Y	Y	Y	Y	Y	N	Y	Y	N	Y	Y	Y	Y
Control/4 Control Systems Inc.	Y	Y	Y	Y	Y	Y	Y	Y	Y	Y	Y	N	Y	Y	Y	Y	Y	Y	Y
Control EMS Control Inc.	Y	Y	Y	Y	Y	Y	Y	Y	Y	Y	Y	Y	Y	Y	Y	Y	Y	Y	Y

MRP II SOFTWARE DIRECTORY

PRODUCT/VENDOR	DEMO	MRP	MPCO	CLIENT/SERVE	PLANT	BILLS OF MATERIAL	PLANNING BILLS	ENGINEERING CHANGE CONTROL	PRODUCT CONFIGURATOR	CONFIGURATION VALIDATOR	CAPACITY PLANNING - INPHI	CAPACITY PLANNING - FINET	ITEM MASTER	ORDER BYVIEW/RELEASE	WIP-INVENTORY CONTROL	STOCK INVENTORY SYSTEM	PLANT/EMPL. NAME	PLANT CODE
Dynasys Cybernetic Inc.	Y		Y	Y	N	N	N	N	N	N	N	Y	Y	N	N	Y	N	
E-2-MRP Alliance Manufacturing Software	Y		Y	N	N	Y	Y	N	N	N	Y	N	Y	Y	N	N	N	
Enterprise Management Information System ESI/Technologies Inc.		Y	Y	Y	Y	Y	Y	N	Y	Y	Y	Y	Y	Y	Y	Y	Y	P
Enterprise Planner BPA Express		Y	Y	Y	Y	Y	Y	Y	N		Y	Y	Y		Y			
Expansion Software Expansion Software Inc.	Y	Y	Y	Y	N	Y	Y	Y		Y	Y	Y	Y	Y	Y	N	Y	
Essys Professional Essys Inc.	Y	Y	Y	P	Y	Y	Y	Y	Y	Y	Y	Y	Y	Y	Y	Y	Y	
FABMARK System Information Systems Inc.	Y	Y	Y	Y	Y	Y	Y	P	P	P	P	Y	Y	Y	Y	Y	Y	
FINESSE Enhanced Systems & Services Inc.	N	Y		Y	Y	Y	Y	Y	Y	Y	Y	Y	Y	Y	Y	Y	Y	
Formax Formax Solutions	Y	Y		Y	Y	Y	Y	P			Y	N	Y	Y	Y	Y	Y	
GMS GMS Inc.	N	Y	Y	Y	Y	Y	Y	Y	Y	Y	Y	N	Y	Y	N	Y	N	
MFA Manufacturing System Friedman Associates	N	Y	P	Y	P	Y	Y	Y	Y	Y	Y	Y	Y	Y	Y	Y	Y	
HorroData MMS Horro Data	Y	Y		Y	Y	Y	Y	Y	Y	Y	Y	N	Y	Y	N	Y	N	
INFORMACS Resource Services Systems	N	Y	Y	P	Y	Y	Y	Y	Y	Y	Y	Y	Y	Y	N	Y	N	
Impact Award Synpro Impact Software Inc.	Y	Y	Y	Y	Y	Y	Y	Y	Y	Y	Y	Y	Y	Y	N	Y	N	
Impact Express Synpro Impact Software Inc.	Y	Y	Y	Y	Y	Y	Y	Y	Y	Y	Y	Y	Y	Y	N	Y	N	
Inprovis Improvis Vision Inc.	Y	Y	Y	Y	Y	Y	Y	Y	Y	Y	Y	Y	Y	Y	Y	Y	Y	
Infofa Interactive Group Inc.	N	Y		Y	Y			Y	Y	Y	Y	Y	Y	Y	N	Y	Y	
Inventory Interface Data Interface	Y		Y	N	N	Y	N	N	N	N	N	N	Y	N	Y	Y	N	
Inventory Quality Ratio IQI International	Y				Y													
J-G Lowmex ERP J-G Lowmex	N	Y		Y	Y	Y	Y	Y	Y	Y	Y	Y	Y	Y	Y	Y	Y	
Job Shop Management and Control Cram Inc.	Y	Y	Y	Y	Y	Y	Y	Y	Y	Y	Y	Y	Y	Y	Y	Y	Y	
JOB SHOP DMM Systems Inc.	N			Y	N	Y	Y	Y	Y	Y	Y	Y	Y	Y	Y	Y	Y	
Job Plan JobPlan Systems Inc.	Y		Y	Y	N	N	N		N	Y	Y	Y	Y	Y	N	N	Y	
MAP FACT II Gambetta	N			Y	Y	Y	Y	Y	Y	Y	Y	Y	Y	Y	Y	Y	Y	
MAP-TRAC Covello & Covello Inc.				Y	Y	Y	Y	Y	Y	Y	Y	Y	Y	Y	Y	Y	Y	
MARRAGE 2000 EDI Systems Inc.	Y			Y	Y	Y	Y	Y	Y	Y	Y	N	Y	Y	N	Y	N	
MAPICS II MapInfo Corp.		Y		Y	Y	Y	Y	Y	Y	Y	Y	Y	Y	Y	Y	Y	Y	
MAP from Micro-MRP Micro-MRP Inc.	Y			Y	Y	Y	Y	Y	Y	Y	Y	Y	Y	Y	N	Y	Y	
MCS & Control Manufacturing Solutions & Services	Y	Y		Y	Y	Y	Y	Y	N		N	Y	Y	Y	N	Y	Y	
MFG Plan MfgPlan Systems Inc.	N	Y		Y	N	Y	Y	Y	N	N	Y	N	Y	Y	N	Y	N	
MMS Chrysalis/Resource Sciences Inc.	Y	Y		Y	Y	Y	Y	Y	Y	Y	Y	Y	Y	Y	Y	Y	Y	
MPS Manufacturing System Microcomputer Solutions Inc.	Y			Y	Y	Y	N	N	P	N	N	N	N	N	N	Y	Y	

10/15/81
 10/15/81

PROJECT JOB QUOTES	VENDOR RELEASE	HUMAN RESOURCE PLANNING	WORK ROUTES	WORK GROUPS	ELECTRONIC DATA INTER- CHANGE	SHOP FLOOR CONTROL SCHEDULING	RATE- BASED SCHED- ULING	BACK- FLUSHING	JOB COSTING	ORDER PRO- CESSING	PAY- ROLL	FIELD ASST CON- TROL	TOOLING/ TOOL MGR	SAFETY HAZARD MGR	BY SUP- PORT	JOB- SHOP	REPE- TITIVE	AERO- SPACE	FOOD PROCESS- ING	MEDICAL	INDEX CODE	NEWS DIS- SEMIN- STRY	AUTO- MOTIVE	PRO- CESS
Y	P	Y	Y	Y	Y	Y	N	Y	Y	Y	Y	N	N	Y	Y	Y	Y	N	Y	Y	N	P	N	
Y	Y	Y	Y	Y	Y	Y	N	Y	Y	N	N	Y	Y	Y	Y	Y	Y	Y	N	Y	Y	Y	N	
N	N	Y	Y	Y	N	Y	N	N	Y	N	N	N	N	Y	Y	Y	Y	N	N	Y	N	N	N	
Y	Y	Y	Y	Y	Y	Y	Y	Y	Y	Y	Y	Y	Y	Y	Y	Y	Y	Y	N	Y	Y	Y	Y	
N	Y	Y	Y	Y	Y	Y	P	Y	Y	Y	Y	N	N	Y	Y	Y	N	Y	P	Y	N	P	P	
N	N	Y	Y	Y	Y	Y	N	Y	Y	Y	Y	Y	Y	N	N	Y	Y	N	Y	Y	Y	Y	Y	
N	Y	Y	Y	Y	Y	Y	N	Y	Y	Y	Y	Y	Y	Y	Y	N	N	N	Y	N	Y	Y	Y	
N	Y	N	Y	Y	Y	Y	Y	Y	Y	N	N	N	N	N	Y	Y	Y	Y	Y	Y	Y	Y	Y	
Y	Y	N	Y	Y	Y	Y	Y	Y	Y	Y	Y	N	N	N	N	Y	N	N	N	Y	N	Y	N	
Y	Y	Y	Y	Y	Y	Y	Y	Y	Y	N	N	Y	P	Y	Y	Y	Y	Y	N	Y	Y	N	Y	
N	Y	N	Y	N	Y	Y	N	Y	P	Y	N	P	N	P	Y	Y	P	Y	Y	Y	Y	Y	Y	
Y	Y	Y	Y	Y	Y	Y	Y	Y	Y	Y	Y	Y	N	Y	Y	Y	Y	N	N	Y	Y	Y	N	
Y	Y	Y	Y	Y	Y	Y	Y	Y	Y	Y	Y	N	N	Y	Y	Y	Y	Y	Y	Y	Y	Y	Y	
Y	Y	P	Y	Y	Y	Y	Y	Y	Y	P	P	Y	P	Y	Y	Y	Y	Y	N	Y	Y	N	Y	
N	Y	Y	Y	Y	Y	Y	Y	Y	Y	Y	Y	N	Y	N	Y	Y	Y	Y	Y	Y	Y	Y	Y	
N	Y	Y	Y	Y	Y	Y	Y	Y	Y	Y	Y	N	Y	N	Y	Y	Y	Y	Y	Y	Y	Y	Y	
N	N	N	P	Y	N	N	Y	N	Y	N	N	N	N	N	N	P	Y	Y	Y	Y	P	Y	Y	
Y	Y	Y	Y	Y	Y	Y	Y	Y	Y	Y	Y	N	Y	Y	Y	Y	Y	Y	Y	Y	Y	Y	Y	
Y	Y	Y	Y	Y	Y	Y	Y	Y	Y	Y	Y	N	Y	Y	Y	Y	Y	Y	N	Y	Y	Y	Y	
Y	Y	Y	Y	Y	Y	Y	Y	Y	Y	Y	Y	N	Y	Y	Y	Y	Y	Y	N	Y	Y	Y	Y	
Y	Y	Y	Y	Y	Y	Y	Y	Y	Y	Y	Y	N	Y	Y	Y	Y	Y	Y	Y	Y	Y	Y	Y	
N	Y	Y	Y	Y	Y	Y	N	Y	Y	Y	Y	Y	N	N	Y	Y	Y	Y	Y	Y	Y	Y	Y	
N	N	N	Y	N	Y	Y	N	Y	Y	Y	Y	N	N	Y	Y	Y	Y	N	N	Y	Y	Y	N	
Y	Y	Y	Y	Y	Y	Y	Y	Y	Y	Y	Y	Y	N	Y	Y	Y	Y	Y	Y	Y	Y	Y	Y	
Y	Y	Y	Y	Y	Y	Y	Y	Y	Y	Y	Y	N	N	P	Y	Y	P	N	Y	Y	N	Y	N	
Y	Y	Y	Y	Y	Y	Y	Y	Y	Y	Y	Y	N	N	Y	Y	Y	Y	Y	N	Y	Y	Y	N	
N	Y	N	N	Y	Y	Y	N	Y	Y	N	N	N	N	Y	Y	Y	N	N	N	N	N	N	N	
Y	Y	Y	Y	Y	Y	Y	Y	Y	Y	Y	Y	Y	Y	Y	Y	Y	Y	Y	N	Y	Y	Y	P	
N	Y	N	Y	Y	Y	Y	Y	Y	Y	Y	Y	Y	Y	Y	Y	Y	Y	N	N	Y	N	Y	N	

MRP II SOFTWARE DIRECTORY

PRODUCT/YENDOR	DEMO	UNIX	INPCO	CLIENT/SERVER	MULTI-PLANT	BILLS OF MATERIAL	PLANNING BILLS	ENGINEERING CHANGE CONTROL	PRODUCT CONFIGURATION	CONFIGURATION VALIDATOR	CAPACITY PLANNING - INFINITE	CAPACITY PLANNING - FINITE	ITEM MASTER	ORDER REVIEW/RELEASE	WIP-INVENTORY CONTROL	STOCK INGEST. SYSTEM INGEST.	PLANT/SHOP FLOOR
Q-CIM Inc.	Y	Y		P	Y	Y	Y	Y	Y	Y	Y	Y	Y	Y	Y	Y	Y
Q-Cim Inc.																	
QMASTER GO Associates Ltd.	Y	Y	Y	Y	Y										Y		Y
Rapid Response Manufacturing ProfitKey International	Y	Y	Y	P	P	Y	Y	Y	Y	Y	Y	Y	Y	Y	N	Y	N
Renaissance CS Ross Systems Inc.	N	Y		Y	Y	Y	Y	P	P	P	Y	Y	Y	Y	Y	Y	Y
Resource Planner RPA Express				Y	Y	N	Y	Y	Y	N	Y	Y	Y	Y			
SBS Manufacturing Software Schwabe Business Systems Inc.	Y	Y	Y	Y	Y	Y	Y	Y	Y	N	Y	Y	Y	Y	N	Y	N
Shop Management System InFSy Systems Inc.	Y	Y	Y	Y	Y	P	P	P	P	N	Y	Y	Y	Y	N	Y	P
Smart Stream Mfg/Dist Dun and Bradstreet Software	Y	Y	Y	Y	Y	Y	Y	Y	Y	N			Y	Y	Y	Y	Y
Spreadsheet MRP User Solutions Inc.	Y	Y	Y	P	P	P	P	P	Y	N	P	Y	P	P	P	P	P
Spreadsheet Resource Manager User Solutions Inc.	Y	Y	Y	P	P	Y	P	P	Y	N	Y	Y	Y	P	P	P	P
Supply Chain Management MRP/II American Software	Y	Y	Y	Y	Y	Y	Y	Y	Y	Y	Y	N	Y	Y	Y	Y	Y
System 21 JMA International		Y		P	Y	Y	Y	P	Y	Y	Y	Y	Y	Y	Y	Y	Y
TEAMS4M CMI-Competitive Solutions Inc.	N	Y		Y	Y	Y	N	Y	N	N	Y	N	Y	Y	N	N	N
TetraMFG Tetra Computer Corp.	N	Y	Y	Y	Y	Y	Y	Y	Y	Y	Y	Y	Y	Y	Y	Y	Y
Tetra CS/3 Tetra International Inc.	N			Y	N	Y	Y	Y	Y	Y	Y	Y	Y	Y	N	Y	N
The Controller Series Ocube Communications Inc.	Y		Y	N		Y	N	N	Y	Y	Y	Y	Y	Y	P	Y	N
The Manufacturing Manager Data Technical Research Inc.	Y	Y	Y	Y	Y	Y	Y	Y	N		Y	Y	Y	Y	P	Y	P
Trees Data Company	Y	Y	Y	Y	Y	Y	Y	Y	Y	Y	Y	Y	Y	Y	Y	Y	Y
WS Workbench WS Associates Inc.	Y	Y		Y	Y	Y	Y	Y	N	N	Y	N	Y	Y	Y	Y	N
Wynham TTW International	Y	Y	Y	Y	Y	Y	Y	Y	Y	Y	Y	P	Y	Y		Y	
Work Shop Factory Management System LITE Computer Inc.	Y			N	Y	Y	Y	Y	Y	Y	Y	Y	Y	Y	P	Y	Y

INTELLIGENT MANUFACTURING

dedicated to providing expert solutions for manufacturing personnel. Each issue tackles specific production problems, and takes a real-world approach to improvements on the shop floor.

INTELLIGENT MANUFACTURING is a no-nonsense, no advertising newsletter that gives you all the information you need to stay up to date. You'll find in each issue razor-sharp descriptions of what to do and what not to do to compete in a modern manufacturing environment.

If you make the wrong choice for your operation, you could be in real trouble — or out of business. That's why **INTELLIGENT MANUFACTURING** brings you the topics and the solutions you need to know the most about.

Here's a sample of what you'll find in **INTELLIGENT MANUFACTURING**:

- ⊙ How-to articles by industry experts
- ⊙ Technology reviews of advanced manufacturing systems
- ⊙ Case studies — successes and failures
- ⊙ Analyses of current trends

Take advantage of our no-risk, no-obligation offer for a trial subscription. You'll receive the newsletter and an invoice for the full year (\$95, \$105 overseas). If you're not satisfied, we'll refund the invoice and return it to you on our name, company name and address to us today!

Lincoln Publishing Inc., 2555 Cumberland Parkway, Suite 259, Atlanta, GA 30339 Fax: 770-432-6469



FACULTAD DE INGENIERIA U.N.A.M.
DIVISION DE EDUCACION CONTINUA

CURSOS ABIERTOS

*“DIPLOMADO EN INGENIERÍA
DE PRODUCCIÓN”*

MÓDULO II
PLANEACIÓN Y CONTROL
DE LA PRODUCCIÓN

TEMA

CONTROL DE INVENTARIOS

EXPOSITOR: A.C.T. S. de C.V. con L. ISABEL P. AGUILAR JUAREZ
PALACIO DE MINERIA
SEPTIEMBRE / OCTUBRE 1998

Case A

MIDAS CANADA CORPORATION*

NOTE: Throughout the book we refer to examples that are related to the decision systems explained in the MIDAS case series. We have written the chapters so that they can be read without a detailed knowledge of the cases. Nevertheless, the reader is encouraged to read the cases for a fuller appreciation of the points of view we are trying to express.

The MIDAS Canada Corporation is a wholly owned Canadian subsidiary of a large international conglomerate with head offices located in England (see Figure 1). The company's Canadian facilities, namely, an assembly plant and warehouse, were located in Toronto, Ontario. It distributed, in Canada and the United States, "Superchrome" branded high-technical quality-sensitized films, papers, and processing chemicals from a modern, highly efficient plant in Germany where an active ongoing product research and development program was maintained. From Japan, MIDAS imported "Takashi" branded X-ray Systems which it installed and maintained through service contracts in hospitals and private clinics. The Canadian company also assembled, under license from MIDAS International, two lines of film processing equipment: the manually operated MIDAS Stabilization Processor, used for rapid development of black and white paper, and the Midamatic, a much more expensive automatic rapid processor of X-Ray film.

A total of \$1.1 million was invested in inventories in Toronto on May 31, 1984 and distributed among 2103 stock keeping units (s.k.u.) as shown in Table 1. On May 31, 1984, a total of 14 s.k.u. were out of stock, a situation which the Inventory Control Manager labeled as being "normal and typical for this time of year."

The industry in Canada was dominated by one large company and was served by seven other companies, one of which was MIDAS. Keen competition was prevalent both as to price and technical quality. Most customers displayed fierce brand loyalty and were quite proficient in their ability to judge the technical quality of a film, a processing chemical, or a paper offered for sale.

The Canadian company usually employed more than 60 persons and had an annual sales of over \$8 million. It was organized into four sales divisions: the X-ray Film Division, the Professional Products Division, the Industrial Products Division, and the Equipment Division. The organization chart is given in Figure 2.

*The MIDAS cases describe actual decision systems which are based on consulting experiences of the authors. They do not describe the situation at any single company, but are in fact a compendium of actual situations which have been compressed into the environment of a single firm and industry for discussion and illustrative purposes. The cases are not intended as presentations of either effective or reflective ways of handling administrative problems.

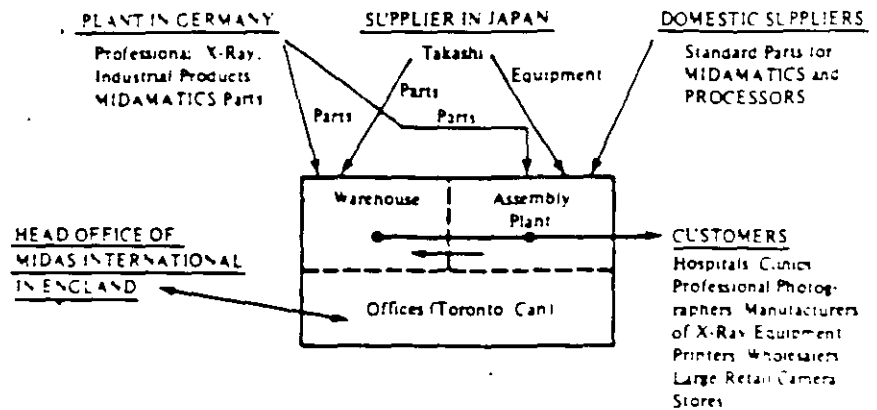


FIGURE 1 Product Flowchart

TABLE 1 Composition of Inventory Investment for Midas Canada Corporation

Division	No of s & u (1)	Turnover Ratio* (2)	Annual Sales— 1984 Forecast (3)	Total Inventory (3) : 5 84 (4)	Finished Goods		Work in Process (7)	Raw Materials (8)	Seasonal Inventory (9)
					Cycle Stock (5)	Safety Stock (6)			
Equipment	644	6.84	\$5 168 000 ^a	\$ 453 100	\$ 50 800 ^c	\$123 300 ^e	\$153 000 ^d	\$123 000 ^f	\$3 000 ^g
X-ray	207	3.93	690 000	105 300	32 700	71 400	—	—	1 200
Industrial	403	3.89	1 070 000	165 100	46 900	116 350	—	—	1 850 ^h
Professional (Obsolete)	840	4.20	1 740 000	248 700	72 400	173 200	—	—	3 100 ⁱ
	—	0.00	0	128 000 ^j	—	—	—	—	—
Overall	2 103	4.73	\$8 668 000	\$ 1 100 200	\$202 800	\$484 250	\$153 000	\$123 000	\$9 150

^aCost of goods sold assumed to be 60 percent of sales.

^bSales of spare parts amounted to \$968 000.

^cSpare parts of Midamatic Processors and Takashi system only.

^dMostly semi-finished Midamatic being assembled.

^e\$91 000 of Midamatic parts and \$32 000 of Processor parts awaiting assembly.

^fProcessors only.

^gRepackaged bulk chemicals only.

^hEstimated value of dead stock currently not listed in sales catalogue.

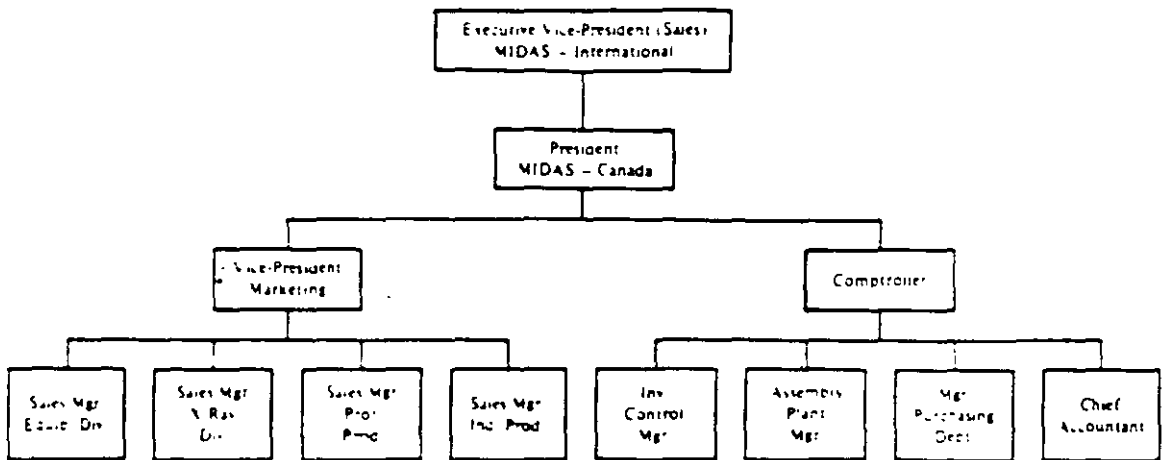


FIGURE 2 Organization Chart

THE EQUIPMENT DIVISION

The Equipment Division was by far the largest division in the company, accounting for about 60 percent of total sales. Whereas the other three divisions acted merely as sales agents for products manufactured in Germany, the Equipment Division sold products that it either assembled, or installed itself. The division was divided into two functions: the sales office and the Assembly Plant. The Assembly Plant consisted of 17 employees reporting to a manager. Four salespersons and a manager operated the sales office.

Stabilization Processors were assembled from standard parts available in Canada. In the case of Midamatics, 60 percent of the components were imported from Germany, with the remainder being available from suppliers in Canada. Spare parts for the repair and maintenance of existing Processors and Midamatics were kept in inventory and were listed as "finished goods"; see Table 1, columns 5 and 6. During May 1984, 14 Midamatics and 311 Processors were assembled. Parts for these machines were stored separately, even though they were identical to the spare parts that were used for repairs and maintenance of existing machines. Parts for assembly were listed as "Raw Materials"; see Table 1, column 8. Company policy did not allow any assembled Midamatics or Processors to be kept in finished goods inventory. However, because of production smoothing considerations (to be discussed in detail in Case E) during May 1984, some assembled Processors were in inventory in anticipation of future sales and were listed as "Seasonal Inventory"; see Table 1, column 9.

All chemicals arrived from Germany in 800-liter drums or in 100-kilogram barrels and were repackaged and labeled by the Equipment Division in 4-liter plastic bottles.

(sold four to a carton) or into envelopes and boxes weighing up to 2 kilograms, and sold either singly or up to 6 to a carton. The use of large bulk containers significantly reduced the cost of shipment from Germany. During May 1984, some bulk chemicals had been repackaged ahead of immediate needs to help with work load smoothing in the Assembly Plant. These inventories became the responsibility of the X-Ray Division, the Industrial Products Division, or the Professional Products Division, respectively, and were listed under "Seasonal Inventory" in Table 1, column 9.

The Assembly Plant also installed Takashi X-Ray Systems. No original Takashi equipment was kept in inventory. The company ordered the X-Ray equipment directly from the Japanese manufacturer only after successfully bidding on a contract. Such contracts stipulated an installed price plus a fee for maintaining the equipment in continuous repair. A selection of replacement parts was kept in inventory; see columns 5 and 6 in Table 1.

The vice-president in charge of marketing felt that

In the future we will have to keep some of the more popular original units in stock. These installations are not as customized as some people around here like to think. The long lead time between getting the bid and delivery from Japan is hurting us. We cannot compete with some of the larger companies on delivery, and therefore must try to beat them on price or on post-installation service. We are in danger of not even being invited to bid on jobs which require quick turnaround. For example, a lot of hospitals are currently in the process of upgrading their X-ray systems and demand fast delivery once they have made up their mind to allocate some funds from the budget for this purpose.

The Inventory Control Manager commented

We offer the best repair and installation service in the industry. Our products and prices are competitive and profitable. However, success has generated its own problems: it is getting increasingly more difficult to promise fast delivery on our Midamatics because of the steadily increasing work load on our assembly facilities in Toronto. The Assembly Plant is always complaining that our orders arrive in bunches instead of being spaced out over the year and that we are always rushing them to get faster delivery.

I believe that a good design engineer could look at our Takashi, Midamatic and Stabilizer lines and reduce, through product standardization, the number of different screws, nuts, bolts, and brackets that we now keep in inventory. I think that in this way the work load in the Assembly Plant could probably be made more manageable.

THE X-RAY FILM DIVISION

Two types of X-ray film (rapid process and manual process), in many sizes, were sold through nine dealers who also manufactured X-ray equipment and usually

carried a complete line of various technical supplies for hospitals, clinics, and veterinary hospitals. Some film was sold directly to the federal and provincial governments and to larger hospital group purchasing departments through competitive bids that quoted prices that were close to those charged to MIDAS dealers. All X-ray film was manufactured in Germany, where it was dated upon manufacture. Each quantity of film sold subsequently received a further code number which recorded the date of sale to a MIDAS dealer. According to the Inventory Control Manager,

Like fresh food, photographic sensitized materials deteriorate with age. As with some foods it is possible to halt the process of deterioration by, for example, freezing. But with most photographic papers and films, it is commercially uneconomical to do so.

The division also sold chemicals that were used to develop X-ray film. These included liquid developers, fixers and starters, and various powdered substances. Chemicals were packed by the Equipment Division from bulk shipments made from Germany.

In addition to the above fast moving items, the X-ray Division also sold a variety of supplementary products. These consisted of Tungsten screens, used by technicians to get better contrast, and cassettes which made it easier to handle film.

THE INDUSTRIAL PRODUCTS DIVISION

In addition to X-ray film, MIDAS Canada distributed specialized films and stabilization papers along with dry and liquid developing chemicals to industrial printers, craft jobbers, and large in-house captive printing shops. Four company salespersons called on the larger offset printing, letterpress, and rotogravure plants in Canada and in the northern portion of the United States. In addition, about one-third of the division's sales were handled through wholesalers who sold a variety of other kinds of printers' supplies.

PROFESSIONAL PRODUCTS DIVISION

This division sold 90 percent of its products to wholesalers who, in turn, supplied retail camera stores. Products included general-purpose photographic films and papers, stabilization papers, general-purpose flat films, black and white roll films, and a variety of dry and wet developing chemicals. A total of 849 s.k.u. were kept in inventory including 10 s.k.u. of "Superchrome" film, which were kept in a specially designed climate-controlled room kept at 2 degrees centigrade, under lock and key. These items were display transparency color films available in flat or in roll form and used by professional photographers. Only a select, small number of professional photographers bought these films directly from MIDAS. These very expensive films had a life of less than 12 months and were considered by professional

Case B

MIDAS CANADA CORPORATION*

In this case we describe how inventory transactions were recorded and how the level of inventory for each of the 2103 s.k.u. was monitored. Also described is the warehouse receiving, preparation, and control system.

THE INVENTORY RECORDING AND CONTROL SYSTEM

The inventory recording and control system at MIDAS was manual and was based on a commercially available "Vertical Visi-Record" card system. For each s.k.u. three cards were kept in sequence in a bin on wheels (also called a tub file) which was located in the Stock Keeping Clerk's office. These three cards were called the Record Card (Figure 1), the Travel Card (Figure 2), and the Backorder Card (Figure 3).

The Record Card (Figure 1) recorded the dates of all transactions in column 1, the Sales Order or Purchase Order numbers in column 2, the quantities received in column 3, and the balances on order in column 4. In column 5 was recorded the number issued on a particular sales order. In column 6 the cumulative number of units issued during the current month to date was calculated.

Balance on hand was recorded in column 7. Column 8 was reserved for recording any quantities that were held in abeyance for an important expected order or demand but for which a sales order had not as yet been issued. The last column recorded the balance available, which was calculated from

$$\text{Balance available} = \text{balance on order} - \text{balance on hand} - \text{quantity allocated}$$

For example, on Figure 1, on May 28 three units of IMM-177 were issued via sales order number 73149, resulting in a total issued to date of 129, a balance on hand of 273, and a balance available of 673. A total of 400 units remained on order from the plant in Germany. Similarly, on June 4 an order for 120 units was placed on purchase order number 35373. On June 5 a shipment of 200 units arrived as a result of purchase order number 34999, placed several weeks earlier.

On the top right-hand corner of the Record Card was recorded the allowed minimum balance available. If the balance available dropped to or below the

*The MIDAS cases describe actual decision systems that are based on the consulting experiences of the authors. They do not describe the situation at any single company, but are in fact a compendium of actual situations that have been compressed into the environment of a single firm and industry for illustrative purposes. The cases are not intended as presentations of either effective or ineffective ways of handling administrative problems.

photographers to be at the forefront of current technological development. The Inventory Control Manager commented that

I don't let anyone else handle these films but myself. I worry at night about that darn air-conditioning unit failing on me. With good reason, we jokingly refer to the climate-controlled room as Fort Knox.

PRODUCT IDENTIFICATION

All stock keeping units were identified by a 3-letter, 3-number code. The first letter identified the selling division: X for X-ray, I for Industrial Products, P for Professional Products, and E for the Equipment Division. The second letter recorded whether the product was produced for stock by the plant in Germany (Code: S) or was manufactured to order (Code: M). If the item was available domestically in Canada, the second letter was coded D.

The third letter was either F, C, P, or M, identifying the s.k.u. as being either film, chemical, paper, or some other miscellaneous item, respectively. This was true for all divisions except for products in the Equipment Division where the third letter (either M, S, T, or C) identified the s.k.u. as being a part of either the Midamatic, Stabilizer, Takashi, or common to more than one product line, respectively. For example, s.k.u. XMF-014 identified a film (product number 14) manufactured to order in Germany and sold by the X-ray Division.

COMPANY POLICY REGARDING INVENTORIES

No written, formal set of guidelines existed regarding the control of inventories. The final responsibility for inventory management rested with the company's Comptroller. The Comptroller believed that

Because there is no certainty of how customers will store our films, our own stocks must be kept as low as possible, consistent of course with maintaining reasonable customer delivery. Therefore at any time, we try to maintain several orders outstanding on the plant in Germany for the same stock keeping unit. The basic idea is to keep a steady flow of material moving from Germany to our warehouse. In this way the stock sits for only a short time on our shelves before being sold—about 3 months on average. Besides, by doing this, we keep our book inventories low. The head office in England does not invoice us until 30 days after the date of shipment from Germany. As a result, the more stock we keep in the pipeline the better we look on the balance sheet.

specified figure, then this was a signal for placing an order for more units. The minimum available balance for IMM-177 for June was given as 606. The order placed on June 4 was placed at an available balance level of 630 units. Apparently, the Inventory Control Manager decided to place the order at that point rather than wait a few more days until the balance available dropped closer to 606.

Also on top of the Record Card were listed the retail list price, the cost of IMM-177 to MIDAS Canada, and the prices charged to dealers as a function of their annual dollar purchase volume from MIDAS. On the top left-hand corner of the card was recorded the number of Record Cards that had been filled for a particular sku. The Record Card illustrated in Figure 1 was the 30th card to date that had been used to record transactions regarding IMM-177.

When the balance available (column 9, Figure 1) dropped below the minimum balance available allowed, listed on top of the Record Card (i.e., 606 for IMM-177), the Inventory Clerk pulled the Travel Card (Figure 2) from the vertical tub file. The clerk recorded in column 1 the current balance available (from column 9 of the Record Card), the date in column 2, and suggested an order quantity in column 3. Then he sent the Travel Card to the Inventory Control Manager who determined the actual quantity to be ordered. The Inventory Control Manager in turn recorded the date on which he processed the order in column 4 and placed his initials in column 5. His decision as to the quantity to be ordered appeared in column 8. In the past the Inventory Control Manager had usually ordered the difference between the maximum balance available which was listed on the top right-hand corner of the Travel Card (for example, for IMM-177, the maximum was 757) and the current balance available as given in column 1.* However, he was free to round off the actual quantity ordered or to ignore the rule if, in his opinion, impending future events made an alternative quantity more attractive. This was especially true for special items such as Superchrome and the more expensive, slow-moving Professional and Industrial Products. For such items the Inventory Control Manager admitted that he went completely "by the seat of his pants." He relied heavily on his intimate knowledge of the industry, his customers and suppliers, some of whom he had dealt with over 23 years.

Note that column 1 of Figure 2 is actually labeled "Balance on Hand." In the past the Inventory Control Manager had based his ordering decisions on the balance-on-hand figures, as suggested by the Vertical Visi-Record card system. After a while he found it very difficult to keep track of outstanding orders and started to base his decisions on the balance available figures. As a result, column 1 of Figure 2 was in fact mislabelled on all the Travel Cards. The Inventory Control Manager was somewhat unsure whether he had done the right thing.

I've always wondered how other people who use Visi-cards manage to make decisions using The Travel Card as it was originally intended?

*The determination of maximum and minimum levels of balance available will be discussed in Case D of MIDAS Canada Corporation.

1		2		1		JMM-177			
LIST \$12.00									
COST 4.59									
DEALER UNDER \$400 840									
DEALER OVER \$400 720									
= 30								MIN 606	
DATE	REFER	REC'D	BAL ON ORDER	ISSUED	TOTAL ISSUED	BALANCE ON HAND	QUANT ALLOCATED	BALANCE AVAILABLE	
	7000		400		126	676		676	
27	7120			3	129	547		547	
29	7188			5	134	413		413	
28	7220			1	135	278		278	
29	7224			4	139	139		139	
28	72300			6	145	0		0	
29	7290			5	150	0		0	
29	7332			2	153	0		0	
30	7358			3	156	0		0	
29	7360			2	158	0		0	
30	7366			1	159	0		0	
30	7380			2	161	0		0	
1	7382			3	164	0		0	
1	7383			2	166	0		0	
1	7385			6	172	0		0	
4	7397		520			520		520	
4	7398			4	4	516		516	
4	7399			4	8	508		508	
4	7400			3		505		505	
5	7400C	200	300			505		505	
5	7400!			4	15	490		490	

FIGURE 1 MIDAS Canada Corporation—The Record Card

After determining the order quantity the Inventory Control Manager sent the Travel Card to the purchasing department. There a clerk typed up a purchase order, entered the purchase order number in column 7 of Figure 2, and returned the Travel Card to the Inventory Control Clerk, who then updated the balance on order columns on both the Record and Travel Cards.

For example, on January 24, 1984, the Inventory Control Clerk noticed that the balance available had fallen to 487, which was below the minimum allowed for January. She pulled the Travel Card and sent it to the Inventory Control Manager who processed the order on January 26, agreeing to place an order for 200 units. The Travel Card was then sent to purchasing where a purchase order number of 34999 was assigned and a purchase order was typed up. Then the Travel card was returned to the Inventory Control Clerk who updated the balance on order from 300 to 500.

Also recorded on the Travel card was the arrival of orders. When an order had been received and checked by the warehouse, a copy of the accompanying packing slip was forwarded to the Inventory Control Clerk. Note that on the bottom line of Figure 2 a quantity of 200 units on purchase order 34999 arrived on June 5, reducing the balance on order to 320.

On the top of the Travel Card were recorded the maximum and minimum allowable available balances, as well as the vendor's name, his prices, and the estimated lead time needed to get delivery. IMM-177 was supplied exclusively by the MIDAS International plant in Germany. When more than one vendor was available, such as for some domestically available parts for the assembly of Midamatics and Processors, the Inventory Control Manager was responsible for deciding which vendor would get an order. In such cases he would record the vendor number under the column headed "V" along with the price per unit and promised delivery dates in the appropriate columns.

During the second week of March 1984 IMM-177 was out of stock. In such cases the Inventory Control Clerk filled out the Backorder Card (Figure 3) and notified the Inventory Control Manager. Customer sales orders that were on backorder were listed in the order they were received. Note that once the delayed order arrived on March 15 (see Figure 2) the backorders were filled in the same order that they had been received. In this particular case the Inventory Control Manager dispatched a panel truck to pick up the order from the railway station rather than wait for regular delivery. The extra cost of expediting the order in this manner was charged to the Industrial Products Division, whose product was involved.

THE WAREHOUSE RECEIVING, PREPARATION, AND CONTROL SYSTEM

Orders normally arrived at the warehouse by railroad car or by truck in cardboard cases along with a packing slip. An invoice had usually preceded the shipment by

¹Each room has a different set of maxima and minima, which will be discussed in Case D.

Case No 7004	
17	XMF-014
100	IMM-177
75	XMF-038
4	PMP-747
30	PMF-198
50	PMF-231

FIGURE 4 MIDAS Canada Corporation—The Case Card

IMM-177

DATE	QTY										
1-29-77	100										
2-2-77	100										
2-3-77	200										
2-3-77	100										
2-3-77	200										
2-3-77	200										
2-3-77	200										
2-3-77	200										

FIGURE 5 MIDAS Canada Corporation—The Case Control Card

could be located in several different cantons. For this reason a Case Control Card (see Figure 5) was also prepared listing the date of arrival, the quantity, and the canton numbers where stock pertaining to a particular s k u was located. Inventory was stored in cantons because in this form it took up less space and provided a simple first-in, first-out system of stock use.

About one month's sales of inventory was kept loose on metal shelves from which stock pickers daily compiled orders to be sent to customers. No record was kept of how much of a particular s k u was left on the shelf at any moment. It was the responsibility of the warehouseman to visually keep the shelves stocked from the packing cantons described above. To guide the warehouseman, on the edge of each shelf directly under the product's location, was recorded the amount that represented approximately one month's sales. When a shelf location became depleted, the warehouseman consulted the Case Control Card for that particular s k u. He recorded the date on the card and the quantity of stock he was removing from the

Case C

MIDAS CANADA CORPORATION*

Four times a year each of the managers of the four sales divisions prepared Sales Target Reports that estimated the dollar sales by quarter for each major product category for the 12-month period ahead. (See Table 1.) The Inventory Control Manager, in turn, prepared from the Sales Target Reports a number of reports that became the bases for planning. One set of summaries, called *Purchase Budgets*, he submitted to production planners in Germany. Purchase Budgets stated how many square meters in total of each type of photographic paper, for example, MIDAS Canada was going to buy in each of the next four quarters. The sales of individual s.k.u. were not forecasted on Purchase Budgets, only major product groupings such as major grades of paper and bulk chemicals were projected. The quantities stated in the Purchase Budget for the most imminent quarter were considered to be firm commitments; subsequent quarterly estimates could be modified later on if the need arose.

He also used the Sales Target Reports to prepare *Sales Forecasts* (in units) for the Assembly Plant, from which the Master Plan for the Equipment Division was compiled twice a year. The Master Plan stated the number of units of each product line that were to be assembled or repackaged each month, how many workers were required to carry out planned production, and how much inventory would be carried from one month to the next. In converting dollar sales estimates to units the Inventory Control Manager used a number of rules of thumb. He figured that on the average a Processor would sell for \$500, a Midamatic for \$25,000, and that bulk chemicals would yield approximately \$4 per kilogram or \$0.50 per liter.

According to the Inventory Control Manager:

A lot of discussion goes on between the Sales Managers and myself before the Purchase Budgets are prepared. I don't accept the Sales Targets at face value. As everyone knows, sales personnel are eternal optimists. I have been in this business 23 years and have a pretty good feel for what is reasonable and what is not. Unfortunately, because of the large number of products, I don't have the time nor the labor to actually go back and check in detail the sales history on each product every time. Now and then they slip one past me.

*The MIDAS cases describe actual decision systems that are based on the consulting experiences of the authors. They do not describe the situation at any single company, but are in fact a compendium of actual situations that have been compressed into the environment of a single firm and industry for illustrative purposes. The cases are not intended as presentations of either effective or ineffective ways of handling administrative problems.

carton in question. For example, according to Figure 5, on February 7, he removed 100 units of IMM-177, leaving a zero balance in case 7664 which had arrived in the warehouse on January 11, 1984. Upon removing the 100 units from case 7664, he also recorded this fact on the Case Card (Figure 4).

The President, on several occasions, commented on the existing control systems as follows:

The present system seems to involve a tremendous amount of paper handling, recording, and checking. Even with all this activity we seem to lose considerable amounts of stock, through pilferage I presume. After all, everyone is interested in photography to some extent. Although I must admit that some stock just gets lost in the boxes and is found much later either damaged, too old to be sold, or is no longer in our sales catalogues. Surely the present system could be improved on!

locked in a climate-controlled vault, the Inventory Control Manager prepared sales estimates every month by telephoning some of his key large customers and asking them to estimate their needs for a one-month period, two months ahead. (It took 2 to 4 weeks to receive delivery from Germany for specialty items such as Superchrome.) These estimates were considered as commitments by the Inventory Control Manager, who guaranteed delivery of orders up to the level estimated by the key customers telephoned by him. If a key customer habitually overestimated his actual sales of specialty items, then the Inventory Control Manager either dropped him from his list of customers whom he telephoned or asked the customer to sign a sales order that committed him to a fixed order quantity. The Inventory Control Manager usually ordered 10 to 20 percent more of each specialty item than was estimated by the customers whom he telephoned. Customers not on his telephone list had to take their chances of getting their orders serviced from the 10 to 20 percent increment which he added to the committed orders. Committed orders were recorded separately as "Quantities Allocated" on the Record Card (see column 8, Figure 1, in Case B).

For the remaining specialty items the Inventory Control Manager assumed that the demand this year would be approximately the same as last year. In such cases he defined last year's demand as being the sum of actual sales plus the number of backorders (see Figure 3, Case B) that were not filled. Only under unusual circumstances did he depart from this procedure, by multiplying last year's demand by an additional factor in response to information that came to his attention.

In reviewing the existing forecasting procedures the Inventory Control Manager admitted that he found them very time-consuming. He also worried about what would happen when he retired from the Company:

The computer forecasts are of no use to me. All they do is report back to me the data that I mailed to them in the first place. We would be better off if they took my figures and carried out the sums and multiplications we have to go through during our marathon sessions. But the computer forecasts arrive too late from England to be of any use and appear to be less accurate than my own—especially for seasonal items. Apparently they use some sort of a mathematical model called triple exponential smoothing. I can't see how they can make up for all the intuitive judgments I have to make on the spot in coming up with my own estimates of future sales. I sometimes worry about what will happen when someone, with less experience than I, takes over my job when I retire. There are not too many of us old timers around any more.

TABLE 1 Timing of Sales Target Reports

Time of Preparation	Period Estimated
October	January to December
January	April to March
April	July to June
July	October to September

SALES FORECASTS OF INDIVIDUAL ITEMS

For most of the 2103 s.k.u. in inventory no forecast of future sales was made. Once a month the Inventory Control Manager and the Comptroller, along with 3 assistants, reviewed the sales of all items by summing the sales over the most recent 5-month period using the data recorded on Travel Cards (see Figure 2, Case B). These 5-month totals became the bases for determining order points and order quantities that will be discussed in Case D.

These monthly sessions usually lasted two 12-hour days and were referred to as "marathons." It was generally agreed that the manual updating system was becoming overly burdensome. During the year the head office Computer Center in England started to summarize past sales of individual s.k.u. and product groups in an effort to help out. Unfortunately, these computer printouts arrived in Toronto sometimes several months out of date and utilized methods that were not completely understood by the Toronto office. As a result, MIDAS Canada was considering, during the latter part of 1984, the installation of a small computer of their own to handle all the record keeping, sales forecasting, and order generation currently being done manually.

Stock keeping units needed for the assembly of Processors, Midamatics, and Takashi Systems were "forecasted" differently and were not a part of the marathon sessions. Four times a year the Inventory Control Manager calculated the number of assembled products (Processors, for example) that would be sold in a particular month from the Sales Target Reports. Then, in turn, he broke down each Processor into subcomponents and parts that had to be ordered. For example, each Processor consisted of 4 EDM-001 parts, 1 EDM-002 part, 6 EDM-003 parts, etc. By multiplying the number of each s.k.u. needed per Processor by the number of Processors forecasted for any month, he was able to determine the total number of each s.k.u. needed each month to meet the assembly schedule. Such a procedure, commonly referred to as explosion into components, was one of the key factors in the Assembly Plant planning system. The Inventory Control Manager kept no safety stocks in assembly parts and ordered only enough parts to meet the demand per month forecasted through explosion of predicted demand for Processors, Midamatics, and Takashi Systems, because he felt that the explosion method of forecasting yielded quantities that were almost certain to accrue.

For some of the most expensive s.k.u. (A items) neither of the above two procedures were used. For specialty items, such as Superchrome, which were kept

Superchrome was shipped from Germany by air cargo and arrived at the plant 2 to 4 weeks after an order was placed, depending on the work load at the manufacturing plant. Superchrome products were made to order.

All X-ray films were produced to order and received special handling throughout the production-shipping process. As a result, the lead time for these s.k.u. was shorter, varying from 8 to 10 weeks. The remaining products sold by the X-ray Division had lead times similar to the Professional and Industrial Products described above. For chemicals, an additional one to two weeks during some months of the year had to be allowed, in addition to the 8 to 12 weeks lead time for delivery from Germany, so that bulk shipments could be repackaged appropriately.

Takashi products arrived through the port of Vancouver on the west coast of Canada. Most items ordered by MIDAS were stocked by the Japanese manufacturer and arrived from 10 to 12 weeks after an order was placed. Because delicate optical instruments were involved, extra care was taken throughout shipment to minimize breakage. Nevertheless, some breakage inevitably occurred and one could never be sure of the exact quantity of goods that arrived safely.

The remaining miscellaneous items and parts, mostly used by the Assembly Plant and which were obtained domestically in Canada, had lead times that varied from zero to two weeks. Many items were available on the same day from suppliers located in the Toronto area, provided MIDAS sent a truck to pick up the goods.

Lead times for assembled Midamatics and Stabilization Processors had been always less than 2 weeks during 1984. Because of the increasing demand for both types of equipment, the company was starting to build some Processors for finished goods inventory during slack periods.

THE DETERMINATION OF ORDER QUANTITIES AND ORDER POINTS

Once a month, the Inventory Control Manager and the Comptroller, along with three assistants, calculated by hand, during a two-day marathon session, for all but the most expensive s.k.u. and the parts used to assemble Processors and Midamatics, the total sales over the most recent 5-month period. The total sales figure over the last 5-month period became the order-up-to-quantity (called the "Maximum" by the Company). Whenever an order was placed the quantity ordered was taken as the difference between the "Maximum" and the current balance available (see Figures 1 and 2 Case B). Eighty percent of the "Maximum" quantity was then taken as the order point (called the "Minimum" by the Company). Such systems are commonly referred to by practitioners as Min-Max Inventory Control Systems. (See Table 1.)

The newly computed Min-Max quantities were compared to the ordering rules computed during the previous month and adjustments were made, when deemed appropriate, to Travel Cards of individual s.k.u. (See the top right-hand corner of Figure 2 Case B). The Inventory Control Manager did not blindly follow the 5-month rule described above. He sometimes modified the order-up-to-quantities and order points because of some future events that he knew would take place.

Case D

MIDAS CANADA CORPORATION*

The company's stated inventory control policy was "to have zero stockouts." Since customers could obtain almost equivalent products in most cases from a competitor, it was the opinion of the President of MIDAS Canada that every effort should be made to avoid back orders or stockouts. Air freight at a cost of approximately \$2.50 per kilogram was sometimes used to meet the demand from an important large customer. However, if a large customer placed an unusually large order without prior warning that depleted the available stocks, then it was the company's policy to bill him for part of the costs of air freight involved. On occasion MIDAS filled an important customer's order by supplying a competitor's firm at below retail price, thereby absorbing a loss on the sale.

On slow-moving items company sales personnel were instructed to make no delivery promises until they had checked with the Inventory Control Manager. Some customers were asked to sign a noncancellable purchase order and, if their credit rating was poor, a deposit was required before an order was accepted. The Inventory Control Manager tried to order all slow-moving items directly from Germany and thereby keep a minimum of inventory on hand of slow-moving stock.

LEAD TIMES

The length of the lead time for receiving delivery depended on whether the plant in Germany produced the particular item for stock or to order. Because firms tended to deteriorate over time, only the more popular items were manufactured for stock. Parts for Midamatics and items sold by the Industrial and Professional Products Divisions, which were stocked by the plant in Germany, arrived at the warehouse 8 to 12 weeks after an order was placed. Made-to-order items took longer, with the lead time varying from 12 to 16 weeks. The plant in Germany grouped orders whenever possible and shipped them via specially designed containers that could be unloaded directly from a cargo ship onto a railroad flatcar in Halifax, Nova Scotia, and then delivered directly to the MIDAS warehouse in Toronto, Ontario.

*The MIDAS cases describe actual decision systems that are based on consulting experiences of the authors. They do not describe the situation at any single company, but are in fact a compendium of actual situations that have been compressed into the environment of a single firm and industry for illustrative purposes. The cases are not intended as presentations of either effective or ineffective ways of handling administrative problems.

630

review the current ordering rules that were based on the total sales during the 5 most recent months' sales, as explained above. The Comptroller had always felt that the total dollar investment in inventories was too high. He also agreed with the Vice-President of Sales that the Company had failed to meet its stated policy of "zero stockouts." Based on a number of investigations and calculations, he proposed the new system of calculating order quantities and order points described in Figure 1

MIDAS CANADA CORPORATION

Inter-Office Memo

To Inventory Control Manager
 From The Comptroller's Office

I have made a study of our present method of calculating Order Points and it seems to me that it has the following weaknesses:

1. We use 5 months of historical sales as a basis for our planning. That means that what happened 4 or 5 months ago weighs as heavily on what we order as what happened last month.
2. The varying lead times of different products are not taken into account.

However it does appear to me that in the majority of cases these two points do offset each other except that we seem to have too many overstocks of slow movers and understocks of fast movers. I propose that until further notice the following method be adopted for calculating Maximums. We have agreed that our products should at all times carry a 6 weeks buffer stock. In addition we allow for 4 weeks of off-take inventory* that gets used up during the reorder cycle for a total of 10 weeks inventory. Therefore for an item that has on the average, a lead time of 8 weeks the factor becomes (assuming 3 months = 13 weeks)

$$\frac{10 + 8}{13} \times (3 \text{ months sales}) = 138\% \times (3 \text{ months sales})$$

Similarly for 10 week and 12 week lead times the factors become respectively 154% and 169%.

Order Points (Minimums) should continue to be calculated as being 80% of Maximum. The Maximum for most of our products under this proposed system will be 20 weeks sales of which the 4 week reorder cycle is 20% leaving 80% of Maximum as our Order Point just as before.

*By off-take inventory the Comptroller presumably meant cycle stock.

TABLE 1 Inventory Control Work Sheet

s.k.u.	Month 1	Month 2	Sales			Maximum = 5 Month Total	Order Point = 0.8 x Maximum
			Month 3	Month 4	Month 5		
EDM-008	52	48	36	39	65	240	192
PMF-298	8	12	14	18	23	75	60
PSF-107	402	368	374	396	376	1916	1533
IMM-177	159	127	130	169	172	757	606

Parts for the assembly of Midamatics and Processors were not ordered in the above manner. The Inventory Control Manager tried to order the exact number of parts required each month to meet the planned assembly schedule. The parts for assembly and for repairs were kept physically separate. The Inventory Control Manager explained that

Repair personnel used to be lax in keeping track of spare parts they needed. They felt that they could always dip into the stock of parts which had been ordered for assembly if they ran short. By doing this they upset our assembly schedules several times. By separating the two inventories we put a stop to that practice. Although I must admit that now we sometimes borrow from the stock of spare parts to meet unexpected demand for our assembled end-products. On occasion, because of this practice we have been a little short of spare parts. I've often wondered whether there was any way of combining the inventory for both types of parts so that there would be enough safety stock to meet emergencies from either of the two sources.

For very expensive items, such as all X-ray and Superchrome films, the Inventory Control Manager personally placed orders once a month. He tried to order only enough items to meet actual sales for the one-month period, one lead time period ahead. In most cases these orders were in response to noncancellable purchase orders placed by customers, or commitments made to him over the telephone by customers he deemed dependable. He usually ordered 10 to 20 percent more than the number of units he was able to identify through purchase orders or commitments to meet unexpected demand.

PROPOSED CHANGES TO EXISTING ORDERING PROCEDURES

By the Summer of 1984 MIDAS Canada had decided to explore the possibility of setting up computerized procedures for controlling inventories, for generating more timely sales reports, and for helping to reduce the amount of manual clerical accounting procedures currently in use. The Comptroller took this opportunity to



**FACULTAD DE INGENIERIA U.N.A.M.
DIVISION DE EDUCACION CONTINUA**

CURSOS ABIERTOS

**X CURSO INTERNACIONAL
CONTAMINACIÓN DE ACUIFEROS**

MÓDULO I:

GEOHIDROLOGÍA

TEMA :

PRUEBAS DE BOMBEO

**PRESENTADO POR: ING. DAVID GONZÁLEZ POSADAS
SEPTIEMBRE 1998**

The Inventory Control Manager was asked to comment on the Comptroller's proposal:

As far as I am concerned, one set of rules is as good as another as long as I am allowed the freedom to modify the calculated order quantities when I need to. I think the proposed change will probably be an improvement over our previous methods because it takes account of lead times. But it does not solve a big problem I face each quarter—which is making sure that all the individual orders placed add up to the total I committed the Company to in the Purchase Budgets which I submitted to the production planners in Germany.*

*For a description of Purchase Budgets see Case C.

PRUEBAS DE BOMBEO

ING. DAVID GONZALEZ POSADAS

1.- GENERALIDADES

La realización de una prueba de bombeo consiste en observar los efectos de abatimiento o recuperación de los niveles piezométricos en un acuífero. Los niveles son obtenidos a través de captaciones hidráulicas del tipo de pozos o norias y pueden ser observados en el propio pozo de bombeo (pozo de operación) o en pozos próximos a el (pozo de observación).

Al iniciarse el bombeo en un pozo, el nivel del agua sufre un abatimiento el cual es mayor en el propio pozo y decrece conforme aumenta la distancia. La fuerza que induce que el agua se mueva hacia el pozo, es el gradiente que se genera entre las cargas hidráulicas del propio pozo y las próximas a el.

El agua fluye a través del acuífero desde cualquier dirección, aumentando su velocidad conforme se acerca al pozo; expresado de acuerdo a la ley de Darcy nos dice que, en un medio poroso el gradiente hidráulico es directamente proporcional a la velocidad, por lo que el abatimiento en la superficie piezométrica forma un cono de depresión, cuyo tamaño y forma dependen del caudal, tiempo de bombeo, características del acuífero. La influencia de algunos de estos factores en la forma de la depresión piezométrica se muestran en la figura 1.

2.- OBJETIVOS

El objetivo principal de las pruebas de bombeo es estimar las características hidrodinámicas de la formación acuífera como son transmisibilidad y coeficiente de almacenamiento. También se llega definir a través de la interpretación de pruebas de bombeo, el tipo de acuífero, la existencia de barreras laterales, recarga de ríos o manantiales, radio de influencia del pozo, factor de infiltración y predicción del comportamiento de los niveles piezométricos.

3.- EQUIPO NECESARIO

- a) Sonda eléctrica (dos en caso de que se cuenta con pozo de observación).
- b) Cronómetro.
- c) Regla de aforo (si el pozo tiene descarga libre y no cuenta con medidor de flujo) ver figura 2.
- d) Flexómetro.

4.- SELECCION DEL SITIO DE LA PRUEBA

En ocasiones, el sitio de la prueba está obligado, por ejemplo, cuando se trata de un problema de carácter local o interesa conocer las características hidráulicas del acuífero en un sitio específico.

En estudios geohidrológicos de carácter regional para elegir el sitio de la prueba, generalmente se realizan en pozos existentes pero considerando los aspectos siguientes.

- Que el equipo de bombeo se encuentre en condiciones apropiadas para sostener un caudal constante durante la prueba.
- Que la profundidad de nivel del agua sea fácilmente medible.
- Que el agua bombeada no se infiltre hasta el acuífero en las proximidades del pozo.
- Que las características constructivas y el corte geológico del pozo sean conocidos.
- El pozo es totalmente penetrante.
- Que los pozos próximos no operen durante la prueba.

Puesto que no es fácil que se cumplan simultáneamente todos estos requisitos, en cada caso deberá juzgarse con cierto criterio, si el incumplimiento de uno o varios de ellos obstaculiza significativamente o no, el buen desarrollo y la interpretación de la prueba.

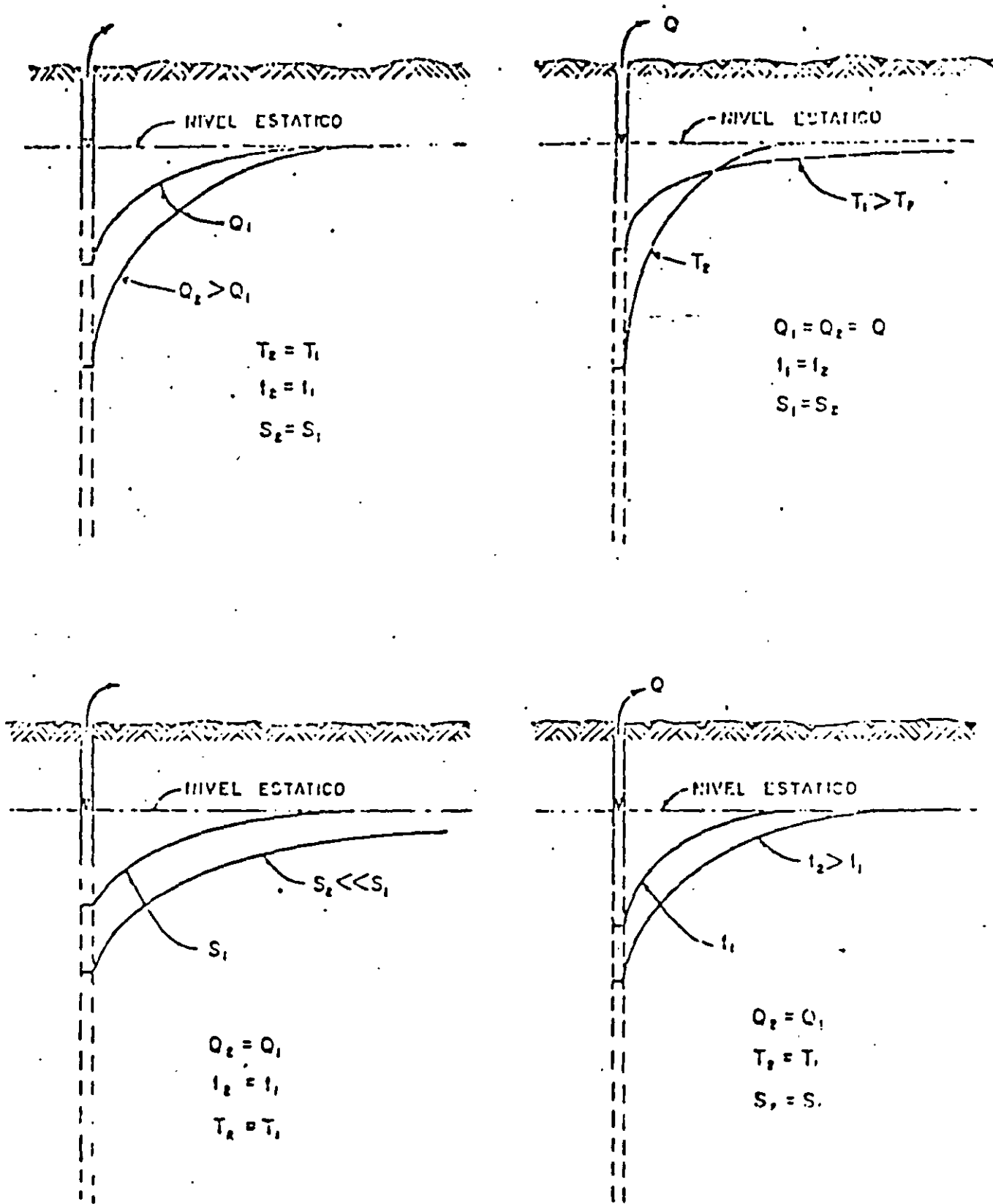


Fig.5.16 INFLUENCIA DEL CAUDAL (Q), TIEMPO DE DOMBEO (t), TRANSMISIBILIDAD (T), Y ALMACENAMIENTO (S), EN LA FORMA Y DIMENSIONES DEL CONO DE DEPRESION

FIGURA 1

5.- POZOS DE OBSERVACION

Para la interpretación completa de una prueba, lo ideal es contar con uno o varios pozos de observación dispuestos a diferentes distancias del pozo de bombeo. Cuando esto es posible las características deducidas son más confiables y representativas de un área menor. Por ello, es muy recomendable disponer al menos de un pozo de observación.

En la práctica es común que por razones presupuestales no se cuente con pozos de observación, por lo que la prueba se limita a interpretar las mediciones observadas en el propio pozo de bombeo. Los niveles dinámicos observados en dicho pozo pueden presentar cierta inconsistencia de acuerdo al comportamiento esperado, esto es debido a características constructivas del propio pozo, por lo anterior los resultados obtenidos de pruebas interpretadas en el pozo de operación, deberán tomarse con su debida reserva.

6.- EJECUCION DE LA PRUEBA

Habiendo revisado el correcto funcionamiento del equipo de medición se inicia midiendo el nivel estático en el pozo de bombeo y en los pozos de observación. Se anotará la hora de inicio y datos distintivos de cada pozo.

Se iniciará el bombeo, procurando mantener un caudal constante, y se procederá a medir la profundidad al nivel del agua en el pozo de bombeo y en el (o los) de observación, con la secuencia de tiempos que se indica a continuación.

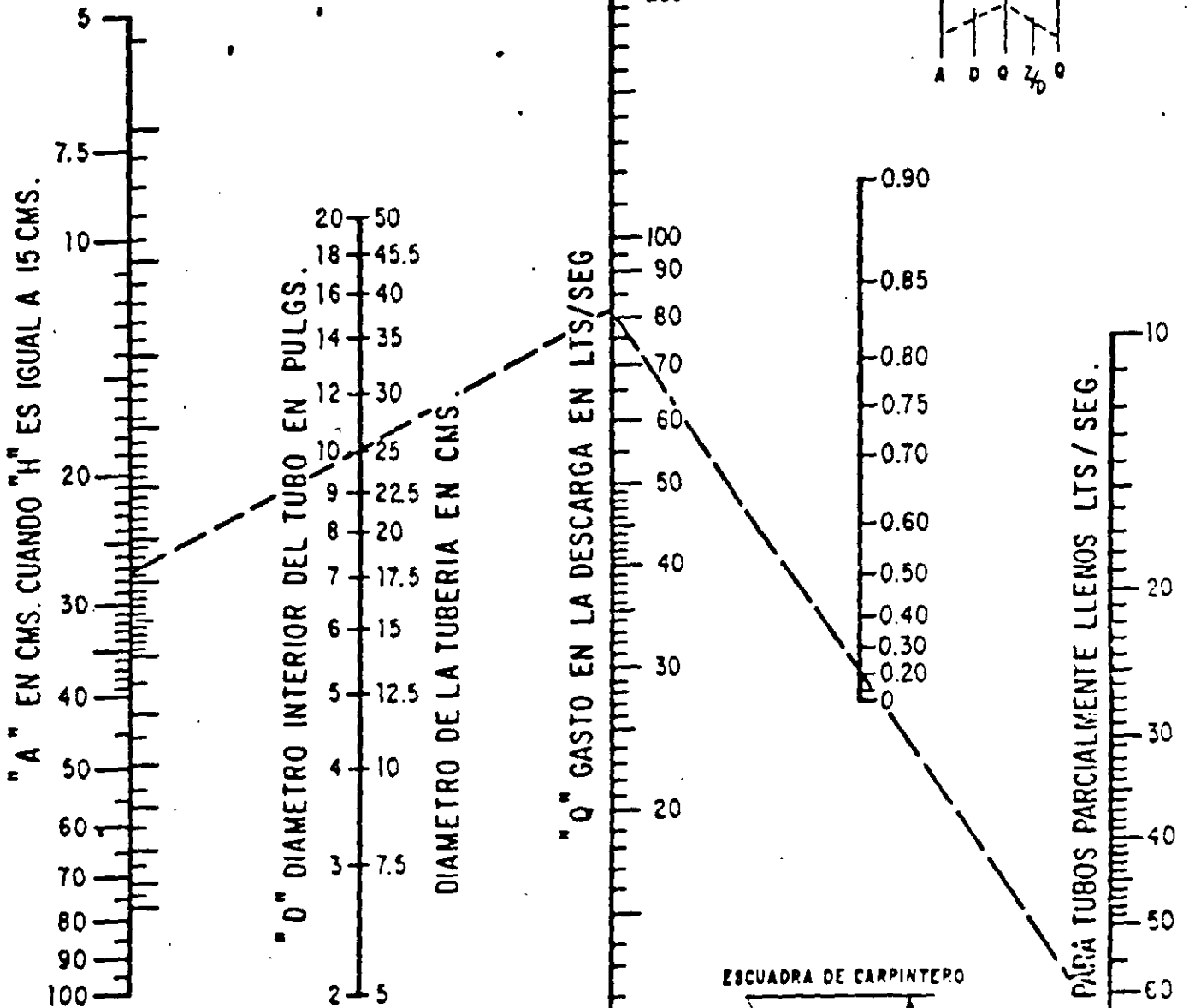
NOMOGRAMA PARA CALCULAR EL GASTO A TRAVES DE UN TUBO

12

FORMULA RESUELTA

$$Q = 0.0174 \frac{A D^2}{\sqrt{H}}$$

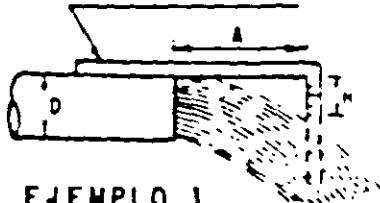
D, H, A, EN CM.
Q EN LPS



SOLUCION



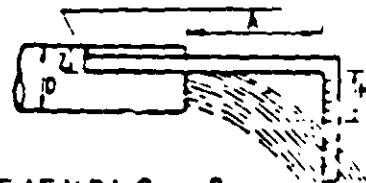
ESCUADRA DE CARPINTERO
O REGLA PLEGADIZA



EJEMPLO 1
TUBO LLENO

-) EL DIAMETRO DEL TUBO 25 (10")
-) A = 27.5 cm.
-) H = 15 cm.
-) Q = 81 LPS / SEG.

ESCUADRA DE CARPINTERO



EJEMPLO 2
TUBO PARCIALMENTE LLENO

-) EL DIAMETRO DEL TUBO 25 (10")
-) A = 27.5 cm.
-) H = 15 cm.
-) Z = 5 cm.

$$Z/D = \frac{\text{FALTANTE}}{\text{DIAMETRO}} = \frac{5}{25} = \frac{1}{5} = 0.20$$

"Q" GASTO AJUSTADO PARA TUBOS PARCIALMENTE LLENOS LITS/SEG.

FIGURA 2

TIEMPO DE BOMBEO, EN MINUTOS

PROFUNDIDADES AL NIVEL DINAMICO, EN METROS

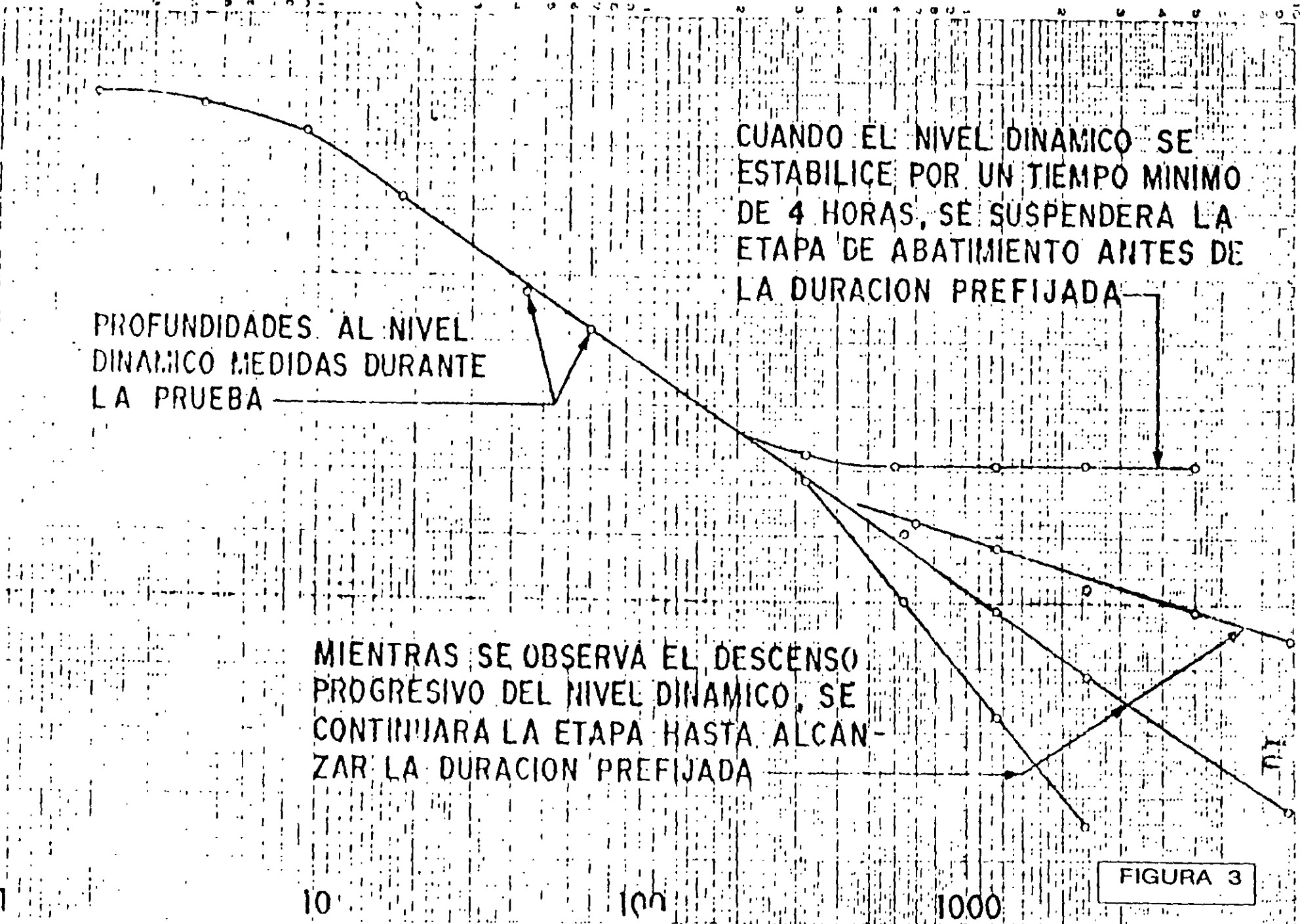
CUANDO EL NIVEL DINAMICO SE ESTABILICE POR UN TIEMPO MINIMO DE 4 HORAS, SE SUSPENDERA LA ETAPA DE ABATIMIENTO ANTES DE LA DURACION PREFIJADA

PROFUNDIDADES AL NIVEL DINAMICO MEDIDAS DURANTE LA PRUEBA

MIENTRAS SE OBSERVA EL DESCENSO PROGRESIVO DEL NIVEL DINAMICO, SE CONTINUARA LA ETAPA HASTA ALCANZAR LA DURACION PREFIJADA

FIGURA 3

10 100 1000



LECTURA	TIEMPO A PARTIR DE LA INICIACION DEL BOMBEO	
	T I E M P O	
1	0	TIEMPO A PARTIR DE LA INICIACION DEL BOMBEO
2	15	SEGUNDOS
3	30	SEGUNDOS
4	1	MINUTO
5	2	MINUTOS
6	4	MINUTOS
7	8	MINUTOS
8	15	MINUTOS
9	30	MINUTOS
10	1	HORA
11	2	HORAS
12	4	HORAS
13	8	HORAS
14	16	HORAS
15	24	HORAS
16	32	HORAS
17	40	HORAS
18	48	HORAS
	CADA 8	HASTA 72 HORAS

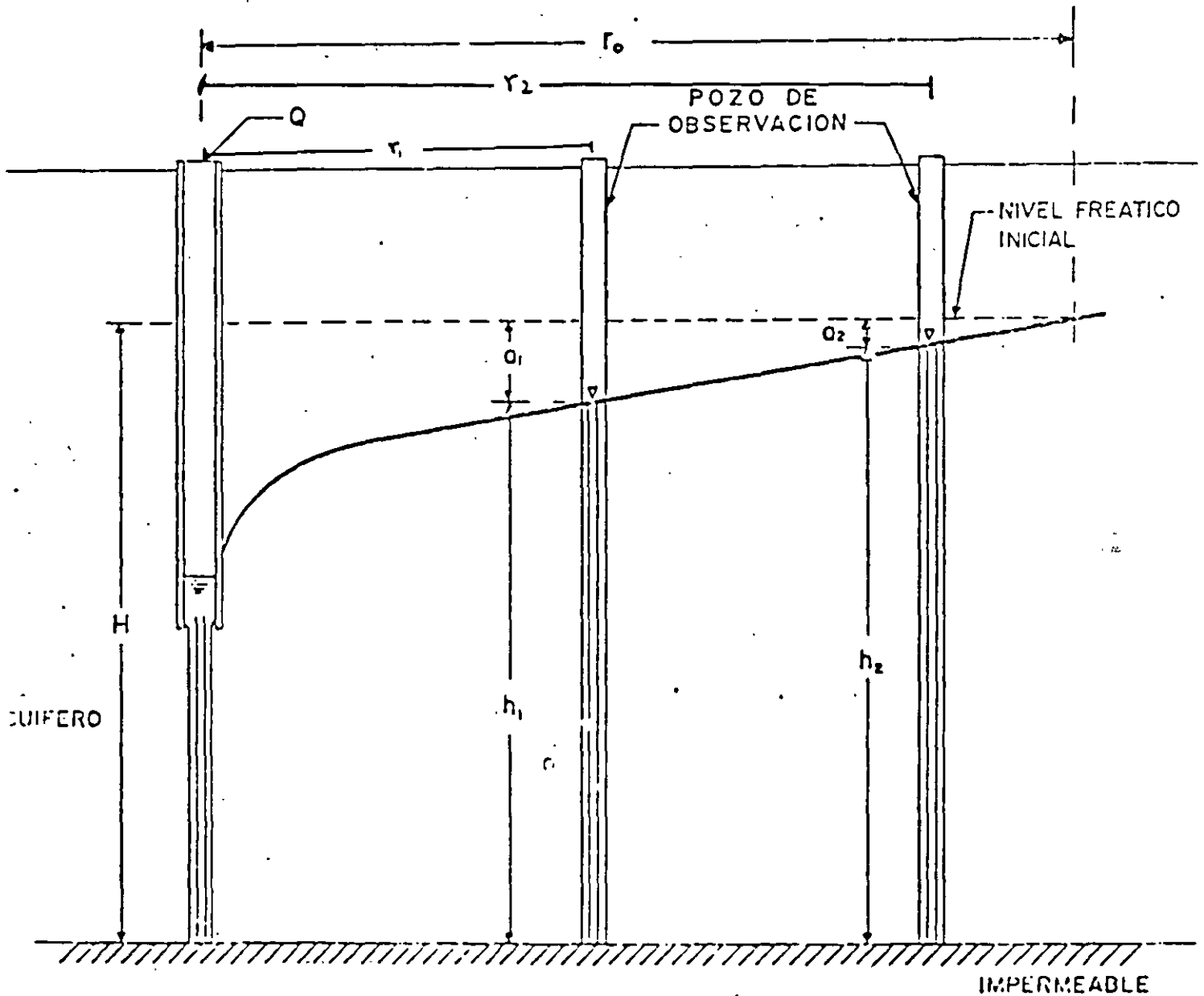
A intervalos de tiempo seleccionados, se harán las observaciones o lecturas necesarias para cuantificar el caudal de bombeo.

Con las observaciones realizadas, se construirá en el sitio de la prueba, la gráfica de variación del nivel dinámico en el tiempo, para el pozo de bombeo y para cada uno de los pozos de observación. En la graficación podrá utilizarse papel semilogarítmico o logarítmico (los tiempos se llevarán en la escala logarítmica). Estas gráficas son útiles para juzgar el correcto desarrollo de la prueba: permiten detectar errores de medición, variaciones sensibles del caudal y otras anomalías causadas por factores externos, y constituyen un elemento de juicio para continuar o suspender una prueba.

Cuando en la gráfica nivel dinámico-tiempo del pozo bombeado se observe estabilización del nivel dinámico por un tiempo mínimo de 4 horas, podrá suspenderse la etapa de bombeo antes de alcanzar la duración prefijada, (ver figura 3).

Una vez concluida la etapa de bombeo, se iniciará la de recuperación, en la que se efectuarán observaciones con la misma secuencia que la etapa de abatimiento. Estos

REGIMEN DE FLUJO ESTABLECIDO HACIA POZOS EN UN ACUIFERO LIBRE



$$h_2^2 - h_1^2 = \frac{Q}{\pi K} \ln \frac{r_2}{r_1}$$

DUPUIT

FIGURA 4

FIG. 5.17

tiempos son una guía de la frecuencia con que deben realizarse las observaciones, Si, por cualquier causa, no puede hacerse contacto con el nivel dinámico en el tiempo señalado, se hará la medición y se indicará el tiempo real a que corresponde.

7.- ANALISIS DE LAS PRUEBAS DE BOMBEO

7.1.- REGIMEN ESTABLECIDO

Cuando se bombea agua mediante un pozo, esta se deriva del almacenamiento del acuífero, y en tanto no exista una recarga vertical, el cono de depresión se va extendiendo más y más, decreciendo la magnitud de los abatimientos a medida que el área afectada es mayor, hasta que la superficie piezométrica se estabiliza en las proximidades del pozo y se llega a una condición de flujo establecido.

Las fórmulas para un pozo descargando bajo condiciones de flujo establecido, se derivaron desde tiempo atrás por varios investigadores, existiendo dos fórmulas básicas; una para acuíferos libres y otra para confinados.

Para un acuífero libre, la fórmula es.

$$h_2^2 - h_1^2 = \frac{Q}{\pi K} L \frac{r_2}{r_1} \text{-----}(1)$$

En la cual: h_1 = Altura piezométrica a la distancia r_1 del pozo de bombeo.

h_2 = Altura piezométrica a la distancia r_2 del pozo de bombeo.

Q = Caudal de bombeo

K = Permeabilidad

L = Logaritmo base "e"

Ver figura No. 4.

La fórmula correspondiente a un acuífero confinado es:

$$h_1 - h_2 = \frac{Q}{2\pi Kb} L \frac{r_1}{r_2} \text{-----}(2)$$

En la cual b = espesor del acuífero Y los demás terminados, son los mismos que los de la expresión anterior. Ver figura 5.

La derivación de las fórmulas anteriores, está basada en las siguientes hipótesis simplificadoras:

- a) El acuífero es homogéneo e isótropo en el área afectada por el bombeo.
- b) El espesor saturado inicial del acuífero libre, es constante.
- c) Para el acuífero confinado, el espesor es constante.
- d) El pozo penetra totalmente al acuífero.
- e) La superficie piezométrica (o freática) es horizontal antes de iniciarse el bombeo.
- f) El abatimiento y el radio de influencia no varían con el tiempo.
- g) El flujo es laminar.

Estas hipótesis parecen limitar seriamente la aplicabilidad de ambas fórmulas, pero en realidad no es así, la permeabilidad media del acuífero es más o menos constante; aunque la superficie piezométrica no es completamente horizontal en ningún caso, el gradiente hidráulico es generalmente muy pequeño y no afecta sensiblemente la forma de la superficie piezométrica; el flujo es laminar en la mayor parte del área afectada por el bombeo, y solo en la vecindad inmediata del pozo de bombeo puede llegar a ser turbulento; aunque el flujo no es rigurosamente establecido, después de cierto tiempo de bombeo puede considerarse como tal en un área próxima al pozo de bombeo.

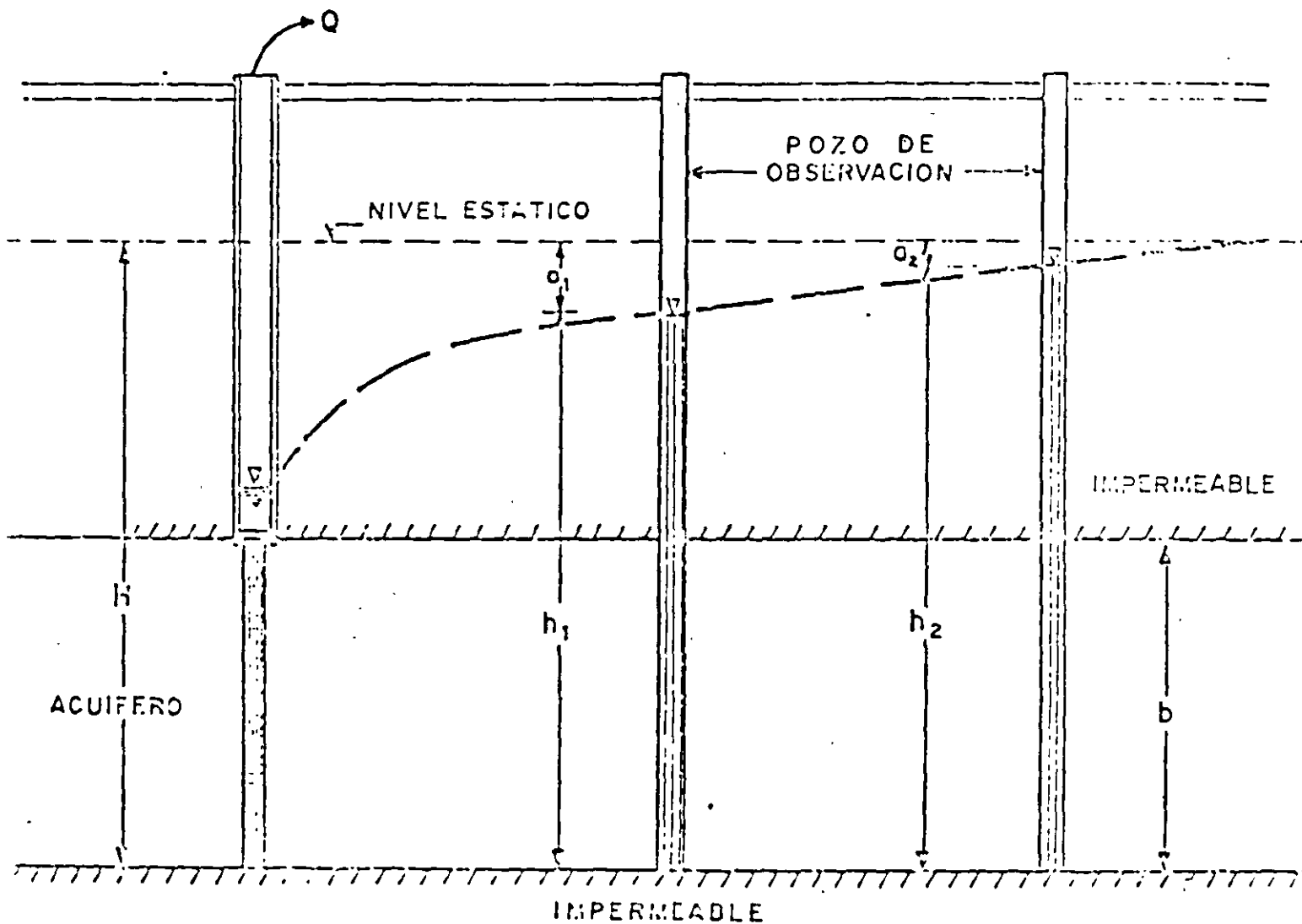
Teniendo dos pozos de observación se obtiene la permeabilidad despejando de las ecuaciones 1 y 2.

$$K = \frac{Q}{(h_2^2 - h_1^2)} L \frac{r_2}{r_1} \text{ para acuífero libre}$$

$$K = \frac{Q}{2\pi b(h_1 - h_2)} L \frac{r}{r_2} \text{ para acuífero confinado}$$

Aun cuando las fórmulas anteriores son aplicables a algunos casos prácticos, tienen dos limitaciones principales: no proporciona ninguna información respecto al coeficiente de almacenamiento del acuífero, y no permiten calcular la variación de los abatimientos en el tiempo. Además, no son aplicables al estudio de acuíferos semiconfinados, ni a sistemas de penetración parcial. Por otra parte su aplicación requiere de dos pozos de observación.

REGIMEN DE FLUJO ESTABLECIDO HACIA POZOS EN ACUIFERO CONFINADO



$$a = h_1 - h_2 = \frac{Q}{2\pi K b} L \frac{r_1}{r_2}$$

(Formula de Thiem)

FIG. 5.18

FIGURA 5

Donde: r es la distancia al pozo de bombeo; t , tiempo de bombeo; S , coeficiente de almacenamiento, T , transmisibilidad.

Los valores de la función de pozo en relación con los de u , se encuentra en tabla 1, los cuales vaciados en una gráfica de $W(u)$ contra $1/u$ en papel logarítmico, nos da una curva tipo para interpretar pruebas de bombeo en pozos totalmente penetrantes en acuíferos confinados (figura 6).

En base a las fórmulas 3 y 4 Theis desarrolló un método gráfico de solución para determinar los parámetros T y S , de acuerdo a los pasos siguientes:

- a) Trazar la curva tipo $W(u) \cdot 1/u$ en papel con trazo doble logarítmico.
- b) Construir la gráfica abatimiento - tiempo del pozo de observación en papel idéntico al utilizado en el inciso a.
- c) Superponer las gráficas manteniendo los ejes paralelos y buscar la coincidencia de la curva de campo y la curva tipo.
- e) Substituir los valores de las coordenadas en las ecuaciones (3) y (4), despejando T y S .

En general, debe darse menor peso a los puntos correspondientes a los tiempos más cortos, pues en esta parte de la prueba pueden tenerse las mayores discrepancias entre las condiciones reales y las hipótesis establecidas para obtener la fórmula; hay cierto retraso entre el abatimiento de la superficie piezométrica y la liberación del agua, retraso que puede ser mayor en esta parte de la prueba, en la que los niveles se abaten rápidamente; el caudal puede variar apreciablemente por el incremento brusco de la carga de bombeo, etc. Para tiempos mayores de bombeo, estas discrepancias se van minimizando y se tiene un mejor ajuste entre la teoría y las condiciones reales.

Ejemplos de interpretación.....

7.2.- REGIMEN TRANSITORIO

En 1985, C.V. Theis inició el estudio de la hidráulica de pozos en régimen transitorio, al desarrollar la fórmula que lleva su nombre. Mediante ella pueden deducirse los valores de los coeficientes de transmisibilidad y almacenamiento, a partir de los abatimientos registrados en uno o varios pozos de observación para diferentes tiempos de bombeo, con la ventaja de que no es necesario esperar la estabilización del cono de abatimiento, como en régimen establecido.

La derivación de la fórmula de Theis se basa en las siguientes consideraciones.

- a) El acuífero es homogéneo e isótropico.
- b) El espesor saturado del acuífero es constante.
- c) El acuífero tiene extensión lateral infinita.
- d) El bombeo del pozo es a costa del almacenamiento del acuífero.
- e) El pozo penetra totalmente el acuífero.
- f) El agua del acuífero es liberado instantáneamente con el abatimiento.

La solución desarrollada por Theis, es:

$$a = \frac{Q}{4\pi T} W(u) \text{-----(3)}$$

Despejando T.

$$T = \frac{Q}{4\pi a} W(u)$$

Donde: a es el abatimiento registrado a la distancia r del pozo de bombeo; Q, es el caudal, T la transmisibilidad; W(u), la función de pozo.

Por otra parte.

$$u = \frac{r^2 S}{4 T t} \text{-----(4)}$$

Despejando S

$$S = \frac{4 T t}{r^2} u$$

FORMULA MODIFICADA PARA PRUEBAS DE BOMBEO CON REGIMEN TRANSITORIO

Un método más sencillo para la interpretación de las pruebas de bombeo, fue desarrollado por Jacob, quien observó que para tiempos largos ($t > 5 S r^2 / T$), la ecuación (3), puede modificarse sin un error significativo a la forma siguiente:

$$a = \frac{2.3 Q}{4\pi T} \log \frac{2.25 T t}{r^2 S} \text{-----(5)}$$

A partir de esta fórmula, desarrolló el método gráfico de interpretación que lleva su nombre, y que consiste en lo siguiente.

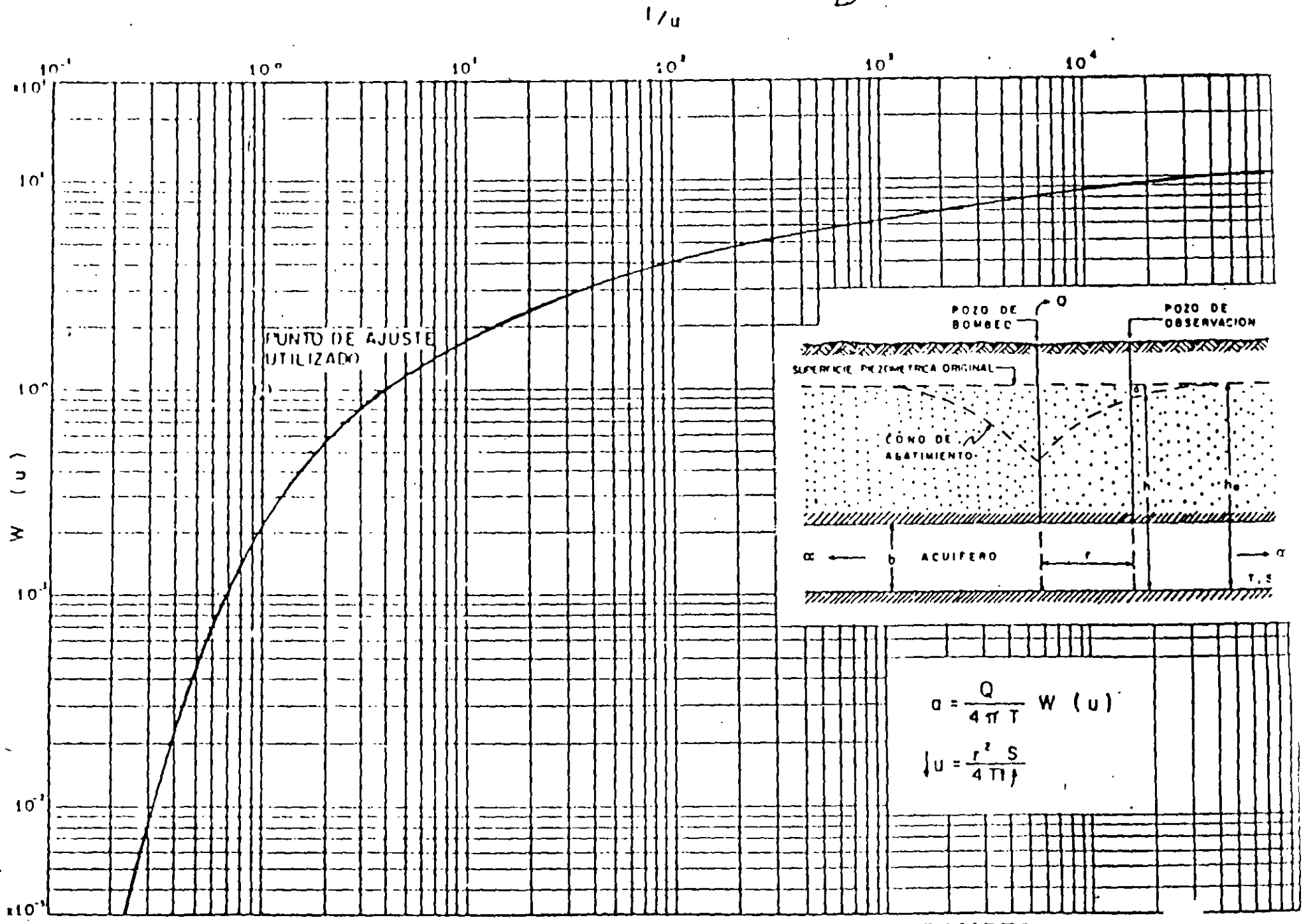
- Construir la gráfica abatimiento (en escala aritmética) contra tiempo (en escala logarítmica).
- Pasar una recta por los puntos que se alinean, y determinar su pendiente. los puntos correspondientes a los primeros minutos de la prueba generalmente se apartan de la recta, debido a que corresponden a tiempos cortos ($t < 5 S r^2 / T$) para los cuales no es válida la fórmula de Jacob.
- Si la pendiente de la recta de ajuste es Δs , la Transmisibilidad puede obtenerse de la expresión.

$$T = \frac{0.183 Q}{\Delta s} \text{-----(6)}$$

- Determinar el valor del tiempo, t_0 , para el cual la prolongación de la recta de ajuste intercepta la línea de abatimiento nulo.
- Calcular el coeficiente de almacenamiento mediante la expresión.

$$S = \frac{2.25 T t_0}{r^2} \text{-----(7)}$$

Ejemplos de interpretación.....



CURVA TIPO PARA INTERPRETACION DE PRUEBAS DE BOMBEO EN ACUIFEROS CONFINADOS

FIGURA 6

ACUIFERO SEMICONFINADO

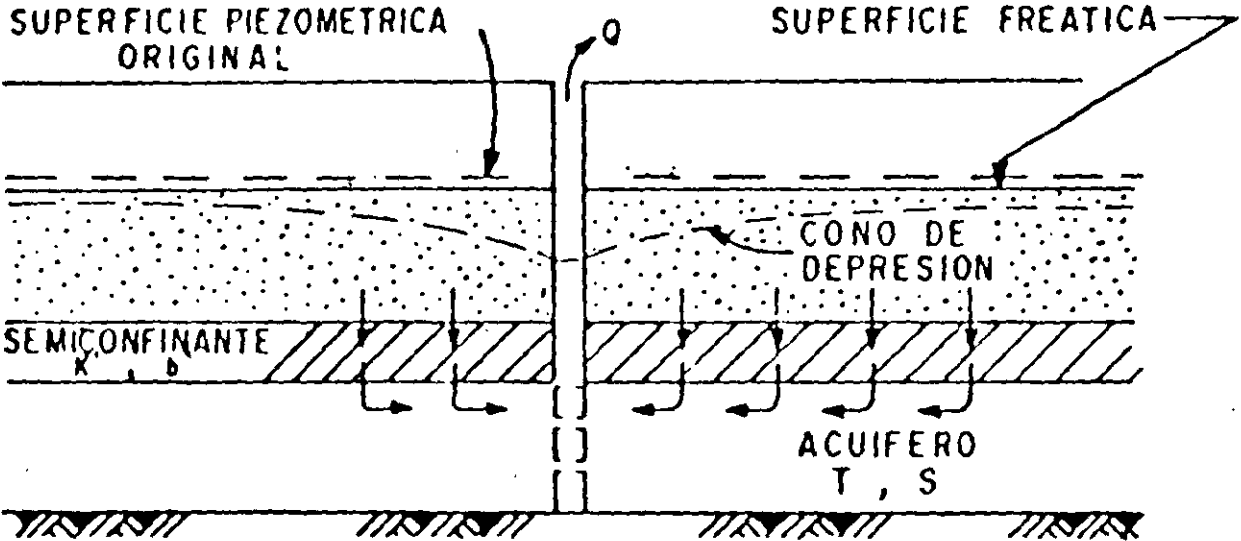


FIGURA 7

El método anterior puede seguirse, cuando se conocen los abatimientos en varios pozos de observación para un tiempo dado. En este caso se gráfica el abatimiento (en escala aritmética) contra la distancia (en escala logarítmica). Los coeficientes buscados se obtienen mediante las fórmulas.

$$T = \frac{0.366 Q}{\Delta S} \quad \text{y} \quad S = \frac{2.25 T t}{r_0^2} \text{-----(8)}$$

En donde r_0 corresponde al valor para el cual la prolongación de la recta de ajuste intercepta la línea de abatimiento nulo.

La forma más general del método, se aplica cuando se tienen observaciones en varios pozos de observación para diferentes tiempos. en este caso, los valores de la relación t/r^2 se anotan en el eje logarítmico, y se sigue la secuela descrita anteriormente.

PRUEBAS DE BOMBEO EN ACUIFEROS SEMICONFINADOS

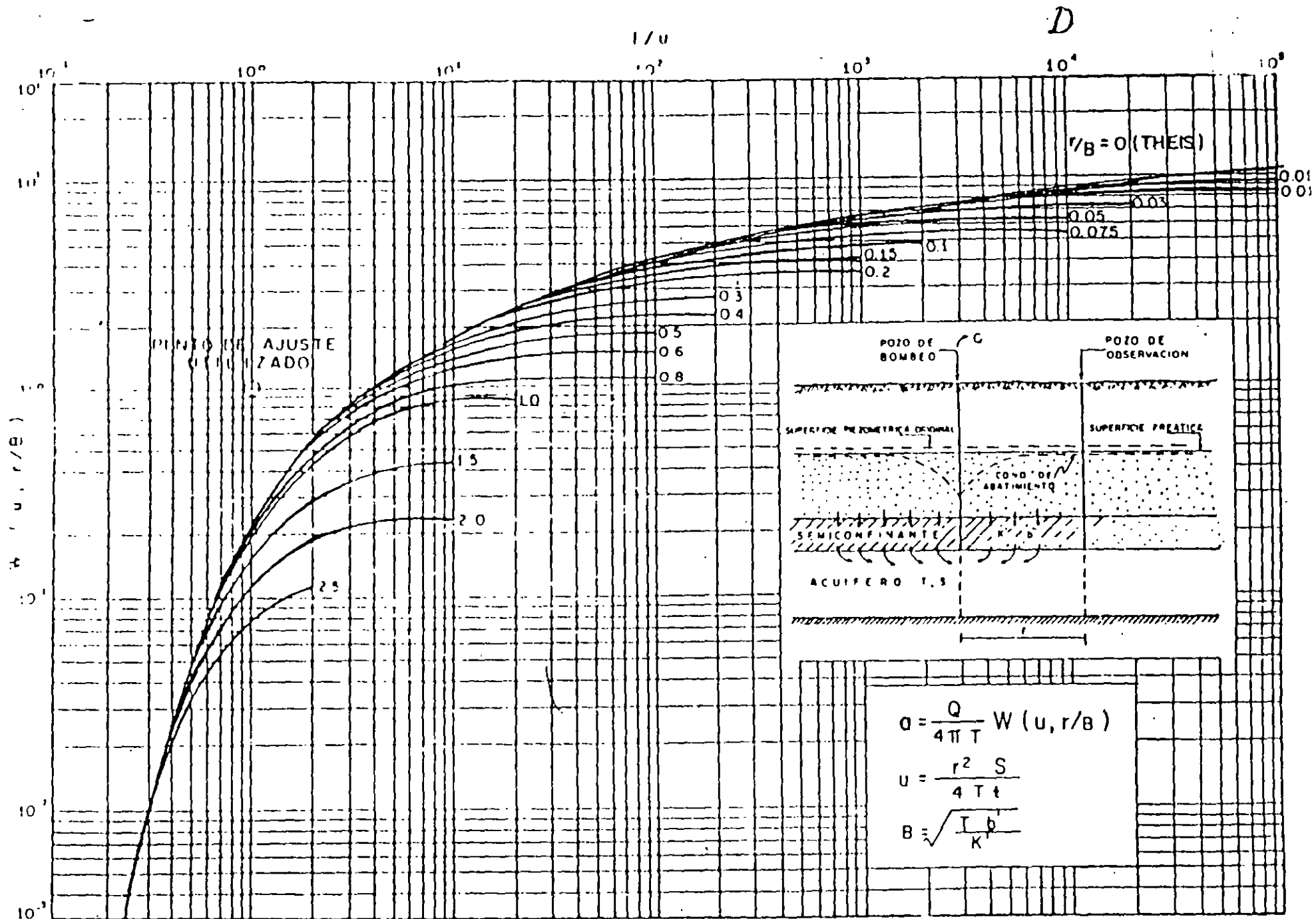
Probablemente, el acuífero más común en la naturaleza es el de tipo semiconfinado; los rellenos siempre tienen cierta estratificación, alternándose estratos de granulometría variada. Cuando un estrato de material permeable queda limitado verticalmente por materiales, también saturados, de menor permeabilidad, se tiene un acuífero semiconfinado. (ver figura 7).

Al bombearse un acuífero de este tipo se provocan abatimientos de sus niveles piezométricos, generándose una diferencia vertical de cargas, que induce el flujo descendente del agua a través del semiconfinante. La cantidad de agua que circula a través de este es directamente proporcional a la diferencia de cargas entre las superficies freática y piezométrica, e inversamente proporcional a la resistencia hidráulica del mismo estrato.

Puesto que en este sistema solo una parte del volumen bombeado procede del acuífero, y el resto es aportado por el estrato adyacente el semiconfinante, el abatimiento de los niveles piezométricos es menor que en el caso del acuífero confinado. Como la aportación vertical aumenta con el tiempo, el abatimiento de los niveles piezométricos va decreciendo, hasta que la aportación vertical equilibra el caudal de extracción y en ese momento, los niveles piezométricos se estabilizan.

La solución correspondiente a este sistema es la siguiente:

$$s = \frac{Q}{4 \pi T} W(u, r/B)$$



CURVA TIPO PARA INTERPRETACION DE PRUEBAS DE BOMBEO EN ACUIFEROS SEMICONFINADOS

FIGURA 8

Donde

$$B = \sqrt{T b'/K'}$$

Siendo K' y b' la permeabilidad vertical y el espesor del estrato semiconfinante.

Las curvas tipo correspondientes a esta solución se presentan en la figura 8, en la cual puede apreciarse el comportamiento arriba descrito.

El procedimiento de interpretación de las pruebas en este caso es semejante al seguido en el caso de los acuíferos confinados, con la diferencia de que ahora debe buscarse la coincidencia entre la curva de campo y una de las curvas tipo. Lograda la coincidencia, se selecciona un punto de ajuste, y se substituyen los valores de sus coordenadas en las ecuaciones correspondientes, para deducir los parámetros buscados.

Ejemplos de interpretación.....

interpretación de las pruebas se efectúan como si se tratara de un acuífero confinado. En cambio, si dichas fluctuaciones son importantes, específicamente, mayores del 20% del espesor saturado del acuífero, los abatimientos medidos se corrigen en la forma siguiente.

$$ac = a - \frac{a}{2b}$$

Siendo ac el abatimiento corregido y b , el espesor saturado inicial del acuífero, los abatimientos así corregidos, se interpretan como si se tratara de un acuífero confinado.

CURVA TIPO PARA INTERPRETACION EN REGIMEN LINEAL

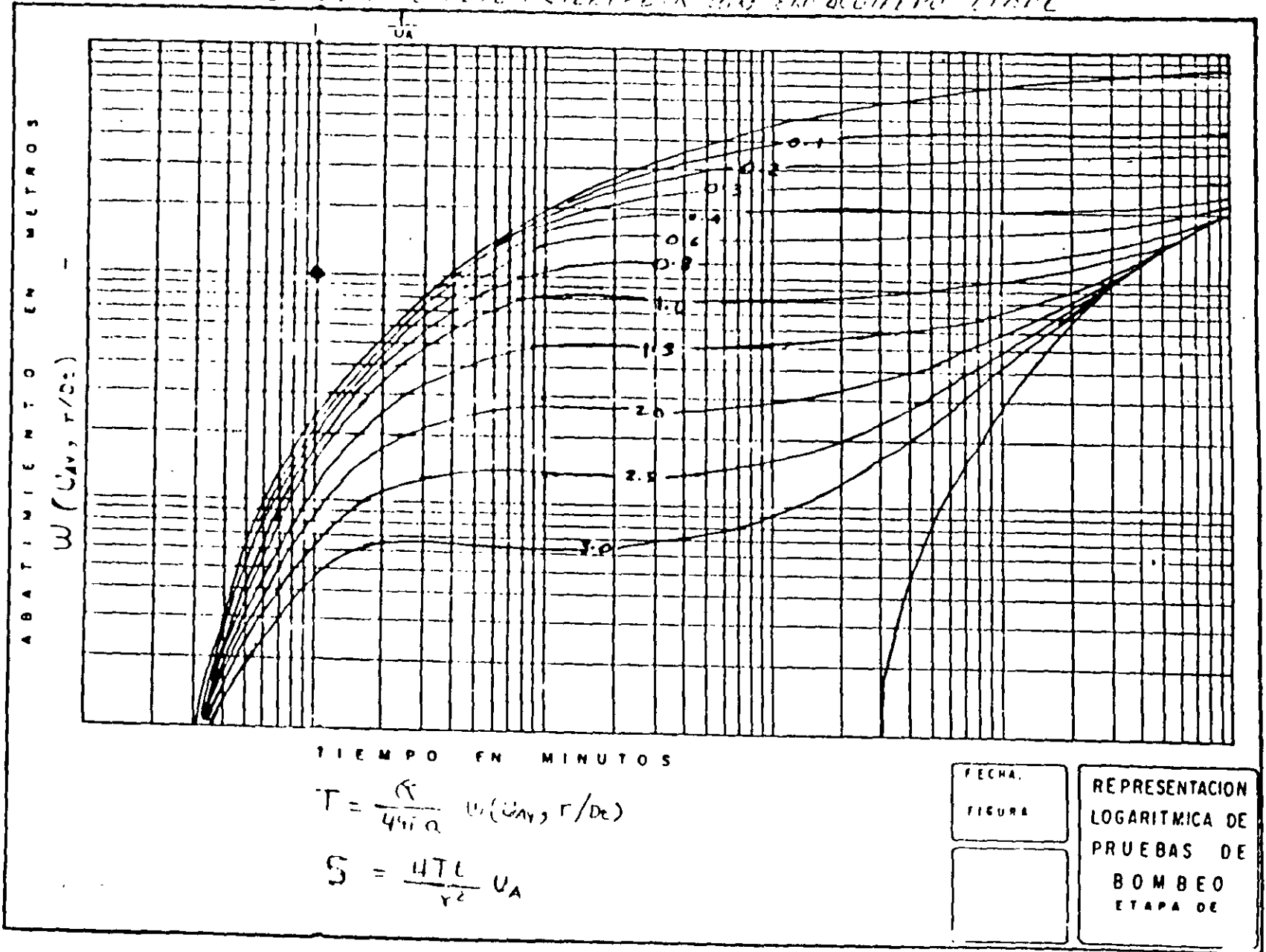


FIGURA 9

CURVAS TIPO PARA LA INTERPRETACION DE PRUEBAS DE BOMBEO EN POZOS PARCIALMENTE PENETRANTES

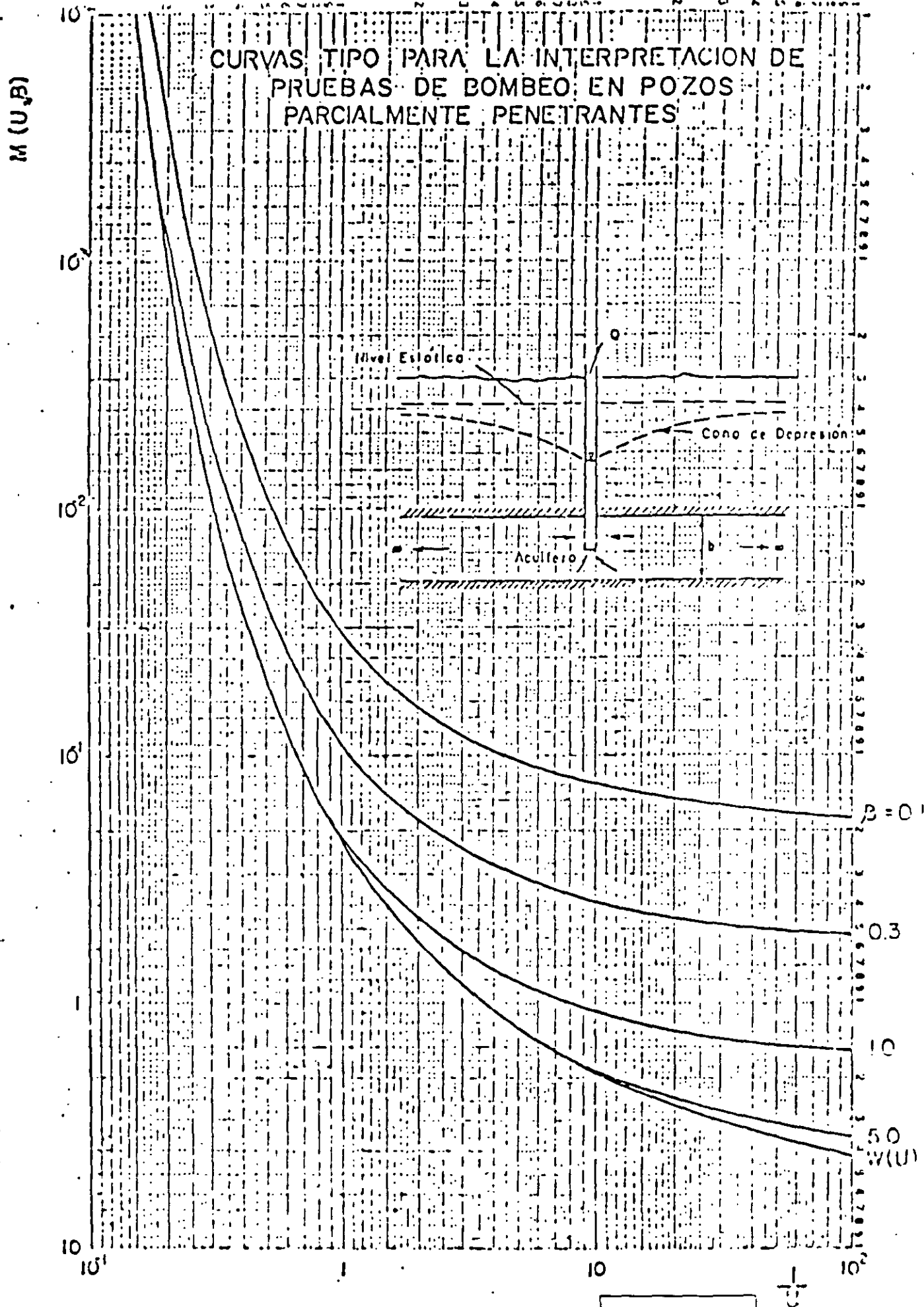
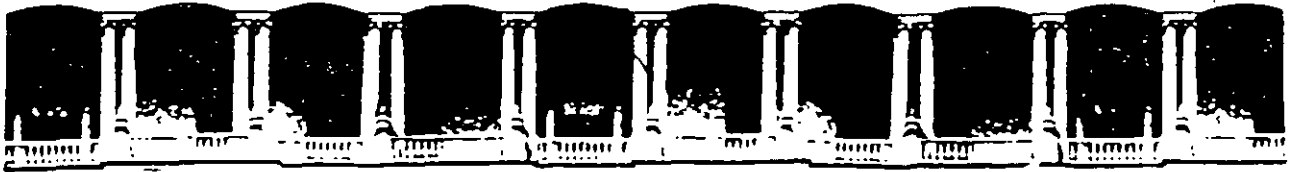


FIGURA 10



**FACULTAD DE INGENIERIA U.N.A.M.
DIVISION DE EDUCACION CONTINUA**

CURSOS ABIERTOS

**X CURSO INTERNACIONAL
CONTAMINACIÓN DE ACUIFEROS**

MÓDULO I:

GEOHIDROLOGÍA

TEMA :

PROGRAMA PARA INTERPRETACIÓN DE PRUEBAS DE BOMBEO

**PRESENTADO POR: ING. DAVID GONZÁLEZ POSADAS
SEPTIEMBRE 1998**

CURSO INTERNACIONAL DE CONTAMINACION DE ACUIFEROS

DIVISION DE EDUCACION CONTINUA

FACULTAD DE INGENIERIA, UNAM

PROGRAMA PARA INTERPRETACION DE PRUEBAS DE BOMBEO

GROUNDWATER COURSE PROGRAMS

- (1) - FORMAT A DATA DISK
- (2) - DRAWSIMS
- (3) - DISTDRWS
- (4) - PUMPTSTS
- (5) - HAAM-S
- (6) - FINITE DIFFERENCE MODEL

WHICH ONE ?

4

PUMP TEST
GENERAL INFORMATION

PROJECT ? CURSO CONTAMINACION

FILE # ? 1

LOCATION ? Palacio de Minería

AQUIFER COEFFICIENT EVALUATION

1 = PERFORM COEFFICIENT EVALUATION

2 = DO NOT PERFORM COEFFICIENT EVALUATION

WHICH NUMBER ? 1

Do you want to use previously saved data? n

ENTER PUMPING RATE (USGPM) ? 1600

DRAWDOWN DATA
 LINE NO. TIME WATER LEVEL

1	1	30.52
2	2	30.53
3	4	30.64
4	8	30.85
5	15	31.05
6	30	31.31
7	60	30.70
8	120	32.05
9	250	32.25
10	470	32.70
11	940	33.00
12		end,end

PUMPING TEST ANALYSIS STRAIGHT LINE APPROXIMATION METHOD

D
L
A
S
T
I
C
E
T

0
1
2
3
4
5
1

10 100 1000 10000
 (t) Time Since Pumping Started (minutes)
 PROJECT: CURSO CONTAMINACION FILE 11 LOCATION: Palacio de Minería

START SEGMENT AT TIME (T) IN (MIN)

END SEGMENT AT TIME (T) IN (MIN) ?

LOG CYCLE FOR DELTA S: 1-10 (Y/N)

10 - 100 (Y/N) ?

SEGMENT LINE: DRAW STRAIGHT LINE BETWEEN POINTS

(Y/N) ?

PERFORM LEAST SQUARES FIT (Y/N) ?

delta s = .8559959 FT

T = 493460.3 USGPD/FT

Data Base = prueba		Number of Tests =	1
No	TEST IDENTIFICATION		
1	prueba1		
<div style="display: flex; justify-content: space-around; align-items: center;"> (1) (2) (6) </div>			
Press U,D or A to select a function group.			

- FUNCTIONS :
- U=Define Units
 - D=Data Input, Edit etc.
 - A=Test Analysis
 - X=Exit
-
- Working units
- d [m]
 - t [min]
 - Q [m³/day]
 - Ti [m²/day]

Data Base = prueba		Number of Tests =	1
No	TEST IDENTIFICATION		
1	prueba1		
<div style="display: flex; justify-content: center; align-items: center;"> (1) </div>			
Press N,E,D,P,A,S or E to select a function.			
Do not use E if both UG and pumping levels above land surface			

- FUNCTIONS :
- N=New Test
 - E=Edit
 - D=Delete
 - P=Print Data
 - A=Screen Full
 - S=Screen Full
 - E=Plot Graph
- Esc=Exit to Main Menu
-
- Working units
- d [m]
 - t [min]
 - Q [m³/day]
 - Ti [m²/day]

PUMPING TEST DATA INPUT/EDIT

prueba1

Constant Pumping Rate = 8640.0 [m³/day]
 Distance from Pumping Well = 100.00 [m]
 Confined or Unconf. Aq. ?(C/U) = CONFINED
 Drawdown or Level Data ?(D/L) = DRAWDOWN
 Standard or Dug Well ?(S.D) = STANDARD

4

FUNCTIONS

K = Input
 from
 key board

Esc=Exit to Data
 Input/Edit
 Menu

Edit General Data

PUMPING TEST DATA INPUT/EDIT

prueba1

N°	Time [min]	Drawdown [m]
1	1.	0.02
2	2.	0.03
3	3.	0.12
4	5.	0.35
5	15.	0.55
6	30.	0.81
7	60.	0.90
8	95.	1.15
9	120.	1.55
10	150.	1.75
11	180.	2.20
12	240.	2.50

11

FUNCTIONS

Esc=Finish edit
 Ctrl-C=Abort edit

NOTE: Levels above
 ground surface
 should be typed
 with + sign.

F1-Inserts row
 F2-Inserts a field
 in column
 F3-Erases numbers
 CTRL F1 -Erases row
 CTRL F2 -Erases a
 field

CTRL HOME - data file top; CTRL END - data file end;
 HOME-screen top; END-screen bottom; PG UP, PG DN:F1,F2,F3

Data Base = prueba
 Number of Tests = 1

- FUNCTIONS :
- A=Select Data
 - J=Jacob Method
 - R=Recovery
 - T=Theis Method
 - H=Hantush Infl
 - L=Hantush Leak
 - D=Dug Well
 - S=Screen Graph
 - G=Print Graph
 - P=Print Result
 - B=Plt/Prt Graph
 - Esc=Exit M/Meni

1 prueba1

7

9

Press A,J,T ... or E to select a function or ESC to return

Working units
 C (m)
 T (min)
 Q (m³/day)
 Tz (m²/day)

Data No	THEIS METHOD
1	Test Identification prueba1
	Transmissivity = 1022. (m ² /day) Storage Coefficient = 0.233 Standard Deviation = 0.0559 (m) Number of Points = 12 of 12 Iterations Number = 3

2

Press any key to continue.

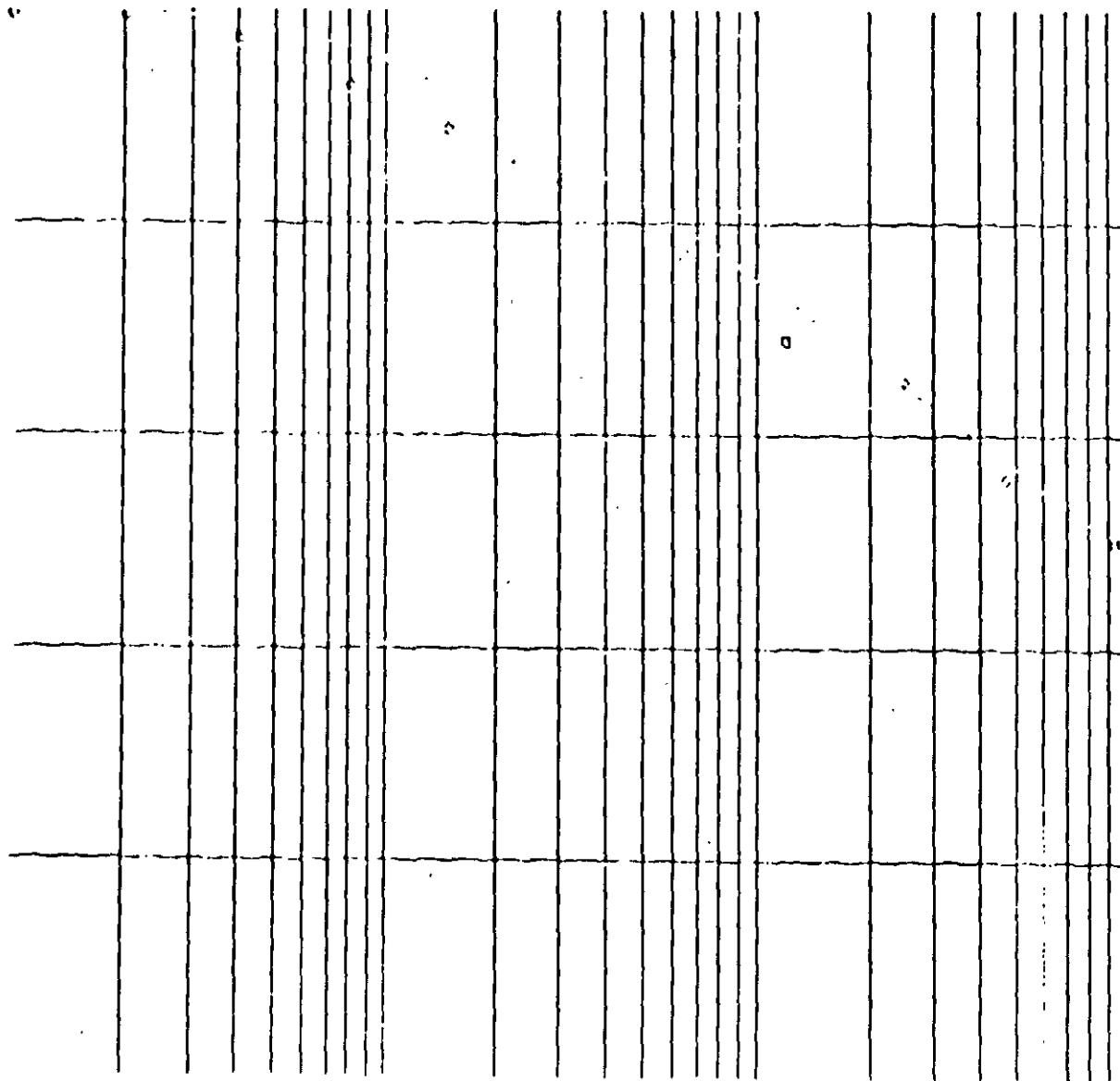
Working units
 C (m)
 T (min)
 Q (m³/day)
 Tz (m²/day)

FUNCTIONS:

Z=Zoom
(Move cursor to the Left-Lower corner, press left button, Move cursor to the Up-Right corner, press left button)
F=Full drawing
Esc=Exit graph.

[m]

STRIKES



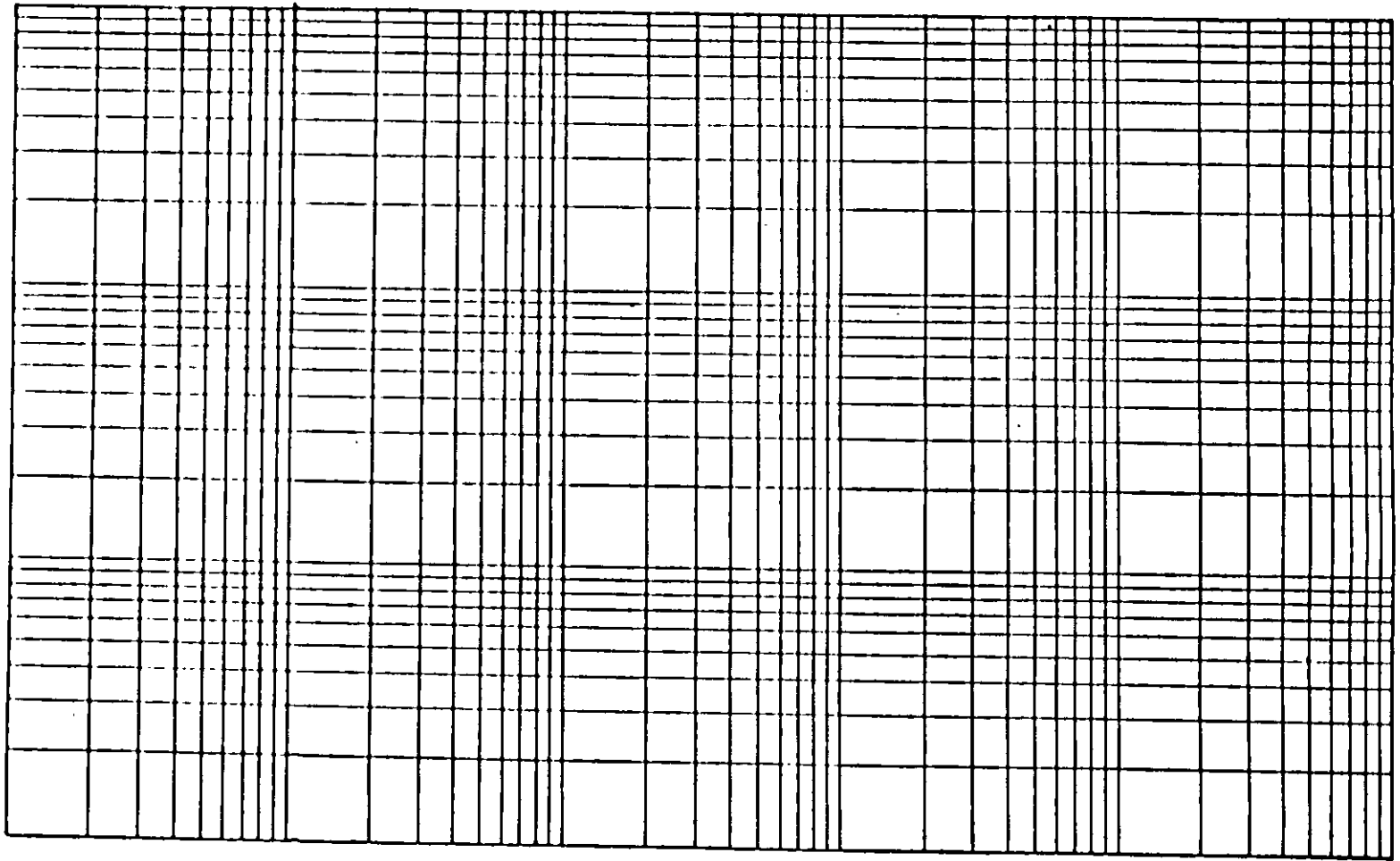
United Nations CW Software

Time[min]

10

D

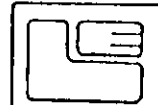
ABATIMIENTO EN METROS



TIEMPO EN MINUTOS

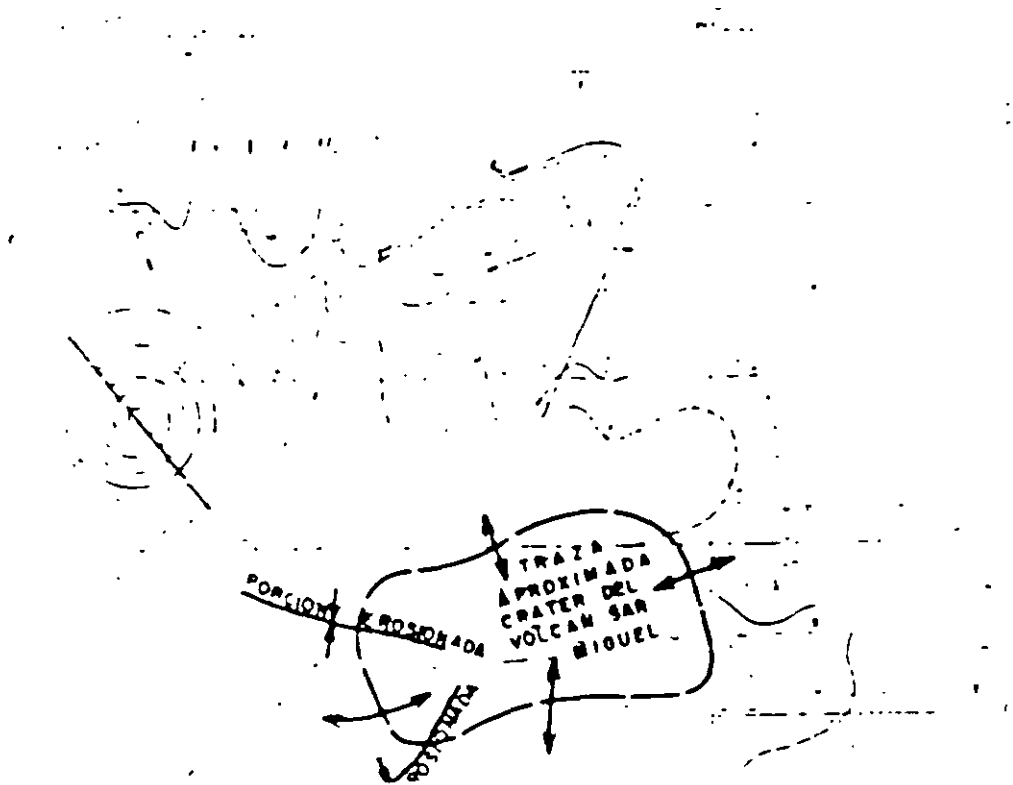
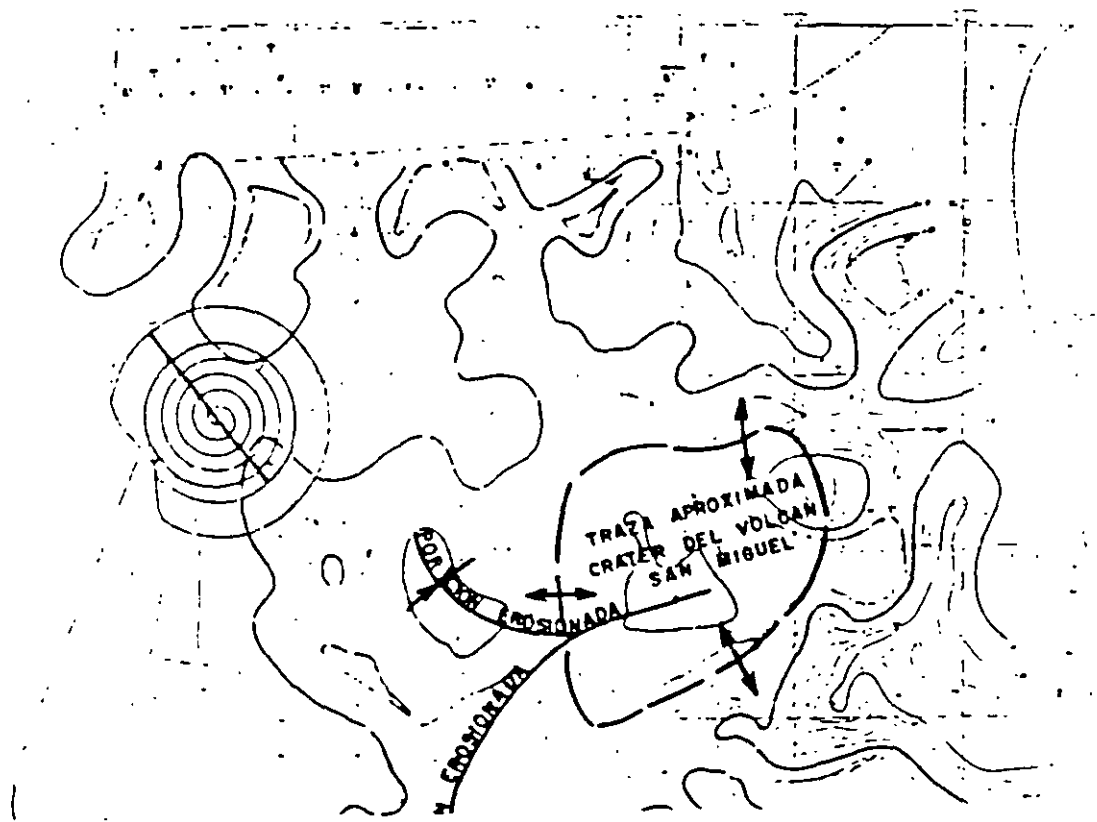
FECHA:

FIGURA:



LESSEY Y ASOCIADOS, S.A.

REPRESENTACION
LOGARITMICA DE
PRUEBAS DE
BOMBEO
ETAPA DE



Figuras 5.10 Anomalia Residual y 5.2 Anomalia magnética en el Exlago de Texcoco

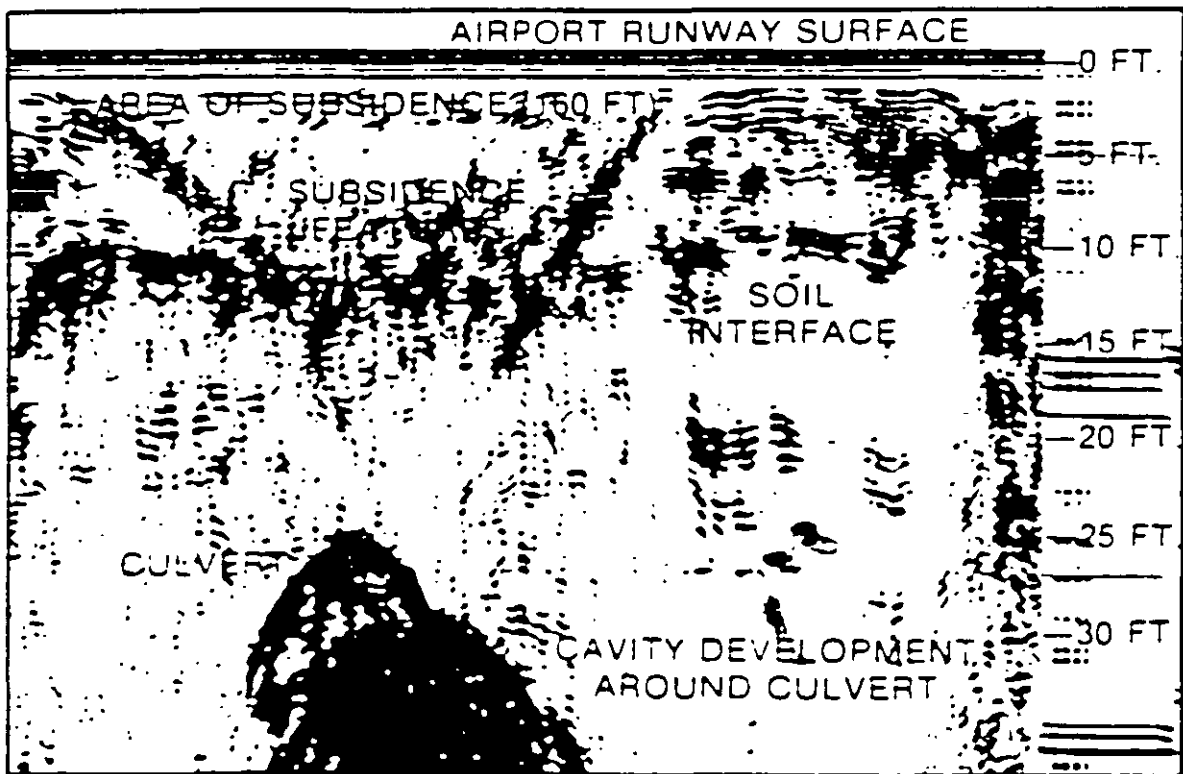


Figura 6 1 Perfil con la tecnica del radar

presentado en hojas Atlas Geográficas semejantes a las que existen para topografía y geología sería una carta muy útil en la exploración petrolera, minera, geotermia, agua subterránea, para mejorar el conocimiento de la Física del interior de la Tierra y para precisar los contactos geológicos y aplicaciones en geotécnica.

Las hojas Atlas que forman la carta aeromagnética sirven como infraestructura para el prospector....., determina con relativa rapidez la profundidad del basamento magnético., descubre cuerpos ígneos que se encuentran dentro de los sedimentos..., sirven para planear futuras líneas con procedimientos geofísicos que deban aplicarse para detallar un prospecto seleccionado..., es un elemento necesario en la integración final de datos geofísicos y geológicos.

En geotermia pueden descubrirse las rocas intrusivas causantes de la energía térmica....

Para agua subterránea pueden delimitarse los límites de las cuencas hidrológicas y subcuencas que hay en ellas.

La hoja aeromagnética en sí se puede utilizar para decidir las áreas donde es necesario realizar trabajo de detalle y actualmente es casi indispensable para una integración óptima de los datos geofísicos a la geología del área.

Como se entiende de los párrafos anteriores la magnometría aérea o terrestre es de vital importancia para cualquier prospecto respetable por su tamaño, y aunque el mapa magnético se interprete en forma cualitativa es mucha y variada la información que se puede extraer de él.

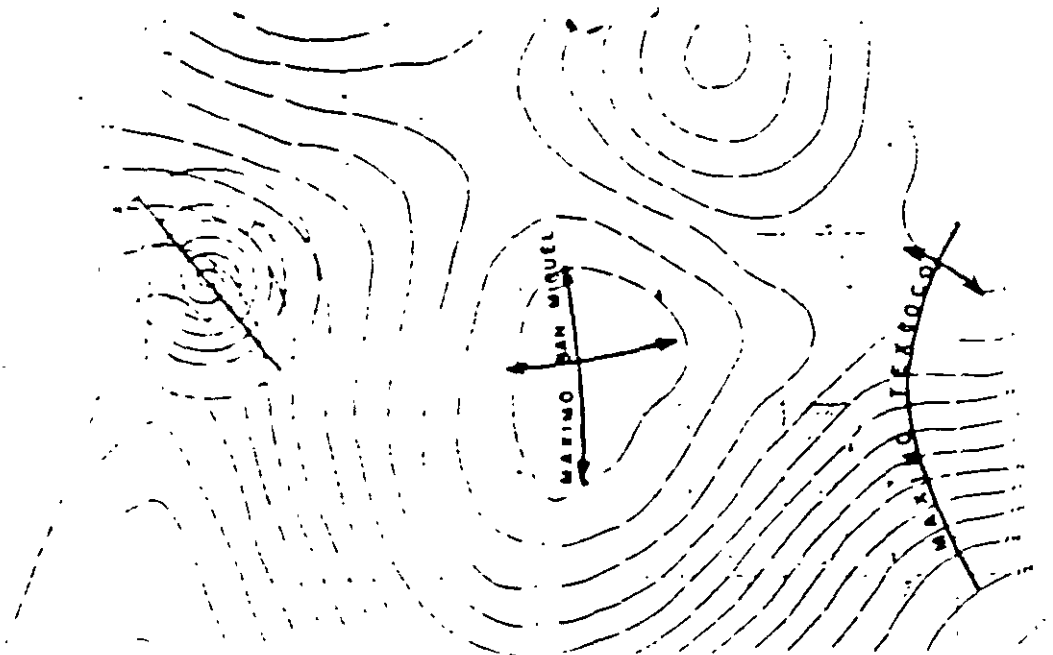
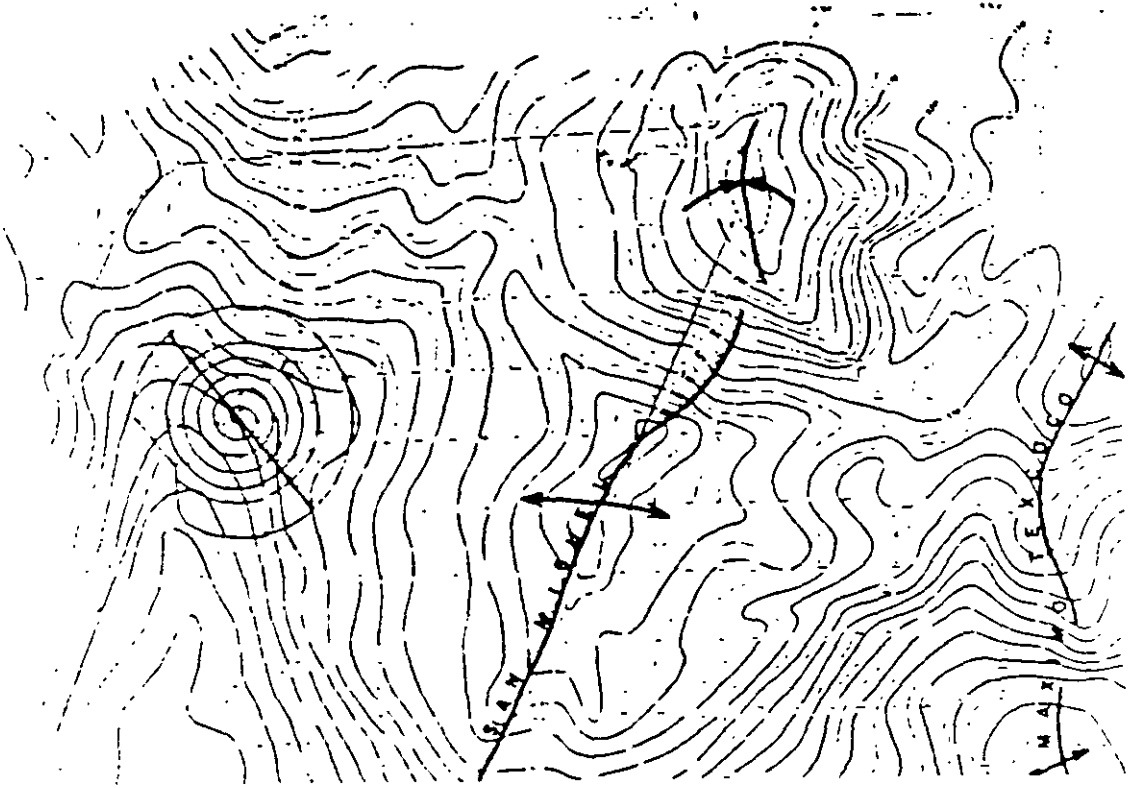
Se presenta el mapa magnético de la zona Exiugo de Texcoco en la figura 5.2, en ella se aprecia la charrela de un cráter sepultado, así como las zonas erosionadas

6 RADAR

Es un método importante para perfilaje somero del subsuelo (<30 m), está diseñado para detectar cuerpos opacos a las ondas de radio, tales como tuberías enterradas, tanques enterrados, capa resistente, cavernas, túneles, zonas arcillosas, fallas, fracturas, cuerpo de interés económico u arqueológico, cantos sepultados, etc...

6.1 BASES TEÓRICAS

La energía es emitida en la región de ondas de radio del espectro electromagnético. La onda de radar retorna y es registrada como pulso de video el cual es similar a las ondas sísmicas refractadas. Las irregularidades (arcillas saturadas, cavernas, vacíos) en el tren de ondas por el reflector aparecen en el monitor. Provee de un registro continuo de imágenes. Figura 6.1



Figuras 5 1a. Anomalia de Bouge* y b) Anomalia Regional en el Exlago de Texcoco

5. OTROS METODOS GEOFISICOS DE EXPLORACION EN GEOHIDROLOGIA.

Los recursos naturales en una época anterior se encontraban localizados someramente, su distribución y forma eran explícitas, lo que facilitaba la exploración y cuantificación. En la actualidad lo anterior es solo una utopía. Es indispensable en la actualidad aplicar técnicas geofísicas sofisticadas para la prospección del agua como las que se emplean en la exploración del petróleo.

Como se apuntó en el capítulo de métodos eléctricos, este resulta ser ambiguo cuanto más profundo se desee explorar y según sean las características físico-químicas del sistema. Baste recordar que la resistividad cambia con: temperatura, sales minerales metálicas y no metálicas en disolución, alteración de la roca, vejez de la roca huésped, etc. lo que provoca ambigüedad en la interpretación. Pese a utilizar métodos clásicos de prospección petrolera en geohidrología, es viable convertirlos tan económicos como los eléctricos.

Ejemplo concreto se puede citar la prospección geoelectrica que se deseaba realizar en el Valle de Puebla para determinar la cima de las rocas con 2000 metros de espaciamento eléctrico en los SEVs y resultando con la gravimetría que la roca caliza se encuentra a un promedio de 3000 metros de profundidad.

Al Norte del Valle de Queretaro, se emplazaron un total de 4 pozos sobre granito con malos resultados, confundiendo valores altos de resistividad de la roca intrusiva con los de tobas de caída libre limpias y saturadas, con un criterio geológico y técnicas geofísicas bien planeadas esto no hubiese sucedido

Los métodos de prospección que se presentan en los siguientes incisos pueden ser utilizados en la prospección geohidrológica y de contaminación de acuíferos tan económicos y con mejores resultados que los eléctricos normales

5.1 PROSPECCION GRAVIMETRICA

El empleo de la exploración gravimétrica es intenso en: definir la forma y evolución del geoide. (primeras medidas de la geofísica), cuencas, trenes estructurales (anticlinos y sinclinos), localización de fallas (normales, inversas y transcurrentes), localización de zonas karsticas y oquedades, arqueología, geotecnia, etc.... Gracias a los cambios laterales y verticales de la distribución de masas y su densidad es posible aplicar la exploración gravimétrica.

Una serie de correcciones es necesario practicar a las mediciones gravimétricas, destacando principalmente las de altitud, latitud y rugosidad. Con las medidas de gravedad corregidas se forma la configuración correspondiente a la Anomalia de Bouguer, de la cual se extraen los mapas de anomalía Residual y Regional. Del análisis de las configuraciones se desprende que las anomalías de frecuencia baja son debidas a la topografía del basamento, en tanto que las de frecuencia alta corresponde a cuerpos geológicos someros de poca extensión.

5.1.2 CORRECCION POR ALTITUD

La fuerza de gravedad varía con la altura, por lo que se deben reducir todas las lecturas a un mismo plano de referencia (superficie del terreno, Brandt, P y Tejero, A 1990), se lleva a cabo en dos partes:

a) Aire libre, tomando en cuenta que el punto de observación está más alejado del centro de la tierra que el plano de referencia

b) Corrección de Bouguer, la cual elimina el efecto de losa de terreno de referencia. La expresión para la corrección por latitud está dada por $G_0 = G_h + (0.3086 - 0.419\sigma)h$ mg

donde G_0 gravedad reducida al nivel de referencia

G_h Gravedad observada a la altura h

σ elevación de la estación medida

d densidad media en g/cm^3 del terreno arriba del plano de referencia

mg miligales

5.1.3 CORRECCION POR TOPOGRAFIA

Las elevaciones cercanas al punto de medida originan una componente vertical a la atracción gravitacional que contraresta, en parte a la atracción hacia el interior del resto de la tierra. La corrección debida a las elevaciones y depresiones topográficas circundantes al punto de observación, se realiza por el método de plantillas de Hammer.

5.1.4 CORRECCION POR LATITUD

La tierra no es una esfera perfecta, la mejor aproximación para fines prácticos es un elipsoide de revolución con radio ecuatorial 21 km mayor polar; el elipsoide de referencia corresponde a la superficie del nivel medio del mar. El achatamiento polar provoca que la gravedad aumente con la latitud; la expresión para esta corrección es: $G1 = 978.030 (1 + 0.0053024 \text{ sen}^2\phi - 0.0000058\text{sen}^22\phi) \text{ mg}$

donde $G1$ gravedad corregida por latitud
 ϕ latitud en grados, minutos y segundos

5.1.5 ANOMALIA DE BOUGER

Después de haber efectuado las correcciones pertinentes, se conoce ya el valor de gravedad de Bouger para cada estación teniendo que: $GB = GO + Ga - G1 + Gt$

donde GB Gravedad de Bouger
 GO Corrección de gravedad observada en campo
 Ga Corrección de gravedad por altitud
 $G1$ Corrección de gravedad por latitud
 Gt Corrección de gravedad por rugosidad del terreno

La configuración de la anomalía de Bouger es importante para todas las estimaciones que se requieran hacer. En la configuración de la anomalía de Bouger (AB) se encuentran implícitos los efectos de cuerpos someros y profundos; al separar cada uno de ellos se obtienen las configuraciones de la anomalía Regional (AR) debida a estructuras geológicas profundas y la del Residual (Ar) originada por efectos de cuerpos someros. Entonces: $AB = AR + Ar$

La figura 5 1a, b, c y d muestra las anomalías de Bouger, Regional y Residual para el Exlago de Texcoco y una sección interpretada

5.2 PROSPECCION MAGNOMETRICA

De no haber sido la geodesia las primeras medidas geofísicas de la tierra, la magnetometría sería el tópico antiguo de geofísica. La magnetometría puede ser estudiada desde el punto de vista histórico, ya que el campo magnético de la tierra cambia con el tiempo y una buena porción de su variación se ha quedado grabado en las mismas rocas. La magnetometría proporciona información acerca de límites de cuencas, profundidad al basamento, lineamientos del basamento, edad de las rocas (magnetoestratigrafía), latitudes magnéticas del tiempo en que se formó la roca, plumas de contaminación en combinación con otras técnicas, localización de contenedores de hierro sepultados, etc.

A continuación se transcriben algunos párrafos de la Tesis que defendió el Ing. Guillermo Hernández Moedano para ingresar a la Academia Mexicana de Ingeniería (1990) en la que propone formar un banco de datos geofísicos para mejor conocimiento del Territorio Mexicano y sus recursos. El tema de Tesis fue:

PROPUESTA PARA EL LEVANTAMIENTO DE LA CARTA AEROMAGNETICA DE LA REPUBLICA MEXICANA

Uno de los procedimientos geofísicos que provee una información valiosa para la prospección de la tierra y que se realiza con rapidez y de un costo relativamente bajo cuando se trata de áreas de gran extensión, es el levantamiento aeromagnético. Se considera que un levantamiento de esta índole de todo el territorio nacional,

4. PROSPECCION SISMICA

Si por medio de cualquier fuente de energia son generadas ondas elásticas, estas se propagan en el medio a velocidades características; algunas son refractadas y otras son reflejadas, con esos conceptos fueron generados los métodos de refracción y reflexión sísmica.

Para la exploración geofísica aplicada solo se utilizan dos tipos de ondas elásticas:

Ondas de Compresión o longitudinales V_p , son ondas de cuerpo y se propagan a través de superficie y subsuelo, retornan por refracción y reflexión, presentan las mas altas velocidades.

Ondas de Corte V_s , son también ondas de cuerpo y se propagan perpendicular a las V_p , sus velocidades oscilan de 45% a 58% de las V_p de acuerdo si es material pobremente consolidado o compacto. No se propagan en el agua y aire.

En el subsuelo las ondas se propagan de acuerdo a las condiciones físicas, las velocidades de las ondas de compresion varian entre 300 y 7000 m/s. Las condiciones que pueden alterar la velocidad de propagación son: acidez de la roca, consolidación, compactación, humedad, fracturamiento, fallamiento, edad y profundidad.

La tabla 6 muestra los rangos de propagación de las ondas elásticas de compresión de algunos materiales del subsuelo, según Jakovsky (1950), los valores pueden variar dependiendo de las condiciones antes descritas.

material superficial alterado	305	-	610
grava y arena secas	468	-	915
arena humedad	610	-	1830
arcilla	915	-	2750
arenisca	1830	-	3970
lutita	2750	-	4270
caliza	2140	-	6100
granito	4580	-	5800
rocas metamórficas	3050	-	7020

4.1 SISMOLOGIA DE REFRACCION Esta tecnica mide la velocidad de compresión V_p de cada estrato, la cual es indicativa del tipo de material, presencia de agua subterránea, ocurrencia de fallas, fracturas y de la potencia de cada estrato. Provee de valores como densidad de la roca, grado de descomposición y de las propiedades dinámicas como son los módulos de Young, Rigidez Bulk y relación de Poisson.

4.1.1 EQUIPO BASICO Consta de fuente de energia, transductores electromecánicos, sismógrafo con registro, accesorios de tiempo y grabadora. Las ondas elásticas registradas forman un sismograma. Generalmente para geohidrología y geotecnia es suficiente un sismógrafo de 12 a 24 canales.

4.1.2 PROCEDIMIENTO DE CAMPO En el terreno se colocan geofonos tanto de componente horizontal como vertical, de acuerdo al objetivo del estudio (figura 4.1a). A diferentes distancias (si es sismógrafo de un solo canal) o en un punto de golpe de martillo es producida la onda elástica y es medido el tiempo que tarda en llegar la onda hasta los geofonos (figura 4.1b). La representación de datos es por medio de gráficas tiempo-distancia (dromocronicas) presentada en la figura 4.1c.

4.1.3 CALCULO DE LOS MODULOS ELASTICOS, VELOCIDADES Y ESPESORES

De las gráficas tiempo-distancia son cuantificadas las velocidades tal y como lo muestra la tabla 7 de interpretación, y con los valores de velocidad de propagación de las ondas de cuerpo compresional y corte interpretadas, los módulos elásticos dinámicos del medio son valuados "in situ". Las fórmulas que se dan a continuación están condicionadas a que el medio de propagación debe ser perfectamente elástico, o bien, que la deformación sea proporcional al esfuerzo. La densidad ρ puede ser medida en laboratorio, registros de densidad y gravimetría.

$$\nu = \frac{(V_p/V_s)^2 - 2}{2(V_p/V_s)^2 - 1} \quad \text{Relación de Poisson}$$

$$G = \rho V_s^2 \quad \text{Módulo de Rigidez}$$

$$E = 2G(1 + \nu) \quad \text{Módulo Elástico}$$

$$K = E/3(1 - 2\nu) \quad \text{Módulo de Bulk}$$

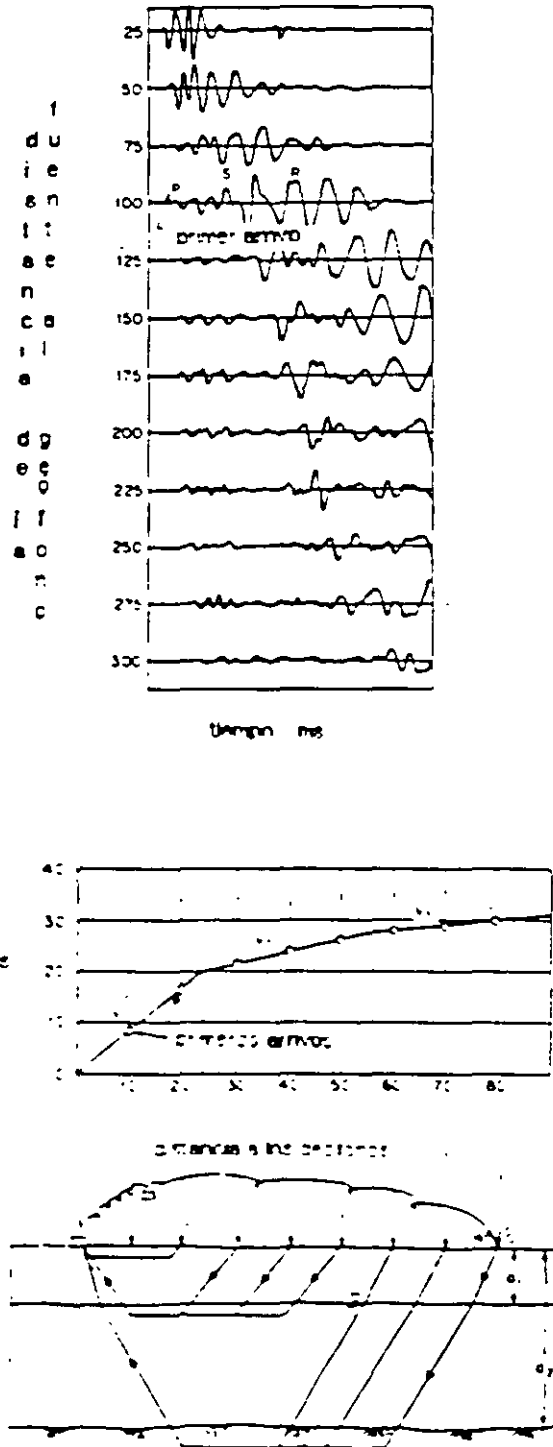


Figura 4 1a) Disposición del equipo, b) sismograma, c) grafica tiempo-distancia

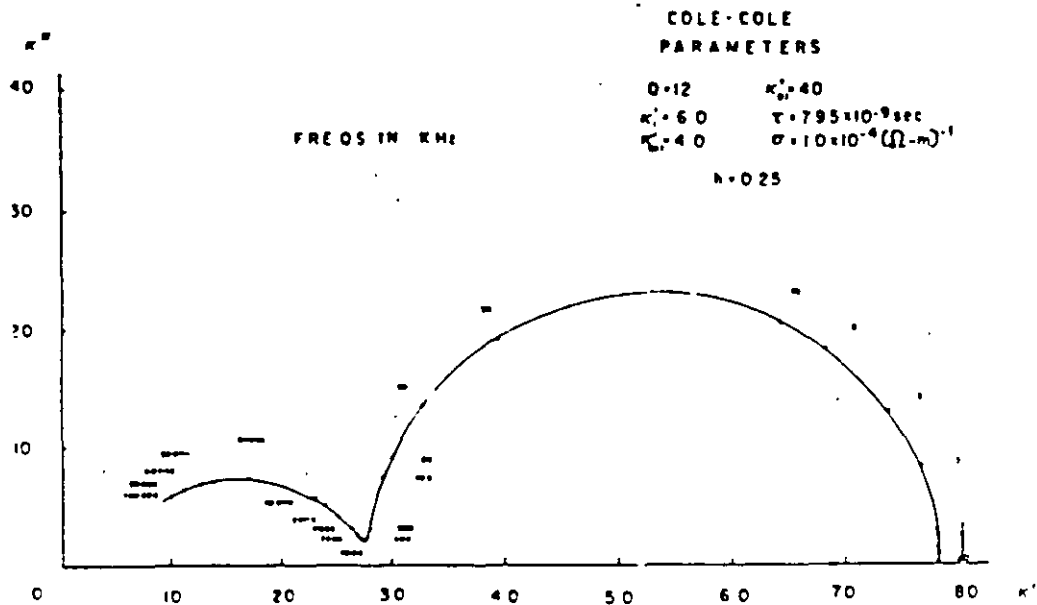


Figura 3.20 Gráfico de Cole-Cole para el modelo de dispersión dieléctrica.

3.4.3 TECNICAS DE MEDICION DE LA POLARIZACION INDUCIDA.

Tres diferentes técnicas de medida fueron desarrolladas, son:

FRECUENCIA VARIABLE. El efecto de polarización inducida se detecta como un decremento de la resistividad aparente al aumentar la frecuencia

DOMINIO DEL TIEMPO El efecto es detectado como un voltaje pequeño de decaimiento después de que una corriente continua se ha cesado

POLARIZACION ESPECTRAL En esta modalidad, el efecto se detecta como un retraso en la fase del voltaje de recepción respecto al de transmisión

La técnica de Frecuencia Variable y Polarización Espectral son las mejor definidas y con mas ventajas sobre el dominio de tiempo, por ello se hara mas énfasis en esta modalidad. Normalmente la polarización en Frecuencia Variable se mide como el porcentaje efecto de frecuencia aparente (PEFa), y se define por

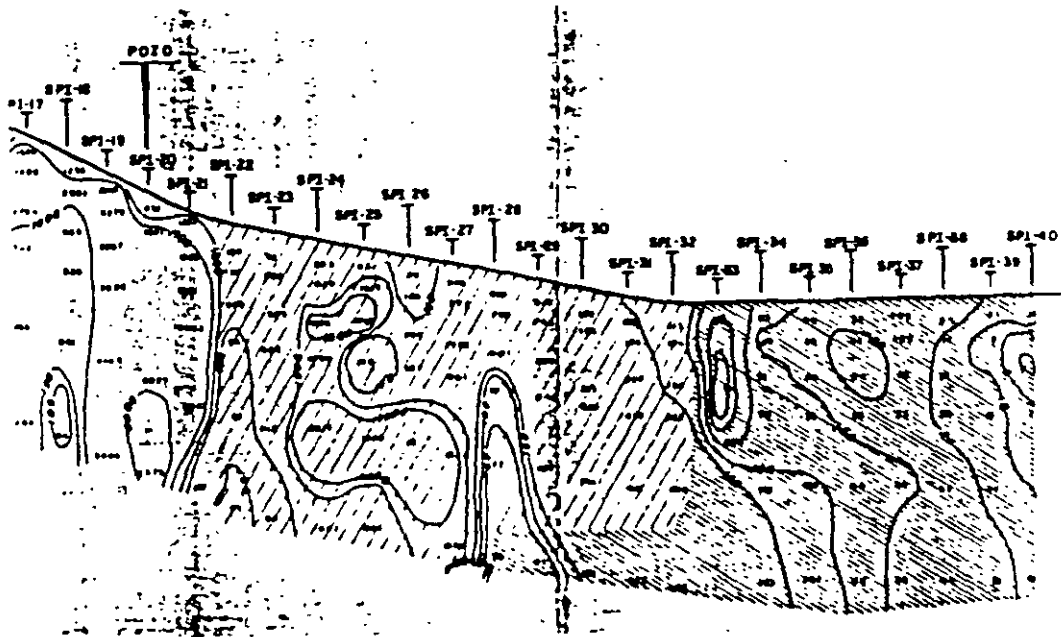
$$PEFa = 100(\rho_D - \rho_a) / \rho_a$$

en donde ρ_D es la resistividad a la frecuencia baja y ρ_a corresponde a la resistividad a la frecuencia alta. Con estos valores aparentes de polarización y de isoresistividad se formulan perfiles y mapas similares a los de la técnica del SEV

De acuerdo al objetivo del proyecto, las técnicas del perfilaje y sondeo vistas son aplicadas en PI, los conceptos de resistividad media cuadrática conducen a resultados mas confiables

3.4.4 EJEMPLOS DE APLICACION DE LA POLARIZACION INDUCIDA

Como ejemplos de aplicación de polarización inducida en estudios de contaminación, se presentan en las figuras 3.21a) una zona generadora de gas metano, b) zona de filtración de agua residual y a provocado "contra natura" la degradación química de adentro hacia afuera de la roca y c) el escape de agua rica en H_2SO_4 de una laguna neutralizadora y su lengüeta de avance



PERFIL DE PORCENTAJE EFECTO DE FRECUENCIA SECCION 3

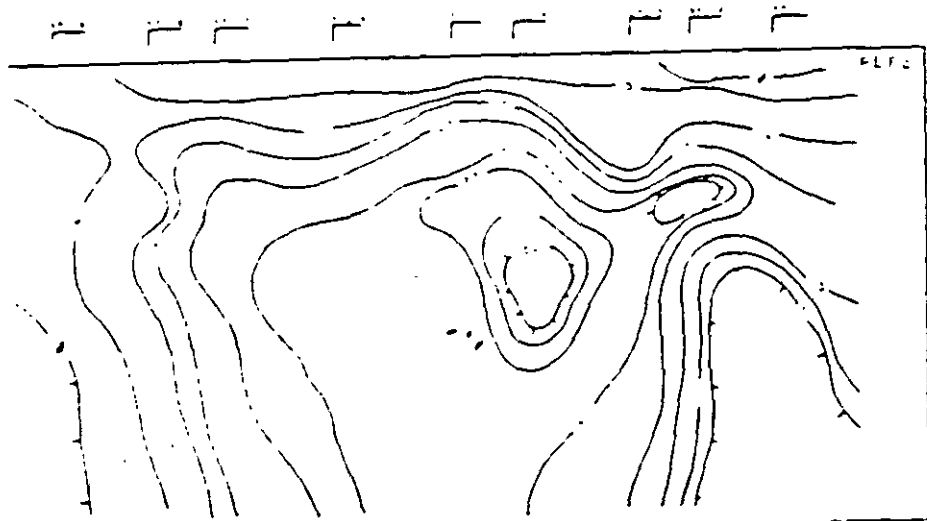
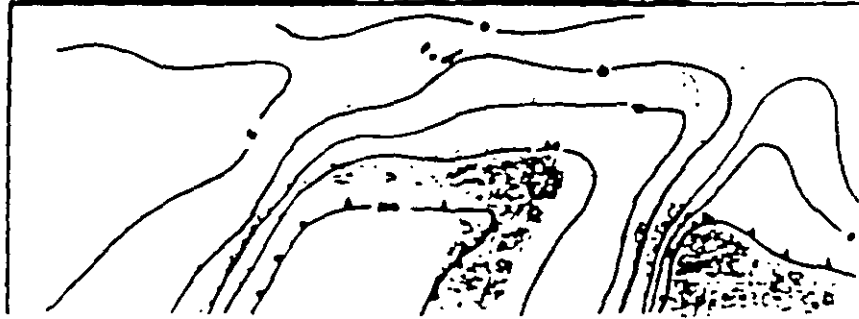


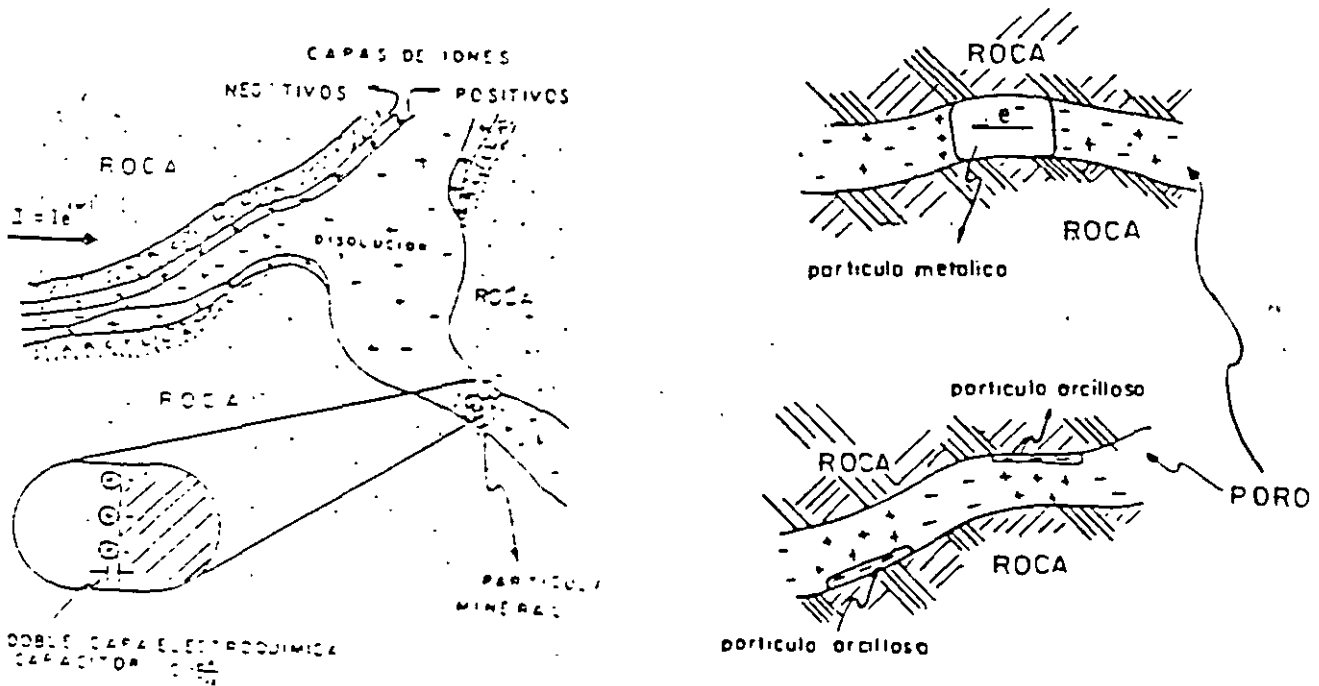
Figura 3 22a Pl en zona generadora de metano. b) percolacion de agua acida desde una alberca neutralizadora

3.4 POLARIZACION INDUCIDA (PI)

Los materiales que conforman el subsuelo están constituidos por minerales metálicos y no metálicos que independiente al tipo, provocan el fenómeno de polarización inducida.

3.4.1 CAUSAS DEL FENOMENO DE POLARIZACION INDUCIDA.

Dos tipos de polarización son reconocidas: la de Electrodo (PE) y Membrana (PM). La Polarización de Electrodo se produce al contacto de partículas minerales y un electrolito, en la interfase se produce una doble capa electroquímica (figura 3.17) que se comporta simil a un capacitor, el cual almacena energía. La conducción iónica en el electrolito cambia a electrónica en la partícula mineral. Las anomalías debidas a la polanzación de electrodo son de gran interés en minería.



Figuras 3.17 y 3.18a b: Doble capa electroquímica y Polarizaciones de Electrodo y Membrana.

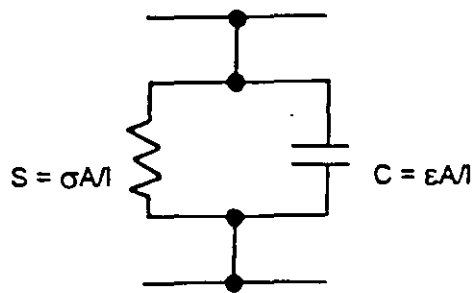
La Polarización de Membrana constituye el potencial de fondo o la polarización normal del medio y se puede observar aun en ausencia de conductores minerales. Este fenómeno se debe principalmente a la presencia de arcillas y derrames de líquidos tóxicos. La figura 3.18 ilustra esquemáticamente ambos tipos de polarización.

3.4.2 CONCEPTO REOLOGICO DEL SISTEMA

Dado que las propiedades eléctricas de cualquier material varían con la frecuencia (dependiendo de la condensador de la doble capa electroquímica); el modelo reológico para representar un volumen de suelo o roca es un circuito en paralelo compuesto de una resistencia y un capacitor, ambos dependientes de la frecuencia del campo eléctrico.

Los parámetros son: $C = \epsilon A/l$ (condensador) y $S = \sigma A/l$ (resistencia). A y l son la sección transversal y longitud de la muestra. ϵ y σ son la permitividad dieléctrica y conductividad del medio.

El circuito de la figura 3.19 constituye el modelo reológico de cualquier material polarizable.



$$Z = R + X$$

Z es la impedancia equivalente

R es $1/S$

es un número complejo V^{-1}

X es $1/\omega C$

ω es la frecuencia

Figura 3.19. Modelo físico para analizar cualquier material polarizable.

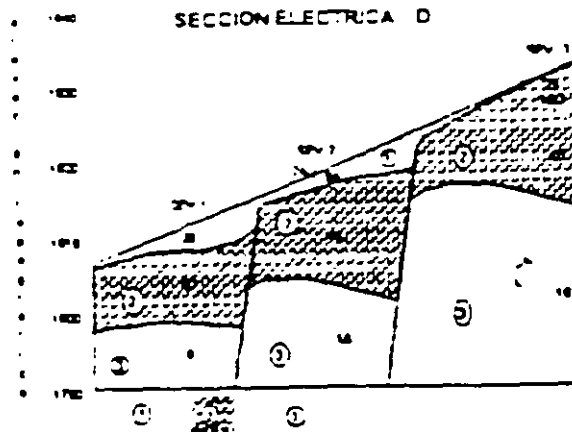
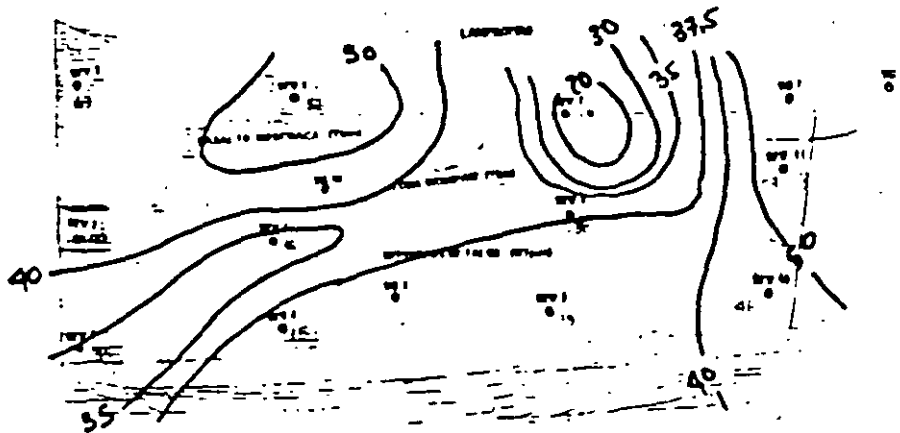
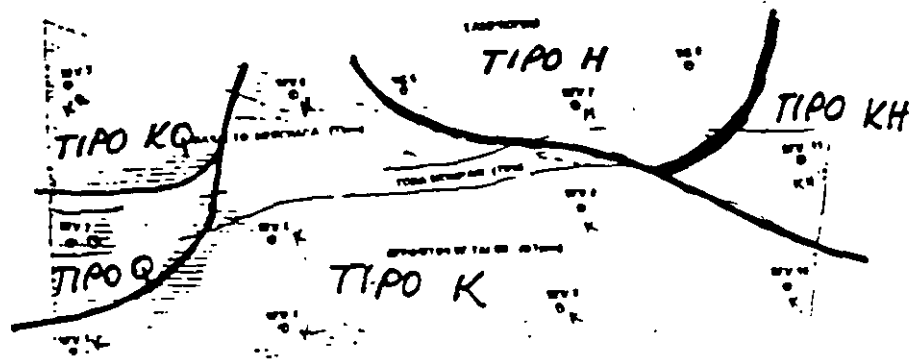
Para mostrar la dependencia existente entre la permitividad dieléctrica y la conductividad del medio, la figura 3.20 muestra el gráfico hecho por Cole-Cole, que representa el comportamiento de las propiedades eléctricas de un material en función de la frecuencia del campo de excitación y a nivel subatómico corresponde a la actitud del electrón bajo influencia de un campo eléctrico alterno. El modelo de dispersión dieléctrica de Cole-Cole tiene la forma

$$h(\omega) = R[1 - m[1 - 1/(1 + (\omega\tau)^c)]]$$

$h(\omega)$ es la función de transferencia después del análisis de Fourier, m es la cargabilidad del medio medida en función de los voltajes V_s ($t=0+$) y V_p ($t=0-$), τ es la constante de tiempo. La tabla 5 fue extraída del artículo de Pelton, Smith & Sill denominado Interpretation of complex and dielectric data (1983) y se muestran los modelos reológicos de dispersión más comunes.

CIRCUITOS Y LA DISPERSION DIELECTRICA			ASINTOTAS DE ϵ	
$\omega \rightarrow 0$		$\epsilon(\omega)$	$\omega \rightarrow 0$	$\omega \rightarrow \infty$
1	Circuito RC	$A \left[\frac{1}{1 + i\omega\tau} \right]$	ϵ_0	$\epsilon_0 - \epsilon_\infty$
2	Circuito RL	$A \left[\frac{i\omega L}{1 + i\omega L/R} \right]$	$\epsilon_0 - \epsilon_\infty$	ϵ_0
3	Cole-Cole	$A \left[1 - m \left(1 - \frac{1}{1 + (\omega\tau)^c} \right) \right]$	ϵ_0	$\epsilon_0 - m\epsilon_\infty$

Tabla 5 Reología de la Dispersión Dieléctrica



Figuras 3 15a, Mapa de curvas tipo. b, mapa de isoresistividades, c, perfil de isoresistividades; d, sección geoelectrica.

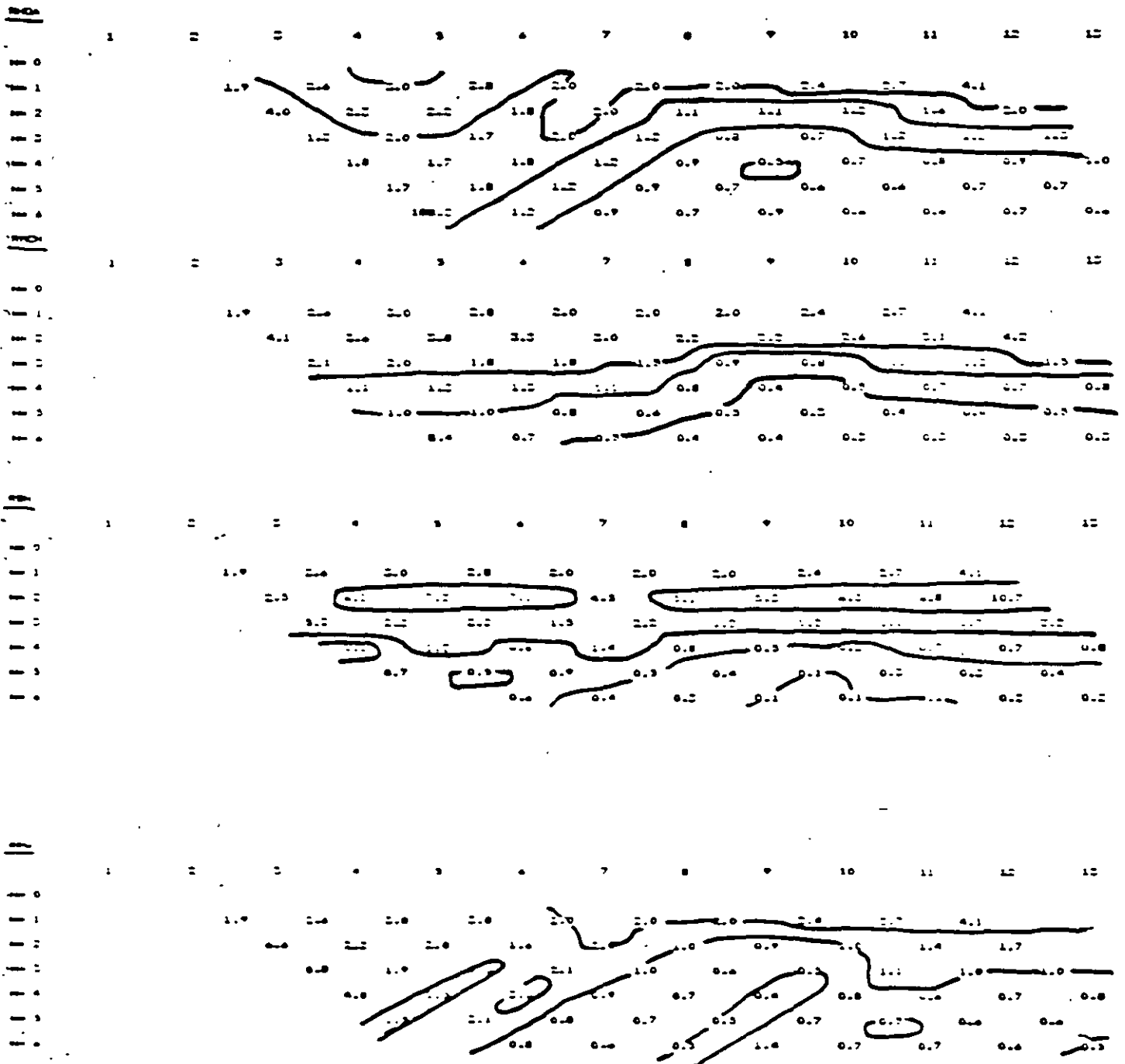


Figura 3 16 configuraciones de isoresistividades a) aparente, b) media cuadrática natural, c) sene natural y d) paralelo natural

3.3.8 LA PROFUNDIDAD DE INVESTIGACION EN LA PROSPECCION ELECTRICA.

La profundidad de investigación en cualquier método de resistividad en corriente continua fue definida por H. Evjen como la profundidad a la cual una delgada capa horizontal y paralela a la superficie del terreno contribuye a la máxima cantidad de señal medible en la superficie.

La profundidad de exploración no depende de la potencia de un equipo o de su sensibilidad, sino como que depende básicamente que los cuerpos en el subsuelo con fuerte contraste fuerte en cualquiera de las propiedades físicas mesurables.

E. Orrellana (1966) establece que: *lo importante en un equipo transmisor son los amperios que se puedan inyectar al terreno y no los kilovatios. Por ejemplo; si el generador es de 500 voltios de salida y la resistencia de contacto entre los electrodos y el terreno es de 500 ohms, la intensidad de corriente máxima que se puede poner en el subsuelo es de 1 amperio, independientemente que el generador sea de 10, 20, 100 o 1000 kilowats. En resumen; NO IMPORTA LA POTENCIA DEL GENERADOR, LO PRINCIPAL ES CUANTA CORRIENTE DEJA PASAR LA RESISTENCIA DE CONTACTO.*

Para garantizar la buena ejecución de una campaña geoelectrica es mejor asegurarse que el receptor sea de excelente calidad, alta impedancia de entrada, buena sensibilidad, acondicionado con filtros para erradicar los ruidos telúncos, culturales, etc.

En la figura 3.13 se aprecia la curva de resistividad aparente en la que la corriente máxima inyectada fue de 2 miliamperos, se realizó la perforación resultando el corte geoelectcnco muy apegado a la estratigrafía interpretada por el geólogo.

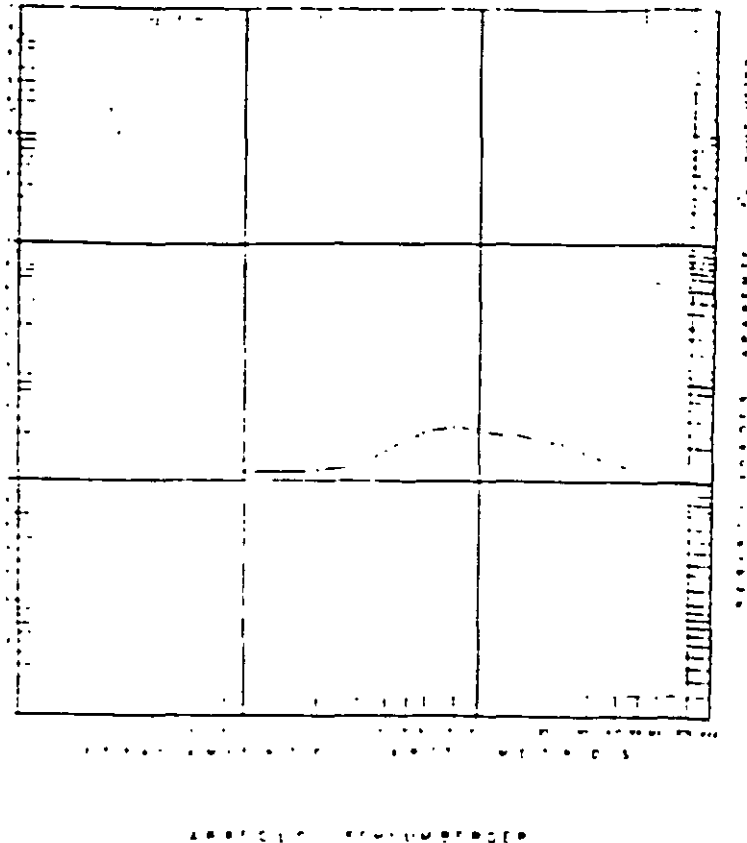


Figura 3.13 Curva de resistividad aparente con $MN/2=15$ m e $I=2$ ma.

3.3.9 RESISTIVIDAD MEDIA CUADRATICA NATURAL

La prospección eléctrica presenta el problema de la ambigüedad en la interpretación, esto es: a un corte geoelectrico le corresponde una sola curva de resistividad aparente, pero, a una curva de resistividad aparente la satisfacen varios cortes geoelectricos. Bames (1970) y Hernández M., G., (1983) supusieron al medio como un tensor de resistividades y descompusieron a la resistividad característica en tres componentes básicas: resistencias sene, paralelo y media natural. Si se hace el análisis para el caso mas sencillo en el arreglo electródico Wenner, se recordará que: $\rho_w = (\Delta V/I)2\pi a \cong Rk$, ρ_w resistividad aparente (ohms-metro), a es el espaciamiento electródico $AB/3$, k factor geométrico que depende de A, B, M, N y $R = \Delta V/I$ o resistencia eléctrica que depende de las condiciones del terreno y posición de los electrodos.

En un SEV, la estación inicial de medida es relativamente pequeña y se puede asumir que la resistividad aparente es igual a la resistividad característica del medio. La segunda estación de medida corresponde a una abertura mayor de los electrodos de comente y la lectura de R es generalmente menor que la primera posición. El intervalo de cada una de estas zonas geoelectricas será para la primera k_1 , para la segunda k_2-k_1 en el sistema Wenner. Los indices 1, 2 indican la estación de medida de los electrodos. Estas zonas con resistencias características diferentes pueden considerarse como un sistema de resistencias conectadas en sene y paralelo, la resistencia de cada zona geoelectrica se considera con valor medio geométrico, así, tomando únicamente las resistencias en paralelo se tiene:

$1/R_{12} = 1/R_1 + 1/R_2$, R_{2p} es la resistencia característica de la segunda zona cuyo valor es $R_{2p} = (R_1 R_2)/(R_1 - R_2)$ segun Bames.

La equivalente resistencia en sene fue dada por Hernandez M., como $R_{12} = R_1 + R_2$ de igual manera siendo R_{2s} la resistencia característica de las dos zonas

La resistencia media característica R_{mc} de cada zona valdrá $R_{mc} = (R_{2p}/R_{2s})^{1/2}$. En medios estratificados el espesor E puede ser obtenido de la curva de DZ , empleando las resistividades medias calculadas

3.3 10 EJEMPLOS DE APLICACIONES DEL SEV

A continuacion se presentan algunos ejemplos de interpretacion cualitativa y cuantitativa

3 3 10a INTERPRETACION CUALITATIVA Y CUANTITATIVA. La figura 3 14a muestra el mapa de curvas tipo, la 3 14b el mapa de isoresistividades aparentes, la 3 14c el perfil de isoresistividades y la 3 14d el corte geoelectrico interpretado. La exploracion se llevo a cabo donde en la Microfosa Menchaca, Queretaro, Qro. En una seccion geologica estructural en SLP fue reconocida por medio de resistividad, donde fueron interpretadas las isoresistividades mostradas en la figura 3 15

3 3 10b RESISTIVIDAD MEDIA CUADRATICA. Con objeto de mapear la existencia de una falla de tension por compactacion del acuífero (Celaya-Gto), se realizo la seccion geoelectrica mostrada en la figura 3 16, en ella son apreciadas las configuraciones de isoresistividades: a) aparente b) media cuadratica natural, c) sene natural y d) paralelo natural

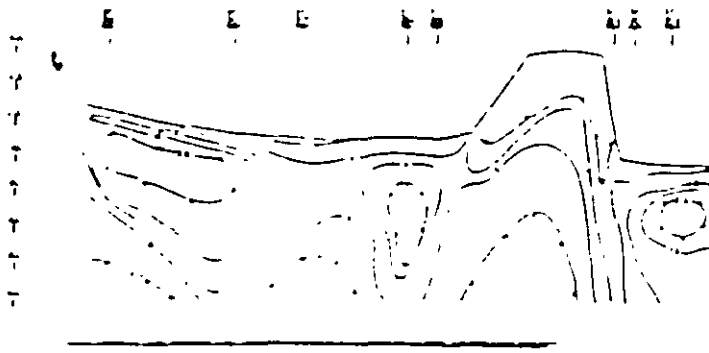


Figura 3 15 Secciones de isoresistividades en Ocampo-Nuevo Morelos, SLP

La figura 3.11 presenta los diferentes tipos de curvas, existen las combinaciones lógicas como HA, KO, etc..., pero no como aquellas que se indican a continuación: AQ, QK, KAQ.

La automatización para la interpretación de los SEV, fue formulada por Zohdy (1974) (1975), el proceso envuelve dos pasos para cada espaciamento eléctrico AB/2, AB/3, nx etc.; primero se calcula la función Kernel T(x) para el corte geoelectrico, en seguida es convolucionada con el filtro de Gosh para el arreglo dado para obtener la curva de resistividad aparente:

$$\rho = \sum_{j=-3}^5 b_j T_{m-j}(x)$$

Σ sumatoria
 b coeficiente del filtro de Gosh
 j
 T función Kernel discreta
 m-j

En el espacio de computadoras, se presenta un programa para la interpretación cuantitativa de los SEV, cortesía de Bison y Geoingenieria Alfven

3.3.7 EL EFECTO "SKIN" EN LA EXPLORACION GEOELECTRICA.

En la actualidad se continúa con el empleo de equipos de corriente alterna para la realización de medidas de resistividad en corriente continua y la interpretación se efectúa en el mismo supuesto. Las corrientes alternas en Dominio de Frecuencia o Tiempo se amortiguan con la profundidad más rápido que la directa debido al Efecto Skin. Es más notable cuanto la frecuencia es alta y la roca huésped muy conductora.

Esto hace que las curvas de resistividad aparente obtenidas de formaciones homogéneas de baja resistividad tales como arcillas, evaporitas, depósitos lacustres, termalismo, margas etc..., ascienda a partir de un valor relativamente pequeño de espaciamento, indicando la presencia de un estrato resistivo o conductor que no existe en realidad a esa profundidad. La figura 3.12 muestra ejemplos de SEV influenciados por el efecto Skin, para un estrato resistivo y conductor.

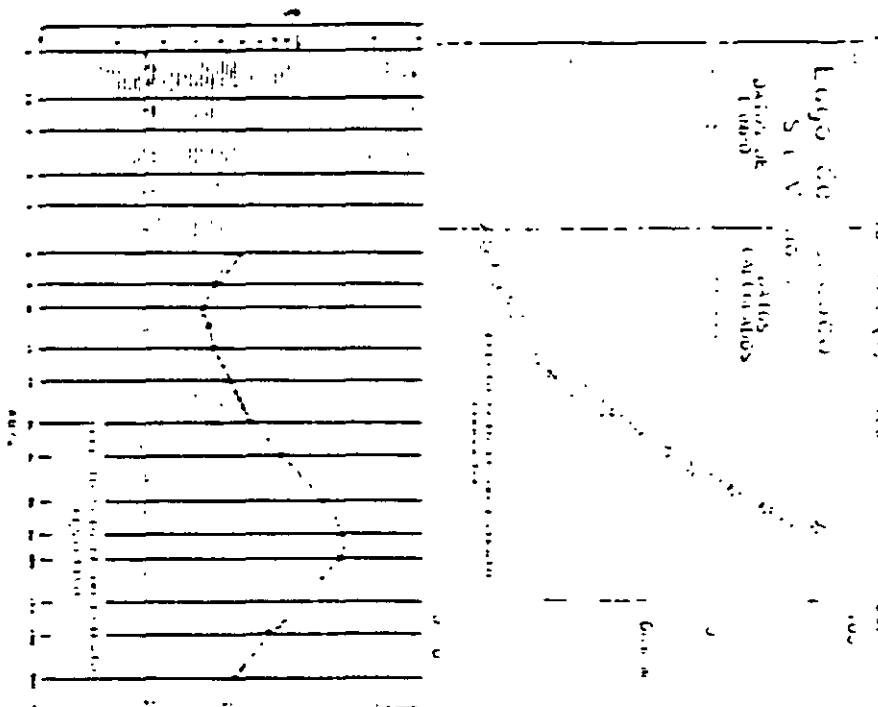


Figura 3.12 Influencia del efecto Skin para estratos conductor (Exvaso de Texcoco) y resistivo (Oaxaca)

3.3.4 ARREGLOS ELECTRODICOS.

Durante un sondeo se trata de medir la resistividad aparente de las distintas capas como una función de la profundidad. Para la práctica del sondeo eléctrico vertical (SEV) son empleados dos arreglos básicos: el Schlumberger y el Wenner. Ambos arreglos consisten de cuatro electrodos colineales y simétricos respecto a un centro "O". Los electrodos de corriente o emisión se denominan A y B, los de potencial o recepción M y N.

En el arreglo Schlumberger los electrodos M,N permanecen fijos mientras que la distancia entre los electrodos de corriente A, B se incrementa paulatinamente, de igual manera la profundidad de exploración. La expresión para el cálculo de la resistividad aparente en el sondeo Schlumberger es:

$$\rho_{sch} = \frac{\Delta V \pi [(L/a)^2 - 0.25]}{I}$$

ρ_{sch} resistividad aparente (ohms-metro)
 ΔV diferencia de potencial medido en M,N
 I corriente eléctrica a través de A,B
 L distancia media entre AB
 a distancia entre MN

En el arreglo Wenner la distancia entre los electrodos debe ser igual, por lo que se debe cumplir la relación AB/3, distancia que corresponde a la profundidad teórica explorada. Al tener que cumplir la relación AB/3, es obligado mover los electrodos de potencial al vanar los de corriente. La expresión para el cálculo de la resistividad para el arreglo Wenner es:

$$\rho_w = \frac{(\Delta V/I) 2\pi a}{a}$$

ρ_w resistividad aparente (ohms-metro)
 a espaciamiento electrodico AB/3

El arreglo Wenner ha caído en desuso debido que requiere del doble de personal, es lento el trabajo de campo, es muy susceptible a las variaciones laterales de resistividad y efectos de electrodo.

Las ventajas del arreglo Schlumberger es la no influencia en por anisotropía, rapidez y requiere mínimo de personal.

Cuando se requiere conocer como varia una formación geológica horizontalmente se recurre al perfilaje; y los arreglos de mayor demanda son los Dipolo

En el arreglo Dipolo-Dipolo son hincados cuatro electrodos alineados y agrupados en dos dipolos denominados de potencial y corriente con una distancia electrodica x y separados submúltiplos de n veces x. La profundidad de exploración se regula por "n" y a esta posición se asocian los valores de resistividad. La expresión para el cálculo de la resistividad empleando el arreglo dipolo-dipolo es

$$\rho_{dd} = \frac{(\Delta V/I) 2\pi x \{1/n - 2/(n+1) + 1/(n+2)\}}{n}$$

ρ_{dd} resistividad aparente (ohms-metro)
 x espacio entre dipolos
 n múltiplos enteros de x

La figura 3.8 presenta los diferentes arreglos electrodicos empleados en el sondeo y perfilaje, así como los puntos de atribución para las medidas de resistividad

3.3.5 REPRESENTACION DE DATOS Y TIPOS DE CURVAS DE RESISTIVIDAD

Los datos de resistividad aparente son representados en forma de gráficas con ejes perpendiculares bilogarithmicos, se denomina "curva de resistividad aparente". En la figura 3.9 se aprecia una curva de resistividad aparente en la que se observan los traslapes efectuados para diferentes aberturas de M, N y el suavizamiento efectuado para su interpretación analítica después de H. M. Mooney (1980)

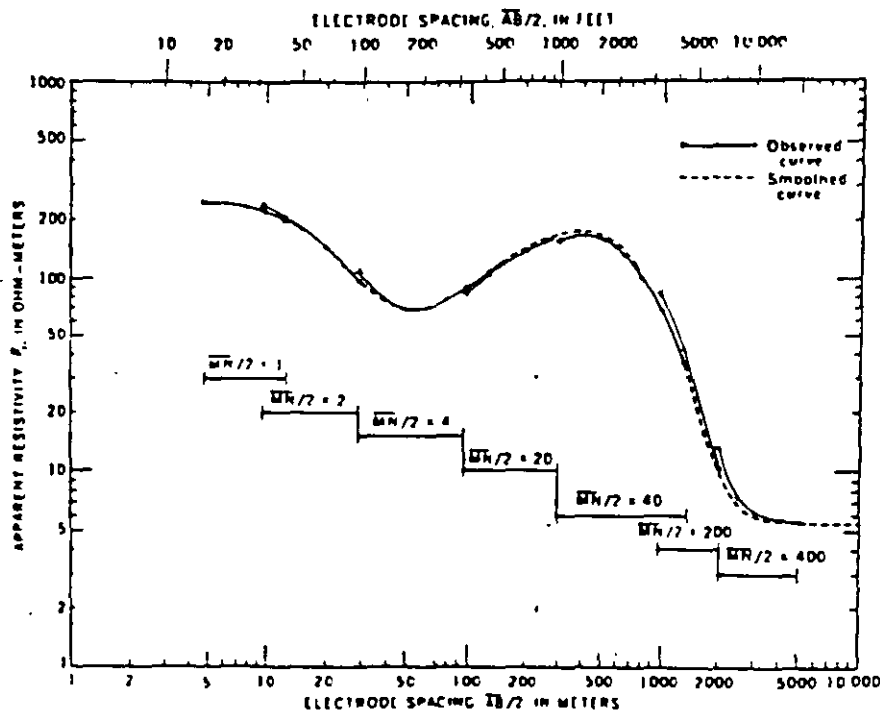


Figura 2.8 Curva de resistividad aparente y suavización después de H. M. Mooney (1960)

Figura 3.9 Curva de resistividad aparente y suavización, H. M. Mooney (1980)

3.3.6 INTERPRETACION

Los datos de resistividad aparente obtenidos de los SEV, son interpretados para conocer el corte geoelectrico y su equivalencia geologica. Los metodos de interpretacion son divididos en Cualitativo o Empirico y Cuantitativo.

3.3.6a INTERPRETACION CUANTITATIVA O EMPIRICA. Tiene por objeto obtener una primera aproximación de la distribución de las estructuras geológicas en el subsuelo, no se determinan valores absolutos, sino relaciones o rangos. Las representaciones más comunes son: mapas de curvas tipo, mapas de isoresistividades y perfiles de isoresistividad.

3.3.6b INTERPRETACION CUANTITATIVA. Consiste en evaluar la profundidad, espesor y resistividad verdaderos de cada una de las capas interpretadas. Los valores resultantes son constitutivos del corte geoelectrico. Mediante la técnica de filtrado desarrollada principalmente por D. Gosh (1971) y O. Koefoed (1979) es hecha la interpretación.

En el subsuelo se pueden presentar cortes geoelectricos sencillos o muy complejos. Los cortes sencillos son aquellos que presentan dos capas y los complejos tres o más capas. En la figura 3.10 son mostrados los diferentes cortes geoelectricos. De acuerdo a los valores de resistividad de cada una de las capas se puede clasificar en dos grandes grupos.

el primer límite establece que el potencial tendrá un valor infinito entre más corta sea la distancia entre la fuente y el receptor, y el segundo que cuando la distancia sea infinita el potencial tiende a cero.

Suponiendo ahora que existen dos fuentes denominadas A,B y considerando los potenciales respecto a dos puntos conocidos como M, N según se muestra en el cuadrupolo de la figura 3.7; el potencial queda expresado como:

$V (M,N) = \rho I \{ [1/AM - 1/AN - 1/BN + 1/BN] \}$ los términos entre paréntesis definen el factor geométrico y depende del arreglo electrodo empleado.



Figura 3.7 Cuadrupolo característico para medida de resistividad de la tierra.

En la técnica del Sondeo Eléctrico Vertical (SEV) el campo es función directa del valor de resistividad y función inversa de "r"; para un medio estratificado la profundidad de exploración depende primordialmente del contraste de resistividades, espaciamiento electrodo y sensibilidad del aparato receptor.

Para los espaciamientos largos el potencial tenderá a un valor pequeño, casi imperceptible para la sensibilidad del receptor, pero su manejo depende del operador y con tan solo aumentar el espaciamiento entre los electrodos de potencial (cuidando la anisotropía) o incrementar al paso siguiente de la intensidad de corriente, el voltaje aumentará proporcional a cualquiera de estos cambios.

3.3.3 PRACTICA DEL METODO ELECTRICO

Existen dos tipos básicos de procedimiento de campo, que se escogen de acuerdo a los objetivos de la exploración, estos son

1) SONDEO DE RESISTIVIDAD El centro del arreglo del sondeo permanece fijo y el intervalo del espaciamiento es cambiado. La profundidad de exploración se incrementa conforme aumenta la distancia entre los electrodos. En resumen durante un sondeo se conoce como varía la resistividad con la profundidad. Figura 3.8a

2) PERFIL DE RESISTIVIDAD O CALICATAS ELECTRICAS En la práctica del perfilaje o calicateo el centro del arreglo se cambia en tanto que las distancias de los electrodos en el arreglo permanecen fijas. La profundidad de exploración permanece constante es determinada la variación horizontal de la resistividad. Figura 3.8b

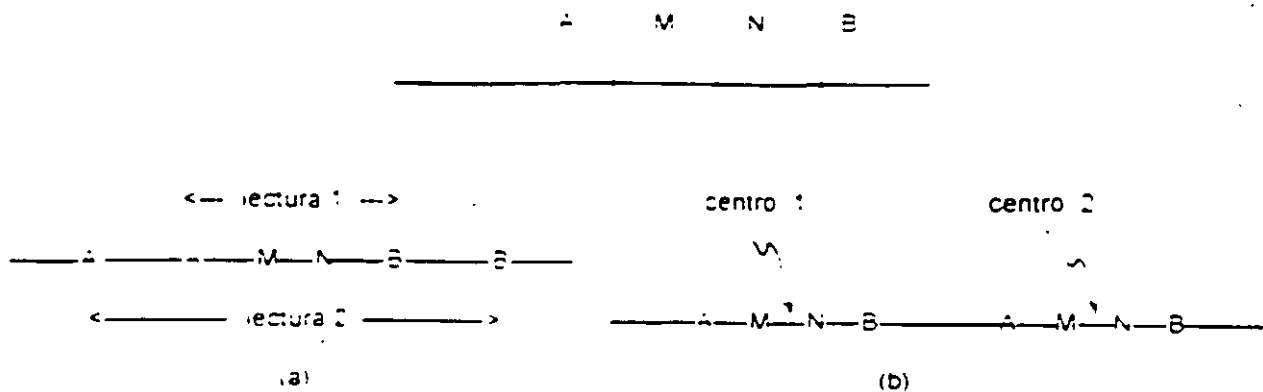


Figura 3.8a: Sondeo eléctrico b) calicata o perfilaje eléctrico.

el primer límite establece que el potencial tendrá un valor infinito entre más corta sea la distancia entre la fuente y el receptor, y el segundo que cuando la distancia sea infinita el potencial tiende a cero.

Suponiendo ahora que existen dos fuentes denominadas A,B y considerando los potenciales respecto a dos puntos conocidos como M, N según se muestra en el cuadrípolo de la figura 3.7; el potencial queda expresado como:

$V(M,N) = \rho I \{ [1/AM - 1/AN - 1/BN + 1/BN] \}$ los términos entre paréntesis definen el factor geométrico y depende del arreglo electródico empleado.

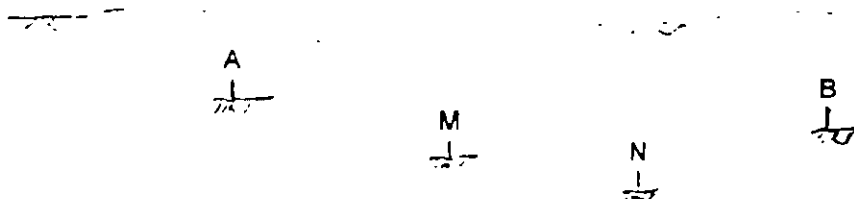


Figura 3.7 Cuadrípulo característico para medida de resistividad de la tierra.

En la técnica del Sondeo Eléctrico Vertical (SEV) el campo es función directa del valor de resistividad y función inversa de "r"; para un medio estratificado la profundidad de exploración depende primordialmente del contraste de resistividades, espaciamiento electródico y sensibilidad del aparato receptor.

Para los espaciamientos largos el potencial tenderá a un valor pequeño, casi imperceptible para la sensibilidad del receptor, pero su manejo depende del operador y con tan solo aumentar el espaciamiento entre los electrodos de potencial (cuidando la anisotropía) o incrementar al paso siguiente de la intensidad de corriente, el voltaje aumentará proporcional a cualquiera de estos cambios

3.3.3 PRACTICA DEL METODO ELECTRICO.

Existen dos tipos básicos de procedimiento de campo, que se escogen de acuerdo a los objetivos de la exploración, estos son:

1) SONDEO DE RESISTIVIDAD El centro del arreglo del sondeo permanece fijo y el intervalo del espaciamiento es cambiado. La profundidad de exploración se incrementa conforme aumenta la distancia entre los electrodos. En resumen, durante un sondeo, se conoce como varía la resistividad con la profundidad. Figura 3.8a

b) PERFIL DE RESISTIVIDAD O CALICATAS ELECTRICAS En la práctica del perfilaje o calicateo el centro del arreglo se cambia, en tanto que las distancias de los electrodos en el arreglo permanecen fijas. La profundidad de exploración permanece constante es determinada la variación horizontal de la resistividad. Figura 3.8b

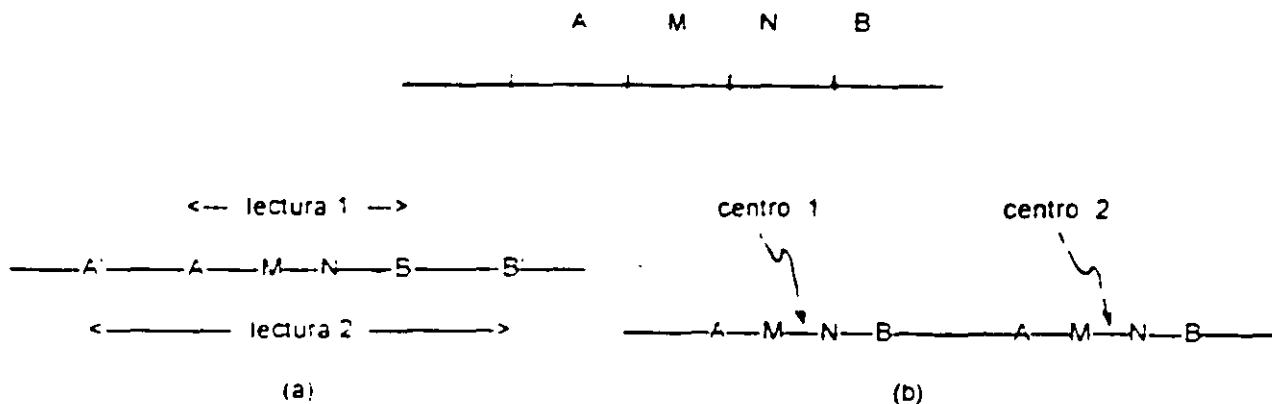


Figura 3.8a) Sondeo eléctrico. b)calicata o perfilaje eléctrico.

3.3.1 RESISTIVIDADES DE ALGUNAS FORMACIONES GEOLOGICAS.

La Tabla 4 muestra los márgenes usuales de variación de las aguas y otros tipos de material que conforman el subsuelo.

Tabla 4 Rangos usuales de variación de diferentes tipos de agua y rocas según Telford, et al, 1975.	
TIPO DE AGUA	RESISTIVIDAD (ohms-metro)
METEORICA DE PRECIPITACION	30 - 1000
SUPERFICAL EN DISTRITOS DE ROCAS IGNEAS	30 - 500
SUPERFICIAL EN DISTRITOS DE ROCAS SEDIMENTARIAS	10 - 100
SUBTERRANEA EN DISTRITOS DE ROCAS IGNEAS	30 - 150
SUBTERRANEA EN DISTRITOS DE ROCAS SEDIMENTARIAS	>1
MAR	=0.2
POTABLE (0.25% MAXIMO DE STD)	>1.8
IRRIGACION Y ALMACENAJE (0.7 MAXIMO DE STD)	>0.7

Cabe observar que los valores antes señalados pueden vanar desde unos cuantos ohms hasta cientos por arriba o debajo dependiendo de la alteración, fracturación, saturación, iones en solución, temperatura, sales, porosidad, compacidad etc

3.3.2 ECUACIONES BASICAS.

Considerando una fuente puntual A situada en un plano que divide un perfecto aislador de extensión semi-infinito, isotropico homogéneo de resistividad ρ , según la figura 3.6 y recordando las ecuaciones de R y ρ , se tiene que el potencial V en un punto de observación M, queda expresado como, $V(M) @ \rho I / (2\pi r)$, si $\rho I / 2\pi = 1$, entonces $V(M) @ 1/r$

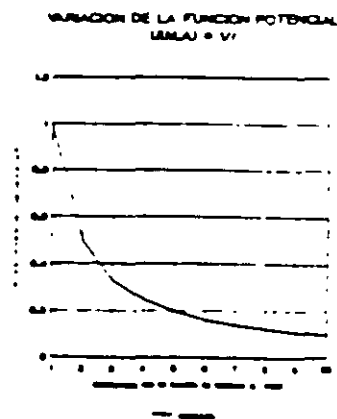


Figura 3.6a Semiespacio de resistividad ρ distancia r entre la fuente y el punto de medición, b variación del potencial V(M), en función de r. Utilizando los límites en la expresión $V(M) @ 1/r$ para evaluar el comportamiento del potencial se tiene

cuando $r \rightarrow 0$ $V \rightarrow \infty$ y $r \rightarrow \infty$ $V \rightarrow 0$

el primer límite establece que el potencial tendrá un valor infinito entre más corta sea la distancia entre la fuente y el receptor, y el segundo que cuando la distancia sea infinita el potencial tiende a cero.

Suponiendo ahora que existen dos fuentes denominadas A,B y considerando los potenciales respecto a dos puntos conocidos como M, N según se muestra en el cuadrupolo de la figura 3.7; el potencial queda expresado como:

$V(M,N) = \rho I \{ [1/AM - 1/AN - 1/BN + 1/BN] \}$ los términos entre paréntesis definen el factor geométrico y depende del arreglo electrodo empleado.

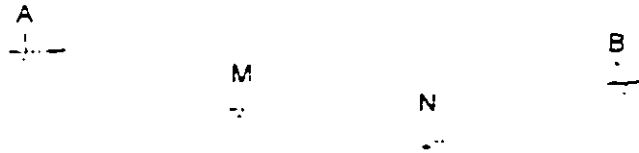


Figura 3.7 Cuadrupolo característico para medida de resistividad de la tierra.

En la técnica del Sondeo Eléctrico Vertical (SEV) el campo es función directa del valor de resistividad y función inversa de "r", para un medio estratificado la profundidad de exploración depende primordialmente del contraste de resistividades, espaciamiento electrodo y sensibilidad del aparato receptor.

Para los espaciamientos largos el potencial tenderá a un valor pequeño, casi imperceptible para la sensibilidad del receptor, pero su manejo depende del operador y con tan solo aumentar el espaciamiento entre los electrodos de potencial (cuidando la anisotropía) o incrementar al paso siguiente de la intensidad de corriente, el voltaje aumentará proporcional a cualquiera de estos cambios.

3.3.3 PRACTICA DEL METODO ELECTRICO

Existen dos tipos básicos de procedimiento de campo, que se escogen de acuerdo a los objetivos de la exploración, estos son:

1) SONDEO DE RESISTIVIDAD. El centro del arreglo del sondeo permanece fijo y el intervalo del espaciamiento es cambiado. La profundidad de exploración se incrementa conforme aumenta la distancia entre los electrodos. En resumen, durante un sondeo, se conoce como varía la resistividad con la profundidad. Figura 3.8a

2) PERFIL DE RESISTIVIDAD O CALICATAS ELECTRICAS. En la práctica del perfilaje o calicateo el centro del arreglo se cambia, en tanto que las distancias de los electrodos en el arreglo permanecen fijas. La profundidad de exploración permanece constante, es determinada la variación horizontal de la resistividad. Figura 3.8b

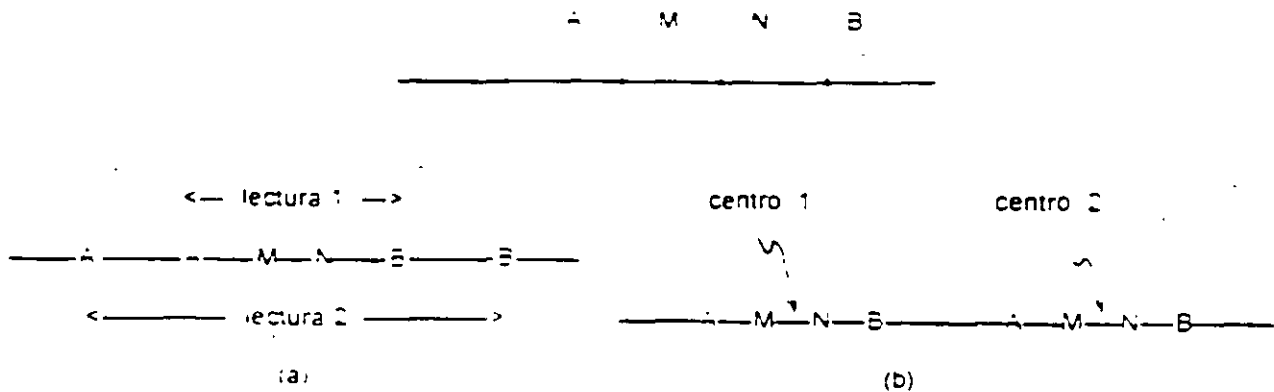
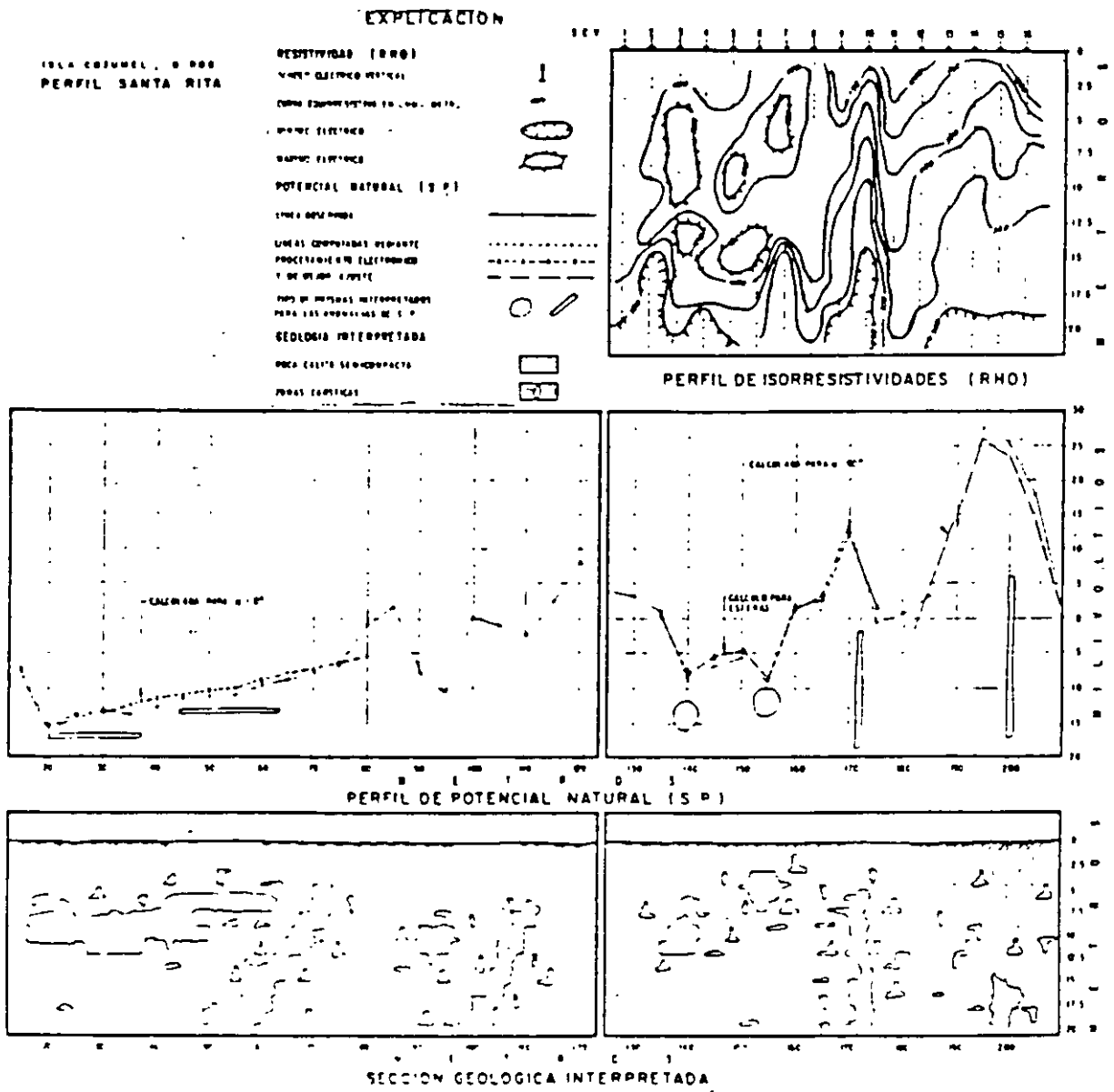


Figura 3.8a. Sondeo eléctrico (b) calicata o perfilaje eléctrico



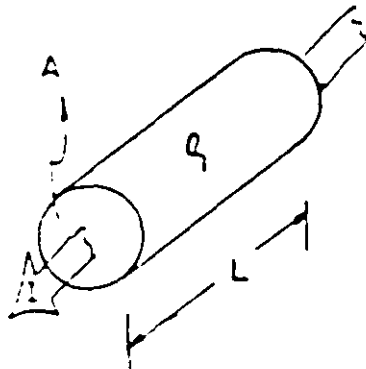
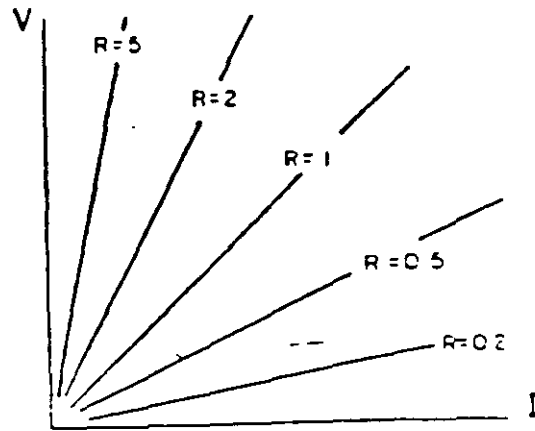
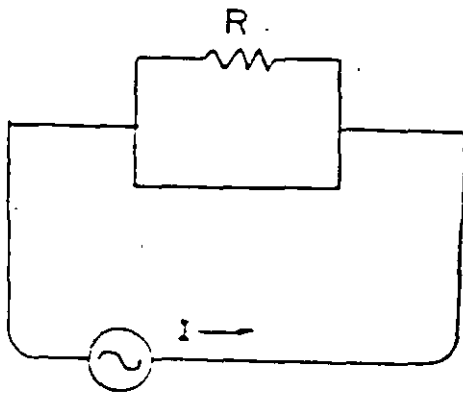
Figuras 3.3 y 3.4 Potencial Natural en Cozumel, QR. y en la zona carbonera de Piedras Negras, Coah.

3.3 RESISTENCIA Y RESISTIVIDAD.

La resistencia eléctrica R está definida por la Ley de Ohm en la expresión: $R= V/I$, donde V es la diferencia de potencial V_1-V_2 en los bornes del circuito (figura 3.5a), I corresponde a la corriente que circula en el circuito. El circuito de la figura 3.5a representa en corriente continua la simulación de una resistencia eléctrica, al hacer un análisis de la ecuación 1 se manifiesta la relación lineal entre el voltaje V y la corriente I , la pendiente de la recta representa el valor de la resistencia eléctrica R en unidades de ohms. La figura 3.5b presenta gráficamente la variación de R en función de V e I . Del análisis anterior se deduce que al aumentar la intensidad de corriente no variará el valor de R , solamente se hace mas intenso el voltaje V .

Los materiales presentan resistividades características de acuerdo a su constitución. Si se considera la muestra de un material cualquiera de forma geométrica definida según figura 3.5c y se aplica una diferencia de potencial ΔV , causará un flujo de corriente I , cuya resistencia eléctrica es proporcional a la longitud L de la muestra e inversamente proporcional a la sección transversal A . Depende fundamentalmente de su resistividad característica ρ quedando finalmente expresada como: $R=\rho L/A$.

A ρ se le conoce como resistividad eléctrica característica, se hace notar que es una propiedad de Bulk o masa y es análoga a la densidad.



Figuras 3.5a Modelo reológico de la resistencia eléctrica de una roca. b Variación de R en función de V e I , c) Resistencia y resistividad eléctrica.

3.2.2 POTENCIALES DE FILTRACION. Schlumberger lo llamo electrofiltración, y es el campo eléctrico producido por el ascenso de electrolitos en los poros del suelo y rocas. El potencial de electrofiltración está dado por:

$$E = \frac{\rho \epsilon \eta}{4 \pi \mu} \Delta P$$

donde ρ es la resistividad del medio, ϵ es la constante dieléctrica, η es el potencial zeta de la doble capa electroquímica, ΔP caída de presión a lo largo de camino del flujo y μ es la viscosidad del fluido.

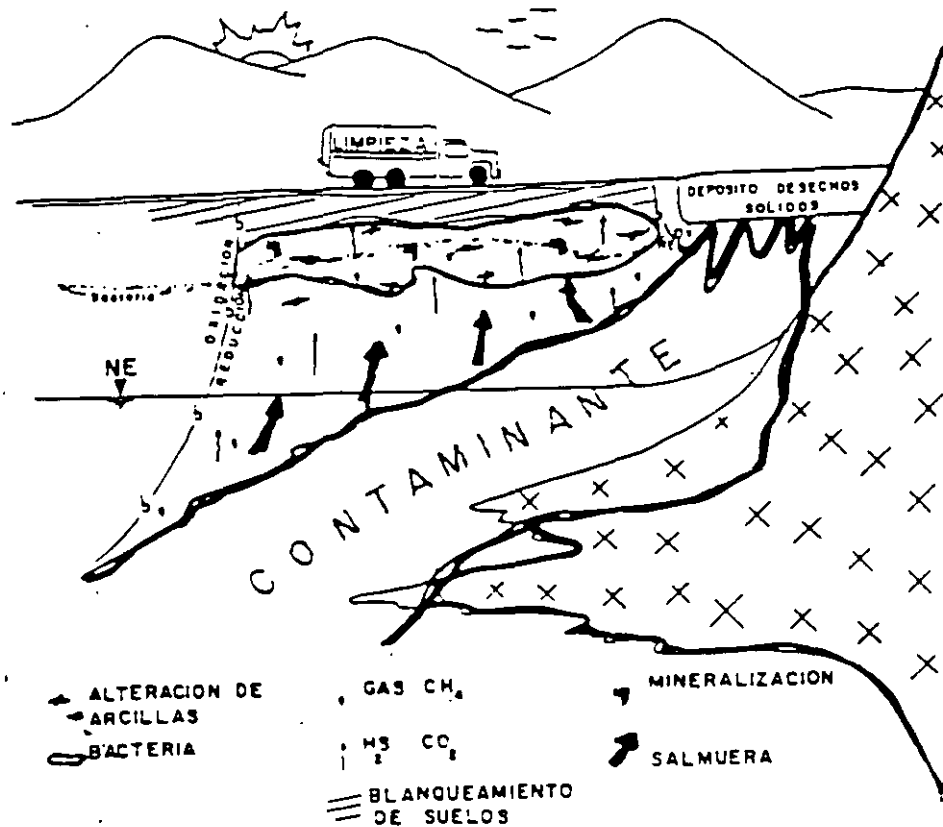


Figura 3 1 Mecanismo del potencial natural en zonas alteradas.

Son producidos por filtración de las aguas de lluvia y ascenso de la humedad por capilaridad

3 2 4 POTENCIALES VARIABLES CON EL TIEMPO Y TEMPERATURA Se debe a que si un gradiente de temperatura es sostenido constante en una roca o material geológico, aparecerá un gradiente de voltaje conocido como Efecto Soret

3 2.5 EQUIPO BASICO.

El equipo necesario para los levantamientos de potencial natural consiste en un potenciómetro de alta impedancia de entrada, cables, electrodos impolarizables tales como tazas de porcelana y sulfato de cobre.

3 2.6 PROCEDIMIENTOS DE CAMPO

Dos métodos son los clásicos, de potenciales y de gradientes

La técnica de Potenciales consiste en evaluar directamente la diferencia de potencial en varias estaciones respecto a un punto de referencia. Un electrodo permanece fijo y otro va a cada estación previamente

estaciones para hacer la medida. Se trazan varios perfiles que se unen por una línea perpendicular a ellos, figura 3.2a. La diferencia de potencial se escribe para cada punto con su signo respectivo.

El método de gradientes mide la diferencia de potencial sucesivamente entre dos estacas contiguas del perfil. Las mediciones se hacen en polígonos cerrados como se indica en la figura 3.2b.

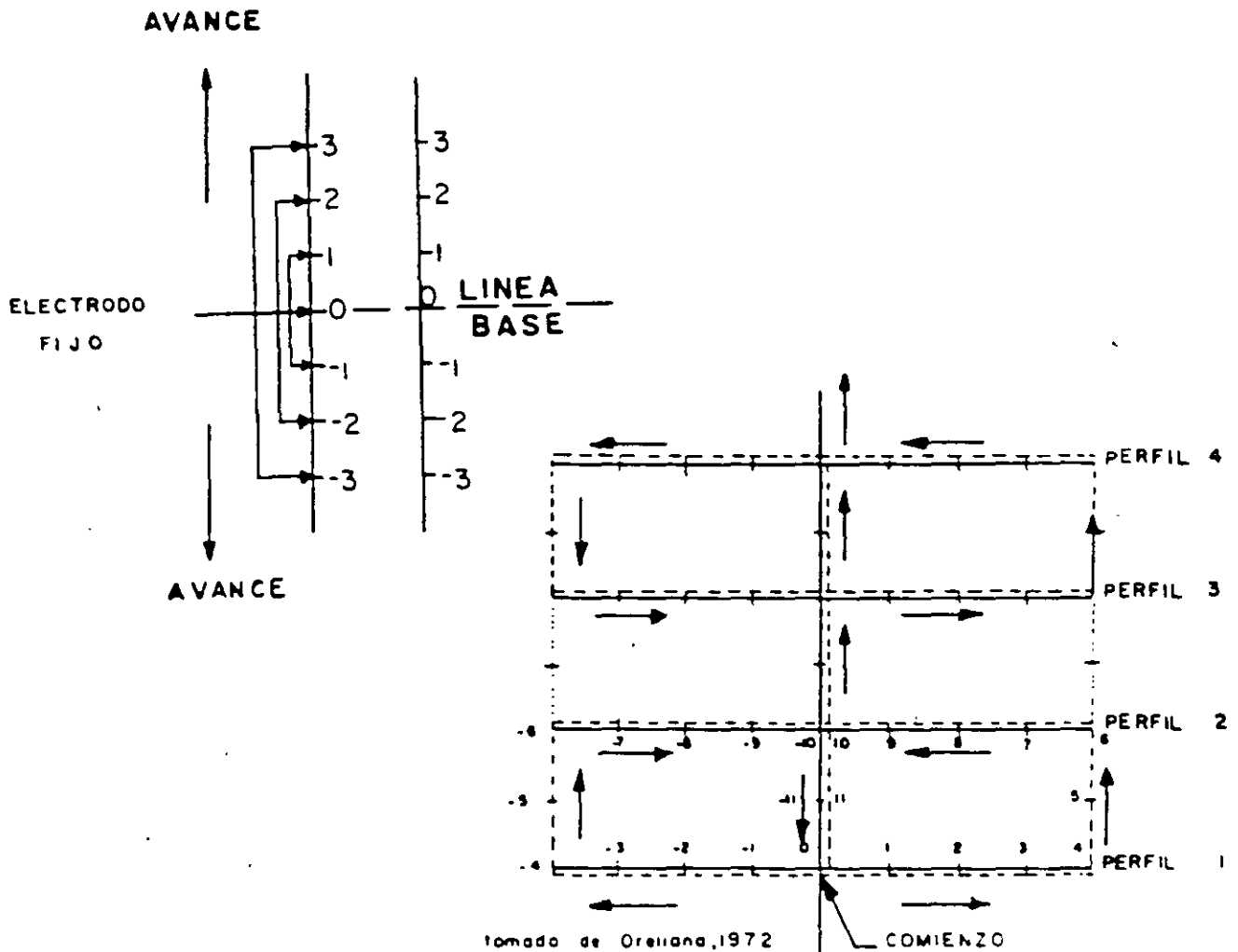


Figura 3.2 a) Técnica de potenciales b) Técnicas de gradientes.

3.2.7 EJEMPLOS DE APLICACION DEL POTENCIAL NATURAL

La figura 3.3 presenta el perfil de potencial natural efectuado en la Isla de Cozumel en la localización de zonas kársticas susceptibles de almacenar agua. En esa misma figura se observan dos fotos de dolinas por las que el potencial de electrofiltración se lleva a cabo. Se da la sección geológica interpretada, estas anomalías fueron perforadas con éxito.

En la figura 3.4 se da la sección geológica y el perfil del potencial natural en un acuífero calcáreo conteniendo una mena de carbón. Existe contaminación debido a la percolación ascendente de salmueras. Esto es en Piedras Negras, Coahuila.

3. PROSPECCION ELECTRICA

3.1 PROCESOS DE OXIDACION-REDUCCION (REDOX)

El fenómeno electroquímico que regula la dirección, rapidez y productos finales de las reacciones orgánicas e inorgánicas, son los procesos Redox, dependientes fundamentalmente de la disponibilidad de los iones de Hidrógeno (H^+) y el electrón (e^-).

La Oxidación es la pérdida o donación de electrones en una sustancia; la Reducción es la ganancia o aceptación de electrones. Los procesos Redox siempre van apareados ya que no puede existir un donador de electrones sin que exista el aceptor.

Pese a que es limitado el número de elementos que intervienen en el cambio electrónico, son importantes al estar incluidos el C, N y S; pues los procesos de oxidación-reducción son esenciales en el desarrollo y decaimiento de los organismos vivos, líquidos y sistemas minerales.

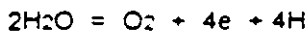
El oxígeno es el principal elemento oxidante o aceptor de electrones en la naturaleza, que lo convierte en un regulador de electrones. La disponibilidad de electrones es fuerte en los suelos aeróbicos, dejando en segundo plano al ion Hidrógeno.

Las condiciones anaeróbicas (falta de oxígeno) incrementan la concentración de iones reducidos (CO_2 y H_2CO_3) y otros ácidos orgánicos que regulan el pH, estos iones son indeseables para el subsuelo.

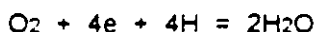
En la fotosíntesis el oxígeno es el donador y el Carbono el aceptor, donde se muta el estado de oxidación del C^{+4} a C^0 del CO_2 para formar un carbohidrato $(CH_2O)_n$ de la siguiente forma:



La oxidación de la reacción consiste en la pérdida de electrones por parte del O^{+4} en el agua para convertir el O^{+4} en O^0 de manera que:



Los vegetales y organismos superiores son capaces de utilizar el oxígeno solo como aceptores, pero los microorganismos del subsuelo utilizan los estados oxidados de nitrógeno, azufre, hierro y manganeso de la manera siguiente



La reacción química para la oxidación de la metano orgánica en el subsuelo es:



La ecuación global de la oxidación de la materia orgánica es

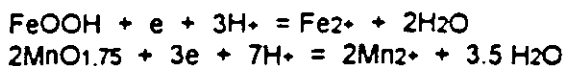


Otros donadores de electrones además del carbohidrato son los grupos amino ($-NH$) y el sulfhidro (-SH) y los iones de amino de la materia orgánica

La descomposición de la materia orgánica en suelos afectados por fuga de gas o presencia de diesel, gasolina, grasas, depósitos de desechos orgánicos y sólidos (basureros) incrementan la actividad microbiana; ambiente propicio para una demanda alta de oxígeno

La difusión del oxígeno es tan lenta que provoca la fermentación, liberando CO_2 y CH_4 , también ácidos orgánicos de olor pútrido y aldehídos, productos de una reacción de reducción.

La hojarasca de hierro y nódulos de manganeso observados por medio de la videograbación del interior de pozos, provienen de las reacciones:



La habilidad de los elementos químicos para donar o aceptar electrones es medida por su potencial de electrodo. La tabla 3 enseña los potenciales de reducción (electrodo).

TABLA 3. Potenciales de REDUCCION (ELECTRODO) según Bohn (1993)	
Eh° (V)	
$\text{F}_2 + 2e = 2\text{F}^-$	2.87
$\text{Cl}_2 + 2e = 2\text{Cl}^-$	1.36
$\text{NO}_3^- + 6\text{H}^+ + 5e = 1/2\text{N}_2 + 3\text{H}_2\text{O}$	1.26
$\text{O}_2 + 4\text{H}^+ + 4e = 2\text{H}_2\text{O}$	1.23
$\text{NO}_3 + 2\text{H}^+ + 2e = \text{NO}_2 + \text{H}_2\text{O}$	0.85
<hr/>	
$\text{Fe} + e = \text{Fe}$	0.77
$\text{SO}_4 = 10\text{H}^+ + 8e = \text{H}_2\text{S} + 4\text{H}_2\text{O}$	0.31
$\text{CO}_2 + 4\text{H}^+ + 4e = \text{C} + 2\text{H}_2\text{O}$	0.21
$\text{N}_2 + 6\text{H}^+ + 6e = 2\text{NH}_3$	0.09
$2\text{H}^+ + 2e = \text{H}_2$	0
<hr/>	
$\text{Fe} + 2e = \text{Fe}$	-0.44
$\text{Zn} + 2e = \text{Zn}$	-0.76
$\text{Al} + 3e = \text{Al}$	-1.66
$\text{Mg} + 2e = \text{Mg}$	-2.37
$\text{Na} + e = \text{Na}$	-2.71
$\text{Ca} + 2e = \text{Ca}$	-2.87
$\text{K} + e = \text{K}$	-2.92

Los valores altos indican que los iones de la izquierda de la reacción aceptan electrones de manera rápida (agentes oxidantes). Los valores de potencial bajo significan que los iones y elementos del lado izquierdo donan electrones, que los convierte en agentes reductores. Los metales comunes se manifiestan como inestables y fácilmente corribles

La energía eléctrica liberada por los procesos de oxidación-reducción constituye una fuerza electromotriz (fem) comparable a una "pila eléctrica" sepultada. Las corrientes eléctricas provocan características distribuciones de potencial asociadas a la geometría del cuerpo que las produce y son fácilmente medibles en superficie. En la figura 3.1 se visualiza el mecanismo que regula el potencial natural, se aprecian las zonas de oxidación y reducción

3.2 METODO DEL POTENCIAL NATURAL

El potencial natural tiene su origen en fenómenos electroquímicos asociados a los potenciales de oxidación-reducción (REDOX). Existen dos clasificaciones para el potencial natural, la primera es el potencial de Fondo y el segundo es el Mineralización. El potencial de interés en geohidrología es el de fondo, ya que es indicador de la presencia de agua en el subsuelo, el segundo es el utilizado en monitoreo de contaminación. Los principales mecanismos que originan potenciales de fondo son:

3.2.1 POTENCIALES DE DIFUSION Se presenta cuando en los poros de las rocas contactan electrolitos diferentes o de diferencias en sus concentraciones. Un ejemplo claro de este potencial es el observado en los registros eléctricos de pozos.

The image shows a periodic table with several cells highlighted in different ways to indicate their status according to the cited authors. The highlights include:

- Essential elements (white):** H, He, Li, Be, B, C, N, O, F, Ne, Na, Mg, Al, Si, P, S, Cl, Ar, K, Ca, Sc, Ti, V, Cr, Mn, Fe, Co, Ni, Cu, Zn, Ga, Ge, As, Se, Br, Kr, Rb, Sr, Y, Zr, Nb, Mo, Tc, Ru, Rh, Pd, Ag, Cd, In, Sn, Sb, Te, I, Xe, Ba, La, Ce, Pr, Nd, Pm, Sm, Eu, Gd, Hf, Ta, W, Re, Os, Ir, Pt, Au, Hg, Tl, Pb, Bi, Po, At, Rn, Fr, Ra, Ac, Th, Pa, U, Np, Pu, Am, Cm, Bk, Cf, Es, Fm, Md, No, Lr.
- Toxic elements (diagonal shading):** Li, Be, B, C, N, O, F, Ne, Na, Mg, Al, Si, P, S, Cl, Ar, K, Ca, Sc, Ti, V, Cr, Mn, Fe, Co, Ni, Cu, Zn, Ga, Ge, As, Se, Br, Kr, Rb, Sr, Y, Zr, Nb, Mo, Tc, Ru, Rh, Pd, Ag, Cd, In, Sn, Sb, Te, I, Xe, Ba, La, Ce, Pr, Nd, Pm, Sm, Eu, Gd, Hf, Ta, W, Re, Os, Ir, Pt, Au, Hg, Tl, Pb, Bi, Po, At, Rn, Fr, Ra, Ac, Th, Pa, U, Np, Pu, Am, Cm, Bk, Cf, Es, Fm, Md, No, Lr.
- Elements of low importance (dotted shading):** Sc, Ti, V, Cr, Mn, Fe, Co, Ni, Cu, Zn, Ga, Ge, As, Se, Br, Kr, Rb, Sr, Y, Zr, Nb, Mo, Tc, Ru, Rh, Pd, Ag, Cd, In, Sn, Sb, Te, I, Xe, Ba, La, Ce, Pr, Nd, Pm, Sm, Eu, Gd, Hf, Ta, W, Re, Os, Ir, Pt, Au, Hg, Tl, Pb, Bi, Po, At, Rn, Fr, Ra, Ac, Th, Pa, U, Np, Pu, Am, Cm, Bk, Cf, Es, Fm, Md, No, Lr.

Tabla 1. Elementos esenciales en blanco, tóxicos en diagonales y puntuados los de poca importancia Tomado de Bohn, McNeal & O'Connor, (1993)

Como se mencionó anteriormente, la vida es oportunista; los organismos aprovechan las condiciones del medio en que se desarrollan y sus características químicas así lo demuestran, esto es: la composición de las plantas, animales y fluidos corporales son $Ca > K > Na = Mg$; el orden de disponibilidad en los suelos es $Ca > Mg > K = Na$.

Para Bohn, McNeal y O'Connor (1993) la vida es más activa en los suelos que en el mar, afirmando que el mar abierto es estéril, y como consecuencia, es más probable que la vida comenzó en el suelo y no en el mar.

La contaminación del suelo, subsuelo y agua ocurre cuando desechos líquidos o lixiviados se mueven desde su lugar de depósito. La contaminación potencial depende de la movilidad del contaminante, vida media del contaminante, características de la roca o suelo huésped y clima.

Los suelos permeables permiten el rápido movimiento de ahí que los contaminantes biológicos puedan ser parcialmente filtrados por movimiento, en tanto que los constituyentes inorgánicos se mueven con mayor rapidez hasta el sistema acuífero y viajar grandes distancias. Las zonas karsticas y de rocas muy fracturadas permiten la filtración de contaminantes fácilmente. Las áreas con materiales prácticamente impermeables retardan el movimiento percolándose en un entorno muy pequeño a partir del depósito.

Las condiciones climáticas de la localidad son condicionantes, por ejemplo, en zonas de alta precipitación pluvial la contaminación potencial es mayor que en aquellas áreas menos húmedas. En regiones áridas y semiáridas la contaminación potencial es casi nula debido a que el agua infiltrada es adsorbida o sostenida por la humedad del suelo.

El carácter y concentración del contaminante dependen del tiempo en que ha estado en contacto con el agua, y el máximo potencial para contaminación del agua, ocurre en regiones con nivel estático somero.

Con la disciplina geofísica se tendrán como objetivos ilustrar los principales mecanismos fisicoquímicos de los procesos de control, erradicación de contaminación y la exploración del agua.

2. EXPLORACION GEOFISICA

El objetivo del presente escrito es mostrar las posibilidades y limitaciones de los métodos mayores de la prospección geofísica en:

- a) búsqueda de agua
- b) investigaciones estructurales del subsuelo
- c) monitoreo, control y prevención de la contaminación

La Prospección Geofísica se puede dividir en PURA y APLICADA, la primera estudia la física de la tierra sólida; a la segunda compete aplicar los principios físicos en la investigación de yacimientos económicamente explotables, geotécnica, geoquímica, geohidrología y contaminación.

Las diferentes técnicas geofísicas nacieron de las variadas propiedades físicas y fisicoquímicas de la interacción de sólidos y líquidos. Los métodos geofísicos se suman en la tabla 2 donde aparece la propiedad y fenomenología.

Tabla 2. Metodos geofisicos, propiedad y fenomenologia envueltos.		
METODO	PROPIEDAD ENVUELTA	FENOMENO ENVUELTO
MAGNETICO	SUSCEPTIBLE MAGNETICA (μ)	VARIACION ESPACIAL DEL CAMPO MAGNETICO NATURAL ESTACIONARIO
GRAVIMETRICO	DENSIDAD, GRAVITRONES (ρ)	VARIACION ESPACIAL DE "g" EN EL CAMPO GRAVIMETRICO NATURAL
ELECTROMAGNETICO	CONDUCTIVIDAD ELECTRICA PERMEABILIDAD MAGNETICA (κ)	(σ) FASE DEL CAMPO ALTERNO ELECTRICO Y MAGNETICO
ELECTRICO	CONDUCTIVIDAD ELECTRICA	(σ) RESISTIVIDAD APARENTE
POTENCIAL NATURAL	POTENCIAL DE OXIDACION (Eh) CONCENTRACION IONICA (pH)	POTENCIAL ELECTROQUIMICOS NATURALES
POLARIZACION INDUCIDA	CONDUCTIVIDAD IONICA Y ELECTRONICA (e)	IMPEDANCIA COMPLEJA
SISMICOS	CONSTANTES ELASTICAS (λ, μ) DENSIDAD (ρ)	VELOCIDADES SISMICAS ONDAS COMPRESIONALES
RADIOACTIVO	RADIONUCLEOS	RADIACION GAMMA
TERMICO	CONDUCTIVIDAD TERMICA	FLUJO CALORIFICO

La aplicación de los métodos geofísicos solo es aplicable si en cualquiera de las propiedades físicas y fisicoquímicas de las fases sólidas y líquidas existe un fuerte contraste. Cuando existe una carencia marcada en el contraste de las propiedades y sus efectos no pueden ser medidos en superficie por el enmascaramiento de ruido, el método geofísico no puede ser aplicado.

CURSO INTERNACIONAL DE GEOHIDROLOGIA Y CONTAMINACION DE ACUIFÉROS
PROSPECCION GEOFISICA APLICADA (1998)

ING. ALFONSO ALVAREZ MANILLA ACEVES
GEOINGENIERIA ALFVEN, S.A. DE C.V.

1. GENERALIDADES Y OBJETIVOS

El AGUA es sin duda el recurso natural más importante para el ciclo de la VIDA. Cualquier actividad está regida por la disponibilidad del agua; su carencia marcaría el asolamiento de la agricultura y finalmente de la humanidad. De ahí formar la CULTURA DEL CUIDADO DEL AGUA en la sociedad.

La interacción SUELO-AGUA es muy importante, pues de la conservación del primero depende la calidad de la segunda; basta recordar que en el ciclo hidrológico el agua al precipitarse primeramente toca al suelo, a través del suelo es percolada y filtrada hasta el almacenamiento.

La postura de los geocientíficos no se debe concretar a la localización de acuífero de agua de buena calidad, además de la administración de los recursos hidráulicos, se deben tomar acciones éticas para la conservación en equilibrio de la fuente y el ecosistema.

La presencia de VIDA en pociones de las cortezas oceánica y continental, así como la atmósfera rica en oxígeno; hacen de la Tierra un planeta de particular interés por lo menos en nuestro propio sistema solar. La tierra presenta una superficie irregular (figura 1.1), el 7% de la masa de la tierra es agua, pero, el 97% es agua salada que constituye los océanos, el 2.3% está en forma de hielo en los casquetes y el 0.7% es el agua que forma los lagos, ríos, acuíferos y agua de la atmósfera

Según evidencias geológicas y geoquímicas existen diferencias composicionales entre la corteza de los continentes y la correspondiente al fondo de los océanos. La figura 1.2 muestra esquemáticamente la distribución de rocas y su composición.

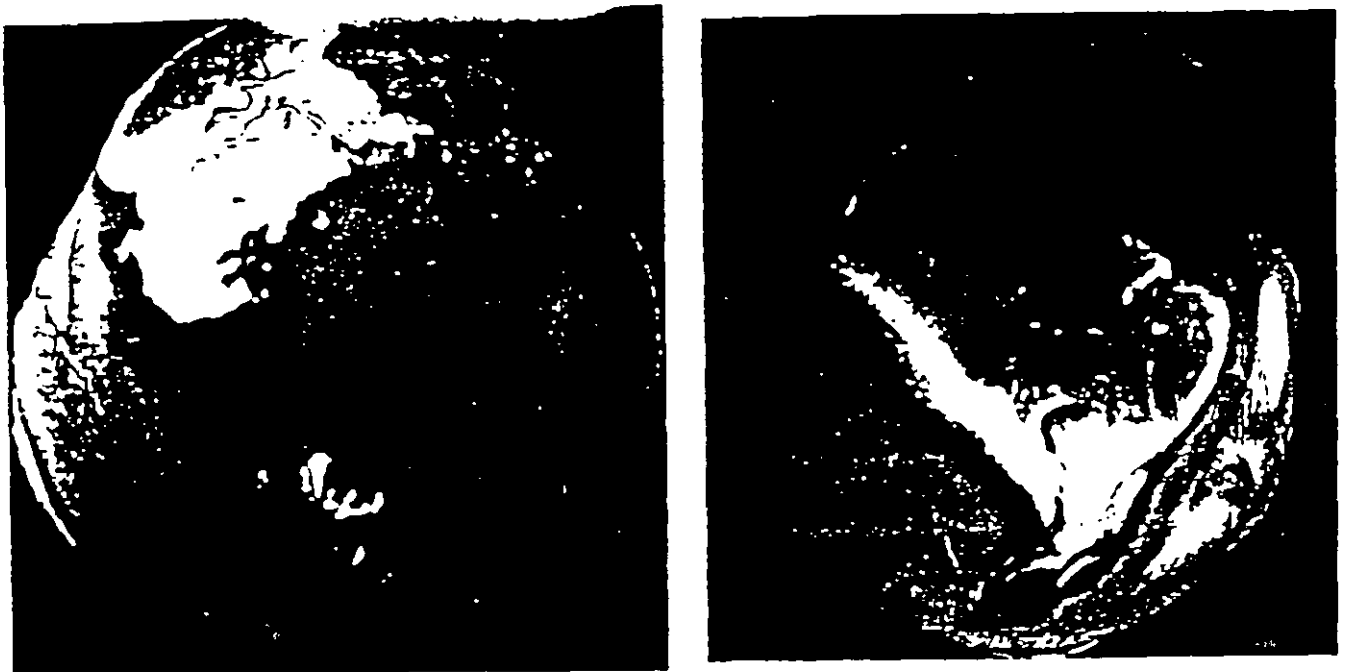


Figura 1.1. Hermosas vistas de la Tierra desde el satélite Topex-Poseidón

Los suelos son una mezcla rica en compuestos orgánicos e inorgánicos que afectan la calidad del aire y agua, la materia viva o muerta contenida, son factor importante para la circulación de elementos químicos. Los microorganismos catalizan muchas reacciones en las que los sólidos son desgastados, como resultado de descomposición orgánica, los suelos liberan H_2O y gases tales como CO_2 , N_2 y N_2O .

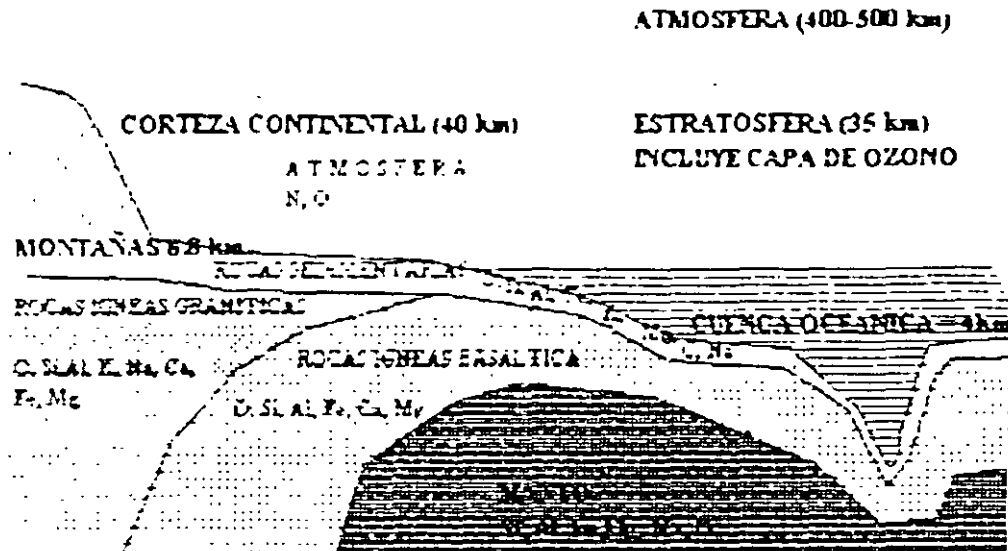


Figura 1.2. Distribución esquemática de la distribución de las rocas y su composición.

El suelo ha modificado químicamente el ambiente desde el origen de la Tierra y el medio ha modificado al suelo. Las interacciones químicas entre suelo-atmósfera-agua percolada, regulan la composición de la zona vadosa y aguas subterráneas. Las reacciones son importantes para la limpieza del aire y agua después de la contaminación natural y antropogénica.

Los solutos y electrolitos en solución con el suelo aportan los nutrientes necesarios para la vida vegetal y animal. Los mecanismos aportadores de iones al suelo son el intemperismo de las rocas, descomposición de materia orgánica, lluvia, fertilización y aquellos iones liberados de la fracción coloidal de la arcilla. Los iones en solución son esenciales para la vida, y en su fase sólida son tóxicos.

La tabla 1 muestra los elementos esenciales. Durante la formación de la superficie de la Tierra, los más pesados se acomodaron a profundidades variables, mientras que los ligeros quedaron distribuidos superficialmente.

"La vida al evolucionar aprovechó la distribución de los elementos en superficie, de ahí que se volvieran esenciales los más ligeros".

Los elementos tóxicos que con mayor regularidad se encuentran en el ecosistema, son suministrados por los medios natural (nada perjudiciales) o antropicos (dañinos). Los vegetales se han adaptado a las condiciones físico-químicas del medio, el hombre no.

Oparin intuyó que las moléculas orgánicas se formaron en la atmósfera en CH_4 , H_2 , CO_2 , NH_3 , N_2 , H_2S durante tormentas eléctricas, aunque todavía existe la incertidumbre de cómo se pudieron polimerizar moléculas simples para formar complejas orgánicas.

Las arcillas son el medio propicio para polimerizar moléculas orgánicas, cabe mencionar que los minerales arcillosos se formaron antes de que la vida comenzara. Los aminoácidos se polimerizan cuando son absorbidos por las arcillas.



**FACULTAD DE INGENIERIA U.N.A.M.
DIVISION DE EDUCACION CONTINUA**

CURSOS ABIERTOS

**X CURSO INTERNACIONAL
CONTAMINACIÓN DE ACUIFEROS**

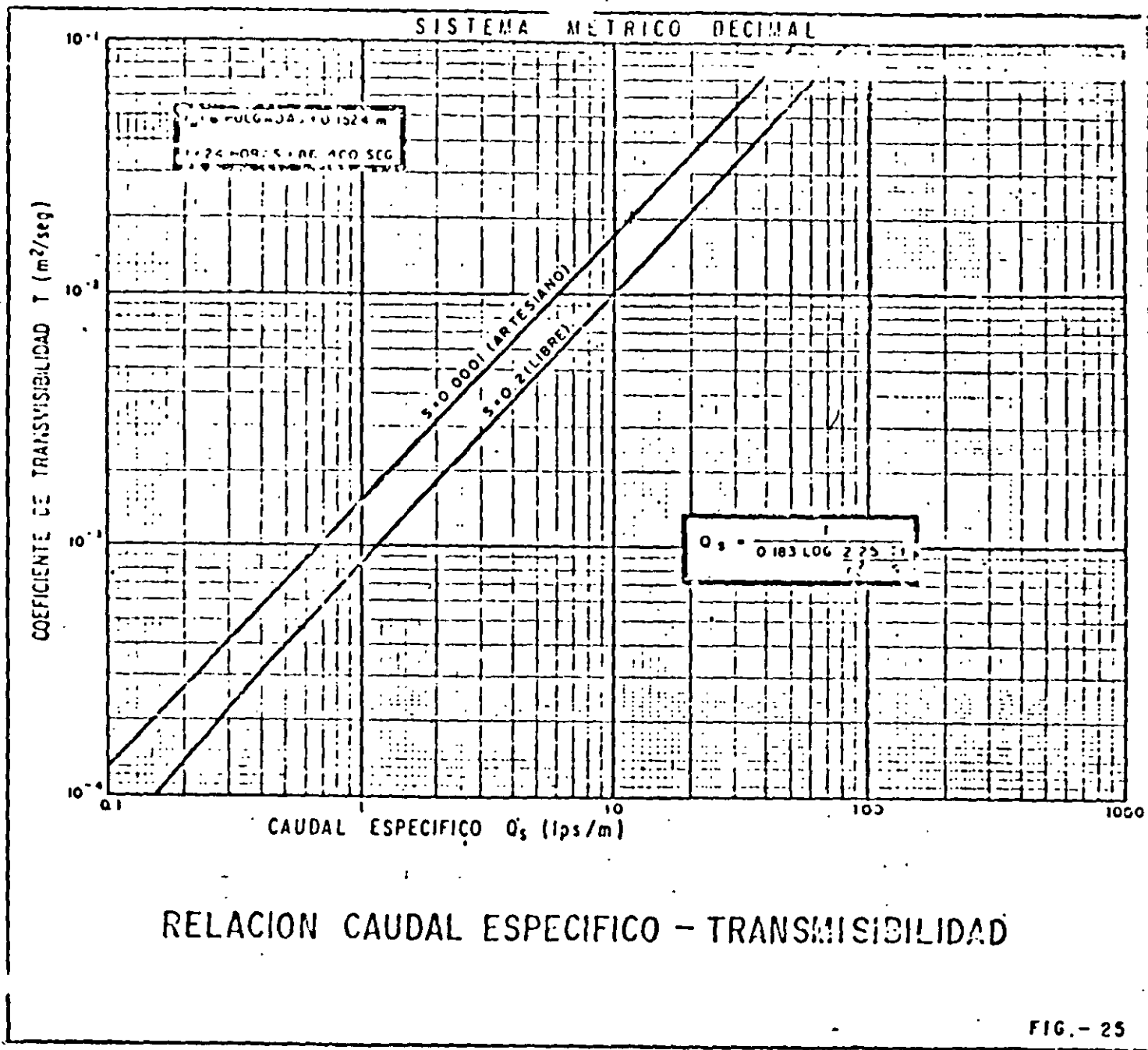
MÓDULO I:

GEOHIDROLOGÍA

TEMA :

GEOFÍSICA EN GEOHIDROLOGÍA

**PRESENTADO POR: ING. ALFONSO ÁLVAREZ MANILLA ACEVES
SEPTIEMBRE 1998**

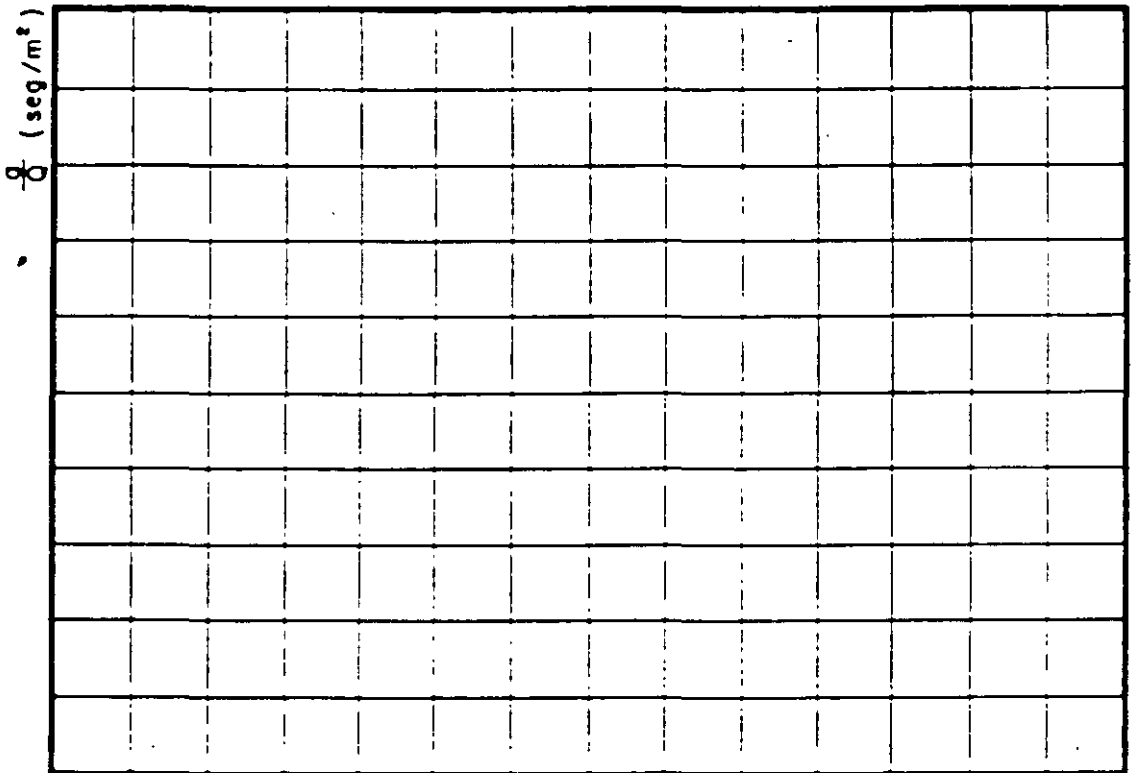


INTERPRETACION DE LA PRUEBA DE AFORO

ZONA : _____

POZO No. _____

N. E. : _____



Q (lps)

$$d_1 = BQ + CQ^2$$

$$\frac{d}{Q} = B + CQ$$

$$B = \quad \quad \quad C =$$

$$t = \quad \quad \quad \text{hrs}$$

INTERPRETACION DE LA PRUEBA DE AFORO

ZONA _____

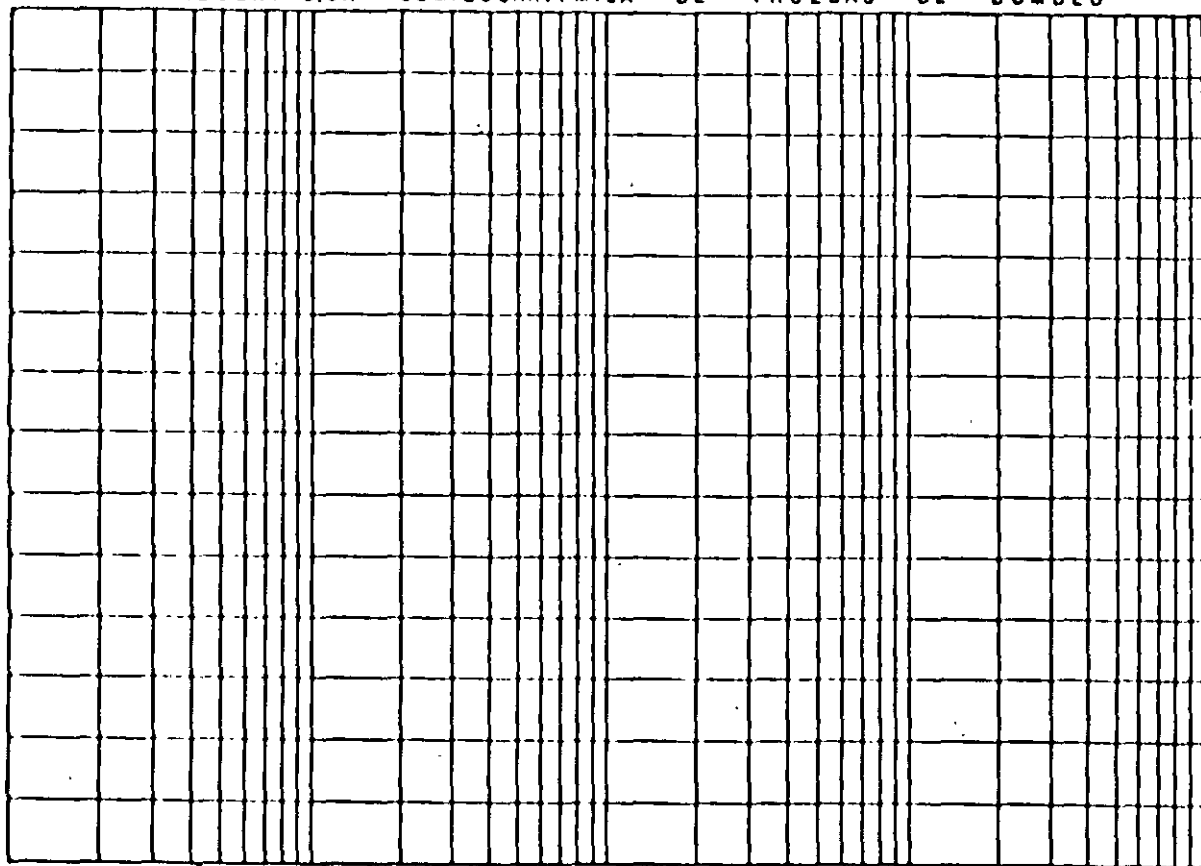
POZO No _____

RPM	Q	NO	•	•/Q	BQ	CQ ²	Qr	Qr	Q/Qr	Q/Qf ⇒ T	
	m ³ /seg	m	•	seg/m ²	m	m	CA CALCULADO m	OS SERVADO m	OS SERVADO lps/m	lps/m	m ² /seg

D

REPRESENTACION SEMILOGARITMICA DE PRUEBAS DE BOMBEO

PROFUNDIDAD AL NIVEL DEL AGUA. (m)



TIEMPO EN

FECHA
FIGURA

PRUEBA DE
BOMBEO
ETAPA DE

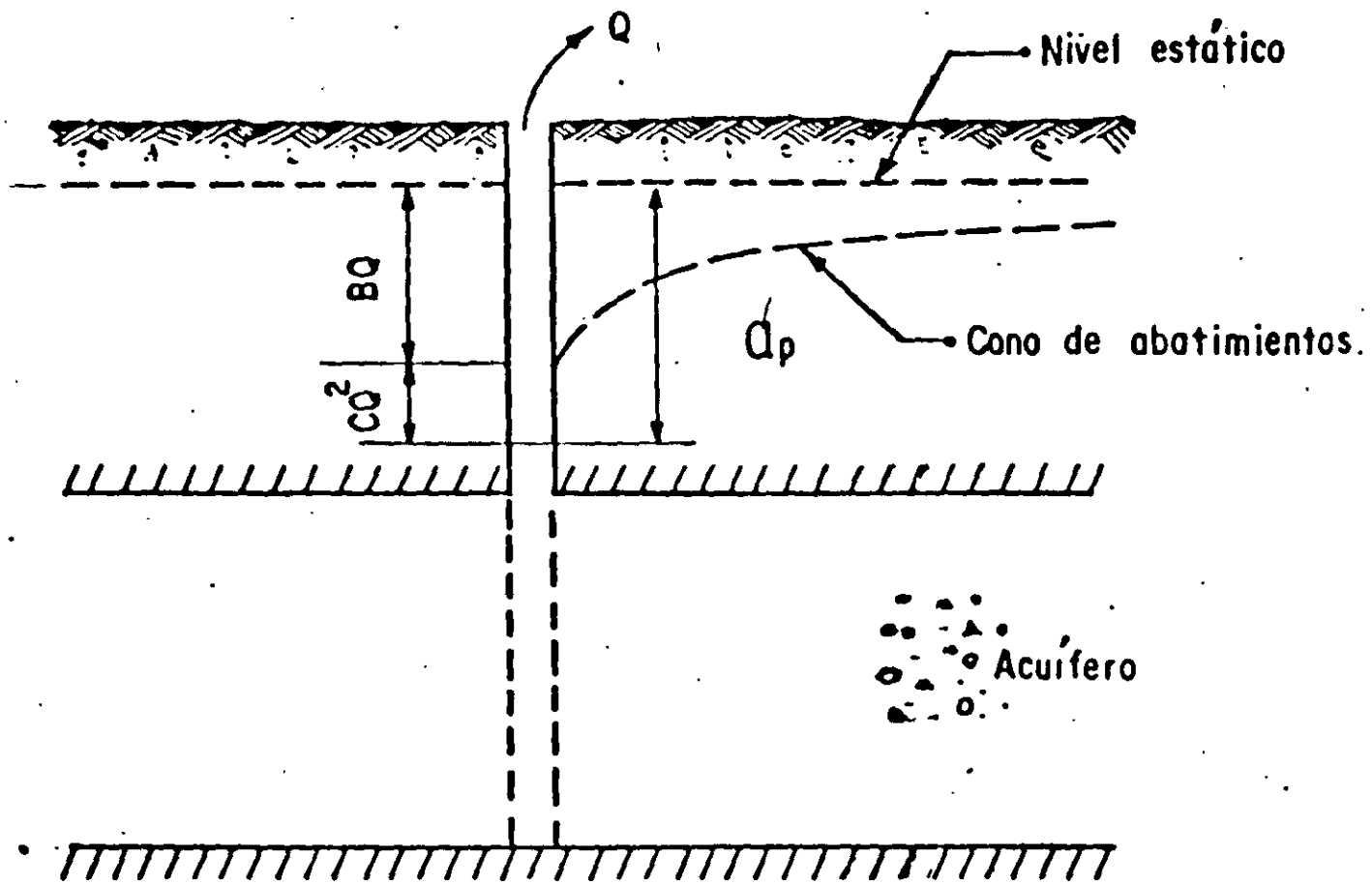
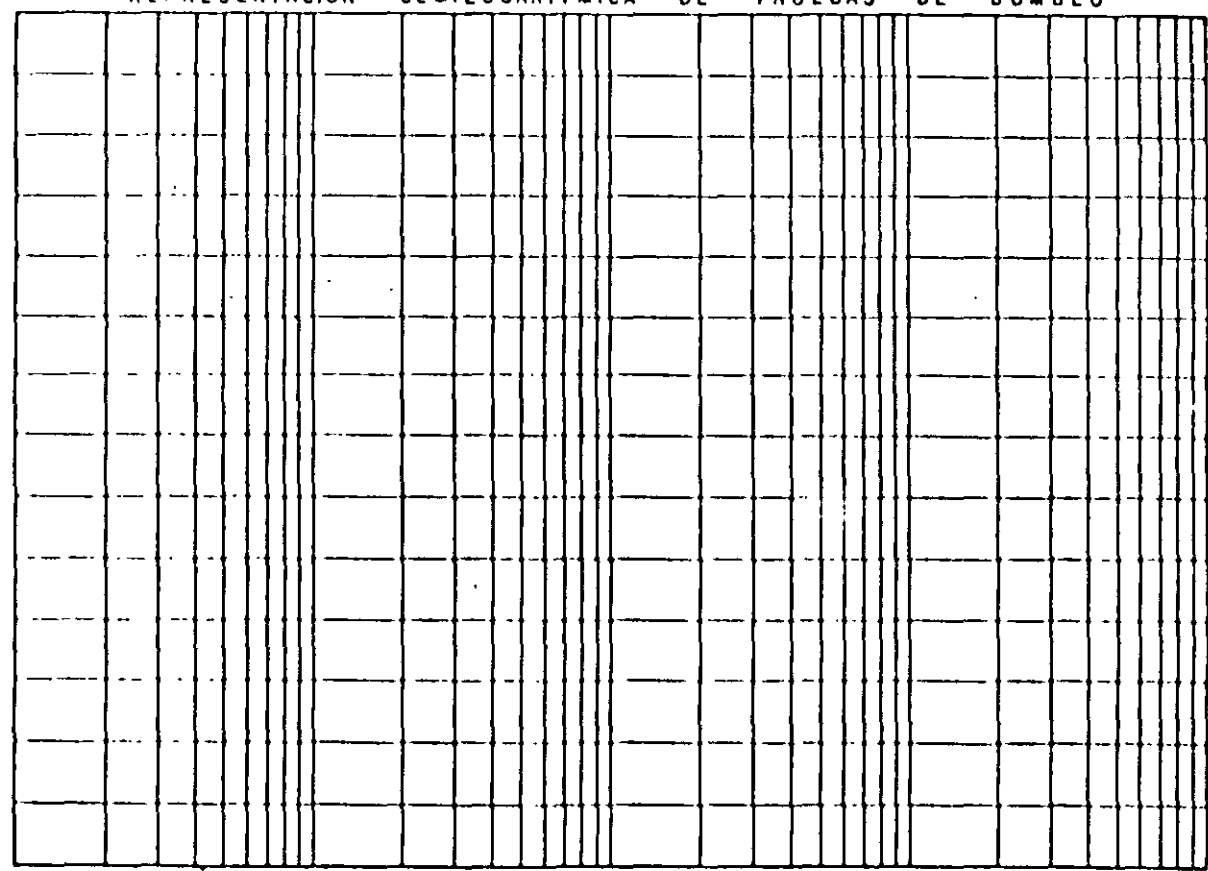


FIGURA No. 23

D

REPRESENTACION SEMILOGARITMICA DE PRUEBAS DE BOMBEO

PROFUNDIDAD AL NIVEL DEL AGUA. (M)

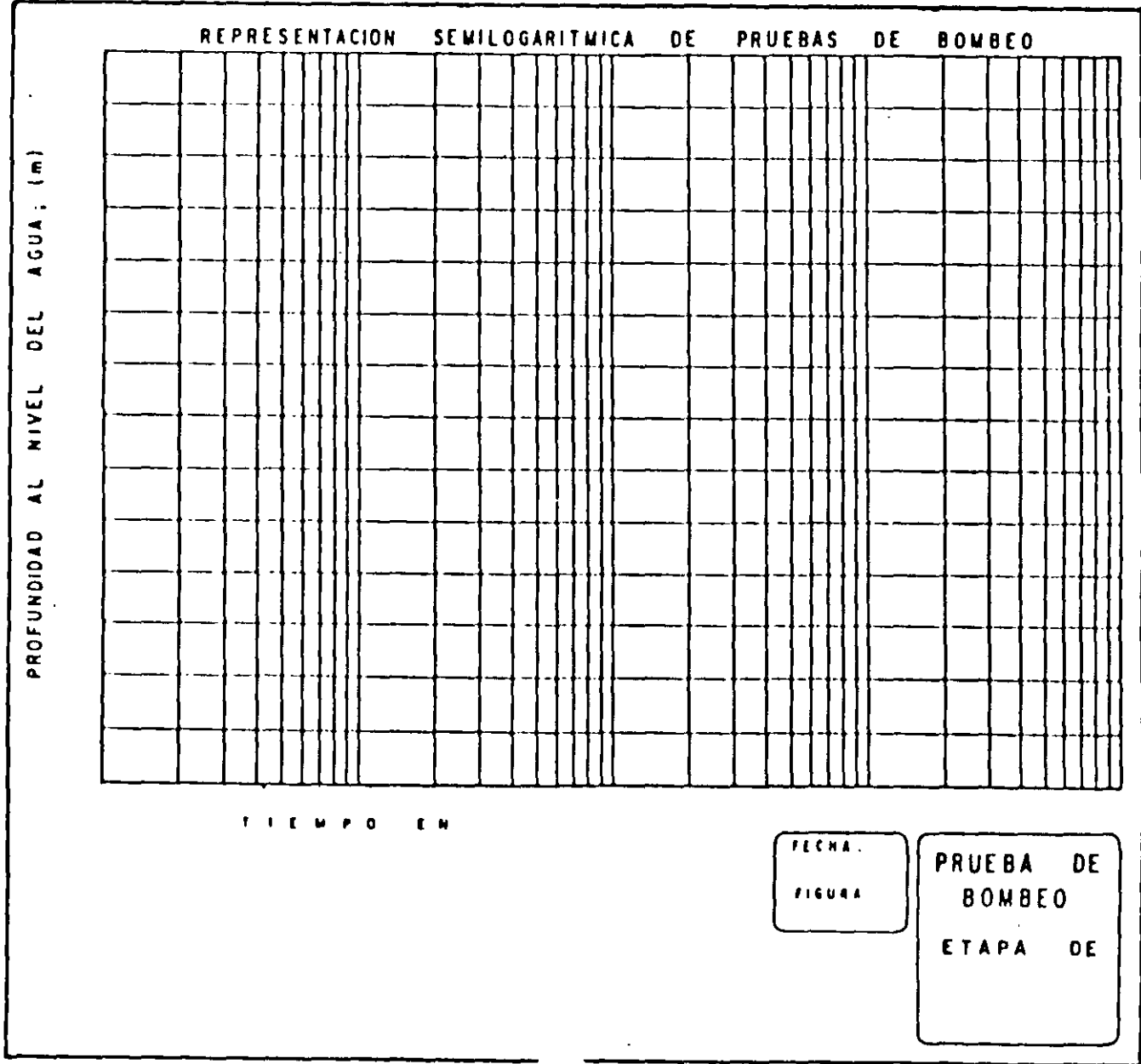


TIEMPO EN

FECHA
FIGURA

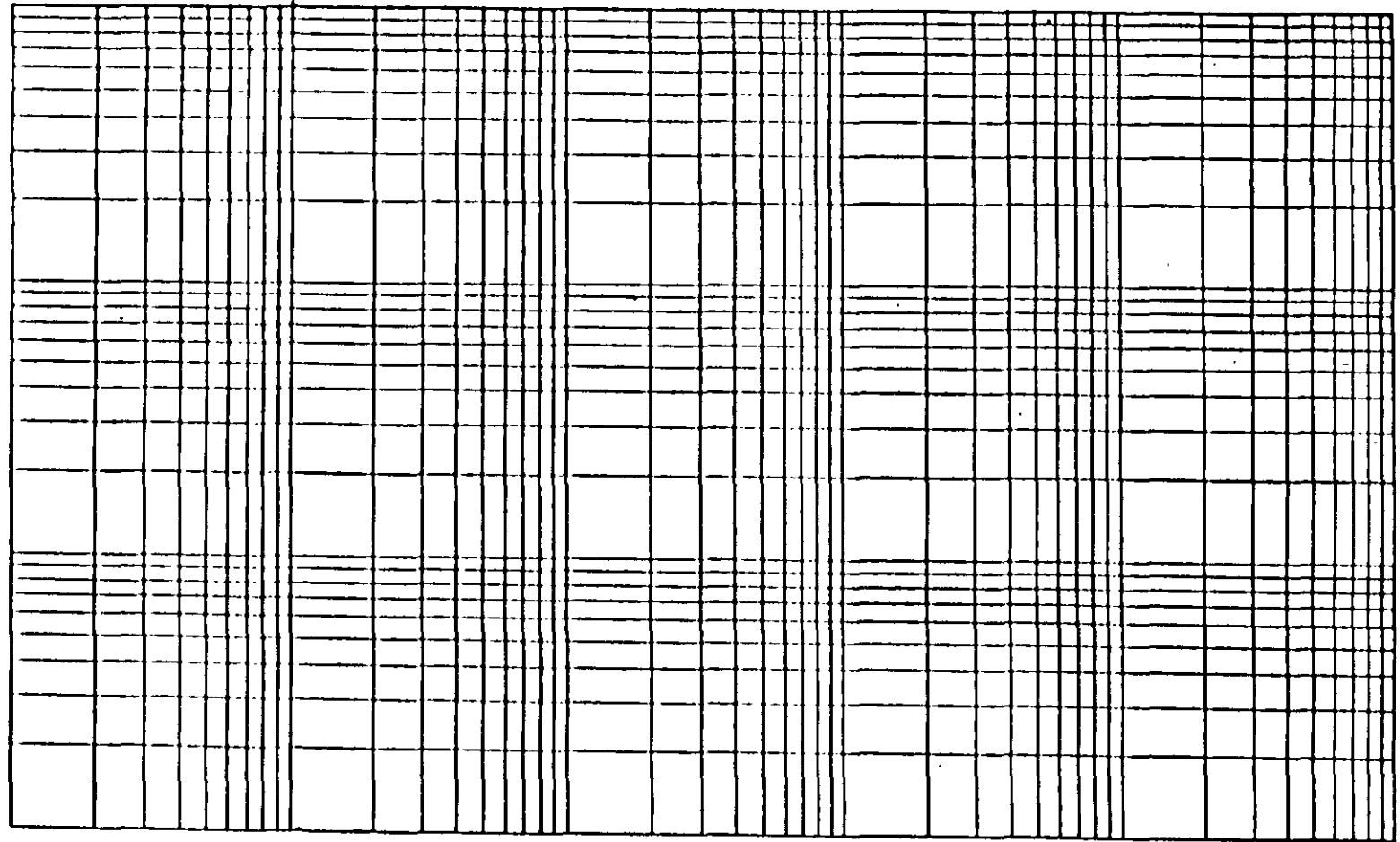
PRUEBA DE
BOMBEO
ETAPA DE

D



D

ABATIMIENTO EN METROS



TIEMPO EN MINUTOS

FECHA:
FIGURA:



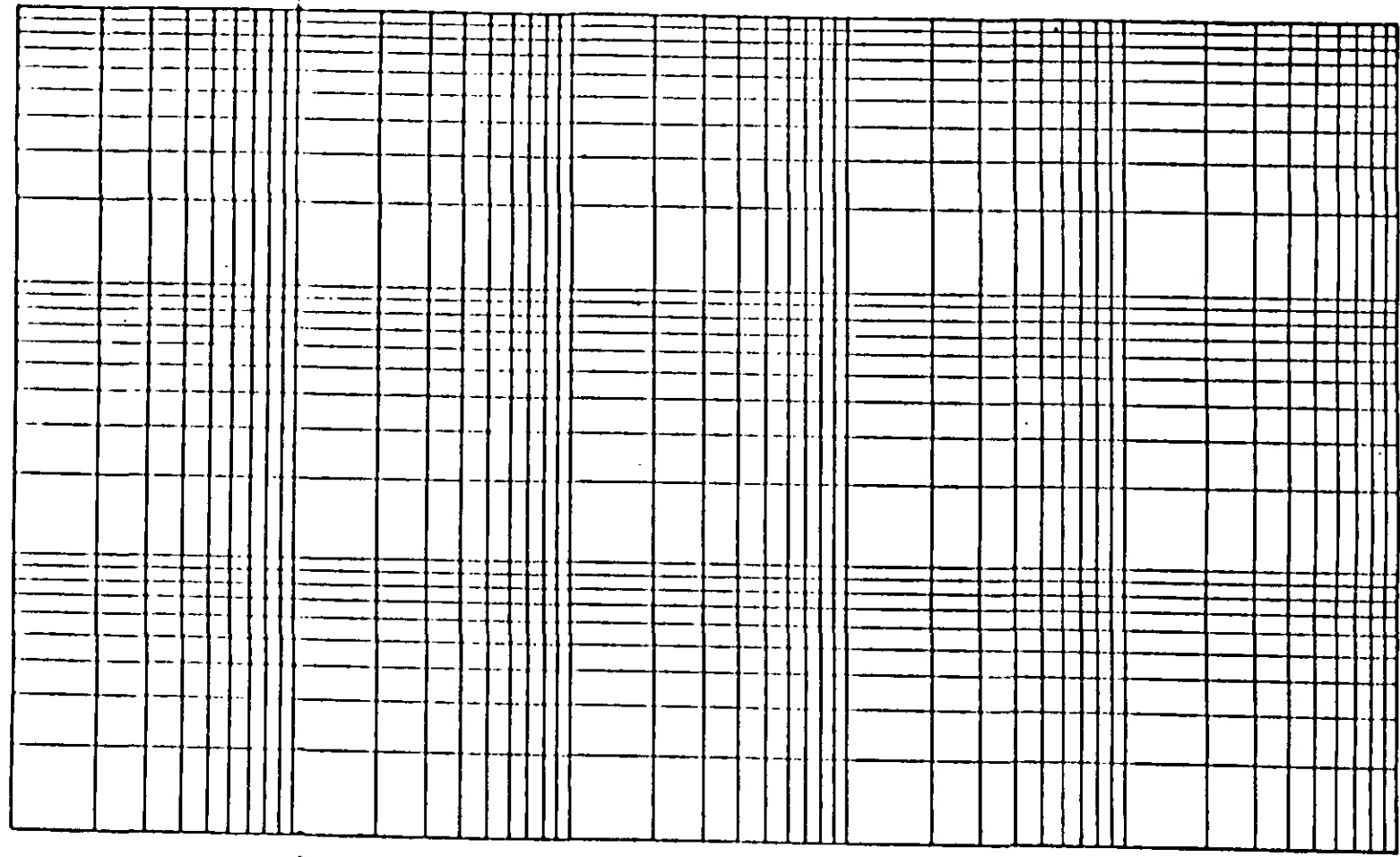
LESER Y ASOCIADOS, S.A.

REPRESENTACION
LOGARITMICA DE
PRUEBAS DE
BOMBEO
ETAPA DE

//

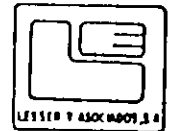
D

ABATIMIENTO EN METROS

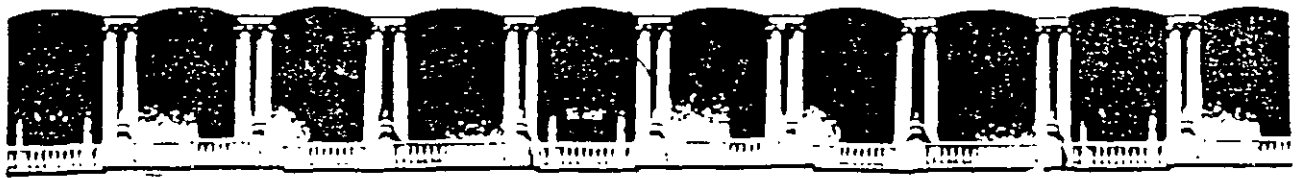


TIEMPO EN MINUTOS

FECHA:
FIGURA:



REPRESENTACION
LOGARITMICA DE
PRUEBAS DE
BOMBEO
ETAPA DE



FACULTAD DE INGENIERIA U.N.A.M.
DIVISION DE EDUCACION CONTINUA

CURSOS ABIERTOS

X CURSO INTERNACIONAL
CONTAMINACIÓN DE ACUIFEROS

MÓDULO I:

GEOHIDROLOGÍA

TEMA :

FRACCIONAMIENTO ISOTRÓPICO

PRESENTADO POR: FIS. ALEJANDRA CORTÉS SILVA
SEPTIEMBRE 1998

INTRODUCCION

El interés y desarrollo en el estudio de aguas subterráneas, ha crecido debido a la necesidad de obtener este vital elemento con una mayor disponibilidad y mejor calidad, tanto para el consumo doméstico como para el uso industrial y agrícola.

Una de las disciplinas que ha contribuido al estudio de las aguas subterráneas, ha sido la hidrogeoquímica, la cual adquirió un interés particular cuando los estudiosos en esta área empezaron a utilizar la experiencia química como evidencia para la interpretación de diversos procesos. Antes de esto, el interés principal se había enfocado a clasificar la calidad del agua en función de sus constituyentes básicos, así como la determinación de su trayectoria en el medio geológico por el cual transita.

Actualmente, con el creciente avance tecnológico se ha hecho posible la determinación de nuevos parámetros, que en conjunto aportan una información más clara del comportamiento del agua subterránea a través de los diferentes estratos geológicos.

Dentro de estas aportaciones científicas modernas, el descubrimiento de las distintas variedades isotópicas de los átomos que componen el agua y la determinación de su concentración natural, ha hecho posible la utilización de los isótopos como trazadores naturales. Facilitando, de esta manera, el estudio del comportamiento del agua dentro del ciclo hidrológico. Entre las aplicaciones que se pueden señalar, están las siguientes determinaciones: origen de la recarga, intrusión salina, tiempos de residencia, familias de agua y procesos evaporativos. (Fritz and Fontes, 1980)

TRAZADORES

De manera muy general podemos definir a un trazador como "aquellos" que determina o describe una trayectoria de "algo" a través de un medio. Para que un trazador sea considerado como "ideal" en estudios hidrológicos, debe definir una trayectoria fácil de detectar, de manera directa o indirecta, no tóxico, soluble en agua, resistente a cambios

químicos, tener poca capacidad de intercambio iónico, poca capacidad de absorción y económico. (White, 1967; Davis, 1985). Los trazadores mas conocidos y utilizados a la fecha son Fluoriceinas, sales, esporas, colorantes y los isotopos estables y radioactivos (algunos de ellos, mejor conocidos como isótopos ambientales)

En hidrogeología el término isótopos ambientales es generalmente usado para describir isótopos que ocurren naturalmente en el ciclo hidrológico, sin incluir isótopos que son introducidos a los sistemas artificialmente para propósitos de trazado.

CARACTERISTICAS GENERALES DE LOS ISOTOPOS

Los isótopos son átomos del mismo elemento cuyo núcleo contiene el mismo número de protones y diferente número de neutrones esto es, son especies que tienen el mismo número atómico pero diferente masa atómica y por lo tanto propiedades químicas practicamente iguales. Estas especies atómicas pueden ser estables o inestables, las primeras son aquellas que no cambian su concentración en el tiempo y las inestables o radioactivas decaen en isótopos de otro elemento, lo cual significa que una cantidad de un isotopo radioactivo en un sistema cerrado, cambia con el tiempo en forma exponencial. (Hoefs, 1980)

Los isótopos se encuentran como constituyentes de los elementos que existen en la naturaleza. Para la mayoría de los elementos pesados las cantidades relativas entre ellos casi no varían. Sin embargo, para elementos ligeros las pequeñas diferencias en masa, traen como consecuencia variaciones en propiedades físicas como, diferente punto de ebullición y de condensación así como diferentes velocidades de reacción. La distribución de los isotopos de un elemento ligero entre dos compuestos que raccionan entre si, o coexisten entre dos fases no es uniforme, por tanto, a mayor diferencia relativa de masa entre dos isótopos de un elemento dado, mas significativo será su fraccionamiento y en consecuencia el efecto isotopico sera mas pronunciado.

Algunos de los isótopos radioactivos existentes en la naturaleza, son producidos continuamente por medio de reacciones nucleares que se llevan a cabo en la alta atmosfera, por la interacción entre algunos de

los gases que la componen y rayos cósmicos, como es el caso del Tritio y el Carbono-14.

Para el caso específico del agua, todas las especies isotópicas del hidrógeno y del oxígeno son incorporadas a su molécula. Por lo que las moléculas formadas por la combinación de los respectivos isótopos estarán presentes en cualquier masa de agua. De todas las posibles combinaciones que se pueden formar sólo tres tienen interés práctico, debido principalmente a su abundancia. Tabla I.

Tabla I. Características Generales de los Isótopos

ELEMENTO/ ISOTOPOS	ABUNDANCIA (%)	ESTANDAR /UNIDADES	VIDA MEDIA (AÑOS)	TIPO DE ANALISIS
HIDROGENO				
¹ H	99.984			
² H	0.015	V-SMOW%		E.M. ^{***}
³ H	10 ⁻¹⁴⁻¹⁶	(U.T.)	12.35	C.C.L. ^{****}
OXIGENO				
¹⁶ O	99.76			
¹⁷ O	0.037 [*]			
¹⁸ O	0.1 ^{**}	V-SMOW%		E.M. ^{***}
CARBON				
¹² C	98.89			
¹³ C	1.11	PDB%		E.M. ^{***}
¹⁴ C	10 ⁻¹⁰	A.Ox. (pmo)	5730	C.C.L. ^{****}
AZUFRE				
³² S	95.02			
³³ S	0.75 [*]			
³⁴ S	4.21			
³⁶ S	0.02 [*]	CDT		E.M. ^{***}

* No se utiliza en estudios ambientales

** Se utiliza también en estudios paleoambientales.

*** Espectrometría de masas

**** Contador de centelleo líquido

ESPECTROMETRIA DE MASAS

Después del importante impulso que hubo en el área de geoquímica y técnicas de espectrometría de masas como consecuencia de las investigaciones científicas posteriores a la II gran Guerra; se determinó que los métodos de espectrometría de masas eran los más efectivos para medir abundancias relativas de los isótopos.

Nier, 1950, fue el primer científico en desarrollar un instrumento

con el cual, logró medir abundancias relativas de elementos ligeros tales como hidrógeno, oxígeno, carbono, nitrógeno, argón, potasio y azufre. Los modernos espectrómetros de masas utilizados actualmente en diversas investigaciones están basados fundamentalmente en el principio del espectrómetro de Nier.

Descripción del Aparato

Un espectrómetro de masas es un aparato diseñado para separar moléculas de acuerdo a su relación carga-masa en base a su movimiento a través de campos eléctricos y/o magnéticos. Esencialmente un espectrómetro de masas opera de acuerdo a los siguientes principios básicos, Fig. 1.

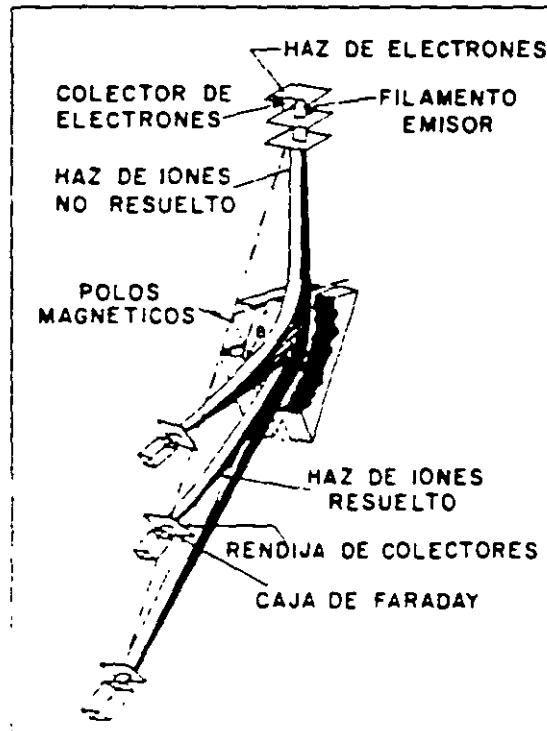


DIAGRAMA ESQUEMATICO DE UN ESPECTROMETRO DE MASAS TIPO NIER.

- I) Admisión del gas y formación de iones
- II) Aceleración y colimación de iones
- III) Analizador Magnético
- IV) Colección y medición de iones

Al introducirse el gas en la fuente de iones, las moléculas neutras son convertidas en iones por bombardeo electrónico. Estos iones son acelerados y colimados por medio de campos eléctricos. Los iones acelerados entran a una región en la que actúa un campo magnético, el cual separa los iones en regiones distintas del espacio, dependiendo de su masa. La colección y medición de iones se realiza colocando cajas de Faraday en posiciones previamente calculadas, al ser colectados los iones producen una corriente la cual pasa a través de resistencias de muy alta impedancia, provocando, de esta manera una caída de potencial la cual será proporcional al número de iones detectados. (McDowell C., 1963).

NOTACION DELTA

Dada la dificultad de medir con suficiente exactitud la abundancia absoluta de cada isótopo, se ha preferido medir abundancias relativas con respecto a una referencia. El valor relativo de abundancia isotópica en una muestra determinada, con respecto a una referencia se reporta en unidades de "δ", que se define como: (Gat J. and Gonfiantini R., 1981):

$$\delta_{m-r} = [(R_m - R_r)/(R_r)] \times 1000$$

donde R, es la razón del isótopo pesado o raro al ligero o abundante, para la muestra, m y para la referencia, r. Debido a que las diferencias entre muestra y referencia son muy pequeñas, es conveniente reportar los resultados en tantos por mil, (‰). Las relaciones para los diferentes isótopos de los elementos más usados se expresan como: ($^{18}\text{O}/^{16}\text{O}$), ($^{13}\text{C}/^{12}\text{C}$), (D/H),....etc.

Para fines de interpretación, el hecho de que el valor delta sea mayor que cero significa que la muestra se encuentra enriquecida en el isótopo pesado con respecto a la referencia; de igual manera, para deltas menores que cero diremos que la muestra se encuentra empobrecida con respecto a la referencia. (Gonfiantini, 1978).

PATRONES DE REFERENCIA

Uno de los problemas más serios que se presentaron al inicio de la

utilización de los isótopos estables en agua, fue la comparación de resultados obtenidos por los diferentes laboratorios. Es por esto, que se ha aceptado internacionalmente que los datos isotópicos sean referidos a patrones de referencia distribuidos por organismos como el NBS (National Bureau of Standards) y IAEA (International Atomic Energy Agency).

Debido a la imposibilidad de utilizar patrones internacionales en análisis rutinarios, es conveniente que cada laboratorio cuente con un patrón interno de trabajo.

El patrón de referencia que es universalmente aceptado como base para medir las variaciones de abundancias relativas de isótopos estables de oxígeno e hidrógeno en agua, es el llamado SMOW (Standard Mean Ocean Water), que correspondería a un tipo de agua "hipotética" con relaciones isotópicas iguales de oxígeno e hidrógeno; asociando a este valor el de referencia "cero".

Para muestras de agua, se pueden mencionar las siguientes ventajas de usar la referencia SMOW:

i) El océano constituye el punto inicial y final del ciclo hidrológico, por lo que se puede considerar una referencia lógica para la composición isotópica de aguas naturales.

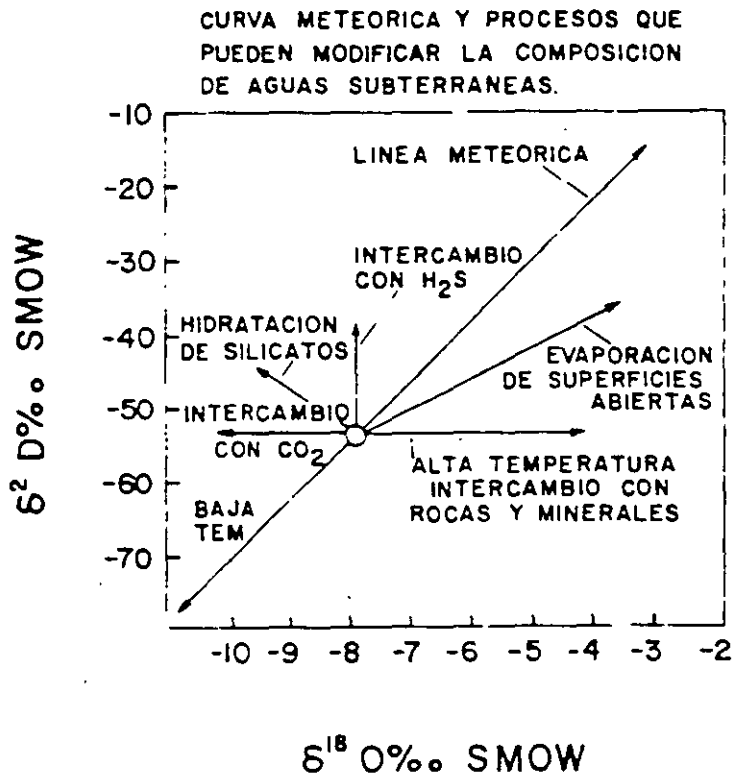
ii) Para agua dulce los valores contra SMOW, representan la evaluación del fraccionamiento isotópico, desde su evaporación en los océanos hasta el momento de la recolección de la muestra, siendo este el resultado de los procesos físico-químicos que reflejan la historia hidrológica de cada agua.

iii) Los océanos contienen el mayor porcentaje del total de agua contenida sobre la superficie terrestre conservando además, una composición isotópica uniforme

LINEA METEORICA MUNDIAL

La concentración de oxígeno-18 expresada como relación isotópica

en la precipitación, se encuentra correlacionada linealmente con la relación isotópica de deuterio, Fig. 2.

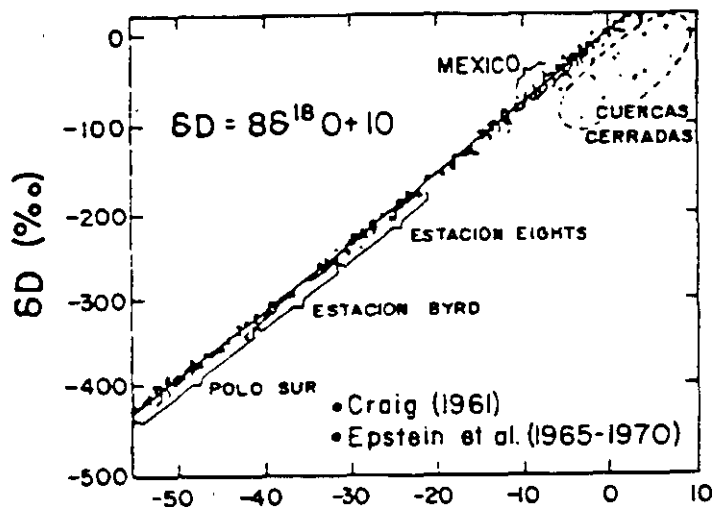


A pesar de los factores que pueden influir en la composición isotópica de aguas meteoricas, la composición media anual de las precipitaciones se mantiene aproximadamente constante dentro de una misma región. Esto se debe a que los factores que deciden el fraccionamiento, actúan de forma reproducible año con año. Esta propiedad es utilizada en estudios de caracterización global de la composición de isótopos estables durante el ciclo hidrológico a nivel mundial.

Debido a que el mayor porcentaje del agua que circula en la litósfera es de origen meteorico, resulta muy importante el estudio de la precipitación mundial, con el fin de obtener una mejor evaluación en investigaciones con isótopos estables, para fines de explotación de los recursos hidricos subterranos

Con este objetivo, el Organismo Internacional de Energia Atómica (IAEA), estableció una red de estaciones meteorológicas alrededor el mundo para determinar el contenido isotopico de Oxígeno-18 y Deuterio en

agua de lluvia. La red quedó formada por un total de 144 estaciones clasificadas como: Isleñas, Costeras y Continentales, de acuerdo a su localización geográfica. Fig. 3.



Una evaluación de los datos recolectados durante los primeros 40 meses de este programa, arrojó la siguiente relación en el contenido de ^{18}O y D en las precipitaciones. (IAEA, 1981):

$$\delta D = (8.17 \pm 0.1)\delta^{18}\text{O} + (10.56 \pm 0.64)\text{‰}$$

Con un coeficiente de correlación de 0.997. En esta línea se observa gran similitud con respecto a la definida por Craig en 1961 para aguas meteóricas representada por la ecuación:

$$\delta D = 8\delta^{18}\text{O} + 10$$

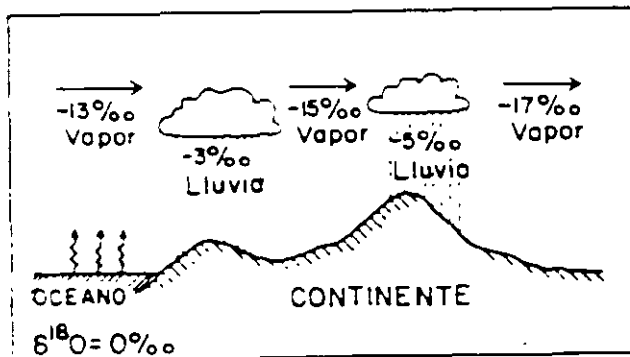
Esta relación lineal se puede explicar por el hecho de que, en el equilibrio, la diferencia de presiones entre el agua y su vapor es aproximadamente 8 veces más grande, en la delta de deuterio que en la de oxígeno-18. La relación entre oxígeno-18 y deuterio suele diferir a nivel regional de los valores mencionados, aun cuando la pendiente de 8 casi siempre se conserva, reflejando los procesos de condensación que ocurren en condiciones de equilibrio termodinámico (vapor y líquido), variando muy poco la ordenada al origen. (Fritz and Fontes, 1980).

De los conceptos mencionados anteriormente, podemos considerar a los isótopos ambientales como trazadores cercanos al "ideal". Además de formar parte intrínseca de la molécula de agua, estos actúan como su memoria, mejor aún, conservan la historia que el agua ha tenido a través del ciclo hidrológico.

La mayoría de las masas de vapor atmosférico que llevan el agua a los continentes se originan en el océano; debido a los diferentes cambios físicos que afectan a los elementos que forman a la molécula de agua, estas masas de vapor estarán empobrecidas en los isótopos pesados (O-18 y D), comparadas con el agua oceánica. Esto se debe principalmente a que el proceso de evaporación en los océanos se lleva a cabo en condiciones fuera del equilibrio e involucra efectos cinéticos y además al proceso de condensación que origina las precipitaciones. (Castillo R. 1985).

Por lo anterior, se observa que el contenido de los isótopos pesados del agua en casi todas las precipitaciones será menor que en los océanos. La condensación removerá preferentemente los isótopos pesados de la nube, así el enfriamiento continuo y la condensación progresiva empobrecerán en O-18 y D a la masa de vapor. El fraccionamiento isotópico durante la condensación en las nubes es un proceso dependiente fundamentalmente de la temperatura a la cual ocurre, Fig. 4.

Figura 4. Efecto Continental y de fraccionamiento por precipitación.



La presión atmosférica, en el momento de la condensación influye muy poco. Esto se ve reflejado en la relación de la composición

isotópica de la precipitación con respecto a la temperatura media anual del lugar.

VARIACIONES DE DEUTERIO Y OXIGENO-18 EN EL CICLO HIDROLOGICO

Los diferentes tipos de agua pueden ser clasificadas de varias formas. La manera más común de agruparlas es de acuerdo a los diferentes procesos ya sean físicos o químicos esto es, debido a los diferentes procesos termodinámicos y de intercambio que sufren durante su historia.

Refiriéndonos a las aguas meteóricas, consideradas como aquellas que siguen el ciclo hidrológico; evaporación, condensación y precipitación. Podemos expresar en términos "generales" que las aguas continentales caen dentro de esta categoría y por tanto las que más conciernen al estudio de aguas subterráneas. (Cortés, 1985).

Las variaciones, tanto temporales como espaciales del contenido isotópico de las aguas de precipitación, tienen su origen en la redistribución isotópica que existe durante los cambios de fase a través de ciclo hidrológico. El grado de fraccionamiento isotópico depende de varios parámetros tales como: la composición isotópica inicial, la velocidad de reacción y las condiciones termodinámicas en las cuales ocurre el cambio de fase. La intervención de estos factores, esencialmente la temperatura, en forma individual o combinada trae como consecuencia ciertos patrones de fraccionamiento o como usualmente se le llama "efectos" que influyen de manera determinante sobre la composición isotópica de la precipitación.

La aplicación de las técnicas isotópicas está estrechamente ligada a la existencia de los efectos isotópicos. Estos estudios han sido derivados de observaciones a largo plazo en los cuales han intervenido varios grupos de investigación a nivel mundial

- *Efecto de latitud* La latitud geográfica de un lugar tiene una relación fuerte con la temperatura media anual, por lo que la concentración de isótopos del agua precipitada reflejará el efectos de la latitud. La red mundial establecida por la IAEA reconoció que las

estaciones localizadas a grandes latitudes en los hemisferios sur o norte, presentan valores más negativos que las estaciones localizadas cerca del Ecuador. Para Norteamérica el efecto de latitud es de -0.5 ‰ en oxígeno por grado de latitud.

- *Efecto de altitud:* Experimentalmente, se observa que a medida que las masas de aire suben o bajan, dependiendo de la topografía y el clima local se presenta una variación isotópica, reflejando valores más negativos cuando la altitud aumenta. Las variaciones en relación a la altitud son en promedio de -0.30 ‰/100m para el O-18 y de -3 a -3.5 ‰/100m para el Deuterio. De hecho, las variaciones de $\delta^{18}\text{O}$ y δD con la altitud pueden usarse para estimar la altura de las áreas de recarga de manantiales.

- *Efecto de cantidad:* Existe también una correlación entre la cantidad de lluvia precipitada y el contenido isotópico; pero este efecto se puede observar principalmente en las estaciones localizadas en las islas tropicales.

- *Efecto continental:* Se ha observado que a medida que se toman muestras de agua meteórica partiendo de la costa hacia el centro de los continentes, éstas presentan un empobrecimiento en los isótopos pesados de oxígeno e hidrógeno.

- *Variaciones estacionales:* Las lluvias de invierno, en general, están empobrecidas en isótopos pesados en comparación con las precipitaciones del verano por razones de la temperatura a la cual ocurre la precipitación, Fig 4 y 5.

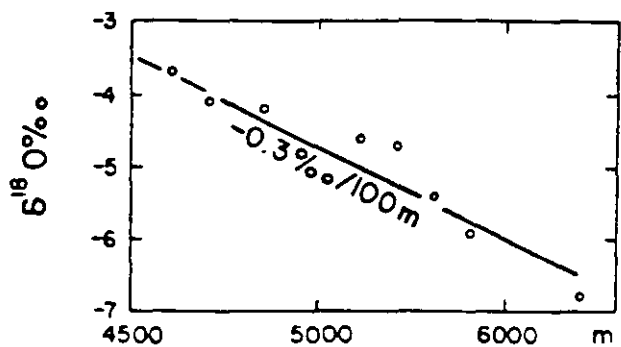
CARACTERISTICAS ISOTOPICAS DEL AGUA SUBTERRANEA Y SUPERFICIAL

Agua Subterranca

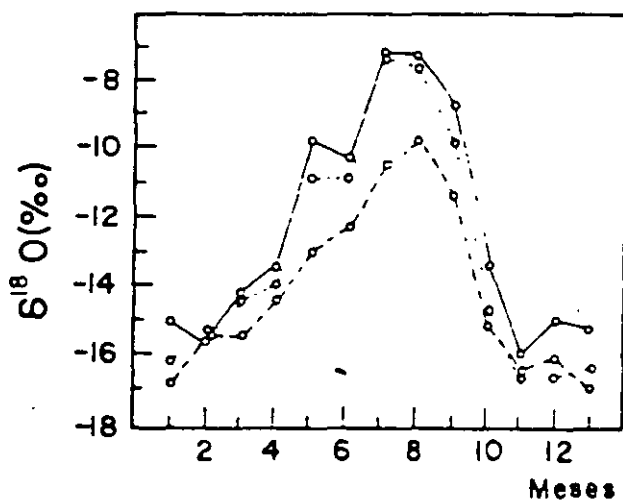
La forma de determinar el origen geográfico de la recarga y los procesos que pueden sufrir el agua subterranca de alguna región bajo estudio se encuentra en el hecho de que el contenido isotópico del agua infiltrada se conserva y que se puede relacionar con la composición

Figura 5.

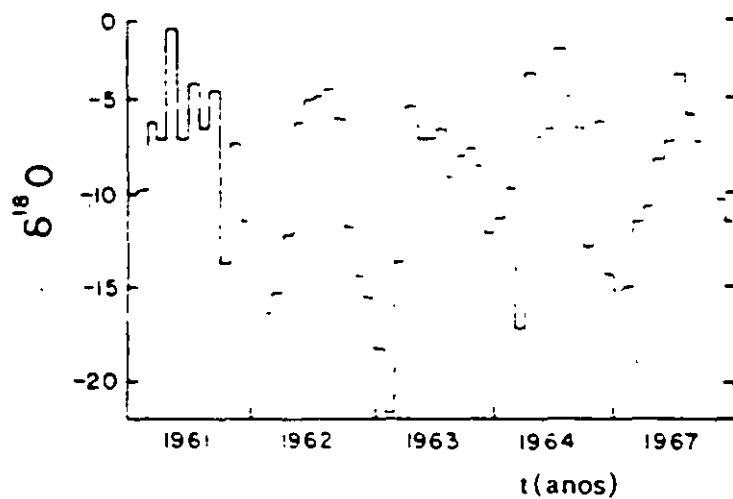
EFFECTO DE ALTITUD



EFFECTO TEMPORAL



EFFECTO ESTACIONAL



isotópica promedio del agua de recarga. En términos generales la interpretación isotópica debe estar acompañada por un análisis hidrogeológico y una evolución geoquímica de la zona de estudio. Idealmente la interpretación de datos isotópicos en aguas subterráneas, se puede plantear con base en los siguientes lineamientos:

1) Es necesario generar una base de datos sobre las concentraciones isotópicas en el agua de lluvia de la región bajo estudio. Los datos isotópicos de la lluvia, deben ser promedios ponderados con respecto a la cantidad de precipitación, debiéndose tomar en cuenta el periodo en el cual se producen los principales procesos de recarga.

2) Posteriormente se determina la composición isotópica en los diferentes acuíferos de la región y se compara con el contenido isotópico de las precipitaciones. Si éste coincide con el mapeo del agua subterránea de la zona, este análisis podrá determinar la altura de recarga, la existencia de recarga local o la posibilidad de flujos regionales. En caso de que se observen discrepancias entre el contenido isotópico de las lluvias y el de las aguas subterráneas, es necesario tomar en cuenta otros factores tales como:

i) La existencia de un desplazamiento geográfico de las masas de agua por escorrentía superficial produciendo variaciones en el contenido isotópico.

ii) Recarga subterránea por embalses de agua superficial parcialmente evaporada, como son: presas, ríos, etc., ya que a medida de que estas aguas se evaporan se enriquecen isotópicamente, alterándose los valores delta en estas aguas de recarga.

iii) Variaciones en el tiempo de la composición isotópica de la precipitación. Esto ocurre porque la recarga se efectuó en el pasado remoto y por lo tanto, bajo condiciones de precipitación distintas a la actual; esto ocurre especialmente en climas áridos o semiáridos en donde las aguas subterráneas se presentan empobrecidas en isótopos pesados, no pudiendo ajustarse los resultados al contenido isotópico de la precipitación actual.

iv) Mezclado con cuerpos de agua de origen no meteórico como pueden ser salmueras, agua de mar, aguas fósiles o aguas juveniles.

v) Interacción con formaciones geológicas que conducen a intercambio o fraccionamiento isotópico entre los átomos que componen el agua y las especies químicas que forman el terreno. Un ejemplo de esta interacción son las aguas termales, con temperaturas mayores de 100 grados centígrados, en donde se observa un enriquecimiento de $O-18$ por intercambio de oxígeno con las rocas; en este caso se mantiene el valor de la delta de Deuterio original del agua debido a que en las rocas, por lo general, hay poca cantidad de hidrógeno con el cual pudiera existir intercambio Fig.2.

Es importante señalar que en acuíferos confinados, el contenido isotópico no varía incluso en periodos de miles de años, debido al nulo intercambio isotópico. Sin embargo, en lagos y cuencas donde la evaporación es grande, existe un enriquecimiento marcado.

Agua Superficial

El agua superficial puede ser afectada isotópicamente por procesos como los de evaporación a lo largo de su recorrido. Como la composición isotópica de los ríos es función de la altura de las cuencas en que se forman y de los procesos que pueden ocurrir a lo largo de su cauce, éstos se pueden caracterizar por una composición isotópica diferente a la de la recarga local, lo cual permite determinar la contribución de los ríos al agua subterránea de la región.

En el caso de los lagos, estos presentan variaciones influenciadas principalmente: por la zona geográfica donde se encuentran, la composición isotópica del agua que lo alimenta, así como el régimen de evaporación y precipitación. Los lagos y otras formas similares de agua superficial como son las presas se caracterizan por presentar un enriquecimiento en las especies isotópicas pesadas, con respecto al agua meteórica que las origina, debido a la fuerte evaporación a que están expuestas.

Otro proceso importante es el producido por la evaporación y

En conclusión, el conocimiento del agua superficial en la región de estudio es de vital importancia, ya que así se podrá estimar con una mayor seguridad su contribución a la recarga.

TRITIO

Tritio (T), isótopo radioactivo del hidrógeno, su vida media es de $t_{1/2} = 12.3$ años. La determinación de este elemento se efectúa por medida directa de la radioactividad proveniente de la desintegración del núcleo cuando éste emite radiaciones β ; la unidad usada para reportar la concentración de tritio es UT, que corresponde a una abundancia de 10^{-18} átomos de T por un átomo de hidrógeno. Una unidad de tritio (UT) es equivalente a 7.2 desintegraciones por minuto en un litro de agua. Dentro de los métodos más comunes para la determinación del tritio, se pueden mencionar: centelleo líquido y centelleo gaseoso. A continuación se menciona de manera muy breve los pasos fundamentales de la técnica por centelleo líquido:

- 1.- Destilación de la muestra de agua, con el fin de eliminar gases y sales contenidas en solución.
- 2.- Concentración electrolítica, esta parte se lleva a cabo en un recipiente que contiene celdas tipo Ostlund (placas de hierro y níquel).
- 3.- Separación del electrolito y agua
- 4.- Después del segundo proceso de destilación el agua es mezclada con un líquido de centelleo para posteriormente realizar la estadística y obtener el valor de la concentración de tritio en la muestra a analizar.

Para el Tritio no existe un patron de referencia debido a que se reportan concentraciones absolutas determinadas radiométricamente y reportadas como unidades de tritio (U.T). (Lloyd, J W., 1985).

Interpretación para Tritio

Se ha podido comprobar experimentalmente a nivel mundial que las concentraciones de tritio en la lluvia aumentan a medida de que la

latitud es mayor, y para una localidad en particular, la máxima concentración es observada en las precipitaciones de primavera. En general son del orden de 3 veces mayor al promedio anual pesado.

El tiempo de tránsito de aire húmedo sobre los continentes o sobre los océanos también tiene un efecto sobre la concentración de tritio debido a la mezcla entre los vapores de agua provenientes de la superficie libre de agua oceánica y el vapor tritiado de la atmósfera. Se puede encontrar sistemáticamente que el tritio en las lluvias del continente presetan una concentración mayor que las lluvias precipitadas sobre el océano

Para propósitos prácticos al utilizar las medidas de concentración de tritio en estudios hidrológicos se debe tener en cuenta lo siguiente:

i) Los niveles mundiales existentes de tritio antes de 1952 corregidos por decaimiento radiactivo, eran en promedio menores a 5 UT.

Para fines de interpretación se pueden presentar los siguientes casos en forma general:

ii) Para una muestra de interés, si el contenido de tritio es menor que una unidad de tritio (1 UT), se puede inducir a pensar que el tiempo de residencia de esta agua dentro del acuífero es mayor que 50 años.

iii) En caso de obtener valores de tritio mayores que una unidad de tritio (1 UT) el agua analizada tendrá una componente que corresponde a aguas meteóricas recientes, después de 1952

Para la concentración de tritio y la actividad del ^{14}C en las muestras de agua, según Mook (1980), no se tiene una base real para la aplicación de un procedimiento por medio del cual puedan obtenerse las edades absolutas del agua subterránea mediante una combinación de los datos de ^{14}C y tritio. Esto se debe al gran número de variables desconocidas, tales como, la razón de mezcla de agua vieja y joven, el contenido de tritio de la precipitación a la que se refiere la muestra, el contenido de ^{14}C de la capa de humus efectiva que produce el CO_2 del suelo, y otras

En realidad los datos combinados de ^{14}C y tritio pueden dar ciertos límites en la edad. Bajo estas condiciones se propone el siguiente esquema de interpretación, (Arizavalo y Martínez, 1989).

a) Si $10 < T \leq 30$ y $60 \leq ^{14}\text{C} \leq 120 \rightarrow$
 Agua moderna <50 años

b) Si $1 \leq T \leq 10$ y $20 < ^{14}\text{C} < 60 \rightarrow$
 Agua de mezcla >50 años

c) Si $0 \leq T < 1$ y $0 \leq ^{14}\text{C} \leq 20 \rightarrow$
 Agua de cientos o miles de años

Los seis casos restantes se deducen a partir de las combinaciones posibles entre los incisos. Por ejemplo a) con b) y c). La interpretación propuesta para los casos probables es la siguiente:

a1) Si $10 < T \leq 30$ y $20 < ^{14}\text{C} < 60 \rightarrow$ Agua de mezcla >50 años

a2) Si $10 < T \leq 30$ y $0 \leq ^{14}\text{C} \leq 20 \rightarrow$ Agua de mezcla >50 años

b1) Si $1 \leq T \leq 10$ y $60 \leq ^{14}\text{C} \leq 120$ Agua moderna <50 años

b2) Si $1 \leq T \leq 10$ y $0 \leq ^{14}\text{C} \leq 20 \rightarrow$ Agua de mezcla >50 años

c1) Si $0 \leq T < 1$ y $60 \leq ^{14}\text{C} \leq 120 \rightarrow$ Agua de mezcla >50 años

c2) Si $0 \leq T < 1$ y $20 < ^{14}\text{C} < 60 \rightarrow$ Agua de mezcla >50 años

CARBONO - 14

Fechaiento de Aguas Subterráneas con ^{14}C

Uno de los problemas básicos en el fechaiento de aguas subterráneas radica en el desconocimiento que se tiene de la actividad inicial del ^{14}C que recargó el acuífero. El contenido de ^{14}C inicial con

el tiempo ha sufrido innumerables modificaciones secundarias, por lo que las actividades de carbono-14 del carbonato del agua no se pueden traducir directamente en edades:

Esto ha permitido la elaboración de modelos congruentes que permiten la evaluación de los procesos de dilución del CO₂ del suelo producidas en la zona no saturada. Tal dilución se da básicamente a través de tres mecanismos principales: precipitación de la disolución mineral, introducción de carbón orgánico y volcánico e intercambio isotópico entre el carbono del CO₂ acuoso y el mineral (Fritz y Mozeto, 1980).

-Modelos de Fechamiento

- a) Aproximación de A₀ promedio.
- b) Modelo Exponencial
- c) Aproximación Geoquímica
- d) Mezcla Isotópica del ¹³C
- e) Modelo de Disolución-Intercambio

Como se puede observar, estos modelos se fundamentan en consideraciones químicas e isotópicas. (Vogel, 1967; Pearson, 1965). A diferencia del tritio, los contenidos de ¹⁴C se refieren a un estándar que corresponde a una madera que creció durante 1890 en un ambiente libre de CO₂ fósil, es decir, para CO₂ atmosférico anterior al inicio de la combustión masiva de carbono fósil. El contenido de ¹⁴C se define como la actividad (A) que representa el carbono moderno, por lo que todas las muestras medidas se expresan en porcentaje de carbono moderno (p_{mc}) (Fritz, P., Fontes, J.Ch., 1980):

$$A = \frac{(^{14}\text{C}/^{12}\text{C})_{\text{muestra}}}{(^{14}\text{C}/^{12}\text{C})_{\text{estandar}}} \times 1000.$$

Donde el estándar actualmente aceptado es el Acido Oxálico distribuido por el National Bureau of Standards (NBS) cuya relación con la actividad del carbon moderno es:

¹⁴C ACTIVIDAD DEL CARBONO MODERNO = 0.95 ¹⁴C ACTIVIDAD DEL ACIDO OXALICO
NBS EN 1950.

El $^{14}\text{CO}_2$ atmosférico antes de 1950 tenía una actividad cercana a los 100 pmc, por lo que este valor se utiliza como valor inicial en algunos modelos de datación de agua subterránea. (Mook, 1972, 1976, 1980).

MUESTREO DE LOS ISOTOPOS UTILIZADOS

El muestreo para análisis isotópicos en muestras de agua es un procedimiento muy simple, pero deben guardarse algunas precauciones en el manejo y colección de la muestra.

Para los análisis de TRITIO se requiere una botella de plástico de 1 lt., la cual debe llenarse completamente y sellarse con una tapa y contratapa para evitar contacto con el tritio atmosférico, etiquetándola debidamente con los datos adicionales que se realizan a todas las muestras de agua como número de muestra, localidad, temperatura, pH, conductividad y fecha de muestreo.

Para el caso de los isótopos estables del OXIGENO-18 y DEUTERIO, se requiere una botella de vidrio de 30 ml, de preferencia de color ambar, esto para evitar proliferación orgánica. Como en el caso anterior, debe evitarse la alteración causada por intercambio molecular con el vapor de agua atmosférico. Debido a que los isótopos del oxígeno e hidrógeno se utilizan para estudiar procesos de evaporación, debe tenerse precaución durante la colección de las muestras.

Dado que la concentración de CARBONO-14 está representada en muy pequeñas cantidades, dependiendo de la alcalinidad del agua, se requiere una muestra de alrededor de 60 litros de agua, de la cual se precipitan los carbonatos presentes mediante la adición de 100 ml de una solución de NaOH libre de carbonatos (200 g NaOH/l) y un litro de BaCl_2 saturado (500 g BaCl_2 /l). La adición de estos componentes produce una reacción química que cambia a los compuestos inorgánicos en solución a BaCO_3 . Se necesitan por lo menos 80 g de BaCO_3 precipitado. En el laboratorio este precipitado se acidifica para producir CO_2 y convertirlo luego a Benceno o Metano, (Arizabalo, 1989).

Los análisis de CARBONO-13 se realizan con el CO_2 liberado al

mezclar Acido Fosfórico (H_3PO_4) con el precipitado de $BaCO_3$ que se obtuvo añadiendo $BaCl_2$ a la muestra de agua que previamente se ha aumentado su pH sobre 10. El CO_2 se analiza al igual que los isótopos estables mencionados, en un espectrómetro de masas.

AGRADECIMIENTOS

Quiero expresar mi agradecimiento a la Srita. Martha Saucedo L., por su ayuda en la edición y captura. Al Sr Carlos Sosa, por el diseño gráfico.

REFERENCIAS

- Arizabalo, Z. R.D., 1989. "Aplicación de los isótopos ambientales ^{18}O , 2H , 3H , ^{34}S , ^{13}C y ^{14}C en el estudio del agua subterránea de las Cuencas de México, Cuernavaca y Cuautla". Tesis de Maestro en Ciencias (Geofísica). 94p.
- Arizabalo, Z. R. D.; Martínez, J. D., 1989. "Programa para la Interpretación de Tritio y Carbono-14 en Estudios Hidrológicos". Memorias del Congreso Anual de la Unión Geofísica Mexicana, Cuernavaca Morelos, México.
- Castillo R., 1985. El análisis isotópico y sus aplicaciones. Instituto de Física, UNAM. Reporte Interno
- Craig H., 1961. Standard for reporting concentrations of deuterium and oxygen-18 in natural waters. Science 133:1833.
- Cortés A., 1985. Aplicación de la espectrometría de masas y técnicas isotópicas para la determinación de oxígeno-18 y deuterio en problemas hidrológicos Tesis profesional Fac. de Ciencias, UNAM.
- Davis, S.N., D.J. Cambell, H.W. Bentley and T.J. Flynn, 1985. Ground Water Tracers National Water Well Association.
- Deines, P. 1980. The isotopic composition of reduce organic carbon. En:

Fritz and J. Ch. Fontes (Eds) Handbook of Environmental Isotope Geochemistry, Vol. 1- The Terrestrial Environment A, Elsevier, p. 329-393.

Fritz and J. Ch. Fontes (Eds), 1980. Handbook of Environmental Isotope Geochemistry, Vol. 1- The Terrestrial Environment A, Elsevier.

Fritz, P. Mozeto, A. A., 1980. Considerations on radiocarbon dating of groundwater. En: C.O. Rodríguez N. y C.B. de Monroy (Eds). Memoria del Simposio Interamericano sobre Hidrología Isotópica, ICNE- OEA- COLCIENCIAS, Bogotá, p. 221-224.

Gat J. and Gonfiantini R., 1981. "Stable isotope hydrology, deuterium and oxygen-18 in the water cycle". Technical reports series, No. 210 IAEA, Viena, A.

Gonfiantini R., 1978. Standards for stable isotope measurements in natural compounds. Nature (London) 271:534. - Fritz, P. and Fontes, J.Ch., (eds) 1980. Handbook of Environmental Isotope Geochemistry. Vol. 1. The Terrestrial Environment, A. Elsevier.

Hoefs J., 1980. "Stable isotope geochemistry". Second Edition. Springer-Verlag Heidelberg, New York.

IAEA. 1981. Gat J. and Gonfiantini R. Stable isotope hydrology deuterium and oxygen-18 in the water cycle. Technical reports series, No. 210. Viena, Austria.

McDowell C., 1963. "Mass Spectrometry". McGraw-Hill Book Co., Inc. New York.

Mook, W. G., 1980. Carbon-14 in hydrogeological studies. En: P. Fritz and J. Ch. Fontes (Eds) Handbook of Environmental Isotope Geochemistry, Vol. 1- The Terrestrial Environment A, Elsevier, p. 49-71.

Nier A., 1950. Redetermination of relative abundances of the isotopes of carbon, nitrogen, oxygen, argon and potassium. Phy. Rev. 77:714.

Pearson, F. J. Jr., 1965. Use of $^{13}\text{C}/^{12}\text{C}$ ratio to correct radiocarbon ages of materials initially diluted by limestone. En: Radiocarbon and Tritium Dating, Proceedings of the Sixth International Conference on Radiocarbon, P. Washington, p. 357-366.

Vogel, J.C., 1967. Investigation of groundwater flow with radiocarbon. En: Isotopes in hydrology, IAEA, Viena, p. 355-369.

White, W.B., 1967. "Modifications of Fluorescein Dye Ground Water Tracing Techniques". Stajer. Steir. Beitr. Z. Hydrogeologie, 18/19 151-158.

MATERIAL DIDACTICO PARA UN CURSO CORTO DE
HIDROLOGIA ISOTOPICA

Alejandra Cortés y Rubén D. Arizabalo
Instituto de Geofísica/UNAM/04510/México, D.F.

GLOSARIO DE TERMINOS UTILIZADOS

ACTIVIDAD: Radiactividad de una sustancia dada en desintegraciones por minuto (dpm), o en becquerel o en curies.

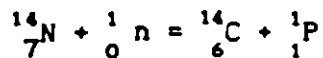
ACTIVIDAD ESPECIFICA: Actividad de un radioisótopo expresado en dpm o en Bq por unidad de masa (gramo) del elemento correspondiente.

BECQUEREL (BQ): La unidad para expresar la radiactividad. El becquerel corresponde a una desintegración por segundo y es equivalente a 2.7×10^{-11} Ci (curies); es por lo tanto una unidad muy pequeña. Los múltiplos de Bq que normalmente se usan son: megabecquerel ($MBq=10^6 Bq$), gigabecquerel ($GBq=10^9 Bq$) y terabecquerel ($TBq=10^{12} Bq$).

CDI: (Cañón Diablo Troilite). La troilita (FeS) contenida en el Meteorito del Cañón del Diablo, el cual se usa como referencia estándar para las determinaciones $^{34}S/^{32}S$. La composición isotópica del azufre de CDI refleja adecuadamente la composición isotópica promedio del azufre terrestre.

ISOTOPOS DEL CARBONO Existen tres isótopos naturales del carbono. Dos son estables ^{12}C (abundancia promedio 98.89%) y ^{13}C (1.11%). El tercer isótopo, ^{14}C es radiactivo (abundancia, $10^{-10}\%$). El contenido de C^{13} en compuestos naturales varía, en unidades ‰ vs. PDB, desde +10 (en travertinos) a 0 (valor promedio de la caliza marina) a -25 (materia orgánica), a -80 (metano).

CARBONO-14 (^{14}C) Isótopo radiactivo del carbono producido en la atmósfera por la interacción de los neutrones -producidos por rayos cósmicos- con nitrógeno, de acuerdo a la reacción:



La razón de producción es 2.5 átomos/cm²xs. El ¹⁴C producido es rápidamente oxidado a CO₂ y entra al ciclo del carbono geoquímico.

Desde 1952 se han introducido grandes cantidades de carbono-14 en la atmósfera por las explosiones termonucleares. Otra fuente de ¹⁴C son los reactores nucleares.

CICLOS DE CALVIN Y HATCH-SLACK: (C₃ y C₄) La fijación del carbono en la fotosíntesis de las plantas pueden ocurrir por dos mecanismos que difieren por el número de átomos de carbono del primer compuesto formado en la cadena fotosintética. Estos mecanismos fotosintéticos se conocen como los ciclos de Calvin (C₃) y de Hatch-Slack (C₄). Sin embargo, las plantas con metabolismo tipo crasuláceo, son capaces de fijar el CO₂ atmosférico por ambos ciclos. Las plantas se dividen por su contenido isotópico de la siguiente manera: a) Plantas que siguen el ciclo de Calvin o C₃, con un contenido de ¹³C entre -37 y -24 ‰, y un valor medio aproximado de -27 ‰ b) Plantas que siguen el proceso Hatch-Slack ó C₄, presentan valores de δ¹³C entre -9 y -19 ‰. c) Plantas que siguen el proceso C.A.M. (Crassulacean Acid Metabolism) corresponde a un amplio intervalo en el contenido de ¹³C e incluyen los procesos C₃ y C₄.

RADIACION COSMICA: La radiación cósmica primaria (que se origina en el sol -componente solar- y en las estrellas -componente galactico) consiste de protones de muy alta energía y partículas- con una pequeña fracción de núcleos más pesados. La radiación cósmica primaria con los componentes de la atmósfera superior. Esta consiste de una gran variedad de partículas nucleares, entre ellas: neutrones protones, hiperones, antipartículas, etc.

El tritio y el ¹⁴C se forman por la interacción de los rayos cósmicos con la atmósfera. Otros isótopos formados por rayos cósmicos son: ¹⁰Be (vida media 2.7 x 10⁶a), ⁷Be (53.6 d), ³²Si (100 a) ³⁶Cl(300,000 a), ³⁹Ar (2269 a), ⁸¹Kr(210,000 a), etc.

CONTADOR GEIGER-MULLER: Un instrumento para la detección de sustancias radiactivas y para determinar su concentración. Básicamente consiste de un cilindro metálico lleno de gas que tiene un alambre a lo largo de su eje. El alambre tiene un voltaje positivo de aproximadamente 1000-1500V

con respecto a las paredes del cilindro; la radiación α , β ó γ que entra al cilindro causa una ionización del gas y se produce una descarga entre el alambre y las paredes, la cual se detecta y registra con instrumentación electrónica apropiada.

CONTADOR PROPORCIONAL: Este contador es comunmente usado para la determinación de tritio y ^{14}C . Es esencialmente lo mismo que el contador Geiger-Muller, pero el potencial del alambre central se ajusta de manera que los pulsos producidos por las radiaciones son proporcionales a la energía liberada. Por lo tanto, las radiaciones que tienen diferentes energías pueden ser distinguidas y contadas separadamente.

Para la determinación de tritio y ^{14}C en muestras naturales, el contador se llena con gas (comunmente etano o metano) sintetizado con el hidrógeno o el carbono que va a ser analizado. La medida de conteo de fondo (background) del contador, se reduce con un grueso escudo de plomo o acero y con contadores de coincidencia, arreglados para eliminar la radiación cósmica que afecta a los contadores.

CONTADOR DE CENTELLEO: Este contador utiliza el hecho de que ciertas sustancias emiten brillo durante la interacción con una radiación. Los destellos se detectan por un fotomultiplicador, la cantidad de estos sera proporcional al número de partículas radioactivas incidentes.

Los contadores de centelleo son comunmente usados para detectar los rayos- γ emitidos por isótopos artificiales. El centellador es un cristal de NaI, activado con trazas de Ioduro de Talio. Un medidor de cuentas dá el número de desintegraciones por unidad de tiempo, dando medida inmediata de la concentración.

Los contadores de centelleo líquido son usados para la determinación de tritio y ^{14}C . En estos contadores el líquido centellea por la interacción con una partícula- β que se mezcla con el líquido bajo investigación (comunmente agua en el caso de tritio y benceno en el caso de ^{14}C).

CURIE (Ci): Unidad para expresar radiactividad. Corresponde a la cantidad de cualquier isotopo radiactivo que sufre 3.7×10^{10} desintegraciones por segundo. Actualmente se utiliza el becquerel.

Los Millicurie ($\text{mCi} = 10^{-3}\text{Ci}$), microcurie ($\text{Ci} = 10^{-6}\text{Ci}$), nanocurie ($\text{nCi} = 10^{-9}\text{Ci}$) y picocurie ($\text{pCi} = 10^{-12}\text{Ci}$) son unidades normalmente utilizadas.

DELTA. NOTACION ($\delta^\circ/\text{‰}$): Se define como:

$$R_{p-x} = \{(R_m - R_p)/R_p\} \times 1000$$

donde $R = D/H$, ó $^{18}O/^{16}O$, ó $^{13}C/^{12}C$, ó $^{34}S/^{32}S$, ó $^{15}N/^{14}N$, etc., en la muestra m , respecto a un patrón p .

Los patrones o referencias generalmente adoptados para análisis isotópicos son: de hidrógeno y oxígeno, en muestras de agua, el SMOW (Standard Mean Ocean Water), el PDB para carbono, CDT para azufre y nitrógeno atmosférico para los isótopos del nitrógeno.

DEUTERIO: Isótopo estable del hidrógeno con masa 2, indica con el símbolo D ó 2H .

ISOTOPOS AMBIENTALES: Aquellos isótopos de origen natural o artificial, que ocurren en el ambiente sobre una escala regional o global. Las variaciones isotópicas en aguas naturales pueden ser usadas en estudios hidrológicos para determinar algunos aspectos importantes de las aguas superficiales y subterráneas, tales como origen, edad, tiempos de residencia, direcciones de flujo, familias de agua, etc.

TRAZADOR AMBIENTAL DEL AGUA: Cualquier sustancia que aparece en las aguas naturales derivada del ambiente, cuya distribución de concentración en el espacio y/o tiempo puede ser usado para diferenciar o "etiquetar" masas específicas de agua, o para identificar su origen.

Los trazadores ambientales comúnmente, pasan a formar parte del ciclo hidrológico a través de los procesos atmosféricos, pero también lo hacen por disolución o intercambio con rocas o material orgánico que se encuentran en los estratos geológicos en los cuales se mueve el agua, o por decaimiento radiactivo de rocas a profundidad. Los isótopos que ocurren naturalmente tienen ciertas propiedades únicas que pueden ser aplicadas a la solución de problemas hidrológicos, a diferencia de los trazadores ordinarios.

EVAPORACION LINEA DE: En un diagrama ($\delta^{18}O$, δD), una línea de la ecuación:

$$\delta D = a\delta^{18}O + b$$

que representa la composición isotópica de las aguas que, teniendo las mismas características isotópicas iniciales, han sufrido diferentes grados de fraccionamiento bajo condiciones ambientales similares. Para aguas de evaporación, el valor de la pendiente puede ser aún menor que 4. Una elevada concentración de sal puede afectar este valor considerablemente.

Las líneas de evaporación en un diagrama ($\delta^{18}\text{O}$, δD) se grafican a la derecha de la línea meteórica, la intersección de las dos líneas da los valores de $\delta^{18}\text{O}$ y δD del agua antes de la evaporación.

VIDA-MEDIA: El tiempo necesario para reducir la concentración de un isótopo radiactivo dado a la mitad de su valor inicial por decaimiento radiactivo: $C=C_0/2$. La vida media es entonces:

$$T_{1/2} = (\ln 2)/\lambda$$

donde λ es la constante característica de decaimiento del isótopo.

ISOTOPOS DE HIDROGENO: Existen tres isótopos naturales del hidrógeno. Dos son estables: ^1H protio, (abundancia promedio en agua oceánica de 99.98%), ^2H o D Deuterio, (abundancia promedio de 0.0155%) y el tercer isótopo, ^3H o T Tritio, que es radioactivo.

Las variaciones en los valores δD en compuestos naturales son amplias, debido a la gran diferencia de masa (100%) entre D e H. En aguas naturales los valores de δD varían de +100 a -450‰.

ISOTOPOS: Son átomos del mismo elemento químico, por lo tanto con igual número atómico pero con diferente masa atómica. Los isótopos tienen el mismo número de protones en el núcleo pero diferente número de neutrones. Para el caso del oxígeno, como ejemplo, tiene tres isótopos naturales con masas de 16, 17 y 18:

^{16}O : 8 protones + 8 neutrones en el núcleo

^{17}O : 8 protones + 9 neutrones en el núcleo

^{18}O : 9 protones + 10 neutrones en el núcleo

El índice inferior a la izquierda del símbolo químico indica el número de protones en el núcleo (número atómico); el índice superior la

suma de protones y neutrones (numero de masa). Generalmente el número atómico es omitido, por lo que los isótopos son identificados por el símbolo químico del elemento y por su número de masa.

Los isótopos pueden ocurrir naturalmente o ser producidos artificialmente (p. ej. en un reactor), y ser estables o radiactivos.

ISOTOPOS RADIATIVOS: Los isótopos radiactivos tienen núcleos inestables. Cambian a isótopos de otros elementos con el tiempo (decaimiento radiactivo). La razón de decaimiento se expresa generalmente por medio de la vida-media.

La concentración de isótopos radiactivos en un sistema cerrado decrece exponencialmente con el tiempo a que menos que exista producción al mismo tiempo por algunos otros procesos radiactivos.

ISOTOPOS ESTABLES: Los isótopos estables tienen un núcleo con configuración estable. Su concentración en un sistema cerrado no cambia con el tiempo a menos que sean productos por algún elemento radiactivo presente en el sistema.

FACTOR DE ENRIQUECIMIENTO ISOTOPICO: Es la diferencia entre el factor de fraccionamiento α (ver abajo) y la unidad, indicando con ϵ :

$$\epsilon = \alpha - 1$$

En general, ϵ está en ‰, y es por tanto comparable con los valores δ . Algunas veces, el término factor de enriquecimiento se usa en vez del factor de fraccionamiento indicado por α .

INTERCAMBIO ISOTOPICO. El intercambio de isótopos de un elemento dado entre compuestos químicos o fases. Este proceso permite diferentes composiciones isotópicas de compuestos o fases que co-existen para a un equilibrio característico de las condiciones del sistema. Para propósitos hidrológicos los procesos de intercambio isotópico más importantes son:

1.- Intercambio entre agua y rocas (especialmente calizas). En este proceso únicamente la composición isotópica del oxígeno del agua y de la caliza puede ser afectada (el contenido de hidrógeno de las rocas es generalmente pequeño). Este proceso es muy leve a las temperaturas que normalmente ocurren en los acuíferos y puede ser de importancia

únicamente para aguas termales, donde la temperatura elevada aumenta significativamente la razón de intercambio.

2.- El intercambio isotópico del carbono entre bicarbonato disuelto y CaCO_3 sólido en el acuífero, el cual puede modificar los contenidos de ^{13}C y ^{14}C del bicarbonato usado para la determinación de la edad por ^{14}C . Este proceso también, es muy lento a temperaturas normales, pero la cantidad de bicarbonato disuelto, que es relativamente pequeña, puede ser afectada en su composición isotópica. En este caso, la $\delta^{13}\text{C}$ del bicarbonato será desplazado hacia valores más positivos.

FRACCIONAMIENTO ISOTOPICO: Es la diferencia en la distribución de los isótopos del mismo elemento en dos fases diferentes, que coexisten (Ejemplo; agua-vapor de agua) en mutuo intercambio isotópico. El fraccionamiento isotópico tiene características físicas y químicas ligeramente diferentes, principalmente las físicas, debido a las pequeñas diferencias en masa. Por lo tanto, el fraccionamiento isotópico es, en general, más grande para los elementos ligeros porque la diferencia relativa de masa es mayor.

FACTOR DE FRACCIONAMIENTO ISOTOPICO: El factor de fraccionamiento entre dos compuestos que interactúan o coexisten en dos fases A y B, generalmente indicado por α , está definido por:

$$\alpha = R_A/R_B$$

donde R_A y R_B representa la razón isotópica para los diferentes elementos, $^{18}\text{O}/^{16}\text{O}$, D/H , $^{13}\text{C}/^{12}\text{C}$, $^{34}\text{S}/^{32}\text{S}$, etc. Si A y B están en equilibrio termodinámico entonces α es el factor de fraccionamiento en equilibrio. Si la reacción de intercambio entre A y B no ha alcanzado el equilibrio, entonces los factores cinéticos prevalecen y el factor de fraccionamiento cinético resultante es generalmente muy diferente del fraccionamiento en equilibrio.

En la ecuación anterior, la razón entre la composición isotópica de los compuestos se elige para producir $\alpha > 1$ a temperatura normal. El valor de α tiende a 1 cuando la temperatura se incrementa. En ciertos casos, cuando la temperatura se eleva α puede pasar desde un valor > 1 a un valor < 1 y viceversa; sin embargo, el valor asintótico de α para $T \rightarrow \infty$ es siempre 1.

La dependencia del factor de fraccionamiento isotópico con la temperatura puede usarse para evaluar, desde la composición isotópica de dos compuestos co-existentes, hasta la temperatura a la cual se han equilibrado.

ESPECTROMETRO DE MASA: Es un instrumento diseñado para separar moléculas de acuerdo a su relación carga-masa en base a su movimiento a través de campos eléctricos y/o magnéticos. Esencialmente -un este instrumento opera de acuerdo a los siguientes principios básicos:

- I.- Admisión del gas y Formación de iones
- II.- Aceleración y Colimación de iones
- III.- Analizador magnético
- IV.- Colección y medición de iones

En un espectrómetro de masas, las moléculas neutras del gas a investigar se ionizan (por impacto de un haz de electrones). Los iones son acelerados a través de un campo eléctrico. Posteriormente entran a un campo magnético normal a su trayectoria, por lo que describen trayectorias circulares, cuyos radios dependen de la masa de los iones.

$$r = \frac{1}{H} \sqrt{\frac{2Vm}{e}}$$

(r= radio, H= intensidad del campo magnético, V= voltaje acelerado, m= masa del ión, e= carga eléctrica del ión).

Los iones, dependiendo de su masa caen en lugares físicos previamente calculados, de modo que pueden colectarse separadamente y medir así su concentración relativa.

VIDA PROMEDIO: El tiempo promedio de vida τ de un átomo radiactivo:

$$\tau = \frac{\int_0^{\infty} Cdt}{C_0} = \frac{1}{\lambda} = \frac{\text{vida media}}{\ln 2}$$

LÍNEA DE AGUA METEORICA (ISOTOPOS ESTABLES): En un diagrama ($\delta^{18}\text{O}$, δD), la línea de la ecuación

$$\delta\text{D} = 8 \delta^{18}\text{O} + 10; \text{ en } \delta\text{‰}$$

que es el mejor ajuste de los puntos que representan la composición de las muestras de precipitación provenientes de diferentes partes del mundo, 144 estaciones colocadas en diferentes puntos del globo terrestre, catalogadas como: Isleñas, Continentales y Costeras; controladas por el Organismo Internacional de Energía Atómica.

En algunas regiones del mundo la línea meteórica que representa la correlación entre $\delta^{18}\text{O}$ y δD está desplazada, generalmente con la misma pendiente 8 pero un valor diferente de la intersección con el eje δD (línea de agua meteórica regional).

Las aguas subterráneas y superficiales siguen en la mayoría de los casos la misma relación $\delta^{18}\text{O} - \delta\text{D}$ a menos que hayan sufrido una fuerte evaporación como ocurre a menudo en los lagos. La evaporación de superficie libre tiende a enriquecer el contenido isotópico del agua pero no en la proporción relativa establecida por la ecuación anterior.

ISOTOPOS DEL NITROGENO: Existen dos isótopos del nitrógeno, ambos estables ^{14}N y ^{15}N . La abundancia del ^{15}N en el aire es 0.3663%. El nitrógeno del aire tiene una composición isotópica uniforme a través del mundo y puede usarse como un estándar de referencia para las determinaciones de $^{15}\text{N}/^{14}\text{N}$. Los valores $\delta^{15}\text{N}$ generalmente varían en compuestos naturales de -10 a $+20$ ‰.

ISOTOPOS DEL OXIGENO: Existen tres isótopos estables: ^{16}O (abundancia promedio en material terrestre es 99.76%), ^{17}O (0.04%), ^{18}O (0.2‰). Las variaciones de la razón $^{17}\text{O}/^{16}\text{O}$ no son investigadas usualmente, ya que en materiales terrestres es más pequeña que un factor de 2 que la razón $^{18}\text{O}/^{16}\text{O}$.

El valor $\delta^{18}\text{O}$ varía en compuestos naturales de $+40$ CO₂ atmosférico a -60 ‰ (hielo polar), contra SMOW.

PDB: Es el CaCO₃ obteniendo del rostrum calcáreo de una Belemnitella del Vretácico (Belemnitella Americana) de la Formación Pee Dee de Carolina del Sur. La composición isotópica de su carbono representa un buen promedio del de la caliza marina.

El PDB se utiliza también como una referencia estándar para las determinaciones de $^{18}\text{O}/^{16}\text{O}$ en medidas de paleotemperaturas. El PDB ya no está disponible ahora. Otra muestra de la CaCO₃, cuya composición isotópica con respecto al PDB es conocida, está disposición para

calibración: el NBS-19, distribuido por el OIEA y por la National Bureau of Standards in Washington, D.C

LEY DE DECAIMIENTO RADIOACTIVO: El decaimiento radiactivo sigue la ley:

$$\frac{dC}{dt} = -\lambda C$$

donde C es la concentración de un núcleo radiactivo en el sistema al tiempo t, dC/dt es la razón de decaimiento y λ es la constante de decaimiento característico de cada isótopo. Por integración obtenemos:

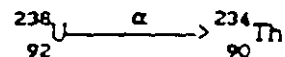
$$C = C_0 e^{-\lambda t}$$

donde C_0 es la concentración del núcleo radiactivo presente al tiempo inicial (t=0). Conociendo C_0 , λ y C (la concentración presente) podemos evaluar la edad del sistema:

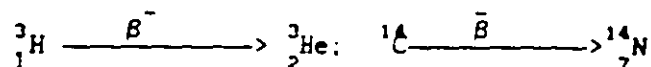
$$t = 1/\lambda \ln \frac{C_0}{C}$$

RADIOACTIVIDAD: El proceso por el cual los isótopos se transforman (decaen en isótopos de otros elementos por procesos nucleares, con la emisión de radiación. Los procesos más comunes de decaimiento radiactivo son:

1.- Decaimiento- α : Una partícula- α , que tiene masa 4 y carga 2 (un núcleo de helio) es emitido por el núcleo del isótopo padre, el cual es así transformado en un isótopo de un elemento diferente que tiene un número de masa menor por 4 unidades y un número atómico menor de 2 unidades. Ejemplo:

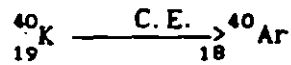


2.- Decaimiento- β : Un electrón es emitido por el núcleo del isótopo padre el cual es transformado en un isótopo de un elemento diferente que tiene el mismo número de masa y un número atómico por 1 unidad. Ejemplo:



3.- Decaimiento C.E. (captura electrónica): El núcleo del isótopo padre captura un electrón y es transformado así en un isótopo de un elemento diferente que tiene el mismo número de masa y un número atómico menor

por 1 unidad. Ejemplo:



El producto del decaimiento está a menudo en un estado excitado. Este regresa al estado base por la emisión de energía en la forma de rayos X ó γ (radiaciones electromagnéticas de energía bien definida). Esas radiaciones, y especialmente los rayos- γ , son las radiaciones más penetrantes, debido a que tienen alta energía pero sin masa ni carga eléctrica, y son por lo tanto las más peligrosas.

SMOW (Standar Mean Ocean Water): Agua de referencia que tiene una composición isotópica cercana a la del agua oceánica promedio. La abundancia de las tres principales especies isotópicas de agua en SMOW son: $\text{H}_2^{16}\text{O} = 99.73 \%$; $\text{HD}^{16}\text{O} = 0.031 \%$; $\text{H}_2^{18}\text{O} = 0.200 \%$.

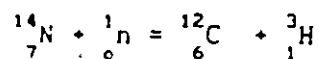
Las ventajas de usar SMOW como patrón de referencia para análisis isotópicos de agua son:

- 1.- El océano sobre la corteza terrestre, y tiene una composición isotópica casi uniforme.
- 2.- El océano constituye el punto inicial y final de cualquier circuito hidrológico importante.

Por definición SMOW tiene δD y $\delta^{18}\text{O}$ igual a cero. El OIEA distribuye muestras de agua llamada V-SMOW, que tienen una composición isotópica prácticamente idéntica a la del SMOW ya definido, para propósitos de medida e intercalibración.

ISOTOPOS DEL AZUFRE: Existen cuatro isótopos estables de este elemento, que son: ${}^{32}\text{S}$ (con una abundancia terrestre promedio de 95.02%), ${}^{36}\text{S}$ (0.02%). Únicamente las variaciones de la razón ${}^{34}\text{S}/{}^{32}\text{S}$ son usadas. Varían generalmente de +40 a -40 ‰ contra CDT.

TRITIO: Isotopo radiactivo del hidrógeno producido por rayos cósmicos en la atmósfera por reacciones de expulsión y/o creación nuclear en la que una partícula incidente causa que el núcleo objetivo emita cierto tipo de partículas y por captura de neutrones rápidos:



La razón de producción es 0.25 $\text{atmos}/\text{cm}^2\text{s}$. El tritio producido es rápidamente oxidado a H_2O e incorporado a la precipitación y el vapor

atmosférico, pasando, de esta manera a formar parte del ciclo hidrológico.

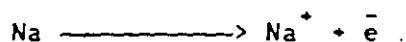
Desde 1952 a 1962 una gran cantidad de tritio artificial producido por pruebas termonucleares realizadas en la atmósfera, a través de la cual es introducido al ciclo del agua. Como un ejemplo, en la precipitación del hemisferio norte el contenido de tritio pasó de 10 U.T. (Unidades de tritio), de 1952 a 10,000 U.T. en 1963. -

La vida media del tritio es de 12.43 años y decae a ${}^3\text{He}$ por pura emisión β^- con energía máxima de únicamente 18 KeV.

UNIDAD DE TRITIO (U.T.): Unidad usada para expresar la concentración de tritio en muestras naturales. Una U.T. corresponde a una concentración de un átomo de tritio por 10^{18} átomos de hidrógeno. Factores de conversión.

$$1 \text{ U.T.} = 1.182 \times 10^{-4} \text{ bq/ml} = 3.195 \times 10^{-9} \text{ } \mu\text{Ci/ml.}$$

REACCIONES REDOX: Redacción de oxidación-reducción o reacción con transferencia de electrones. La oxidación se refiere a cualquier reacción en la que una sustancia o especie pierde electrones. Ejemplo.



La reducción es una ganancia de electrones. Ejemplo:



La reducción es lo opuesto a la oxidación, y si se invirtieran las reacciones en los ejemplos anteriores tendríamos reducción y oxidación respectivamente.

RADON.- Gas inerte radioactivo que pertenece al grupo de los gases nobles. es parte de la cadena de desintegración del uranio. Ocurre naturalmente y sus características principales son: incoloro, inodoro y químicamente inerte. De los gases nobles el radon es el más pesado, el que tiene más alto punto de fusión, temperatura crítica y presión crítica.

Debido a que es soluble en agua a baja temperatura, decreciendo ésta cuando aumenta la temperatura, se ha utilizado como trazador en estudios hidrológicos

FRACCIONAMIENTO ISOTOPICO

ES LA DIFERENCIA EN LA DISTRIBUCION DE LOS ISOTOPOS DEL MISMO ELEMENTO EN DOS COMPUESTOS O FASES QUIMICAS EN INTERCAMBIO ISOTOPICO MUTUO. EL FRACCIONAMIENTO ISOTOPICO OCURRE PORQUE LOS ISOTOPOS TIENEN CARACTERISTICAS FISICAS Y QUIMICAS LIGERAMENTE DIFERENTES, DEBIDO A PEQUENAS DIFERENCIAS EN MASA. POR LO TANTO, EL FRACCIONAMIENTO ISOTOPICO ES, EN GENERAL, MAS GRANDE PARA LOS ELEMENTOS LIGEROS PORQUE LA DIFERENCIA RELATIVA DE MASA ES MAYOR.

MECANISMOS PRINCIPALES DE ENRIQUECI- MIENTO ISOTOPICO EN AGUA SUBTERRANEA SUJETA A CONTAMINACION POR UN BASURERO:

- 1).- EVAPORACION DENTRO DEL BASURERO
- 2).- PRODUCCION DE AGUA ISOTOPICAMENTE ENRIQUE-
CIDA DURANTE LA DESCOMPOSICION DE MATERIA
ORGANICA.
- 3).- INTERCAMBIO DE OXIGENO ENTRE EL AGUA Y BIO-
XIDO DE CARBONO.
- 4).- DIFERENCIA EN LA COMPOSICION ISOTOPICA DEL
AGUA DE RECARGA.

FRITZ, 1976.

TABLA II.6.1 Resumen de las características isotópicas

Elemento/ isótopos	Abundancia (%)	Estándar /unidades	vida media (años)	Tipo de Análisis
Hidrógeno ¹ H ² H ³ H	99.984 0.015 10 ^{-14, -16}	V-SMOW % (U.T.)	12.35	Espectrome- tria de masa Contador de centelleo liq.
Oxígeno ¹⁶ O ¹⁷ O ¹⁸ O	99.76 0.037 [*] 0.1 ^{**}	V-SMOW %		Espectrome-
Carbon ¹² C ¹³ C ¹⁴ C	98.89 1.11 10 ⁻¹⁰	PDB % A. Ox. (pmc)	5730	Espectrome- tria de masa Contador de centelleo liq. de benceno o contador prop. de gas metano
Azufre ³² S ³³ S ³⁴ S ³⁶ S	95.02 0.75 [*] 4.21 0.02 [*]	CDT		Espectrome- tria de masa

* No se utiliza en estudios ambientales.

** Se utiliza también en estudios paleoambientales.

**SOLUBLE EN
AGUA**

**NO INTERCAMBIO
IONICO**

**TRAYECTORIA
FACIL DE DETECTAR**

**TRAZADOR
"IDEAL"**

**NO
ABSORCION**

**NO CAMBIOS
QUIMICOS**

NO TOXICO

FRACCIONAMIENTO ISOTOPICO

ES LA DIFERENCIA EN LA DISTRIBUCION DE LOS ISOTOPOS DEL MISMO ELEMENTO EN DOS COMPUESTOS O FASES QUIMICAS EN INTERCAMBIO ISOTOPICO MUTUO. EL FRACCIONAMIENTO ISOTOPICO OCURRE PORQUE LOS ISOTOPOS TIENEN CARACTERISTICAS FISICAS Y QUIMICAS LIGERAMENTE DIFERENTES, DEBIDO A PEQUENAS DIFERENCIAS EN MASA. POR LO TANTO, EL FRACCIONAMIENTO ISOTOPICO ES, EN GENERAL, MAS GRANDE PARA LOS ELEMENTOS LIGEROS PORQUE LA DIFERENCIA RELATIVA DE MASA ES MAYOR.

BIOLOGIA

GEOLOGIA

HIDROLOGIA
ISOTOPICA

**PROBLEMA
AGUA**

GEOQUIMICA

MODELACION
MATEMATICA

GEOFISICA

A D M I N I S T R A C I O N

HIDROLOGIA

ISOTOPICA

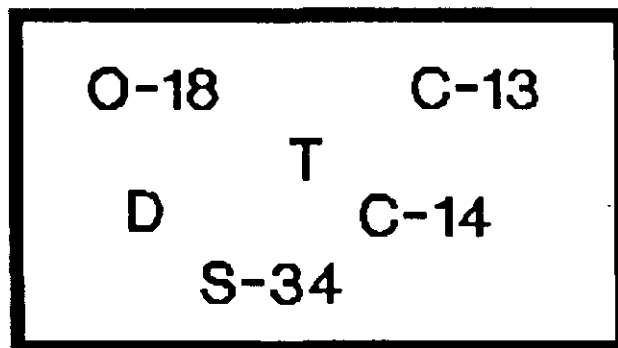
INTRUSION SALINA

EDAD

EVAPORACION

FAMILIAS

RESIDENCIA



CONTAMINACION

RECARGA

MEZCLA

ORIGEN

ISOTOPOS

SISTEMAS CONSERVATIVOS EN ACUIFEROS
CONFINADOS HASTA POR CIENTOS DE ANOS

AGUAS SUBTERRANEAS NORMALES

AQUELLAS CUYOS VALORES CAEN DENTRO
DE LA LINEA METEORICA.

VULNERABILIDAD DE LA ZONA LACUSTRE

LOS PRIMEROS ESTUDIOS DETALLADOS DE LA ZONA LACUSTRE SE INICIARON EN LA DECADA DE 1940 PARA ENTENDER LA DINAMICA DE LAS ARCILLAS DESDE EL PUNTO DE VISTA GEOTECNICO Y DE MECANICA DE SUELOS (MARSAL Y MAZARI, 1969). EN ESTUDIOS RECIENTES SE HAN DETECTADO FRACTURAS Y GRIETAS, A TRAVES DE LAS CUALES PUEDE HABER TRANSPORTE DE CONTAMINANTES ALTERANDO LA CALIDAD DEL AGUA SUBTERRANEA, DEPENDIENDO DE:

LA EXTENSION E INTERCONECCION DE FRACTURAS, LOS GRADIENTES HIDRAULICOS DE LAS ARCILLAS, EL TAMAÑO Y LAS PROPIEDADES DEL ACUIFERO, TIPOS Y CANTIDADES DE CONTAMINANTES (MAZARI, 1992).

FUENTES DE CONTAMINACION

EXISTE UNA AMPLIA GAMA DE ACTIVIDADES HUMANAS QUE GENERAN CARGAS CONTAMINANTES (FACTORES CONTROLABLES). EN LO QUE RESPECTA A LA CUENCA DE MEXICO, DICHAS CARGAS CONTAMINANTES PUEDEN AGRUPARSE EN DOS GRANDES RUBROS:

A) PROVENIENTES DE ACTIVIDADES EN CENTROS URBANOS

B) PROVENIENTES DEL DESARROLLO INDUSTRIAL

ACTIVIDADES URBANAS

EL COMPLEJO PANORAMA DE ACTIVIDADES DOMESTICAS QUE SE PRESENTAN EN LOS CENTROS URBANOS, REPRESENTAN FUENTES POTENCIALES DE CONTAMINACION DE LAS AGUAS SUBTERRANEAS, PRINCIPALMENTE POR LA ALTA CONCENTRACION DE MATERIA ORGANICA QUE CONTIENEN SUS DESCARGAS Y POR LA EXISTENCIA DE FOSAS SEPTICAS EN ZONAS VULNERABLES.

OTRAS FUENTES POTENCIALES, ASOCIADAS CON EL DESARROLLO URBANO ESTAN PRESENTES EN LOS LUGARES DE DEPOSITACION DE RESIDUOS SOLIDOS, DEBIDO A QUE ESTOS PERMANECEN POR PERIODOS RELATIVAMENTE LARGOS. EN LOS TIRADEROS A CIELO ABIERTO SE ORIGINAN GRAVES PROBLEMAS SANITARIOS, PUDIENDO LLEGAR A SER UN FOCO DE CONTAMINACION DE AGUAS SUPERFICIALES Y SUBTERRANEAS POR LA GENERACION DE LIXIVIADOS, CUYA COMPOSICION QUIMICA Y BACTERIOLOGICA LES CONFIERE UN CARACTER CONTAMINANTE.

RESIDUOS SOLIDOS MUNICIPALES

LA ACUMULACION DE RESIDUOS SOLIDOS DOMESTICOS E INDUSTRIALES CONSTITUYE, HOY DIA, UN PROBLEMA AGOBIANTE EN LOS PAISES INDUSTRIALIZADOS. EL AUMENTO DE LA POBLACION, AUNADO AL PROCESO DE URBANIZACION Y LA CRECIENTE DEMANDA DE BIENES DE CONSUMO, DETERMINA UN AUMENTO INCESANTE EN CALIDAD Y VOLUMEN DE LOS DESECHOS PRODUCIDOS.

EN MEXICO, AL IGUAL QUE EN OTROS PAISES, LA FORMA TRADICIONAL DE DISPOSICION FINAL DE RESIDUOS SOLIDOS LA CONSTITUYEN POR LO GENERAL LOS TIRADEROS A CIELO ABIERTO, DONDE ALGUNAS VECES, DESPUES DE LA SELECCION Y RECICLAJE MANUAL, LA BASURA SE COMPACTA Y CUBRE CON ARCILLA. AUN ASI, MAS DEL 70% DE LOS RESIDUOS SOLIDOS QUEDAN SIN SER REUTILIZADOS.

AUNQUE SE HAN INSTALADO DOS RELLENOS SANITARIOS EN EL AMCM, NINGUNO CUMPLE CON TODAS LAS ESPECIFICACIONES REQUERIDAS. EN ESTADOS UNIDOS, A SU VEZ, DE 100,000 DEPOSITOS DE DESECHOS SOLIDOS PROBABLEMENTE NO MAS DEL 10% PUEDEN SER CLASIFICADOS COMO RELLENOS SANITARIOS (EVERETT).

EN LA CIUDAD DE MEXICO SE PRODUCIAN EN EL AÑO 1950 ALREDEDOR DE 370g DE BASURA DIARIOS PER CAPITA. EN 1992, SE ESTIMA QUE EN EL DF SE GENERARON CERCA DE 11 MIL TON/DIA DE BASURA, DE LAS CUALES CADA HABITANTE ES RESPONSABLE DE PRODUCIR ALREDEDOR DE 1,000g DIARIAMENTE.

SI SE CONSIDERA EL TOTAL DEL AMCM, EL VOLUMEN ASCIENDE A 18 MIL TON/DIA, DE LAS CUALES 48% CORRESPONDERAN AL DISTRITO FEDERAL Y 52% A LOS MUNICIPIOS CONURBADOS.

EL VOLUMEN DE BASURA DE 1950 A LA FECHA, SE HA INCREMENTADO CONSIDERABLEMENTE Y TAMBIEN SE HA MODIFICADO SU COMPOSICION PASANDO DE 5% DE DESECHOS NO DEGRADABLES, A 40.5% EN NUESTROS DIAS. EL VOLUMEN DE GENERACION PER CAPITA AUMENTO DE 1950 A 1992 EN 207% Y LA PROPORCION DE RESIDUOS NO BIODEGRADABLES SE INCREMENTO EN ESTE MISMO PERIODO EN 810%.

EN LA DECADA DE 1970, EL SERVICIO DE LIMPIA CONTABA CON 8,000 TRABAJADORES, 600 VEHICULOS RECOLECTORES Y 120 BARREDORAS MECANICAS QUE LIMPIABAN 5 MIL KM DE CALLES AL DIA, A LOS QUE SE SUMABAN MAS DE 4,000 BARRENDEROS Y RECOLECTORES PARA ATENDER A UNA POBLACION QUE GENERABA 7,000 TONELADAS DE BASURA. PARA AUMENTAR SU CAPACIDAD DE RESPUESTA ANTE EL PROBLEMA DE LOS DESECHOS SIN RECOLECTAR, EL GOBIERNO DEL DF HA CONFORMADO UN COMPLEJO EQUIPAMIENTO E INFRAESTRUCTURA PARA EL MANEJO INTEGRAL DE LOS RESIDUOS SOLIDOS, CON 25 MIL TRABAJADORES, 240 BARREDORAS, 2 MIL VEHICULOS RECOLECTORES, 11 ESTACIONES DE TRANSFERENCIA, TRES SITIOS DE DISPOSICION FINAL, UNA INSTALACION DE RECUPERACION Y COMPOSTEO Y UNA PLANTA DE INCINERACION.

SE HA PRESTADO ATENCION PRIORITARIA A LA DISPOSICION ADECUADA DE LOS RESIDUOS, POR LO QUE EN LOS ULTIMOS AÑOS SE HAN CLAUSURADO SITE TIRADEROS A CIELO ABIERTO.

DESTACA EL DE SANTA CRUZ MEYEHUALCO, CON UNA AREA DE 150 Ha, DONDE DURANTE 50 AÑOS FUERON DEPOSITADOS LA MAYOR PARTE DE LOS RESIDUOS GENERADOS EN EL D.F. y EL TIRADERO DE SANTA FE (ALAMEDA PONIENTE), CON UNA EXTENSION DE 50 Ha, QUE OPERO APROXIMADAMENTE 40 AÑOS.

PARA SUSTITUIRLOS, SE HAN CONSTRUIDO DOS GRANDES RELLENOS SANITARIOS QUE PERMITEN DISPONER CERCA DEL 90% DE LOS RESIDUOS SOLIDOS (SANTA CATARINA Y BORDO PONIENTE).

CADA PROCESO DE CLAUSURA SE HA ACOMPAÑADO DE PROGRAMAS DE REGENERACION Y RESTAURACION URBANA Y AMBIENTAL, POR LO QUE LA CIUDAD HA CREADO APROXIMADAMENTE 230 Ha DE AREAS VERDES Y PARQUES RECREATIVOS.

CABE SEÑALAR QUE LOS DESECHOS DEPOSITADOS EN ESTOS SITIOS NO FUERON REMOVIDOS Y QUE DICHOS TIRADEROS NO FUERON CONSTRUIDOS SIGUIENDO LOS REQUERIMIENTOS ACTUALES PARA CONFINAMIENTOS CONTROLADOS, POR LO CUAL NO FUERON REVESTIDOS NI CUENTAN CON SISTEMAS DE RECOLECCION DE LIXIVIADOS. POR ESTA RAZON, CONTINUAN SIENDO FUENTES POTENCIALES DE CONTAMINACION.

DRENAJE Y DESCARGAS DE AGUAS RESIDUALES

DADO QUE EL 26% DE LA POBLACION DEL AMCM NO CUENTA CON DRENAJE (INEGI), LAS ZONAS CARENTES DE ESE SERVICIO ELIMINAN SUS AGUAS RESIDUALES LOCALMENTE EN ARROYOS, FOSAS SEPTICAS Y LETRINAS. ESTOS ASENTAMIENTOS, CASI TODOS SITUADOS EN LA ZONA DE TRANSICION, CREAN LA POSIBILIDAD DE CONTAMINACION DEL ACUIFERO POR ORGANISMOS PATOGENOS Y OTROS CONTAMINANTES PRESENTES EN LOS DESECHOS DOMESTICOS.

NO ES POSIBLE ACTUALMENTE DETERMINAR DE MANERA PRECISA EL VOLUMEN DE AGUAS RESIDUALES QUE SE VIERTEN SIN TRATMIENTO AL SISTEMA DE DRENAJE DEL AMCM. SIN EMBARGO, DE ACUERDO CON DDF (1992) SE ESTIMA QUE MAS DEL 90% DE LOS DESECHOS LIQUIDOS INDUSTRIALES GENERADOS EN EL AMCM, SON VERTIDOS AL SISTEMA DE DRENAJE. COMO YA SE MENCIONO, NO EXISTE UNA DESCRIPCION DETALLADA DE LOS DESECHOS, PERO DADO QUE EL AMCM SE ENCUENTRA ASENTADA APROXIMADAMENTE EL 48% DE LA INDUSTRIA NACIONAL (DDF, 1987) ES SEGURO QUE ESTOS DESECHOS CONTENGAN SUSTANCIAS QUIMICAS PELIGROSAS DE TODA INDOLE.

ACTIVIDADES DE DESARROLLO INDUSTRIAL

EN EL AMCM SE ENCUENTRAN REGISTRADAS 30,124 EMPRESAS INDUSTRIALES (INEGI, CENSO ECONOMICO 1989). EL 72.4% DE ELLAS SE UBICAN EN EL DISTRITO FEDERAL Y 27.6% ESTAN EN EL ESTADO DE MEXICO.

CLASIFICACION DE LAS EMPRESAS INDUSTRIALES DEL AMCM SEGUN SU TAMAÑO

=====		
TAMAÑO	No DE EMPRESAS	%
MICROINDUSTRIA	22 593	75
PEQUEÑA INDUSTRIA	6 025	20
INDUSTRIA MEDIANA	904	3
GRANDES INDUSTRIAS	604	2
=====		
TOTAL	30 126	100
=====		

SE CALCULA QUE LA CANTIDAD DE DESECHOS TOXICOS Y PELIGROSOS GENERADOS EN EL DISTRITO FEDERAL ASCIENDE A 3 MILLONES DE TONELADAS METRICAS POR AÑO, DE LAS CUALES MAS DEL 95% SON EFLUENTES LIQUIDOS, QUE SE DESCARGAN AL SISTEMA MUNICIPAL DE DRENAJE. EL RESTO SON SOLIDOS, LAS MAYOR PARTE DE LOS CUALES SE ENVIAN A BASUREROS MUNICIPALES O A TIRADEROS ILEGALES DENTRO DE LA CUENCA. SE ESTIMA QUE LA GENERACION DE DESECHOS PELIGROSOS EN EL ESTADO DE MEXICO PUEDE SER DE LA MISMA MAGNITUD QUE LA DEL DISTRITO FEDERAL.

ADEMAS DE LOS DESECHOS QUE SE ESTAN GENERANDO EN LA ACTUALIDAD SE CREE QUE EXISTEN EN EL DISTRITO FEDERAL UNAS 40 MILLONES DE TONELADAS DE DESECHOS PELIGROSOS ANTIGUOS, QUE SE PRODUJERON A PARTIR DE LA DECADA DE 1940, CUANDO SE INCREMENTO LA INDUSTRIALIZACION DEL AMCM.

UNA FUENTE POTENCIAL DE CONTAMINACION EN ZONA DE TRANSICION, LO CONSTITUYE LA REFINERIA 18 DE MARZO QUE FUNCIONO DE 1948 A 1991, Y QUE CESO SUS OPERACIONES DE REFINACION CON BASE EN UNA DECISION TENDIENTE A ABATIR LA CONTAMINACION AMBIENTAL. LA UBICACION DE LA REFINERIA, PLANTEA LA POSIBILIDAD DE QUE LAS BARRERAS SUBSUPERFICIALES A LA INFILTRACION DE CONTAMINANTES PUEDAN SER DISCONTINUAS Y RELATIVAMENTE INEFICIENTES (MAZARI Y MACKAY). LOS CONDUCTOS EMPLEADOS PARA TRANSPORTAR LOS PRODUCTOS DERIVADOS DEL PETROLEO EN FORMA LIQUIDA O GASEOSA HACIA O A PARTIR DE LA REFINERIA, CONSTITUYEN TAMBIEN UNA FUENTE POTENCIAL DE CONTAMINACION, EN PARTICULAR, DONDE ATRAVIESAN LA ZONA DE TRANSICION O LAS AREAS EN LAS CUALES LAS ARCILLAS LACUSTRES ESTEN FRACTURADAS.

LAS ESTACIONES DE GASOLINA CONSTITUYEN FUENTES ADICIONALES DE DERRAMES O ESCAPES DE COMBUSTIBLES HACIA EL SUBSUELO, RAZON POR LA CUAL SE INICIO EN 1992 UN PROGRAMA PARA IDENTIFICAR Y CORREGIR TALES SITUACIONES EN EL AMCM, EL CUAL LLEVO A IDENTIFICAR QUE APROXIMADAMENTE EL 80% DE LAS 253 ESTACIONES UBICADAS EN EL DF PRESENTABAN ANOMALIAS.

A PARTIR DE LAS FUENTES DE ABASTECIMIENTO (SUPERFICIALES O SUBTERRANEAS) Y ANTES DE SER CONSUMIDA POR LA POBLACION, EL AGUA PUEDE EXPERIMENTAR CAMBIOS EN SU CALIDAD DEBIDO A LAS SIGUIENTES CAUSAS:

- 1. TRATAMIENTO EN PLANTAS POTABILIZADORAS**
- 2. DESINFECCION EN DISTINTOS PUNTOS DE LA RED DE DISTRIBUCION**
- 3. CONTAMINACION POR "CONEXIONES CRUZADAS" EN LA RED**
- 4. CONTAMINACION EN DEPOSITOS DOMICILIARIOS (CISTERNAS Y TINACOS) ABIERTOS O SUCIOS**
- 5. CONTAMINACION POR METALES (PLOMO, COBRE) CAUSADA POR LA CORROSION DE TUBERIAS DE LA RED DE DISTRIBUCION Y DOMICILIARIAS**
- 6. POTABILIACION EN LOS DOMICILIOS (HIRVIENDO EL AGUA, O UTILIZANDO FILTROS U OTROS SISTEMAS DE PURIFICACION)**
- 7. DEGRADACION DE LA CALIDAD DEL AGUA EN LOS DOMICILIOS POR MANEJO INADECUADO Y FALTA DE HIGIENE.**

REGULACION SANITARIA

EN SU ARTICULO 209, DEL REGLAMENTO DE CONTROL SANITARIO, (18-1-88), DEFINE AL AGUA POTABLE COMO TODA AQUELLA CUYA INGESTION NO CAUSE EFECTOS NOCIVOS PARA LA SALUD Y SE ENCUENTRE LIBRE DE GERMENES PATOGENOS Y DE SUSTANCIAS TOXICAS, Y CUMPLA, ADEMÁS CON LOS REQUISITOS QUE SE SEÑALAN EN EL ARTICULO 210 REFERIDOS A CONTINUACION:

1. EL NUMERO DE ORGANISMOS COLIFORMES TOTALES, DEBERA SER, COMO MAXIMO, DE DOS ORGANISMOS EN 100 ML, SEGUN LAS TECNICAS DEL NUMERO MAS PROBABLE (NMP) O DE FILTRO DE MEMBRANA.

2. NO DEBERA CONTENER ORGANISMOS FECALES

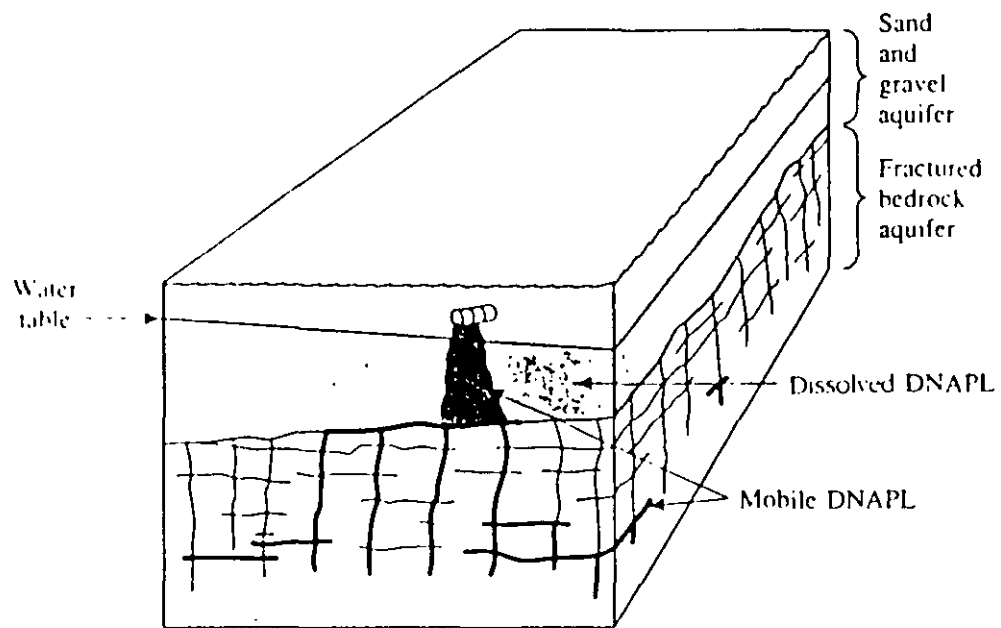


FIGURE 5.27 Movement of a DNAPL into a fractured bedrock aquifer that underlies a sand and gravel aquifer.

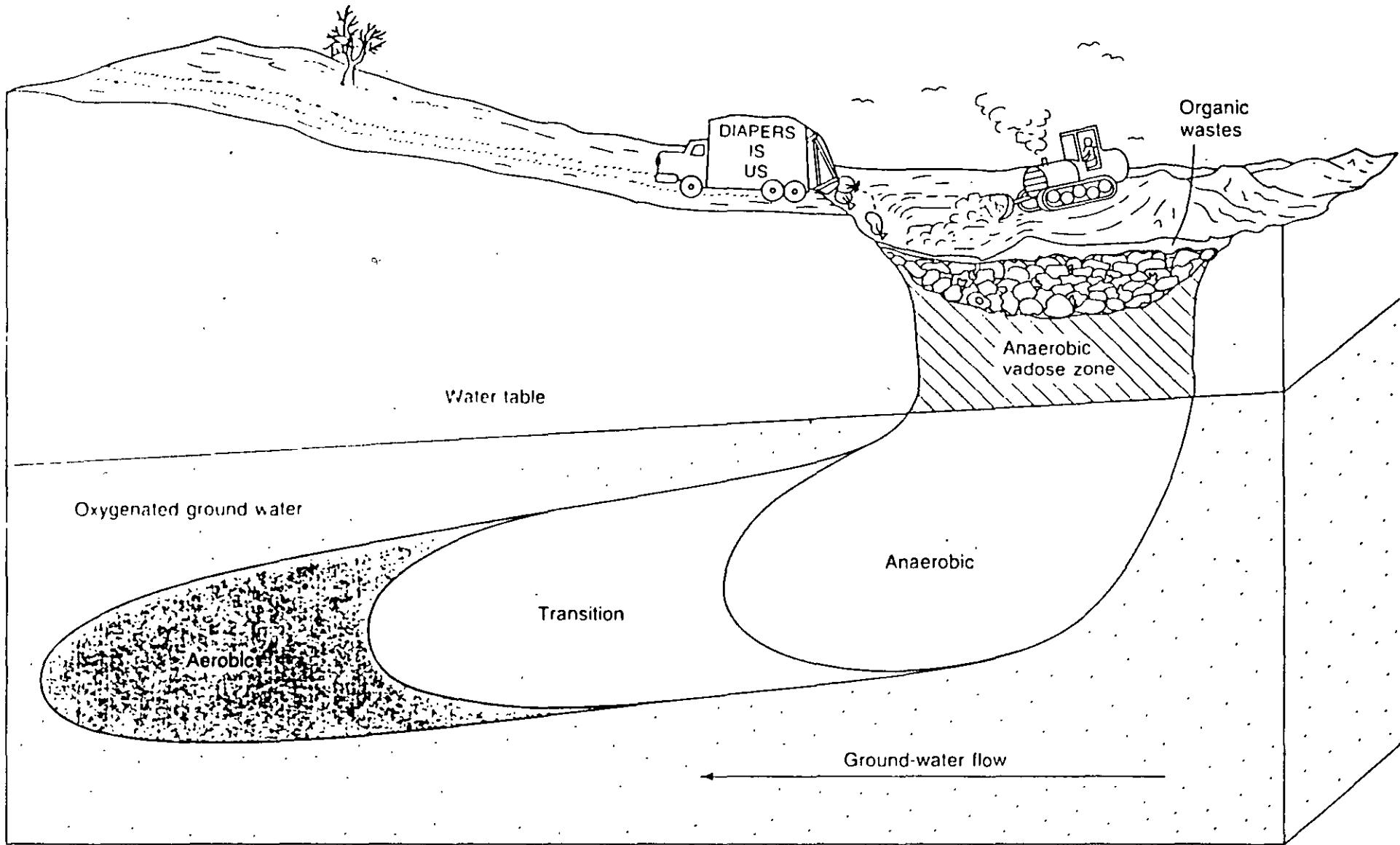


FIGURE 6.15 Geochemical zonation of the leachate plume from a landfill receiving organic waste.

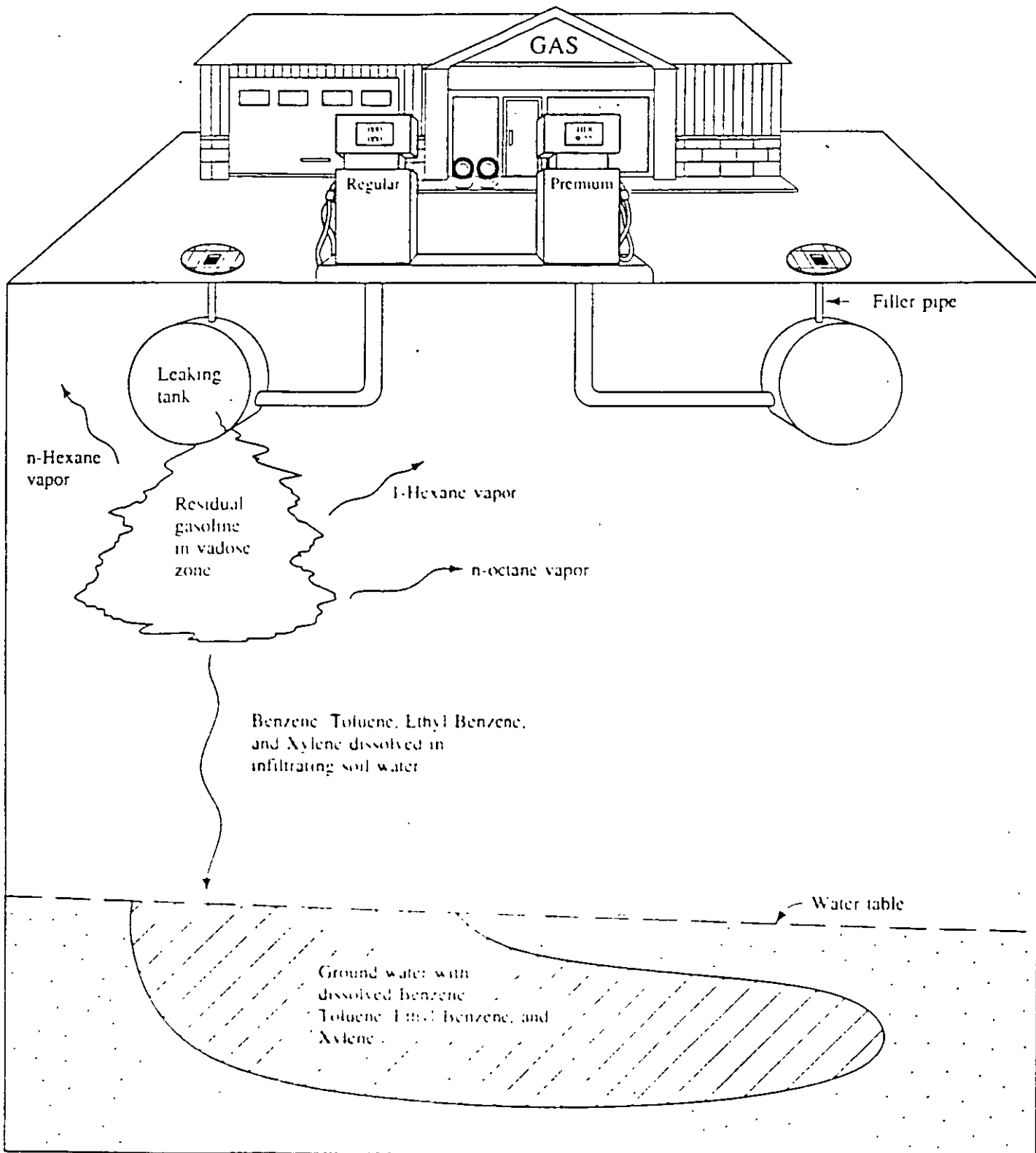
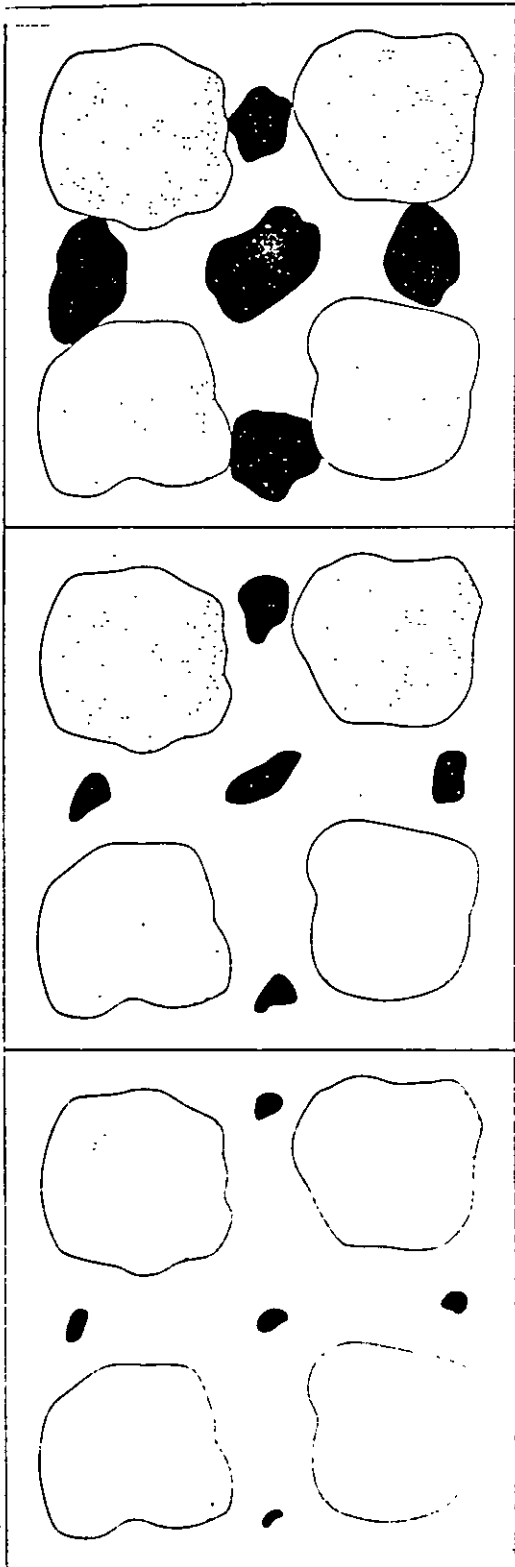
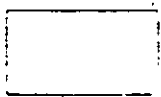
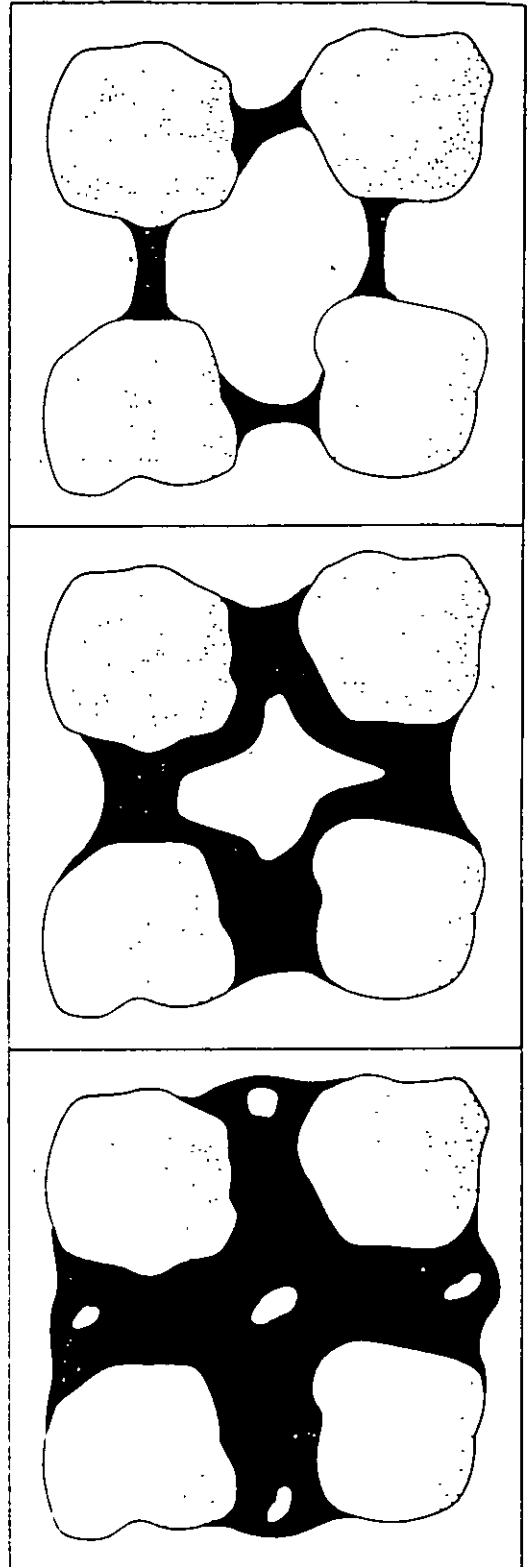


FIGURE 5.18 Process of ground water being contaminated by gasoline constituents from residual gasoline in the vadose zone

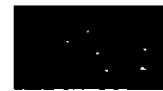
Water wet sand



Oil wet sand

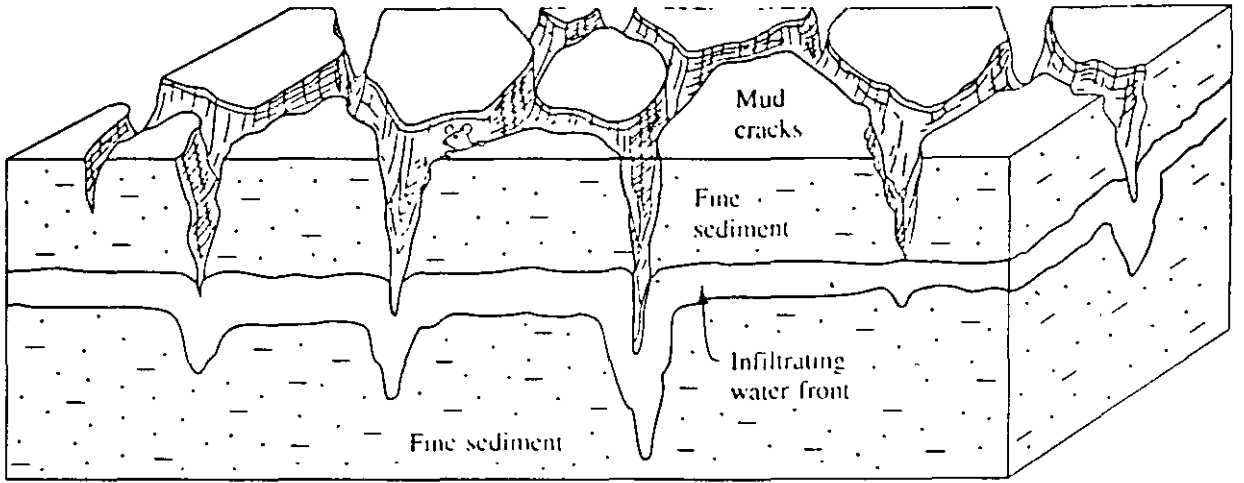


Water

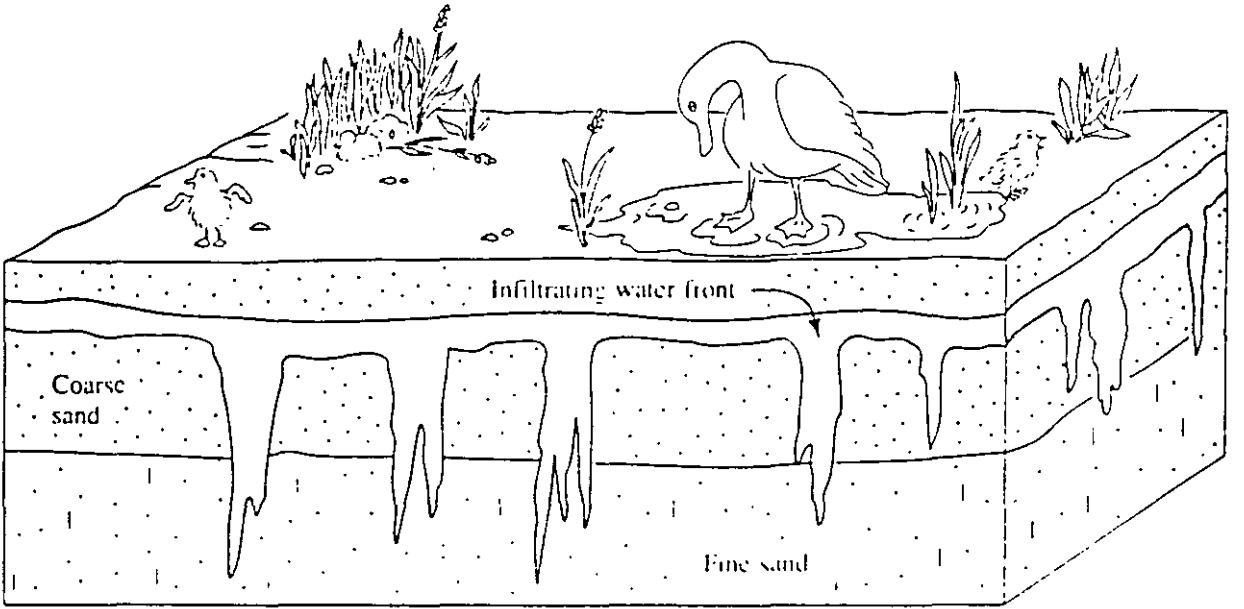


Oil

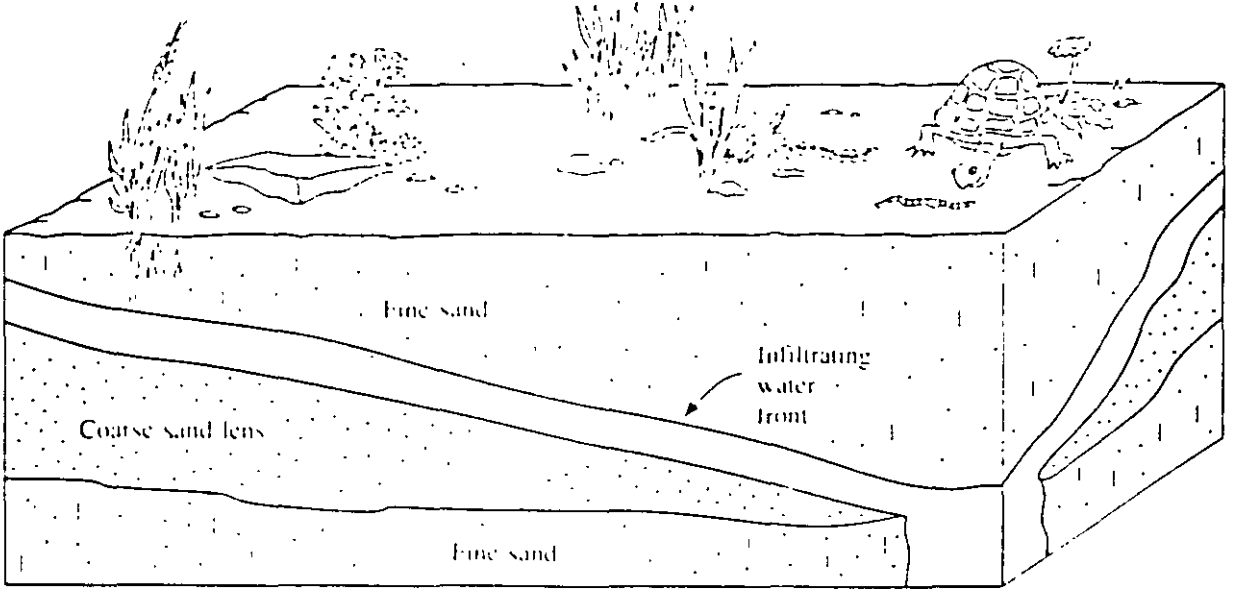
FIGURE 5.5 Different fluid saturation states for a porous media that contains water and oil.



(a)

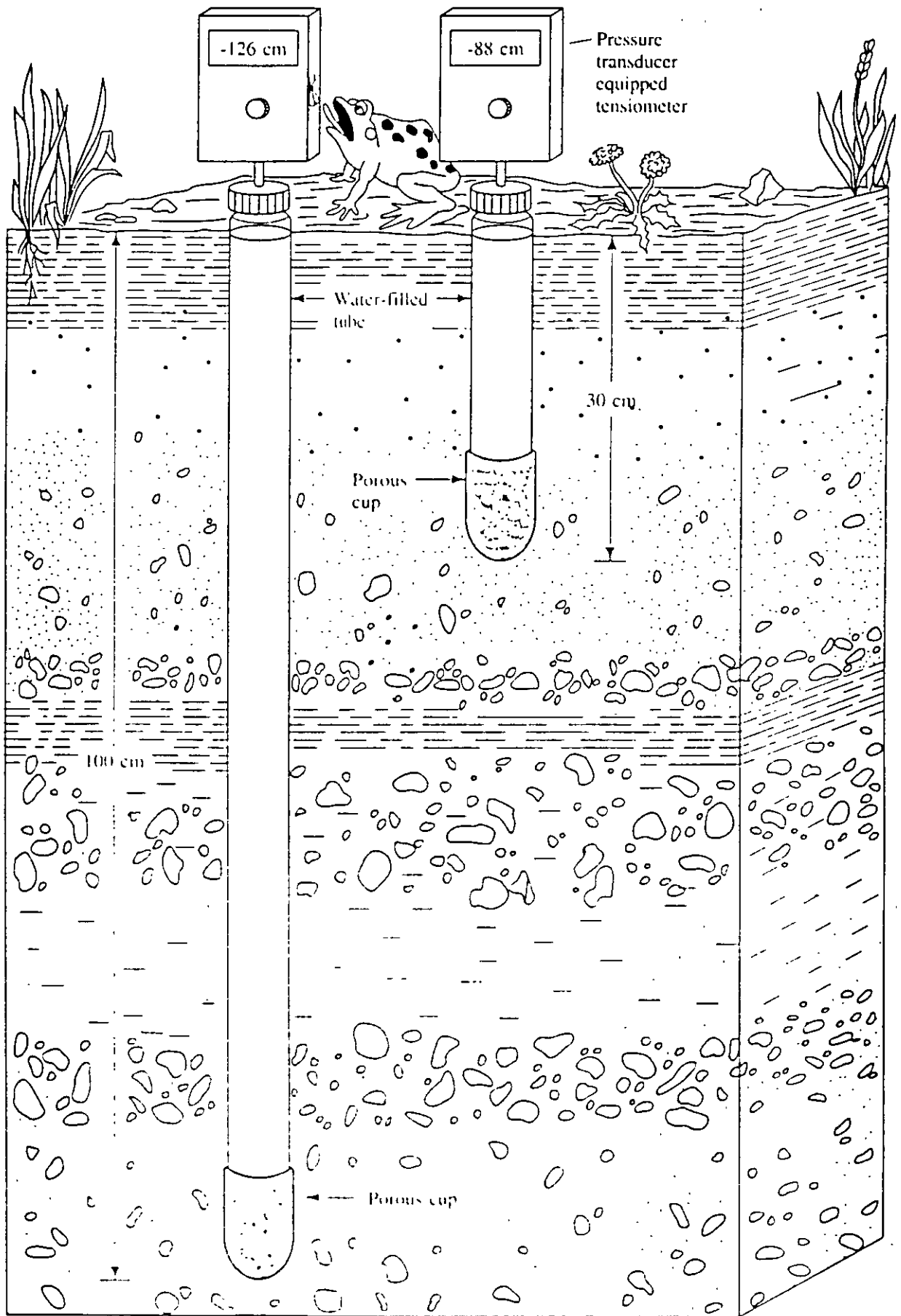


(b)



(c)

FIGURE 4.18 Preferential water movement in the vadose zone due to (a) short circuiting, (b) fingering, and (c) funneling



4.10 Tensiometer used to measure soil-water potential in the field

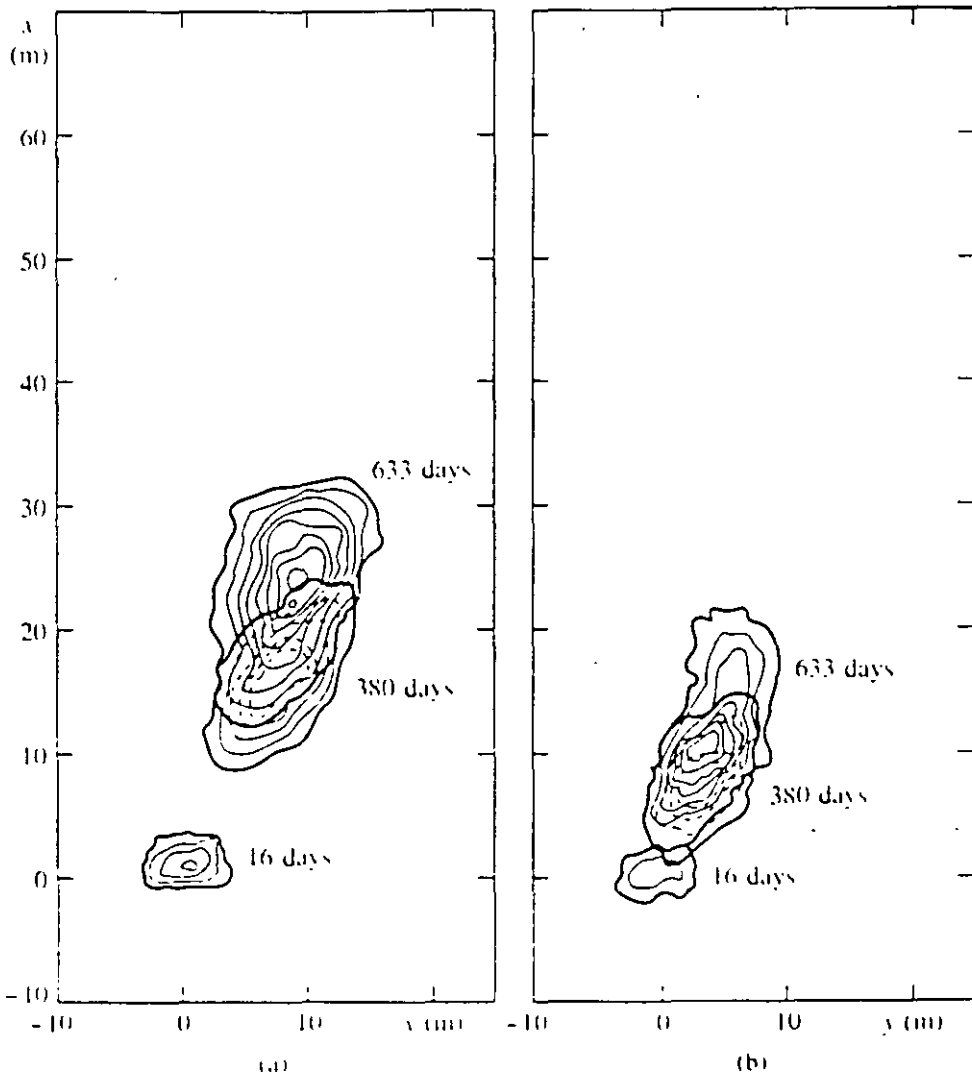


FIGURE 3.17 (a) Growth of carbon tetrachloride plume with time, (b) growth of tetrachloroethylene plume with time. Source: P. V. Roberts, M. N. Goltz, and D. M. Mackay, *Water Resources Research* 22, no. 13 (1986) 2047-59. Copyright by the American Geophysical Union.

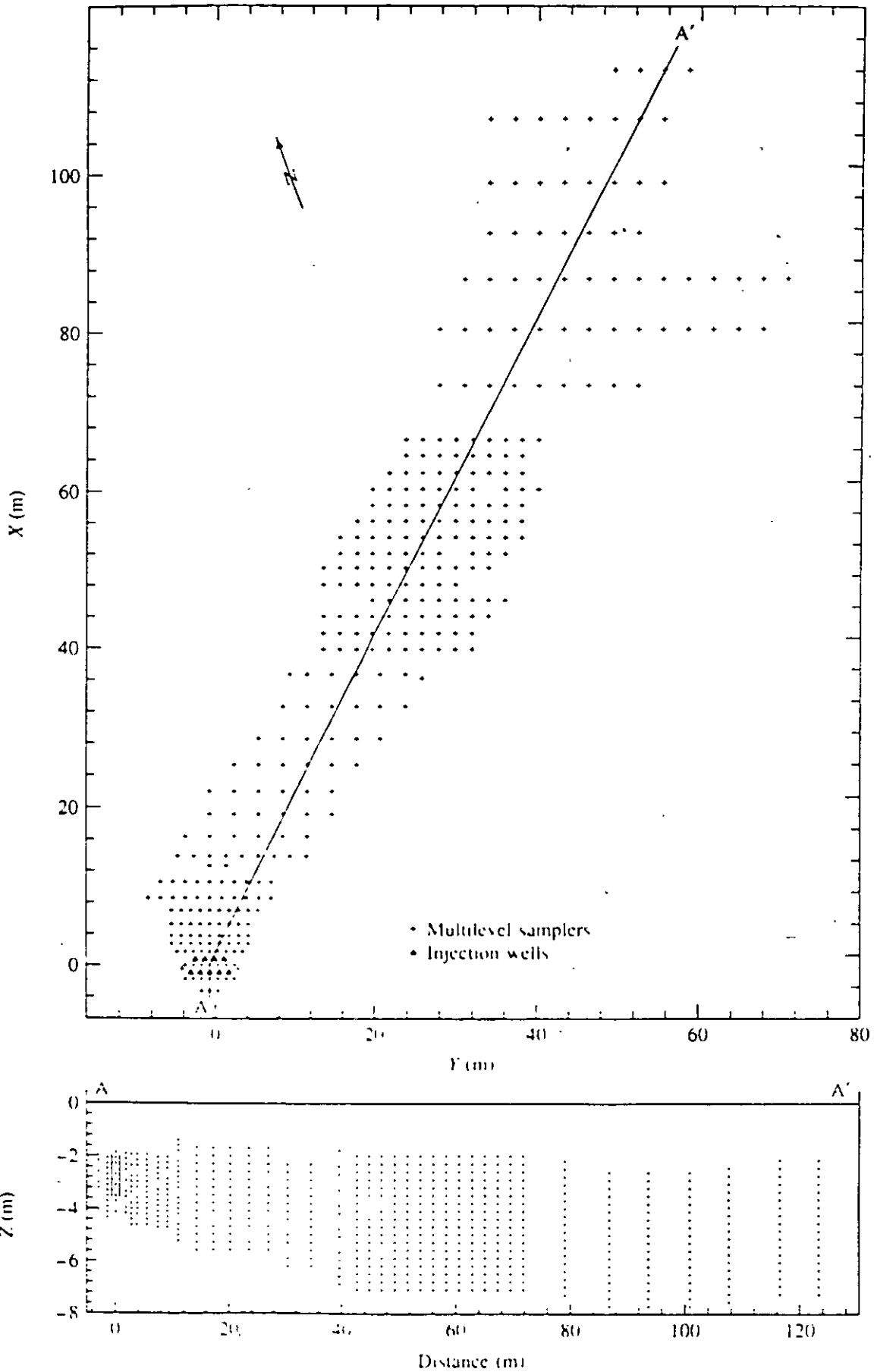


FIGURE 3.13 Location of multi-level sampling devices at the site of the Borden, Ontario, tracer test. Source: D. M. Mackay et al., *Water Resources Research* 22, no. 13 (1986), 2017-30. Copyright by the American Geophysical Union.

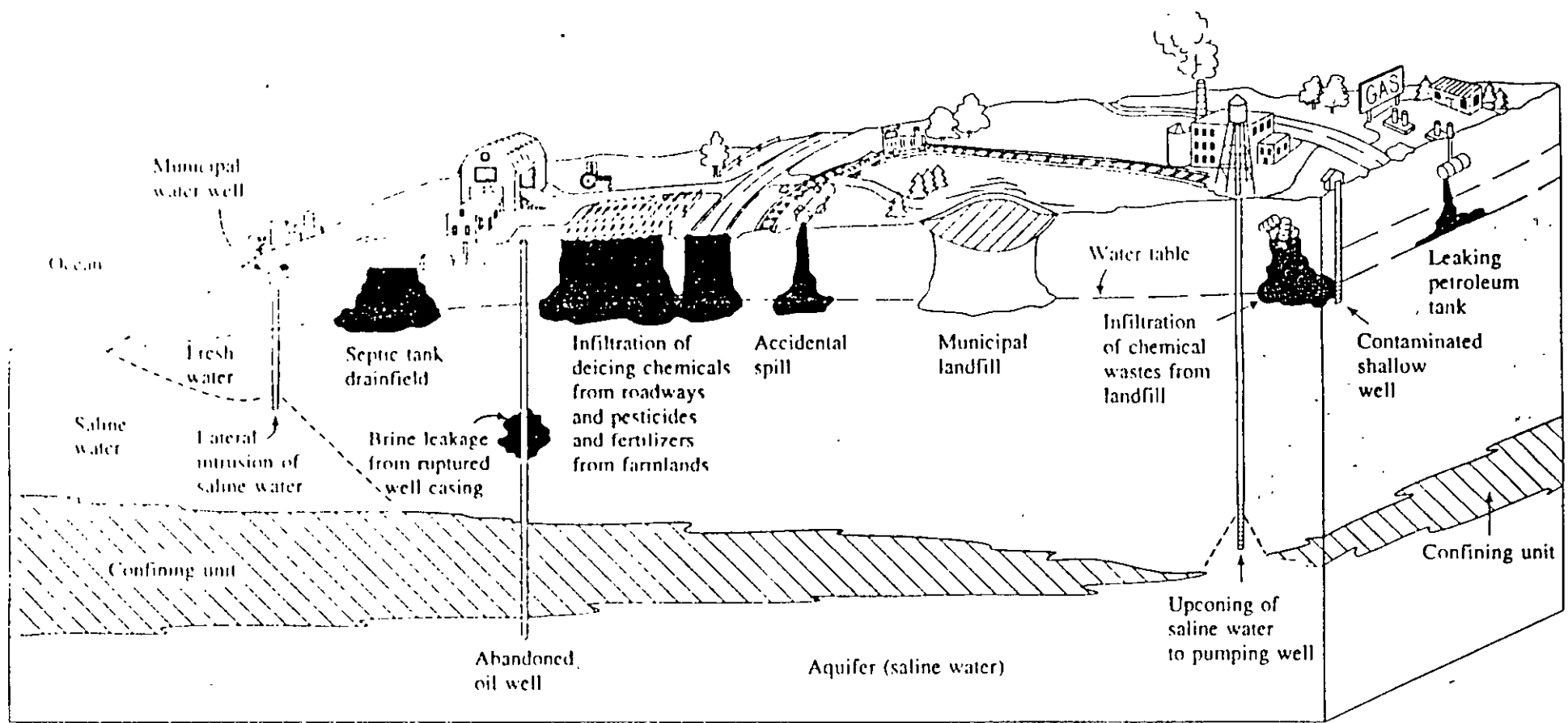


FIGURE 1.1 Mechanisms of ground-water contamination.

Contaminant	Examples of uses
Aromatic hydrocarbons	
Acetanilide	Intermediate manufacturing, pharmaceuticals, dyestuffs
Alkyl benzene sulfonates	Detergents
Aniline	Dyestuffs, intermediate, photographic chemicals, pharmaceuticals, herbicides, fungicides, petroleum refining, explosives
Anthracene	Dyestuffs, intermediate, semiconductor research
Benzene	Detergents, intermediate, solvents, antiknock gasoline
Benzidine	Dyestuffs, reagent, stiffening agent in rubber compounding
Benzyl alcohol	Solvent, perfumes and flavors, photographic developer inks, dyestuffs, intermediate
Butoxymethylbenzene	NA ^o
Chrysene	Organic synthesis, coal tar by-product
Creosote mixture	Wood preservatives, disinfectants
Dibenz[a,h.]anthracene	NA
Di-butyl-p-benzoquinone	NA
Dihydrotrimethylquinoline	Rubber antioxidant
4,4-Dinitrosodiphenylamine	NA
Ethylbenzene	Intermediate, solvent, gasoline
Fluoranthene	Coal tar by-product
Fluorene	Resinous products, dyestuffs, insecticides, coal tar by-product
Fluorescein	Dyestuffs
Isopropyl benzene	Solvent, chemical manufacturing
4,4'-methylene-bis-2-chloroaniline (MOCA)	Curing agent for polyurethanes and epoxy resins
Methylthiobenzothiazole	NA
Naphthalene	Solvent, lubricant, explosives, preservatives, intermediate, fungicide, moth repellent
o-Nitroaniline	Dyestuffs, intermediate, interior paint pigments, chemical manufacturing
Nitrobenzene	Solvent, polishes, chemical manufacturing
4-Nitrophenol	Chemical manufacturing
n-Nitrosodiphenylamine	Pesticides, retarder of vulcanization of rubber
Phenanthrene	Dyestuffs, explosives, synthesis of drugs, biochemical research
n-Propylbenzene	Dyestuffs, solvent
Pyrene	Biochemical research, coal tar by-product
Styrene (vinyl benzene)	Plastics, resins, protective coatings, intermediate
Toluene	Adhesive solvent in plastics, solvent, aviation and high-octane blending stock, diluent and thinner, chemicals, explosives, detergents
1,2,4-Trimethylbenzene	Manufacture of dyestuffs, pharmaceuticals, chemical manufacturing
Xylenes (m, o, p)	Aviation gasoline, protective coatings, solvent, synthesis of organic chemicals, gasoline
Oxygenated hydrocarbons	
Acetic acid	Food additives, plastics, dyestuffs, pharmaceuticals, photographic chemicals, insecticides
Acetone	Dyestuffs, solvent, chemical manufacturing, cleaning and drying of precision equipment
Benzophenone	Organic synthesis, odor fixative, flavoring, pharmaceuticals
Butyl acetate	Solvent
n-Butyl-benzylphthalate	Plastics, intermediate

Contaminant	Examples of uses
Hydrocarbons with specific elements	
(cont'd)	
1,2-Dichloropropane	Solvent, intermediate, scouring compounds, fumigant, nematocide, additive for antiknock fluids
Dicyclopentadiene (DCPD)	Insecticide manufacture
Dieldrin	Insecticides
Diiodomethane	Organic synthesis
Diisopropylmethyl phosphonate (DIMP)	Nerve gas manufacture
Dimethyl disulfide	NA
Dimethylformamide	Solvent, organic synthesis
2,4-Dinitrophenol (Dinoseb, DNBP)	Herbicides
Dithiane	Mustard gas manufacture
Dioxins (e.g., TCDD)	Impurity in the herbicide 2,4,5-T
Dodecyl mercaptan (lauryl mercaptan)	Manufacture of synthetic rubber and plastics, pharmaceuticals, insecticides, fungicides
Endosulfan	Insecticides
Endrin	Insecticides
Ethyl chloride	Chemical manufacturing, anesthetic, solvent, refrigerants, insecticides
Bis-2-ethylhexylphthalate	Plastics
Di-2-ethylexylphthalate	Plasticizers
Fluorobenzene	Insecticide and larvicide intermediate
Fluoroform	Refrigerants, intermediate, blowing agent for foams
Heptachlor	Insecticides
Heptachlorepoxyde	Degradation product of heptachlor, also acts as an insecticide
Hexachlorobicycloheptadiene	NA
Hexachlorobutadiene	Solvent, transformer and hydraulic fluid, heat-transfer liquid
α -Hexachlorocyclohexane (= Benzenehexachloride, or α -BHC)	Insecticides
β -Hexachlorocyclohexane (β -BHC)	Insecticides
γ -Hexachlorocyclohexane (γ -BHC, or Lindane)	Insecticides
Hexachlorocyclopentadiene	Intermediate for resins, dyestuffs, pesticides, fungicides, pharmaceuticals
Hexachloroethane	Solvent, pyrotechnics and smoke devices, explosives, organic synthesis
Hexachloronorbornadiene	NA
Isodrin	Intermediate compound in manufacture of Endrin
Kepone	Pesticides
Malathion	Insecticides
Methoxychlor	Insecticides
Methyl bromide	Fumigants, pesticides, organic synthesis
Methyl parathion	Insecticides
Oxathine	Mustard gas manufacture
Parathion	Insecticides
Pentachlorophenol (PCP)	Insecticides, fungicides, bactericides, algicides, herbicides, wood preservative
Phorate (Disulfoton)	Insecticides
Polybrominated biphenyls (PBBs)	Flame retardant for plastics, paper, and textiles
Polychlorinated biphenyls (PCBs)	Heat-exchange and insulating fluids in closed systems
Prometon	Herbicides

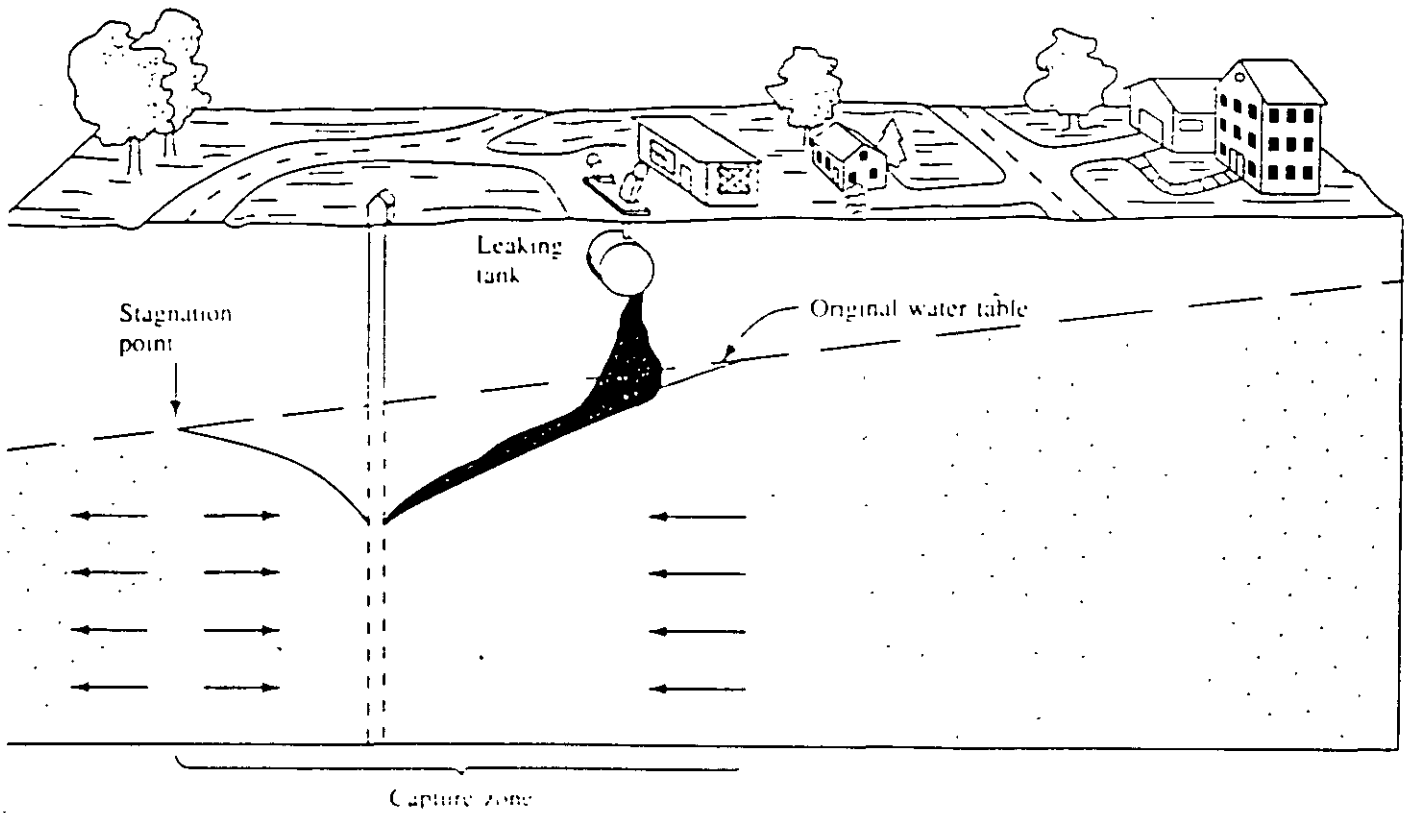
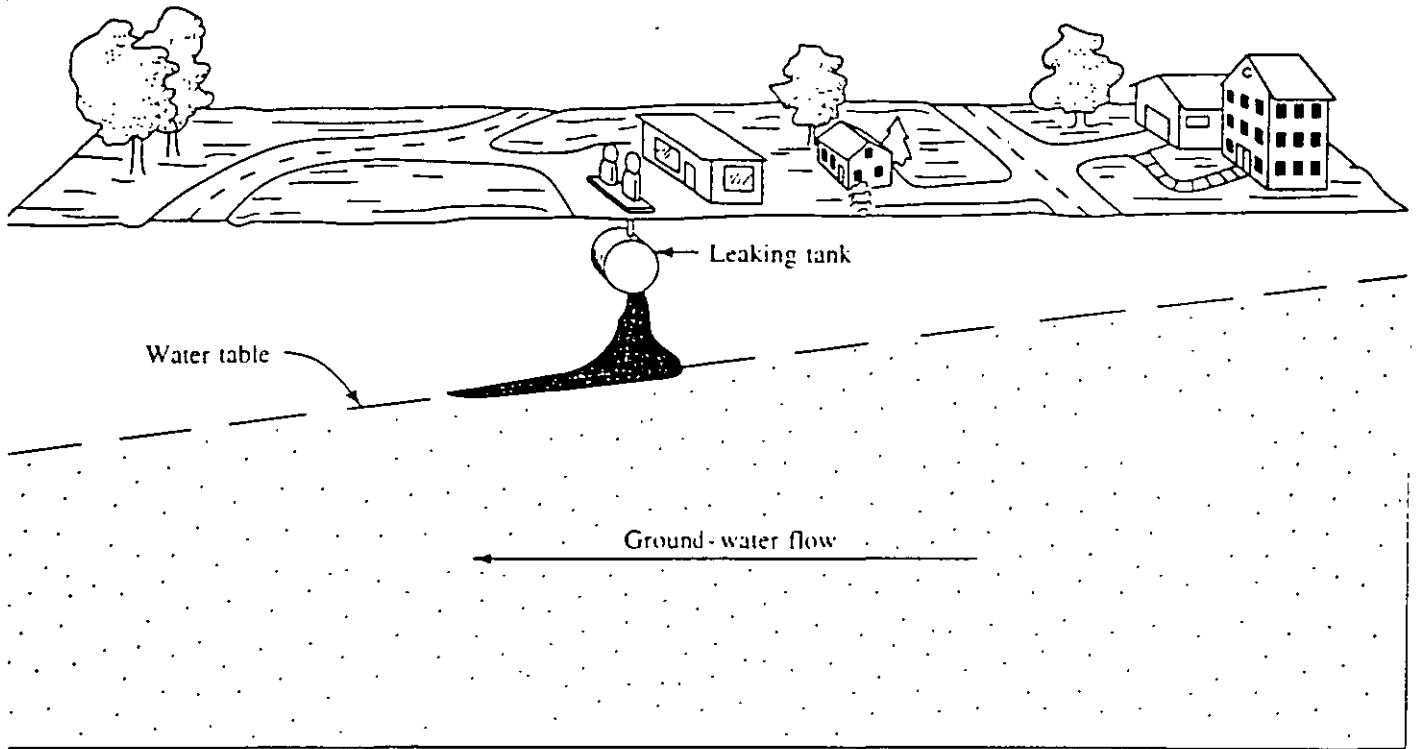
Contaminant	Examples of uses
Oxygenated hydrocarbons (cont'd)	
Di-n-butyl phthalate	Plasticizer, solvent, adhesives, insecticides, safety glass, inks, paper coatings
Diethyl ether	Chemical manufacturing, solvent, analytical chemistry, anesthetic, perfumes
Diethyl phthalate	Plastics, explosives, solvent, insecticides, perfumes
Diisopropyl ether	Solvent, rubber cements, paint and varnish removers
2,4-Dimethyl-3-hexanol	Intermediate, solvent, lubricant
2,4-Dimethyl phenol	Pharmaceuticals, plastics, disinfectants, solvent, dyestuffs, insecticides, fungicides, additives to lubricants and gasolines
Di-n-octyl phthalate	Plasticizer for polyvinyl chloride and other vinyls
1,4-Dioxane	Solvent, lacquers, paints, varnishes, cleaning and detergent preparations, fumigants, paint and varnish removers, wetting agent, cosmetics
Ethyl acrylate	Polymers, acrylic paints, intermediate
Formic acid	Dyeing and finishing, chemicals, manufacture of fumigants, insecticides, solvents, plastics, refrigerants
Methanol (methyl alcohol)	Chemical manufacturing, solvents, automotive antifreeze, fuels
Methylcyclohexanone	Solvent, lacquers
Methyl ethyl ketone	Solvent, paint removers, cements and adhesives, cleaning fluids, printing, acrylic coatings
Methylphenyl acetamide	NA
Phenols (e.g., <i>p</i> -tert-butylphenol)	Resins, solvent, pharmaceuticals, reagent, dyestuffs and indicators, germicidal paints
Phthalic acid	Dyestuffs, medicine, perfumes, reagent
2-Propanol	Chemical manufacturing, solvent, deicing agent, pharmaceuticals, perfumes, lacquers, dehydrating agent, preservatives
2-Propyl-1-heptanol	Solvent
Tetrahydrofuran	Solvent
Varsol	Paint and varnish thinner
Hydrocarbons with specific elements (e.g., with N, P, S, Cl, Br, I, F)	
Acetyl chloride	Dyestuffs, pharmaceuticals, organic preparations
Alachlor (Lasso)	Herbicides
Aldicarb (sulfoxide and sulfone, Temik)	Insecticide, nematocide
Aldrin	Insecticides
Atrazine	Herbicides, plant growth regulator, weed-control agent
Benzoyl chloride	Medicine, intermediate
Bromacil	Herbicides
Bromobenzene	Solvent, motor oils, organic synthesis
Bromochloromethane	Fire extinguishers, organic synthesis
Bromodichloromethane	Solvent, fire extinguisher fluid, mineral and salt separations
Bromoform	Solvent, intermediate
Carbofuran	Insecticide, nematocide
Carbon tetrachloride	Degreasers, refrigerants and propellants, fumigants, chemical manufacturing
Chlordane	Insecticides, oil emulsions
Chlorobenzene	Solvent, pesticides, chemical manufacturing
Chloroform	Plastics, fumigants, insecticides, refrigerants and propellants

Contaminant	Examples of uses
Hydrocarbons with specific elements	
(cont'd)	
RDX (Cyclonite)	Explosives
Simazine	Herbicides
Tetrachlorobenzene	NA ^a
Tetrachloroethanes (1,1,1,2 and 1,1,2,2)	Degreasers, paint removers, varnishes, lacquers, photographic film, organic synthesis, solvent, insecticides, fumigants, weed killer
Tetrachloroethylene (or perchloroethylene, PCE)	Degreasers, drycleaning, solvent, drying agent, chemical manufacturing, heat-transfer medium, vermifuge
Toxaphene	Insecticides
Triazine	Herbicides
1,2,4-Trichlorobenzene	Solvent, dyestuffs, insecticides, lubricants, heat-transfer medium (e.g., coolant)
Trichloroethanes (1,1,1 and 1,1,2)	Pesticides, degreasers, solvent
1,1,2-Trichloroethylene (TCE)	Degreasers, paints, drycleaning, dyestuffs, textiles, solvent, refrigerant and heat exchange liquid, fumigant, intermediate, aerospace operations
Trichlorofluoromethane (Freon 11)	Solvent, refrigerants, fire extinguishers, intermediate
2,4,6-Trichlorophenol	Fungicides, herbicides, defoliant
2,4,5-Trichlorophenoxyacetic acid (2,4,5-T)	Herbicides, defoliant
2,4,5-Trichlorophenoxypropionic acid (2,4,5-TP or Silvex)	Herbicides and plant growth regulator
Trichlorotrifluoroethane	Dry-cleaning, fire extinguishers, refrigerants, intermediate, drying agent
Trinitrotoluene (TNT)	Explosives, intermediate in dyestuffs and photographic chemicals
Tris-(2,3-dibromopropyl) phosphate	Flame retardant
Vinyl chloride	Organic synthesis, polyvinyl chloride and copolymers, adhesives
Other hydrocarbons	
Alkyl sulfonates	Detergents
Cyclohexane	Organic synthesis, solvent, oil extraction
1,3,5,7-Cyclooctatetraene	Organic research
Dicyclopentadiene (DCPD)	Intermediate for insecticides, paints and varnishes, flame retardants
2,3-Dimethylhexane	NA
Fuel oil	Fuel, heating
Gasoline	Fuel
Jet fuels	Fuel
Kerosene	Fuel, heating solvent, insecticides
Lignin	Newsprint, ceramic binder, dyestuffs, drilling fuel additive, plastics
Methylene blue activated substances (MBAS)	Dyestuffs, analytical chemistry
Propane	Fuel, solvent, refrigerants, propellants, organic synthesis
Tannin	Chemical manufacturing, tanning, textiles, electroplating, inks, pharmaceuticals, photography, paper
4,6,8-Trimethyl-1-nonene	NA
Undecane	Petroleum research, organic synthesis
Metals and cations	
Aluminum	Alloys, foundry, paints, protective coatings, electrical industry, packaging, building and construction, machinery and equipment
Antimony	Hardening alloys, solders, sheet and pipe, pyrotechnics

Contaminant	Examples of uses
Metals and cations (cont'd)	
Arsenic	Alloys, dyestuffs, medicine, solders, electronic devices, insecticides, rodenticides, herbicide, preservative
Barium	Alloys, lubricant
Beryllium	Structural material in space technology, inertial guidance systems, additive to rocket fuels, moderator and reflector of neutrons in nuclear reactors
Cadmium	Alloys, coatings, batteries, electrical equipment, fire-protection systems, paints, fungicides, photography
Calcium	Alloys, fertilizers, reducing agent
Chromium	Alloys, protective coatings, paints, nuclear and high-temperature research
Cobalt	Alloys, ceramics, drugs, paints, glass, printing, catalyst, electroplating, lamp filaments
Copper	Alloys, paints, electrical wiring, machinery, construction materials, electroplating, piping, insecticides
Iron	Alloys, machinery, magnets
Lead	Alloys, batteries, gasoline additive, sheet and pipe, paints, radiation shielding
Lithium	Alloys, pharmaceuticals, coolant, batteries, solders, propellants
Magnesium	Alloys, batteries, pyrotechnics, precision instruments, optical mirrors
Manganese	Alloys, purifying agent
Mercury	Alloys, electrical apparatus, instruments, fungicides, bactericides, mildew proofing, paper, pharmaceuticals
Molybdenum	Alloys, pigments, lubricant
Nickel	Alloys, ceramics, batteries, electroplating, catalyst
Palladium	Alloys, catalyst, jewelry, protective coatings, electrical equipment
Potassium	Alloys, catalyst
Selenium	Alloys, electronics, ceramics, catalyst
Silver	Alloys, photography, chemical manufacturing, mirrors, electronic equipment, jewelry, equipment, catalyst, pharmaceuticals
Sodium	Chemical manufacturing, catalyst, coolant, nonglare lighting for highways, laboratory reagent
Thallium	Alloys, glass, pesticides, photoelectric applications
Titanium	Alloys, structural materials, abrasives, coatings
Vanadium	Alloys, catalysts, target material for x-rays
Zinc	Alloys, electroplating, electronics, automotive parts, fungicides, roofing, cable wrappings, nutrition
Nonmetals and anions	
Ammonia	Fertilizers, chemical manufacturing, refrigerants, synthetic fibers, fuels, dyestuffs
Boron	Alloys, fibers and filaments, semiconductors, propellants
Chlorides	Chemical manufacturing, water purification, shrink-proofing, flame-retardants, food processing
Cyanides	Polymer production (heavy duty tires), coatings, metallurgy, pesticides
Fluorides	Toothpastes and other dentrifices, additive to drinking water
Nitrates	Fertilizers, food preservatives
Nitrites	Fertilizers, food preservatives

Contaminant	Examples of uses
Nonmetals and anions (cont'd)	
Phosphates	Detergents, fertilizers, food additives
Sulfates	Fertilizers, pesticides
Sulfites	Pulp production and processing, food preservatives
Microorganisms	
Bacteria (coliform)	
Giardia	
Viruses	
Radionuclides	
Cesium 137	Gamma radiation source for certain foods
Chromium 51	Diagnosis of blood volume, blood cell life, cardiac output, etc.
Cobalt 60	Radiation therapy, irradiation, radiographic testing, research
Iodine 131	Medical diagnosis, therapy, leak detection, tracers (e.g., to study efficiency of mixing pulp fibers, chemical reactions, and thermal stability of additives to food products), measuring film thicknesses
Iron 59	Medicine, tracer
Lead 210	NA
Phosphorus 32	Tracer, medical treatment, industrial measurements (e.g., tire-tread wear and thickness of films and ink)
Plutonium 238, 243	Energy source, weaponry
Radium 226	Medical treatment, radiography
Radium 228	Naturally occurring
Radon 222	Medicine, leak detection, radiography, flow rate measurement
Ruthenium 106	Catalyst
Scandium 46	Tracer studies, leak detection, semiconductors
Strontium 90	Medicine, industrial applications (e.g., measuring thicknesses, density control)
Thorium 232	Naturally occurring
Tritium	Tracer, luminous instrument dials
Uranium 238	Nuclear reactors
Zinc 65	Industrial tracers (e.g., to study wear in alloys, galvanizing, body metabolism, function of oil additives in lubricating oils)
Zirconium 95	NA

Chemical	MCLG (µg/L)	MCL (µg/L)	SMCL (µg/L)
Inorganic chemicals (cont'd)			
Mercury	2 ^d	2 ^d	
Nickel	100 ^f	100 ^f	
Nitrate (as N) (3)	10,000 ^d	10,000 ^d	
Nitrite (as N) (3)	1,000 ^d	1,000 ^d	
Selenium	50 ^d	50 ^d	
Silver			100 ^d
Sulfate (4)	4 × 10 ⁵ –5 × 10 ^{5f}	4 × 10 ⁵ –5 × 10 ^{5f}	
Thallium (4)	0.5 ^f	2/1 ^f	
Microbiological parameters			
<i>Giardia lamblia</i>	0 organisms ^e		
<i>Legionella</i>	0 organisms ^e		
Heterotrophic bacteria	0 organisms ^e		
Viruses	0 organisms ^e		
Radionuclides			
Radium 226 (6)	0 ^g	20 pCi/L ^g	
Radium 228 (6)	0 ^g	20 pCi/L ^g	
Radon 222	0 ^g	300 pCi/L ^g	
Uranium	0 ^g	20 µg/L (30 pCi/L) ^g	
Beta and Photon emitters (excluding radium 228)	0 ^g	4 mrem ede/yr ^g	
Adjusted gross alpha emitters (excluding radium 226, uranium, and radon 222)	0 ^g	15 pCi/L ^g	



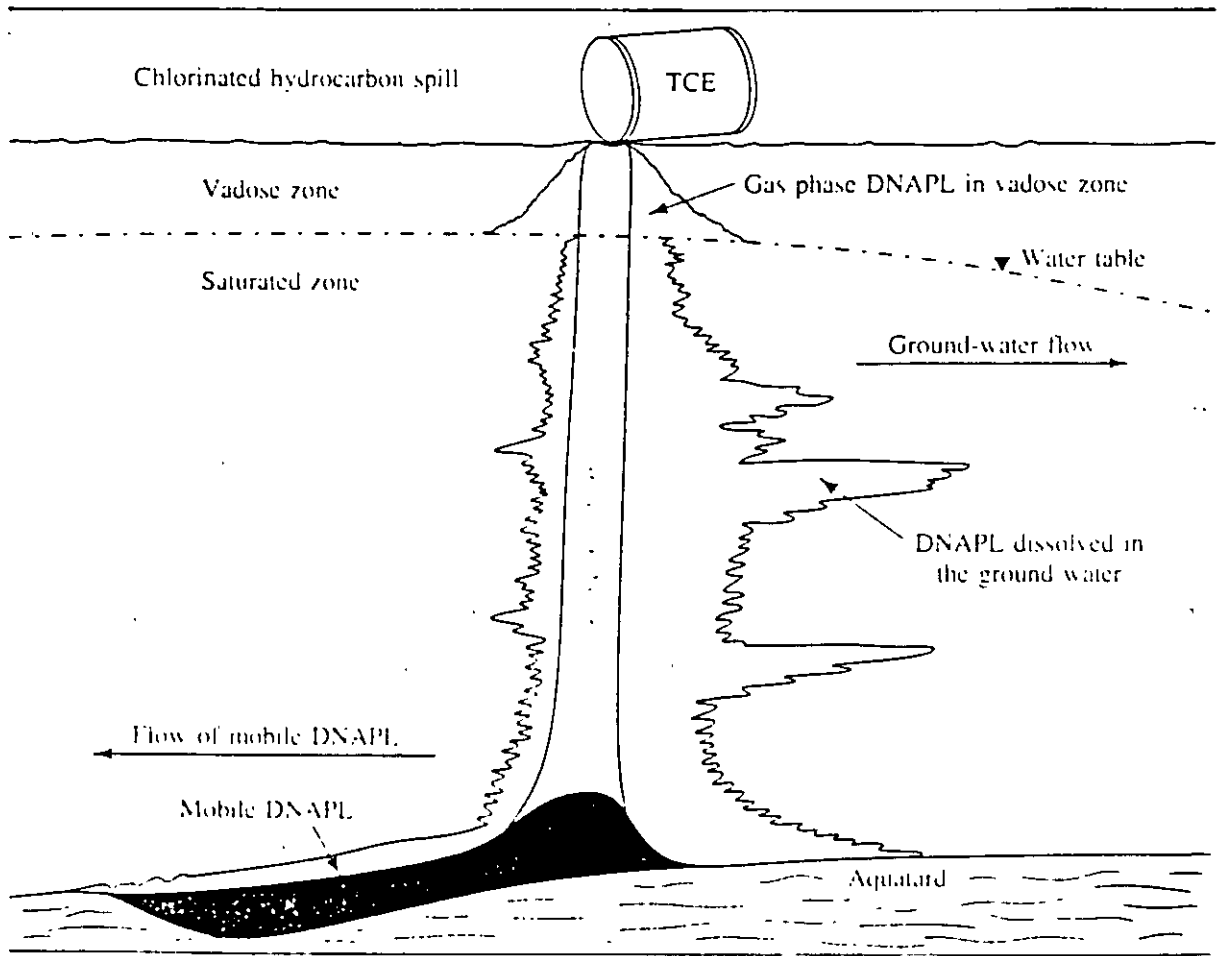
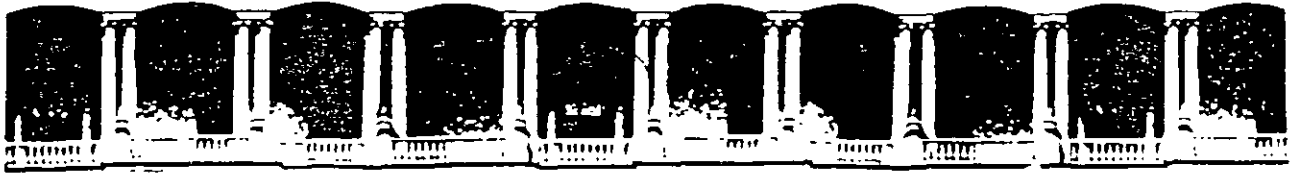


FIGURE 5.25 Distribution of a dense nonaqueous phase liquid in the vadose and saturated zone.



**FACULTAD DE INGENIERIA U.N.A.M.
DIVISION DE EDUCACION CONTINUA**

CURSOS ABIERTOS

**X CURSO INTERNACIONAL
CONTAMINACIÓN DE ACUIFEROS**

MÓDULO I:

GEOHIDROLOGÍA

TEMA :

HIDROGEOQUÍMICA DE LAS AGUAS NATURALES

**PRESENTADO POR: ING. JUAN MANUEL LESSER ILLADES
SEPTIEMBRE 1998**

CONTENIDO

CAPITULO 1	INTRODUCCION
CAPITULO 2	GENERALIDADES
	2.1. EL CICLO HIDROLOGICO.
	2.2. BALANCE DEL AGUA DENTRO DEL CICLO HIDROLOGICO.
	2.3. QUIMICA DEL AGUA DEL CICLO HIDROLOGICO.
	A) COMPOSICION DEL AGUA DE LLUVIA
	B) COMPOSICION DEL AGUA DE RIOS
	C) COMPOSICION DEL AGUA SUBTERRANEA
CAPITULO 3	METODO DE TRABAJO EN LA INTERPRETACION HIDROGEOQUIMICA
	3.1. SELECCION Y MUESTREO DEL AGUA SUBTERRANEA.
	3.2. ANALISIS FISICO-QUIMICOS.
	3.3. UNIDADES USADAS PARA REPORTAR LOS ANALISIS QUIMICOS.
	3.4. ELABORACION DE TABLAS, PLANOS Y DIAGRAMAS E INTERPRETACION DE LOS MISMOS.
	A) TABLAS RESUMEN
	B) CONFIGURACIONES
	C) DIAGRAMAS TRIANGULARES
	D) RESISTIVIDADES Y SOLIDOS TOTALES DISUELTOS
CAPITULO 4	GRADO DE SATURACION DEL AGUA CON RESPECTO A LOS MINERALES MAS COMUNES
	4.1. METODOLOGIA.
CAPITULO 5	INTRUSION SALINA EN ACUIFEROS COSTEROS
	5.1. CARACTERISTICAS FISICAS DE LA INTRUSION SALINA.
	5.2. PRINCIPIO DE GYBEN-HERZBERG.
	5.3. MECANISMO DE LA INTRUSION SALINA.
	5.4. METODOS DE CONTROL DE LA INTRUSION SALINA.
	A) REDUCCION DE LA EXTRACCION
	B) RECARGA ARTIFICIAL
	C) FRONTERAS IMPERMEABLES
	D) BARRERA DE POZOS DE BOMBEO
	E) BARRERA CON POZOS DE INYECCION
	F) METODO COMBINADO

CAPITULO 6

CALIDAD DEL AGUA

- 6.1. AGUA POTABLE.
- 6.2. AGUA PARA RIEGO.
- 6.3. AGUA PARA ABREVADERO.
- 6.4. AGUA PARA LA INDUSTRIA.

CAPITULO 7

SIGNIFICADO DE ALGUNAS PROPIEDADES FISICAS Y QUIMICAS DEL AGUA

BICARBONATO Y CARBONATO

BORO

CALCIO

COLOR

CLORURO

CONCENTRACION E HIDROGENO

CONDUCTIVIDAD ELECTRICA

DUREZA

ESTRONCIO

FIERRO

FLUOR

FOSFATO

LITIO

MAGNESIO

MANGANESO

NITROGENO

POTASIO

RELACION DE ADSORCION DE SODIO

SELENIO

SILICE

SODIO

SOLIDOS DISUELTOS

SULFATOS

CAPITULO 8

TRAZADORES DE AGUA SUBTERRANEA

6.1. RESUMEN

6.2. INTRODUCCION

6.3. FLUORESCEINAS

A) URANINA

B) EOSINA

C) AMINOPHODAMINA G EXTRA

E) TINOPAL CBS-X

F) EJEMPLO SOBRE LA APLICACION DE FLUORESCEINA

6.4. SALES

A) EJEMPLO SOBRE LA APLICACION DE SALES

6.5. ESPORAS

CAPITULO 9

ISOTOPOS AMBIENTALES EN LA GEOHIDROLOGIA

- 9.1. . DEFINICION Y ORIGEN.
- 9.2. UNIDADES Y METODO DE ANALISIS.
- 9.3. RECTA METEORICA MUNDIAL Y LOCAL.
- 9.4. PROCESOS QUE MODIFICAN LA COMPOSICION DEL AGUA SUBTERRANEA.
 - 9.4.1. VARIACION ESTACIONAL.
 - 9.4.2. EFECTO POR LATITUD.
 - 9.4.3. EFECTO CONTINENTAL.
 - 9.4.4. EFECTO POR ALTITUD.
 - 9.4.5. EFECTO DE EVAPORACION.
 - 9.4.6. EFECTOS GEOTERMICOS.
- 9.5. METODO GENERAL DE INTERPRETACION.
- 9.6. TRITIO.

REFERENCIAS

CAPITULO 1

INTRODUCCION

La interpretación geoquímica del agua subterránea, se utiliza junto con la geología, hidrología y geofísica, como un auxiliar para conocer y entender en una forma más completa, el funcionamiento de los acuíferos y la planeación de una mejor y más racional explotación.

Para efectuar la interpretación geoquímica, se toma en cuenta que, el agua que forma los acuíferos, proviene principalmente de la lluvia, donde parte de ésta, al precipitarse sobre las formaciones geológicas, se infiltra y corre a través de ellas. Al circular por el subsuelo, entra en contacto con diversas rocas, disolviendo las sales minerales que las forman y produciendo cambios en su composición. La química del agua dependerá de la solubilidad y composición de las rocas por las que circula y de los factores que afecten la solubilidad, como son: las temperaturas del agua y las rocas, el área de contacto del agua con las formaciones, la velocidad de circulación, la longitud del recorrido, la previa composición química del agua y otros factores.

Por lo tanto, la composición del agua está en íntima relación con el funcionamiento general del acuífero. Es por ello que, a partir de su composición química, se puede obtener la dirección del movimiento del agua subterránea, la localización de las zonas de recarga del acuífero, los tipos de roca a través de las cuales circula, así como algunas características físicas del acuífero y la calidad del agua para usos agrícolas, ganaderos, agropecuarios, potables, turísticos e industriales.

A lo largo de las líneas de costa, en las planicies costeras, el agua de los acuíferos se encuentra en contacto sobre el agua de mar, debido a la diferencia de densidades de éstas. El contacto entre estas dos masas de agua se encuentra en equilibrio y, las modificaciones producidas en las condiciones originales del acuífero, originan cambios en la posición de dicho contacto. Al explotar los acuíferos costeros, se rompe este equilibrio, produciendo una intrusión de agua de mar, dentro del acuífero.

Debido a las diferencias en concentración y composición química, existente entre el agua de mar y el agua dulce, los métodos geoquímicos ayudan a conocer la posición y velocidad de avance de la intrusión salina.

En las muestras de agua, obtenidas tanto en pozos como en norias, galerías filtrantes y manantiales, se determinan los sólidos totales disueltos, la conductividad eléctrica, la dureza total y las concentraciones de los iones siguientes: Ca, Mg, Fe, Mn, Na, SO_4 , Cl, HCO_3 , NO_2 y NO_3 , principalmente.

Se elaboraran configuraciones de los índices más representativos, obteniéndose, a partir de ellas, las zonas de recarga, las cuales coinciden con los lugares donde se encuentran las menores de sales. Se obtiene también,

la dirección del flujo del agua subterránea, debido a que ésta va disolviendo mayor cantidad de sales conforme avanza. Así, también se pueden determinar las zonas con mayor o menor permeabilidad, ya que éstas afectarán, en mayor o menor grado, la composición y concentración de sales en el agua. A partir de la composición química del agua, se deduce el tipo de roca que forma el acuífero; así, el agua que circula a través de rocas calizas, tendrá en solución abundante calcio y carbonatos, en contraste con agua que circula a través de rocas yesíferas, la cual tendrá disueltos iones de calcio y sulfatos.

Para obtener la calidad del agua para uso doméstico, se comparan los resultados de los análisis químicos, con los límites máximos permisibles ya establecidos, obteniéndose, rápida y directamente, la clase de agua para este uso.

Con respecto a la clase de agua para riego, se utiliza la clasificación de Wilcox, a partir de la cual y por medio de las concentraciones de sodio, magnesio, calcio y la conductividad eléctrica, se conoce la clase de agua para riego a que pertenece cada muestra analizada, así como las recomendaciones relativas al tipo de suelo en que debe usarse, las prácticas del control de la salinidad y los tipos de cultivos más adecuados.

Para la industria, el agua se puede clasificar inicialmente por su dureza. Posteriormente, dependiendo del tipo de industria, el agua deberá cumplir ciertos requisitos establecidos.

REFERENCIAS

Drever, J. K. 1988. The Geochemistry of Natural Water, Second Edition. Prentice Hall. 437 p.

Hem, John, 1971. "Study and Interpretation of The Chemical Characteristics of Natural Water". G.S.W.S.P. 1473.

CAPITULO 2

GENERALIDADES

2.1. EL CICLO HIDROLOGICO

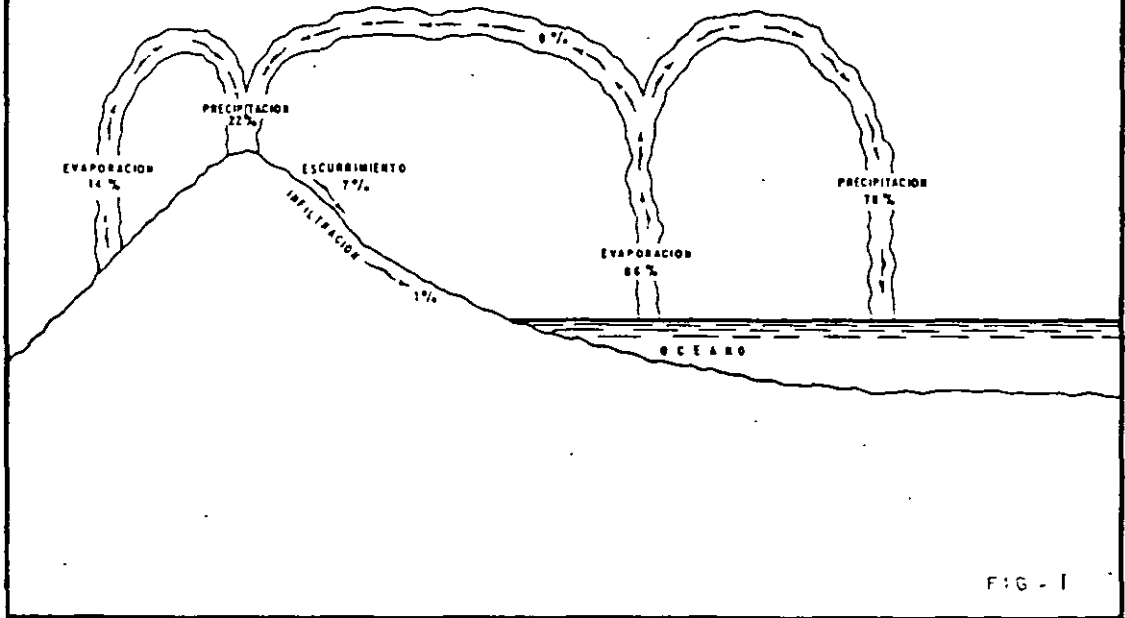
Como es sabido, el agua de lluvia que se precipita sobre los continentes, tiene tres caminos por seguir: 1) evaporarse para formar las nubes; 2) escurrir por la superficie del suelo formando arroyos y ríos que finalmente vierten sus aguas al mar y; 3) infiltrarse en el subsuelo para formar acuíferos. Esta agua infiltrada, posteriormente es drenada por corrientes superficiales o aflora en forma de manantiales para evaporarse o seguir su camino hacia el mar.

2.2. BALANCE DEL AGUA DENTRO DEL CICLO HIDROLOGICO

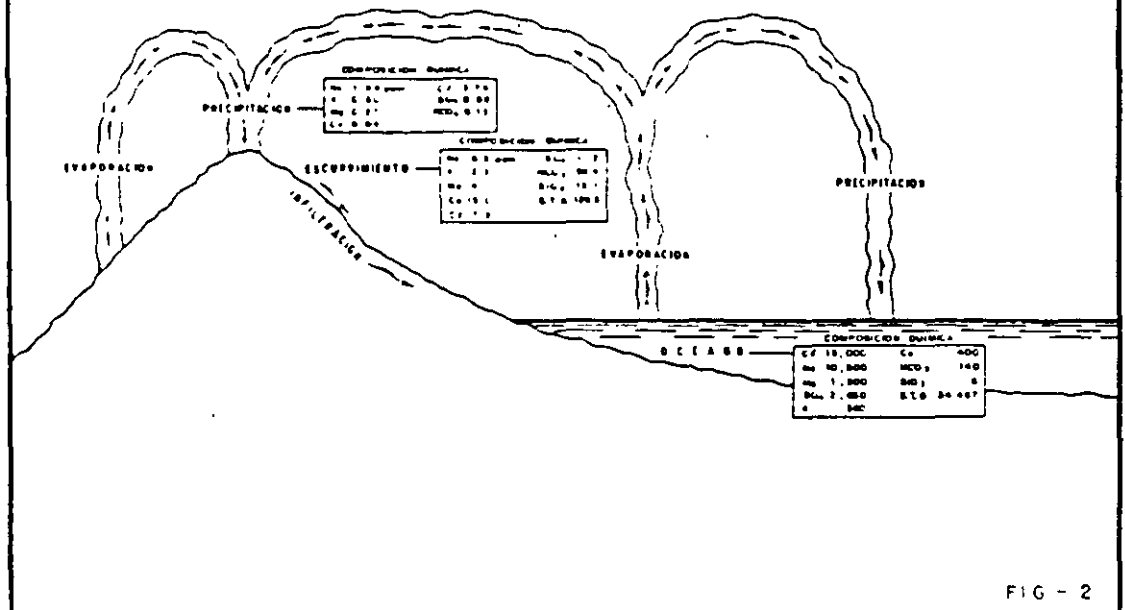
Del 100% del agua que se evapora, para incorporarse a la atmósfera en forma de nubes, el 86% proviene del mar y el 14% restante, de los continentes. Del 86% que se evapora en los océanos, el 78% se precipita en el mar y el 8% en los continentes. (Fig.2.1). El otro 14% de evaporación, se precipita sobre los continentes, haciendo un total de 22% de precipitación sobre éstos. De este 22%, se evapora el 14%, escurre hacia el mar en forma de corrientes superficiales el 7%, y el 1% restante se infiltra en el subsuelo y en forma de agua subterránea, es incorporada al mar.

El agua subterránea que forma los acuíferos proviene principalmente de la lluvia, donde parte de ésta al precipitarse sobre las formaciones geológicas, se infiltra y corre a través de ellas. El agua infiltrada, en ocasiones, pasa por zonas cercanas a cámaras magmáticas o puede permanecer atra-

C I C L O H I D R O L O G I C O



C I C L O H I D R O L O G I C O Y C O M P O S I C I O N M E D I A D E L A G U A D E L L U V I A , R I O S Y O C E A N O S



pada entre sedimentos en forma de agua fósil.

Al circular por el subsuelo, entra en contacto con diversas formaciones -- geológicas, disolviendo las sales minerales que forman las rocas y produciendo cambios en su composición. Por lo tanto, la composición química del agua dependerá de la solubilidad y composición de las rocas por las que circula y de los factores que afecten la solubilidad, como son: las temperaturas del agua y las rocas; el área de contacto del agua con las formaciones, la velocidad de circulación, la longitud del recorrido, la previa-composición química del agua y otros factores.

2.3. QUIMICA DEL AGUA DEL CICLO HIDROLOGICO

- a) Composición del agua de lluvia.- Al precipitarse hacia la corteza terrestre, arrastra diferentes materiales finos, que se encuentran en suspensión en la atmósfera y que, en muchos casos, son transportados por el viento. (Figura 2.2.)

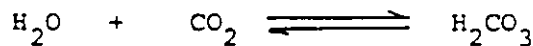
La composición química general del agua de lluvia, según Garrels y Mackenzie (1971), es la siguiente:

Na	1.98 ppm.	Ca	0.09	HCO ₃	0.12
K	0.30	Cl	3.79		
Mg	0.27	SO ₄	0.58		

La concentración de elementos disueltos en la lluvia en diferentes lugares, es variable: por ejemplo, el contenido de cloro y sodio, en la precipitación que se lleva a cabo en algunas zonas costeras, es mayor de 2 y 1 ppm respectivamente, mientras que en los continentes es menor de 0.3 y 0.2 ppm, respectivamente.

Debido a la baja concentración de sales en el agua de lluvia, ésta se considera como "agua pura" y las variantes existentes entre la composición y concentración de un lugar a otro, no son de importancia en la interpretación hidrogeoquímica, salvo lugares excepcionales, donde corrientes de aire levantan una gran cantidad de partículas que posteriormente son arrastradas por la lluvia.

Al precipitarse, las moléculas de agua incorporan bióxidos de carbono de la atmósfera, formando ácido carbónico como se ilustra en la siguiente reacción.



Este ácido, tiene un gran poder de disolución y es el principal agente de ataque del agua sobre las rocas.

- b) Composición del agua de ríos. - Las corrientes superficiales, que en la mayoría de los casos son la causa inmediata de la lluvia, tienen contacto con los materiales que forman los cauces, así como con los fragmentos de roca transportados por la corriente.

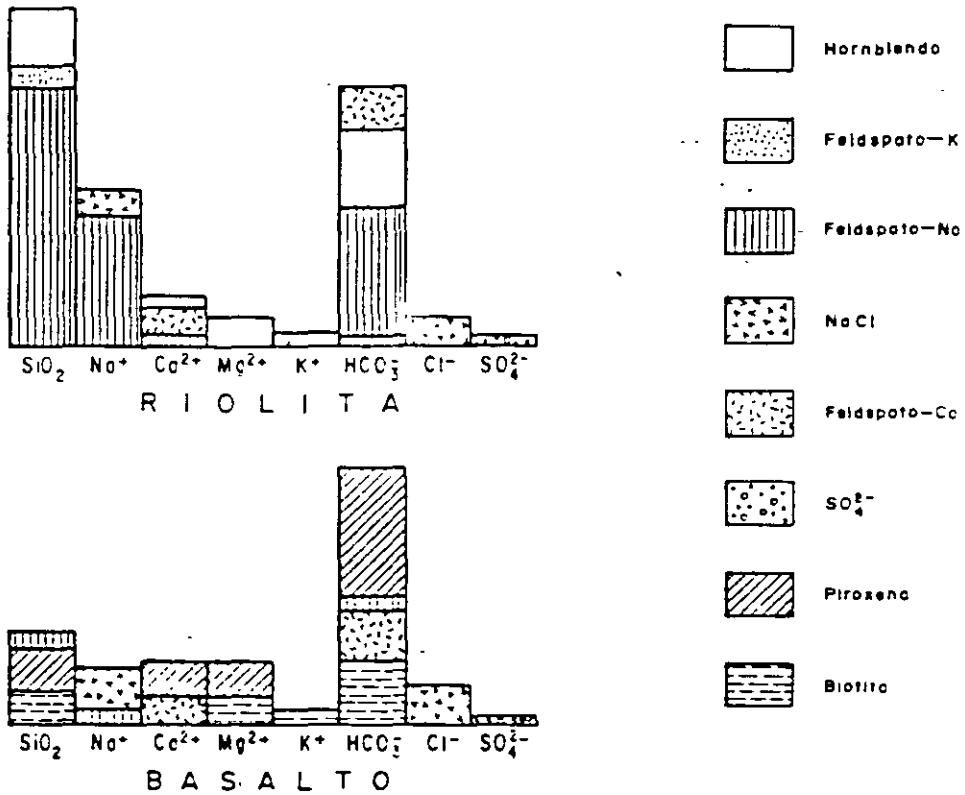
Al contacto con dichos materiales, el agua los ataca y disuelve, llegando a tener una composición dependiente del tipo de materiales con los que tiene contacto.

La composición promedio del agua de ríos, según Livingstone (1963), es la siguiente:

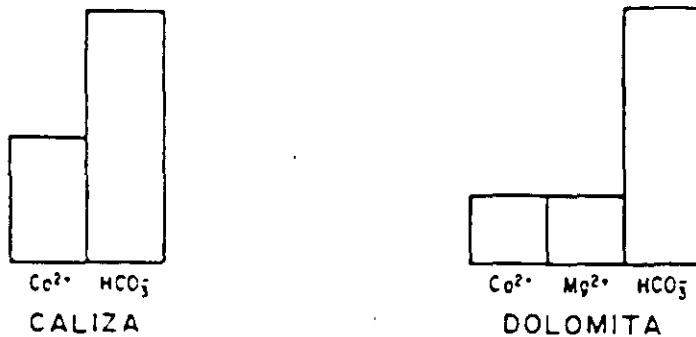
Cl	7.8 ppm	Ca	15.0	Al	0.01
Na	6.3	HCO ₃	58.4	S.T.D.	129.5
Mg	4.1	SiC ₂	13.1		
SO ₄	11.2	NC ₃	1.0		
K	2.3	Fe ⁺⁺	0.67		

- c) Composición del agua de mar. - Los océanos constituyen los mayores depósitos de agua en el mundo, y se caracterizan por tener una gran cantidad de sales disueltas. Estas sales son producto de la erosión química efectuada por el agua durante el ciclo hidrológico, desde la formación de la tierra, hasta nuestra época.

COMPOSICION QUIMICA DEL AGUA SUBTERRANEA QUE CIRCULA POR DIFERENTES ROCAS



RECONSTRUCCION EN HISTOGRAMAS DE LA COMPOSICION DEL AGUA DE RIOLITAS Y BASALTOS



HISTOGRAMAS MOSTRANDO LA COMPOSICION DEL AGUA DE CALIZAS Y DOLOMITAS

Originalmente, los océanos se formaron por condensación de vapor de agua, la cual se acumuló en las partes bajas de la tierra. Se inició el ciclo hidrológico y esta agua empezó a disolver los minerales que formaban las rocas, conduciendo las sales, producto de erosión química, hacia las cuencas oceánicas. Continuó el ciclo hidrológico y con él, el aumento de sales en el agua de mar.

La composición química del agua de mar, de acuerdo con Goldberg (1957), es:

Cl	19,000 ppm	Ca	400
Na	10,500	HCO ₃	140
Mg	1,300	SiO ₂	6
SO ₄	2,650	S.T.D.	34,467
K	380		

- D) Composición Subterránea. - La composición química del agua subterránea dependerá del tipo de roca, a través de la cual circula y de otros muchos factores complejos. (Fig. 2.3.)

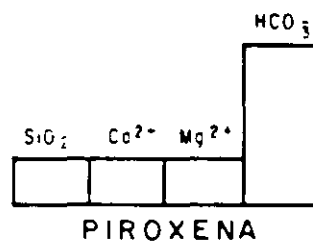
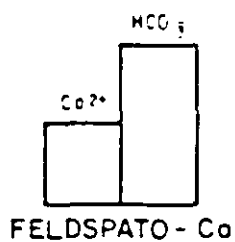
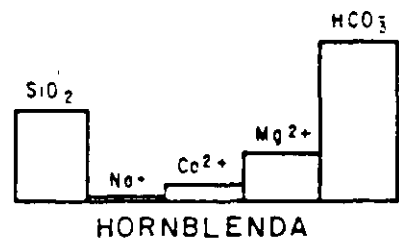
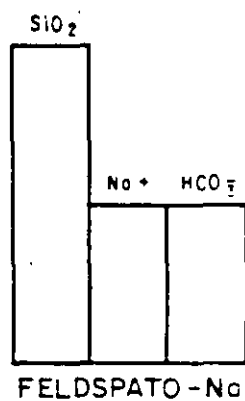
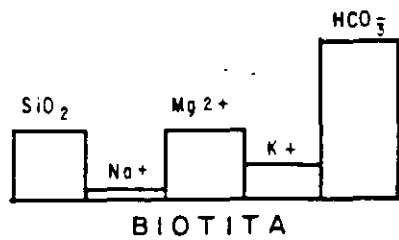
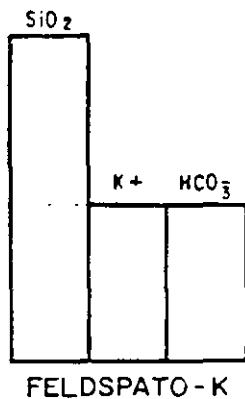
Así, tenemos que un agua que circula a través de rocas calizas, tendrá principalmente iones de calcio, carbonatos y bicarbonatos. Si circula por yesos y anhidritas, tendrá una gran cantidad de sólidos disueltos, debido a la fácil disolución de estas rocas, predominando la presencia de iones de calcio y sulfatos. El agua que circula a través de basaltos, tendrá pocos sólidos disueltos, debido a que esta roca es de difícil disolución; además tendrá - aproximadamente, la misma cantidad de calcio, magnesio y sodio.

En las figs. 2.4 y 2.5 se muestra la composición química de algunas rocas y minerales comunes.

REFERENCIAS

- Custodio, E. y Llamas, M. R. 1976. Hidrología Subterránea. Ediciones Omega, Barcelona, España.
- Drever, J. I. 1988. The Geochemistry of Natural Water, Second Edition Prentice Hall. 437 p.
- Fairbridge, R. W. "Encyclopedia of Geochemistry and Environmental Science".
- Garrels and Mackenzie, 1971. "Evolution of the Sedimentary Rocks".
- Hem, John, 1971. "Study and Interpretation of The Chemical Characteristics of Natural Water". G.S.W.S.F. 1473.

COMPOSICION QUIMICA DE ALGUNOS MINERALES



DIAGRAMAS DE BARRAS QUE MUESTRAN LA COMPOSICION DE ALGUNOS MINERALES CONSTITUYENTES DE LAS ROCAS IGNEAS

CAPITULO 3

METODO DE TRABAJO EN LA INTERPRETACION HIDROGEOQUIMICA

Para llevar a cabo una interpretación hidrogeoquímica, se procede de la siguiente manera (Fig. 3.1.)

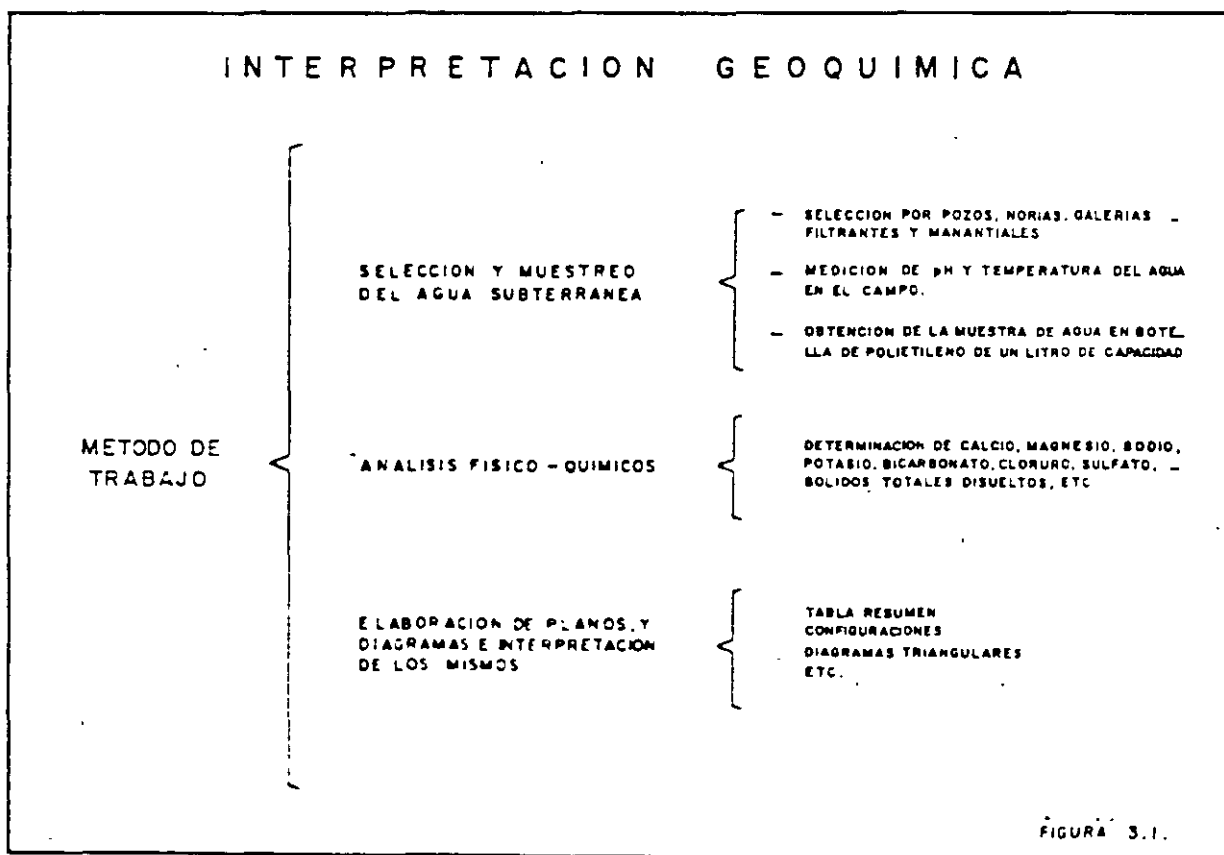


FIGURA 3.1.

3.1. SELECCION Y MUESTREO DEL AGUA SUBTERRANEA

Se efectúa una selección de aprovechamientos, tomando en cuenta una distribución espacial, que dependerá de las circunstancias, así como el tipo de aprovechamiento ya sea pozo, noria, manantial, galería, etc, ya que en ocasiones, los diferentes tipos de aprovechamientos, corresponden a sistemas acuíferos diferentes.

El muestreo se debe efectuar usando frascos de polietileno de un litro de capacidad, con doble tapa. Los frascos deben llenarse totalmente para evitar la gasificación de algunos componentes que podría provocar reacciones químicas y alterar la composición de la muestra que es representativa de enormes volúmenes de agua.

Al obtener la muestra en el campo, se deben tomar datos relativos a la localización y características del aprovechamiento, así como la temperatura ambiente, la temperatura del agua al momento del muestreo, el pH y la resistividad eléctrica del agua.

3.2. ANALISIS FISICO-QUIMICOS

Una vez obtenidas las muestras, se remiten al laboratorio en donde se efectúan los análisis fisicoquímicos, determinándose las concentraciones de los principales cationes (Ca, Mg, Na, K), aniones (HCO_3 , Cl, SO_4) los sólidos totales disueltos y, dependiendo del tipo de terreno, se sugiere la determinación de otros índices, por ejemplo, para un terreno con trazas de termalismo, sería conveniente la determinación de litio y boro, así para otros casos, se requeriría determinar FeO, MnO, SiO_2 , F, etc.

SOLIDOS TOTALES DISUELTOS.- Los sólidos totales disueltos representan el residuo que queda al evaporar cierta cantidad del agua. No son representativas de la suma de las concentraciones de los diferentes elementos analizados, ya que, durante la evaporación en el laboratorio, los sólidos volátiles se pierden y los bicarbonatos se convierten en carbonatos. También quedan retenidas cierta cantidad de agua, de cristalización que no alcanza a evaporarse. Por lo tanto, el valor de los sólidos totales disueltos, sólo proporciona un índice del ataque del agua sobre las formaciones geológicas y de la solubilidad y facilidad de remoción de las sales del subsuelo.

3.3. UNIDADES USADAS PARA REPORTAR LOS ANALISIS QUIMICOS

Las unidades más comunes, en las que se reportan los análisis químicos efectuados a muestras de agua, son: partes por millón y miliequivalentes por litro.

Las "partes por millón", son unidades de peso por peso, que equivalen - - un miligramo de soluto, por un kilogramo de solución. La unidad de peso por volumen, se tiene al asumir que un litro de solución, pesa un kilogramo; en tonces, tenemos que una "parte por millón", es igual a un "miligramo por litro".

Debido a que las unidades anteriores están dadas en peso, no hay equivalencia entre iones de diferente especie, o sea, que no se pueden mezclar, debido a que tienen diferente peso molecular y carga eléctrica. Por lo tanto, - para efectuar correlaciones entre ellos, se utilizan unidades equivalentes. La unidad más usada es el "miliequivalente por litro", la cual se obtiene - multiplicando los "miligramos por litro", por $\frac{C}{PA}$; donde "C" es la carga -- del ion y "PA" es el peso atómico.

Otra unidad conocida y usada en Química, es "moles por litro", siendo una - mole, el peso atómico de una sustancia en gramos.

Las abreviaciones usadas en las unidades mencionadas, son las siguientes:

ppm	partes por millón
mg/l	miligramos por litro
me/l	miliequivalentes por litro
mol/l	moles por litro

3.4. ELABORACION DE TABLAS, PLANOS Y DIAGRAMAS E INTERPRETACION DE LOS MISMOS

- a) Tablas resumen.- Para controlar y tener una idea en conjunto de la composición, concentración y calidad del agua, se recomienda elaborar tablas en las cuales se resuma toda la información obtenida.
- b) Configuraciones.- Con el objeto de tener una distribución espacial de la calidad del agua y con ella determinar cualitativamente las zonas de recarga, la dirección del flujo del agua subterránea, así como tener idea de algunas propiedades físicas del -

acuífero, se elaboran configuraciones de las determinaciones efectuadas.

Con el objeto de ilustrar este punto, en las Figs. 3.2. y 3.3. se muestran las configuraciones de sólidos totales disueltos y conductividad eléctrica, para los Valles de Aldama y Samalayucan, Chih.

En el plano de curvas isovalores de sólidos totales disueltos de Aldama, se observa que las zonas con menores concentraciones se encuentran en el extremo noreste de la ciudad de Chihuahua y en el flanco este de la Sierra de La Gloria, coincidiendo éstas con las zonas de recarga del acuífero, donde el agua de lluvia se in filtra.

Las concentraciones aumentan de la ciudad de Chihuahua hacia la de Aldama, indicando que el agua subterránea fluye en dicha dirección al ir disolviendo sales conforme avanza.

Las concentraciones aumentan de la Sierra de La Gloria, hacia el noreste y después hacia el sureste, a lo largo del Río Chuviscar, mostrando que la dirección del agua subterránea es hacia el sureste.

En la configuración de conductividades del área Samalayuca-Juárez, Fig. 3.3. se observa la curva 1000 al pie de la Sierra Juárez y de 1500 hacia el sureste de ella. Esta distribución, indica que la Sierra de Juárez corresponde a una zona de recarga, donde el agua de lluvia se infiltra y fluye hacia el sureste. Observaciones similares se hacen en Samalayuca, donde se deduce un flujo de agua de sur a norte y noreste, uniéndose con el de la Sierra de Juárez, para continuar hacia el Río Bravo.

Por lo tanto, de estas configuraciones se obtiene, entre otras cosas, la zona de alimentación del acuífero y dirección del flujo, el cual coincide con el encontrado por métodos piezométricos.

En la Fig. 3.4. se muestra un corte geológico ilustrativo, que relaciona la zona de recarga y la dirección del movimiento del agua subterránea, con la concentración y composición química del agua.

- c) Diagramas triangulares.- Con el objeto de obtener, en forma rápida e ilustrativa, los diferentes tipos o familias de agua, de acuerdo al catión y anión predominante, se forman diagramas triangulares, como el que se muestra en la Fig. 3.5. En el triángulo de la izquierda de este diagrama se grafican, en porcentaje de me/l, los principales cationes y, en el triángulo de la derecha también en las mismas unidades, los principales aniones. En los vértices de estos triángulos se definen aguas cálcicas, magnesianas, bicarbonatadas, etc., si las muestras se encuentran localizadas en los vértices con los porcentajes mayores al 50% de cal-

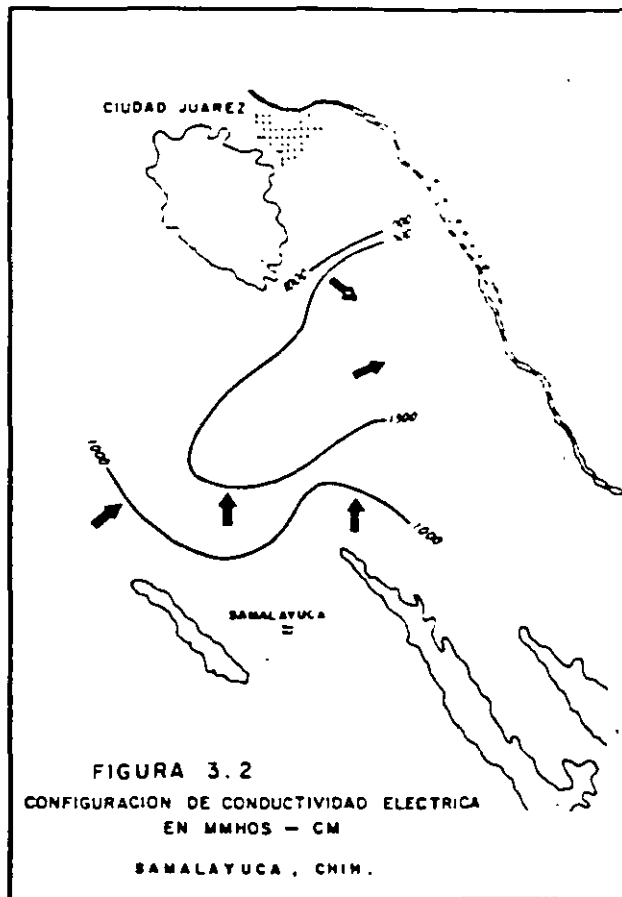
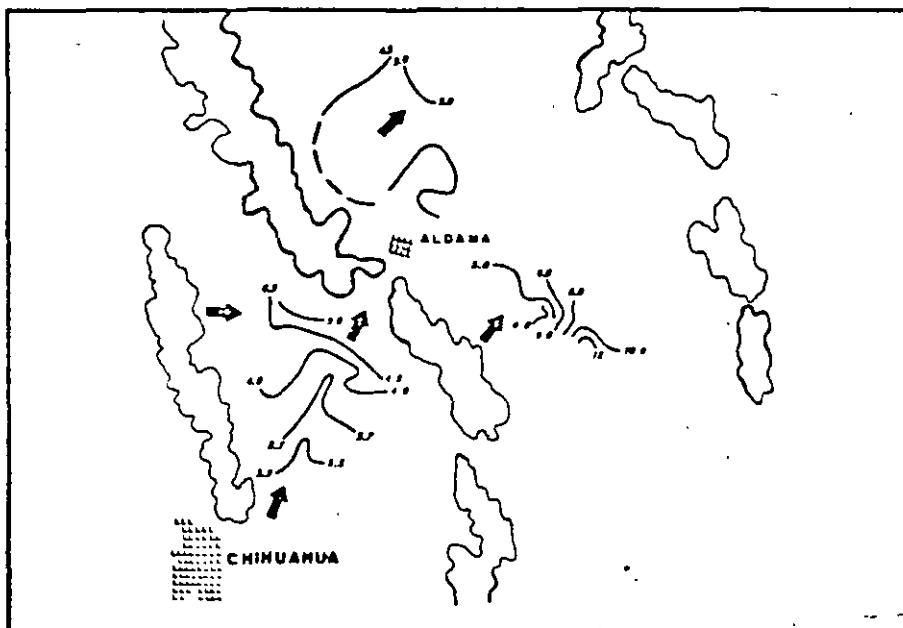


FIG. 3.3. CONFIGURACION DE SOLIDOS TOTALES EN ME/L; CHIHUAHUA-ALDAMA, CHIH.



ZONA DE
RECARGA



• MOVIMIENTO DEL AGUA SUBTERRANEA

ILUSTRACION QUE MUESTRA LA RELACION ENTRE LA ZONA DE RECARGA Y LA DIRECCION DEL MOVIMIENTO DEL AGUA SUBTERRANEA, CON LA CONCENTRACION Y COMPOSICION QUIMICA DEL AGUA

• CURVAS DE IGUAL CONTENIDO DE SOLIDOS TOTALES DISUELTOS

AGUA CALCICA
CARBONATADA

DOLOMITAS

YESOS

AGUA CALCICA
MAGNESIANA
CARBONATADA

AGUA CALCICA
SULFATADA

FIGURA Nº 3.4.

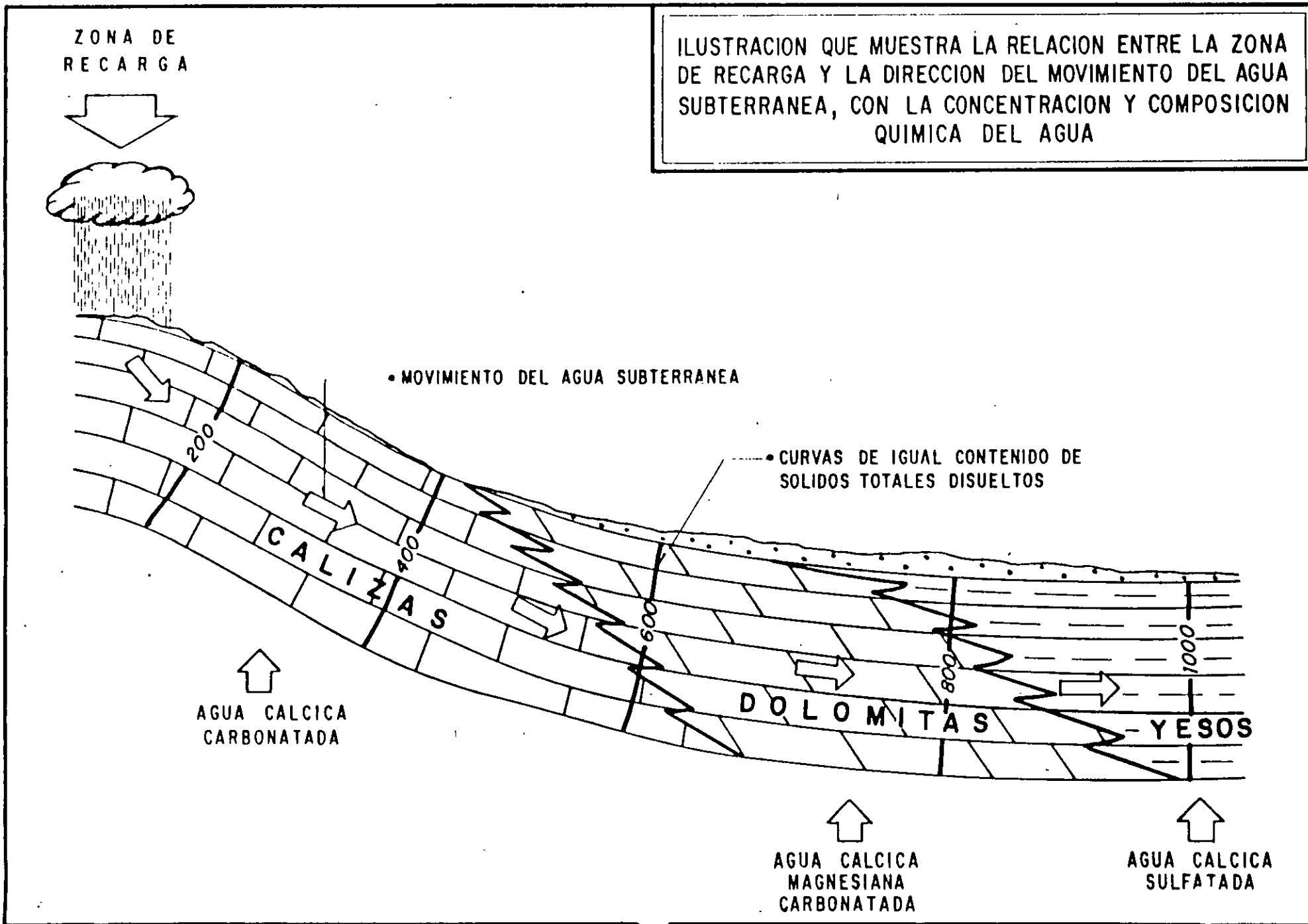


DIAGRAMA TRIANGULAR

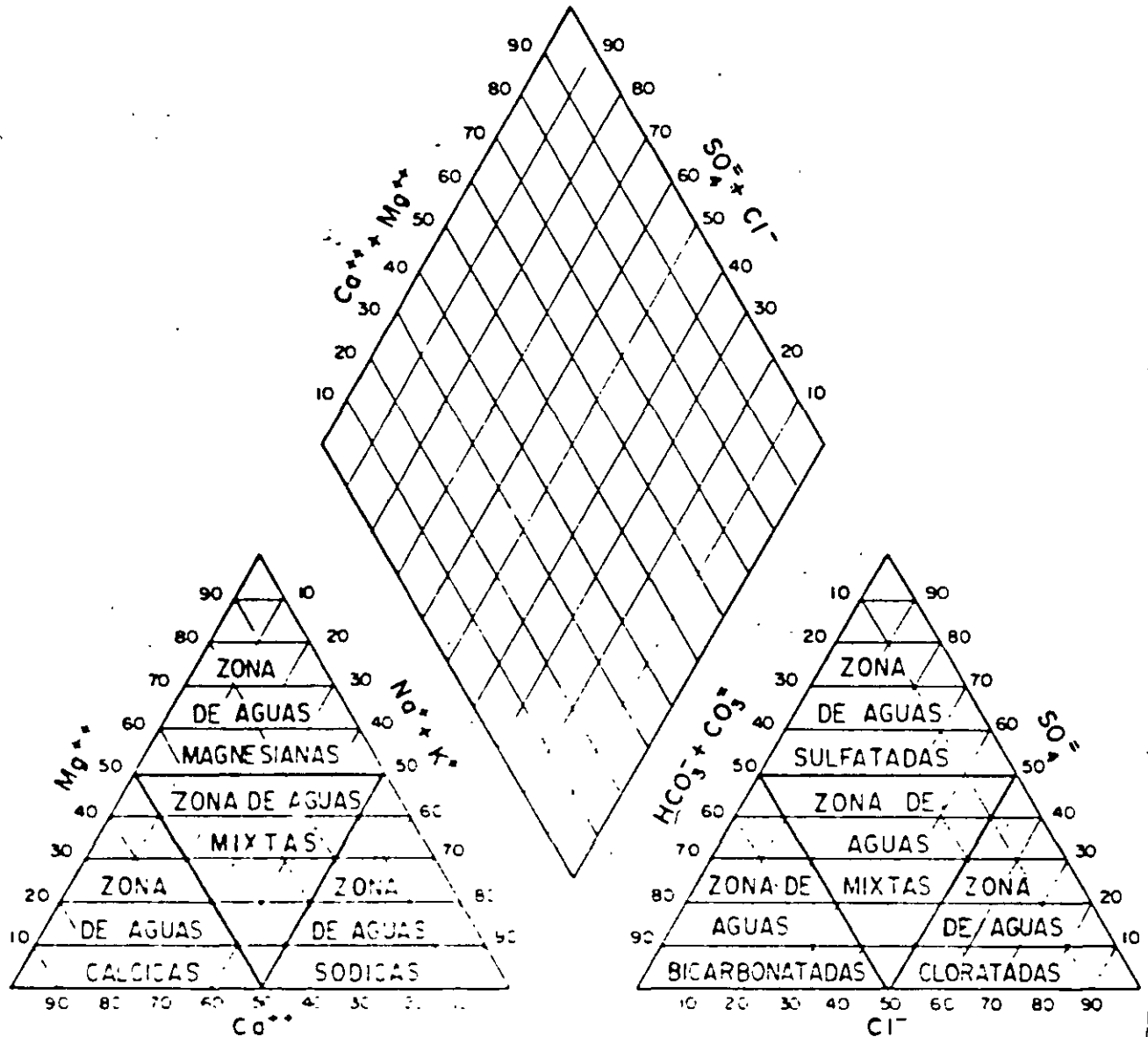


FIG. - 3.5.

cio, magnesio, bicarbonato, etc., respectivamente. Se define como agua mixta, la que se grafica al centro del triángulo, por no existir un ion que predomine.

En la Fig. 3.6. se muestra un diagrama triangular, en el cual se graficaron muestras de agua del Valle de Tecomán-Manzanillo, Col., observándose la existencia de agua de tipo sódico-clorurada, - - mixta-mixta y cálcico-bicarbonatada.

El tipo o familia de agua, se vacía sobre un plano delimitado zonas con agua de diferente composición. En la Fig. 3.7. se muestra el plano correspondiente al diagrama triangular de la zona de Tecomán-Manzanillo, en el cual se delimitaron las zonas correspondientes a las familias de agua mencionadas. El agua sódico-clorurada, es consecuencia directa de contaminación del acuífero, con agua de mar. El agua mixta-mixta, es una mezcla de - - aguas de diferentes tipos y en la cual no predomina ningún ion - en especial. El agua cálcico-bicarbonatada, es el producto de la disolución de rocas calizas por el agua.

- d) Resistividades y sólidos totales disueltos.- La resistividad es una medida indirecta de los sólidos totales disueltos (S.T.D.) - que contiene el agua, ya que sus valores son inversamente proporcionales a éstos últimos. Tomando en cuenta esta característica, se forma una gráfica (Fig. 3.8.) con la cual, se pueden calcular resistividades a partir de sólidos totales disueltos, o viceversa. Los sólidos totales disueltos calculados, en algunos casos, ayudan a complementar la información de configuraciones de una forma rápida y económica. Las resistividades calculadas, se pueden utilizar para hacer correlaciones con geofísica.

En la Fig. 3.9. se muestra un ejemplo de la relación entre resistividad y S.T.D., el cual corresponde al área de Sonoyta, Son. - En ella se encontró que, en ciertos lugares, el agua subterránea tenía concentraciones de S.T.D., muy altas y se encontraba rodeada por pozos con agua de mejor calidad. Se efectuaron sondeos geofísicos de resistividad, los cuales al ser interpretados, mostraron la existencia de lentes localizados de muy baja resistividad, los cuales corresponden a agua salobre atrapada entre los sedimentos.

Existen otros tipos de clasificación y representación de análisis químicos, como las de Chase Plamer, Shoeller, Souline, Wilcox, etc.

REFERENCIAS

Freeze, A. and Cherry, J. 1979. Groundwater. Prentice Hall. 604 p.

Hem, John, 1971. "Study and Interpretation of The Chemical Characteristics of Natural Water". G.S.W.S.P. 1473

Piper, A.M., 1944. "A Graphic Procedure in the Geochemical Interpretation of Water Analyses". Am. Geophys. Union Trans.

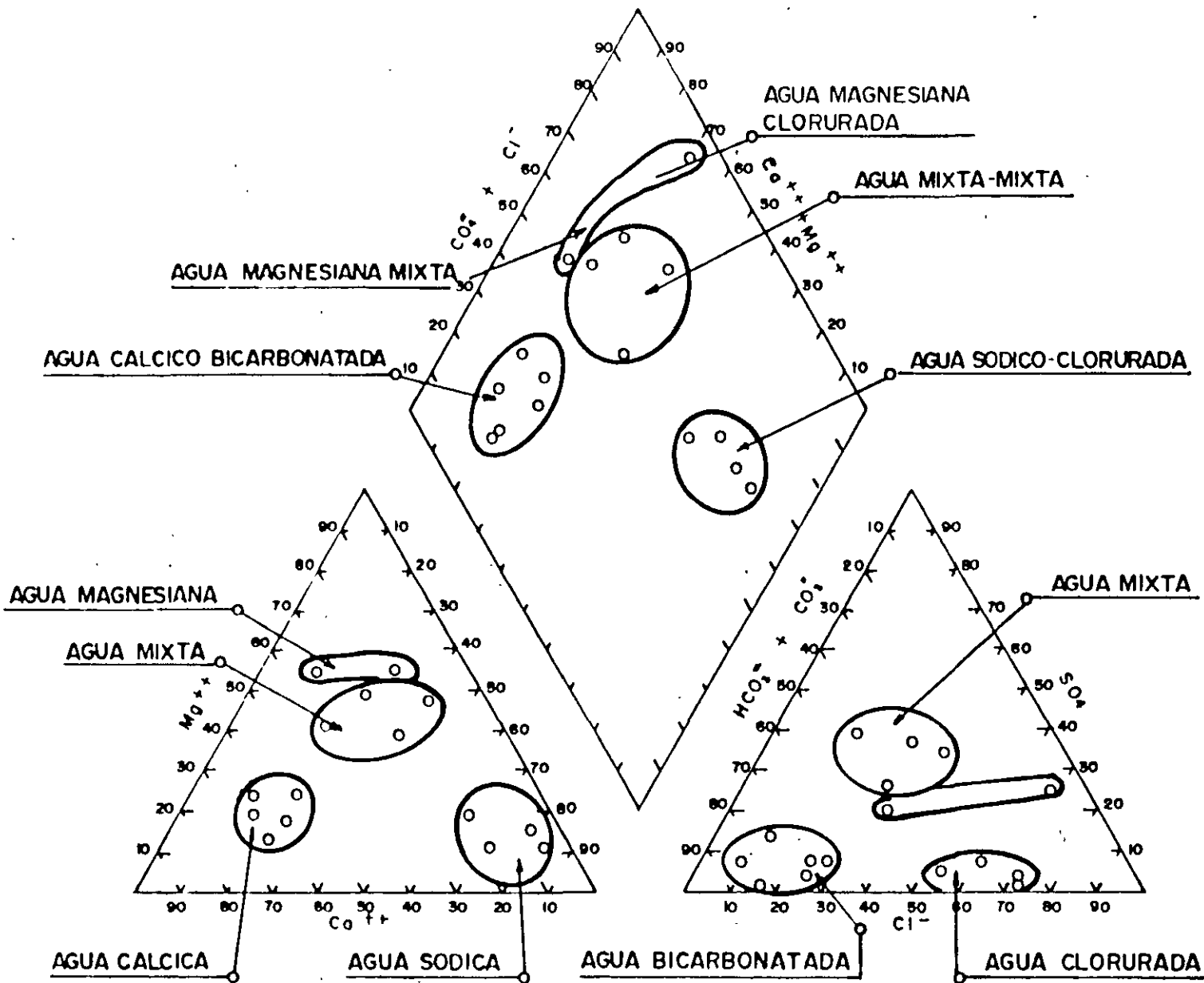


Fig.- 3.6.

ZONIFICACION DE TIPOS DE AGUA SEGUN SU COMPOSICION QUIMICA

VALLE DE TECOMAN - MANZANILLO, COL.

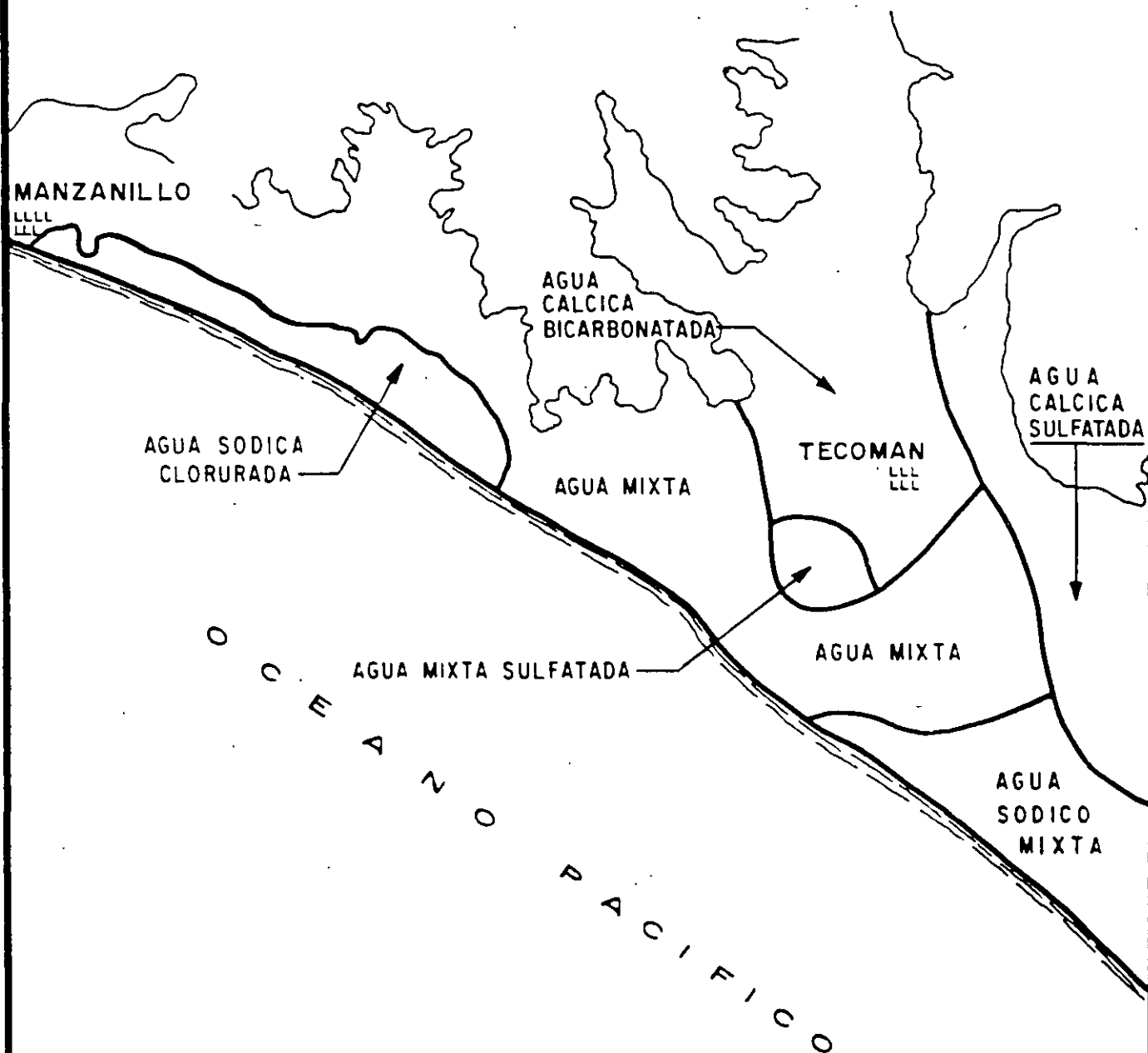


FIGURA 3.7.

GRAFICA DE RESISTIVIDAD - SOLIDOS TOTALES DISUELTOS

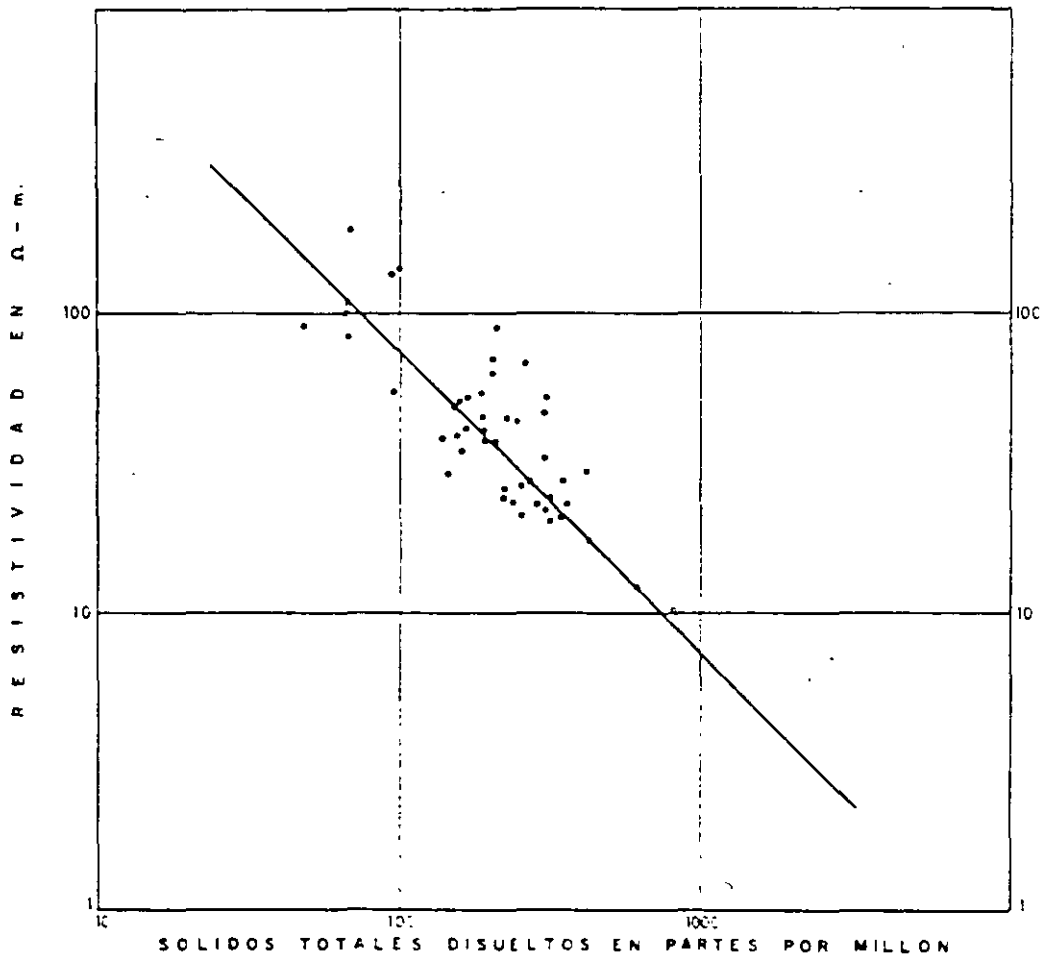
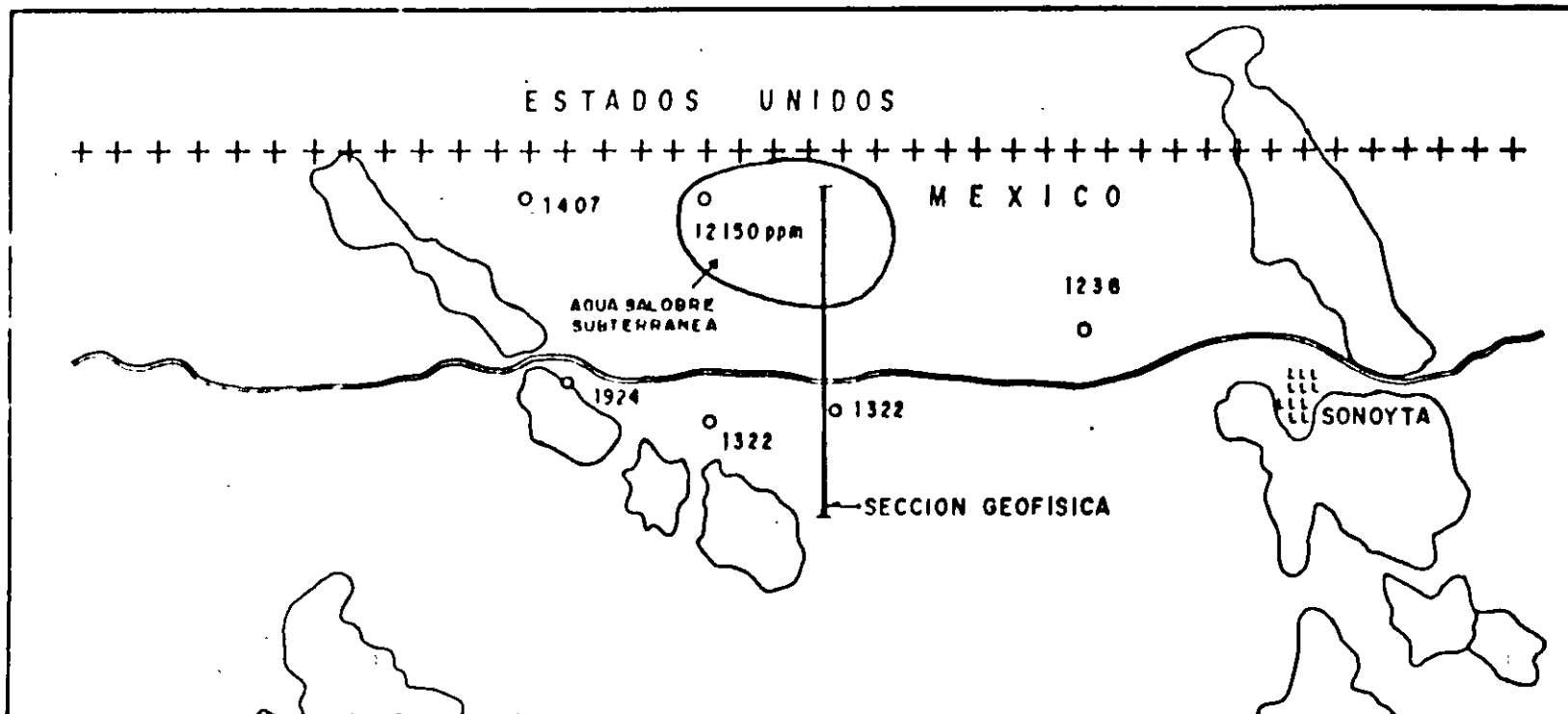


FIG - 13

FIGURA 3.8.

DETERMINACION DE MANTOS DE AGUA SALOBRE SEPULTADOS, POR MEDIO DE GEOFISICA E HIDROGEOQUIMICA



SECCION GEOFISICA

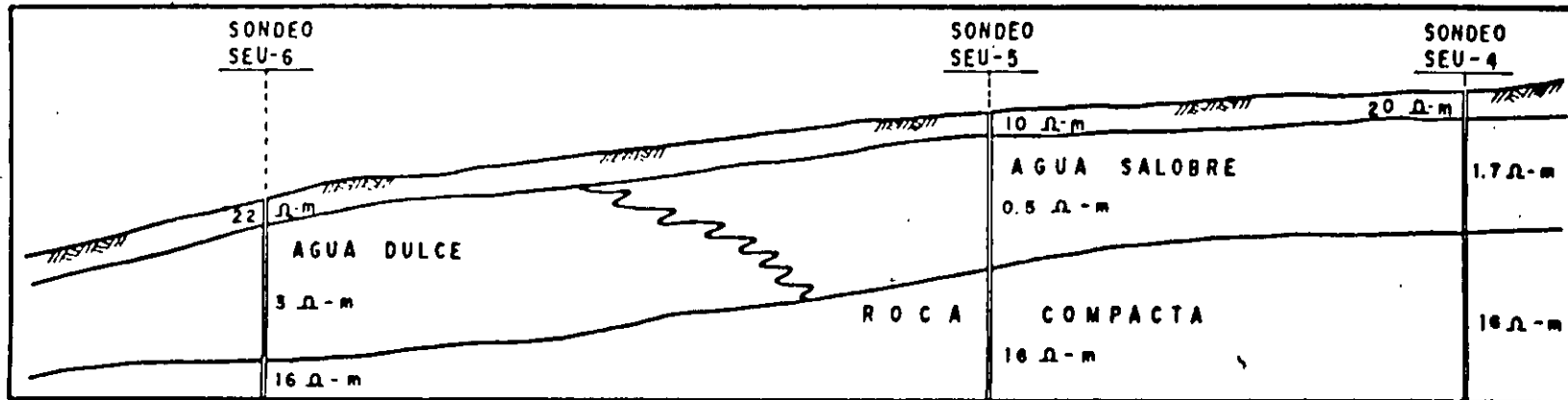


FIGURA 3.9.

CAPITULO 4

GRADO DE SATURACION DEL AGUA RESPECTO A LOS MINERALES MAS COMUNES

Cuando algunas muestras presentaron altas concentraciones de sólidos totales, se procede a hacer un análisis del grado de saturación del agua con respecto a los minerales más comunes; yeso $\text{CaSO}_4 \cdot \text{H}_2\text{O}$, Calcita CaCO_3 ; dolomita $\text{CaMg}(\text{CO}_3)_2$.

4.1. METODOLOGIA

Para obtener el grado de saturación de una sal en el agua, se obtiene la constante de actividad iónica (K_{ai}) y se compara con la constante de equilibrio (K_e). Para valores de (K_{ai}) mayores que (K_e), la muestra se encuentra sobresaturada y para valores de (K_{ai}) menores que (K_e), la muestra no se encuentra sobresaturada.

En el caso del yeso, este se disocia según la siguiente reacción:



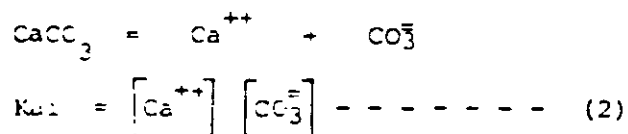
Aplicando la ley de Acción de Masas, obtenemos que la constante de actividad iónica es igual a las actividades de los productos entre los reactivos, o sea:

Donde los paréntesis indican la actividad iónica del ion que encierran.

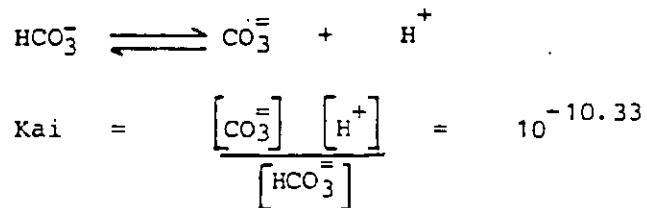
La actividad de los compuestos, es igual a 1.- por lo tanto:

$$K_{ai} = \left[\text{Ca}^{++} \right] \left[\text{SO}_4^{--} \right] \text{-----} (1)$$

De manera similar para la calcita se tiene:



Debido a que los análisis no reportan carbonato, ($\text{CO}_3^{=}$), se utilizó la de terminación de bicarbonato (HCO_3^-), sustituyendo la fórmula (2) de la si- guiente manera:



Despejando:

$$[\text{CO}_3^{=}] = \frac{[\text{HCO}_3^-] \cdot 10^{-10.33}}{[\text{H}^+]}$$

Sustituyendo en la ecuación (2):

$$K_{ai} = \frac{[\text{Ca}^{++}] [\text{HCO}_3^-] 10^{-10.33}}{[\text{H}^+]} \quad \text{--- (3)}$$

Las actividades iónicas se obtienen multiplicando el coeficiente de activi- dad iónica γ de cada elemento, por la concentración en moles por litro- (M).

O sea:

$$\begin{aligned} [\text{Ca}^{++}] &= \gamma_{\text{Ca}} \cdot M_{\text{Ca}} \\ [\text{SO}_4^{=}] &= \gamma_{\text{SO}_4} \cdot M_{\text{SO}_4} \\ [\text{HCO}_3^-] &= \gamma_{\text{HCO}_3} \cdot M_{\text{HCO}_3} \end{aligned}$$

Las concentraciones en moles por litro (M) se obtienen dividiendo las par- tes por millón reportadas en los análisis químicos por el peso atómico. El coeficiente de actividad iónica γ se calculó mediante la fórmula de Debye- Huckel:

$$\log \gamma_i = \frac{-A Z_i^2 \sqrt{I}}{1 - B a_i \sqrt{I}}$$

Donde Z es la carga del ion; A y B son constantes dependientes de la temperatura (en nuestro caso a 25°C, A = 0.5085 y B = 0.3281 x 10⁸; (Klots, 1950); a_i es una constante relacionada con el tamaño y carga del ion (HEM, 1970) I es la fuerza iónica calculada por la fórmula:

$$I = \frac{1}{2} (M \cdot Z^2)$$

Donde M es la concentración de cada ion en moles por litro.

La constante de actividad iónica (K_{ai}), así obtenida, se compara con la constante de equilibrio (K_e), para encontrar el grado de saturación del agua con respecto a yeso y calcita.

Los valores de K_e son: (Garrels y Chist, 1965):

$$K_e \text{ (calcita)} = 10^{-8.34}$$

$$K_e \text{ (yeso)} = 10^{-4.61}$$

De manera similar, se procede para el cálculo de las constantes de otros minerales.

Ya obtenido el grado de saturación, se delimitan, sobre planos, las áreas sobresaturadas, a partir de las cuales, se deduce la dirección del movimiento del agua subterránea y se explica el comportamiento químico del agua.

En las zonas en donde el agua se encuentra sobresaturada de alguna sal, es de esperarse la precipitación de dicho compuesto y consecuentemente, la incrustación de bombas, tuberías, calderas y demás material que tenga contacto con esta agua. Mientras que las áreas en donde el agua no se encuentre saturada de sales, ésta continuará disolviendo y aumentando su concentración iónica.

REFERENCIAS

- ASKIN, G. W. and J. V. LARGERWERFF, 1965. "Calcium Carbonate Equilibria in Solutions Open to the Air. - I. - The solubility of Calcite in Relation to Ionic Strength". *Geochim. et Cosm. Acta.* 29 (4), 343-352.

REFERENCIAS

- Drever, J.I. 1988. The Geochemistry of Natural Water, Second Edition. Prentice Hall. 437 p.
- Freeze, A. and Cherry, J. 1979. Groundwater. Prentice Hall. 604 p.
- Hem, John, 1971. "Study and Interpretation of The Chemical Characteristics of Natural Water". G.S.W.S.P. 1473.

do se encuentra en plantas o agua para el ganado.

SILICE (SiSO_2)

FUENTE O CAUSA DE ORIGEN.- Proviene de la disolución de la mayoría de las rocas y suelos. Generalmente se presenta en concentraciones bajas de 1 a 30 ppm. Concentraciones hasta de 100 ppm suelen encontrarse en aguas altamente alcalinas.

SIGNIFICADO.- Produce incrustación en tuberías y calderas.

SODIO (Na)

FUENTE O CAUSA DE ORIGEN.- Proviene de la disolución de la mayoría de las rocas y suelos. Se encuentra también en salmueras, agua de mar, desperdicios industriales y drenajes.

SIGNIFICADO.- Grandes concentraciones en combinación con el cloro, producen un sabor salado. Cantidades fuertes comúnmente limita el uso del agua para la agricultura.

SOLIDOS TOTALES DISUELTOS

FUENTE O CAUSA DE ORIGEN.- Proviene de la disolución minerales que forman los suelos y las rocas. Puede incluir constituyentes orgánicos y agua de cristalización.

SIGNIFICADO.- El valor de los sólidos totales disueltos, es una medida de todas las concentraciones que se encuentran en el agua. Es un índice importante en la determinación de los usos del agua.

SULFATOS (SO_4)

FUENTE O CAUSA DE ORIGEN.- Proviene de la disolución de rocas y suelos que contienen yesos, fierro y compuestos sulfurosos. Comúnmente se presenta en aguas de drenaje de minas y en algunos desechos industriales.

SIGNIFICADO.- Concentraciones altas, actúan como laxante y en combinación con otros iones dá al agua un sabor desagradable. En agua que contiene calcio, producen incrustaciones.

NITROGENO, AMONIO (NH_3), NITRITO (NO_2), NITRATO (NO_3)

FUENTE O CAUSA DE ORIGEN.- Se encuentra en el agua como NH_3 , NO_2 , y NO_3 , dependiendo del grado de oxidación. Proviene de la disolución de rocas ígneas suelos enriquecidos por legumbres y fertilizantes, establos y aguas de drenaje.

SIGNIFICADO.- Concentraciones altas de nitrógeno, indica contaminación. Los nitratos aumentan el crecimiento de algas y otros organismos que producen color y sabor desagradable. Concentraciones mayores a 45 ppm de nitratos, causan metemoglobinemia en los niños.

POTASIO (K)

FUENTE O CAUSA DE ORIGEN.- Proviene de la disolución de la mayoría de las rocas y suelos. Se encuentra también en salmueras, agua de mar y en algunos desechos industriales.

SIGNIFICADO.- Grandes concentraciones, en combinación con cloro, producen un sabor salado. Esencial en la nutrición de las plantas.

RELACION DE ADSORCION DE SODIO (RAS)

FUENTE O CAUSA DE ORIGEN.- Se calcula usando las concentraciones de los iones que se indican en miliequivalentes por litro.

$$\text{RAS} = \frac{\text{Na}}{\sqrt{\frac{\text{Ca} + \text{Mg}}{2}}}$$

SIGNIFICADO.- El RAS es usado junto con la conductividad eléctrica, para determinar la calidad del agua para riego.

SELENIO (Se)

FUENTE O CAUSA DE ORIGEN.- La principal fuente de selenio son las emanaciones volcánicas y los depósitos de sulfuros que han sido acumulados por erosión e intemperismo. Se encuentra en rocas cretácicas, en especial en lutitas y suelos derivados de ellas.

SIGNIFICADO.- Es tóxico en cantidades pequeñas. Constituye un problema cuando

SIGNIFICADO.- Reduce la picadura de dientes (caries) en los niños durante la época de calcificación. En excesos de este elemento, produce el decaimiento de la dentadura, el cual dependerá de la concentración de flúor, la edad del consumidor, la cantidad de agua que se consuma y la susceptibilidad de cada individuo.

FOSFATO (PO_4)

FUENTE O CAUSA DE ORIGEN.- Proviene del intemperismo de rocas ígneas y de la lixiviación de suelos que contienen desperdicios orgánicos, fertilizantes, detergentes y drenajes domésticos e industriales.

SIGNIFICADO. Concentraciones mayores a las normales, indican contaminación por desechos.

LITIO (Li)

FUENTE O CAUSA DE ORIGEN.- Proviene de la disolución de rocas durante el intemperismo. La escasez del litio es probablemente el responsable de las relativas bajas concentraciones en el agua.

SIGNIFICADO.- Las concentraciones de este elemento en el agua son en general muy bajas, no afectando la calidad para los diferentes usos.

MAGNESIO (Mg)

FUENTE O CAUSA DE ORIGEN.- Proviene de la disolución de la mayoría de los suelos y rocas pero especialmente de las dolomitas. Algunas salmueras contienen cantidades abundantes de magnesio.

SIGNIFICADO.- El magnesio y el calcio, son los principales responsables de la dureza y del agua incrustante.

MANGANESO (Mn)

FUENTE O CAUSA DE ORIGEN.- Proviene de la disolución de algunos suelos y rocas. Es menos común que el hierro, pero normalmente se encuentra asociado con éste y con aguas ácidas.

SIGNIFICADO.- Es el causante de la coloración café oscura o negra.

CONDUCTIVIDAD ELECTRICA

FUENTE O CAUSA DE ORIGEN.- Depende de la cantidad de sales disueltas en el agua.

SIGNIFICADO.- Es una medida de la capacidad del agua de conducir corriente eléctrica. Varía con la concentración y grado de ionización de los constituyentes, así como con la temperatura. Se usa para estimar la cantidad de sales disueltas en el agua.

DUREZA COMO CaCO_3

FUENTE O CAUSA DE ORIGEN.- En la mayoría de los casos, la dureza es debida a el calcio y el magnesio.

SIGNIFICADO.- Consume jabón y no produce espuma. Forma depósitos de jabón en baños. El agua dura incrusta calderas y tuberías Dureza es equivalente de dureza de carbonatos y bicarbonatos.

ESTRONCIO (Sr)

FUENTE O CAUSA DE ORIGEN.- Proviene de la disolución de rocas y suelos, en especial de rocas carbonatadas y rocas de origen ígneo.

SIGNIFICADO.- Las concentraciones son en general muy bajas.

FIERRO (Fe)

FUENTE O CAUSA DE ORIGEN.- Proviene de la disolución de suelos, rocas y de tuberías, bombas y equipos similares. Concentraciones mayores a 1 ó 2 ppm, generalmente indican drenaje de zonas mineras u otra fuente.

SIGNIFICADO.- Expuesto a la superficie, el fierro disuelto en el agua se oxida formando un sedimento rojizo. Más de 0.3 ppm, mancha lavadoras y utensilios. Elemento nocivo en el proceso de bebidas, tintes, blanqueadores, hielo, etc. Grandes concentraciones, producen un sabor desagradable y favorece el crecimiento de bacterias.

FLUORURO (F)

FUENTE O CAUSA DE ORIGEN.- Se encuentra diseminado en cantidades muy pequeñas, en casi todo tipo de rocas y suelos.

miento, y nutrición de las plantas, pero es tóxico para la mayor parte de ellas cuando se encuentra en concentraciones mayores de 1 mg/l.

CALCIO (Ca)

FUENTE O CAUSA DE ORIGEN.- Proviene de casi todo tipo de suelos y rocas pero en especial de las calizas, las dolomitas y el yeso. Algunas salmueras contienen grandes cantidades de calcio.

SIGNIFICADO.- El calcio y el magnesio son los principales responsables de la dureza en el agua, la cual origina un gran consumo de jabones. Puede in crustarse en tuberías y ademes, reduciendo su eficiencia.

COLOR

FUENTE O CAUSA DE ORIGEN.- En agua superficial, componentes orgánicos provenientes del decaimiento de la vegetación y por contaminación de desperdicios orgánicos e inorgánicos descargados a los ríos. En agua subterránea, componentes orgánicos que han pasado a través de lignita y turba.

SIGNIFICADO.- Indica la presencia de iones orgánicos o materia orgánica en el agua subterránea. Es un factor importante en la valuación de agua potable o para otros usos.

CLORURO (Cl)

FUENTE O CAUSA DE ORIGEN.- Proviene de la disolución de rocas y suelos, en especial evaporitas; se presenta por contaminación de desperdicios y desagües. Antiguas salmueras, agua de mar y salmueras industriales, contienen grandes cantidades de este elemento.

SIGNIFICADO.- Grandes concentraciones de este elemento, aumenta el poder co rrosivo del agua y, en combinación con sodio, da un sabor salado.

CONCENTRACION DE HIDROGENO (pH)

FUENTE O CAUSA DE ORIGEN.- Los ácidos y el bióxido de carbono libre, bajan el valor del pH. Carbonatos, bicarbonatos, hidróxidos, fosfatos, silicatos y boratos, aumentan el valor del pH.

SIGNIFICADO.- Un pH igual a 7.0 indica neutralidad en una solución; valores mayores indican alcalinidad y menores, acidez. La corrosividad, generalmente aumenta al disminuir el pH. Aguas excesivamente alcalinas, pueden atacar metales.

CAPITULO 7

SIGNIFICADO DE ALGUNAS PROPIEDADES FISICAS Y QUIMICAS DEL AGUA

Los elementos que pueden encontrarse en solución en el agua pueden ser muy variados. De los más comunes, a continuación se mencionan su fuente o causa de origen, así como algunas de sus principales características.

BICARBONATO (HCO_3) CARBONATO (CO_3)

FUENTE O CAUSA DE ORIGEN.- Proviene de la incorporación del bióxido de carbono en el agua y de la disolución de rocas carbonatadas como la caliza y la dolomita.

SIGNIFICADO.- Los carbonatos y bicarbonatos producen alcalinidad. Los carbonatos de calcio y magnesio se descomponen en calderas y aguas calientes, facilitando la incrustación y liberando bióxido de carbono corrosivo a la atmósfera. En combinación con calcio y magnesio es causa de la dureza.

BORO (B)

FUENTE O CAUSA DE ORIGEN.- Proviene de la disolución de suelos y rocas, en especial las de origen ímeco. El agua de zonas térmicas y especialmente aquellas que se encuentran en áreas de actividad volcánica reciente, pueden tener altas concentraciones de boro. Puede deberse en ocasiones, a contaminación por desperdicios, especialmente donde se usan detergentes que contienen boratos.

SIGNIFICADO.- Cantidades pequeñas de este elemento, es esencial para creci--

Hidrogeoquímica de las Aguas Naturales,
J. M. Lesser, 1967

Suelos Salinos y Sódicos, 1954 Manual de Agricultura No. 60 Departamento -
de Agricultura de los Estados Unidos de América.

Water Quality Criteria, 1972, Report of the National Technical Advisory -
Comitee to the Secretary of the Interior.

En la tabla siguiente, se muestran algunos de los límites para la industria textil y papelera, así como en derivados del petróleo y embotelladoras.

TABLA 6.5. CALIDAD DEL AGUA PARA ALGUNAS INDUSTRIAS
(En mg/l)

CONSTITUYENTE	INDUSTRIA TEXTIL	INDUSTRIA PAPELERA	DERIVADOS DEL PETROLEO	EMBOTE-LLADORAS
SiO ₂	- -	50	- -	- -
Fe	0.1	1.0	1.0	0.3
Mn	0.1	0.5	- -	0.05
Ca	- -	20	75	- -
Mg	- -	12	30	- -
Cu	0.01	- -	- -	- -
NH ₄	- -	- -	- -	- -
Zn	- -	- -	- -	- -
HCO ₃	- -	- -	- -	- -
SO ₄	- -	- -	- -	500
Cl	- -	200	300	500
F	- -	- -	- -	- -
NO ₃	- -	- -	- -	- -
DUREZA	25	100	350	- -
pH	2.5-10.5	6-10	6-9	- -
S.T.D.	100	- -	100	- -

(En: John Hem, 1970)

REFERENCIAS

Chapingo, Escuela Nacional de Agricultura. Calidad del agua para riego, --
apuntes inéditos.

Hem, John, 1971. "Study and Interpretation of The Chemical Characteristics-
of Natural Water". C.S.W.S.P. 1473.

6.4. AGUA PARA LA INDUSTRIA

La clase de agua requerida en la industria, depende del tipo de instalaciones utilizadas.

Una forma rápida de catalogar el tipo de agua para la industria, es conociendo su dureza. Esta normalmente se reporta en concentración de carbonato de calcio (Ca CO_3).

Cuando un agua contiene concentraciones bajas de este compuesto, se denomina "agua blanda" y al agua con concentraciones altas, "agua dura".

De acuerdo con algunos autores (Durfor y Becker, 1964), se han distinguido los siguientes rangos de dureza.

TABLA 6.5. RANGOS DE DUREZA PARA LA INDUSTRIA

Concentración en mg/l de CaCO_3	Descripción
0 - 60	Agua blanda.
61 - 120	Agua moderadamente dura.
121 - 180	Agua dura.
más de 180	Agua muy dura.

CONTINUA TABLA 6.3.

CULTIVOS COMUNES

MUY TOLERANTES	MEDIANAMENTE TOLERANTES	POCO TOLERANTES
$CE_e \times 10^3 = 12$	$CE_2 \times 10^3 = 10$	$CE_e \times 10^3 = 4$
Cebada (grano) Remolacha azucarera Colza Algodón	Centeno (grano) Trigo (grano) Avena (grano) Arroz Sorgo (grano) Maíz Linaza Girasol Higuerilla	Alubias
$CE_e \times 10^3 = 10$	$CE_e \times 10^3 = 6$	

(De: Suelos Salinos y Sódicos, 1954)

* El número que sigue a la $CE_e \times 10^3$ es el valor de la conductividad eléctrica del extracto de saturación en milimhos por centímetro a 25° C asociado a una disminución en los rendimientos de 50 por ciento.

6.3. AGUA PARA ABREVADERO

El agua usada en granjas y ranchos ganaderos, normalmente debe de cumplir con los mismos requisitos que el agua potable, ya que es utilizada también para usos domésticos de los ranchos. Los animales pueden ingerir agua con una mayor concentración de sales.

A continuación se describen los límites máximos para algunos animales, según McKee y Wolf, (1963).

TABLA 6.4. LÍMITES MÁXIMOS PARA ALGUNOS ANIMALES

Aves	2,860 ppm
Cerdos	4,290 ppm
Caballos	6,430 ppm
Ganado Lechero	7,150 ppm
Ganado de carne	10,100 ppm
Borrego	12,900 ppm

TABLA 6.3. CULTIVOS TOLERANTES, SEMITOLERANTES Y SENSIBLES A LAS SALES.

TOLERANTES	SEMITOLERANTES	SENSIBLES
Espárragos Palma datilera Remolacha azucarera Alfalfa Gladiola Haba Cebolla. Nabo Col Lechuga Zanahoria	Girasol (nativo) Papa Algodón Jitomate Rábano Chícharos Rosa Ragged Robin Olivo Cebada Trigo Maíz Sorgo Avena Calabacita Pimiento "Bell" Camote Frijol Lima	Nuez encarcelada Nogal negro Nogal persa Ciruelo Peral Manzano Uva (Málaga y Sultaina) Higo Kadota Níspero Cereza Chabacano Durazno Naranja Aguacate Toronja Limonero

(En orden descendiente de más a menos Tolerante).

(De: Suelos Salinos y Sódicos, 1954)

Cebada (Para heno <i>Trifolium</i> folium (pata de pájaro)). $CE_e \times 10^3 = 12$	Trigo (para heno) Avena (para heno) Grama azul Bromo suave Veza lechosa Cicer $CE_e \times 10^3 = 4$	$CE_e \times 10^3 = 2$
---	---	------------------------

Continuación

$CE_e \times 10^3 = 10$	<p>Papas Zanahoria Cebolla Chicharos Calabaza Pepinos</p> $CE_e \times 10^3 = 4$	$CE_e \times 10^3 = 3$
-------------------------	--	------------------------

PLANTAS FORRAJERAS

MUY TOLERANTES	MEDIANAMENTE TOLERANTES	POCO TOLERANTES
$CE_e \times 10^3 = 18$	$CE_e \times 10^3 = 4$	$CE_e \times 10^3 = 4$
<p>Zacate alcalino, de coquito Zacate Bermuda Zacate Rhodes</p>	<p>Trébol blanco Trébol amarillo Zacate inglés perenne</p> <p>Zacate Sudán Trébol Huban Alfalfa (California común)</p>	<p>Trébol blanco holandés Trébol Alsike Trébol rojo Trébol ladino Pinpinela</p>

El boro en pequeñas concentraciones, es esencial para el desarrollo normal de las plantas y, la falta de este elemento, o su presencia en concentraciones altas, afecta el crecimiento de los cultivos.

Dependiendo de la cantidad de boro que las plantas acepten, estas se han dividido en tres grupos:

CUANDO ACEPTAN

Cultivos sensibles	Hasta 0.67 ppm.
Cultivos semitolerantes	Entre 0.67 y 1.00 ppm
Cultivos tolerantes	Entre 1.00 y 3.75 ppm

A continuación se muestran algunos cultivos haciéndose distinción entre tolerantes, semitolerantes y sensibles.*

reemplazo de sodio intercambiable, excepto en el caso de que no sea factible el uso de mejoradores en aguas de muy alta salinidad.

S4 CON MUY ALTO CONTENIDO.- Generalmente no es apropiada para el riego, - excepto en casos de baja y quizá media salinidad, donde la solución del calcio del suelo o el empleo de yeso u otros mejoradores, hagan factible el uso de esta agua.

La conductividad eléctrica puede tomarse como un índice en la selección de cultivos, en la tabla siguiente se presenta la tolerancia relativa de los cultivos a las sales.

TABLA 6.2. TOLERANCIA DE CULTIVOS A LAS SALES

F R U T A L E S

MUY TOLERANTES	MEDIANAMENTE TOLERANTES	POCO TOLERANTES
Palma dátiles	Granada Higuera Olivo Vid Melón	Peral Manzano Naranja Toronja Ciruela Almendro Chabacano Durazno Fresa Limonero Aguacate

H O R T A L I Z A S

MUY TOLERANTES	MEDIANAMENTE TOLERANTES	POCO TOLERANTES
$CE_e \times 10^3 = 12$ Betabel Bretón o col - rosada. Espárragos Espinacas	$CE_e \times 10^3 = 10$ Tomate Brócoli Col Chile dulce Coliflor Lechuga Maíz dulce	$CE_e \times 10^3 = 4$ Rábano Apio Ejotes

Continua

agua para riego, el cual, como puede apreciarse en la fórmula, queda, supeditado a las concentraciones absoluta y relativa de los principales cationes.

Los valores de CE y RAS, son graficados en el nomograma de clasificación - (Fig.6.1)obteniéndose de esta manera, la clase de agua para riego, la cual está definida por los parámetros, C y S y subíndices en cada uno de ellos. El significado de las diferentes clases, así como algunas recomendaciones para el uso del agua en riego, se comentan a continuación:

C1 BAJA SALINIDAD.- Puede usarse para riego en la mayoría de los suelos y para casi todas las plantas, con pocas probabilidades de que aumente la salinidad.

C2 SALINIDAD MEDIA.- Puede usarse, si se hacen lavados moderados. Se pueden sembrar plantas moderadamente tolerantes a las sales en la mayoría de los casos, sin efectuar prácticas especiales para el control de la salinidad.

C3 ALTAMENTE SALINA.- No puede usarse en suelos de drenaje deficiente. Aún con drenaje adecuado, se requiere un manejo especial para el control de la salinidad, además de seleccionar plantas que sean bastante tolerantes a las sales.

C4 MUY ALTAMENTE SALINA.- No es apropiada para riego bajo condiciones ordinarias aunque puede usarse, en ocasiones, bajo circunstancias muy especiales. Los suelos deben ser permeables, el drenaje adecuado; el agua para riego debe aplicarse en exeso con el fin de llevar a cabo un lavado fuerte. Las plantas que se seleccionen deberán ser muy tolerantes a las sales.

S1 CON POCO SODIO.- Puede usarse para riego en casi todos los suelos, con poco peligro de que el sodio intercambiable llegue a niveles perjudiciales. Sin embargo, las plantas sensitivas al sodio como algunos frutales (fruto con hueso) y aguacate, pueden acumular concentraciones dañinas de sodio.

S2 CON CONTENIDO MEDIO.- Será peligrosa en suelos de textura fina y en aquellos que contengan una alta capacidad de intercambio de cationes, especialmente bajo condiciones de lavados leves, a menos que haya yeso en el suelo. Esta agua puede usarse en suelos orgánicos o de textura gruesa con buena permeabilidad.

S3 CON ALTO CONTENIDO.- Conducirá a niveles peligrosos de sodio intercambiable en la mayoría de los suelos por lo cual se requerirá de un manejo especial, buen drenaje, lavados fuertes y adiciones de materia orgánica. Los suelos yesíferos no desarrollarán niveles perjudiciales de sodio intercambiable. Los mejoradores químicos deberán usarse, para el

CLASIFICACION DE AGUAS PARA RIEGO

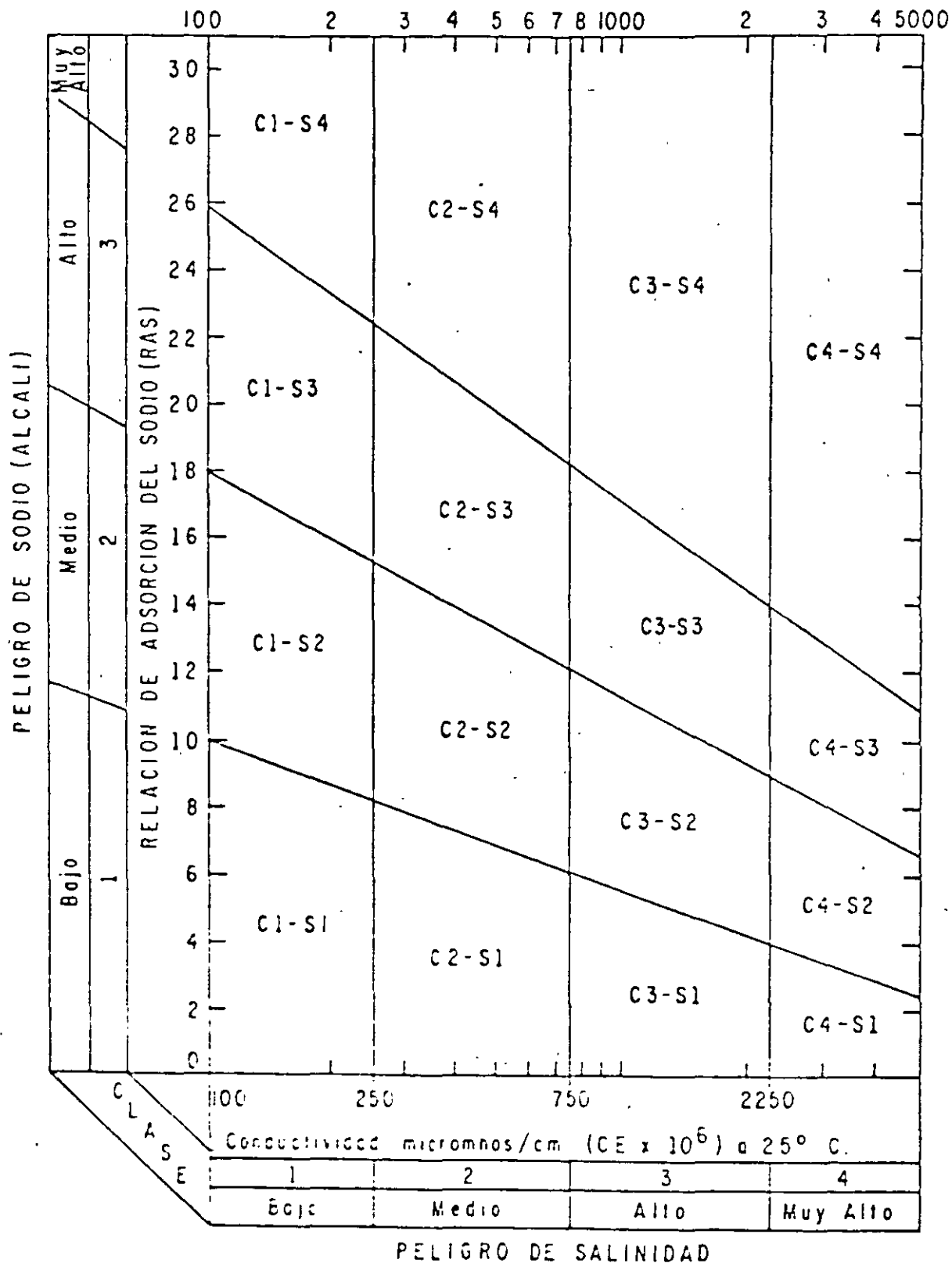


FIGURA 6.1

Zinc, Cobre, Hierro y Manganeso.- El cuerpo, puede llegar a tolerar, cantidades un poco mayores a las establecidas como requisito, no es común su presencia en el agua.

Sulfatos.- Concentraciones altas de este compuesto, actúan como laxante. - En combinación con otros elementos, da lugar a un sabor desagradable.

Fluoruros.- El ingerir agua que contenga este elemento en exceso, produce decaimiento de la dentadura, el cual dependerá de la concentración, la edad del consumidor, la cantidad de agua que se consuma y la susceptibilidad de cada individuo.

Nitratos.- Proviene de la descomposición de materia orgánica. Concentraciones altas de este compuesto es causa de enfermedades hídricas mortales, como la metamoglobinemia en los niños.

La presencia de concentraciones relativamente altas de sodio, cloro, magnesio, calcio, carbonatos y bicarbonatos, no representan gran peligro, ya que pueden ser eliminadas por el organismo.

6.2 AGUA PARA RIEGO

Para conocer la calidad del agua para riego, se ha optado por utilizar la clasificación de Wilcox (1948) en la cual, por medio de la conductividad eléctrica (CE) y la relación de adsorción de sodio (RAS), se obtiene la clase de agua para riego.

La conductividad eléctrica es igual al recíproco de la resistividad y proporcional a la concentración de sólidos totales disueltos. Normalmente, esta se expresa en micromhos por centímetro (mmhos-cm).

La relación de adsorción de sodio, se obtiene por medio de la fórmula siguiente:

$$RAS = \frac{Na^+}{\sqrt{\frac{Ca^{++} + Mg^{++}}{2}}}$$

Donde las concentraciones de Na^+ , Ca^{++} y Mg^{++} están dadas en equivalentes por litro. Con esta relación se obtiene el peligro que entraña el uso del-

TABLA 6.1. CONTINUACION

CARACTERISTICAS QUIMICAS	LIMITE MAXIMO PERMISIBLE EN ppm (EXEPTO)
Nitrógeno amoniacal (N)	0.50
Nitrógeno proteico (N)	0.10
Nitrógeno de nitratos (N)	5.00
Potencial hidrógeno (pH)	8.00
Oxígeno consumido (O)	3.00
Sólidos totales disueltos (STD)	1000
Alcalinidad total (CaCO ₃)	400
Cloruros (Cl)	300
Sulfatos (SO ₄)	250
Magnesio (Mg)	250
Zinc (ZN)	125
Cobre (Cu)	15
Fluoruros (Fl)	3
Fierro (Fe)	1.50
Manganeso (Mn)	0.30
Arsénico (As)	0.05
Selenio (Se)	0.05
Cromo (Cr)	0.05
Compuestos fenólicos, (Fenol)	0.001

CARACTERISTICAS BIOLÓGICAS	NUMERO MAXIMO PERMISIBLE
ORGANISMOS DE LOS GRUPOS - COLI Y COLIFORMES.	20
COLONIAS BACTERIANAS POP - CENTIMETRO CUBICO DE MUESTRA.	200

Debido a la gran demanda de agua potable en el país y a la escases que presenta este líquido en muchas regiones, esta es ingerida sin cumplir con todos los requisitos anteriores.

El índice que en muchas regiones de México se encuentra sobrepasando el límite máximo permisible, es el de sólidos totales disueltos. Este, en ocasiones, es aceptado en cantidades mayores a 1,000 ppm., siendo su límite - la tolerancia del consumidor. Generalmente no sobrepasa a las 2,000 ppm.

El ingerir agua con más de 1,000 ppm., normalmente no causa problemas de salud siempre y cuando no se encuentren, en exceso, algunos elementos críticos como los que se mencionan a continuación:

Arsénico, Selenio y Cromo.- No es común encontrarlos en el agua, pero se presencia en cantidades pequeñas es tóxica, por lo cual el agua potable, no debe tener concentraciones mayores de 0.05 ppm.

TABLA 6.1. CONTINUACION

CARACTERISTICAS QUIMICAS	LIMITE MAXIMO PERMISIBLE EN ppm (EXEPTO)
Nitrógeno amoniacal (N)	0.50
Nitrógeno proteico (N)	0.10
Nitrógeno de nitratos (N)	5.00
Potencial hidrógeno (pH)	8.00
Oxígeno consumido (O)	3.00
Sólidos totales disueltos (STD)	1000
Alcalinidad total (CaCO ₃)	400
Cloruros (Cl)	300
Sulfatos (SO ₄)	250
Magnesio (Mg)	250
Zinc (ZN)	125
Cobre (Cu)	15
Fluoruros (Fl)	3
Fierro (Fe)	1.50
Manganeso (Mn)	0.30
Arsénico (As)	0.05
Selenio (Se)	0.05
Cromo (Cr)	0.05
Compuestos fenólicos, (Fenol)	0.001

CARACTERISTICAS BIOLÓGICAS	NUMERO MAXIMO PERMISIBLE
ORGANISMOS DE LOS GRUPOS - COLI Y COLIFORMES.	20
COLONIAS BACTERIANAS POR - CENTIMETRO CUBICO DE MUESTRA.	200

Debido a la gran demanda de agua potable en el país y a la escases que presenta este líquido en muchas regiones, esta es ingerida sin cumplir con todos los requisitos anteriores.

El índice que en muchas regiones de México se encuentra sobrepasando el límite máximo permisible, es el de sólidos totales disueltos. Este, en ocasiones, es aceptado en cantidades mayores a 1,000 ppm., siendo su límite la tolerancia del consumidor. Generalmente no sobrepasa a las 2,000 ppm.

El ingerir agua con más de 1,000 ppm., normalmente no causa problemas de salud siempre y cuando no se encuentren, en exceso, algunos elementos críticos como los que se mencionan a continuación:

Arsénico, Selenio y Cromo.- No es común encontrarlos en el agua, pero su presencia en cantidades pequeñas es tóxica, por lo cual el agua potable, no debe tener concentraciones mayores de 0.05 ppm.

CAPITULO 6

CALIDAD DEL AGUA

Las aguas subterráneas y superficiales que son utilizadas para satisfacer las necesidades de agua potable de zonas urbanas, así como la que se destina a la agricultura, ganadería e industria, necesita cumplir con ciertos requisitos respecto a su contenido de elementos químicos, a sus propiedades físicas y a la presencia de materia orgánica.

El objeto del presente trabajo, es el de mostrar, en forma general, las normas de calidad del agua utilizada como potable, en riego, en abrevadero y en la industria, así como el significado y algunas propiedades físicas y químicas del agua.

La calidad del agua, se determina a partir de análisis físicos, químicos y bacteriológicos, los cuales pueden variar desde análisis sencillos donde se determinen los principales elementos, hasta análisis complejos que incluyan la determinación de una gran variedad de especies presentes en el agua.

El tipo de análisis dependerá del uso que se le tenga destinado al agua, así como de algunas características observadas en la zona donde ésta se encuentra. Por ejemplo, en una zona minera, es conveniente determinar las concentraciones de algunos metales que pudieran encontrarse presentes. En lugares próximos a poblados y/o establos, debe ponerse atención a los contenidos de nitratos y organismos coliformes. etc.

6.1. AGUA POTABLE

Para conocer la calidad de cierta agua para uso potable, se comparan los resultados del análisis químicos, con las normas de calidad o límites máximos permisibles que a continuación se describen y que fueron publicados por la Secretaría de Salubridad y Asistencia, en el Diario Oficial de el día 2 de Julio de 1953. (Tabla 6.1.).

TABLA 6.1.

CARACTERISTICAS FISICAS	LIMITES MAXIMO PERMISIBLE	OBSERVACIONES
TURBIEDAD	10 (Escala de Sílice)	DE NO CUMPLIRSE CON LOS RESULTADOS ANTERIORES, SE ADMITIRAN AQUELLOS QUE SEAN TOLERABLES PARA LOS USUARIOS.
COLOR	20 (Escala platino-cobalto)	
SABOR	INSIPIDA	
OLOR	INODORA	

Bruington, A.E., y Seares, F.D., 1965, "Operating a Sea Water Barrier Project", American Society of Civil Engineers, Journal of the Irrigation and Drainage Division, Vol. 91, No. IRI.

Bruington, A.E. Drescher, W.J. y Sherwood, C.B. 1969, "Saltwater Intrusion in the United States"., American Society of Civil Engineers Proceedings, Journal of the Hydraulics Division, Paper 6788, HY 5, pp. - 1651-1669.

Custodio, E. y Llamas, M. R. 1976. Hidrología Subterránea. Ediciones Omega Barcelona, España.

California Department of Water Resources, 1957, "Report by Los Angeles - Country Flood Control District on Investigational Work for Prevention and Control of Sea Water Intrusion West Coast Basin Experimental Proyet, Los Angeles Country", Boletín No. 63 Apéndice B.

California Department of Water Resources, 1958, "Sea Water Intrusion in - California", Boletín No. 63

California Department of Water Resources, 1960, "An Investigation of Some Problemes In Preventing Sea-Water Intrusion By Creating a Fresh-Water Barrier", No. 63 Apéndice D.

California Department of Water Resorces, 1970, "Oxnard Basin Experimental Extractio: Type Barrier", Boletín 147-6.

Freeze, A. and Cherry, J. 1979. Groundwater. Prentice Hall. 604 p.

Klein, H., 1965, "Salt Water Intrusion Can be Controlled", Florida Board - of Conservation, Division of Geology.

Todd, David K, 1959, Ground Water Hydrology, John Wiley and Sons, pp 177.

NOTA: Para la elaboración de este artículo, se utilizaron datos de diferentes textos y trabajos, principalmente de los apuntes del curso de hidrología subterránea del Departamento de Recursos Hidráulicos del Estado de - California, E.U., por Raymond C. Richter.

- e) Barrera con Pozos de Inyección.- Este método para control de intrusiones salinas, consiste en la construcción de pozos de inyección alineados a lo largo de la costa, su funcionamiento va a depender de la resistencia que encuentre el agua al moverse en el subsuelo.

Al inyectar agua al acuífero se provoca la elevación del nivel piezométrico lo cual se lleva a cabo hasta alcanzar el gradiente requerido. Debido a la diferencia en densidad entre el agua de mar y el agua dulce, se requiere una columna de 41 metros de agua dulce para equilibrar una columna de 40 metros de agua salada. Para controlar la intrusión es necesario primeramente determinar el espesor de sedimentos permeables. Posteriormente se construye la barrera de pozos de inyección y se provoca la elevación del nivel piezométrico a lo largo de la línea de pozos, hasta alcanzar una altura de 75 centímetros arriba del nivel del mar, por cada 30 metros de espesor del acuífero bajo el mismo nivel de referencia. La cantidad de agua utilizada para dicho fenómeno puede ser estimada. Después de que en la barrera con pozos de inyección, se establece un equilibrio, la cantidad de agua que fluye hacia el acuífero, será la cantidad de agua de mar que intrusionaba anteriormente, siempre y cuando la explotación de la planicie se haya conservado igual. Para mantener el balance dinámico de esta zona, es necesario que exista un pequeño flujo de agua dulce hacia el mar. La magnitud de este flujo es variable, pero será de alrededor de 10% de la que fluye hacia el acuífero. El número de pozos requeridos para formar la barrera dependerá de las características hidráulicas del acuífero, en especial de la capacidad específica de un pozo de bombeo perforado en la zona.

- f) Método Combinado: Barrera por Pozos de Bombeo-Barrera por Pozos de Inyección.- Este método utiliza la combinación de los dos métodos anteriores. Para ello, la barrera por pozos de bombeo, es localizada entre la línea de costa y la zona de explotación del valle y la barrera por pozos de inyección se ubica tierra adentro, del otro lado de la zona de explotación. La barrera combinada, compuesta de los dos sistemas, operando simultáneamente, minimizada los efectos de subsidencia y extracción de agua, así como otros efectos secundarios y permite una mayor flexibilidad en su operación sobre la de uno solo de los sistemas previamente descritos.

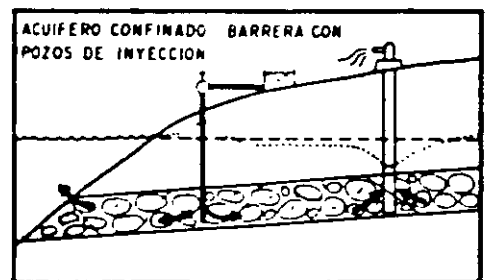
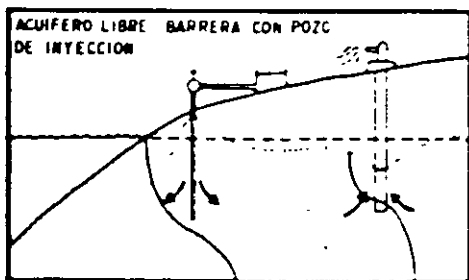
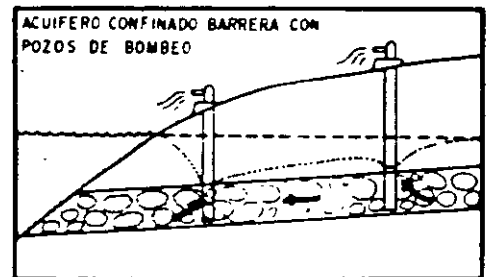
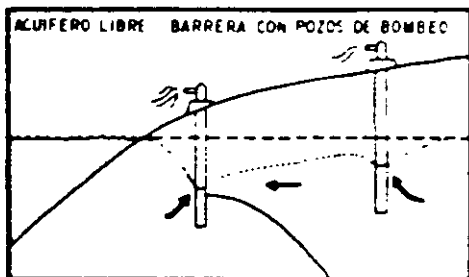
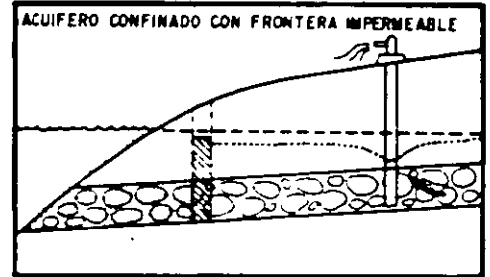
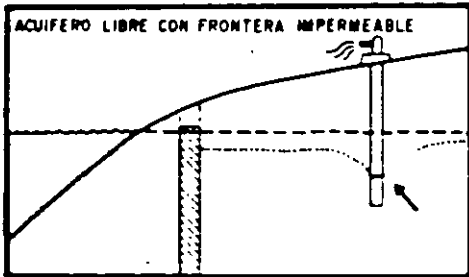
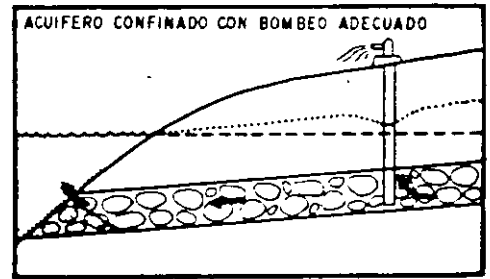
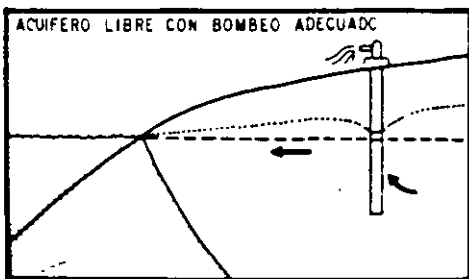
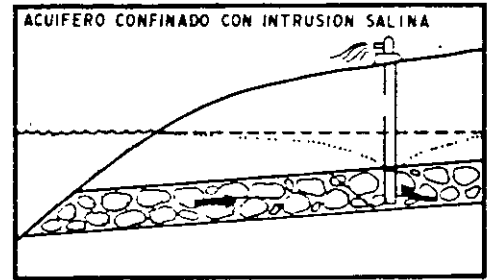
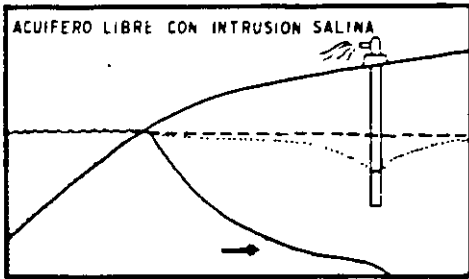
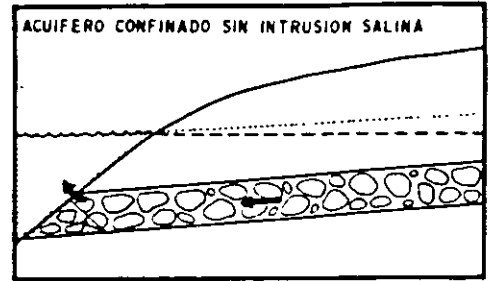
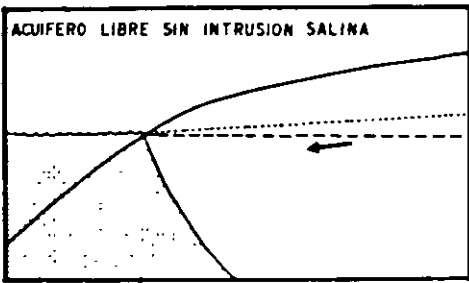
REFERENCIAS

- Banks, H.C., and Richter, R.C., 1953, "Sea-Water Intrusion into Ground-Water Basins Bordering the California Coast and Island Bays". American Geophysical Union Transactions, Vol. 34, No. 4 pp. 575-582.
- Banks, H.C., Richter, R.C. y Harder, J., 1957, "Sea Water Intrusion in California", American Water Works Association, Vol. 49, No. 1 pp. 71-86

te adicional de agua así como condiciones apropiadas del terreno, de tal manera, que la recarga pueda llevarse a cabo. Las obras para la recarga pueden consistir en zanjas superficiales construídas en el área de recarga a través de las cuales se hace circular agua que se infiltra al subsuelo. Otro tipo de obras, consiste en la construcción de presas de infiltración, localizadas en la zona de recarga. En zonas donde existen capas confinantes impermeables, pueden construirse pozos de inyección. Al llevar a cabo esta recarga se provoca la reinversión del gradiente hacia el mar, la cual es acompañada por un flujo de agua dulce. La recarga, en esta forma, es económica, respecto a los otros métodos, pero en la mayoría de los casos no se cuenta con fuentes de agua adicional para llevarla a cabo.

- c) **Fronteras Impermeables.**- Consiste en la construcción de una barrera impermeable entre la línea de costa y los pozos de explotación. El medio de construcción puede ser excavando una zanja que posteriormente se rellena con materiales arcillosos. Otro tipo de barrera, consiste en el inyectado de material impermeable. Estas construcciones son usadas solo en áreas relativamente someras. Es importante, el conocer los resultados posteriores a su construcción, ya que, si la impermeabilización es completa, permitirá abatimientos fuertes y por lo tanto la obtención de mayores volúmenes de agua almacenada. Este método tiene la desventaja de no contar con un flujo de agua subterránea hacia fuera de la zona, que en ocasiones, es necesario para mantener un balance de sales favorables.
- d) **Barrera de Pozos de Bombeo.**- Consiste en una línea de pozos localizados entre la zona de explotación del valle y el mar. Los pozos, deben de extraer toda el agua de mar que intrusióna al acuífero, hasta obtener un equilibrio hidrostático. Para ello, los niveles de agua deben de ser bajados en la barrera, más que en cualquier otro punto en la cuenca. El volumen de extracción que se lleva a cabo en el valle, debe de ser reducido, cuando menos una cantidad ligeramente menor a la que se obtenía antes de aplicar el método. Es importante, disponer del registro de los niveles del agua en la zona de la barrera, así como el conocer la cantidad exacta de agua que se debe bombear para obtener los resultados deseados. Esta cantidad de agua que se debe de extraer, es muy variable y deberá de ser mayor al volumen de agua de mar que originalmente intrusionaba. Mientras más cerca del mar se localiza la barrera, el bombeo tendrá que ser mayor.

DIFERENTES ASPECTOS DE LA INTRUSION SALINA



NIVEL PIEZOMETRICO NIVEL DEL MAR ----- AGUA DULCE [] AGUA SALADA [] AGUA INYECTADA []

5.3. MECANISMO DE LA INTRUSION SALINA

Existen varios mecanismos por los cuales el agua de mar puede intrusionar a un acuífero costero. Estos, están relacionados con la disminución de la elevación del nivel piezométrico y la inversión del gradiente hidráulico, que permite al agua de mar moverse hacia tierra adentro. Bajo condiciones naturales en los acuíferos costeros, existe un equilibrio entre la recarga, la descarga y el cambio del almacenamiento. Es conveniente que exista un flujo de agua dulce al mar, para conservar el equilibrio, y evitar la intrusión. Conforme el agua subterránea es extraída por bombeo, el nivel estático baja acomodándose a las nuevas condiciones y el flujo de la intrusión salina se comienza a mover hacia el acuífero, ocupando primero las zonas costeras y posteriormente la zona de explotación del valle.

5.4. METODOS DE CONTROL DE LA INTRUSION SALINA

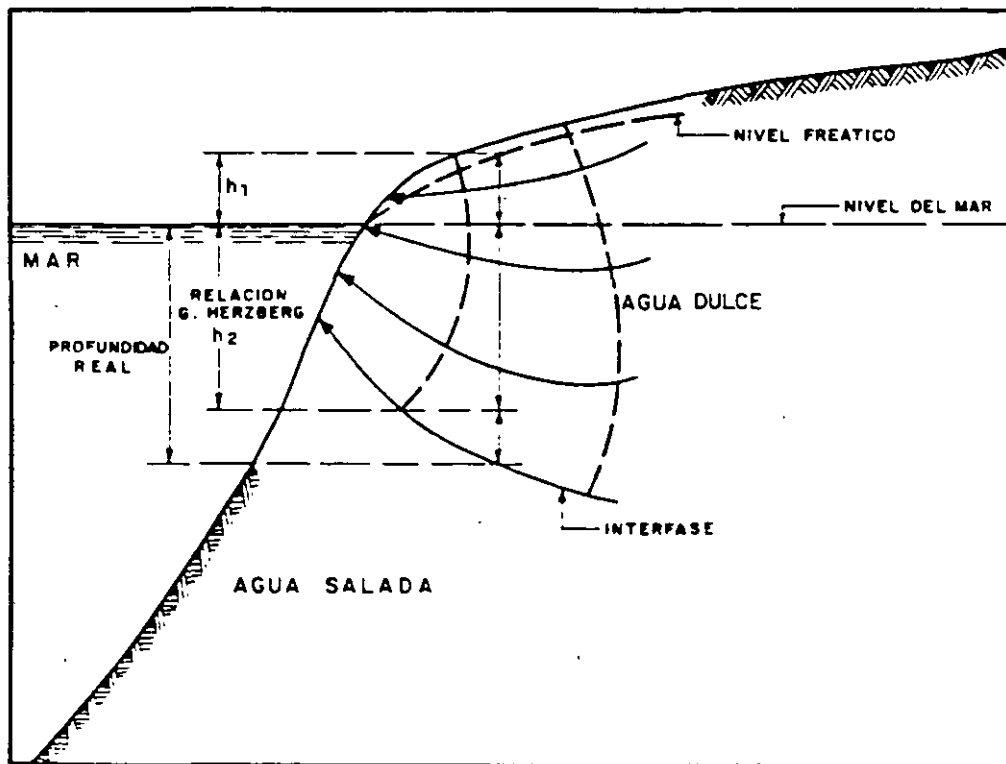
Varios métodos de control son conocidos y utilizados para prevenir la intrusión salina. Los más comunes son:

- 1).- Reducción de la extracción
- 2).- Recarga artificial
- 3).- Fronteras impermeables
- 4).- Barrera con pozos de bombeo
- 5).- Barreras con pozos de inyección (Figura 5.4)

a) Reducción de la Extracción.- Una de las medidas técnicamente más sencillas para prevenir la intrusión de agua de mar, es la extracción de agua subterránea, a un nivel planificado. Esta medida implica una disminución en las demandas de agua lo cual, en ocasiones crea problemas socioeconómicas y políticos muy fuertes. Cuando se opta por este método y el bombeo es reducido, puede establecerse nuevamente el gradiente hacia el mar y la intrusión es reemplazada por un ligero flujo de agua dulce hacia el mar. Si existe información suficiente sobre la variación de los niveles del agua y si se conocen las condiciones geológicas del subsuelo, la reducción de la extracción puede ser controlada de tal manera, que se obtenga la máxima cantidad de agua sin provocar una intrusión salina nociva.

b) Recarga Artificial.- Para ello es necesario contar con una fuente

FIGURA 5.3.



Si "Dd" y "Dm" representan las densidades del agua dulce y de mar respectivamente, la condición para el balance hidrostático se expresa de la siguiente manera:

$$D_m \cdot g \cdot Z = D_d \cdot g \cdot (h + Z)$$

$$Z = \frac{D_d}{D_m} (h + z)$$

Considerando que las densidades del agua de mar y del agua dulce son 1.025 y 1.000, respectivamente, tenemos que:

$$Z = 40 h$$

O sea que por cada metro que se eleve el nivel piezométrico sobre el nivel del mar, existirán 40 metros de agua dulce bajo el mismo nivel de referencia (Figura 5.2.). La posición del nivel piezométrico sobre el mar, condiciona la profundidad a la interfase. Los movimientos de la superficie del mar por mareas y de la superficie piezométrica del acuífero, producidos por aumento o disminución de agua en él, producen fluctuaciones en la posición de la interfase. El área en donde se llevan a cabo estas fluctuaciones, se denominan zona de difusión. La mayoría de los acuíferos que no están sobreexplotados, descargan agua hacia el mar y la posición real de la interfase, en este caso, se encuentra a mayor profundidad (Hubbert) que la calculada por Gnyben-Hertzberg, (Figura 5.3.).

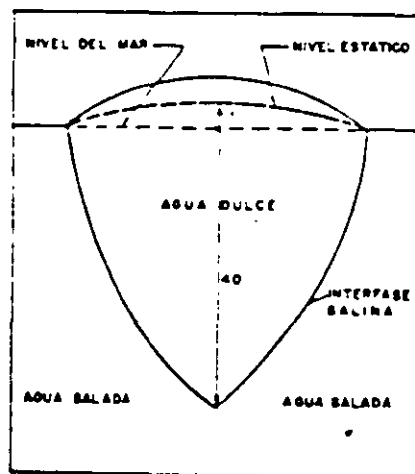


FIG: 5.2 POSICION DE LA INTERFASE SALINA EN UNA ISLA

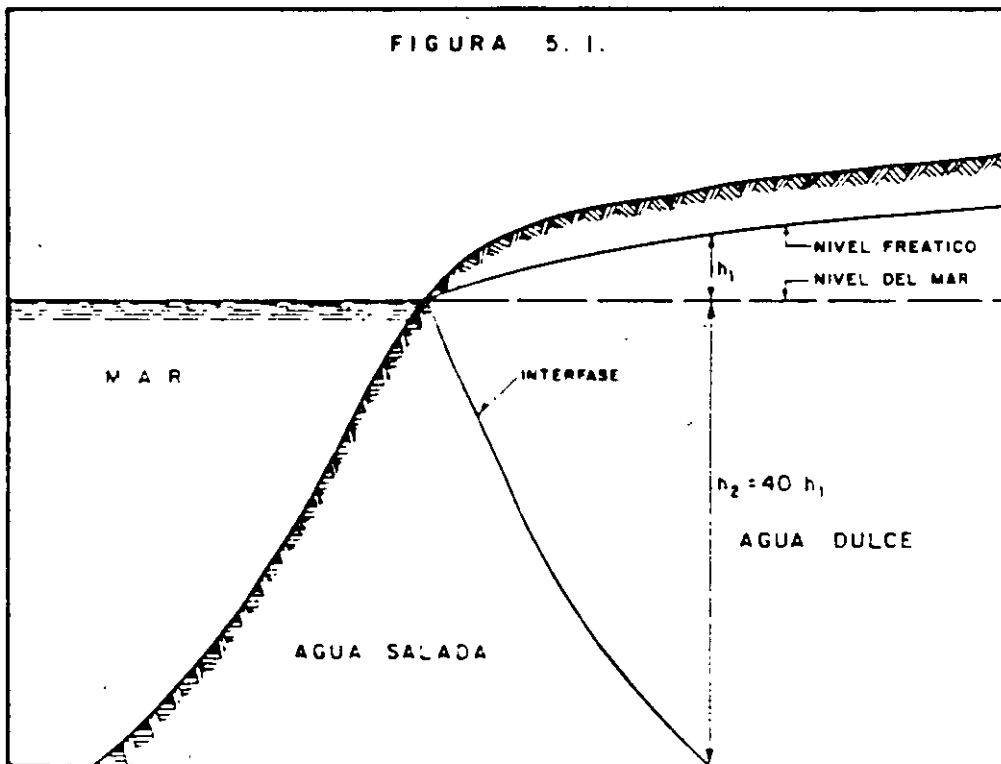
diciones originales del acuífero, producen cambios en la posición del contacto entre las dos aguas.

La profundidad a la cual se encuentra la interfase fue descrita por Badon Ghyben en 1869, y aplicada a problemas específicos por Bairat Herzberg en 1901.

La teoría se basa en lo siguiente:

El peso de una columna vertical de agua dulce que va desde el nivel piezométrico del acuífero hasta la interfase, se encuentra equilibrada por el peso de una columna de agua de mar que vaya desde el nivel del mar, hasta la interfase. Esto es, el peso de la columna de agua dulce de longitud $h + Z$ es igual al peso de una columna de agua de mar de longitud Z , donde "h" es la elevación del nivel estático a partir del nivel del mar y "Z" es la profundidad a la interfase, a partir del mismo nivel de referencia.

(Fig. 5.1.)



INTRUSION SALINA SEGUN LA TEORIA DE G. HERZBERG

CAPITULO 5

LA INTRUSION SALINA EN ACUIFEROS COSTEROS

La explotación de agua subterránea en acuíferos de zonas costeras encara un gran riesgo, denominado "Intrusión Salina". Muchas zonas costeras son degradadas por este fenómeno, como resultado del exceso de bombeo del agua del acuífero.

Un renglón importante en los acuíferos costeros, es el estudio de la ubicación y velocidad de la intrusión salina. Dentro de estos estudios, es esencial, la determinación de la posición del nivel piezométrico del acuífero y sus fluctuaciones con el tiempo, así como el registro de las variaciones de salinidad en los pozos. Si se cuenta con estos datos puede determinarse la posición y peligrosidad de la intrusión y planear las alternativas más convenientes para su control.

5.1. CARACTERISTICAS FISICAS DE LA INTRUSION SALINA

Para que una zona costera se vea afectada por este fenómeno, es necesario que se cumplan las dos condiciones siguientes:

- a) Continuidad Hidráulica.- Debe existir continuidad hidráulica en los materiales que forman el acuífero hacia el mar.
- b) Inversión del Gradiente.- Otra de las condiciones necesarias para que se lleve a cabo la intrusión salina, es la inversión del gradiente hidráulico que en forma natural se establece de la planicie costera hacia el mar para originar un flujo hacia él. Cuando por efecto de bombeo se abate el nivel del acuífero para encontrarse abajo del nivel del mar, se invierte el gradiente hidráulico natural y se ocasiona un flujo de agua del mar hacia el acuífero. En la práctica, la magnitud del gradiente hidráulico se obtiene a partir de la medición de la profundidad al nivel del agua en pozos y norias.

5.2. PRINCIPIO DE CHYBEN - HERZBERG

A lo largo de las líneas de costa el agua de los acuíferos se encuentra descansando sobre el agua de mar, debido a la diferencia de densidades de éstas. El contacto entre estas dos masas de agua (interfase salina) se encuentra en equilibrio dinámico, por lo cual las modificaciones en las con

- Akin, G.W. and J. V. Largerwerff, 1965. "Calcium Carbonate Equilibria in Solution Open to the Air.- II.- Enhanced Solubility of Calcium Carbonate in the Presence of Magnesium and Sulfate" *Geochim et Cosm. Acta* 29 (4).
- Back, William, 1961. "Calcium Carbonate Saturation in Ground Water, From Routine Analyses. "U.S.G.S., W.S.P." 1535-D
- Drever, J. I. 1988. *The Geochemistry of Natural Water, Second Edition.* Prentice Hall. 437 p.
- Freeze, A. and Cherry, J. 1979. *Groundwater.* Prentice Hall. 604 p.
- Garrels and Charst, 1965. "Solution, Minerals and Equilibria".
- Hem, John. "Calculation and Use of Ion Activity" U.S.G.S.W.S.P.
- Hem, John, 1971. "Study and Interpretation of The Chemical Characteristics of Natural Water". G.S.W.S.P. 1473
- Hem, John. 1971. "None Equilibrium Systems in Natural Water Chemistry. Advances in Chemistry Series 106. American Chemical Society.
- Krauskopf, K.B., 1967. "Introduction to Geochemistry".
- Stumm, W. and J. Morgan, 1970. "Aquatic Chemistry". an Introduction. Emphasizing Chemical Equilibria in Natural Waters.

CAPITULO 8

TRAZADORES DE AGUA SUBTERRANEA

8.1. RESUMEN

La técnica sobre la aplicación de trazadores en agua subterránea, se ha venido desarrollando con nuevas metodologías en los últimos 35 años. Los principales trazadores utilizados son: fluoriceinas, sales, esporas e isótopos. Las fluoriceinas son uno de los trazadores más económicos y fáciles de utilizar. Su aplicación se ha incrementado al introducir en el proceso de detección, el espectrofluorómetro y la concentración por medio de carbón activado. Las esporas, son el trazador más nuevo que existe, el cual ha probado ser de gran utilidad. Otro tipo de trazadores de agua subterránea, son los isótopos deuterio, oxígeno 18, tritio y carbono 14, cuya técnica y aplicación es cada día mayor.

8.2. INTRODUCCION

En determinadas ocasiones es de esencial importancia el conocer con exactitud si existe conexión entre dos puntos de un acuífero. Para ello se han llevado a cabo, desde el siglo pasado, experimentos consistentes en mezclar, en el agua de un aprovechamiento subterráneo localizado aguas arriba, una sal o un tinte, el cual puede ser reconocido en otro aprovechamiento localizado a cierta distancia aguas abajo, determinando así, la posible conexión entre dichos puntos. A esta técnica se le conoce como trazadores de agua subterránea.

Este método, se ha aplicado principalmente en rocas fracturadas, donde el tiempo de tránsito es corto, y en distancias hasta de 40 km (Zotl, 1970). En menor proporción, se ha llevado a cabo en medios granulares, ya que por una parte la velocidad de flujo es relativamente pequeña y por otra, la arcilla produce absorción e intercambio iónico, por lo cual la aplicación en este medio debe ser en distancias cortas.

Los puntos de inyección más comunes, son ríos subterráneos localizados dentro de cavernas y los principales puntos de muestreo son manantiales. Con algunas limitaciones los puntos de inyección y muestreo de trazadores pueden ser también pozos, norias, galerías filtrantes, drenes, lagos y presas. En algunas ocasiones, se ha utilizado esta técnica para determinar si el agua de manantiales, ríos o drenes, corresponden a filtraciones de una presa o lago.

Un buen trazador, debe reunir las características siguientes: Debe ser no tóxico; soluble en agua, identificable en pequeñas concentraciones; re-

sistente a cambios químicos; tener poca o nula capacidad de intercambio iónico; no ser absorbido o retenido por suelo o rocas; su determinación debe ser mediante análisis sencillos y su aplicación económica. Los principales trazadores son fluoresceínas, sales esporas e isótopos.

8.3 FLUORESCEINAS

Son sustancias que tienen la propiedad de emitir luz fluorescente. La longitud de onda de esta luz, varía de una sustancia a otra, propiedad que se utiliza para identificarlas. Las sustancias más comunes utilizadas como trazadores son: Uranina, Eosina, Aminorhodamina G extra, Rhodamina FB y Tinopal CBS-X.

A continuación se describen las características de cada una de estas sustancias.

- a) URANINA.- es la de mayor aplicación. Consiste en una fluoresceína de sodio que presenta un color naranja en soluciones concentradas (más de 1 ppm), que cambia de verde-amarillento al ser diluida.

La intensidad de fluorescencia depende del pH. En la fig. 8.1., se muestra la relación entre el pH y la intensidad de fluorescencia de la uranina. En aguas muy ácidas, pierde su fluorescencia pero este proceso es reversible, pudiendo recobrarla al añadir un compuesto básico, como KOH ó NH_3 . Esta propiedad puede utilizarse para identificar el trazador.

El poder de la uranina, puede disminuir por medio de procesos fotoquímicos como la luz ultravioleta, por agentes oxidantes como el cloro y el ozono y en algunos casos por procesos biológicos.

Es visible en concentraciones mayores de 0.01 ppm. Antiguamente se utilizaban lámparas de luz ultravioleta para identificarla cuando se encontraba en concentraciones bajas. Actualmente las concentraciones entre 1×10^{-4} y 2×10^{-6} ppm son medidas con espectrofluorómetro.

La intensidad máxima de fluorescencia se detecta a una longitud de onda de 515×10^{-8} m. A mayor o menor longitud de onda la intensidad disminuye en forma simétrica (Fig. 8.2) y la forma de la curva distingue a la uranina de otra fluoresceína. Para concentraciones menores a 1×10^{-6} ppm, se utiliza carbón activado (W.B. WHITE, 1967, F. BAVER, 1971) el cual se coloca en el agua durante un tiempo que varía de un día a semanas, donde la urani

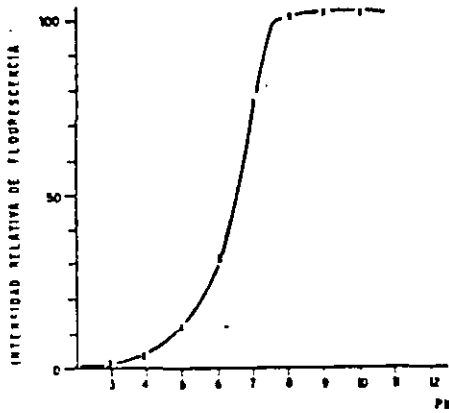


FIGURA B.1.

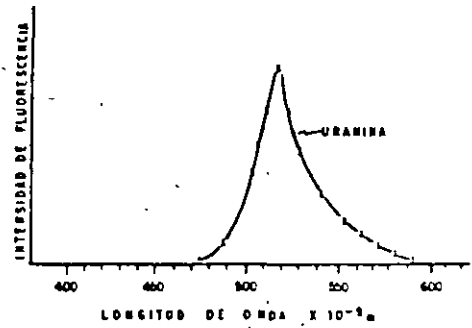


FIGURA B.2.

na es absorbida y concentrada de 50 a 500 veces por el carbón y su concentración medida posteriormente.

Para extraer la uranina del carbón, se le agrega a éste algunas gotas de una de las siguientes preparaciones:

Una parte de alcohol etílico al 95% y una parte de hidróxido de potasio diluido al 15% en agua destilada.

Ocho partes de N-N Dimetilformadín (DMF), dos partes de agua destilada y una gota de NH_3 .

Por último, la uranina es resistente a la absorción por arcillas y su uso no es tóxico para el hombre o animales.

b) EOSINA.- Presenta una fluorescencia naranja-rosa, cuya máxima intensidad se detecta a una longitud de onda de 535×10^{-9} m.

Cuando se presentan valores mayores de 0.01 ppm es visible al ojo humano. Entre 0.01 y 50×10^{-6} ppm, puede detectarse con espectrofluorómetro. Concentraciones menores se concentran con carbón activado del cual puede extraerse añadiendo una sustancia compuesta por ocho partes de N-N Dimetilformadín (DMF) y dos de agua destilada.

Al utilizarse junto con rhodamina FB o uranina, se producen interferencias por lo que su aplicación conjunta es limitada.

c) AMINORHODAMINA O RUTRA.- Conocida anteriormente como sulforhodamina C extra, presenta una fluorescencia naranja-rosa en soluciones concentradas, que cambia a verde al ser diluida. Su mayor intensidad se presenta a una longitud de onda de 554×10^{-9} m.- Es visible en concentraciones mayores de 0.01 ppm y con espectrofluorómetro pueden detectarse hasta 6×10^{-3} ppm. Valores menores pueden concentrarse por medio de carbón activado, del cual puede ser extraída la fluoresceína, por medio de una solución de ocho partes de N-N Dimetilformadín (DMF) y dos de agua destilada.

Esta fluoresceína presenta inconvenientes, ya que es difícil de disolver y fácilmente absorbida por arcillas. En presencia de urnina, rhodamina FB o eosina, se producen interferencias.

- d) RHODAMINA FB.- Presenta un color púrpura y fluorescencia roja. Su mayor intensidad se detecta a una longitud de onda de 578×10^{-9} m. Es visible al ojo humano en concentraciones mayores de 0.01 ppm. Con espectrofluorómetro se detectan hasta 10×10^{-3} ppm. Valores menores pueden ser concentrados por medio de carbón activado del cual se extrae por medio de una de las soluciones siguientes:

- a) Cinco partes de propanol y 5 partes de hidróxido de amonio.
b) Ocho partes de N-N dimetilformadín (DMF) y dos de agua destilada.

La rhodamina FB, presenta interferencias al combinarse con urnina, eosina o aminorhodamina G extra. Es tóxica cuando se inhala en soluciones concentradas. Por otra parte, en presencia de arcillas es altamente absorbida.

- e) TINOPAL CBS-X.- Presenta un color verde con fluorescencia azul. Su mayor intensidad se determina a una longitud de onda de 430×10^{-9} m. Es visible sólomente en concentraciones mayores de 1 ppm. Con espectrofluorómetro se pueden detectar hasta 440×10^{-3} ppm. Valores menores son concentrados por medio de carbón-activado del cual la fluoresceína puede extraerse agregando - - unas gotas de una solución que contenga ocho partes de N-N dimetilformadín (DMF) y dos de agua destilada. Este producto, es - absorbido por arcillas.

- f) EJEMPLO SOBRE LA APLICACION DE FLUORESCEINA.- Con el propósito de ilustrar su aplicación, a continuación se presentan los resultados obtenidos en un experimento llevado a cabo en una región cárstica.

Se propuso conocer la conexión entre el agua de un río que se infiltraba dentro de una dolina y dos manantiales situados a 5 kilómetros de la primera. Para ello, se inyectaron 3 kg de urnina en el agua de la dolina y se obtuvieron muestras de agua cada dos horas en los manantiales "H" y "S".

En el manantial "S", no se detectó urnina, por lo que se concluye que este no tiene conexión con la zona de recarga donde se inyectó el trazador.

En el manantial "H", se empezó a detectar urnina 56 horas des-

pués de la inyección, y la concentración del trazador fue aumentando hasta llegar a 32 mg/m³, según se muestra en la Figura 8.3.

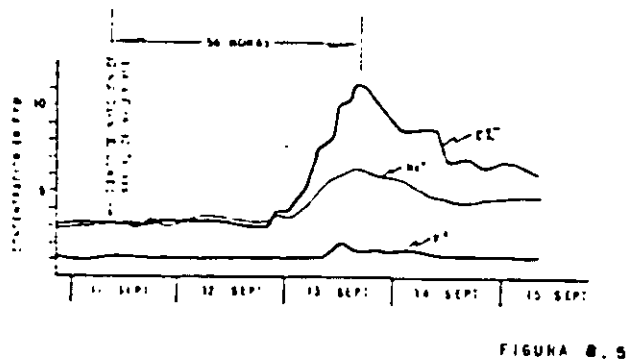
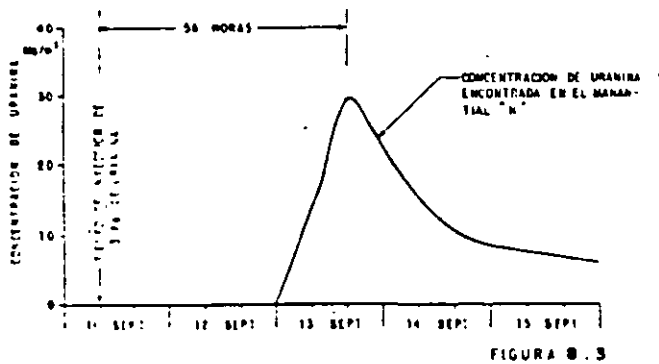
Otro ejemplo ilustrativo de la aplicación de trazadores, ahora en acuíferos granulares someros es el siguiente:

En un valle aluvial que presenta un acuífero freático a 3 m de profundidad, se perforaron 9 pozos a 3" de diámetro y 5 m de profundidad, distribuidos en la forma como se ilustra en la Figura No. 8.4.

En el pozo central, se inyectó uranina y se obtuvieron muestras de agua en el resto de los pozos, cada 20 minutos.

Después de 3 horas 20 minutos de la inyección, se detectó uranina sólo en los Pozos 4 y 5, de donde se puede obtener que el agua subterránea fluye en dirección sureste, a una velocidad de 1.5 m/hr.

Este método es utilizado en zonas sin información y su aplicación queda limitada por la profundidad a que se encuentre el nivel estático, ya que mientras mayor es ésta, mayor es el costo de los pozos de muestreo e inyección.



8.4. SALES

Las sales son el trazador artificial de agua subterránea más antiguo que se conoce se haya aplicado con éxito. Los productos utilizados más comunes son, sal de cloruro de sodio y sal de cloruro de potasio.

La sal es disuelta en agua y posteriormente incorporada al acuífero. Una de las desventajas que presenta este método, es que requiere que en la zona de inyección el caudal de agua que entre al acuífero sea grande. Por otra parte se necesita una gran cantidad de sal en cada experimento.

En zonas cársticas, para distancias entre 3 y 5 Km se requiere inyectar un mínimo de 500 Kg de sal (Zotl, 1975). La cantidad más grande que se ha llegado a inyectar en un experimento de trazadores, fue de 50 toneladas de NaCl, (W. Kass. en H. Batsche et. al., 1970), donde después de 4 días, se encontró en uno de los manantiales de observación un incremento de cloruros de solo 39 ppm.

Los grandes volúmenes de trazador requeridos mediante este método, hacen que su uso sea limitado. La ventaja consiste en que pueden efectuarse determinaciones cuantitativas.

- a) EJEMPLO SOBRE LA APLICACION DE SALES.- Durante los trabajos realizados para conocer la posible conexión entre el agua de un río que se infiltraba en una dolina y dos manantiales localizados a 5 kilómetros de ésta, como se mencionó en párrafos anteriores, se inyectaron 50 Kg de cloruro de sodio y 400 Kg de cloruro de potasio.

Posteriormente se obtuvieron muestras de agua con intervalos de dos horas cada una, tanto en el manantial "H" como en el "S", las cuales se analizaron químicamente determinándose el contenido de cloruros, sodio y potasio.

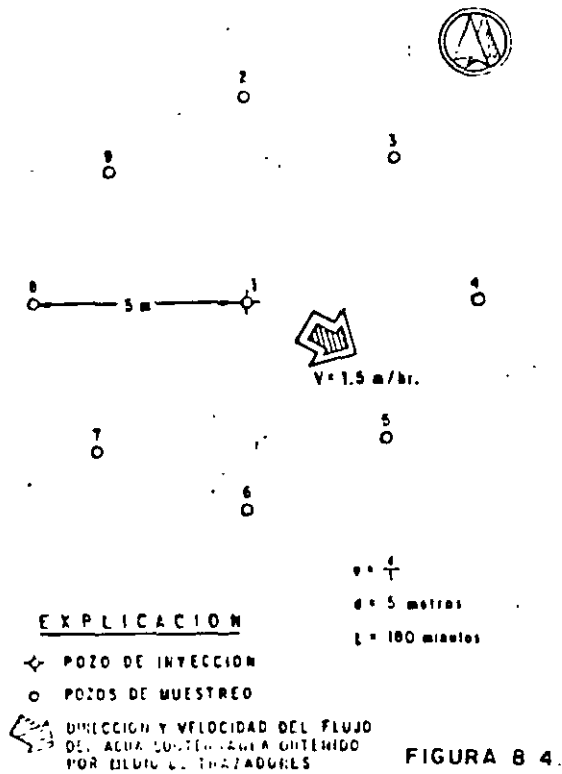
Al igual que en los resultados obtenidos para la fluoresceína (párrafos anteriores), en el manantial "S", no se detectó incremento alguno en su contenido salino, por lo cual se concluyó que este manantial no tiene conexión con el agua de infiltración de la dolina.

Por lo que se refiere al manantial "H", los resultados de los análisis se graficaron en la Figura 8.5., donde se observa que a las horas después de la inyección de las sales, se detectó un incremento en los iones determinados, ratificando la comunicación entre la dolina y el manantial.

Considerando el tiempo que tardó en aparecer el trazador en el manantial y la distancia entre éste y la dolina, se obtuvo la velocidad de flujo del agua de este acuífero.

Por otra parte, con estos resultados y los de los análisis químicos y volúmenes aforados, es factible determinar el volumen mínimo de agua atrapado, así como el conocer en que proporción el-

agua del manantial, proviene de la que se infiltra en la dolina.



8.5. ESPORAS

Las esporas utilizadas como trazadores corresponden al tipo *Lycopodium Clavatum*. Tiene un diámetro de 30-55 micras y un color amarillo pálido (1 micra = 10^{-4} cm).

Su forma es similar a la de un triángulo isósceles con lados convexos. Sus orillas forman cadenas de semicírculos cóncavos (Figura 8.6.). Están cubiertas por una fina membrana insoluble por lo que al ser incorporadas al agua son transportadas en suspensión. No se sedimentan y tienen la propiedad de no ser absorbidas e intercambiadas con el suelo o rocas.



FIGURA 8. 6

En el año de 1953, A. Mayr, trató de emplear las esporas como trazador debido a las propiedades que presentan pero su identificación resultó problemática. J. Zotl y V. Maurin, idearon teñir las esporas de diferentes colores para facilitar su identificación lo cual resultó exitoso. De esta manera pueden mezclarse en agua, esporas de diferentes colores y posteriormente detectarse en cierta zona de muestreo identificándose, por el color, con cuales sitios tiene conexión.

El muestreo de esporas se lleva a cabo instalando redes para plancton las cuales se pueden dejar por tiempo indefinido en el lugar de muestreo. Al preparar la muestra para observarla en el microscopio, se ha visto que se obtienen resultados satisfactorios, si se lleva a cabo lo siguiente:

A las muestras de campo se le agregan 3 gotas de hidróxido de potasio al 10%, 3 gotas de formol al 35% y una pizca de urea; posteriormente se calienta en baño de María por tres minutos. Se centrifuga y el sedimento se concentra en un tubo al que se le agrega una gota de ácido etílico. Se coloca una pequeña parte de la preparación en una lámina delgada para su análisis al microscopio.

REFERENCIAS

- Davis, S.N., D.J. Cambell, H.W. Bentley and T.J. Flynn. 1985. Ground Water Tracers. National Water Well Association.
- Dechant, M., 1967 "Die Färbung der Lycopodiumspores" Steir Beitr. Z. Hydrogeologie, 18/19, 241-247.
- Dechant M., 1977, "The Dyeing of Lycopodium-Spores" Notes of The Ground Water Tracing Techniques Course" Graz, Austria.
- Gospodarin, R., and P. Habis. 1970. Underground Water Tracing. Yugoslav Committee for Inter.
- White, W. E., 1967, "Modifications of Fluorescein Dye Ground Water Tracing Techniques". Steir. Beitr. Z. Hydrogeologie, 18/19 151-158.
- Wittwer R., Waser H. and Matthe, E., 1971, "Essai de Fixation de la Sulfurohodamine B et de la Sulfurohodamine G. Extra sur Charbon Actif". Act 4e Cong. Suisse Speleol. Neuchatel 1971, 78-83.
- Zotl J. G., 1965, "Karst Hydrological Investigations for the Construction of the Driessbach Reservoir".

CAPITULO 9

ISOTOPOS AMBIENTALES

EN LA GEOHIDROLOGIA

9.1. DEFINICION Y ORIGEN

El nombre de isótopo se utiliza para distinguir a los átomos que tienen iguales propiedades físicas y químicas pero diferente masa. Las propiedades químicas de un átomo están definidas por el número atómico del elemento o sea el número de protones. En el núcleo de los átomos se encuentran, además de los protones, los neutrones; el total de neutrones y protones en el núcleo se conoce como número de masa. Al variar el número de neutrones en un núcleo, se alterará su masa pero su carga seguirá siendo igual y por consiguiente sus propiedades químicas no se alterarán. Los átomos con igual número de protones que el elemento original y diferente número de neutrones, son conocidos como isótopos.

En otras palabras, los isótopos son átomos caracterizados por tener un mayor número de neutrones que el elemento original. Así, por ejemplo, el elemento hidrógeno (^1H) en su forma natural tiene un protón y un electrón; cuando además de lo anterior llega a presentar un neutrón, se convierte en un isótopo del hidrógeno denominado deuterio (^2H). Cuando presenta dos neutrones dentro el núcleo, forma otro isótopo (^3H) conocido con el nombre de tritio.

Otro ejemplo lo constituye el oxígeno, el cual tiene una masa de 16; cuando llega a incluir dos neutrones más dentro de su núcleo, da origen al isótopo denominado "oxígeno 18".

Los isótopos son conocidos también como elementos pesados, ya que tienen un peso mayor que el elemento "normal".

Los isótopos se forman por la interacción de los rayos cósmicos con la atmósfera y pueden provenir de la mayor parte de los elementos. Los de mayor aplicación en geohidrología son el deuterio (^2H), el oxígeno 18 (^{18}O), el tritio (^3H), el carbono 14 (^{14}C) y las relaciones carbono 12/13 y azufre 32/34.

Los tres primeros son los de mayor importancia en geohidrología ya que forman parte de la molécula del agua.

Se encuentran en diferentes combinaciones de las cuales tres son las más comunes y de mayor interés para los estudios geohidrológicos, que corresponden a: H_2^{18}O , H_2^{16}O y H_2^{17}O .

Al deuterio y al oxígeno 18, se les denomina isótopos estables; por lo que respecta al tritio, éste es radioactivo y se utiliza para determinar la edad del agua a partir del momento en que fue recargada al subsuelo.

Las relaciones carbono 12/13 y azufre 32/34, son utilizadas para conocer el origen del elemento en el agua, el cual puede provenir de la disolución de sales o de la descomposición de materia orgánica.

Los isótopos del hidrógeno tienen diferente peso atómico que el hidrógeno - "Normal"; la molécula de agua que forman refleja esta diferencia; por ejemplo, la denominada agua pesada consiste en una molécula de agua que incluye al isótopo deuterio y presenta una masa de 20, comparada con el agua "normal" cuya masa es de 18. Esto, es una de las causas que ocasiona la variación de concentraciones isotópicas en el agua, bajo diferentes condiciones, como se verá más adelante.

En la Tabla No. 9.1. se presenta los isótopos más comunes.

En el agua de mar el contenido isotópico es bastante uniforme, lo cual permite usarlo como patrón mundial de referencia (SMOW, Standard Mean Ocean Water), y con respecto a él y de manera arbitraria, se expresan los contenidos isotópicos del oxígeno 18 y del deuterio.

TABLA 9.1. ISOTOPOS

NOMBRE	SIMBOLO	VIDA MEDIA AÑOS	RANGO DE EDAD DETECTABLE
<u>MÁS COMUNES</u>			
DEUTERIO	D		
TRITIO	T	12.4	e - 50 años
OXIGENO 18	¹⁸ O		
AZUFRE 34	³⁴ S		
CARBONO 13	¹³ C		
CARBONO 14	¹⁴ C	5730	500 - 40,000 años
NITROGENO 15	¹⁵ N		
<u>MENOS COMUNES</u>			
CLORO 37	³⁷ Cl		
ESTRONCIO 86	⁸⁶ Sr		
BORO 10	¹⁰ B		
SILICIO 30	³⁰ Si	103	50 - 100 años
ARGÓN 39	³⁹ Ar	269	100 - 1,000 años
KRYPTON 81	⁸¹ Kr		3 - 30 años

Los valores típicos para el agua dentro del ciclo hidrológico varían desde 0, tanto para el deuterio como para el oxígeno 18, en el agua de mar, hasta valores del orden de -400‰ de deuterio y de -40‰ de oxígeno 18.

9.2 UNIDADES Y METODO DE ANALISIS

Las unidades comunmente utilizadas para expresar la concentración de deuterio y de oxígeno 18, se denominan δ y son una relación de la concentración isotópica de la muestra de agua, respecto a la concentración del agua de mar, conocida como (Standar Mean Ocean Water). Se expresa en partes por mil.

$$\delta_D = \frac{H^2/H^1 \text{ Muestra} - H^2/H^1 \text{ SMOW}}{H^2/H^1 \text{ SMOW}} \times 1000$$

$$\delta^{18}_O = \frac{O^{18}/O^{16} \text{ MUESTRA} - O^{18}/O^{16} \text{ SMOW}}{O^{18}/O^{16} \text{ SMOW}} \times 1000$$

Las concentraciones de estos elementos son medidas por medio de espectrómetro de masas. Los niveles de precisión son de 0.2‰ para el oxígeno 18 y de + 2‰ para el deuterio (University of Waterloo, 1987).

La complejidad de la determinación hace que los costos por análisis sean elevados y que no se acostumbre realizarlos en forma rutinaria.

La determinación de estos análisis se efectúa mediante espectrómetros de masas, que en su mayoría están basados en el principio del espectrómetro de Nier.

El método de trabajo en la determinación de deuterio y oxígeno 18, es tratado por A. Cortés, 1986 y los principales aspectos del funcionamiento de un espectrómetro se comentan a continuación:

Un espectrómetro de masas es un aparato diseñado para separar moléculas de acuerdo a su relación masa-carga en base a su movimiento a través de campos eléctricos y/o magnéticos. Esencialmente, un espectrofotómetro de masas opera de acuerdo a los principios básicos de: Admisión del gas y formación de iones; aceleración y colimación de iones y; analizador magnético.

9.3. RECTA METEORICA MUNDIAL Y LOCAL

El contenido isotópico del agua de lluvia variará de acuerdo a ciertos factores, como son la altitud de precipitación, la presión barométrica ambiental, la temperatura, la latitud, época del año, etc., sin embargo, existe una re-

lación constante entre el deuterio y el oxígeno 18, tanto en tiempo como en espacio, la cual ha sido estudiada por el Organismo Internacional de Energía-Atómica mediante análisis en diferentes partes del mundo y durante un amplio período, obteniendo que dicha relación obedece a la ecuación $\delta D = \delta^{18}O + 10$ (Dansgaard, 1964), la cual se conoce como la "línea meteórica mundial". La referencia general para la mayor parte de los trabajos es la "línea meteórica mundial", sin embargo, para cada sitio, ésta puede presentar cierta variación y denominarse "línea meteórica local", la cual es paralela a la línea mundial y generalmente con variaciones ligeras.

4. PROCESOS QUE MODIFICAN LA COMPOSICION ISOTOPICA DEL AGUA SUBTERRANEA

Los procesos que modifican el contenido isotópico del agua y que son conocidos como fraccionamiento isotópico, son principalmente la evaporación y la condensación.

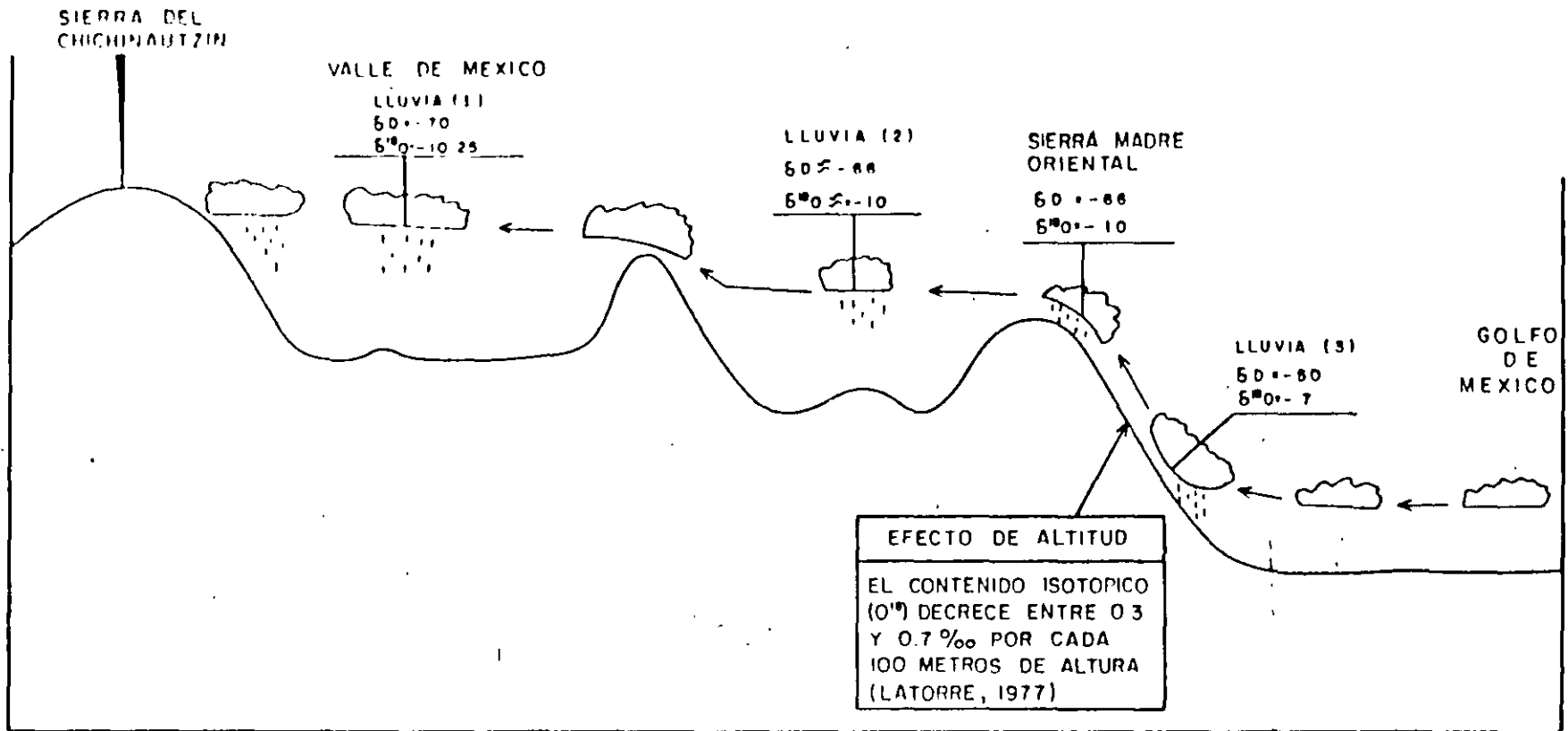
El deuterio y el oxígeno 18 de la atmósfera pasan a formar parte de la molécula del agua que se precipita en forma de lluvia, donde presenta una concentración isotópica característica. La mayor parte de las masas que forman las nubes provienen de los océanos y son transportadas hacia los continentes, modificando en su trayecto su concentración.

En forma general, el vapor formado en el océano presenta una concentración de oxígeno 18 de alrededor de -13‰; al ser transportadas hacia el continente las precipitaciones cercanas a la línea de costa llegan a tener valores de aproximadamente -3‰ debido a que en el proceso de condensación, la mayor concentración isotópica forma el agua de lluvia, en relación con la que se queda en la humedad de la atmósfera. Las nubes continúan su movimiento tierra adentro con alrededor de -15‰ de oxígeno 18 o sea empobrecidas.

En el ciclo hidrológico de los acuíferos del Valle de México, las principales masas nubosas que originan las precipitaciones provienen del Golfo de México, las cuales (Figura 9.1.) tienen en la zona costera un contenido isotópico de alrededor de -7‰ de oxígeno 18 y -50‰ de deuterio (Lesser, 1980). Los vientos predominantes transportan las masas nubosas tierra adentro, donde chocan y se elevan en el frente de la Sierra Madre Oriental; en esta porción, su contenido isotópico disminuye y las precipitaciones en la parte alta llegan a tener valores del orden de -10‰ de oxígeno 18 y -66‰ de deuterio. Las nubes que continúan hacia el Valle de México presentan, a la altura de Pachuca, valores que podrían ser del orden de -11‰ de oxígeno 18 y alrededor de -66‰ de deuterio, para posteriormente originar precipitaciones en las que se han detectado -10.25‰ de oxígeno 18 y -70‰ de deuterio, (Cortés y Farvolden, 1988).

En la Figura 9.2. se muestra la distribución del deuterio y el oxígeno 18 para el agua de lluvia en Norteamérica:

CROQUIS ILUSTRATIVO DEL COMPORTAMIENTO ISOTOPICO DE LA LLUVIA DEL GOLFO DE MEXICO AL VALLE DE MEXICO



(1) CORTES Y FARVOLDEN, 1988

(2) VALORES INFERIDOS DE ACUERDO A DATOS DE AGUA SUBTERRANEA EN PACHUCA Y PUEBLA (LESSER, 1987)

(3) VALORES INFERIDOS DE ACUERDO A DATOS DE AGUA SUBTERRANEA EN VERACRUZ (LESSER, 1980)

FIGURA 9.1

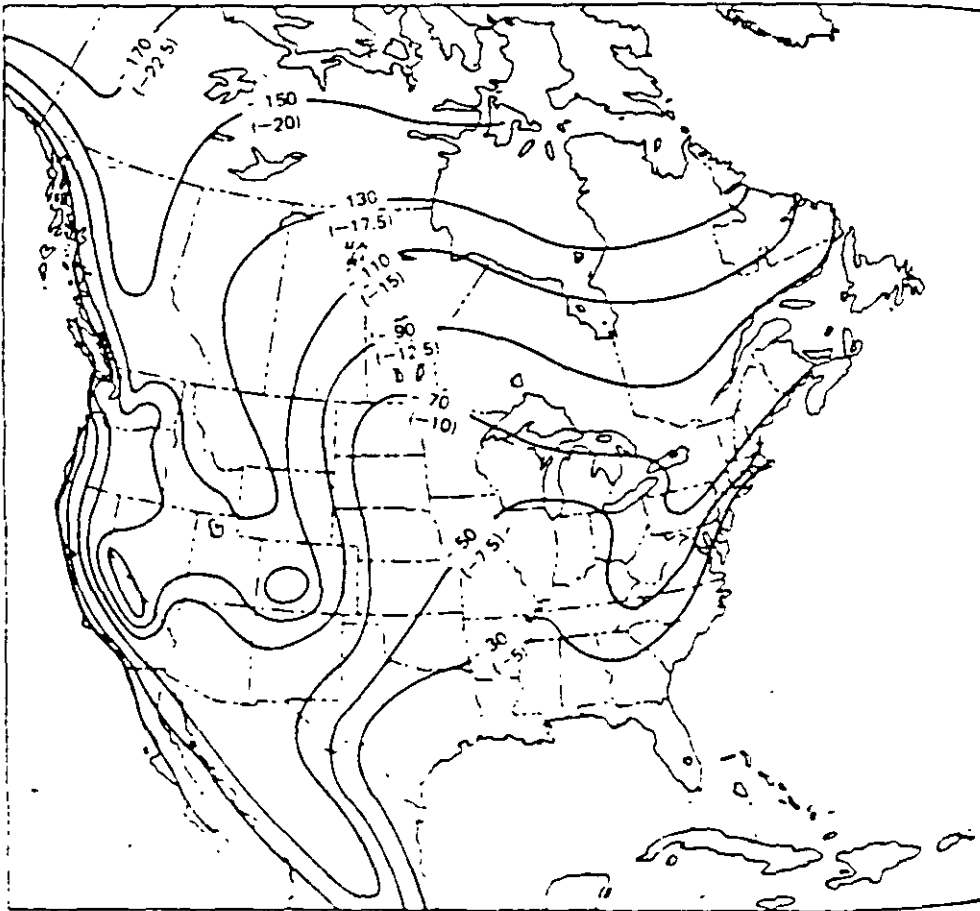


FIGURA 9.1. DISTRIBUCION DEL DEUTERIO Y OXIGENO 18 EN AGUA PLUVIAL PARA NORTEAMERICA. (DE: DREVER, 1988)

En el proceso mencionado, se presentan dos efectos. Primero el efecto continental, o sea la variación que presentan las lluvias de una zona húmeda en el océano hacia zonas de menor humedad conforme se internan en el continente, disminuyendo la concentración de los isótopos. Otro efecto es el de altitud, ya que el fraccionamiento isotópico que se produce al cambiar de altura, provoca una disminución en el contenido isotópico, la cual ha sido calculada por varios autores para diferentes sitios. Latorre 1977, indica que se han medido decrementos de 0.3 a 0.7‰ de oxígeno 18 por cada 100 metros de altura que se aumenten.

Otros factores que pueden llegar a modificar el contenido isotópico del agua, son la latitud y la evaporación y, en el subsuelo el intercambio con minerales, la presencia de altas temperaturas, la existencia de medios reductores y la hidratación de silicatos. En general, los contenidos isotópicos del agua de lluvia son menores en climas fríos.

El agua sujeta a procesos de evaporación va a modificar su contenido isotópico, el cual se va a incrementar, y en mayor proporción de oxígeno 18 que de deuterio (Figura 9.3.). El intercambio con los minerales formadores de rocas, afecta solamente al oxígeno 18, disminuyendo su concentración; el efecto contrario ocurre en aguas de alta temperatura, donde el intercambio con minerales llega a producir incrementos significativos solo de oxígeno 18. En medios fuertemente reductores, el gas sulfhídrico puede ser un importante componente del sistema geoquímico, de donde se pueden obtener cantidades bajas de deuterio. La hidratación de silicatos llega también a reducir el contenido de isótopos ambientales, sin embargo, de estos procesos solo la evaporación en cuerpos abiertos es común en el ciclo hidrológico.

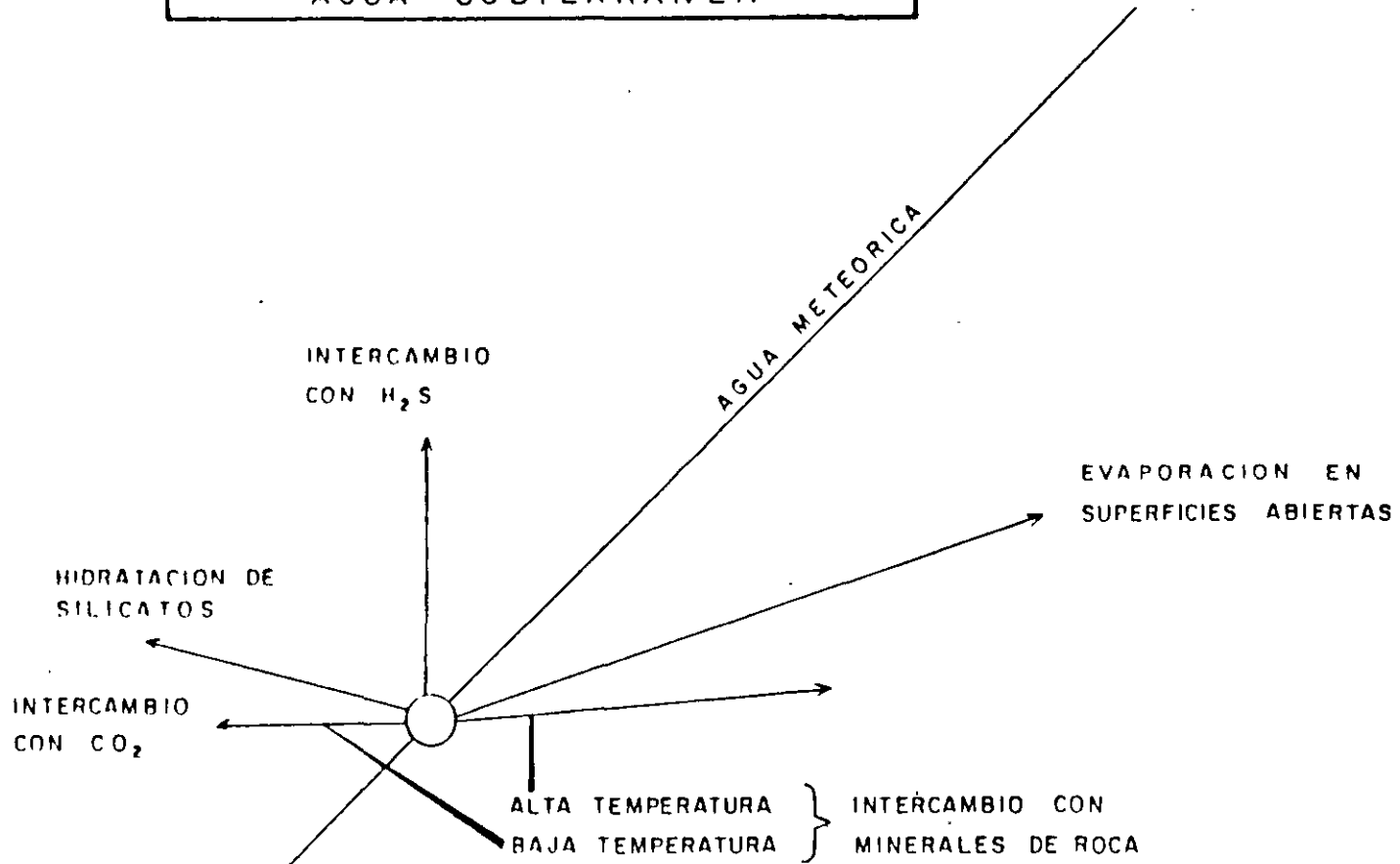
En la Figura 9.4. se muestra la relación de deuterio contra oxígeno 18 para las aguas naturales (Ferry and Polyakov, 1982), donde se marca: (1) La dirección del aumento en oxígeno 18 ocasionado por la interacción con minerales a altas temperaturas; (2) dirección del incremento isotópico por evaporación; (3) concentración del agua de mar; (4) línea meteórica mundial; (5) agua de zonas costeras; (6) agua de montañas e interior de continentes; (7) composición isotópica de nieve de altas montañas y polos; (8) nieve en el polo sur. Debido a que los elementos naturales son más ligeros que los isotópicos pesados (lo cual es una forma de expresar que los elementos ligeros tienen una mayor presión de vapor), al elevar la temperatura de un sistema y producir un cambio de estado, el sistema perderá preferente al elemento natural y se enriquecerá de isótopos. Los procesos de evaporación en el agua, repercuten directamente en el contenido isotópico de la precipitación pluvial, de acuerdo a ciertos patrones tales como variación estacional, latitud y altitud, lo cual se comenta a continuación:

9.4.1. VARIACION ESTACIONAL

Para el deuterio y el oxígeno 18 se presentan variaciones estacionales, que -

PROCESOS QUE PUEDEN MODIFICAR
LA COMPOSICION ISOTOPICA DEL
AGUA SUBTERRANEA

$\delta D \text{‰}$



DE: UNIVERSITY OF WATERLOO, 198.

FIGURA 9.3.

$\delta^{18}O \text{‰}$

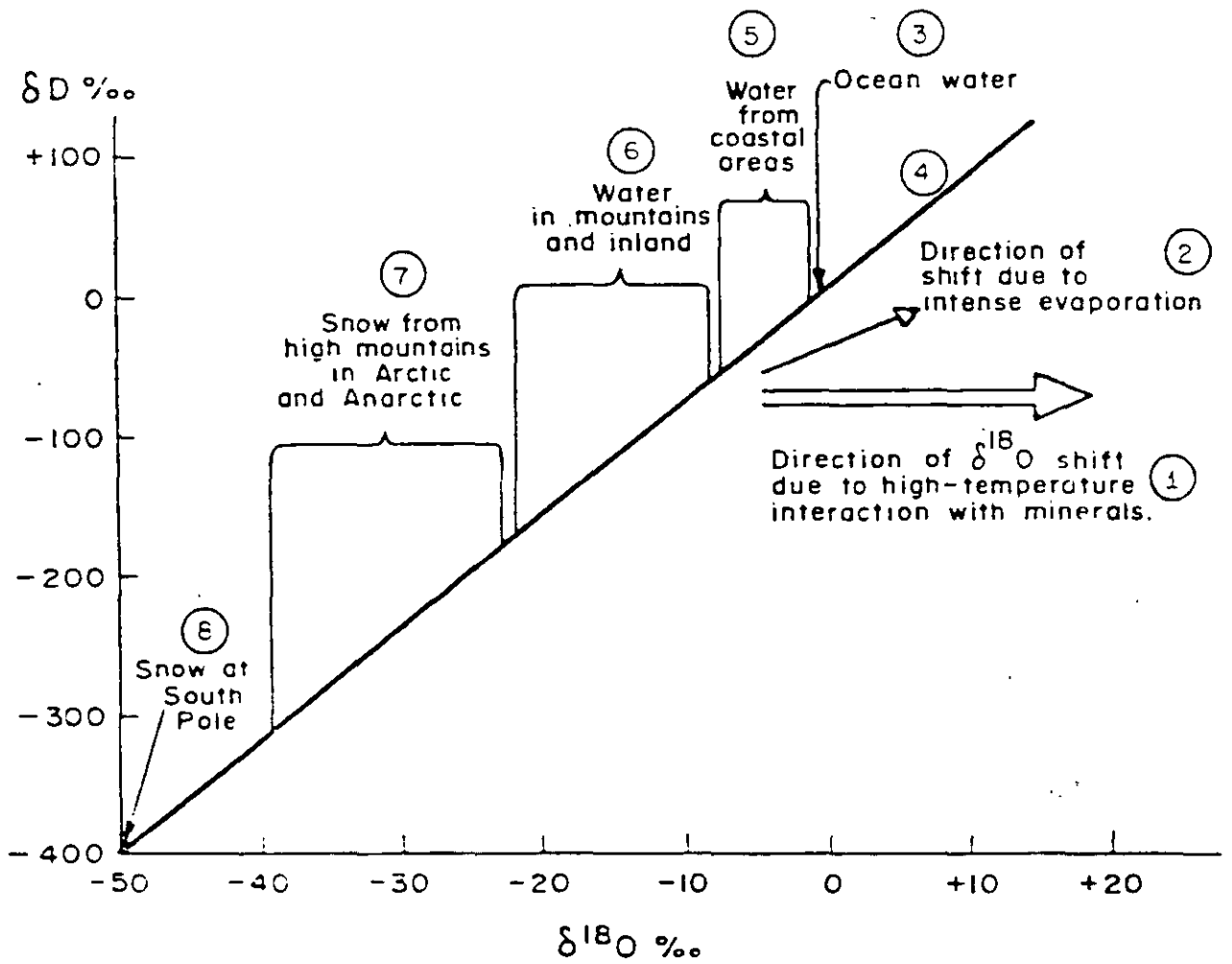


FIGURA 9.4.

DATOS DE FERENCSEY Y POLYAKOV, 1962

se han comprobado mediante mediciones que realiza el Organismo Internacional de Energía Atómica, donde se ha observado que, en general, los valores isotópicos aumentan en verano y disminuyen en invierno principalmente por la temperatura característica de estas épocas, lo que es el principal factor modificador del contenido isotópico del agua a lo largo del año. En la Figura 9.5. se presentan estas variaciones para la estación Nord. Groelandia.

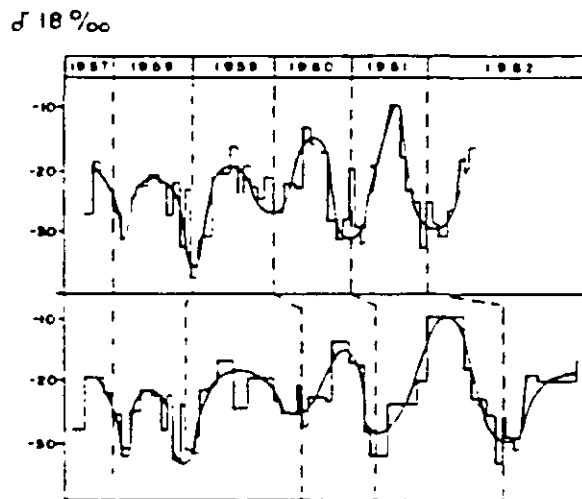


FIGURA 9.5. VARIACION ESTACIONAL DEL OXIGENO 18.
(MODIFICADA DE FONTES, J.C., 1966)

9.4.2. EFECTO POR LATITUD

Los isótopos varían también con la latitud, ya que la temperatura tiene influencia directa en su concentración. Se ha medido que, en las zonas tropicales, los valores de deuterio y oxígeno 18 son más altos y disminuyen hacia los polos. En general, existe una correlación entre el contenido de isótopos estables y la temperatura media anual, que a su vez está relacionada con la latitud. Para estaciones cercanas a los océanos y con temperaturas medias anuales en superficie (TA) menor de 10° C, se cumple que $\delta^{18}\text{O} = 0.69 \text{ TA} - 13.16\text{‰}$ y $\delta\text{D} = 5.6 \text{ TA} - 100\text{‰}$. Aunque esto se cumple exclusivamente para estaciones en las líneas de costa, ya que tierra adentro está sujeta a otros efectos.

En la Figura 9.6. se muestra la relación entre el oxígeno 18 y la temperatura media anual a diferentes latitudes y en la Figura 9.7. la concentración de deuterio en función de la latitud y altitud.

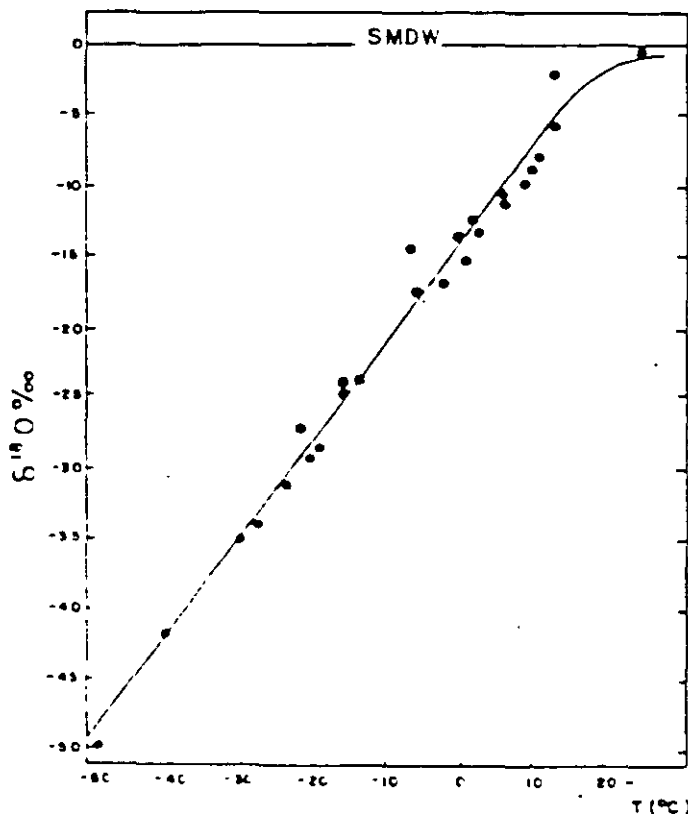


FIGURA 9.6. OXIGENO 18 CONTRA TEMPERATURA MEDIA ANUAL A DIFERENTES LATITUDES (FONTES, J.C., 1976)

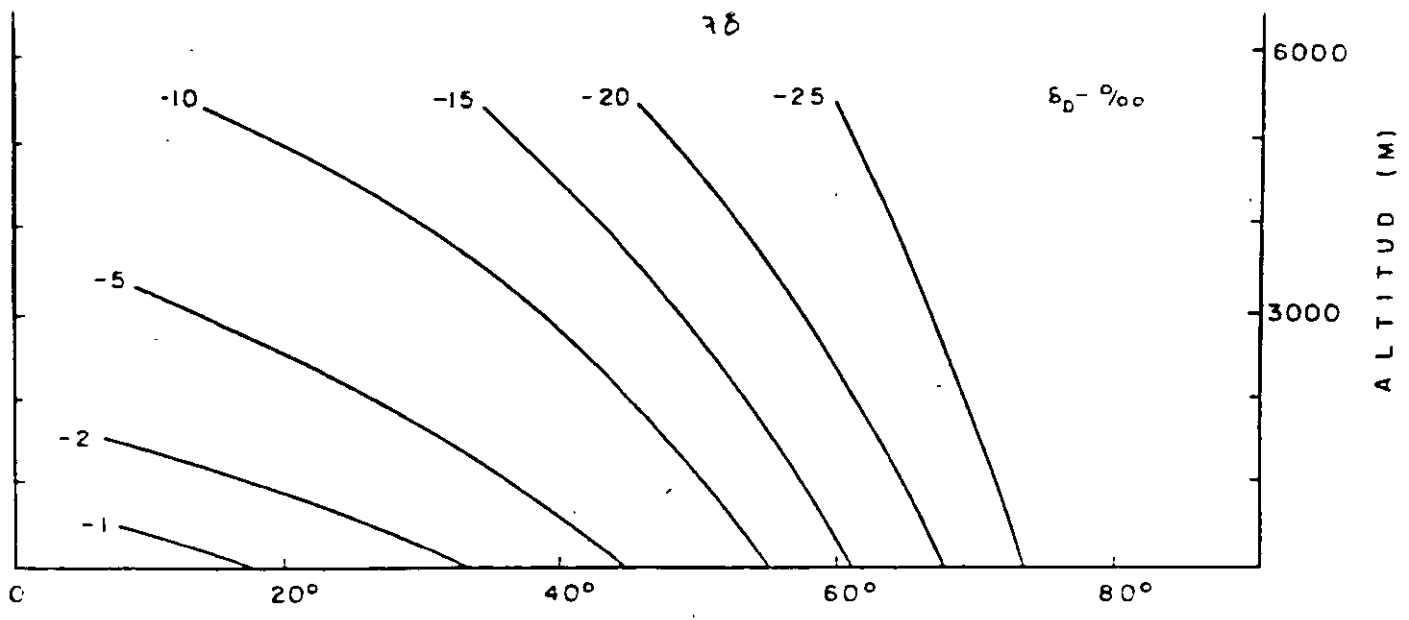


FIGURA 9.7. LATITUD, NORTE
 CONCENTRACION DE DEUTERIO EN
 FUNCION DE LA LATITUD Y ALTITUD
 (DANSGAARD, 1964)

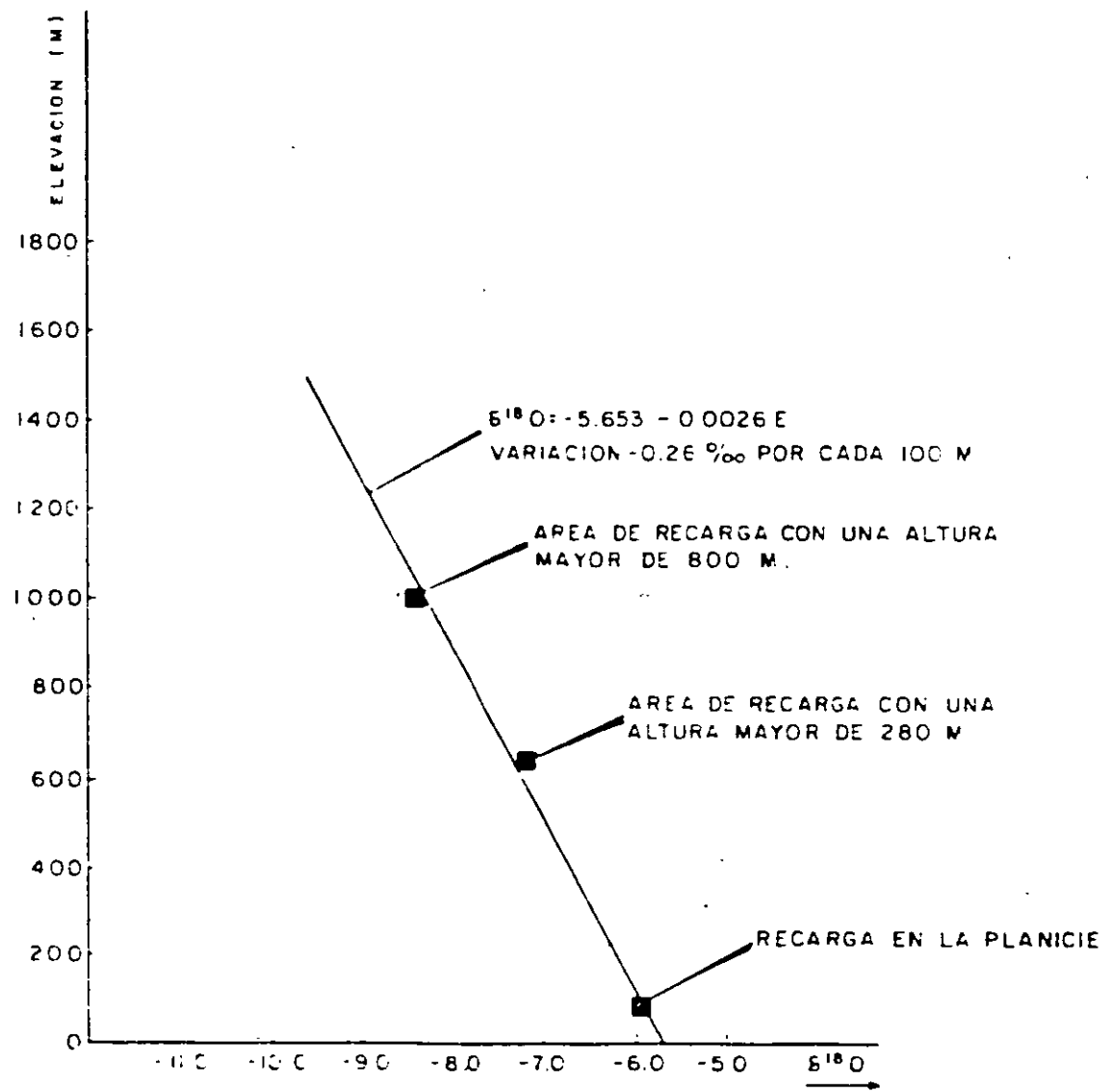


FIGURA 9.8 ALTURA DE RECARGA -vs- OXIGENO 18
 (DE PAYNE AND YURTSEVER, 1974)

9.4.3. EFECTO CONTINENTAL

El efecto continental indica que los valores de deuterio y de oxígeno 18 disminuyen conforme se interna en los continentes. Este hecho está asociado con la pérdida gradual de isótopos pesados a que están sujetas las masas de humedad durante su trayectoria desde los océanos. En la Figura 9.2. se muestran cambios en la concentración isotópica de la zona húmeda oceánica, hacia una zona más seca tierra adentro. En el proceso de condensación la fase gaseosa cede preferentemente sus isótopos pesados, quedándose con los más ligeros. Las masas de humedad de la atmósfera, al precipitarse en forma de lluvia, pierden gradualmente sus isótopos pesados conforme penetran en el continente.

9.4.4. EFECTO POR ALTITUD

Estos isótopos presentan también cambios con la altura, por las alteraciones isotópicas que causa la evaporación y el intercambio isotópico en la precipitación pluvial, los que son más notorios conforme mayor sea su trayectoria hasta llegar al suelo. Existe mayor empobrecimiento en isótopos conforme es mayor la altura de la zona donde ocurre la precipitación. De esta forma, es de esperarse que los contenidos de deuterio y de oxígeno 18 de la lluvia al nivel del mar, sean mayores que el de aquella agua que se precipita a mayor altura. En la práctica, se ha demostrado que es posible distinguir isotópicamente precipitaciones pluviales cuya diferencia de altura es de sólo 100 metros. Se han medido por varios autores, variaciones que fluctúan entre 0.16 y 0.7‰ de oxígeno 18, por cada 100 metros de altura. Latorre 1977, menciona variaciones de 0.3 a 0.7‰ (Figura 9.2.).

En la Figura 9.8. se muestra la relación del oxígeno 18 contra la altura de recarga en un ejemplo de Nicaragua.

9.4.5. EFECTO DE EVAPORACION

La evaporación del agua en espacios abiertos superficiales, es uno de los principales modificadores de su contenido isotópico. La intensa evaporación a que puede estar sujeta el agua, causa un enriquecimiento de isótopos y además, debido a que el proceso es violento, se produce fuera de equilibrio, lo que causa que la variación relativa del oxígeno e hidrógeno, no cumplan la misma relación que la línea meteórica mundial. En la práctica, se ha encontrado que el enriquecimiento isotópico causado por la evaporación en condiciones fuera-

de equilibrio, lo que causa que la variación relativa del oxígeno e hidrógeno, no cumplan la misma relación que la línea meteórica mundial. En la práctica, se ha encontrado que el enriquecimiento isotópico causado por la evaporación en condiciones fuera de equilibrio, tales como a las que están sujetas las presas o lagos y en general cuerpos de agua abiertos, tienen una correlación lineal dada por la siguiente ecuación $\delta D = (5 \pm 1) \delta^{18}O + C$

9.4.6. EFECTOS GEOTERMICOS

En campos geotérmicos los isótopos pueden presentar alteraciones. En general los cambios son muy lentos pero se aceleran al existir temperaturas elevadas. En este caso, el contenido de oxígeno 18 del agua sobrecalentada tiende a equilibrarse con el alto contenido de las rocas, especialmente de los silicatos y los carbonatos, mientras que el deuterio del agua no se altera. Esto, trae como consecuencia que se produzca una línea isotópica característica para los campos geotérmicos de ecuación $\delta D = (0 \pm 2) \delta^{18}O$.

9.5. METODO GENERAL DE INTERPRETACION

Los isótopos son utilizados para obtener un mejor y más claro conocimiento del flujo del agua subterránea, así como para inferir su historia a través del subsuelo. Mediante su interpretación se pueden identificar zonas de recarga; generalmente los valores más bajos indican puntos de recarga a gran altitud y bajo condiciones climáticas brías. Pueden diferenciarse los sistemas de flujo regionales de los flujos locales; se pueden identificar aguas que han estado expuestas a evaporación en cuerpos abiertos superficiales, así como mezclas de los diferentes tipos de aguas mencionados anteriormente. Esto es posible por las especiales características de los isótopos estables que se han venido mencionando, en especial debido a que tanto el isótopo como el elemento "normal", tienen las mismas propiedades físicas y químicas, o sea que, entre otras cosas, la disolución natural de sales por el agua no modifican el contenido isotópico, a menos que exista algún efecto de evaporación u otro de los mencionados anteriormente.

En la Figura 9.3. se muestra el método general de interpretación que se sigue al graficar el deuterio contra el oxígeno 18. La línea meteórica mundial se utiliza como referencia en la mayor parte de las interpretaciones isotópicas. El agua de lluvia, al evaporarse en cuerpos abiertos en la superficie, llega a presentar contenidos altos de isótopos pesados, los cuales se ubicarán a la derecha de la gráfica; las mezclas entre agua del acuífero y agua evaporada, se encontrará sobre una recta que une al agua de lluvia con la zona típica de agua evaporada.

Algunos procesos que ocurren dentro del ciclo hidrológico llegan a modificar el balance relativo de los elementos nucleares. Sin embargo, esta alteración obedece a patrones definidos y lejos de representar una desventaja, cuando las condiciones son favorables, los procesos a los que ha estado sujeta permiten rastrear su evolución.

9.6. TRITIO

El exceso de neutrones de los isótopos de una familia provoca, en algunos casos, cierta inestabilidad que trae como consecuencia que el isótopo tienda a cambiar después de cierto tiempo su estado o composición. A estos isótopos se les llama radioactivos o radioisótopos.

Emiten rayos alfa, beta o gama, lo cual produce el efecto denominado decaimiento radioactivo. Se ha demostrado experimentalmente que si se tiene una muestra estadísticamente representativa de un radioisótopo, el decaimiento del conjunto no es al azar, sino que obedece a una ley exponencial en función del tiempo, lo cual permite cuantificar su radioactividad y en base a ello determinar edades cortas, de hasta 50 años. Para edades de varias decenas de miles de años, se utiliza el carbono 14, que es otro isótopo radioactivo. Esta misma propiedad de decaimiento radioactivo, es utilizada en geología para la datación de rocas, donde la edad se deduce a partir de las relaciones isotópicas rubidio-estroncio y potasio-argón. En la Tabla 9.1. se presentan los isótopos más comunes.

El decaimiento estadístico obedece a una ley exponencial en función del tiempo, la cual se expresa como $x = x_0 e^{-\lambda t}$; donde x_0 es el número inicial de radioisótopos originales y x el número de radioisótopos que quedan después de un cierto tiempo t ; λ es una constante de decaimiento.

Se define como vida media ($T_{1/2}$) el tiempo en que decae la concentración de un isótopo a la mitad de su concentración original. La vida media del tritio es de 12.26 años.

El valor de la constante de decaimiento en función de la vida media es:

$$\lambda = \frac{0.693}{T_{1/2}}$$

donde llega a formar parte de las nubes y se precipita en forma de lluvia. Los átomos de hidrógeno son bombardeados por neutrones cósmicos que son incorporados al núcleo del hidrógeno, formando el tritio. La cantidad de tritio que se forma en la atmósfera es de alrededor de 0.25 átomos por segundo por centímetro cuadrado (Lai and Peters, 1962). Ciertas actividades del hombre, como son las explosiones nucleares, han incrementado la cantidad de tritio en la atmósfera, ocasionando la presencia de concentraciones variables en tiempo y en espacio.

Las determinaciones de tritio o de otros isótopos radioactivos se realizan mediante técnicas químicas altamente especializadas y son difíciles de detectar. Bajos valores de tritio requieren ser concentrados por electrolisis y contados por centelleo líquido.

El tritio se expresa en unidades de tritio U.T., lo cual se define como la concentración en la que existe un átomo de tritio por cada 10^{18} átomos de hidrógeno.

Una unidad de tritio es equivalente a 7.2 desintegraciones por minuto en un litro de agua, o bien a 2.1 picocuries por litro.

El contenido del tritio producido en forma natural es del orden de 10 U.T. Como consecuencia de las pruebas nucleares, en 1963 se llegó a detectar concentraciones de hasta 6000 U.T. en la estación de Ottawa, Canadá y 3700 U.T. en Colorado, E.U. (Figuras 9.9. y 9.10.). Su concentración ha venido disminuyendo; actualmente en la Ciudad de México, se detectan concentraciones de tritio en el agua de lluvia del orden de 3 U.T. (P. Morales, Comunicación Personal). El movimiento de masas de aire produce una variación estacional de tritio, en la que en el hemisferio norte se encuentran valores máximos durante el verano y mínimos durante el invierno, como se puede observar en la Figura 9.9.

El tritio varía también con la latitud. Por lo general, se observa que en el hemisferio norte su concentración es mayor y de forma similar que sus valores en los continentes son mayores que en los océanos, lo cual se ilustra en la Figura No. 9.11., donde se marca la distribución mundial de tritio para el año de 1963. Nótese que actualmente debe de presentar variación, debido al decaimiento radioactivo.

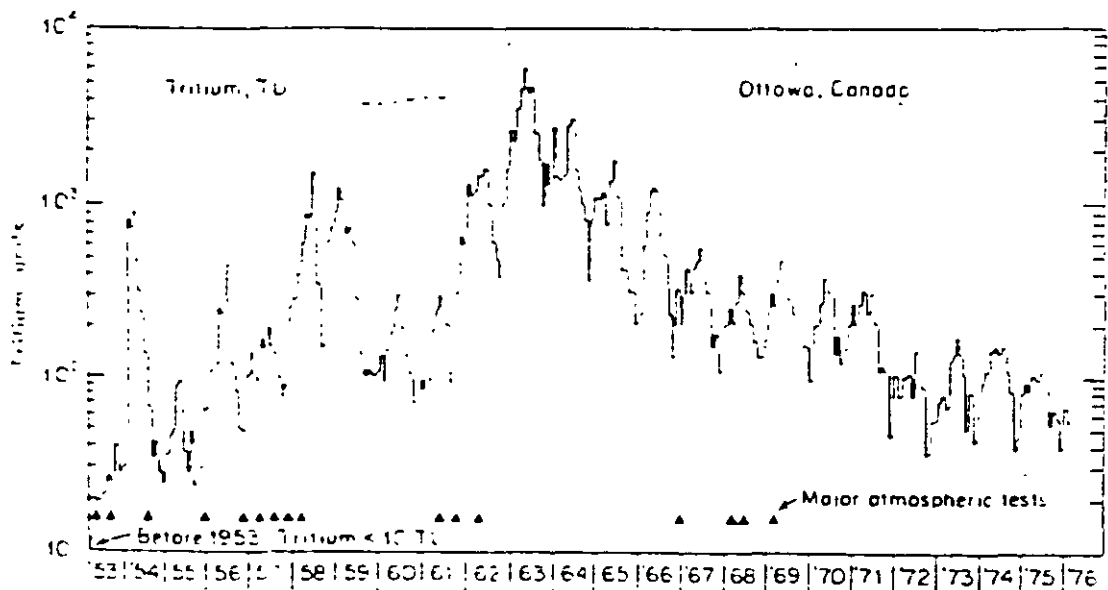
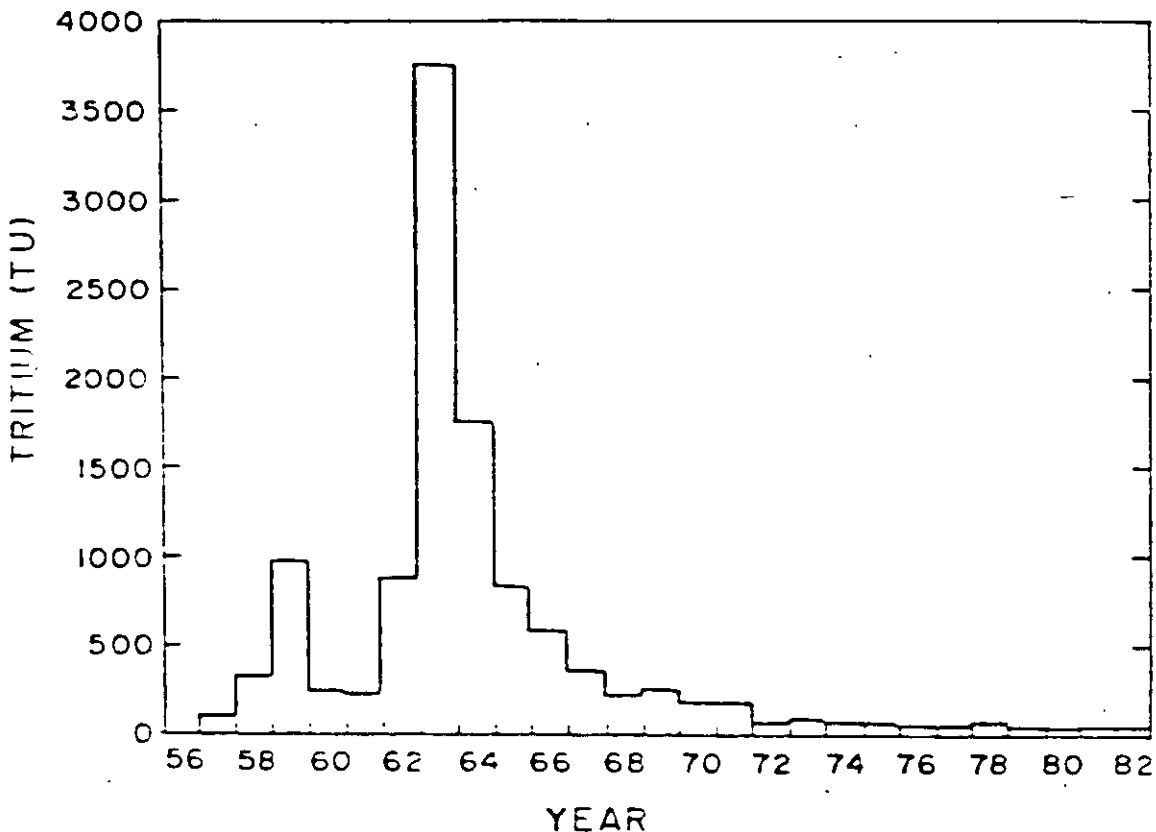


Fig. 9.9. IX. Freeze and Cherry, 1979

Antes de las explosiones atómicas de principios de la década de los 50's, la cantidad de tritio en el agua de lluvia era de 5 a 15 U.T.; debido al decaimiento radioactivo, el agua que se infiltró en esa fecha, contiene ahora, teóricamente de 0.6 a 2 U.T. (el límite de detección del tritio es de ± 0.2 U.T., o sea que si el agua muestreada y analizada por tritio contiene menos de 2 U.T., podemos inferir que se trata de agua precipitada hace más de 35 ó 40 años y se puede denominar "agua antigua", en contraste con la que presenta concentraciones mayores de 2 U.T. y que se denomina "agua moderna". Con las explosiones atómicas que se realizaron en la década de los 50 y hasta 1963, la cantidad de tritio en la atmósfera aumentó considerablemente, para llegar a tener en nuestro país alrededor de 180 U.T. Por lo tanto, si aplicamos el factor del decaimiento radioactivo al agua de lluvia que recargó los acuíferos entre 1952 y 1963, obtenemos que actualmente tiene entre 22 y 45 U.T.

Posteriormente a 1963, la cantidad de tritio en la atmósfera ha ido decreciendo para aparentemente estabilizarse en nuestros días en 5 y 10 U.T. En la Figura 9.12. se ilustra la posible edad del agua de acuerdo a su contenido actual de tritio, siempre y cuando no hayan existido mezclas.

Fig. 9.10. Promedio Anual de Tritio en Agua de Lluvia y Nieve, en los Estados de Arizona, Colorado, - Nuevo México y Utah. (de: Davis, 1985).



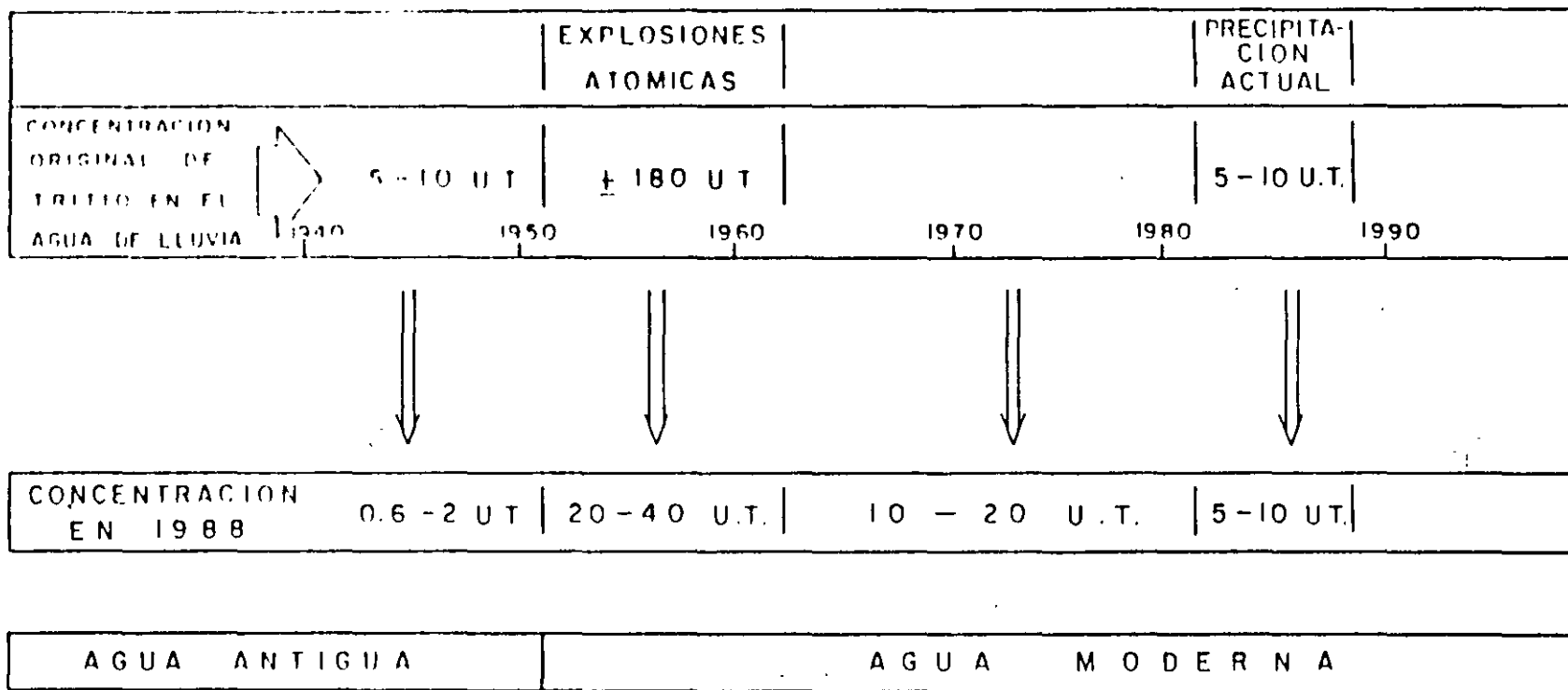


FIGURA 9.12. CONCENTRACION ACTUAL DEL TRITIO EN AGUAS INFILTRADAS EN LOS ÚLTIMOS 40 AÑOS.

R E F E R E N C I A S

- Beiser A., 1970. Concepts of Modern Physics. Ed. McGraw Hill.
- Burdon, D. J., Et Al. 1963. The use of Tritium in Tracing Karst Ground- - water in Greece; in Radioisotopes in Hydrogeology IAEA Symposium, Tokyo, pp 309-320.
- Cortés A., 1986. Aplicación de la espectrometría de masas y técnicas isotópicas para la determinación de oxígeno 18 y deuterio en problemas hidrológicos. Tesis Profesional, U.N.A.M.
- Cortés A., and Farvolder, R. N. 1988. Isotope studies of precipitation and Groundwater in the Sierra de Las Cruces, Mexico. Submitted to Journal of Hydrogeology.
- Coleman, D. D., Meents, V. F., Liu, C-L; and Keogh, R.A. 1977. Isotopic - identification of leakage gas from Underground storage reservoirs A progress report. Illinois State Geol. Survey, Illinois Petroleum.
- Custodio, E. 1976. Trazadores y Técnicas Radioisotópicas en Hidrología Subterránea; en Hidrología Subterránea Sección 12 Vol. 1, Editado - por E. Custodio y M. R. Llamas; Ediciones Omega, Barcelona, España, pp. 1165-1311.
- Craig, H. 1961. Isotopic Variation in Meteoric Waters. Science 133, pp. 1702-1703.
- Craig, H., 1961. Standard for Reporting Concentrations of Deuterium and - Oxygen 18 in Natural Waters. Science 133, p. 1830.
- Davis, E. N., and Bentley, H. W. 1961. Dating Groundwater, a short review In: Nuclear and Chemical Data Techniques, Lloyd Curie, Ed., Am. Chemical Society Symposium Series No. 176, Chapter 11, p.p. 187-222.
- Davis, E. N., Campbell, J.S., Bentley, H. W., and Flynn, T. J., 1985. Ground Water Tracers. Publis. by the National Water Well Association. 211 p.

- Drever, J. I. 1988. The Geochemistry of Natural Waters. Second Edition. Prentice Hall. 437 p.
- Dansgaard, W. 1964. Stable Isotopes in Precipitation. Tellus, Vol 16,4 pp 436-468.
- Ehhalt, R., Knott, K., Naege, J.F., Vogel, J.C., 1963. Deuterium and Oxygen 18 in Rainwater, J. Geophys. Res. 68. p. 3775.
- Epstein, S., Mayeda, T.K., 1963. Variations of the $^{18}\text{O}/^{16}\text{O}$ Ratios in Natural Waters. Geochim. Cosmochim. Acta 4, 213 p.
- Friedman, I., 1953. Deuterium Content of Natural Waters and Other Substances. Geochim. Cosmochim. Acta 4, 89.
- Fritz, F., Drimmie, R. J., Render, F. W. 1975. Stable Isotope Contents - of a major Prairie Aquifer in Central Manitoba, Canada. Isotope Techniques on Groundwater Hydrology. Proc. Symp. Vienna IAEA.
- Ferronsky, V. I., and Polyakov, V. A., 1982. Environmental Isotopes in the Hydrosphere. John Wiley and Sons, Interscience Publications New York, 466 p.
- Fritz, F., and J. Ch. Fontes (eds). 1980. Handbook of Environmental Isotope Geochemistry, Vol. 1, The Terrestrial Environment A. Elsevier, 545 pp.
- Fritz, F. 1984. Environmental Isotope Hydrogeology. Tools to Complement the Classical Techniques of Physical Hydrology and Geochemistry. University of Waterloo.
- Fritz, F., and J. Ch. Fontes (eds). 1980. Handbook of Environmental Isotope Geochemistry, Vol. 2, The Terrestrial Environment B. Elsevier, 557 pp.
- Fritz, F., Drimmie, R. J., Fritze, S. K., and C SHEA, K. (1987) The Isotopic Composition of Precipitation and Groundwater in Canada. In: International Symposium on the use of Isotope Techniques in Groundwater Resources Development. IAEA, Vienna, Austria.

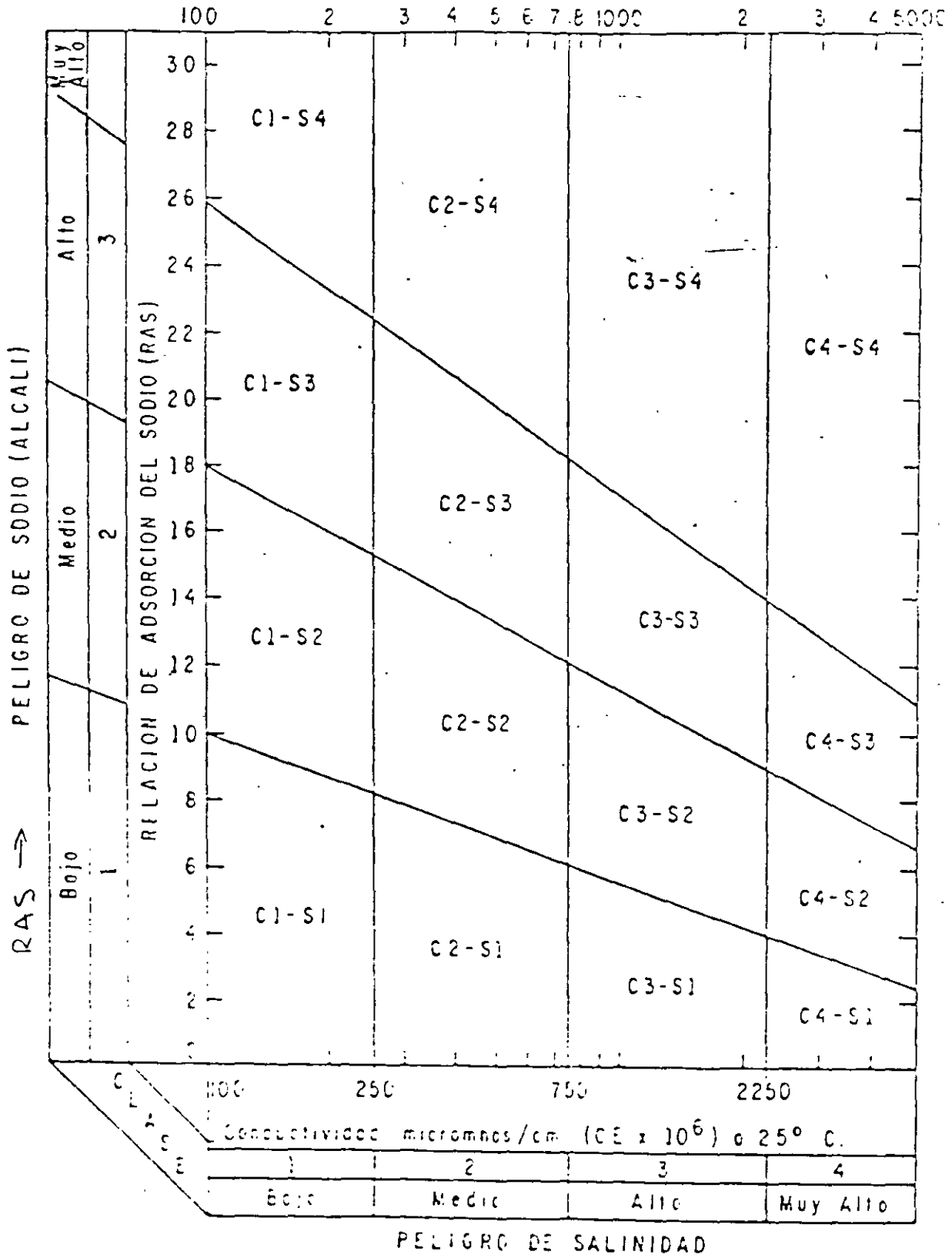
- Fontes, J. C., and Fritz, P. 1975. Isotope Hydrology 1974. A review of - the IAEA Symposium on Isotope Techniques in Groundwater Hydrology. Earth and Planetary Science Letters, Vol. 4, pp. 321-324.
- Fontes, J. C., 1980 Environmental Isotopes in Groundwater Hydrology: Handbook of Environmental Isotope Geochemistry. Elsevier Scientific Publishing Co., Amsterdam, Vol. 1, 75 p.
- Fox, C.S. 1952. Radioactive Isotopes Trace Underground waters. Public - Works, Vol 83, pp 57-58.
- Freeze, R. A. and Cherry, J. A. 1979. Groundwater. Prentice Hall. 604 p.
- Friedman, I., Redfield, A. C., Schoer, B., Harris, J. 1964. The Variation of the Deuterium Content of Natural Waters in the Hydrologic - Cycle. Rev. of Geophysics, V. 2, No. 1.
- Garlick, G. D. 1974. The stable isotopes of oxygen, carbon, and hydrogen in the marine environment. In The Sea, Vol. 5, E. D. Goldberg ed Wiley-Interscience, New York, pp. 393-425.
- Gonfiatini, R., Grattan, S. and Tongiorgi, E. 1965. Oxygen Isotopic Composition of Water in Leaves. In: Isotopes and Radiation in soil-plants. Nutrition Studies. Proc. IAEA Symp. Vienna, pp. 405-410.
- International Atomic Energy Agency. 1968. Guidebook on Nuclear Techniques in Hydrology. Tech. Report. Series No. 91.
- International Atomic Energy Agency, 1973. Nuclear Techniques in Ground- - Water Hydrology. In Groundwater studies: UNESCO, Paris, Sections 10.3-10.4, 35 p.
- IAEA. 1960. Stable Isotope Hydrology. Technical Report Series 210 IAEA, - Vienna, p: 177.
- Instituto de Investigaciones Eléctricas, 1985. Estudio Hidrogeoquímico - de Acuíferos. Contrato 1-85-1-116. DGCOB. D.D.F.

- Latorre, C. 1978. Aplicación de las Técnicas de Isótopos Ambientales al = Estudio del Agua Subterránea. Informe Inédito, S.A.R.H.
- Latorre, C., Lesser, J.M., Quijano, L. y Payne, E. 1980. Isótopos Ambientales Aplicados al Estudio de la Interconexión de los Acuíferos Calizos y de rellenos en la Región Lagunera de Coahuila-Durango, México. Interamerican Symposium on Isotope Hydrology. Bogotá, Colombia, p.p. 135-148.
- Lesser, J. M. 1974-1980. Aplicación de Isótopos Ambientales en el Estudio de los Acuíferos de: Durango, Sierra del Burro, Coah., Cuautla, Mor., Río Atoyac, Pue., Río Fuerte, Sin., Altiplano Mexicano, - Presa San Ildelfonso, Oro., Valle de Tlacolula, Oax., Piedras - Negras, Coah., y San Ciró, S.L.P. Informes Inéditos. Biblioteca de la Dirección de Aguas Subterráneas, S.A.R.H.
- Lesser, J. M. 1979. Apuntes de Hidrogeoquímica. División de Educación Continua, Facultad de Ingeniería, UNAM.
- Lesser, J. M. 1984. Aplicación de Isótopos Ambientales en los Alrededores del Río San Lorenzo, Sin. Boletín de Difusión Técnica y Científica No. 2; Asociación Geohidrológica Mexicana.
- Lesser, J. M., Sánchez, L.F., y González, D. 1986. Hidrogeoquímica del - Acuífero de la Ciudad de México. Ingeniería Hidráulica en México, Vol. 1, Número 4.
- Lesser, J.M. 1987. Dictamen Geohidrológico-Isotópico para definir el funcionamiento y zonas de recarga del campo de pozos del área denominada Opa de Agua de Tlacolula, Municipio de Tlaxiaco, Coah. Seminario de Hidrología Isotópica. IABH-UNAM, México.
- Lesser y Asociados, S. A. 1981. Estudio Isotópico del Acuífero del Valle de México. Eliterra para la I.A.G.H.C.H. del D.F.
- Lesser y Asociados, S. A. 1984. Evaluación del Comportamiento Hidrogeoquímico de Desechos Sólidos y Líquidos sobre el Acuífero del Valle de México. Contrato G-30-1-0890, D.G.C.C.H. - D.F.

- Lesser y asociados, S. A. 1986. Actividades Geohidrológicas en el Valle de México. Informe del Contrato 6-33-1-0196. D.G.C.O.H. - D.D.F.
- Lesser, J.M. 1986. Técnicas isotópicas Aplicadas a la Geohidrología. Apuntes del Curso de la División de Educación Continua de la Facultad de Ingeniería, UNAM.
- Lesser y Asociados, S. A. 1986. Piezometría y Balance Geohidrológico del Valle de México. Informe del Contrato 6-33-1-0319. D.G.C.C.H. D.D.F.
- Lesser y Asociados, S. A. 1986. Aplicación de Isótopos Ambientales en la Zona de Monclova, Coah. Informe para Altos Hornos de México.
- Libby, W.F. 1961. Tritium Geophysics. Jour. Geophys. Research, Vol. 66, - p.p. 3767-3781.
- Loosly, H.N., and Oeschger, H. 1978. Argon 39, Carbon 14, and Krypton 85 Measurements in Groundwater samples. In: Isotope Hydrology 1978. IAEA, Vienna, Vol. 2, p.p. 931-945.
- Matsuo, S., Friedman, I. 1967. The Deuterium Content of Fractionally Collected Rainwater, J. Geophys. Res. 72 p. 6347.
- O'Neil, J.R. 1979. Stable isotope geochemistry of rocks and minerals. In Lectures in Isotope Geology, E. Jager and J. C. Hunziker, eds.- Springer-Verlag, New York, p.p. 236-261.
- Payne, B.R. 1971. Isotopes and Water. Advances in Hydroscience, Vol. 6.
- Payne, B.R., and Sorensen, P. 1977. Environmental Isotopes as a Hydrogeological Tool. In: Proceedings of the 1977 International Symposium on Groundwater Isotopes, IAEA, Vienna, 1977, Vol. 1.
- Payne, B.R., and Sorensen, P. 1977. Los Isótopos Ambientales y el Origen de la Escala de la Salinidad de las Aguas Subterráneas del Valle de México. En la Montaña de San Luis, México, Reporte Interno, Grupo de Estudios I.A.E.A.
- Pearson, D.S., Jr., and T. E. Cooper 1978. Stable isotope studies of lakes- Chemistry, Geology, Physics. A. Lerman, ed., Springer-Verlag, New York, p.p. 311-317.

- Sheppard, S., Nielsen, R. and Taylor, H.P., Jr., 1969. Oxygen and hydrogen isotope ratios of clay minerals from porphyro copper deposits. *Econ. Geol.*, Vol. 64, p.p. 755-777.
- Smith, D.B., 1973. Flow Tracing using isotopes. Groundwater pollution in Europe. Proc. Reading Conf., Water Research Association, p.p. 241-250.
- Vogel, J. C., Thild, L., Van Dijken, M. 1974. Determination of Groundwater Recharge With Tritium. *Journal of Hydrology*, Vol. 23, p.p. 131-140
- Waterloo University. 1987 . . Apuntes de
- Yurtsever, Y., Gat, J. R. 1981. Atmospheric Waters in Stable Isotope Hydrology, Technical Reports Series No. 210, IAEA, Vienna, p.p. 103-142.
- Zunzi, G. M., Fontes, 1974. Isotope Techniques in Groundwater Hydrology 1, IAEA, Vienna.

CLASIFICACION DE AGUAS PARA RIEGO



$$RAS = \frac{Na}{\frac{Ca+Mg}{2}}$$

EN me/l

FIGURA 6.1.

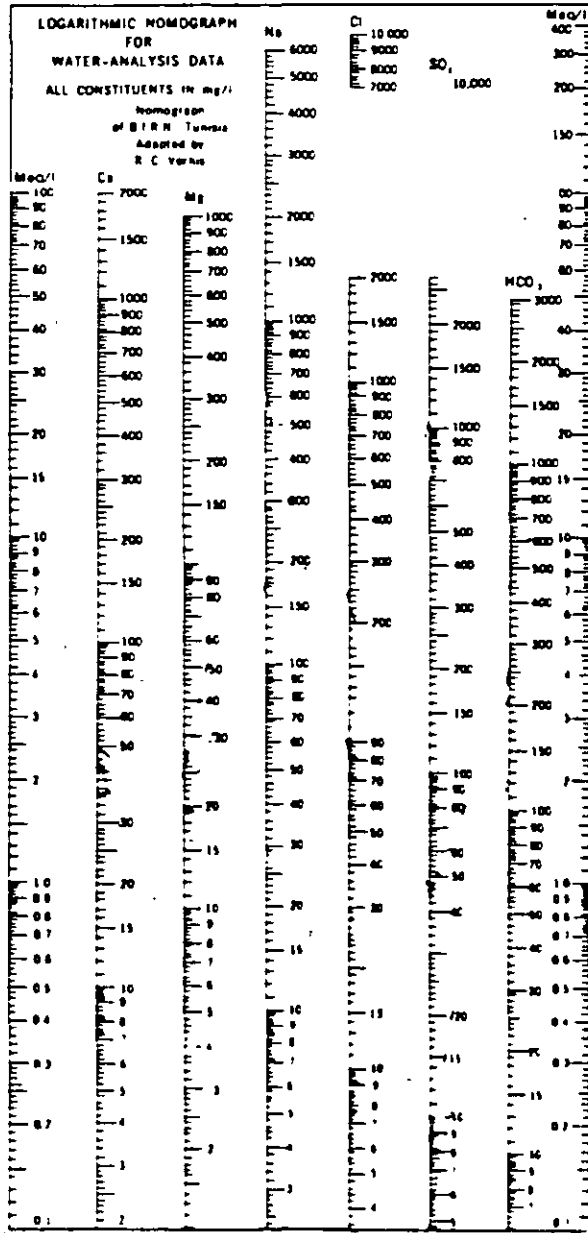


FIGURE 26 - Analysis represented by logarithmic plotting of concentration in milligrams per liter.

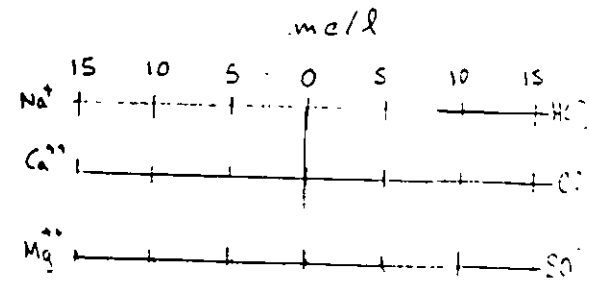


TABLE 9.—Conversion factors: Milligrams per liter $\times F_1$ = milliequivalents per liter; milligrams per liter $\times F_2$ = millimoles per liter (based on 1961 atomic weights, referred to carbon-12)

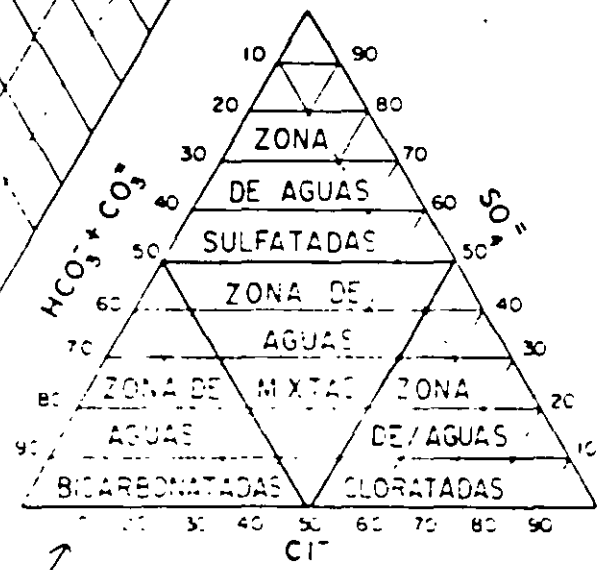
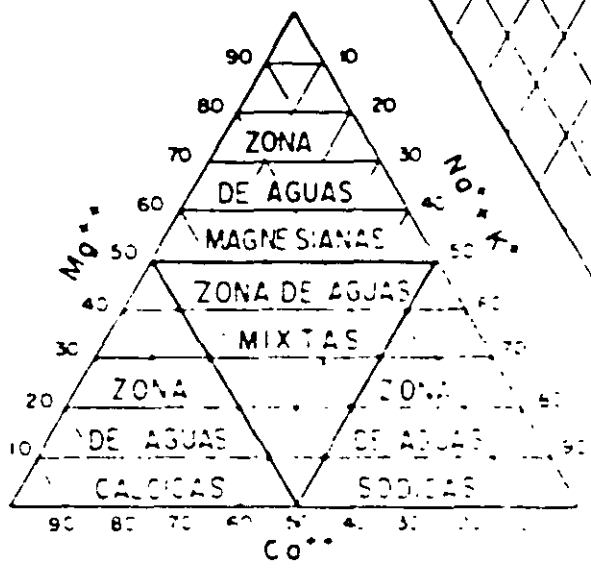
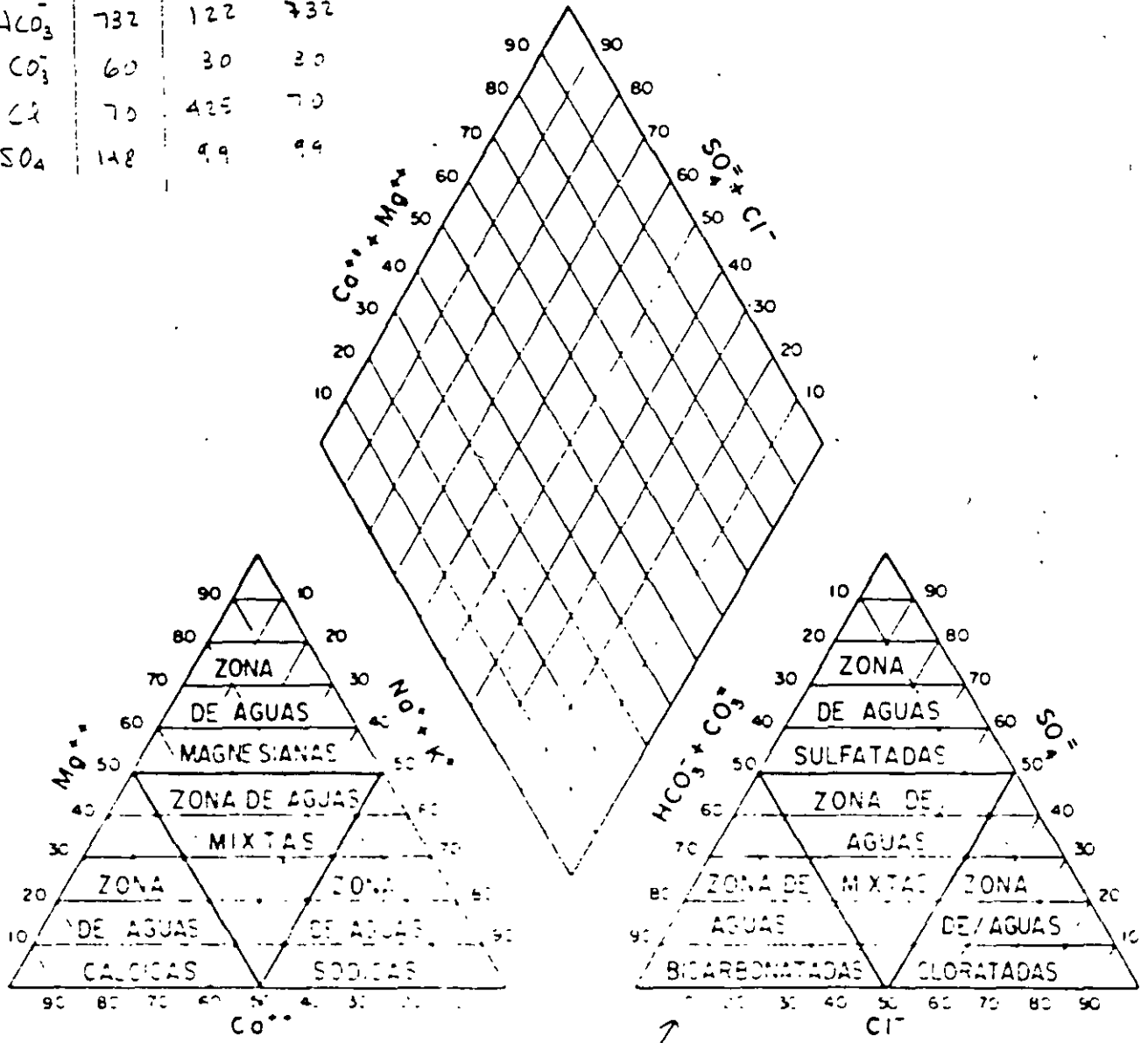
Element and reported species	F_1 $\sqrt{}$	F_2
Aluminum (Al ⁺³)	0.11119	0.03715
Ammonium (NH ₄ ⁺)	.05544	.05544
Barium (Ba ⁺²)	.01456	.00728
Beryllium (Be ⁺²)	.33288	.11096
Bicarbonate (HCO ₃ ⁻)	.01639	.01639
Boron (B)		.09250
Bromide (Br ⁻)	.01251	.01251
Cadmium (Cd ⁺²)	.01779	.00890
Calcium (Ca ⁺²)	.04990	.02495
Carbonate (CO ₃ ⁻²)	.03333	.01666
Chloride (Cl ⁻)	.02821	.02821
Chromium (Cr)		.01923
Cobalt (Co ⁺²)	.03394	.01697
Copper (Cu ⁺²)	.03148	.01574
Fluoride (F ⁻)	.05264	.05264
Germanium (Ge)		.01378
Gallium (Ga)		.01434
Gold (Au)		.00511
Hydrogen (H ⁺)	.99209	.99209
Hydroxide (OH ⁻)	.05880	.05880
Iodide (I ⁻)	.00788	.00788
Iron (Fe ⁺²)	.03581	.01791
Iron (Fe ⁺³)	.05372	.01791
Lead (Pb)		.00483
Lithium (Li ⁺)	.14411	.14411
Magnesium (Mg ⁺²)	.08226	.04113
Manganese (Mn ⁺²)	.03640	.01820
Molybdenum (Mo)		.01042
Nickel (Ni)		.01703
Nitrate (NO ₃ ⁻)	.01613	.01613
Nitrite (NO ₂ ⁻)	.02174	.02174
Phosphate (PO ₄ ⁻³)	.03159	.01053
Phosphate (HPO ₄ ⁻²)	.02084	.01042
Phosphate (H ₂ PO ₄ ⁻)	.01031	.01031
Potassium (K ⁺)	.02557	.02557
Rubidium (Rb ⁺)	.01170	.01170
Silica (SiO ₂)		.01664
Silver (Ag)		.00927
Sodium (Na ⁺)	.04350	.04350
Strontium (Sr ⁺²)	.02283	.01141
Sulfate (SO ₄ ⁻²)	.02082	.01041
Sulfide (S ⁻²)	.06238	.03119
Titanium (Ti)		.02088
Uranium (U)		.00420
Zinc (Zn ⁺²)	.03060	.01530

Geochemists, however, have sometimes preferred to express analytical data for water in terms which they believed were more directly comparable to rock-composition data. To this end they have expressed analyses in terms of the percentage of each element or ion in the anhydrous residue remaining after evaporating the water. Clarke (1924 a, b) used this reporting procedure, usually with a value for total dissolved-solids concentration and percentages of the components which he termed "percentage composition of anhydrous residue."

mg/l

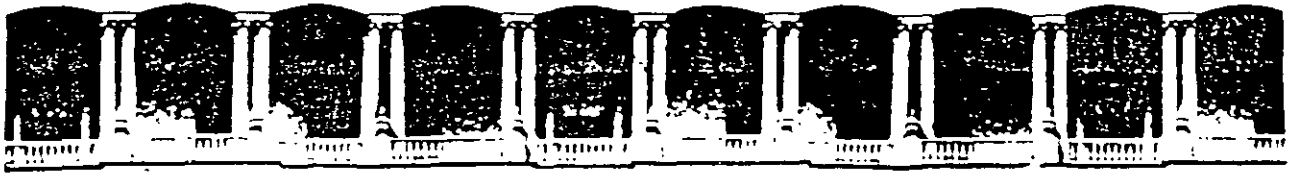
DIAGRAMA TRIANGULAR

	①	②	③
Ca ⁺⁺	260	20	240
Mg ⁺⁺	60	24	24
Na ⁺	23	321	69
HCO ₃ ⁻	732	122	732
CO ₃ ⁻	60	30	20
Cl ⁻	70	425	70
SO ₄	148	99	99



↖
% de meq/l

FIG. - 35.



**FACULTAD DE INGENIERIA U.N.A.M.
DIVISION DE EDUCACION CONTINUA**

CURSOS ABIERTOS

**X CURSO INTERNACIONAL
CONTAMINACIÓN DE ACUIFEROS**

MÓDULO I:

GEOHIDROLOGÍA

TEMA :

***LOS FENÓMENOS DE SUCCIÓN, DIFUSIÓN, DISPERSIÓN Y
FILTRACIÓN A TRAVÉS DE LA PROSPECCIÓN GEOELÉCTRICA***

**PRESENTADO POR: ING. ALFONSO ÁLVAREZ MANILLA ACEVES
SEPTIEMBRE 1998**

LOS FENOMENOS DE SUCCION, DIFUSION, DISPERSION Y FILTRACION A TRAVES DE LA PROSPECCION GEOELECTRICA.

** José Alfredo Zepeda Garrido

* Alfonso Alvarez Manilla Aceves

UNIVERSIDAD AUTONOMA DE QUERETARO

Centro Universitario 76000, Querétaro, Qro.

Tel. (42) 163945

RESUMEN: Para llegar al estado del conocimiento actual de los suelos no saturados, ha sido necesario adentrarse en los ámbitos de la Fisicoquímica, Fisiología, Electroquímica y la Mecánica Variacional de Sólidos y Fluidos. En el presente escrito serán mostrados los conceptos inherentes al transporte y flujo (succión, difusión, dispersión, advección, filtración) en la zona vadosa y su monitoreo mediante la prospección geoelectrónica. Dada la naturaleza del transporte y flujo, ambos fenómenos pueden ser considerados transientes (variables en el tiempo).

Los fenómenos de filtración, advección, dispersión, difusión y succión están gobernados por las propiedades fisicoquímicas de los suelos y fluidos, e historia en el contenido de humedad. Cuando el flujo y transporte han alcanzado el estado de equilibrio hidrostático; en la zona no saturada sólo existirán cambios por evapotranspiración y reacciones bioquímicas; por lo que adquiere gran importancia la succión osmótica (dependiente de las sales y lixiviados). Cuando en la zona vadosa o no saturada existe la presencia de contaminantes, entonces el agua, los gases, la fase líquida no acuosa (NAPL) y la fase densa líquida no acuosa (DNAPL) estarán contenidos en los poros y capilares, el flujo a escalas macro y micro queda supeditado a una variedad de transformaciones biológicas, físicas y químicas entre los solutos y el solvente.

La permeabilidad $K(\psi)$ para suelos no saturados no es una sola; depende de la humedad volumétrica en función de la succión $\theta = f(\psi)$, fase del fluido, grado de saturación y magnitud de los gradientes negativos

El estado de esfuerzos en un suelo no saturado es alterado por los cambios fisicoquímicos provocados por el flujo del contaminante, donde la succión osmótica adquiere mucha importancia. La energía liberada de los cambios mencionados es de dos tipos: eléctrica y térmica; lo que hace posible utilizar técnicas indirectas de exploración - geoelectricidad y termometría - para su estudio, son no destructivas y su aplicación puede ser en superficie o pozo

Los métodos geofísicos complementarios a la mecánica de suelos en el estudio de transporte, flujo y succión en la zona vadosa son potencial natural, polarización inducida y el de resistividad. Los métodos radiactivos hechos en registros de pozos, han permitido medir la filtración de agua y lixiviados por medio de la atenuación de los rayos gamma y neutrón

** Profesor de la DEP de la FI de la Universidad Autónoma de Querétaro, México.

* Alumno de la DEP de la FI de la Universidad Autónoma de Querétaro, México.

1.0 AGUA DEL SUELO

Las propiedades físicoquímicas del suelo pueden ser alteradas por la cantidad, calidad y estado energético de los fluidos presentes. De los fluidos, el agua y el aire son los que comúnmente ocupan los poros del suelo; de manera ocasional, algún contaminante es encontrado también. El agua y contaminantes incluyen sales y gases disueltos. La figura 1.1 es un corte esquemático acerca de la disposición y distribución del agua del suelo; aparecen dos zonas principales: una no saturada o vadosa y otra saturada. La franja capilar está incluida en la zona vadosa y es el intervalo de transición entre ambas.

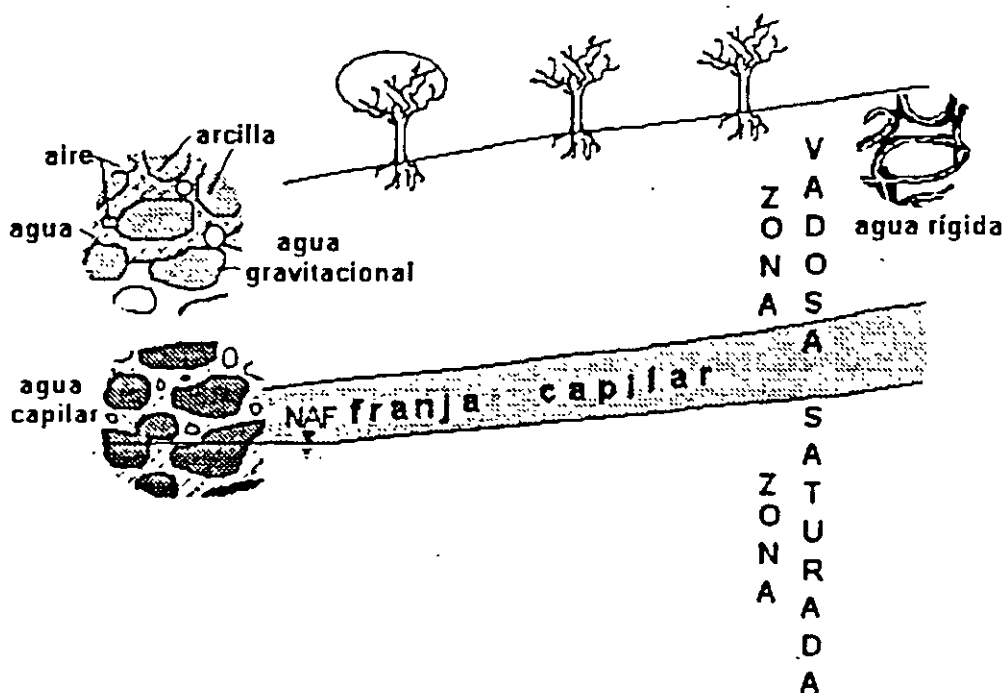


Figura 1.1 Distribución de las zonas vadosa y de saturación

El agua del suelo se encuentra como

- i) rígida o higroscópica,
- ii) gravitacional o libre y
- iii) capilar

El agua rígida o higroscópica tiene estructura cristalina y está fuertemente adherida al grano de suelo, la mayoría de las veces, las altas temperaturas no la remueven. El agua gravitacional o libre se mueve por efecto de fuerzas gravitacionales a través de los poros hasta alcanzar el equilibrio, estado que logra al llegar al nivel del agua freática (NAF). En estado de tensión o presión negativa, el agua capilar aparece como una pequeña película entre partículas de suelo húmedo sobre la superficie del NAF y se le conoce como "succión mátrica". El agua capilar está regulada por las fuerzas de superficie (electromagnéticas), ver figura 1.1.

Los enlaces eléctricos entre las moléculas de agua y las superficies de los granos del suelo ocasionan la formación de agua estructurada, físicamente de menor densidad pero mayor viscosidad al agua gravitacional. La constricción del fluido por fuerzas eléctricas es análogo al comportamiento de las membranas y da origen al potencial o succión osmótico". Durante el desecado de un suelo; el agua sale primero de los poros de gran diámetro y, debido a las fuerzas eléctricas de superficie, los de menor diámetro quedan cubiertos por delgadas películas de agua. La cantidad de líquido y otros fluidos en la zona no saturada regula los fenómenos mecánicos, hidráulicos y químicos.

Las propiedades fisicoquímicas de la montmorillonita la hacen de una gran capacidad de adsorción de fluidos respecto de las illitas, kaolinitas y halloisitas. La adsorción de vapor de agua disminuye al aumentar el tamaño del ion.

2.0 EL ESTADO ENERGETICO DEL AGUA DEL SUELO

El análisis del estado energético del agua del suelo en función de las energías cinética y potencial se hace considerando fenómenos *reversibles* e *isotérmicos*. La energía cinética es la contenida en el agua por virtud de su movimiento, el que es muy lento y su aporte es poco significativo; al contrario de la energía potencial asociada a la posición del agua en el campo de fuerza gravimétrico. Otros campos de fuerzas, como los electromagnéticos y electroquímicos, ejercen mucha influencia.

En la figura 2.1 es mostrado de manera esquemática la distribución de esfuerzos para las zonas vadosa y saturada. Por arriba del NAF, el agua está a presión negativa y las variaciones no son lineales como lo es por debajo. Las variaciones aparecen de acuerdo con la temporada climática, desecación o humectación.

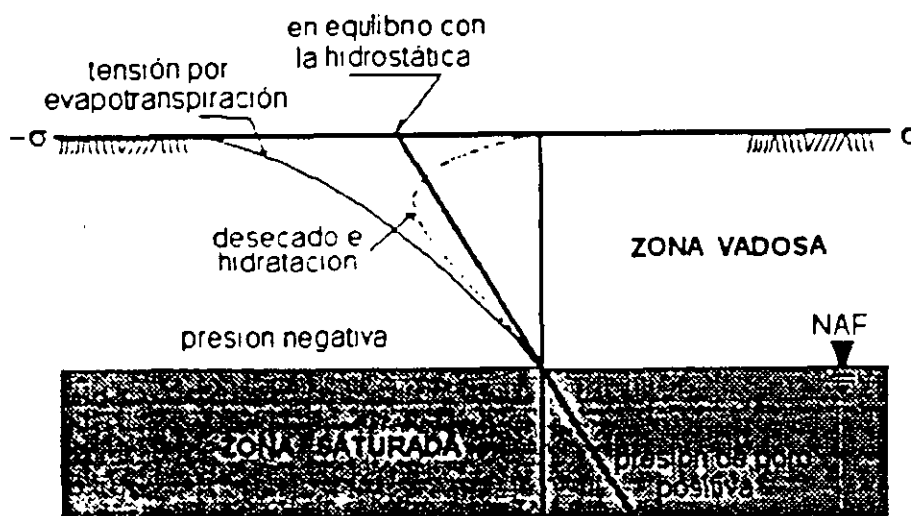


Figura 2.1 Diagrama esquemático de presiones en el subsuelo.

Recordando que la velocidad del agua es muy baja, la energía cinética ($mv^2/2$) es considerada poco significativa; por ello, la descripción del estado energético del agua del suelo es hecha en función de la energía potencial por unidad masa o volumen y es denominado **potencial**. En los suelos no saturados el potencial siempre es negativo y se denomina **succión**.

La succión total (ψ_T) es la suma de varias contribuciones, entre las que figuran: succión mátrica (ψ_M), succión osmótica (ψ_O), succión gravitacional (ψ_g), succión de presión (ψ_P), succión de sobrecarga (ψ_Ω), succión de vapor (ψ_v), succión biológica o turgencia (ψ_ω) y de todas aquéllas teóricamente posibles, tal que:

$$\psi_T = \psi_M + \psi_O + \psi_g + \psi_P + \psi_\Omega + \psi_\omega + \psi_v + \dots$$

Las contribuciones principales corresponden a las succiones mátrica y osmótica, (figura 2.2.)

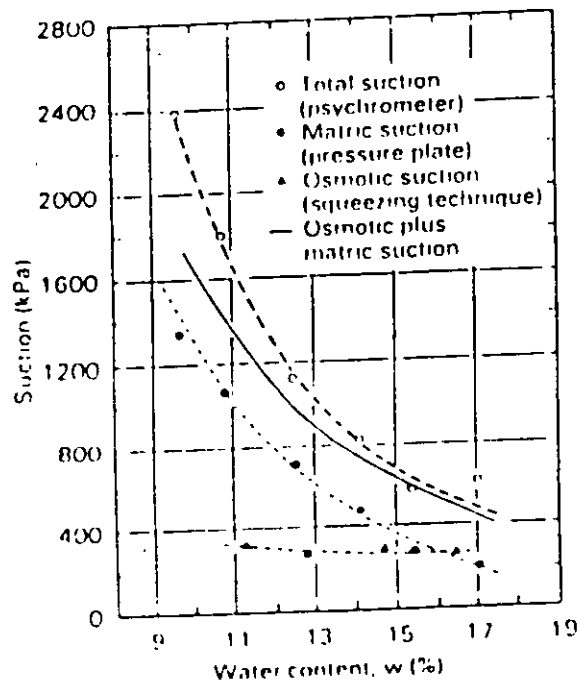


Figura 2.2 Las succiones mátrica y osmótica en función de la humedad según Krahn y Fredlund, 1972.

2.1 SUCCION MATRICA (ψ_M). Está asociada con la atracción del agua a las superficies de los granos del suelo y con la atracción mutua de las moléculas de agua (tensión superficial), aunque más complejo, es análogo al fenómeno capilar.

La succión mátrica es muy importante para el análisis de estabilidad en suelos que forman obras civiles tales como presas de tierra, terraplenes, taludes, cortes, etc; está

asociada con la humedad relativa $RH (\%) = u_v/u_{v0}$, definida como la concentración de vapor de agua en el aire, u_v es la presión parcial del vapor de agua en el aire y u_{v0} la presión de saturación del vapor de agua a la misma temperatura. La succión mátrica es:

$$\Psi_M = - \frac{R T}{v_{w0} \omega_v} \ln \frac{u_v}{u_{v0}}$$

donde R la constante Universal de los gases, T la temperatura absoluta, v_{w0} corresponde al volumen específico del agua y ω_v masa molecular del vapor de agua.

La gráfica de la figura 2.3 muestra la curva característica del agua, representa la variación de la succión con la humedad volumétrica (relación del volumen de agua respecto al volumen de la masa, $\theta = V_w/V_m$); conforme la humedad volumétrica disminuye, la succión aumenta; la humedad volumétrica mínima equivale a la humedad relativa RH

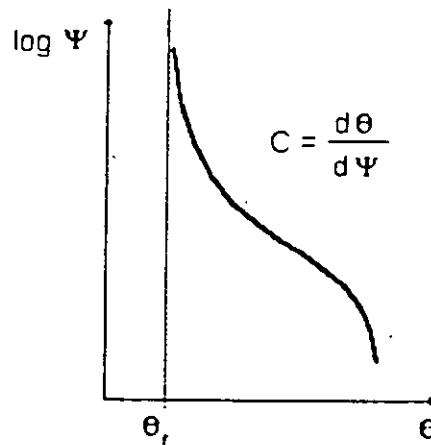


Figura 2.3 Curva característica y capacidad específica de agua.

2.2 POTENCIAL GRAVITACIONAL (Ψ_g) Es la cantidad de trabajo necesario para transportar de manera reversible e isotérmica una cantidad de agua, desde un depósito que contiene una solución de composición idéntica al agua del suelo a una altura específica. La altura en cuestión define si el potencial es positivo o negativo respecto al nivel de referencia. La expresión del potencial de gravedad es:

$$\Psi_g = \rho_w z g$$

donde ρ_w es la densidad del fluido, z la altura del nivel de referencia al punto específico y g la aceleración de la gravedad

2.3a POTENCIAL DE PRESION (Ψ_P). Es debido al peso del agua en el punto considerado. Es difícil separarlo del mátrico

2.3b POTENCIAL DE SOBRECARGA (ψ_D). Es una presión que el suelo ejerce sobre el agua, es semejante al potencial de presión causado por el peso del agua arriba de un punto considerado. La variación del potencial de sobrecarga depende de la cantidad de agua contenida en el suelo y de que el suelo encajonante tenga la capacidad amortiguadora para suministrar y absorber agua.

2.3c POTENCIAL DEL GAS (ψ_g). Es la presión del gas distinta a la que existe en el nivel de referencia. El potencial del gas está dado tanto por la humedad relativa como por la presión de vapor u otros fluidos, esto es:

$$\psi_w = RT \ln(HR) \quad \text{en función de la humedad relativa}$$

$$\psi_p = (nRT)/V \quad \text{en función de la presión de fluidos}$$

$$\psi_v = v \exp\{(\omega_v gz)/RT\} \quad \text{en función de la presión de vapor}$$

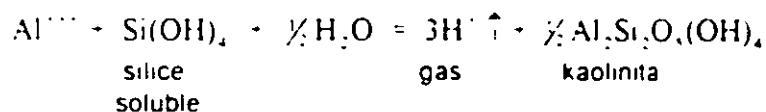
dónde: n es la concentración molar. Estos potenciales están íntimamente ligados. Son afectados por los procesos de humectación y deshidratación; que, de acuerdo con su acción, un terrón de suelo puede desmoronarse o estallar cuando la presión del aire encerrado excede a la cohesión de las partículas de suelo. La adsorción del agua en las superficies internas de los capilares comprimen el aire ocluido en los poros y tortuosidades lo que provoca la desintegración mecánica.

Las fuerzas que son degradadas por la acción del agua son:

- i) fuerzas internas de la afinidad por el agua que impulsan su entrada y
- ii) fuerzas cohesivas que mantienen juntos a los agregados del suelo

conforme el agua entra al suelo, la cohesión del suelo disminuye, lo que ocasiona la destrucción de los enlaces de cementación.

En los poros existe aire en los estados libre y adsorbido; el agua, al entrar, libera el aire adsorbido por mojabilidad y añade gas libre a los poros de la siguiente forma:



Cuando el suelo es de permeabilidad baja y el gas no puede escapar, la presión de poro aumenta por compresión del mismo, que, de acuerdo con la rapidez del proceso, será la forma en que los agregados sean desintegrados. Cualquier gas soluble en el agua no ocasionará la desintegración al no producir presión. Desde el punto de vista práctico y asumiendo que estos efectos son difíciles de separar, se consideran implícitos en la succión mátrica

2.4 SUCCION OSMOTICA (ψ_0). Para comprender el flujo y la succión osmótica en suelos no saturados, es necesario entender los fenómenos electroquímicos y fisiológicos; la *succión osmótica* abarca ambos, por ello hemos decidido hacer una amplia disertación.

A mediados del siglo XVIII los fisiólogos tenían el firme propósito de entender los procesos de transporte en las células de plantas y animales; investigaciones que terminaron en el descubrimiento del *mágico fenómeno osmótico*. De manera paralela, Thomas Graham y Francois Marie Raoult realizaron los estudios de gases y soluciones, por cuyas aportaciones fueron considerados los padres de la teoría de soluciones.

Aunque el descubrimiento de la difusión se debe a Graham, fue Adolf Eugen Fick quién emitió la Ley de Difusión como una sencilla relación lineal entre el flujo de difusión y la diferencia de concentraciones afectada por un valor que depende de la naturaleza tanto del medio como del fluido {coeficiente de difusión ($D(\theta)$ }.

Graham buscaba una relación más compleja, como la que había descubierto con anterioridad en sus experimentos con gases: en los que demostró que el flujo de difusión de una gas a través de un tapón poroso es inversamente proporcional a la raíz cuadrada de la densidad del gas

Fick descubrió la Ley de Difusión de manera casual, haciendo la analogía con las Leyes de Ohm y de transferencia de Calor

$$i = - \sigma \text{ grad } V \quad q = -K \text{ grad } T \quad m = D_0 \text{ grad } \pi$$

dónde i , la corriente eléctrica; σ conductividad eléctrica del medio, V , diferencia de potencial, q , flujo de calor, K , conductividad térmica; T , temperatura, m , masa; D_0 , coeficiente de difusión y π la succión osmótica

El fenómeno de la ósmosis, pese haber sido descubierto con anterioridad, fue explicado 50 años después por J. A. Nollet, profesor de Física Experimental quién observó cómo en una membrana de vejiga de res el agua contenida en un lado fluía hacia el otro ocupado por alcohol, 'pero no de manera inversa'

A la sustancia capaz de atravesar una membrana se le llama solvente y la que no puede fluir es el soluto

El fisiólogo francés Henry Dourochet dio una explicación científica al fenómeno de la ósmosis, al relatar que la difusión de un solvente a través de una membrana semipermeable va de la solución de menor concentración de soluto a la de mayor, además el solvente que fluye es capaz de generar una presión sobre la membrana. A ese efecto le denominó **presión osmótica**. El Potencial Osmótico puede ser considerado como el trabajo necesario para separar el solvente del soluto

La cuantificación de la presión osmótica se debe al también fisiólogo Wilhelm Pfeffer después de haber transcurrido otros 50 años. Pfeffer no utilizó membranas biológicas sino

artificiales y hasta material terroso. La gráfica de la figura 2.4 exhibe el primer resultado al utilizar agua como solvente y sacarosa como soluto. La presión osmótica es directamente proporcional a la concentración y temperatura.

CUANTIFICACION DE LA PRESION OSMOTICA EXPERIMENTO DE PFEFFER

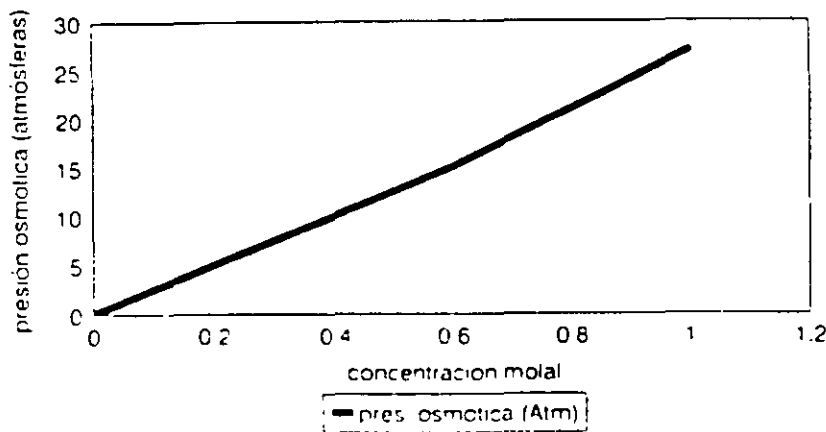


Figura 2 4 Cuantificación de la presión osmótica hecha por Pfeffer.

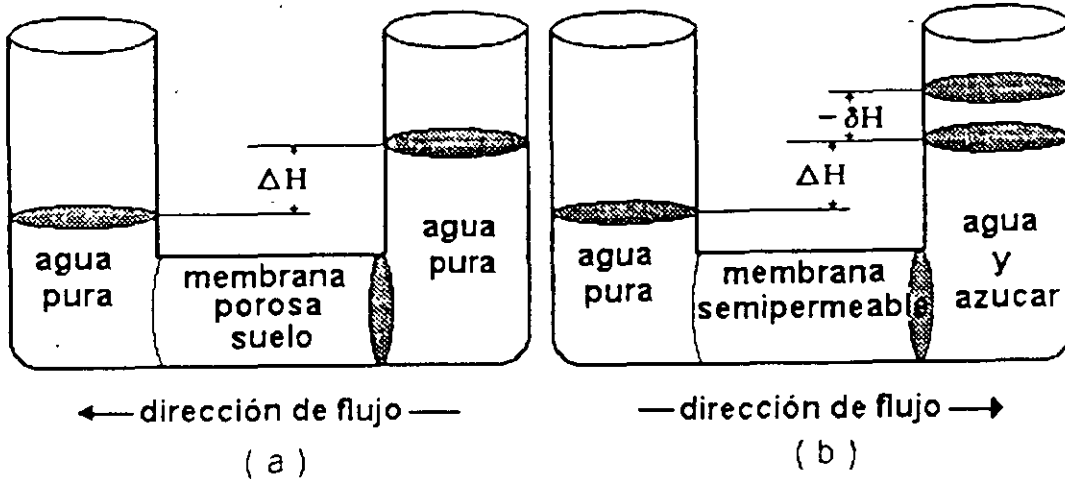
J. H. Van't Hoff propuso que el comportamiento de la presión osmótica es similar a la ejercida por un gas; entendió la presión osmótica no como el efecto del choque entre las moléculas del soluto con una membrana semipermeable, sino la presión necesaria para compensar el déficit energético que se produce por la disolución espontánea del soluto en el solvente.

El flujo del solvente a través de la membrana es acompañado de una exclusión de iones (soluto), cuya concentración genera un incremento en la salinidad.

L. F. del Castillo investigador de la UNAM, asume que la **ósmosis es un efecto de "succión"** de una solución concentrada sobre otra diluida y es **producida por diferencia de energías químicas**

2.4.1 ASPECTOS TERMODINAMICOS DE LA PRESION OSMOTICA. De manera experimental se ha observado que el flujo osmótico sucede en dirección contraria al esperado (asención de salmueras en campos petroleros), por ejemplo: se podrá observar que el flujo en un sistema de vasos comunicantes separados por una membrana permeable (suelo) es en la dirección del de mayor a menor (figura 2.5a), al igual que en un flujo de calor, esto es de un gradiente alto a un gradiente bajo.

Ahora, si se deja en los vasos comunicantes una membrana permeable al solvente e impermeable al soluto y en el recipiente con la carga hidráulica mayor una solución de agua con sal, se observará como "algo" mágico que la dirección del flujo se ha invertido; éste es el flujo osmótico!, la presión o "succión osmótica" es cuantificada con la altura (-) que ganó la solución en el recipiente de mayor concentración (figura 2.5b).



Figuras 2.5a y 2.5b. Flujo puro, flujo y presión osmóticos.

De igual manera puede ser analizado el gas del suelo. El agua es sustituida por el gas y la suspensión por una combinación de gases. El recipiente que contiene a la combinación de gases es el que ejerce la presión osmótica

El equilibrio en el flujo y presión osmótica es alcanzado cuando los niveles permanecen invariantes en el tiempo. Las presiones osmóticas (π) cuantificadas para el soluto (s) y fluidos (f_1, f_2) son

$$\pi = \Delta P = C_s \mu_s \quad \text{para el soluto}$$

$$\mu_{f1} = \mu_{f2} \quad \text{para los fluidos o solventes}$$

donde C_s es la concentración del soluto; μ_s, μ_{f1} y μ_{f2} son los potenciales químicos de las sustancias. Van't Hoff, considerando soluciones diluidas semejantes en su comportamiento al de un gas ideal, obtuvo la expresión de la presión osmótica como:

$$\pi = n_s RT$$

donde n_s el número de moles del soluto en la solución por unidad de volumen, R la constante de los gases y T la temperatura absoluta

Se deduce que la succión osmótica es un parámetro que depende del estado de los fluidos, energías químicas y procesos electroquímicos en el sistema agua-aire-suelo-vapor de agua-gases-lixiviados.

2.5 SUCCION E IMPORTANCIA DE SU APLICACION

Considerando que las succiones de presión, gravedad, sobrecarga, gas y todas aquellas teóricamente posibles pueden ser englobadas en las succiones mátrica y osmótica; la succión total es.

$$\psi_T = \psi_M + \psi_O$$

si el suelo está saturado, la succión mátrica es nula ($\psi_M = 0$) y la succión total adquiere el valor de la osmótica:

$$\psi_T = \psi_O$$

de la sencilla expresión anterior son deducidas varias implicaciones:

- i) no importa el estado de agua del suelo, siempre existirá la succión osmótica
- ii) los cambios en la succión osmótica afectan el comportamiento mecánico de los suelos
- iii) la mojabilidad del suelo afecta la succión osmótica
- iv) los procesos electroquímicos entre el agua del suelo-lixiviados y resistencia al esfuerzo cortante son afectados
- v) los procesos de flujo y transporte en las zonas vadosa y saturada están influenciados por la succión osmótica
- vi) **en la zona vadosa, la permeabilidad depende de la succión mátrica; y en la zona saturada depende de la succión osmótica**

El potencial hidráulico que describe las condiciones superior e inferior al NAF es

$\psi_T = \psi_M + \psi_P + \psi_S$ o bien $\psi_T = \phi + z$, donde ϕ es el potencial hidráulico ($\psi_M + \psi_P$) y z la carga de posición (ψ_S). En unidades de carga resulta

$$H = \phi + z$$

H es positiva bajo el NAF y negativa arriba de él. Es una expresión muy útil en el flujo y transporte de agua en suelos no saturados.

3.0 FLUJO EN LA ZONA VADOSA

El transporte y flujo en la zona vadosa (figura 3.1), están regidos por: *advección* que es un proceso en el cual las sustancias disueltas se acoplan al movimiento del agua; *difusión* corresponde a la migración de un fluido en respuesta a un gradiente de

concentraciones; *dispersión*, tiene componentes longitudinal y transversal (tensor) y opera a una escala capilar como resultado de una mezcla con cualquier fase del fluido.

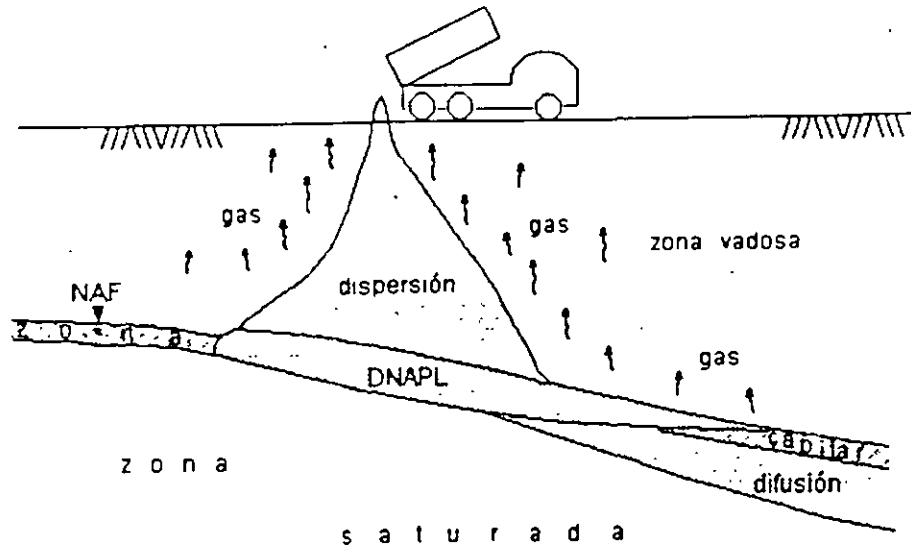


Figura 3 1 Transporte y flujo en la zona vadosa.

El transporte y flujo ocasionan plumas de contaminación y frentes de humectación que viajan con una determinada velocidad de filtración en la zona vadosa; pueden ser mapeados y monitoreados por medio de la polarización inducida y resistividad

Poiseuille encontró que el flujo (v) en un capilar de forma cilíndrica con radio r y longitud l es:

$$v = \frac{r^2}{8\eta} \left\{ \frac{p_1 - p_2}{l} \right\}$$

η es la viscosidad del fluido y p_1, p_2 son las presiones en las caras de entrada y salida

Si el agua del suelo está a presión negativa, existe una fase de gas (aire, vapor de agua, gas), según el ambiente fisicoquímico del suelo huésped. La presencia del gas modifica sustancialmente el flujo y se puede establecer que el tamaño de los capilares determina el espesor de las películas de fluidos

El movimiento de los fluidos es ocasionado por las fuerzas de atracción entre las superficies de los granos del suelo y fuerzas de tracción en los propios fluidos, así como por grandes gradientes hidráulicos negativos (succión)

Como la variación de los gradientes hidráulicos negativos en la zona vadosa no es lineal, es necesario obtener un promedio; el que está dado por: $-\Delta H = -(p_1 + p_2)/2 = \Psi$ o en función de alturas hidráulicas $-\Delta H = -(H_1 + H_2)/2 = \Psi$.

Conforme la humedad volumétrica θ disminuye en los capilares, la succión Ψ aumenta y la permeabilidad $K(\Psi)$ baja de acuerdo con área mojada. Para corregir el flujo es necesario introducir en la expresión de Richards un factor adimensional que es dependiente de las áreas que ocupan las fases y especies, de tal forma que:

$$v = -\lambda K(\Psi) \nabla H$$

en el cuál ∇H es el gradiente hidráulico en el que están incluidas las componentes de succión y de posición, la permeabilidad $K(\Psi)$ depende de la succión Ψ relacionada a la humedad volumétrica θ mediante la curva característica, cuya pendiente es la capacidad específica del agua, $C(\theta) = \partial\theta/\partial\Psi$, ver gráfica de la figura 2.3.

El factor λ tiende a 0 si el suelo está seco y vale 1 cuando está saturado. Recordando que la carga hidráulica es la suma de la carga de presión (o su negativo, la succión) y la carga de posición, tal que. $H = \phi + z$, con $z=0$ en el nivel estático, la ecuación para el flujo tridimensional adopta la forma:

$$v = -\lambda K(\Psi) \left[\frac{\partial\phi}{\partial x} + \frac{\partial\phi}{\partial y} + \frac{\partial(\phi + z)}{\partial z} \right]$$

que para los casos de flujo horizontal en las direcciones vertical, x e y, resulta respectivamente que:

$$v = -\lambda K(\Psi) \left[\frac{\partial\phi}{\partial x} + \frac{\partial\phi}{\partial y} \right]$$

$$v = -\lambda K(\Psi) \left[\frac{\partial\phi}{\partial z} + 1 \right]$$

$\lambda K(\Psi)$ dependen exclusivamente de las características de los poros y de la humedad volumétrica en el punto de análisis

De la Ecuación de Continuidad se tiene que

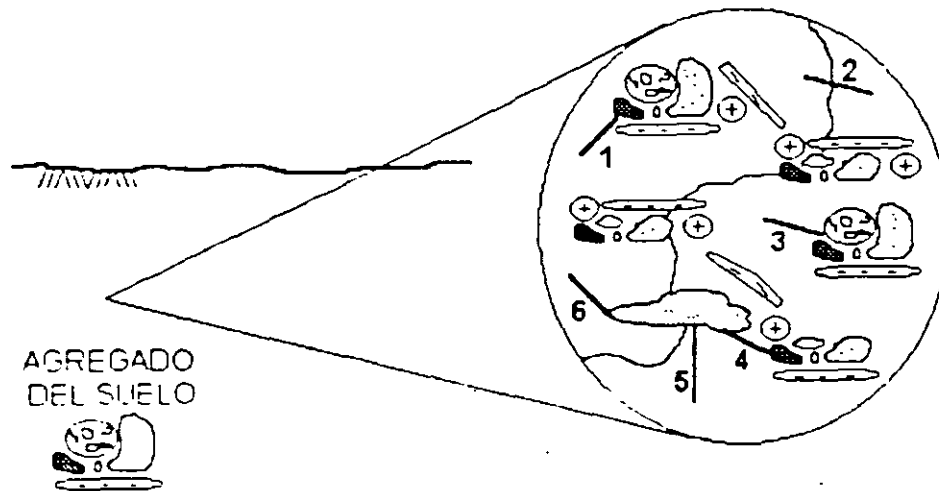
$\frac{\partial\theta}{\partial t} = -\nabla \cdot v$, al sustituir la ecuación de flujo de Darcy modificada por Richards se tiene

$$\frac{\partial \theta}{\partial t} = \lambda \nabla \cdot [K(\Psi) \nabla \cdot \Psi]$$

que es la Ecuación General de Flujo para Suelos Parcialmente Saturados.

3.1 ECUACION DE DIFUSION EN LA ZONA VADOSA

La difusión se define como el flujo de materia ocasionado por las diferencias de energía cinética en la sustancia; por ello, el flujo de un líquido en la zona vadosa no puede describirse como un proceso de difusión, ya que lo hacen por la atracción de superficies sólidas, por ejemplo; por las fuerzas de tracción que ejerce la tensión superficial en la interfases gas-agua, aire-agua, lixiviado-gas, lixiviado-agua, (figura 3.2), y por la transmisión de fuerzas a través de los líquidos (en virtud de las atracciones intermoleculares).



AGREGADO DEL SUELO

CARACTERISTICAS DE LOS FLUIDOS EN EL SUELO

- | | | |
|-------------------|------------------|------------------|
| 1 SUELO-AIRE | 2 AGUA-AIRE | 3 SUELO-AGUA |
| 4 LIXIVIADO-SUELO | 5 LIXIVIADO-AGUA | 6 LIXIVIADO-AIRE |

Figura 3.2 Relaciones fisicoquímicas a nivel micro entre agua-gas-lixiviados

Para la descripción del transporte y flujo en la zona vadosa es necesario recurrir a la Ley de Conservación de masa, como la humedad volumétrica es función de la succión $\theta = f(\psi)$, la succión gravitacional se considera despreciable y aplicando la regla de la cadena se tiene que

$$v = -\lambda K(\theta) \nabla \Psi$$

el gradiente $\nabla\Psi$ en la dirección "z" resulta: $\frac{\partial\Psi}{\partial z} = \frac{\partial\Psi}{\partial\theta} \frac{\partial\theta}{\partial z}$; y, como $\frac{\partial\Psi}{\partial\theta} = \frac{1}{C(\theta)}$, al sustituirlo en la expresión de flujo de Richards se tiene que:

$$v = -\lambda K(\theta) \left[\frac{1}{C(\theta)} \right] [\nabla \cdot \Psi]$$

definiendo la "**difusividad**" como: $D(\theta) = K(\theta)/C(\theta)$, la Ecuación de Difusividad es:

$$\frac{\partial\theta}{\partial t} = \lambda \nabla \cdot [D(\theta) \nabla \cdot \theta]$$

si se acepta para condiciones muy reducidas que $D(\theta)$ sea una constante, la segunda Ecuación de Difusión de Fick es:

$$\frac{\partial\theta}{\partial t} = \lambda D(\theta) \nabla^2 \cdot \theta$$

La belleza de la expresión anterior reside en su aplicabilidad tanto para el transporte y flujo en la zona vadosa como en la saturada al observar las siguientes consideraciones:

- i) la humedad volumétrica θ permanece invariable en el tiempo en un medio saturado, por tanto $\partial\theta/\partial t = 0$
- ii) la succión total adquiere el valor de la osmótica $\Psi_t = \Psi_o$ cuando $\omega = 100\%$
- iii) con $\lambda = 1$, se tiene la ecuación de Darcy para flujo en suelos saturados $v = -K(\Psi) \text{ grad } H$

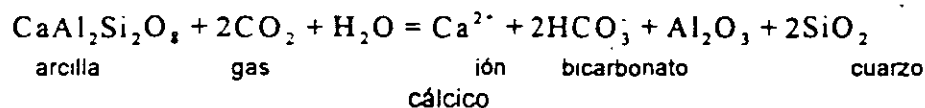
4.0 PROCESOS ELECTROQUIMICOS Y DE ALTERACION

La presencia de fluidos en la zona no saturada puede ser debida a la filtración del agua de lluvia, derrames accidentales de NAPL o DNAPL y por fugas de contenedores superficiales o enterrados

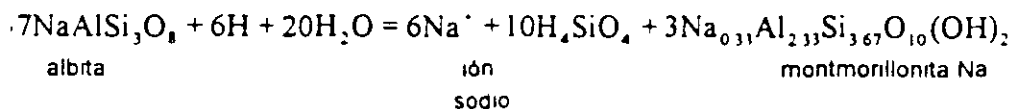
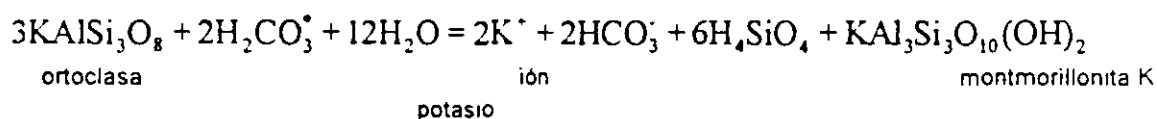
Los fluidos en sus fases líquida y gaseosa pueden permanecer inmóviles, moverse lentamente o de manera muy rápida de acuerdo con las características físicoquímicas y electroquímicas tales como potenciales REDOX, pH del suelo, decaimiento radioactivo, disolución, complejación, hidrólisis, adsorción, advección, capacidad de intercambio catiónico, etc

Los productos finales de los procesos fisicoquímicos en el suelo y subsuelo van acompañados de liberación de energía en las formas de calor y electricidad. En las reacciones químicas subsecuentes son mostradas las sustancias originales, productos finales y los tipos de energía liberados.

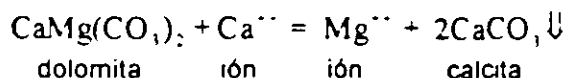
Pese a que el CO_2 es soluble en el agua y no genera presión de poro, provoca alteraciones en las arcillas, tal que:



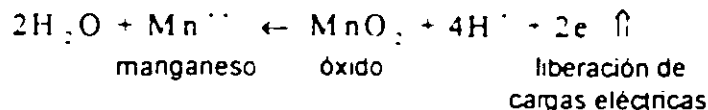
los feldspatos potásicos (ortoclasa) y sódicos (albita) son transformados en montmorillonita de las formas:



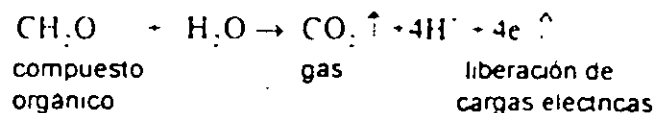
en suelos ricos en carbonatos cálcico-magnésicos, se precipita la calcita:



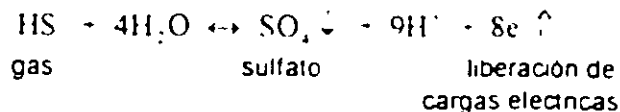
y liberación de energía como potenciales eléctricos de la forma siguiente:



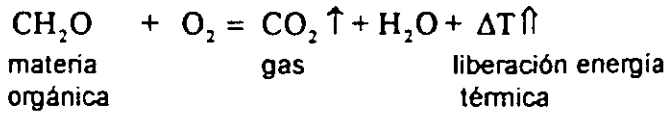
los óxidos de manganeso aparecen en forma de nódulos incrustando tortuosidades, capilares, fracturas y ademes de pozos.



el gas es removido por humectabilidad y pasa a formar presión en el poro. La precipitación de sulfatos ocasiona blanqueamiento de suelos.



la oxidación de la materia orgánica es:



la naturaleza de la anomalías debidas a los procesos electroquímicos y que pueden ser mapeadas y cuantificadas mediante diversas técnicas de la prospección geoelectrica son: precipitación de sales ↓; desprendimiento y migración de gases ↑; disolución; acción bacteriana (anaerobias), algas verde y azul; producción de iones; liberación e intercambio de cargas eléctricas ↑, blanqueamiento de suelos, alteración química de arcillas, etc.

5.0 LA PROSPECCION GEOELECTRICA Y SU APLICACION A LOS FENOMENOS DE: SUCCION, DIFUSION, DISPERSION Y FILTRACION.

Cuando entran en contacto gas, vapor de agua, lixiviados o alguna otra solución con el suelo -en virtud de la atraccion superficial de las arcillas sobre los fluidos- aparece una fuerza electroquímica generada por la diferencia de potencial producida por la doble capa electroquímica causada al ser acumulados iones en ambas caras de los granos de suelo (figura 5 1).

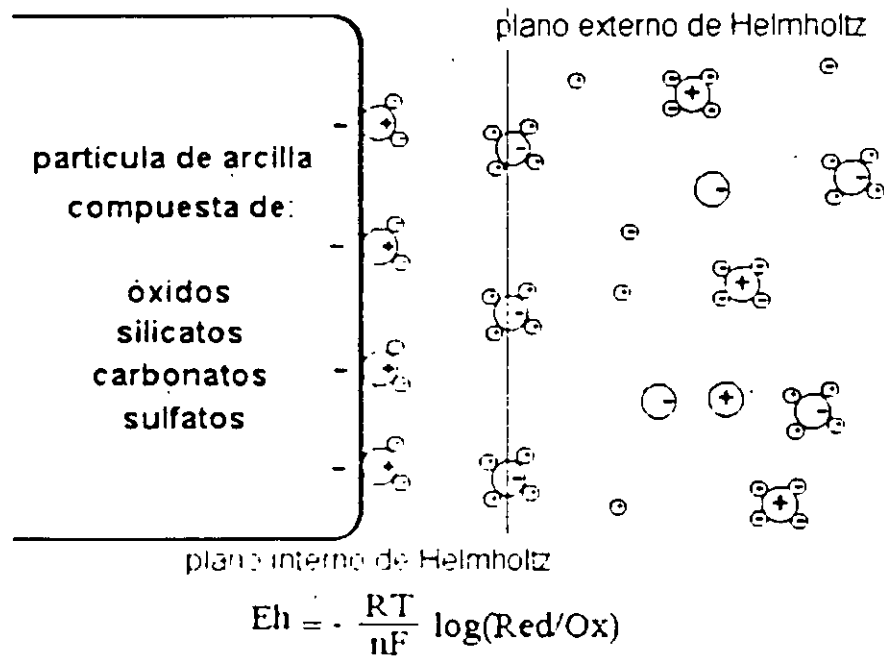


Figura 5 1 Generacion de una f e m debido al contacto entre agua-suelo-lixiviados.

Las fuerzas de atracción entre superficies (tensión superficial y tracción) generan un flujo; el cuál puede ser la superposición lineal de todas las fuerzas termodinámicas actuantes (principio de acoplamientos); esto es que, *un flujo cualquiera*, puede ser generado por una fuerza que no corresponda al efecto del fenómeno directo. Onsager estableció la reciprocidad de los efectos directos y cruzados, al afirmar que se pueden intercambiar de tal forma que: una diferencia de temperaturas produce un flujo de cargas y la diferencia de potencial eléctrico produce un flujo de calor, etc.

El cuadro de la figura 5.2, muestra los efectos directos, cruzados y su reciprocidad según el Principio de Onsager modificado por L. F. del Castillo, 1986;

FUERZAS	diferencia de presiones ΔP	diferencia de concentraciones de soluto ΔC_s	diferencia de potencial eléctrico $\Delta \phi$	diferencia de temperatura ΔT
FLUJOS				
flujo de solvente	flujo volumétrico J_v	ósmosis	electroósmosis	termoósmosis
flujo de solutos moléculas neutras	arrastre de solutos por flujo volumétrico	difusión de Fick	Difusión de Nernst-Planck	termodifusión de Soret
flujo de solutos iones	polarización por acumulación de cargas vía flujo volumétrico	polarización por concentración vía flujo de difusión	corriente eléctrica Ley de Ohm	termoelectricidad de Thompson
flujo de calor	flujo térmico Joule-Thompson	difusión térmica Dufour	termoelectricidad electropirosis	conducción térmica Fourier

Figura 5.2 Principales fuerzas termodinámicas, flujos directos y cruzados, según modificaciones de L. F. del Castillo, 1986 a Onsager.

5.1 EL POTENCIAL NATURAL (SP) Y LA SUCCION OSMOTICA (π). Cuando en los poros del suelo entran en contacto soluciones electrolíticas diversas o existen diferencias de concentración, se genera un potencial o fuerza electromotriz (f.e.m.) denominado "Potencial de Difusión". Los iones mono di o trivalentes de signo distinto, tienen movilidades diferentes que causan una diferencia de potencial ΔV medible en superficie mediante un voltmetro de alta impedancia y electrodos impolarizables. La expresión para el cálculo de potencial en función de las diferencias de concentración en los mismos iones es

$$\Delta V = \frac{u - v}{u + v} \frac{RT}{nF} \ln \frac{C_1}{C_2}$$

con u, v como movilidades del anión y catión, n es la valencia, R, T y F corresponden al mismo significado mencionado anteriormente

El potencial de difusión sirve para determinar la porosidad en sondeos mecánicos hechos en las zonas vadosa y saturada.

Las fases de fluidos que se mueven en los capilares del suelo generan la diferencia de potencial denominado "*Potencial de Filtración*"; las paredes de los capilares adsorben a los aniones que a su vez atraen a los cationes, y forman la doble capa electroquímica. Los cationes se mueven con el solvente a lo largo de los capilares y el soluto (aniones) quedan fijos a las superficies de las arcillas; por lo tanto, son generados el flujo y presión osmótica.

Como fue apuntado anteriormente, en la zona vadosa predomina la succión mátrica y la osmótica practicamente tiene el mismo valor arriba y abajo del NAF. La ecuación de Helmholtz relaciona a la succión osmótica y al potencial de filtración mediante la expresión siguiente:

$$\Delta V = \pi \epsilon \phi \rho / \eta$$

donde π es la succión osmótica; ϵ , ϕ , ρ y η son respectivamente la constante dieléctrica, potencial electroquímico de la doble capa, resistividad eléctrica y viscosidad del electrolito.

Con estas mediciones se puede cuantificar el valor de la succión osmótica, capa activa, reconocimiento de zonas húmedas, filtraciones de agua en presas, dirección del flujo

Con el perfil de potencial natural (SP) efectuado en la base de un bordo de tierra, fue posible cuantificar la succión y corroborar las filtraciones con base a los intervalos con menor succión. Es notorio que, donde las succiones son bajas, corresponde a la zona de fugas de agua. Figura 5.3 Con el apoyo de las mediciones de potencial natural, las mediciones de succión con psicrómetro o papel filtro son reducidas a comprobar en los intervalos de interés, esto es altas y bajas.

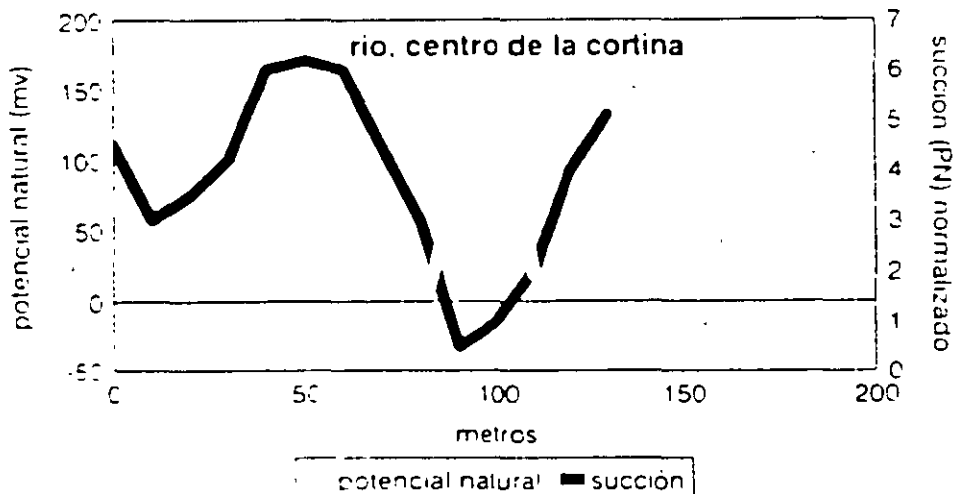


Figura 5.3 Valuación de la succión por medio de las mediciones de potencial natural en la base de un bordo de tierra que presenta filtraciones

Finalmente, la *Polarización Electrolítica* ocurre por el flujo de fluidos en los capilares independientes a su fase; si el diámetro cambia, habrá una diferencia de movilidades, lo que genera una separación de cargas y la formación de la doble capa electroquímica (figura 5.5b). De la analogía eléctrica (figura 5.6) del fenómeno de polarización inducida puede ser cuantificada la magnitud, lo que resulta como:

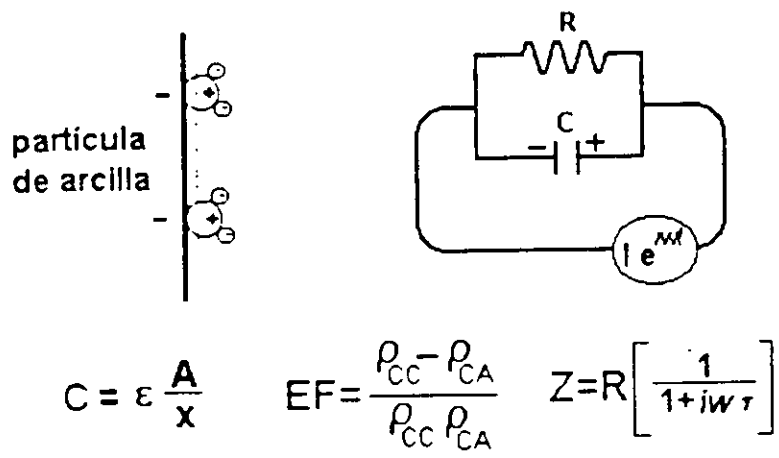


Figura 5.6. Analogía eléctrica de la doble capa electroquímica y cuantificación de: la polarización y resistividad.

donde EF es el efecto de frecuencia; ρ_{CC} la resistividad aparente a corriente continua y ρ_{CA} la resistividad aparente a corriente alterna. Como se observa, la resistividad es un caso particular de la polarización inducida a frecuencia "cero" o corriente continua y se valua como

$$\rho_{CC} = \left\{ \frac{\Delta V}{I} \right\} Fg.$$

en el que ρ_{CC} es la resistividad aparente en corriente continua, ΔV , la diferencia de potencial; I la intensidad de corriente eléctrica inyectada al medio, R la relación $\Delta V/I$; $\tau = \frac{1}{\omega}$ la frecuencia, τ corresponde a la constante de tiempo y Fg, el factor geométrico que depende de la posición de los electrodos

Las arcillas montmorillonitas, kaolinitas e illita presentan diferentes superficies específicas y como la polarización inducida es un fenómeno de superficie, puede ser empleada como un método aproximado económico y rápido para la identificación, (figura 5.7)

POLARIZACION & TIPO DE ARCILLA

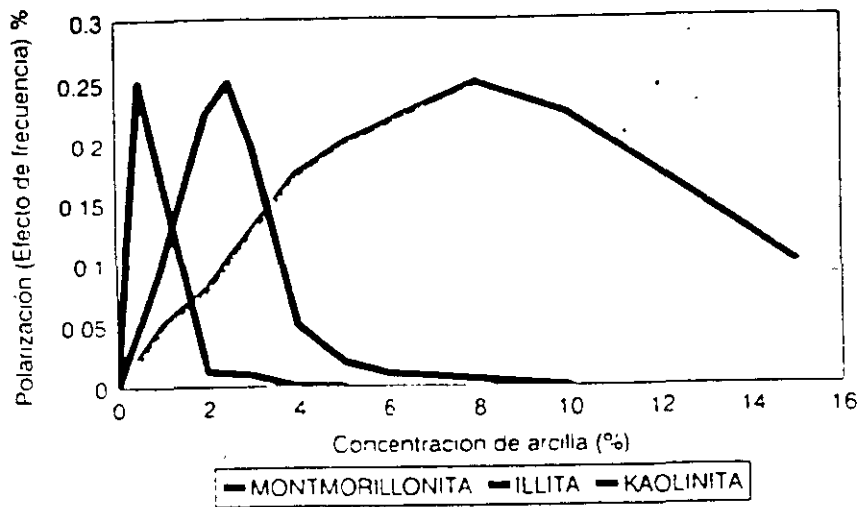


Figura 5.7 Polanzación de diferentes arcillas en función de la superficie específica y volumen de concentración.

Un ejemplo de la aplicación de la polarización lo brinda el levantamiento realizado en la vecindad de un basurero, los estudios consistieron en definir las zonas de generación de gas metano en las arcillas de un lago y las trayectorias de flujo hasta los pozos donde el agua subterránea es extraída. Las anomalías y explicación aparecen en la figura 5.8. La polarización contribuye de manera importante el definir la zona de influencia aun por debajo del NAF.

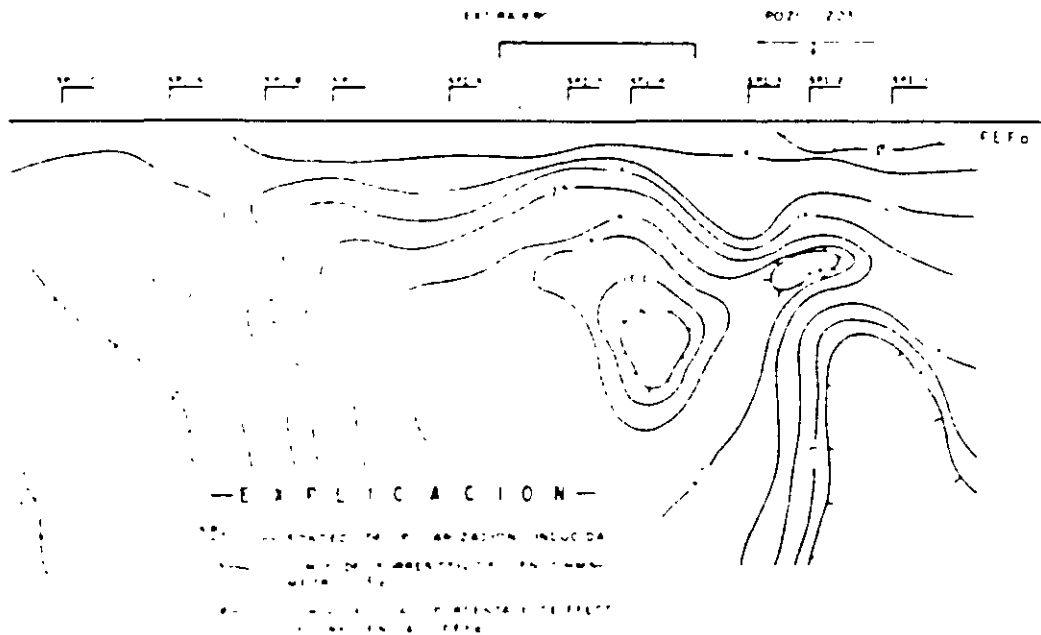


Figura 5.8 Anomalías de polanzación inducida en el flujo de contaminantes en las zonas vadosa y saturada

El ejemplo de aplicación del método de resistividad es el que muestra la variación de la conductividad eléctrica en arcillas localizadas al norte del Valle de Querétaro, cuya finalidad fue definir la profundidad de la capa activa. Las observaciones fueron hechas a lo largo de 8 meses (figura 5.9), y, con ellas ha sido posible determinar que la profundidad de la capa activa varía entre 2 y 6 metros aproximadamente. En la zona, el espesor del estrato de arcillas con alto potencial expansivo varía entre 2 y 20 metros. Los datos fueron tomados de diversos cortes litológicos de pozos profundos perforados para las industrias.

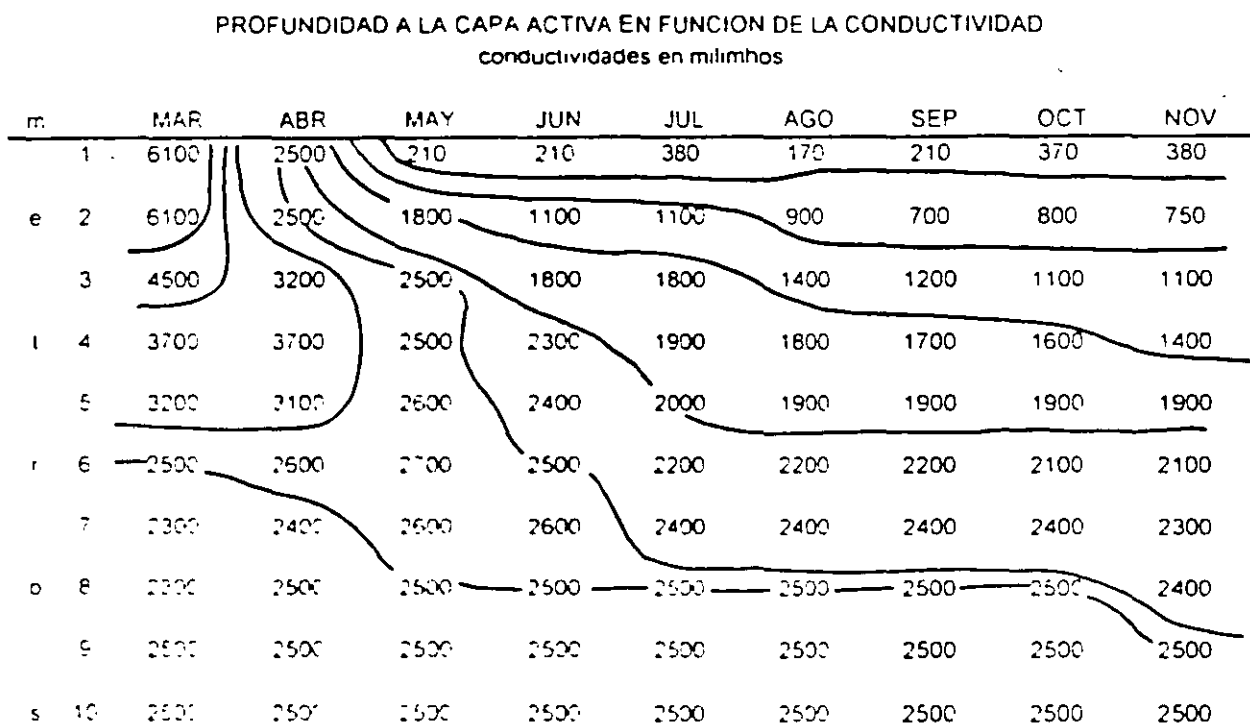


Figura 5.9 Profundidad de la capa activa en arcillas al norte del Valle de Querétaro. Fueron definidos dos intervalos principales de 2.5 a 3.5 metros y de 5.0 a 6.0 metros



**FACULTAD DE INGENIERIA U.N.A.M.
DIVISION DE EDUCACION CONTINUA**

CURSOS ABIERTOS

**X CURSO INTERNACIONAL
CONTAMINACIÓN DE ACUIFEROS**

MÓDULO I:

GEOHIDROLOGÍA

TEMA :

GEOLOGÍA DEL AGUA SUBTERRÁNEA

**PRESENTADO POR: ING. HÉCTOR L. MACÍAS GONZÁLEZ
SEPTIEMBRE 1998**

GEOLOGIA DEL AGUA SUBTERRANEA

POR: ING. HECTOR L. MACIAS GONZALEZ

1.1.- GENERALIDADES

A la GEOLOGIA DEL AGUA SUBTERRANEA, también se le conoce como Hidrogeología. Este término fue introducido por Lucas en 1789 para designar el estudio geológico del agua subterránea. Mead, en su tratado sobre hidrogeología, publicado en 1919, acentuó el carácter especial del "estudio del agua subterránea considerada como un elemento geológico cuyo conocimiento contribuye a lograr la comprensión del origen y evolución de los cursos superficiales de agua y los sistemas de drenaje".

Con el tiempo, diversos autores han concebido otras definiciones sobre hidrogeología, pero en esencia todas coinciden con remarcar la importancia del conocimiento geológico, no solo en la exploración del agua subterránea, sino en la cuantificación del recurso.

En efecto, si se acepta como la definición más simple para la hidrogeología al referirse a la relación agua-roca, se desprende de esto, que la infiltración del agua al suelo, su movimiento vertical descendente hasta llegar a la zona de saturación y el movimiento preponderantemente horizontal en el acuífero desde las zonas de recarga a las de descarga, este controlado por el patrón geológico (litológico y estructural) en que se almacena y circula el agua subterránea. El manejo de estos controles quedaría incompleto, sin el conocimiento de la historia geológica de la región por estudiar, ya que el análisis de la secuencia de acontecimientos geológicos que la conformaron, permiten conocer de manera general la naturaleza y distribución espacial de las rocas y por tanto, que tipos de acuíferos

Prof. de Geología y Hidrogeología de la Facultad de Ingeniería de la
Universidad Nacional Autónoma de México.

pueden esperarse encontrar, sus espesores, límites laterales y de manera cualitativa la relación hidráulica con los estratos o capas adyacentes, suprayacentes y laterales (límites geológicos naturales).

Naturalmente, esta primera concepción del marco geológico de la región, se va ampliando progresivamente por medio de exploraciones directas e indirectas, con cuya información se precisan la profundidad y dimensiones de las rocas en el subsuelo. A su vez, los datos obtenidos de las captaciones de agua subterránea sobre profundidades al nivel del agua, caudales, calidad química, temperatura, etc. propician ampliar el conocimiento del MARCO HIDROGEOLOGICO.

La determinación del marco hidrogeológico de una cuenca, es indispensable en regiones donde únicamente se dispone de la información que pueda derivarse de las rocas que afloran; sumamente útil en cuencas abiertas a la explotación y en donde se requieren nuevos alumbramientos de agua subterránea y por último, es de gran utilidad en estudios de cuantificación y modelado hidráulico e hidrogeoquímico donde se precisa conocer con bastante aproximación la geometría de los sistemas acuíferos y en consecuencia la delimitación de las fronteras naturales de los mismos.

1.2.- ROCAS PERMEABLES

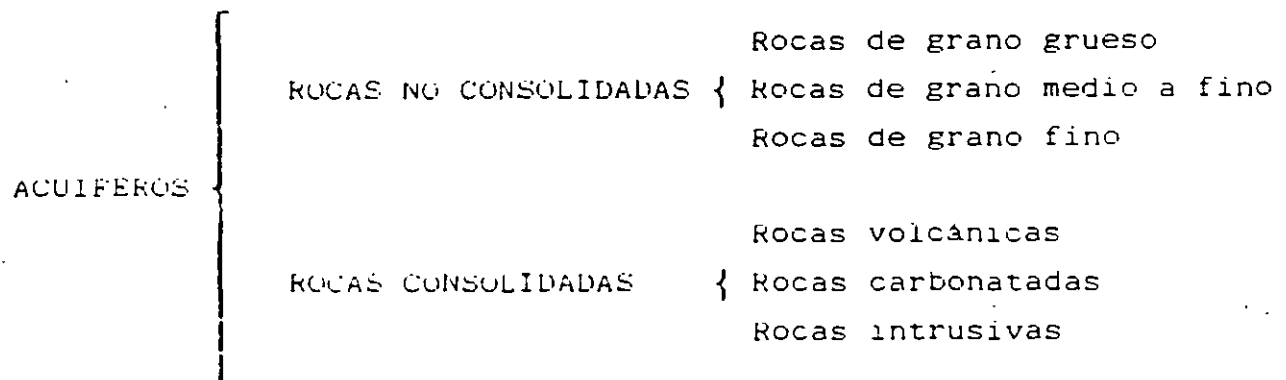
Los acuíferos están formados por rocas con capacidad para almacenar agua; permitir su circulación desde las zonas de recarga a las de descarga y ceder caudales significativos hacia las zonas de descarga natural o hacia las captaciones artificiales.

El término SIGNIFICATIVO de esta definición se usa para connotar el hecho de que los caudales extraídos o cedidos por un acuífero están en estrecha relación con la región geográfica e hidrogeológica de que se trate. Así por ejemplo, en algunas de las regiones más áridas de Baja California, un pozo con un caudal de 1 lps y agua de buena calidad, caracteriza un acuífero, va que su explotación cubriría

holgadamente las necesidades de una población de 500 habitantes. En contraste, ese mismo caudal en la Cuenca del Bajío, donde el agua subterránea es aún abundante y se encuentran gran cantidad de pozos que extraen caudales mínimos de 30 lps. no tendría mayor significado.

De la definición anterior se desprende que los acuíferos están formados por rocas permeables, es decir, rocas que permiten el paso del agua a través de ellas.

Las rocas permeables que constituyen acuíferos se dividen en dos grandes grupos:



1.2.1 - ACUIFEROS FORMADOS POR ROCAS NO CONSOLIDADAS

Este tipo de rocas está formado por materiales sueltos derivados del intemperismo y erosión de rocas preexistentes. Al tiempo de su depósito, los fragmentos no están consolidados y se puede decir que están sueltos. En ese estado, el espacio abierto o poro que dejan entre sí las partículas, depende de su tamaño, forma, distribución, modo de transporte, heterogeneidad y ambiente de depósito. Conforme se suceden otros depósitos sobre una acumulación de fragmentos, ocurren alteraciones que modifican el tamaño y volumen de los espacios abiertos ya sea por consolidación debido al peso de los nuevos estratos o por cementación derivada de los procesos de diagénesis y otros externos.

La mayoría de las rocas clásticas son mezclas de fragmentos de diversos tamaños; no obstante, pueden clasificarse de acuerdo con el predominio de un cierto tamaño del grano en:

- Rocas clásticas de grano grueso
 - Rocas clásticas de grano medio a fino
 - Rocas clásticas de grano muy fino
- Rocas clásticas de grano grueso.

En este tipo de rocas predominan los fragmentos del tamaño de bloques (32-512 mm) y guijones (64-256 mm), mezclados con otros angulosos de menor tamaño, arenas y fragmentos de minerales como feldespatos y micas entre otros. Algunos de estos depósitos como los de talud, están ubicados al pie de los macizos rocosos, de tal manera, que los fragmentos son angulares y tienen poca distribución debido al escaso acarreo.

Otros depósitos similares de grano grueso son los constituidos por los abanicos aluviales que se forman al pie de las sierras, donde se acumula el acarreo de las corrientes fluviales al desembocar en las laderas y planicies. En este caso tienen mayores distancias y tiempos de transporte y por tanto, suele formarse una mezcla de bloques y guijones con gravas y otros fragmentos redondeados y arenas de todos los tamaños. En las zonas áridas, estos depósitos, aunque tienen heterogeneidad por la rapidez del depósito (lluvias torrenciales), tienen muy buena permeabilidad. En las brechas de talud, abanicos aluviales y gravas de lechos de cauces fluviales antiguos y meandros, a pesar que la distribución es mala el promedio del tamaño de los fragmentos es grande y la permeabilidad es alta.

Dentro de estos depósitos se cuentan también los de coquinas, formados por conchas de animales marinos. Cuando estas acumulaciones de conchas no se encuentran cementadas o embebidas en una matriz arcillosa, son de muy alta permeabilidad.

- Rocas clásticas de grano medio a fino.

Este tipo de depósitos de grano medio a fino, acusan obviamente mayores distancias de acarreo y, en consecuencia, de tiempo de transporte. Esto origina que los fragmentos de roca vayan disminuyendo de tamaño progresivamente con el acarreo, hasta llegar a la fragmentación de los minerales que constituyen las rocas. De esta manera, los feldespatos, las micas y algunos minerales ferromagnesianos son desintegrados durante un acarreo largo, preservándose casi solamente los granos redondeados de cuarzo, que es el mineral más resistente a la erosión. En este caso pueden encontrarse depósitos potentes de arenas formadas casi totalmente de cuarzo. En aquellos casos en que el acarreo o transporte no haya sido demasiado largo en tiempo y espacio, suelen encontrarse con las arenas de cuarzo fragmentos de feldespatos y micas.

El tamaño, forma y distribución de los granos de cuarzo, feldespatos y micas, estará controlado por la historia del transporte, así como si fueron transportados por agua o por el viento, y por la influencia del ambiente de depósito.

Las arenas transportadas por el viento formarán depósitos homogéneos de permeabilidad elevada, las transportadas por agua, constituirán depósitos más heterogéneos y la porosidad disminuye por la presencia de materiales finos que ocupan los espacios dejados por las arenas.

- Rocas clásticas de grano muy fino.

Estas rocas están formadas por arcillas y limos que son el producto final de la descomposición química de los minerales destructibles de la roca madre.

Estos materiales constituyen importantes depósitos en las planicies de inundación, en cuencas endorreicas donde llegan a acumular espesores muy grandes de sedimentos lacustres y en cuencas ubicadas en las frentes costeras con episodios de invasiones marinas.

Los depósitos arcillosos después de su sedimentación pueden pasar por una compactación debido al peso del estrato depositado sobre ellos. Como resultado de esta compactación, asumen una condición más o menos masiva, llamándosele a estas rocas "lodolitas", las cuales con un posterior endurecimiento se vuelven rocas duras llamadas "lutitas".

La porosidad de estas rocas, como se verá más adelante es muy elevada, pero tienen en cambio una permeabilidad muy baja. Por esta razón constituyen acuíferos de muy bajo rendimiento y generalmente se les clasifica como acuitardos.

Los tres tipos de depósitos enunciados en los párrafos anteriores de acuerdo al tamaño de su granulometría, suelen encontrarse frecuentemente mezclados, alternados e interdigitados en capas, constituyendo los rellenos de valles fluviales y tectónicos así como la cobertura aluvial de los mismos.

En estas rocas clásticas, independientemente del tamaño de los granos, el agua subterránea se almacena y circula en y por los poros, espacios e intersticios que dejan entre sí las gravas, arenas, arcillas y otros fragmentos mayores al acomodarse durante su depositación. Es por ello que a este tipo de depósitos se les clasifica como rocas de permeabilidad primaria, ya que adquirieron sus características de porosidad y permeabilidad durante el tiempo de su formación. También se les conoce como rocas con permeabilidad de intersticios o de medios porosos.

La porosidad y permeabilidad de este tipo de rocas depende de los siguientes factores:

- a) tamaño, forma y textura de los granos
- b) Arreglo y acomodo de los granos
- c) Homogeneidad o heterogeneidad del depósito
- d) Comunicación entre los poros

Todos estos factores se combinan entre sí para formar rocas de diferentes grados de porosidad y rangos de permeabilidad. En las figuras 1 y 2, se muestran distintos tipos de intersticios, así como la relación entre la textura y la porosidad de las rocas.

Es conveniente hacer notar, que el tamaño del grano no es suficiente para caracterizar la porosidad de una roca, ya que a iguales diámetros, la porosidad puede variar significativamente con arreglos o acomodos diferentes. De igual manera es interesante resaltar que la heterogeneidad del depósito disminuye la porosidad y que la homogeneidad la aumenta.

Dado que la porosidad de una roca está definida como la relación entre el volumen de vacíos y el volumen total de la roca, si una formación se encuentra totalmente saturada, la porosidad es por tanto una medida de la cantidad de agua que la roca contiene por unidad de volumen.

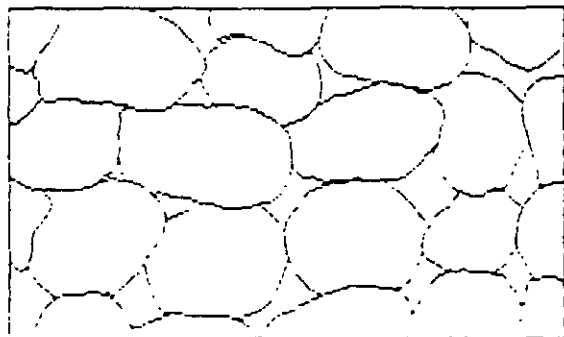
$$\phi = \frac{V_{\text{huecos}}}{V_{\text{total de la roca}}}$$

Ahora bien, una roca muy porosa y que por ello contiene mucha agua en sus espacios vacíos, no necesariamente tiene una elevada permeabilidad. Para algunas rocas como las arcillas, mientras más grande es la porosidad menor es la permeabilidad.

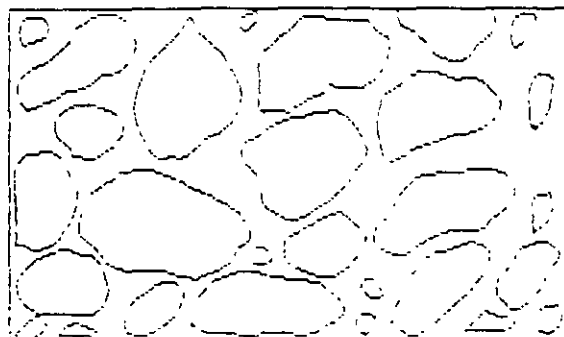
Si se recuerda que la permeabilidad, de manera simple y general, es la capacidad de una roca para permitir la circulación del agua a través de ella, es fácil comprender, que además de los factores como tamaño, forma, acomodo y heterogeneidad de las partículas, la permeabilidad dependerá también de la conexión o intercomunicación de los poros que contienen agua.

La arcilla por ejemplo, como se dijo antes, es una roca muy porosa, pero tiene una permeabilidad muy baja. Esto se debe a que sus partículas son microscópicas y se encuentran densamente empaquetadas.

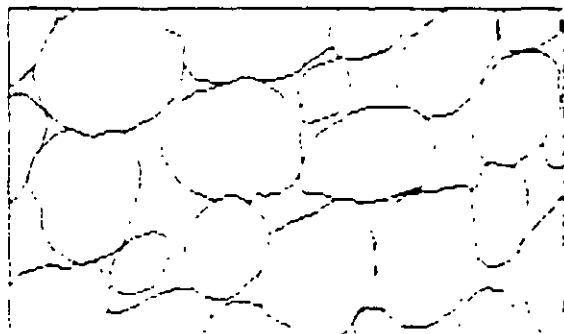
DISTINTOS TIPOS DE INTERSTICIOS Y RELACION ENTRE LA TEXTURA Y LA POROSIDAD DE LAS ROCAS



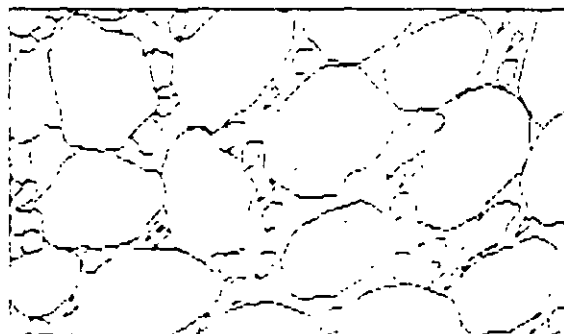
Depósito sedimentario de granulometría homogénea y gran porosidad



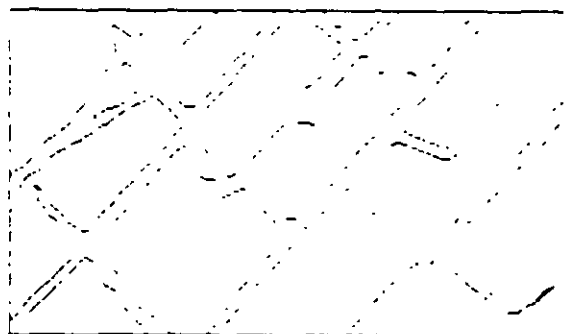
Depósito sedimentario de granulometría homogénea cuya porosidad ha disminuido por cementación de sus intersticios con materia mineral



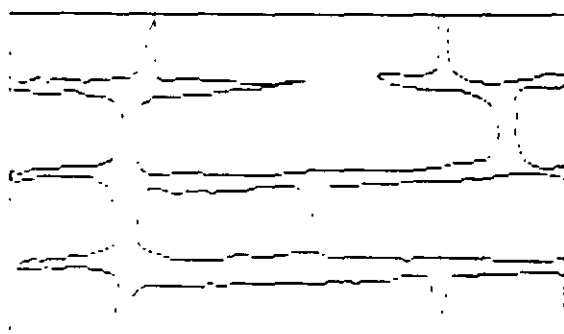
Depósito sedimentario de granulometría homogénea formada por elementos que se unen por cementación por tanto por pérdida de los espacios



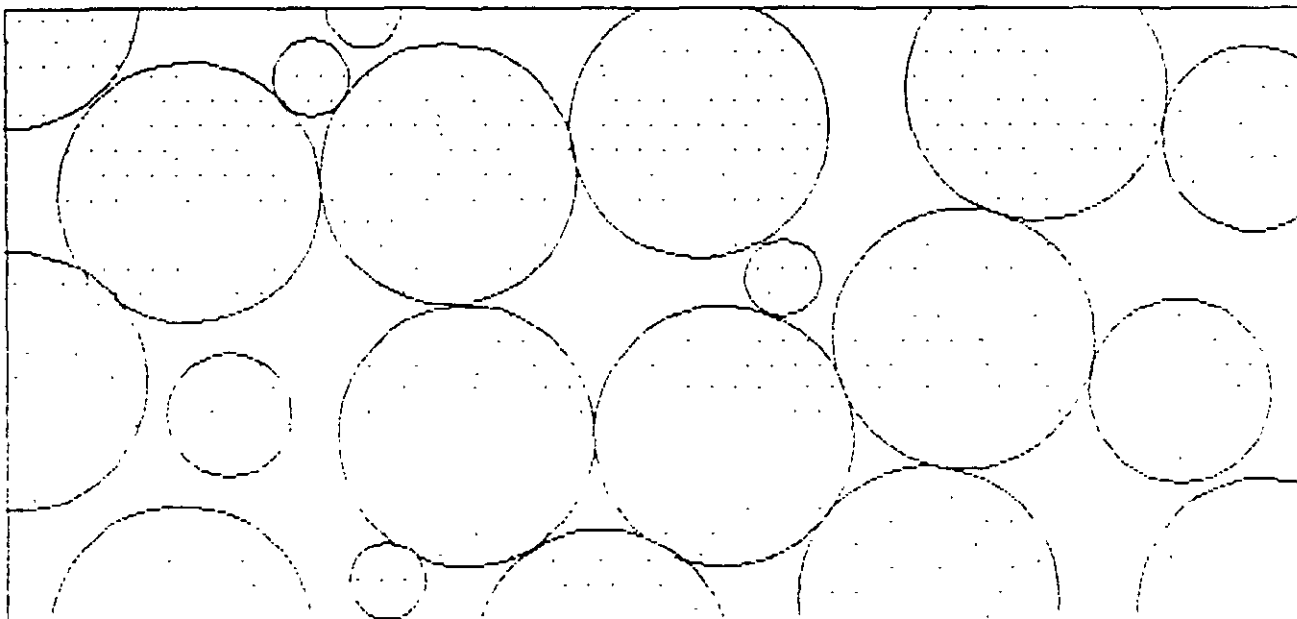
Depósito sedimentario de granulometría heterogénea y escasa porosidad



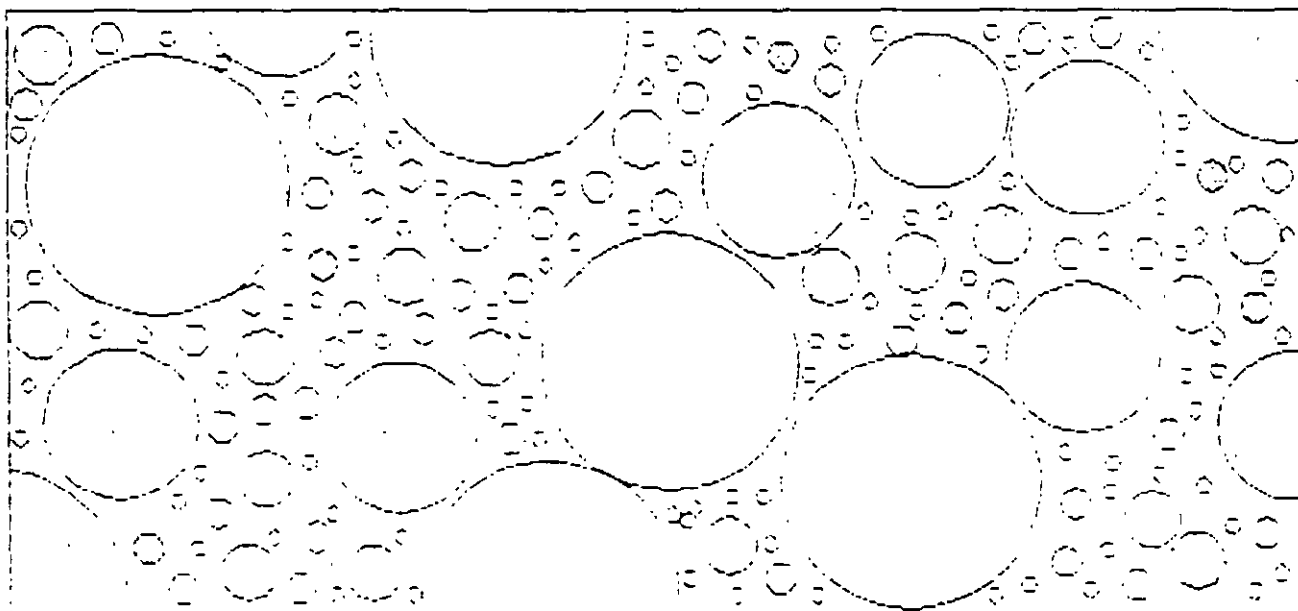
Esqueleto poroso por disolución



Esqueleto poroso por solución



POROSIDAD 32%



POROSIDAD 17%

Variación de la porosidad devida al grado de homogeneidad del tamaño de los granos. Los números que figuran al pie de cada dibujo indican el porcentaje de porosidad de la muestra.

FIG. 2

Las fuerzas de atracción molecular, adhesión y cohesión se combinan para que el agua contenida entre sus poros sea cedida muy lentamente en forma natural o hacia las captaciones artificiales (Tabla I).

TABLA I

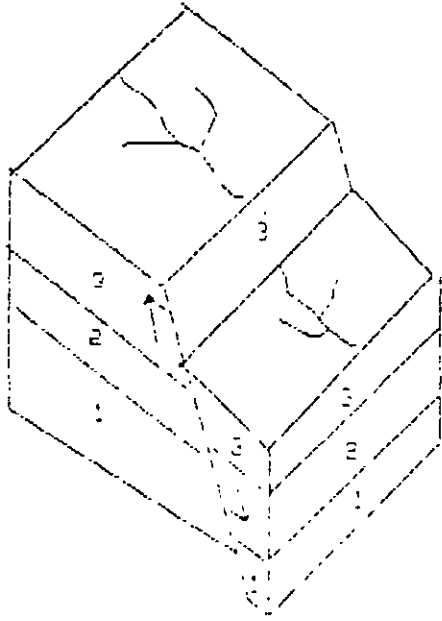
ROCA	POROSIDAD ϕ	RENDIMIENTO ESPECIFICO	PERMEABILIDAD
Arcilla	40 - 55	1 - 10	10^{-10} - 2×10^{-7}
Areña	30 - 40	10 - 30	10^{-5} - 3×10^{-4}
Grava	30 - 40	15 - 30	10^{-5} - 1.3×10^{-3}
Grava y arena	20 - 35	15 - 25	10^{-5} - 5×10^{-4}
Areniscas	10 - 20	5 - 15	10^{-8} - 5×10^{-6}
Calizas	1 - 20	9.5 - 5	muy variable

1.2.2.- ACUIFEROS FORMADOS POR FRACTURAMIENTO DE ROCAS VOLCANICAS

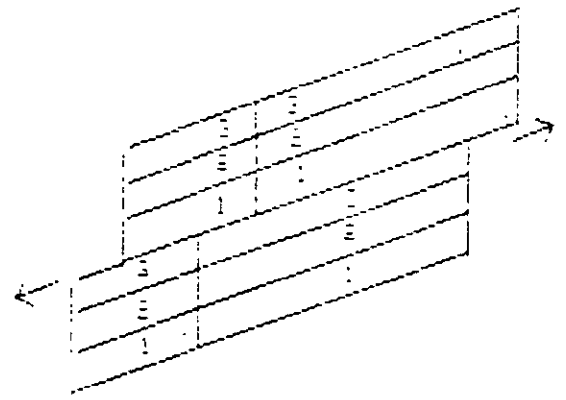
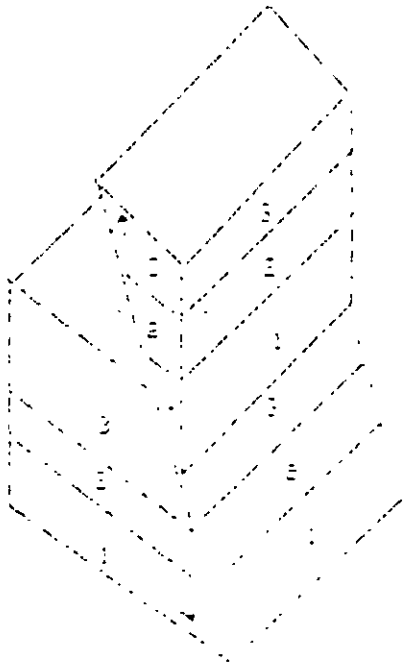
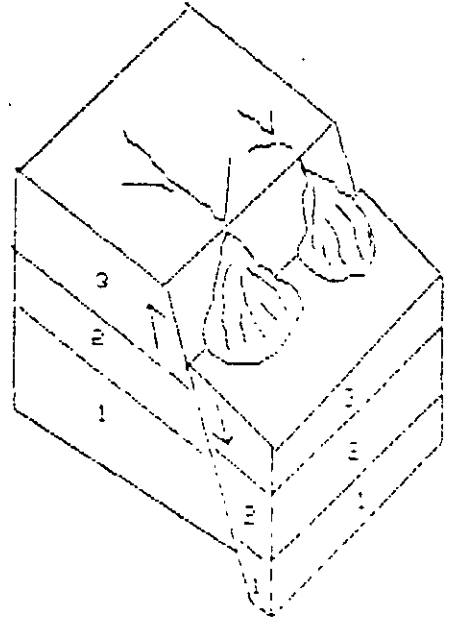
En este grupo de rocas se encuentran las rocas densas o compactas como el basalto, la andesita, riolita, riodacita, ignimbrita y dacita entre otras.

Los procesos que causan que estas rocas de origen impermeables se vuelvan permeables, pueden ser de origen tanto mecánico como químico. En la mayoría de los casos, este cambio es propiciado por la combinación de los dos procesos, pero para ello entra en juego el clima y la naturaleza de la roca. En condiciones áridas extremas, sólo tienen significancia los procesos mecánicos. Las aberturas secundarias en las rocas se inician con una falla de la masa de la roca para resistir la presión sufriendo una deformación. Cuando esta deformación es expresada en una pequeña abertura se llama junta. Cuando ocurre una fractura con desplazamiento horizontal o vertical se le conoce como falla. En la figura 3 se esquematizan los principales tipos de fallas.

TIPOS DE FALLAS



Falla normal



Falla inversa

Falla de ...

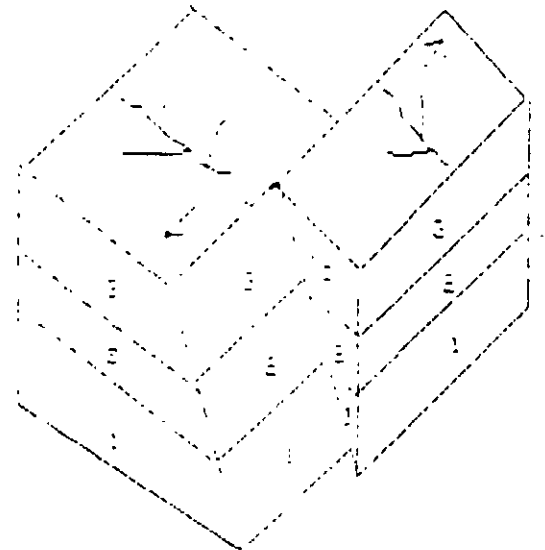


FIG. 3

Las juntas (fig. 3) se desarrollan en las rocas ígneas debido a esfuerzos de tensión desarrollados dentro de las rocas cuando se van solidificando y enfriando. En la mayoría de los casos, tales juntas se abren cuando la roca es aliviada de la presión que le rodea. En la estructura columnar de algunos flujos de basalto, el enfriamiento produce columnas hexagonales. En estas estructuras, las juntas pueden abrirse a lo largo de las columnas por esfuerzos tectónicos, lo que aumenta la densidad de discontinuidades en la roca y la infiltración.

De acuerdo a la naturaleza de la juntas, su distribución espacial puede ser inferida en el subsuelo; así, las juntas por alivio de la presión en las rocas ígneas generalmente están restringidas a profundidades someras; alrededor de 30m, pero pueden extenderse horizontalmente sobre amplias áreas, lo que propicia una buena infiltración del agua de lluvia.

Por otro lado, las fracturas y juntas relacionadas con fallas regionales, están restringidas en superficie, pero llegan hacia abajo a profundidades de unos cuantos cientos de metros (fig 4).

La permeabilidad de estas rocas volcánicas depende del grado de fracturación. En rocas ígneas de grano grueso, en lo general esta es reducida debido a la caolinitización de los minerales feldespáticos a lo largo de los planos de fracturación o de las juntas interiores como es el caso de las andesitas porfídicas. En las rocas ígneas de grano fino como los basaltos, y vetas de cuarzo de grandes juntas, pueden ser obtenidas altas permeabilidades

- Basaltos

En México, en toda la franja del Eje Volcánico Mexicano, los acuíferos en rocas basálticas son abundantes y muy productores. Como ejemplos pueden citarse entre muchos, los pozos del Sur y Sudeste de la Cd. de México, emplazados en basalto y con caudales muy apreciables. Los del área de Chiconautla en la parte media del Valle de México, los manantiales de Xochimilco ya agotados por la extracción

Pozo productor y seco en rocas volcánicas fracturadas.

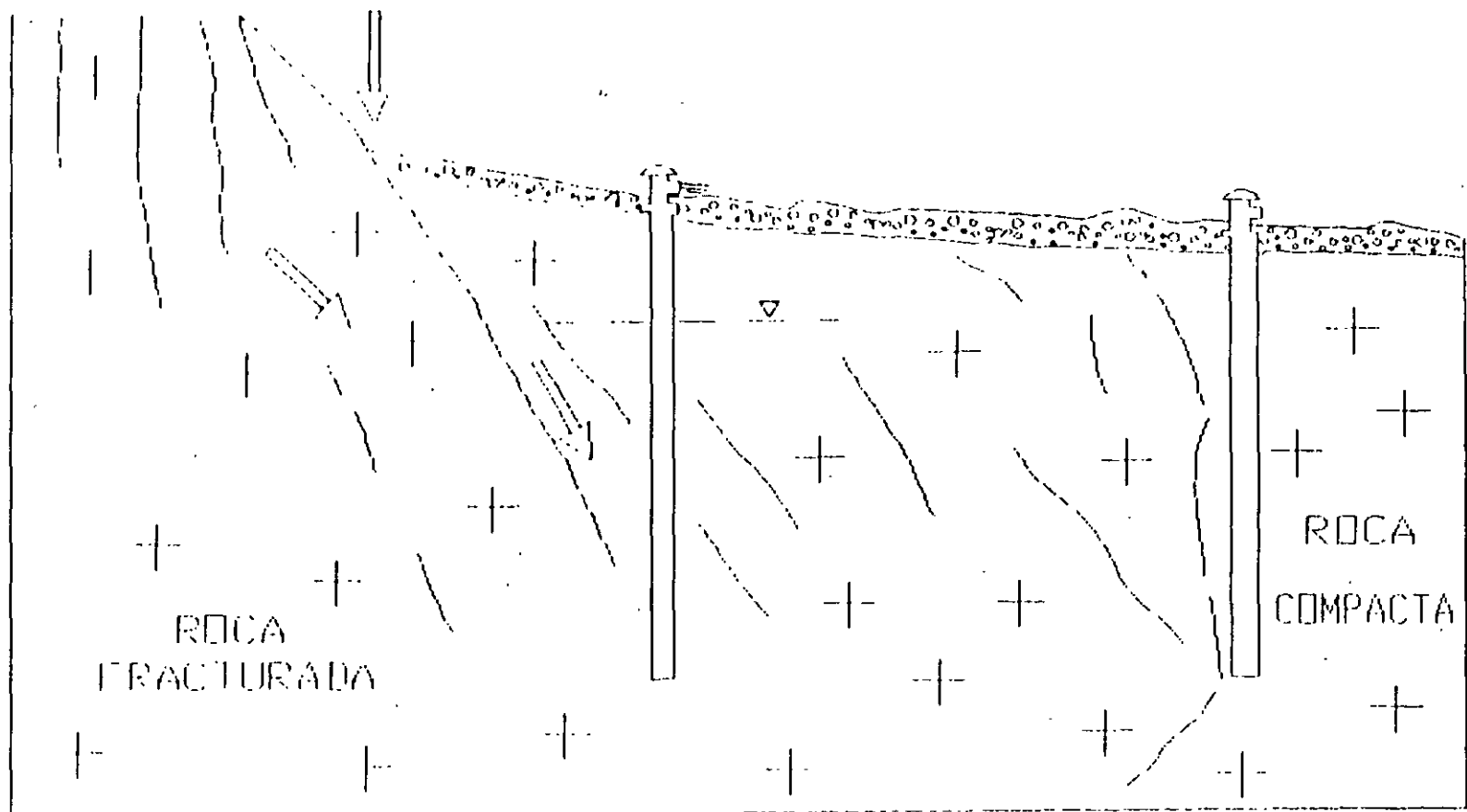


FIG. 4

Héctor L. Macías González, 1986.

de pozos en el área de la planicie, los manantiales de Chapultepec; de Cuernavaca y los pozos termales de Apaseo el Alto en Guanajuato. Lo mismo puede decirse por el material escoriáceo del basalto conocido como "tezontle" que produce pozos de gran rendimiento en la misma Faja Volcánica.

- Riolitas e ignimbritas

El fracturamiento en las rocas riolíticas y las tobas conocidas como ignimbritas, se traduce también prodigamente en excelentes acuíferos en estas rocas. En ciertas porciones del territorio son abundantes las mesetas de ignimbritas con fracturamiento vertical que funcionan como zona de recarga y los fracturamientos regionales en estructuras de altos y bajos tectónicos por donde se infiltra el agua de lluvia a profundidades de cientos de metros. Los ejemplos más conocidos son el Valle de Villa de Reyes en San Luis Potosí y el Valle de León en Guanajuato. (Fig.5)

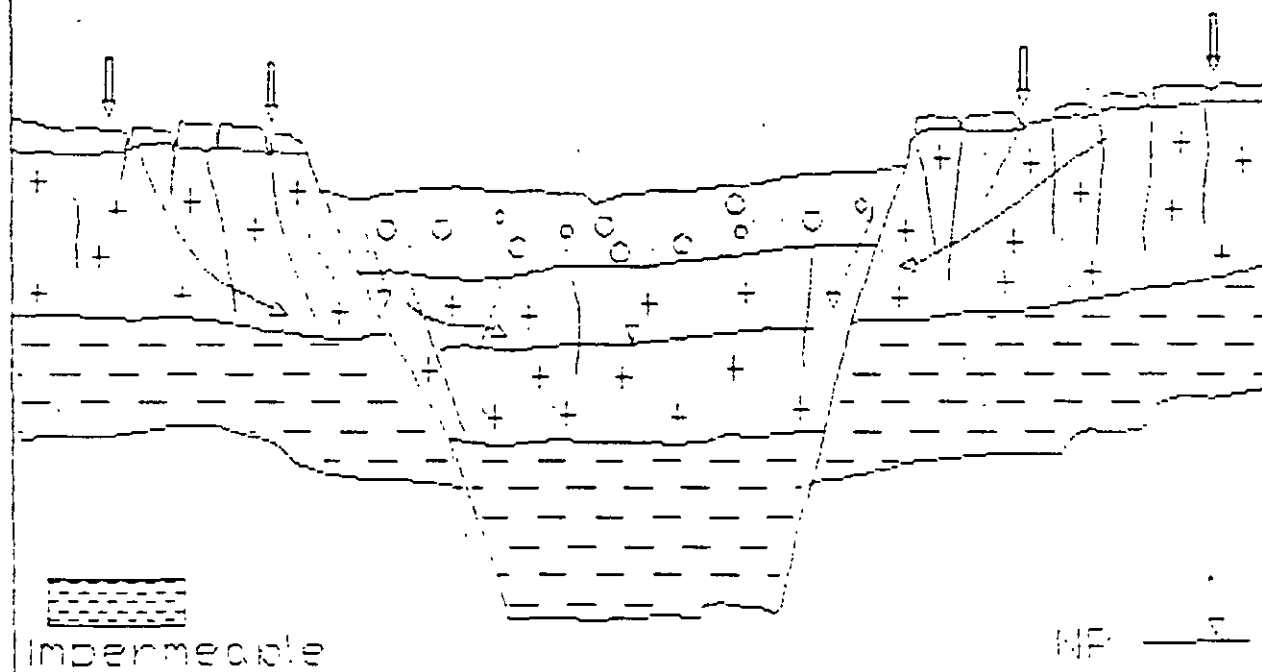
1.2.3. ACUIFEROS FORMADOS POR FRACTURAMIENTO Y DISOLUCIÓN EN ROCAS CARBONATADAS

Algunas rocas carbonatadas como aquellas que se forman en ambientes de plataforma como arrecifes o colonias coralinas, pueden iniciarse con una permeabilidad primaria bastante alta. Sin embargo, la mayoría de los acuíferos más productores de calizas en México se deben a procesos de fracturamiento y disolución en rocas calcáreas densas. La disolución es causada por una sobresaturación agresiva del agua al entrar en las fracturas. La agresividad del agua está determinada por el contenido de CO₂ en ella, el cual toma directamente del aire y de la materia orgánica de la cubierta de suelo.

El proceso de disolución se inicia cuando el agua que contiene CO₂ se transforma en un ácido carbónico débil.



Comunicación a través de fracturas desde la superficie



Alimentación descendente por medio del estrato y capa sobreyacente

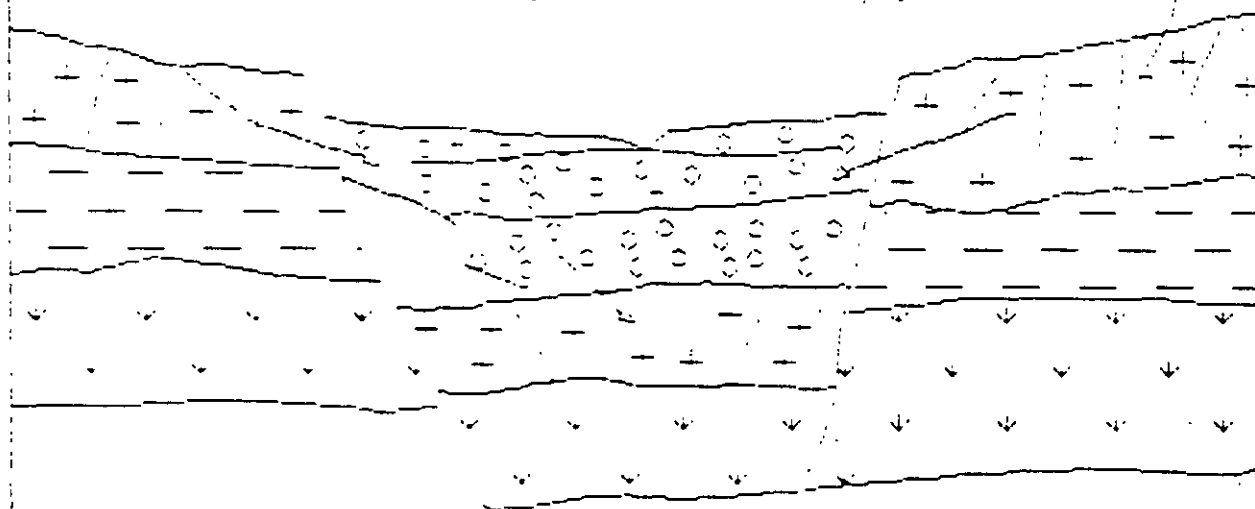
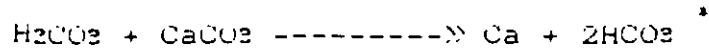


FIG. 5

Héctor L. Macías González. 1985.

El modo de acidificación del agua dependerá de la cantidad de CO₂ disponible en la atmósfera y en el suelo, de la temperatura, la presión atmosférica y el pH del agua. El ácido carbónico ataca a la roca carbonatada disolviéndola en Ca⁺⁺ y en 2HCO₃⁻ :



La cantidad total de roca soluble depende de la cantidad total del agua y CO₂ que pasen a través de la roca. Por tanto, el fenómeno de disolución es más intenso y extremo en las regiones de temperatura y humedad tropical. En estas regiones la espesa vegetación y el delgado humus que contiene el subsuelo producen un alto contenido de CO₂ en el agua.

El tiempo a través del cual ha estado en circulación este tipo de agua, es también un factor decisivo y en regiones en donde las rocas han estado sujetas a la disolución durante largos periodos geológicos, puede ser totalmente denudada.

Una región donde el fenómeno de disolución está altamente desarrollada es la región de Karst en la Dinarides, Yugoslavia, de donde se tomó el nombre para marcar en general a este fenómeno.

La petrografía y la química de la roca tienen una importante influencia en el desarrollo del fenómeno de disolución. Las observaciones han demostrado que las rocas carbonatadas formadas por cristales grandes de calcita, tienden a desarrollar permeabilidades más altas que las rocas litográficas. Las cretas pueden ser de impermeables a semipermeables, en presencia de margas, se reduce aún más su permeabilidad. La dolomita, que es Ca Mg (CO₃) es alrededor de 4 veces menos soluble que la caliza (CaCO₃) y sin embargo, existen acuíferos dolomíticos altamente permeables.

El H₂CO₃ que es inestable se descompone espontáneamente en forma de H⁺ + HCO₃⁻ por lo que también suele expresarse así.

La grutas de Cacahuamilpa en el Estado de Guerrero son un típico ejemplo del poder de disolución del ácido carbónico sobre las rocas calcáreas. En los Estados de Nuevo León y Coahuila existen también grutas y manantiales de este tipo y pozos de gran producción.

1.3 - ROCAS IMPERMEABLES

Aunque el título de este subtema es el de rocas impermeables, es importante hacer notar que en la naturaleza no existen las rocas impermeables. Tanto las rocas plutónicas como las rocas metamórficas tienen permeabilidades de muy bajas a extremadamente bajas. Por esta razón, para fines prácticos se les considera como impermeables.

Las rocas que fueron formadas debido a la cristalización y consolidación de un magma y que no han pasado por la fase secundaria de fracturación y descomposición son muy impermeables. Dentro de estas, quedan comprendidas las rocas intrusivas como el granito, diorita, tonalita, granodiorita y gabro entre las principales.

En contraste con este grupo, existe el de aquellas que han estado sujetas a diversos episodios de tectonismo y que han sufrido tantas alteraciones y cambios que es difícil reconocer a la roca madre. Este tipo de rocas llamadas metamórficas, incluyen a rocas tales como el mármol, pizarras, esquistos, gneiss y cuarcitas en donde los espacios abiertos son muy reducidos. Los esfuerzos a que fueron sometidas y su prolongada edad, han producido una fuerte compactación, y en los casos de zonas de fracturamiento, estas están casi siempre rellenas por vetas de mineralización, de sílice o de relleno estéril.

Estos dos grandes grupos de rocas intrusivas y metamórficas cuando no presentan un alto grado de intemperismo tienen una porosidad total inferior al 1%, y por lo general, casi siempre inferior al 1%. Esto se debe a que los escasos poros existentes en estas rocas son muy pequeños y por lo general, sin conexión entre sí.

Estas consideraciones pueden ser válidas para la generalidad de las rocas plutónicas y metamórficas. sin embargo, algunos casos particulares se alejan de la generalidad como son algunos granitos y cuarcitas que en obras de tuneleo y otras llevadas a cabo en México, han aportado apreciables caudales de agua subterránea.

La permeabilidad que puede desarrollarse en estas rocas tiene lugar en las zonas de intemperismo y decomposición. Las rocas graníticas paleozoicas y mesozoicas que bordean a la Cd. de Nogales, Son., por ejemplo, exhiben una cubierta de intemperismo formada de arena gruesa llamada "tucuruguav". Esta cubierta que en algunas localidades alcanza espesores de hasta 150m es muy permeable y en ella se han emplazado pozos con caudales de hasta 15 lps (Fig. 6). En estas rocas, los diques funcionan como barreras laterales al flujo. Por debajo de esta cubierta la roca sana muestra un sistema de fracturas escasamente desarrollado que se cierra a poca profundidad.

En un tipo de rocas metamórficas denominadas cuarcitas, el Ing. Mario Vevtia (comunicación verbal), encontró durante uno de sus trabajos de asesoría, agua subterránea en el túnel Río Colorado - Ijuana, proveniente de las cuarcitas y con una carga de columna de agua de unos cien metros.

Como puede esperarse, estos casos son excepcionales y lo más frecuente en los trabajos de exploración o cuantificación, es el de considerar a estas rocas como barreras al flujo de agua subterránea.

1 - - ESTRATIGRAFIA REGIONAL

En el estudio de la estratigrafía regional, se investiga la secuencia del carácter litológico y la distribución espacial de las capas en una cierta región. En el estudio geonidrológico, el hidrogeólogo se interesa en la distribución espacial de las rocas que forman acuíferos, acuíclados y acuíardos. El estudio de esta secuencia se lleva a cabo investigando la sección geológica de la región.

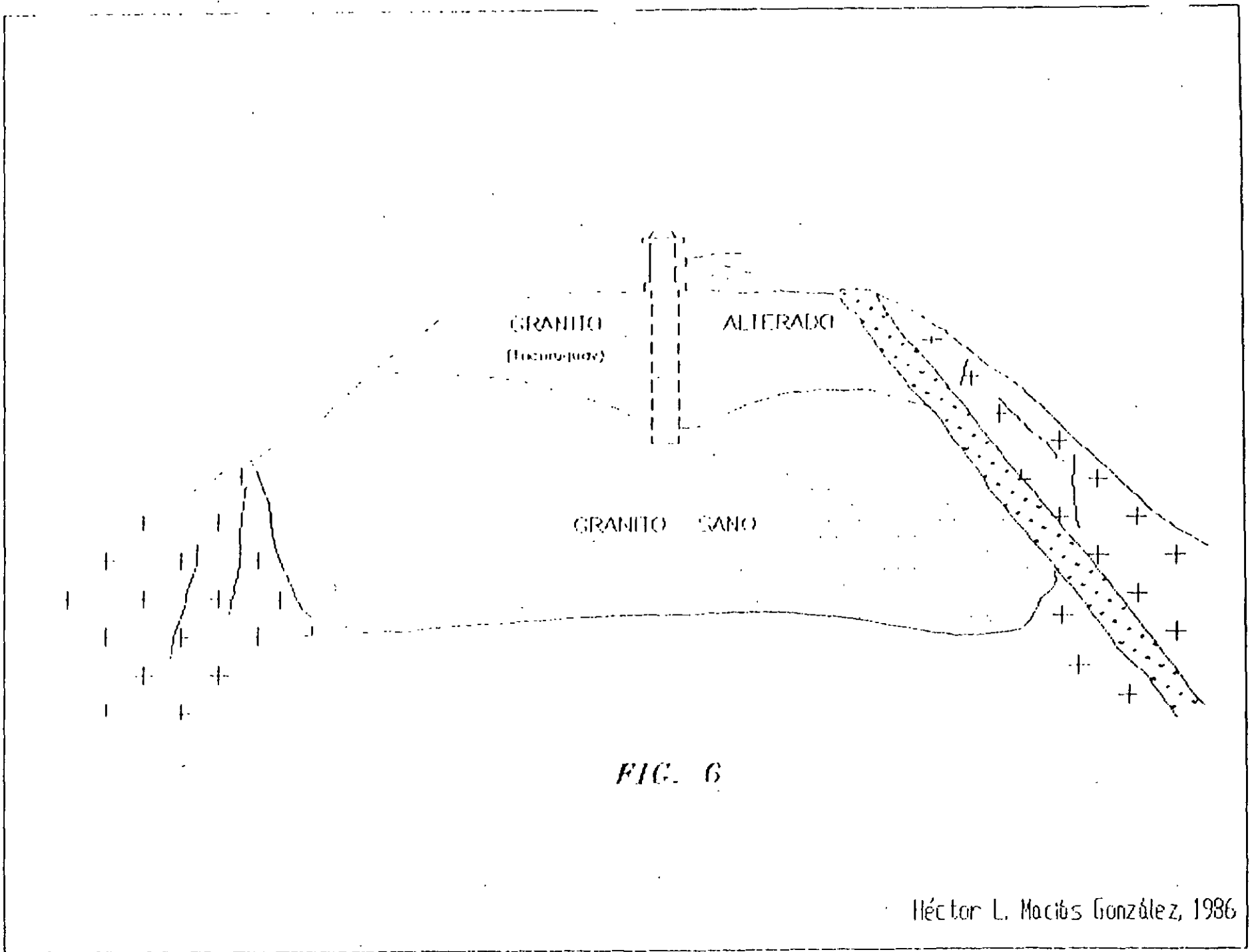


FIG. 6

Héctor L. Maciás González, 1986

La secuencia es subdividida de acuerdo con sus unidades litológicas y de acuerdo con las unidades de tiempo.

Se debe tener cuidado de no mezclarlas, ya que esto traerá malas interpretaciones y fallas en la construcción del modelo geológico.

Las unidades litoestratigráficas son aquellas distinguibles de acuerdo a su carácter litológico.

Las unidades cronoestratigráficas son aquellas distinguibles de acuerdo a sus diferentes edades absolutas o relativas.

La unidad litoestratigráfica básica es la Formación

Una Formación es una unidad cartografiable

Varias formaciones forman un Grupo

Las unidades de tiempo se fijan de acuerdo con las divisiones de tiempo de la columna geológica, la cual, a su vez, ha sido construida auxiliándose de los fósiles y elementos radioactivos.

La división dentro de las formaciones es significativa desde el punto de vista hidrogeológico y con este propósito, las formaciones pueden ser agrupadas o subdivididas en unidades hidroestratigráficas.

Una unidad hidroestratigráfica es una unidad cartografiable con propiedades hidrogeológicas específicas.

Como en la litoestratigrafía, también en la hidroestratigrafía se pueden tener fallas de facies debido a los cambios laterales en el ambiente de deposición. Estos cambios de facies tienen una importancia muy grande desde el punto de vista hidrogeológico.

Después de definir las formaciones geológicas se procede con la ayuda de la estratigrafía, a construir la sección o columna de la región estudiada auxiliándose en los afloramientos y en la información proporcionada por pozos y exploraciones geofísicas.

Esta información permite construir secciones transversales al flujo del agua y el diagrama de bloques tridimensionales o bloque diagramático.

Al construirse el modelo tridimensional, se puede encontrar no sólo la correlación estratigráfica local sino la secuencia regional y ocasionalmente la presencia de discordancias en las secciones geológicas.

Una discordancia se refiere a una alteración en la historia geológica de una región y son como sigue:

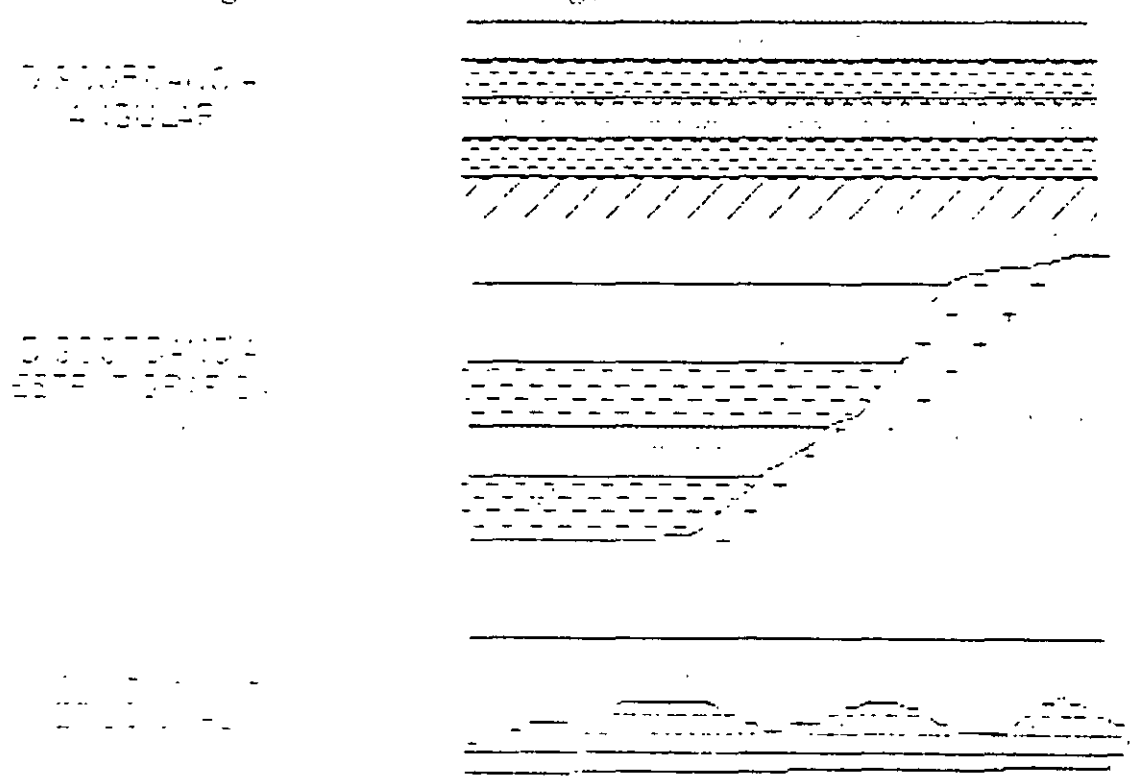


FIG. 7

Es muy importante el conocimiento de estas discordancias desde el punto de vista hidrogeológico, ya que pueden dar lugar a cambios de permeabilidad, de la superficie freática o piezométrica, o bien identificar barreras de flujo subterráneo.

1.5 - DISTRIBUCION DEL AGUA EN EL SUBSUELO

El agua que se infiltra en el subsuelo inicia un recorrido a través de él, con un movimiento preferentemente vertical causado por el efecto de la gravedad hasta alcanzar el acuífero o roca almacenante caracterizada por la saturación de agua en sus intersticios. En el trayecto del agua, antes de alcanzar su destino en el subsuelo, pueden reconocerse tres subzonas que se citan en orden descendente desde la superficie del terreno: subzona de agua del suelo, subzona intermedia y subzona capilar. Estas subzonas se agrupan y conforman la llamada zona de aereación (Fig. 6).

El agua contenida en la zona de aereación se designa como agua suspendida o vadosa.

La subzona del agua del suelo tiene una extensión variable, su espesor quedará definido por el tipo de suelo y la vegetación del lugar, pero para fijar límites se puede decir que esta subzona tiene una dimensión que va desde la superficie del terreno hasta la profundidad de las raíces de las plantas.

Parte del agua contenida en la primera subzona, será capaz de drenar por acción de la gravedad, a esta agua se le conoce como agua gravitacional; la parte restante queda retenida en la superficie de las partículas del suelo en forma de una película fina alrededor de ellas por acción de la tensión superficial. Esta agua denominada agua película, es utilizada en gran medida por las plantas y es precisamente en agricultura donde se define como "capacidad de campo" a la máxima cantidad de agua película que es capaz de retener un suelo por unidad de volumen.

La subzona intermedia ocupa un terreno comprendido entre el límite inferior de la subzona de agua y el límite superior de la subzona capilar (fig. 8). Aunque muchos autores se empeñan en hacer intervenir a esta subzona, en opinión del autor se puede decir que es una extensión a profundidad de la subzona del agua del subsuelo, ya que también está constituida por el agua pelicular y el agua gravitacional; la única diferencia estriba en que en la subzona intermedia por definición, no debe existir la influencia de las plantas.

La subzona más profunda de la zona de aereación se le denomina subzona capilar. Esta se extiende por encima de la zona de saturación en donde el agua se eleva a causa de la atracción capilar; así, el espesor de la subzona por encima del nivel freático está definido por el límite de la elevación capilar del agua. Este límite es función de la granulometría de esta zona. A menor diámetro de las partículas mayor será la altura de la zona capilar y viceversa.

En la zona de saturación, el agua llena completamente los intersticios (poros, fisuras y fracturas) de la roca y acusa un movimiento fundamental en dirección horizontal diferenciándose del movimiento vertical que se establece en la zona de aereación.

Los límites superiores de esta zona son variables, es decir, las subzonas anteriores bien pueden no existir si el nivel freático se encuentra situado muy cerca de la superficie del terreno. Así, es en las rocas que constituyen esta zona donde se almacenan cantidades de agua, tan grandes según la porosidad existente en ellas y las características geológicas generales propias de la zona.

1.5 TIPOS DE ACULIFEROS

Como se vio en la primera parte, las rocas capaces de almacenar y transmitir agua reciben el nombre de aculíferos (del latín *acqua* = agua y de *ferre* = llevar).

Se vió también en el inicio de 1.2 que los acuíferos funcionan como cuerpos transmisores de agua, desde las zonas de recarga a las de descarga o hacia los embalses subterráneos de almacenamiento.

En estrecha relación con los acuíferos hay otros tipos de rocas que se clasifican de acuerdo a su funcionamiento y capacidad para almacenar agua y cederla a las zonas de drenado natural, a las captaciones artificiales o a los mismos acuíferos. Estas rocas o formaciones geológicas que sobreyacen, subyacen o limitan lateralmente a los acuíferos se conocen como acuicludos, acuitardos y acuífugos.

Aunque algunos autores se oponen al uso de estos términos, se hace la descripción de los mismos en estas notas por considerarse de interés. Los acuicludos o acuicierres (del latín *claudere* = cerrar) son las formaciones geológicas que contienen agua, pero que no la transmiten, por lo que su explotación no puede efectuarse. El ejemplo clásico que se cita en todos los libros son las arcillas, que a pesar de su alta porosidad (40-50%) no permiten que el agua sea drenada pues a ello se opone la atracción molecular, la cohesión y la tensión superficial.

Los acuitardos, como su nombre lo indica, son formaciones geológicas semipermeables que transmiten muy lentamente el agua que contienen. Por esta circunstancia, localmente los acuitardos no son aprovechables, sin embargo, a nivel regional, pueden ceder agua en cantidades significativas en un balance de aguas subterráneas. Existen numerosos ejemplos de acuitardos que limitan superiormente a acuíferos y que por diferencias de presiones hidráulicas entre ambos, se establece una recarga descendente o ascendente del acuitardo hacia el acuífero, o del acuífero hacia el acuitardo.

Ejemplos de acuitardos son algunas formaciones arcillosas mezcladas con arenas y limos, con horizontes de arenas o fragmentos de coque, o de arenas, cenizas y fragmentos mayores de origen volcánico.

Los acuífugos (del latín *fugere* = huir), son las formaciones impermeables que no contienen agua como son las rocas ígneas extrusivas e intrusivas que no se encuentran fracturadas o alteradas y rocas carbonatadas en las mismas condiciones.

Desde el punto de vista de funcionamiento hidráulico y según el grado de confinamiento de las aguas que contiene, los acuíferos se clasifican en tres tipos:

- acuíferos libres o freáticos
- acuíferos confinados
- acuíferos semiconfinados

Los acuíferos libres son aquellos en que el agua subterránea presenta una superficie libre sujeta a la presión atmosférica. Esta superficie libre es el límite superior de la zona de saturación y se le conoce como superficie freática (fig. 9).

Un acuífero limitado superior e inferiormente por formaciones impermeables y que contiene agua a mayor presión que la atmosférica se le clasifica como acuífero confinado. Cabe aquí hacer mención que en la naturaleza, raramente se encuentran formaciones completamente impermeables, por lo que algunos autores mencionan de manera muy atinada al referirse a estos acuíferos que las capas que los limitan son "relativamente impermeables" (fig. 10).

La compresión del agua en estos acuíferos confinados se debe a la transmisión de la presión de la carga hidráulica a altura de la columna de agua al seno del acuífero y al peso de la columna litostática que éste soporta. Por ello, cuando se perfora un pozo en estos acuíferos, el agua asciende dentro del pozo por encima del techo del acuífero, y si la presión de confinamiento es mayor, el agua puede brotar como en los ríos surrientes o artesianos.

DISTRIBUCION DE AGUA EN EL SUBSUELO

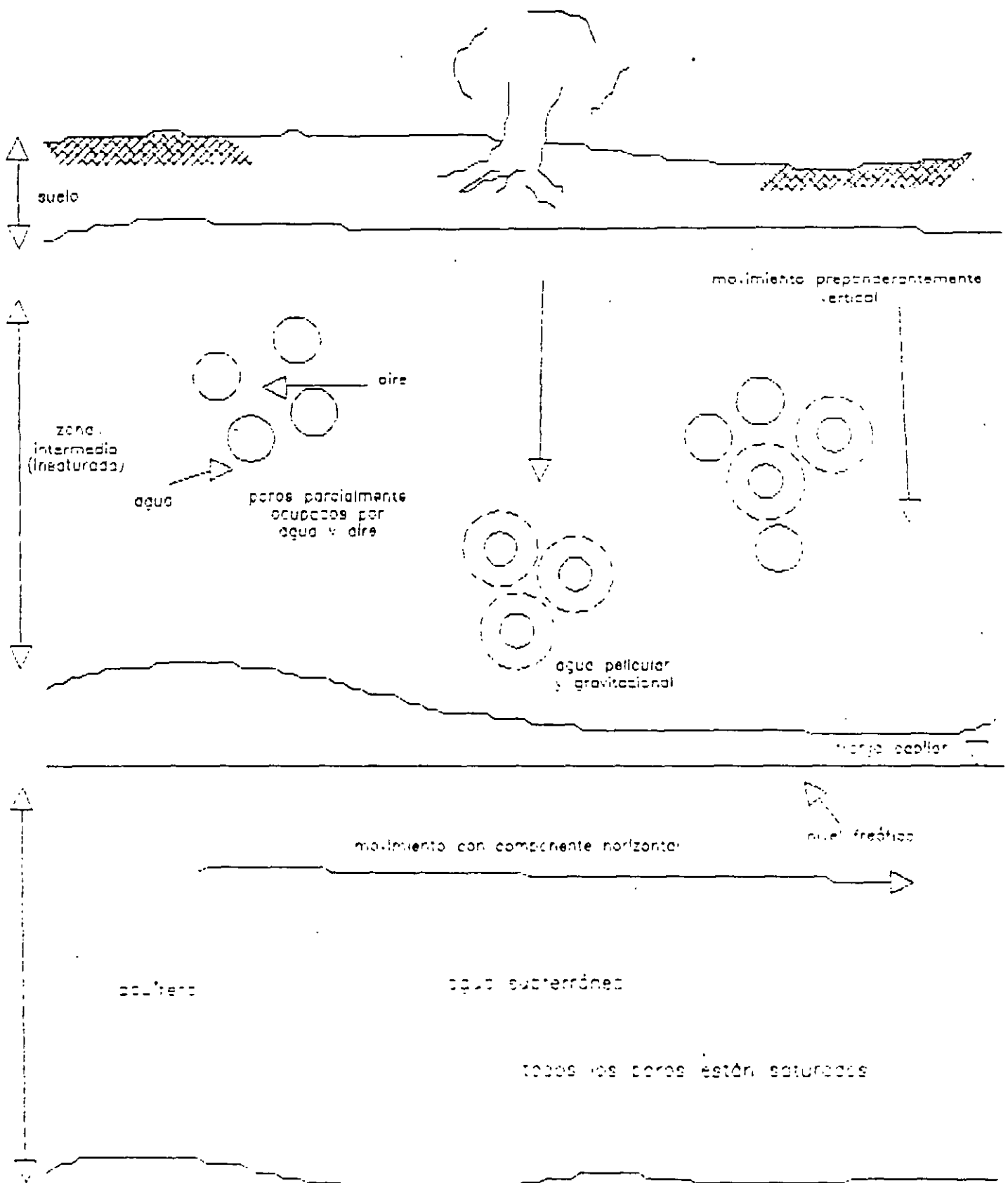


FIG. 8

DIFERENTES TIPOS DE ACUIFEROS

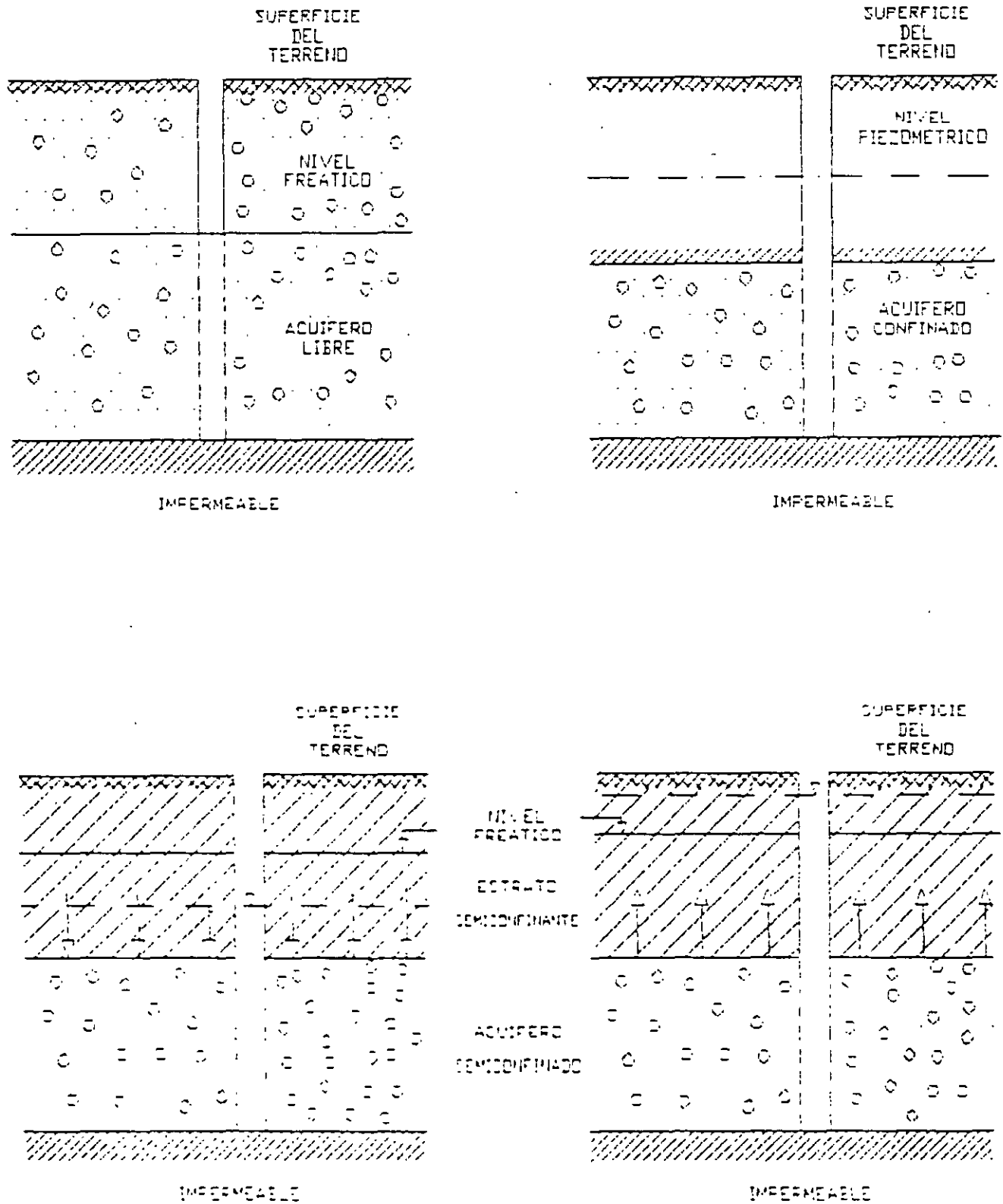


FIG. 9

Los acuíferos semicontinados son también estratos completamente saturados y sometidos a presión, limitados en su parte superior por un estrato menos permeable a través del cual puede recibir o ceder a recarga vertical.

En las siguientes figuras se esquematizan los tipos de acuíferos descritos. En la primera (fig. 11) se idealiza un estrato de rocas calcáreas confinado entre dos capas de lutita. También se puede ver que el acuífero confinado funciona como una tubería a presión, y el acuífero libre como un canal.

Otra analogía para los acuíferos confinados además de las obras hidráulicas, es la de un vaso comunicante en donde se igualan las presiones de un líquido (fig. 12).

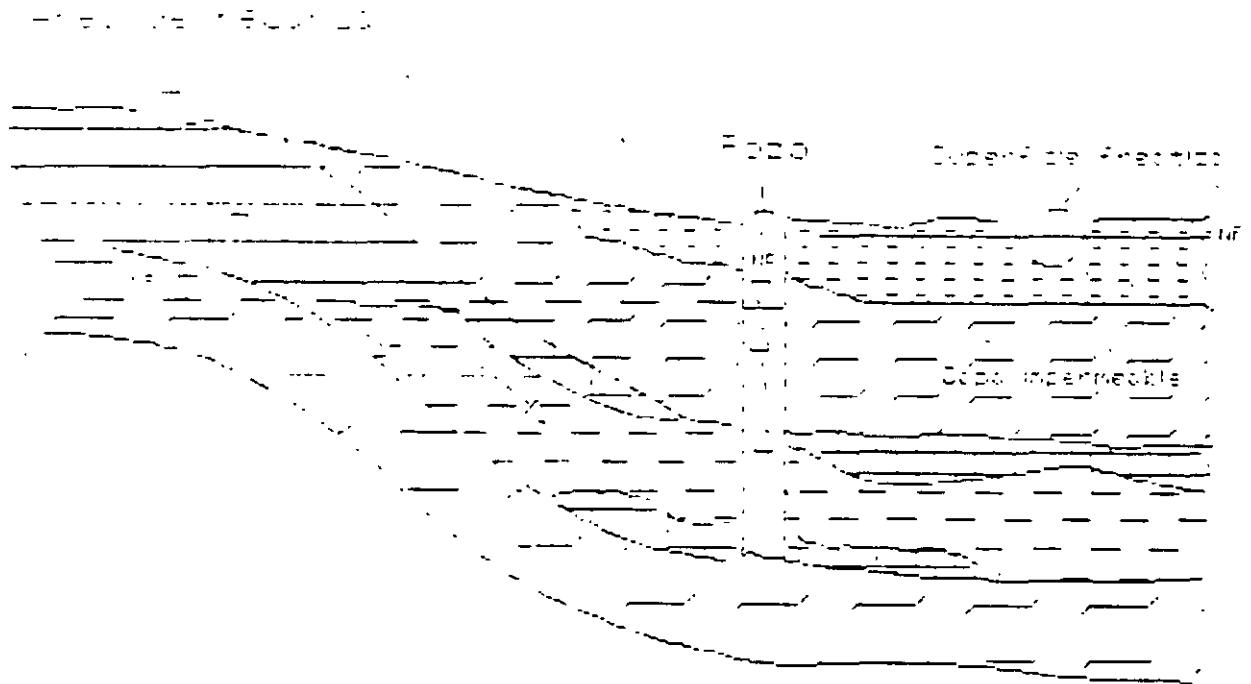
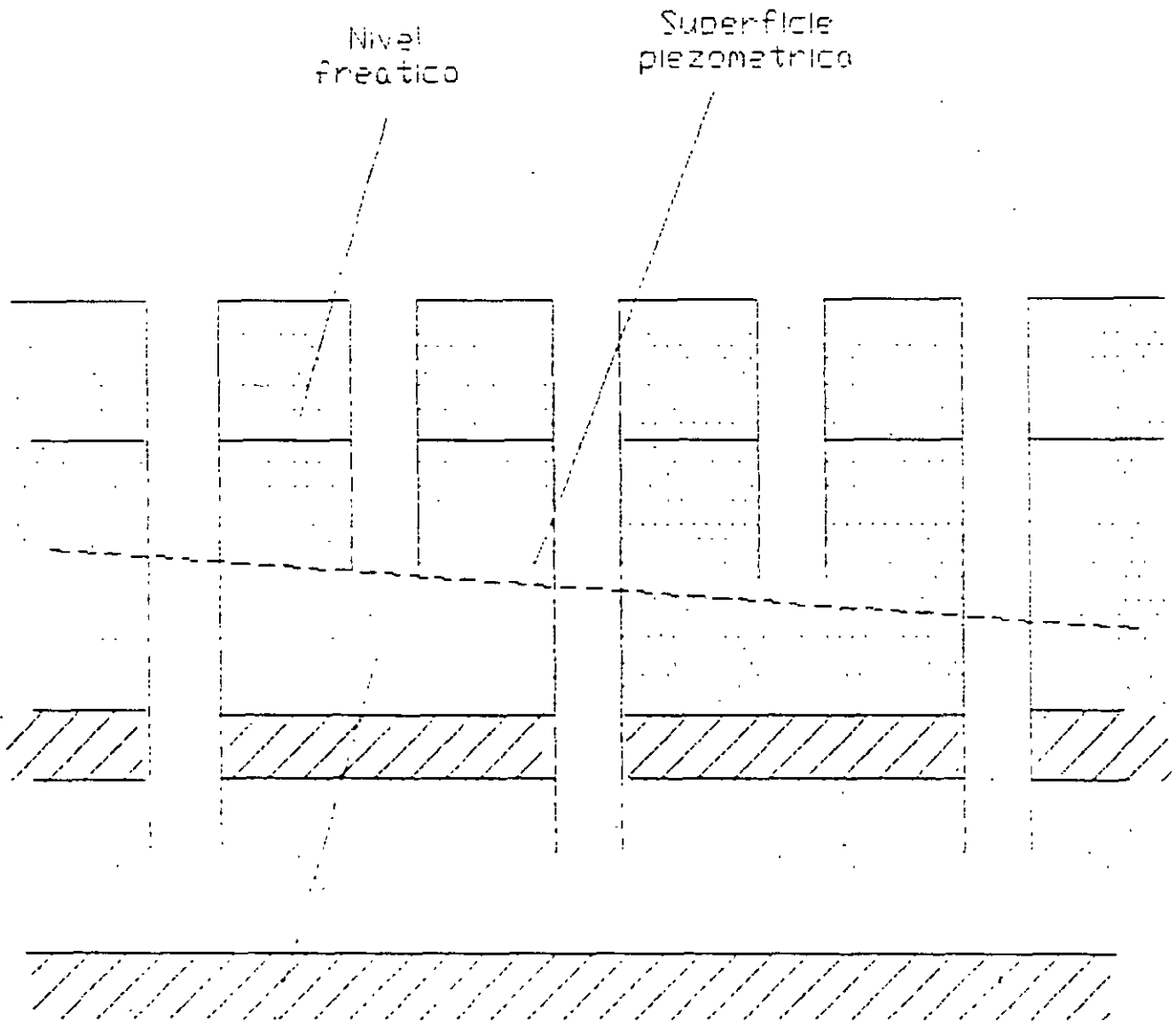


FIG. 11

Elaborado por el autor en 1966.
Revisado por el autor en 1966.

ACUIFERO CONFINADOS Y NO CONFINADOS



Acuífero no confinado

Acuífero confinado

— arenas

— arcillas

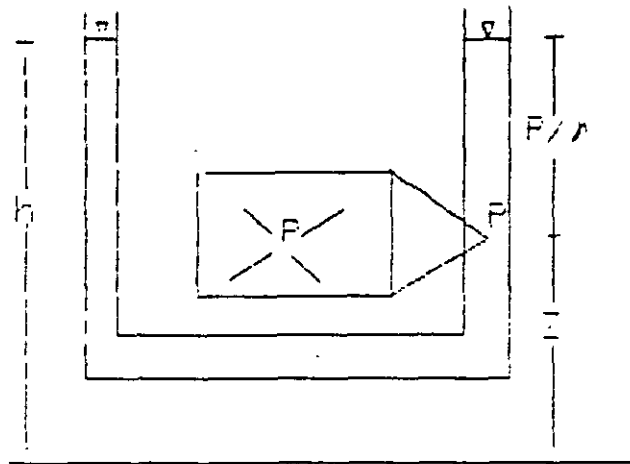


FIG. 12

Nivel de referencia arbitrario

La siguiente figura (fig. 13) muestra la esquematización de un acuífero semiconfinado:

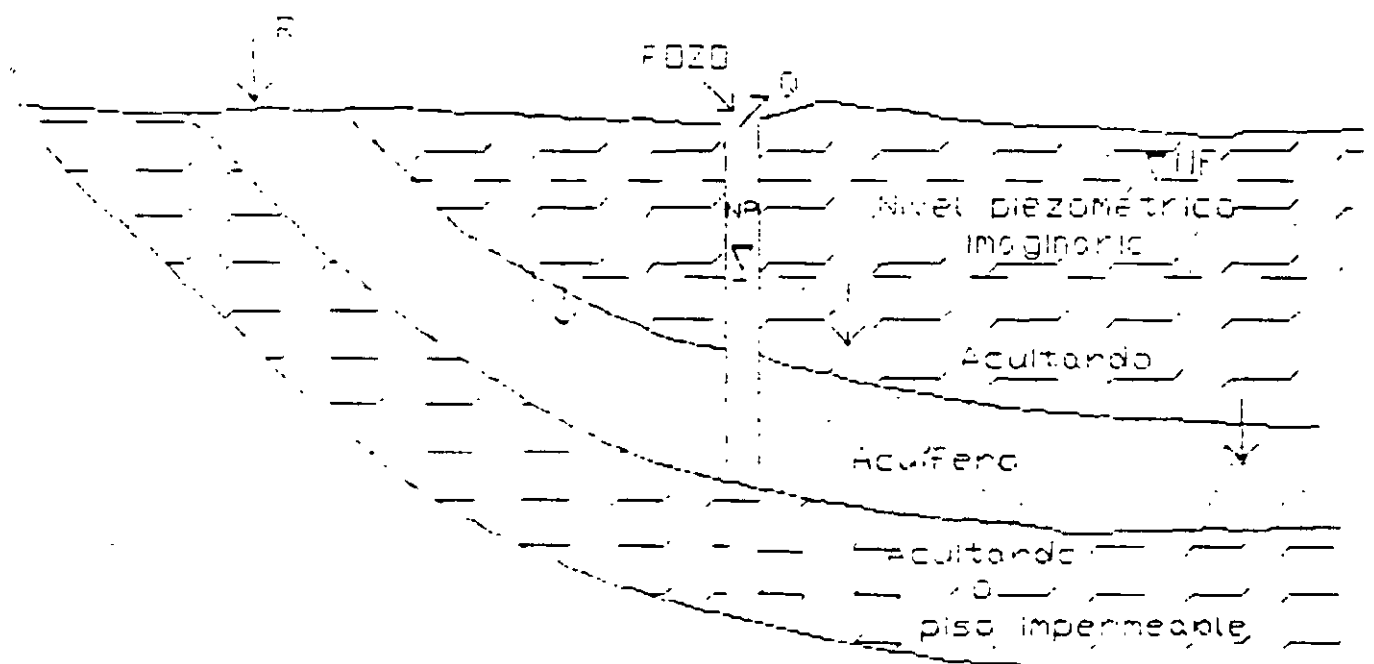
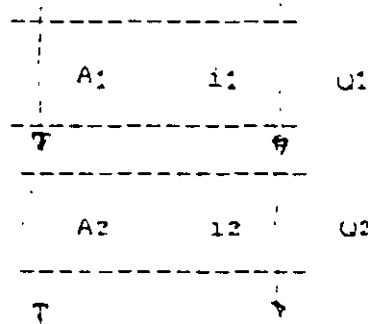


FIG. 13

1.7 INFLUENCIA DE LAS ESTRUCTURAS SOBRE LA SUPERFICIE FREÁTICA O PIEZOMÉTRICA

La representación gráfica de los niveles del agua subterránea (profundidad al nivel o elevación con respecto a un nivel de referencia), son sumamente útiles para conocer de manera aproximada el grado de explotación de un acuífero, la dirección preferencial de flujo y la posición de las zonas de recarga y descarga. La dirección del flujo está determinada, en condiciones naturales o de equilibrio, por la relación geográfica entre el área de recarga y descarga. Cuando una cuenca se encuentra sobreexplotada, la red de flujo es deformada en la medida en que se tome agua del almacenamiento.

El gradiente en la red de flujo a un mismo caudal, es función inversa de la permeabilidad, por lo que si en una cierta sección se observa un cambio significativo del gradiente, esto puede deberse a un cambio en la litología y por tanto de la permeabilidad o a un cambio en el caudal de flujo.



Por hipótesis los caudales Q_1 y Q_2 son iguales

$$Q_1 = A_1 V_1$$

$$Q_2 = A_2 V_2$$

$$Q = A_1 V_1 = A_2 V_2$$

$$Q = A_1 V_1 = A_2 V_2 \quad \frac{V_1}{V_2} = \frac{A_2 l_2}{A_1 l_1}$$

Como las presiones son consistentes, entonces:

$$\frac{V_1}{V_2} = \frac{l_2}{l_1}$$

En un acuífero uniforme, se tendrá en consecuencia, una velocidad uniforme y se tienen trazos más o menos rectos.

Debido a las condiciones arriba mencionadas se puede ver que en estructuras geológicas diferentes se tendrán condiciones diferentes en el nivel del agua. Esto estará controlado por:

- a) Topografía
- b) Estructura geológica y litología (control estructural)
- c) Permeabilidad
- d) influencia de las zonas de recarga y descarga
- e) Espesor del acuífero

En el caso de que se tuviera una capa impermeable intermedia entre la superficie y el techo del acuífero, se habla de un manto colgado y un nivel de aguas colgadas (fig. 14).

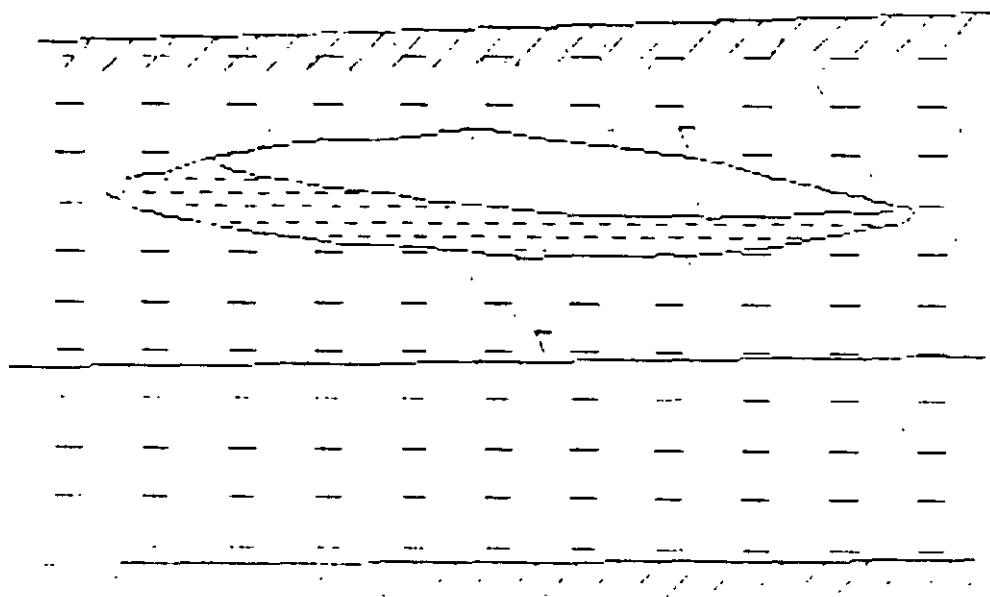


Fig. 14

Diagrama geológico

Entre más húmeda sea el área, habrá más cambios para un nivel de agua somero. Otro caso es por la ocurrencia de fuentes de recarga como flujos de entrada o por el contrario, flujos de salida del agua subterránea. Como ejemplo ríos efluentes o influentes (fig. 15).

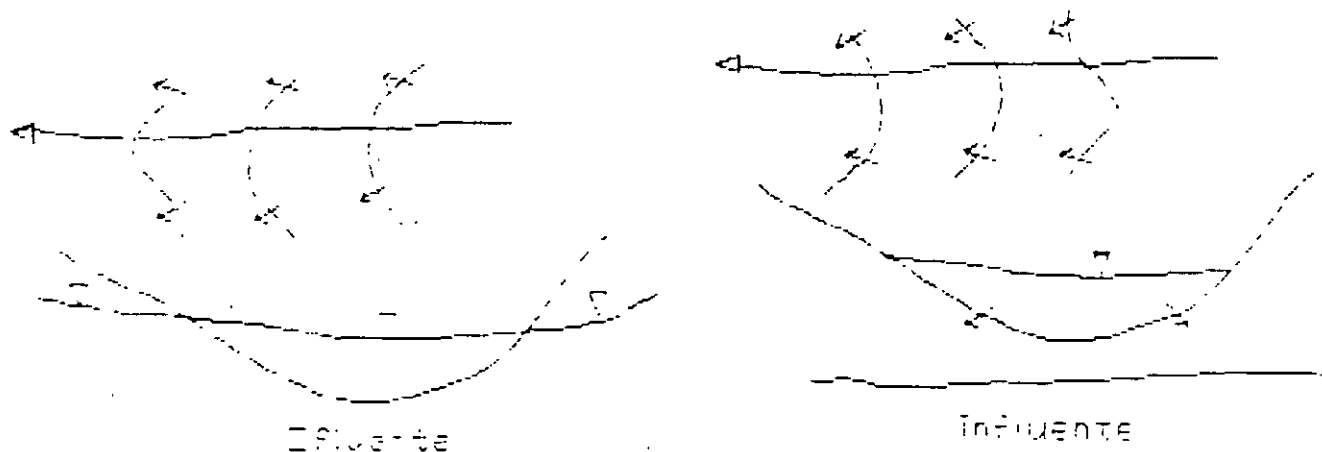


FIG. 15

Además del cambio en la forma del nivel de agua debido a un cambio en la permeabilidad del acuífero y sus espesores, se puede tener una influencia en el nivel del agua por la estructura geológica (fig. 16).

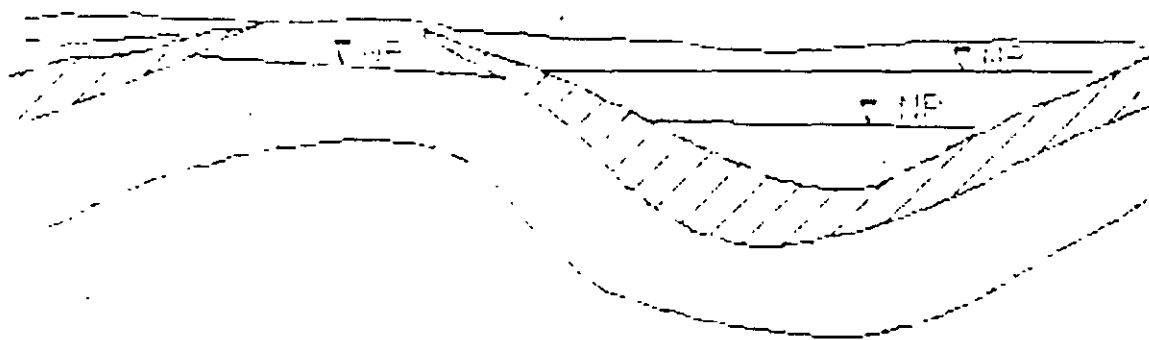


FIG. 16

WATER RESOURCES

En un anticlinorio, pueden tenerse diferencias locales y regionales en el nivel de agua subterránea (fig. 17).

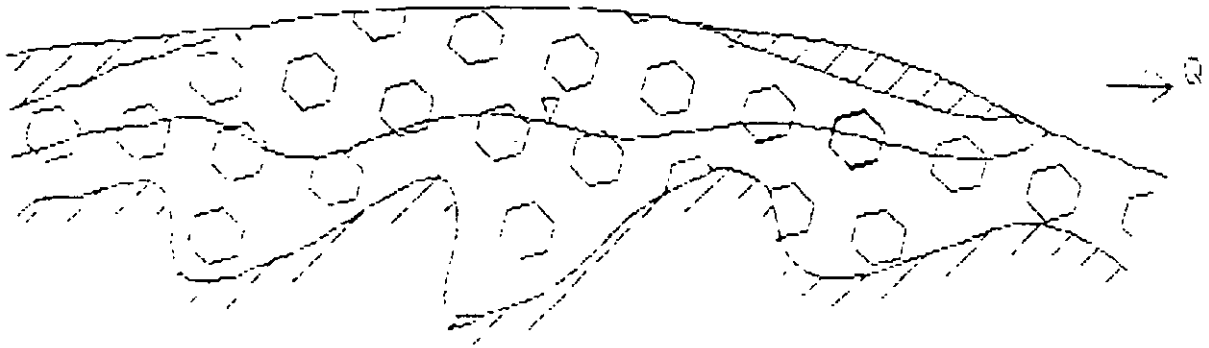


FIG. 17

En los pliegues monoclinales puede originarse una pendiente pronunciada del nivel de agua subterránea (fig. 18).

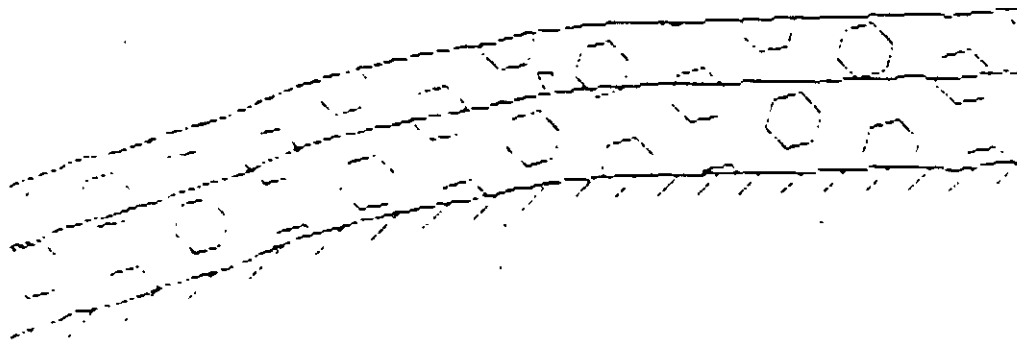


FIG. 18

En las zonas de falla se origina un cambio en el gradiente del nivel del agua debido al cambio de permeabilidad de un acuífero a otro (fig. 19).

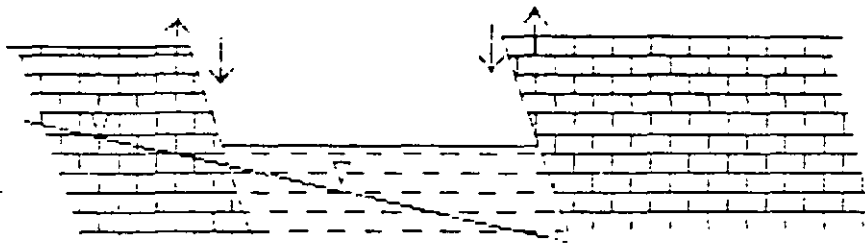


FIG. 19

Si las zonas de falla son de una alta permeabilidad, el gradiente del agua subterránea se atenuará en esta zona y viceversa. Recuérdese que el gradiente es inversamente proporcional a la permeabilidad (fig.20).

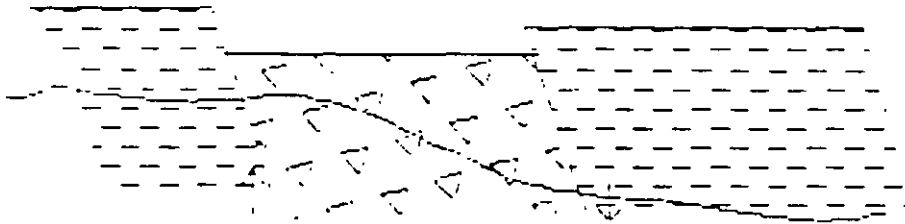


FIG. 20

Una falla puede causar un ascenso del nivel del agua debido a una alimentación proveniente de un manto de agua confinada, producir el caso contrario o un manantial (fig. 21).

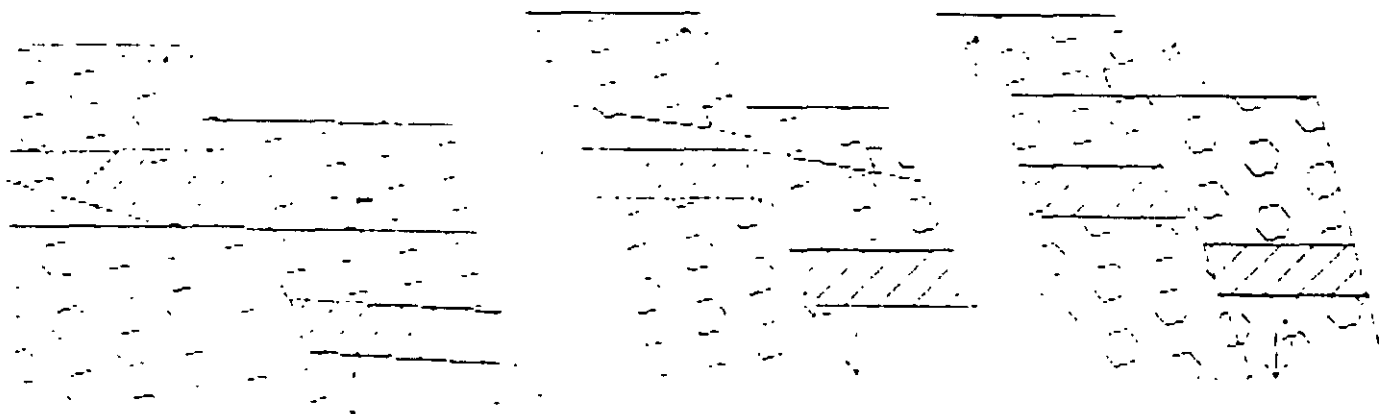


FIG. 21

Dentro de un graben, el nivel del agua puede mostrar una tendencia a bajar (fig. 22).

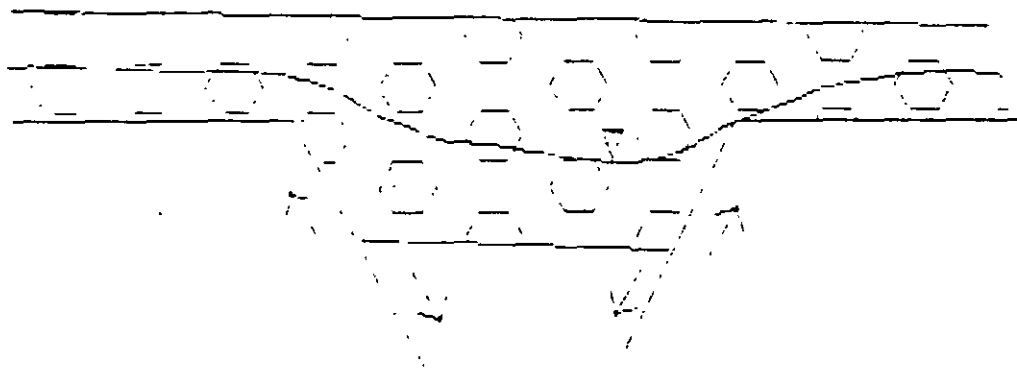


FIG. 22

En un horst al contrario, puede establecerse un nivel de agua colgado independiente (fig. 23).

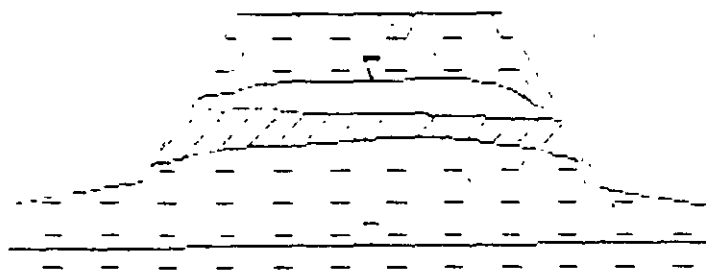


FIG. 23

1.8 - ZONAS DE RECARGA Y DESCARGA DE ACUIFEROS

Las zonas de recarga natural a los acuíferos están estrechamente ligadas a la latitud, relieve, litología y los rasgos geológicos estructurales.

Una zona templada de relieve moderado formada por rocas permeables es una zona de recarga, debido a que el escurrimiento superficial será relativamente lento y en consecuencia se tendrá un mayor tiempo de contacto entre el agua y las rocas permeables lo que se traducirá en una infiltración significativa.

En una zona árida de relieve accidentado donde la lluvia ocurre esporádicamente en régimen torrencial, aún si las rocas son permeables, el agua escurrirá rápidamente sin que se genere una recarga apreciable.

En los casos precedentes es obvio que la temperatura ambiente, el tipo de suelos y la vegetación son factores que complementan el criterio para definir a una zona como área de recarga.

En algunas cuencas hidrográficas las zonas de recarga se localizan en los bordes perimetrales compuestos de rocas permeables y en los límites interiores (fig. 24).

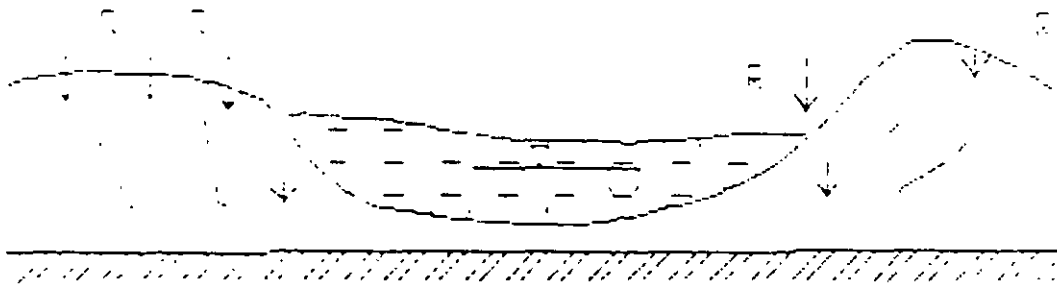


FIG. 24

Según el patrón estructural, la recarga puede incorporarse a un flujo local sobre el río o a un flujo más profundo (fig. 25)

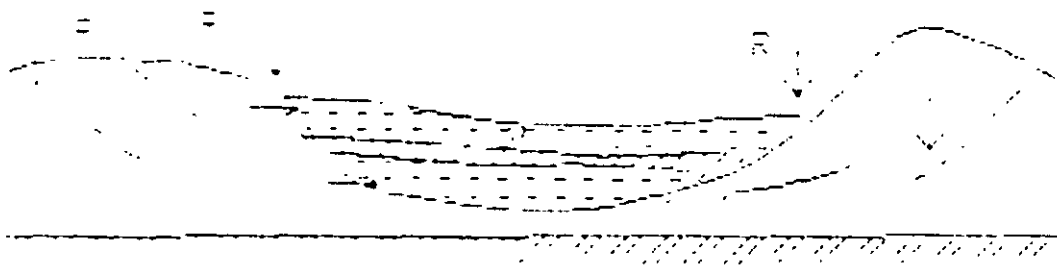


FIG. 25

La recarga natural en los valles fluviales tiene lugar por la infiltración del escurrimiento del colector principal y los arroyos tributarios que escurren sobre la planicie (fig. 26).

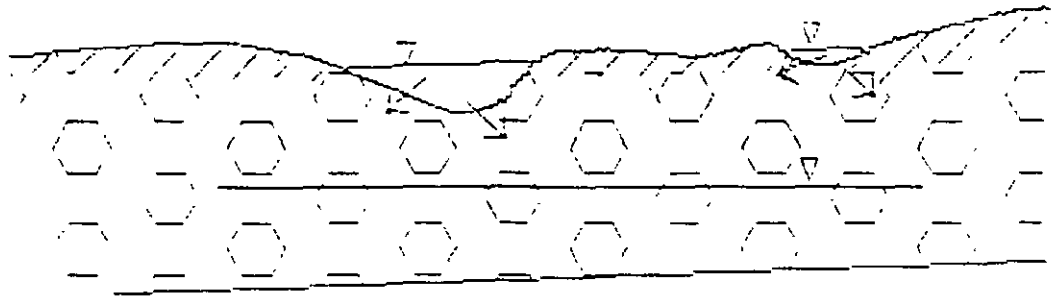


FIG. 26

Cuencas de este tipo son muy comunes en México. Algunos ejemplos son la cuenca de Río Aguanaval en Zacatecas y Durango. Hace unos 40 años, la recarga más importante de la zona de la laguna de Coahuila, era inducida por el Río Nazas, antes de que se construyera sobre él la Presa Francisco Zarco.

En las cuencas de origen tectónico la recarga se establece a través de los grandes sistemas de fallas y fracturas (fig. 27), para alimentar tanto al relleno como a las rocas permeables más profundas. Uno de los casos más representativos de este mecanismo de recarga son los valles de León y del Río Turbio que son alimentados a través extensos afloramientos de ignimbritas y riolitas.

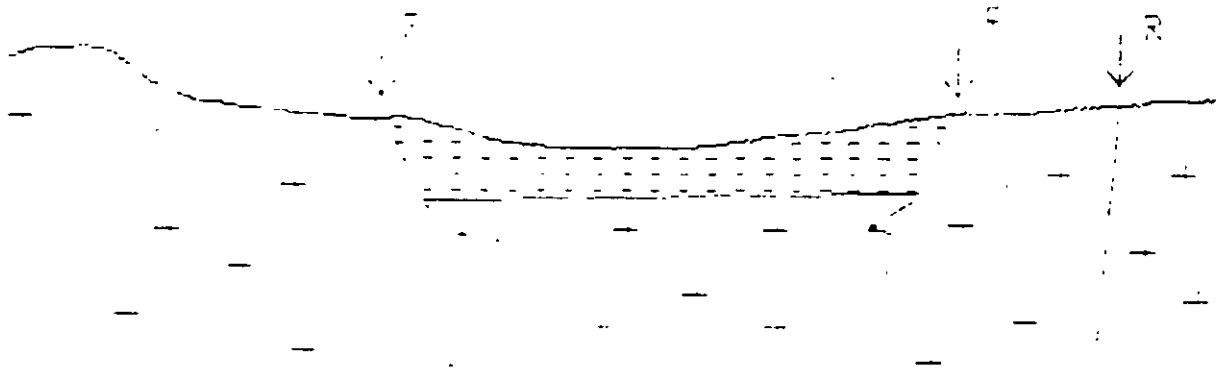


FIG. 27

Extensas planicies como la de Ojuelos en Guanajuato funciona como zona de recarga a la Fosa de Villa de Reyes en San Luis Potosí (fig. 28).

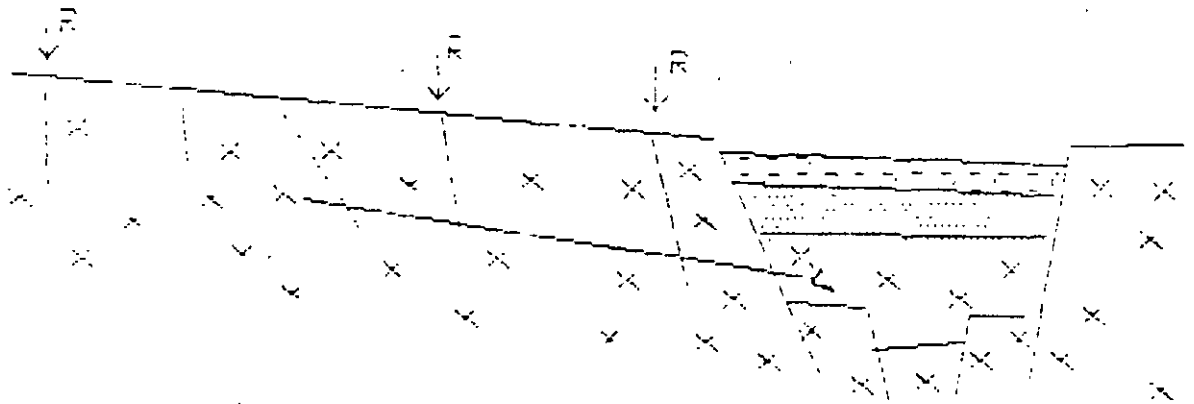


FIG. 28

En algunas cuencas tectónicas como la de Guaymas y San Ignacio en Sonora y la de Valle de Banderas en Jalisco, tienen como zonas de recarga los bordes de falla y la que ocurre por infiltración del escurrimiento del Arroyo Santa Cruz, San Ignacio y Ameca, sobre la planicie permeable (fig. 29).

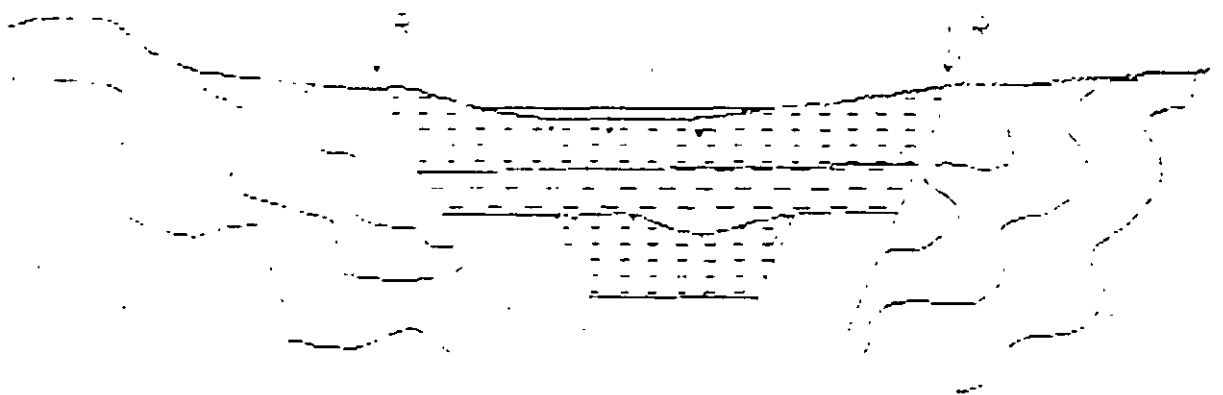
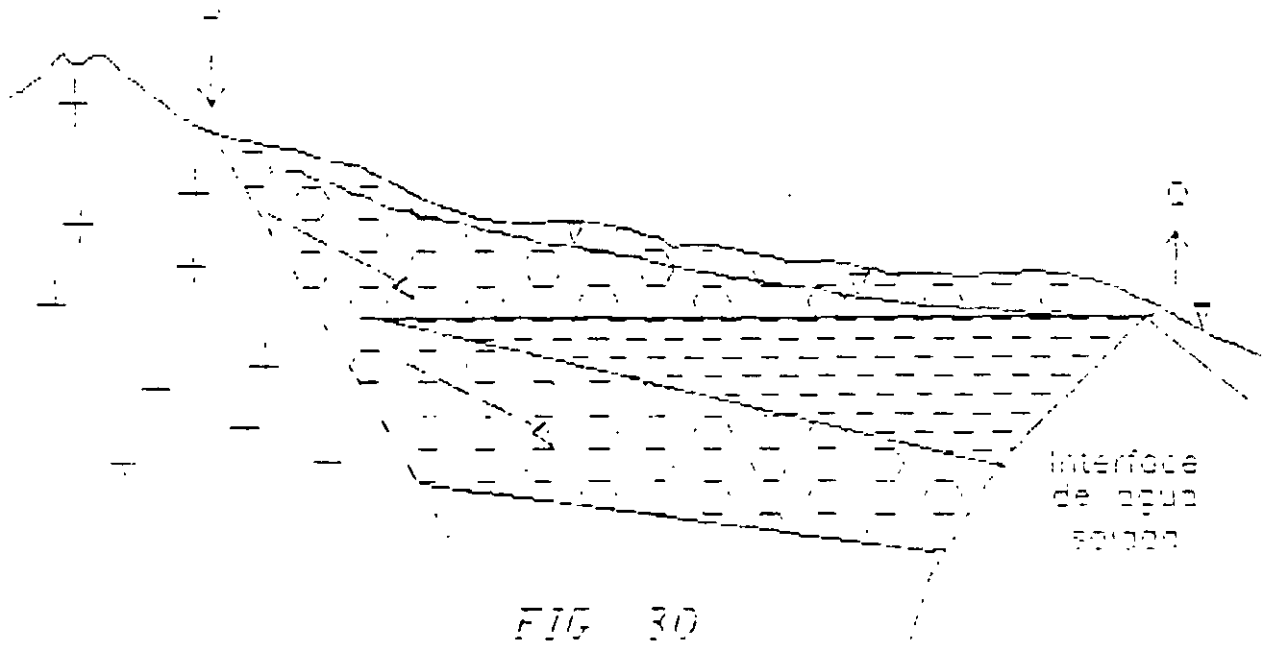


FIG. 29

En otros valles de origen tectónico otra zona de recarga se ubica en las terrazas altas de la cabecera (fig. 30).



Los conos volcánicos estratificados de grandes dimensiones, son también zonas de recarga, debido a la alta permeabilidad de los productos piroclásticos (fig. 31).

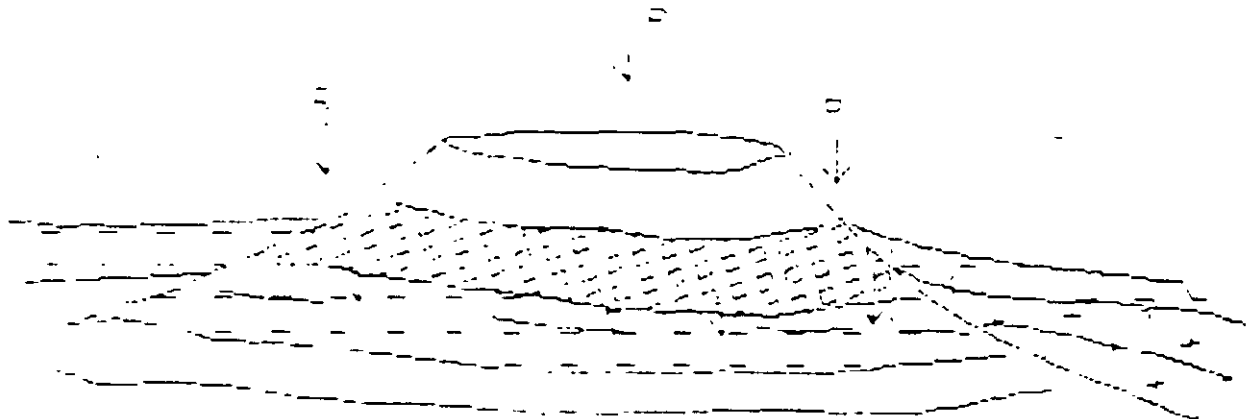


FIG. 31

Muchas de estas estructuras de estrato-volcanes se ubican a lo largo del Eje Neovolcánico Mexicano en rocas basálticas y andesíticas y sus piroclastos asociados. También dentro del Eje Neovolcánico se encuentran numerosas calderas, donde se acumula el agua de lluvia para drenarse hacia el subsuelo posteriormente (fig. 32). Los ejemplos más conocidos son los de la Caldera en Valle de Santiago, Gto., La Alberca en Zacapu, Mich. y la Laguna de Achichica, Pue.

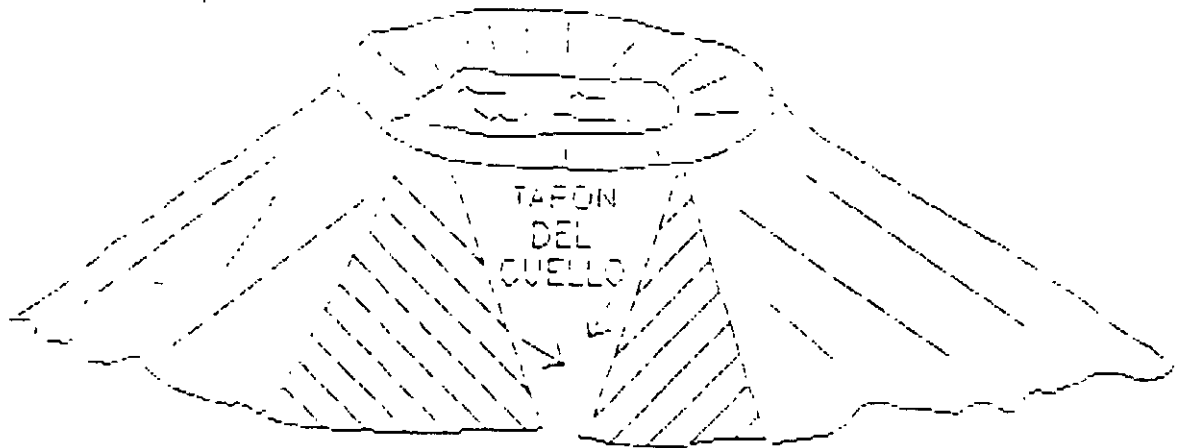


FIG. 32

Las barrancas y cañones rellenos por coladas de lava basáltica son también excelentes zonas de recarga y almacenamiento (fig. 33).

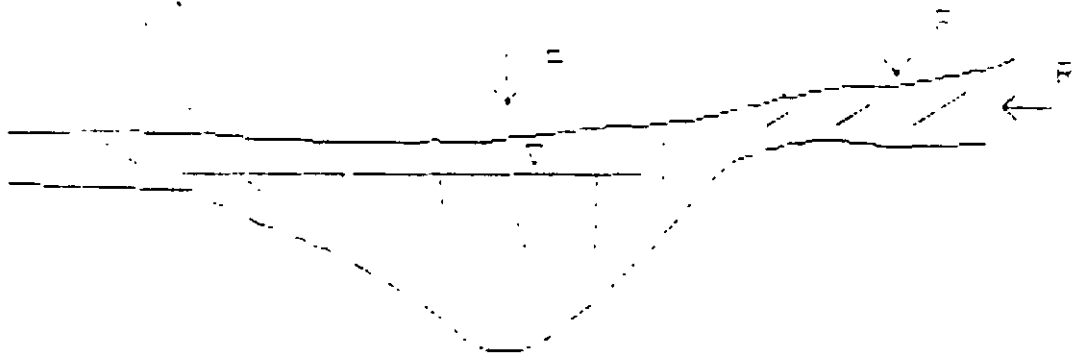


FIG. 33

En las rocas carbonatadas la zona de recarga puede ubicarse a distancias considerables del área de descarga. Un ejemplo es el Manantial de la Media Luna en Rio Verde, S.L.P. que descarga aproximadamente 60×10^3 m³ (fig. 34).

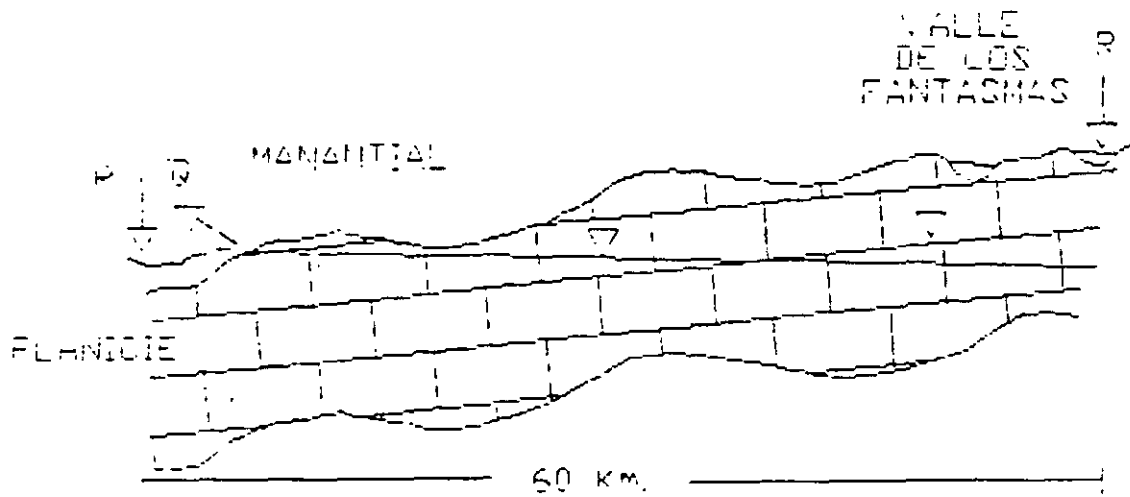


FIG. 34

1.8.1. ZONAS DE RECARGA INDUCIDA

En áreas de irrigación extensas se induce una recarga vertical por reinfiltración de la lámina de agua aplicada al riego del cultivos y por la infiltración de la red de canales sin revestimiento (fig.35). Un ejemplo ocurre en el Valle del Mezquital.

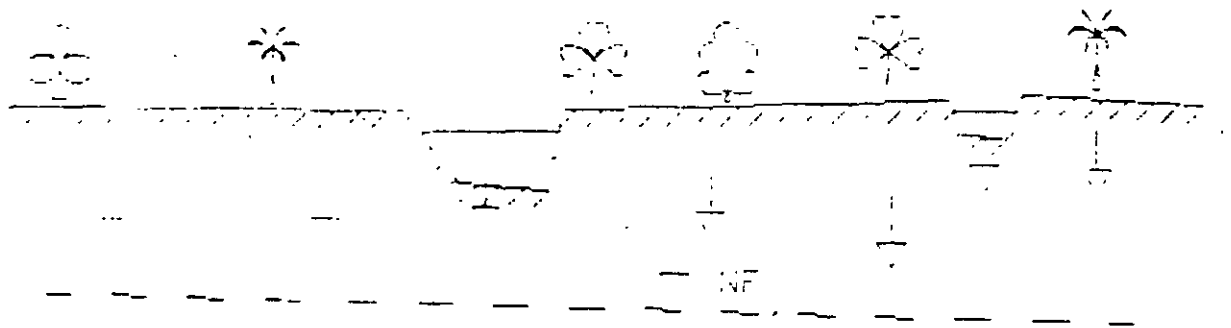


FIG. 35

Existe otro tipo de recarga inducida de acuíferos, llamada recarga Artificial. En esta caso el hombre controla y maneja el agua de escurrimientos para introducirla en el acuífero. La elección del sitio o zonas de recarga artificial se basa en dos factores fundamentales que son las características físicas e hidrodinámicas del acuífero que se pretende alimentar y del tipo de agua que se va a introducir. Otros factores complementarios cuando la recarga se realizara sobre la superficie y que condicionaran también la recarga son la topografía, la cubierta de suelo, la naturaleza de las rocas en superficie, la pendiente del terreno y la profundidad del nivel de saturación.

La recarga artificial en superficie puede realizarse de diversas maneras; en los arroyos de la vertiente del Océano Pacífico en la Península de Baja California se han construido bordos convenientemente espaciados con el mismo material de acarreo, con el fin de disminuir la velocidad de escurrimiento del agua y extenderla sobre zonas permeables y extensas. Con estas barreras de bajo costo, se logra mayor tiempo de permanencia del agua en contacto con los acarreos fluviales y se aumentan las posibilidades de inducir una mayor infiltración.

Este mismo artificio puede aplicarse a llanuras de inundación, construyendo terrazas a modo de embalses. El agua así retenida, puede canalizarse posteriormente a zanjias o canales de infiltración. Una generalización esquemática de este último sistema es como sigue (fig. 36):

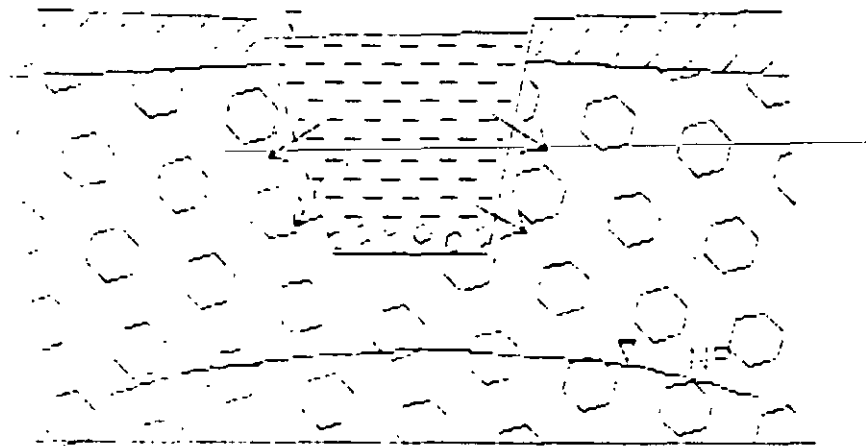


FIG. 36

La recarga artificial por pozos de absorción, además de ser evidentemente más costosa, presenta más problemas en el manejo previo del agua a infiltrar. Como en este caso el agua llegará directamente al acuífero, esta deberá ser previamente tratada. El tratamiento

consiste esencialmente en eliminar en lo posible los sólidos en suspensión y someterla a un proceso de eliminación de bacterias. En los casos en que la depuración bacteriológica no se haya hecho eficientemente, en poco tiempo la proliferación de colonias bacterianas es suficiente para formar una costra que sella las ranuras de la tubería de ademe. El control de la temperatura del agua que se inyectará también tiene relevancia, ya que a diferentes temperaturas entre el agua del acuífero y de recarga, provoca la precipitación de sales en la vecindad del pozo con los mismos resultados de obstrucción de las ranuras.

Otro aspecto muy importante es la profundidad al nivel del agua. Mientras más grande sea esta longitud, la columna de agua dentro del pozo tendrá mayor presión de entrada hacia el acuífero. Los siguientes esquemas ilustran pozos libres y confinados (fig. 37).

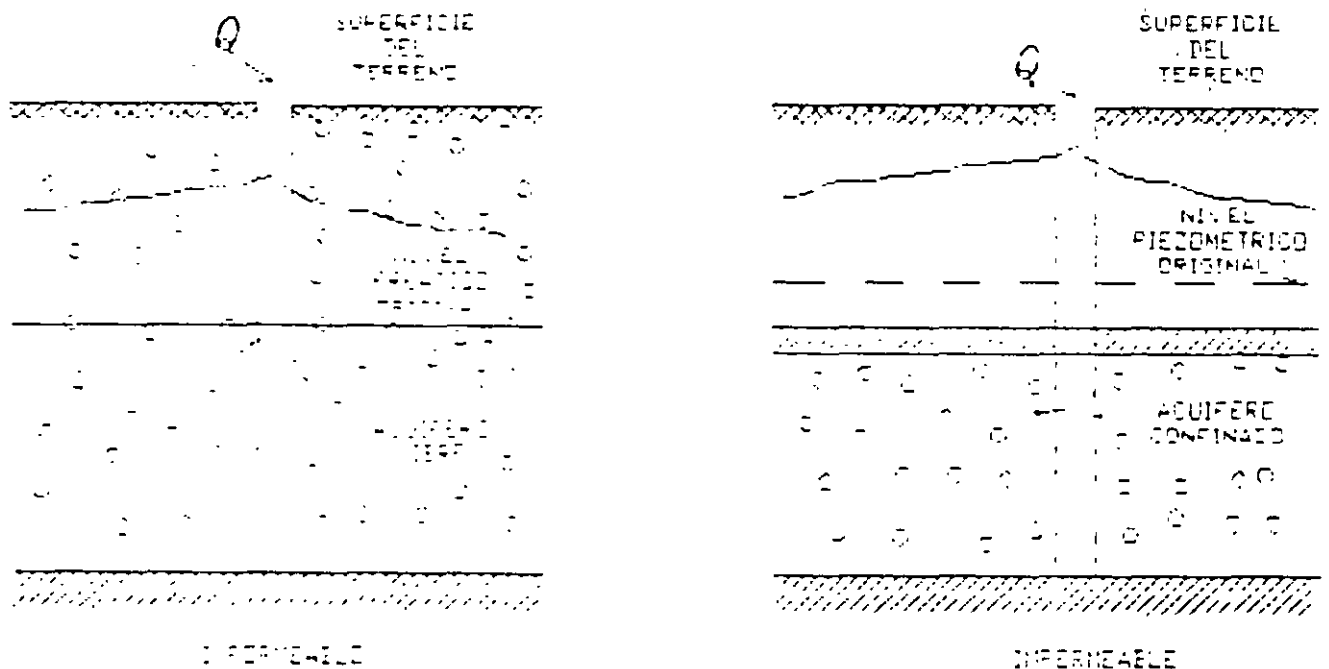


FIG. 37

Experiencias de este tipo se empezaron a tener en Mexico en la década de los sesenta por la Comisión Hidrológica de la Cuenca del Valle de Mexico de la Secretaría de Recursos Hidráulicos. En esa época se construyeron dos pozos de absorción cerca de la Presa Tarango en la parte alta de Mixcoac. La profundidad al nivel estático era en ese entonces de 90m, lo que representaba una presión muy significativa para introducir agua al acuífero.

Actualmente se están reiniciando este tipo de trabajos con el fin de optimizar nuestros recursos hidráulicos subterráneos.

1.8.2. ZONAS DE DESCARGA

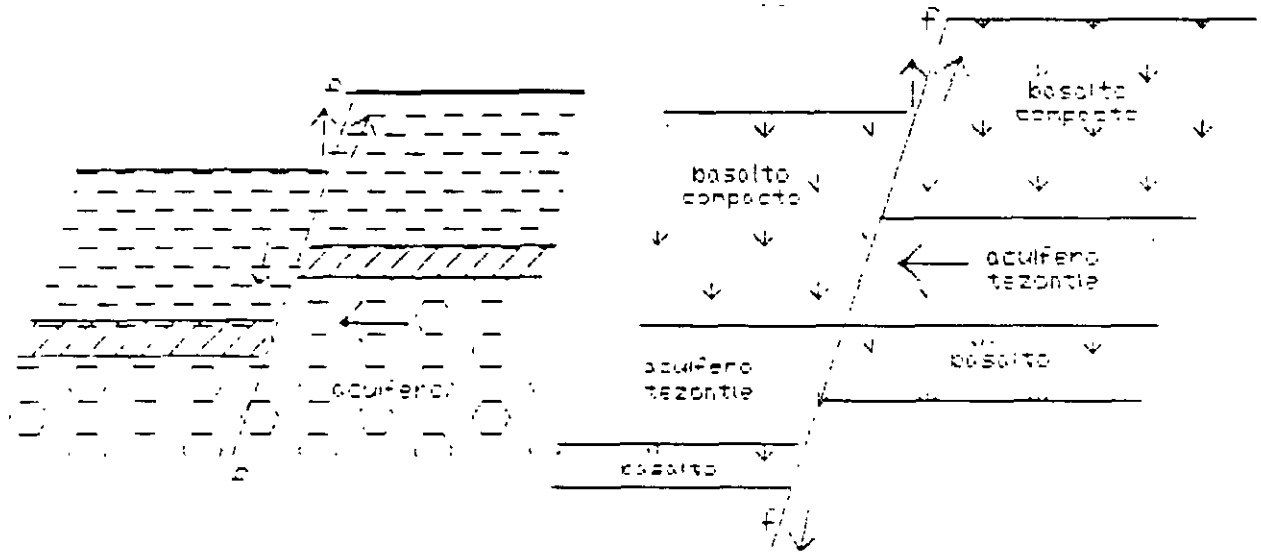
Las zonas de recarga y descarga guardan una estrecha relación con la topografía, ya que el agua subterránea se desplaza desde los niveles energéticos más altos a los más bajos, por lo que su energía procede fundamentalmente de las diferencias de nivel y de presión.

La descarga de los acuíferos ocurre de tres maneras posibles: descarga natural por manantiales, evapotranspiración y tectónicas. De entre las diversas clasificaciones de manantiales, se toman para estas notas, algunas figuras de Dr. Issar, que correlacionan la descarga por manantiales con los aspectos topográficos y geológicos mencionados.

En las fig. 36 y 39 se esquematizan diversos tipos de manantiales.

MANANTIALES ORIGINADOS POR FALLAS

MANANTIALES ASCENDENTES



MANANTIAL EN PUEGOS FALLADOS

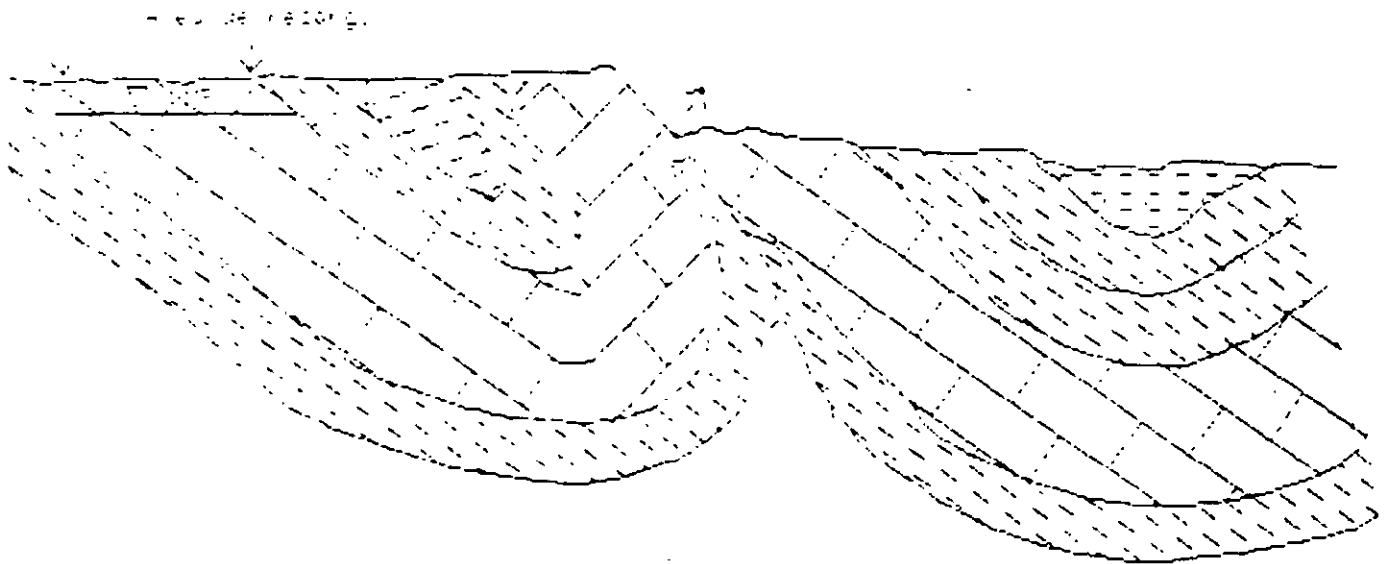
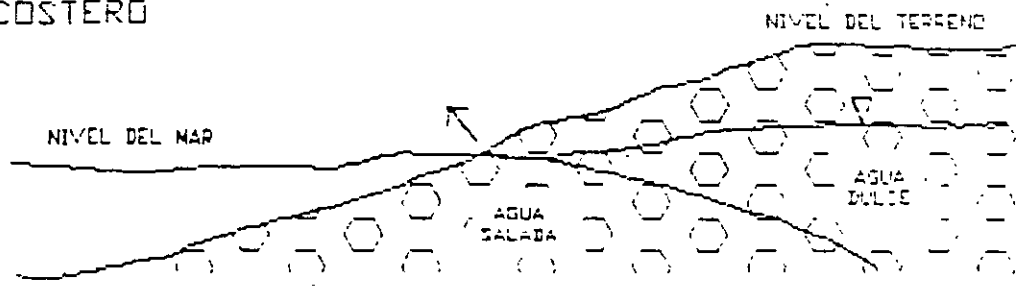


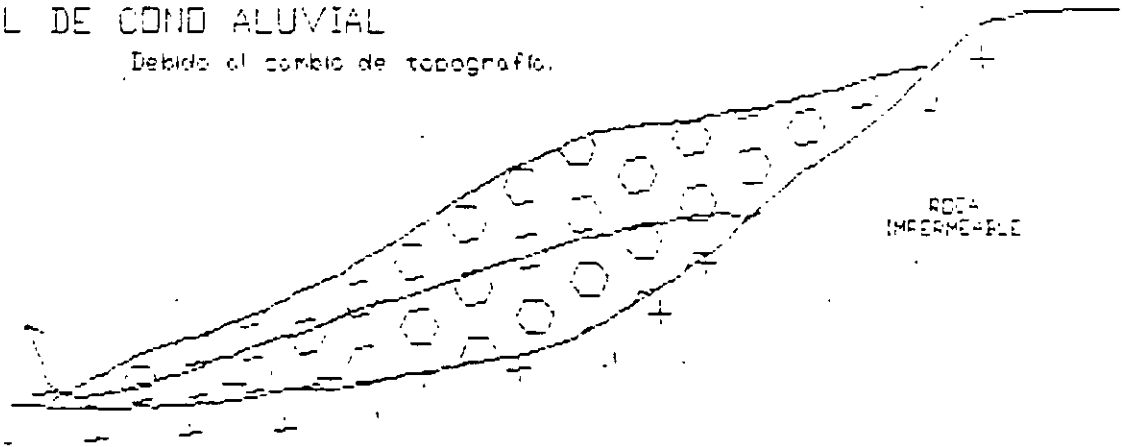
FIG. 38

MANANTIAL COSTERO



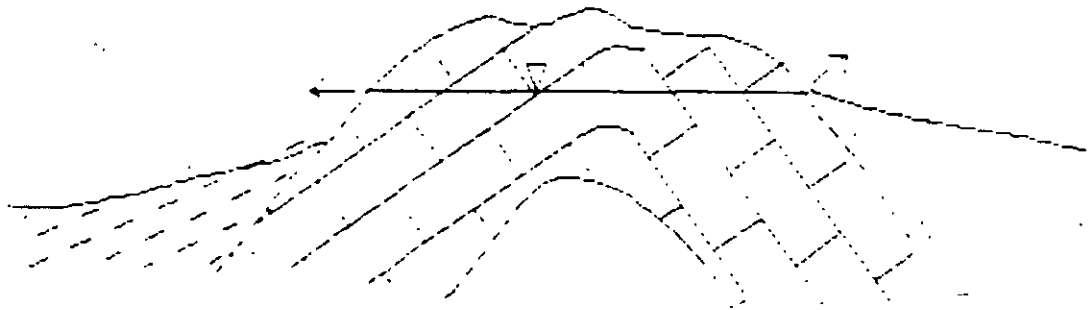
MANANTIAL DE CONO ALUVIAL

Debido al cambio de topografía.



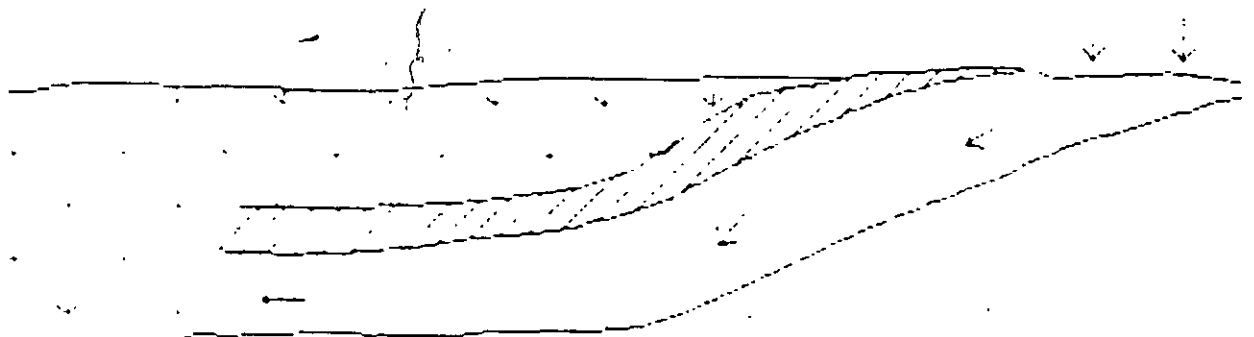
MANANTIALES EN ANTICLINALES

Se forma en algunos puntos de los flancos de la estructura en contacto con rocas impermeables.



MANANTIALES TERMINALES DE LOS DE LINEA DE FALLA

La fuente de agua de estos manantiales es la precipitación de agua de lluvia que cae en los frentes de contacto y se filtra. En ellos pueden encontrarse depósitos de arena o arena de apilamiento.



1.9. CARACTERISTICAS DEL AGUA SUBTERRANEA

1.9.1. CICLO HIDROLOGICO

El agua en la naturaleza se mantiene en un constante proceso de movimiento ciclico. La energia solar y la gravedad terrestre son los principales factores que originan los fenomenos de precipitacion, evaporacion, escurrimiento e infiltracion, que en conjunto constituyen lo que se conoce como *CICLO HIDROLOGICO* (fig. 40).

El ciclo hidrológico es la descripción simplificada de los mecanismos que sigue el agua para desplazarse de un lugar a otro del planeta, en un continuo movimiento que involucra prácticamente a la totalidad del agua de la Tierra.

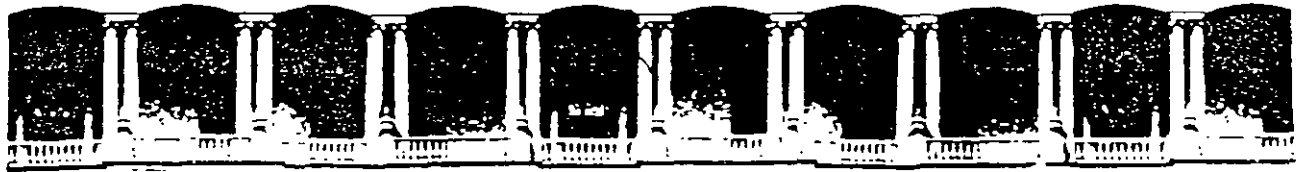
Durante la etapa de diferenciación de la Tierra, el agua se almacena originalmente en el interior de la misma, atrapada en las moléculas de los silicoaluminatos hidratados que formaban la gran mayoría de las rocas. Al aumentar la temperatura en la Tierra tuvo lugar la fusión parcial de estas rocas y se inicio la liberación y acarreo del agua hacia la superficie con el magma fundido. Cuando las lavas alcanzaron la superficie, gran cantidad de agua en forma de vapor caliente se desprendió y lleno los océanos en los primeros 1,000 millones de años de la historia de la Tierra. Aunque en el presente, el vulcanismo contribuye con emisión de agua, CO_2 y otros gases a la atmosfera, los volúmenes de agua constituyen una mínima parte del ciclo hidrológico.

Una gran cantidad de agua que llega a la superficie de la Tierra a formar parte de los rios, lagos y océanos, vuelve a la atmosfera debido a la transpiración de las plantas; a la interacción de ambos fenomenos - evaporación y transpiración - se le conoce como evapotranspiración y actua en gran medida principalmente en zonas de clima tropical, donde el calor del sol que llega a la superficie terrestre es alto y la vegetación abundante.

La mayor parte del vapor de agua incorporado a la atmósfera en forma de masa de aire, se reúne en gotas de agua o cristales de hielo que se precipitan sobre los océanos o sobre la superficie hasta llegar a los océanos, donde gran cantidad de agua se evapora nuevamente, reiniciándose en esta fase el ciclo hidrológico.

La cantidad de agua que se infiltra al subsuelo para formar el agua subterránea, es sólo una pequeña parte del volumen total que interviene en el ciclo hidrológico.

Esto se debe a que la infiltración esta controlada por diversos factores fisiográficos y geológicos tales como el relieve del terreno, la permeabilidad de las rocas, tipo de suelos, temperatura ambiente, cobertura vegetal y modo de ocurrencia de la lluvia en el tiempo y en el espacio. En la figura 40 se muestra de manera esquemática la interacción de los fenómenos que integran el ciclo hidrológico.



**FACULTAD DE INGENIERIA U.N.A.M.
DIVISION DE EDUCACION CONTINUA**

CURSOS ABIERTOS

**X CURSO INTERNACIONAL
CONTAMINACIÓN DE ACUIFEROS**

MÓDULO I:

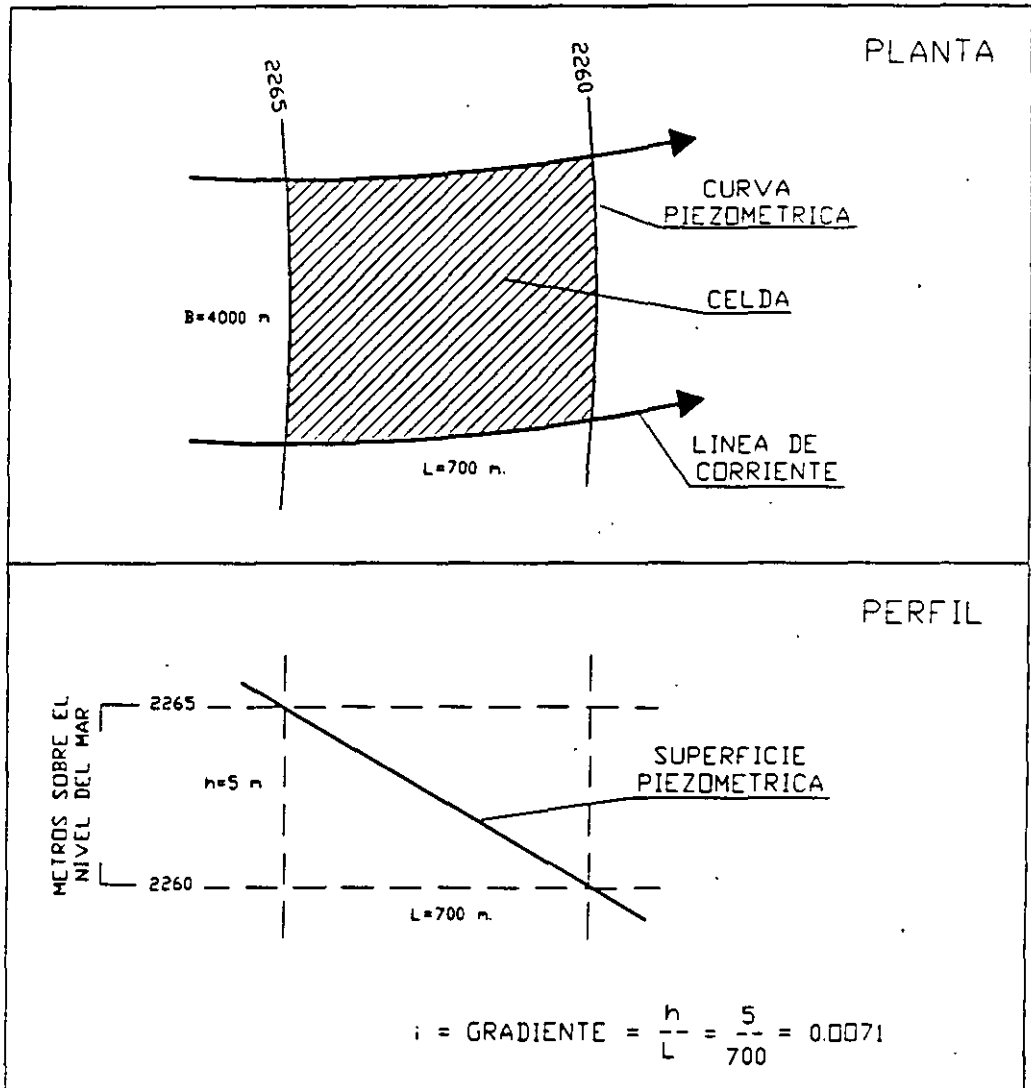
GEOHIDROLOGÍA

TEMA :

REDES DE FLUJO SUBTERRÁNEO

**PRESENTADO POR: ING. JUAN MANUEL LESSER ILLADES
SEPTIEMBRE 1998**

CALCULO DEL FLUJO SUBTERRANEO



$Q = TB$: FORMULA PARA EL CALCULO DE FLUJO SUBTERRANEO

DONDE:

Q = CAUDAL EN METROS CUBICOS POR SEGUNDO

T = TRANSMISIBILIDAD EN METROS CUADRADOS POR SEGUNDO

B = ANCHO DE LA CELDA

i = GRADIENTE HIDRAULICO

$$Q = 0.012 \times 4000 \times 0.0071 = 0.341 \text{ m}^3 / \text{seg.}$$



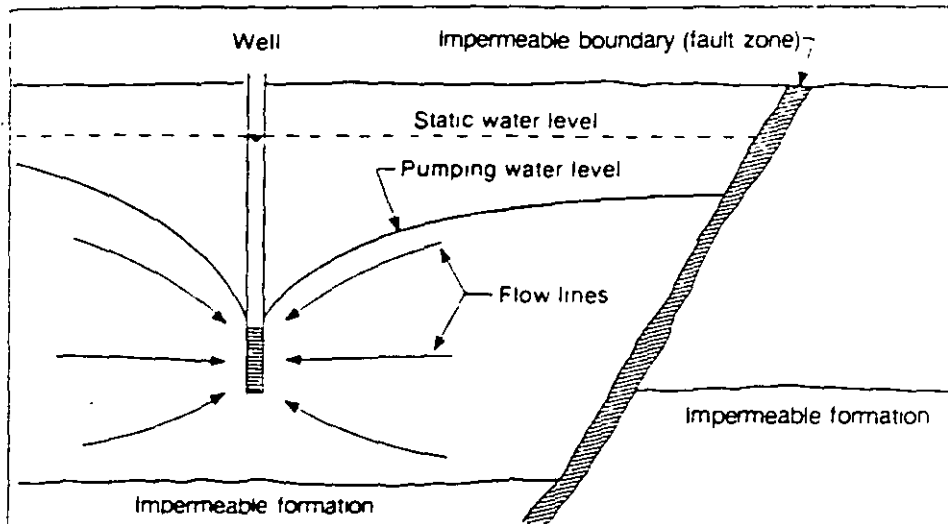


Figure 5.18a. Cross section near a pumping well showing the flow lines followed by water moving toward the well.

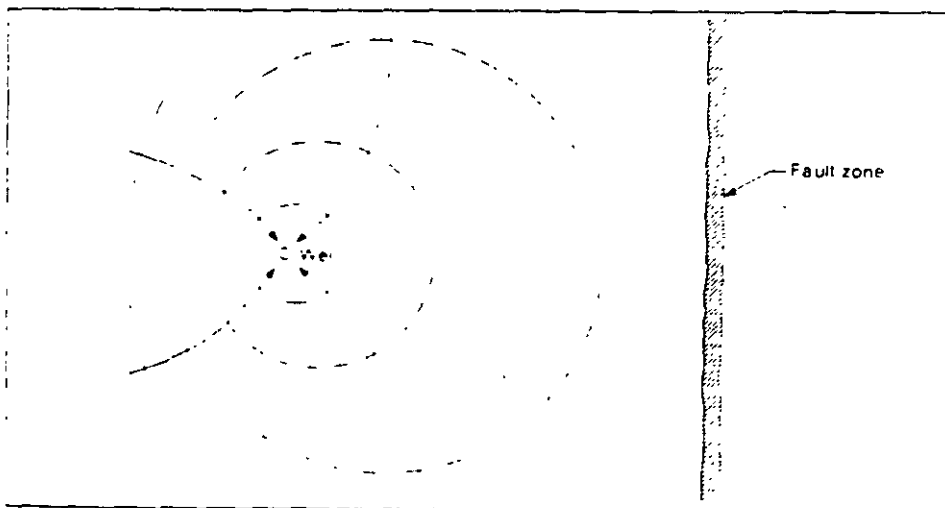


Figure 5.18b. Map of the potentiometric surface during long-term pumping shows that the impermeable boundary causes greater drawdown in the direction of the fault.

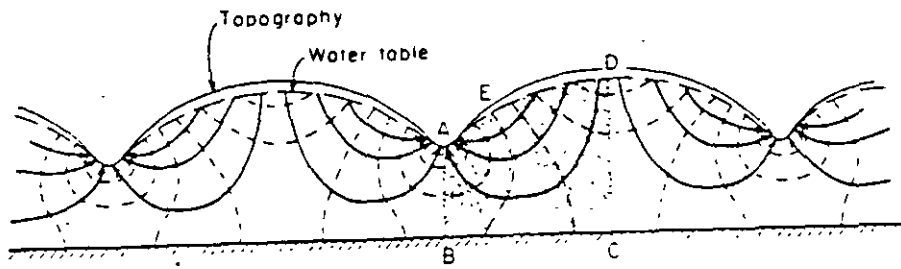


Figure 6.1 Groundwater flow net in a two-dimensional vertical cross section through a homogeneous, isotropic system bounded on the bottom by an impermeable boundary (after Hubbert, 1940).

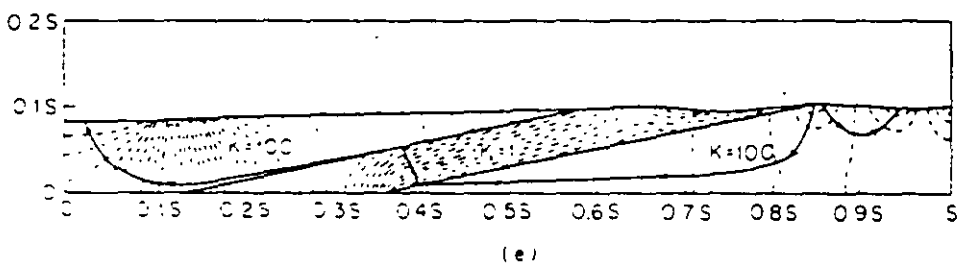
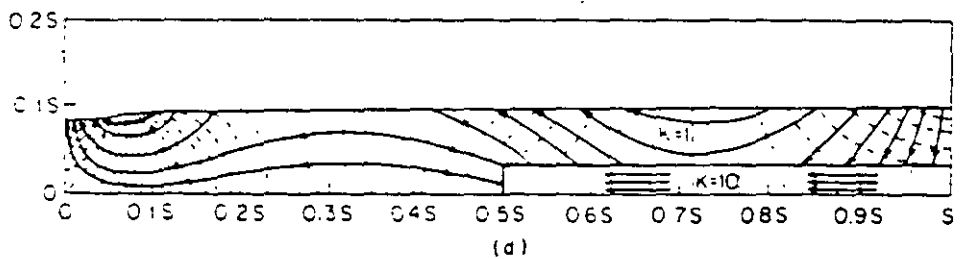
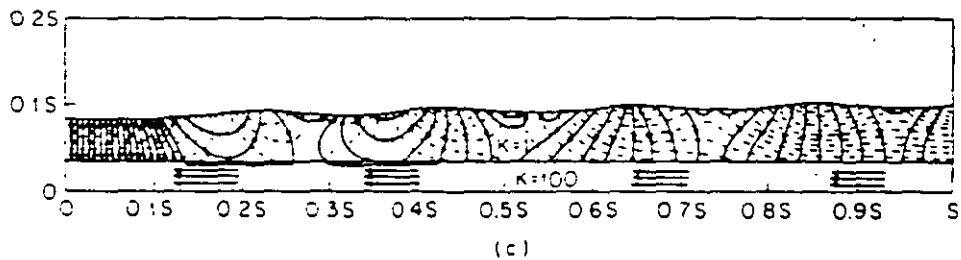
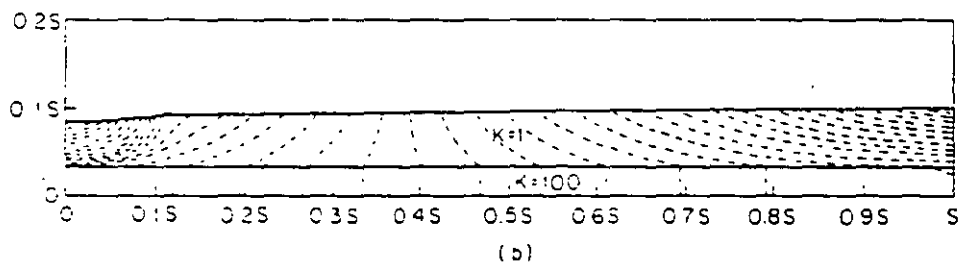
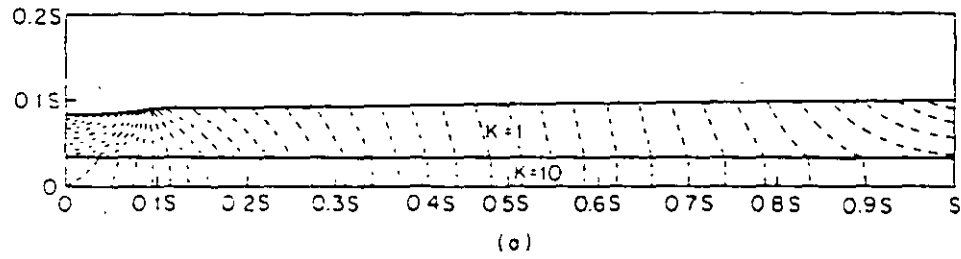


Figure 6.4 Effect of geology on regional groundwater flow patterns (after Freeze and Witherspoon, 1967).

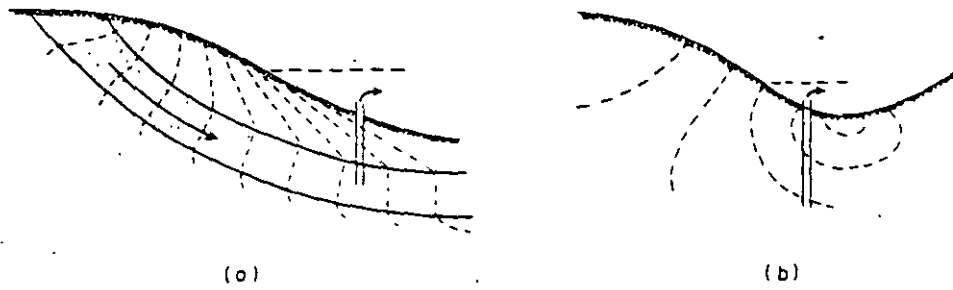


Figure 6.5 Flowing artesian wells: (a) geologically controlled; (b) topographically controlled.

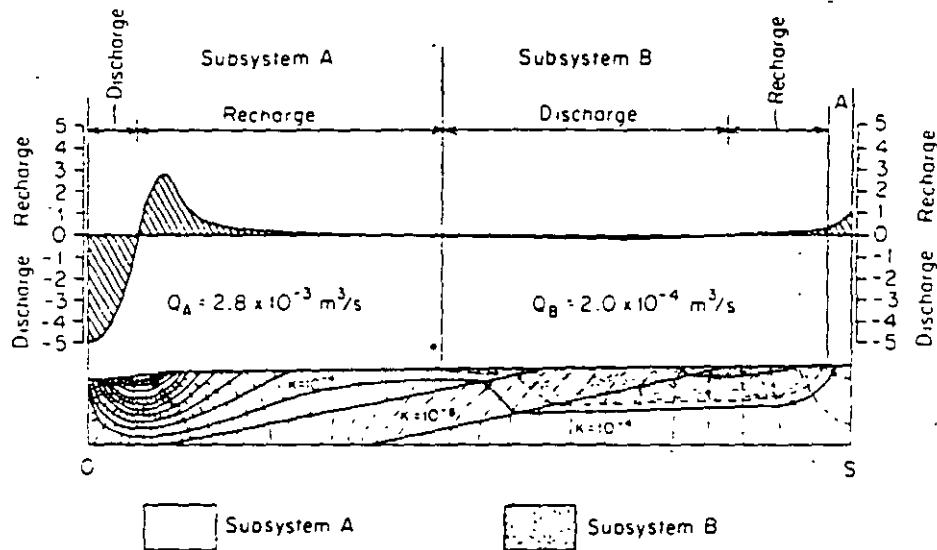


Figure 6.8 Quantitative flow net and recharge-discharge profile in a two-dimensional section through a heterogeneous groundwater basin (after Freeze and Witherspoon, 1968).

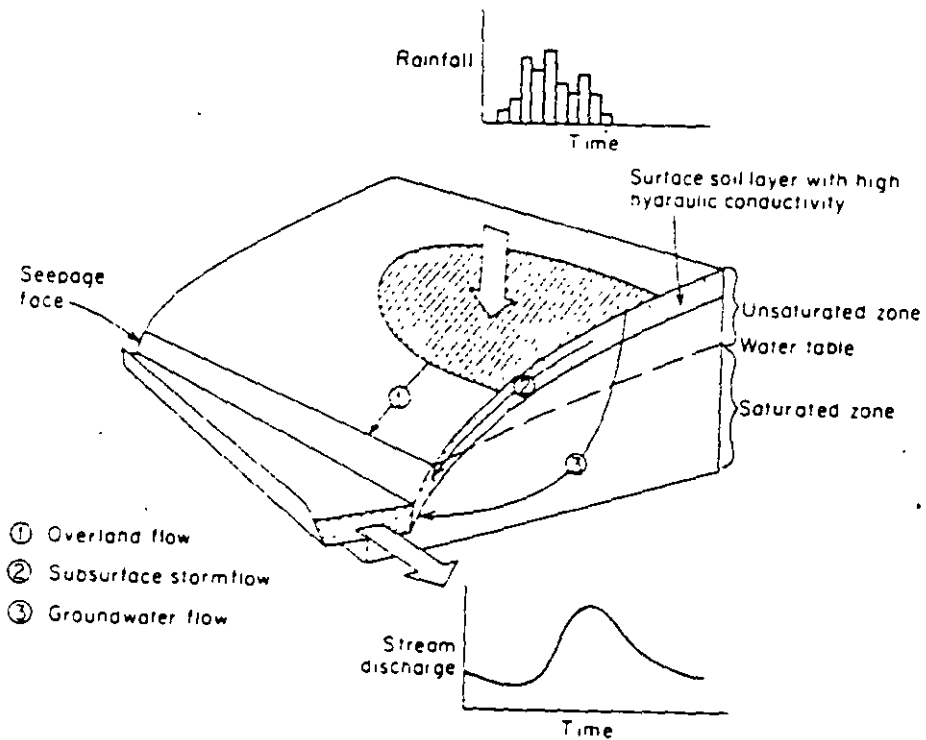
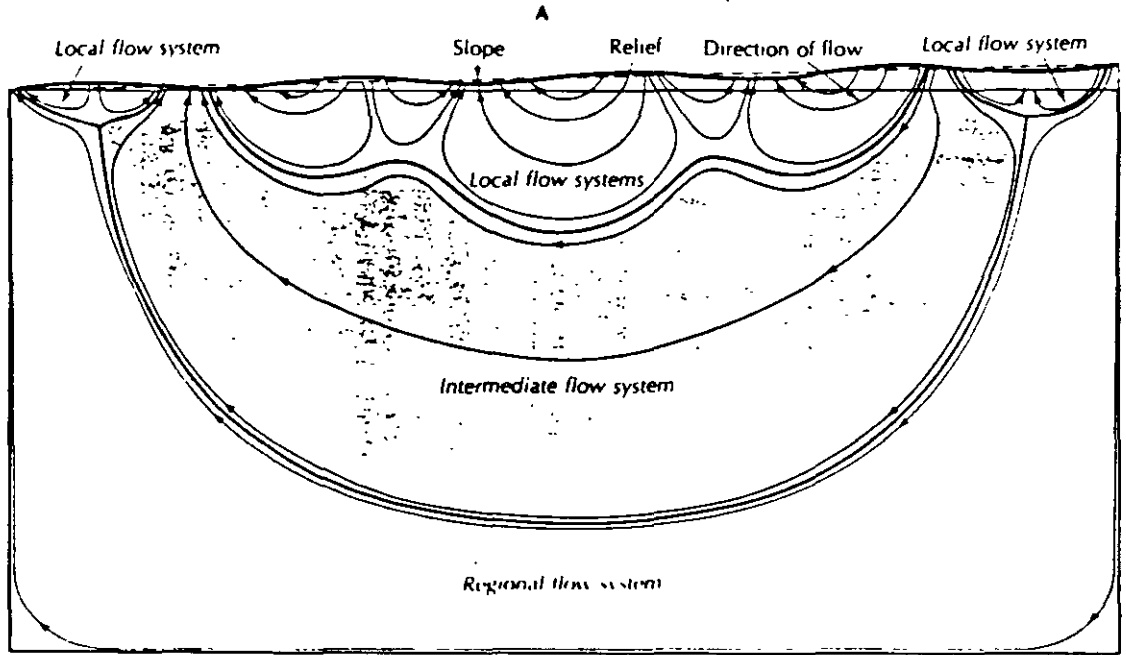
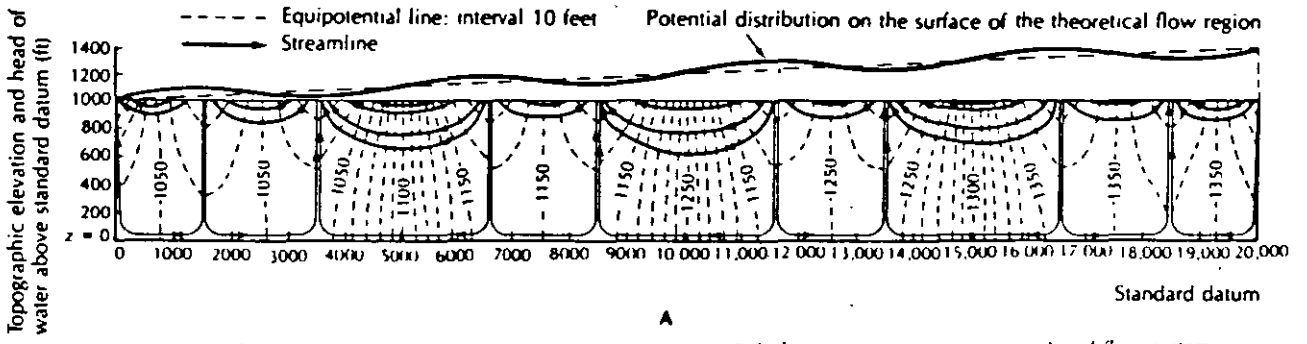
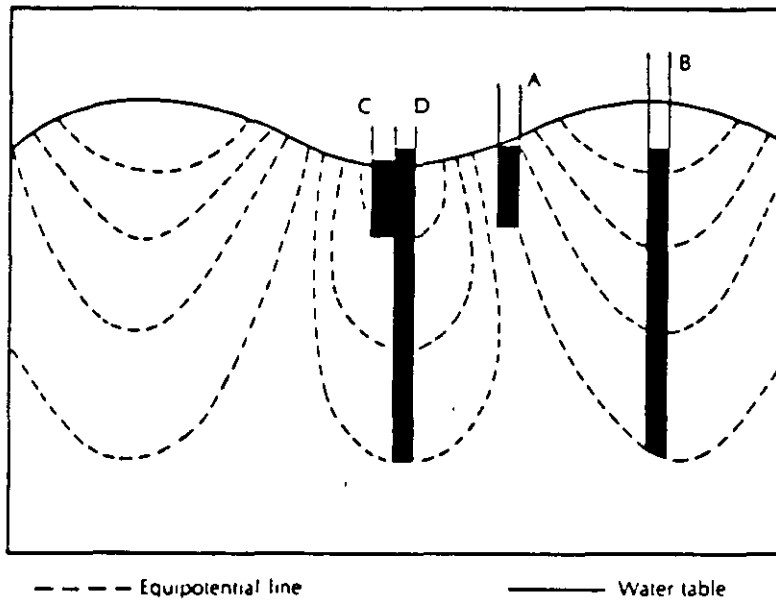
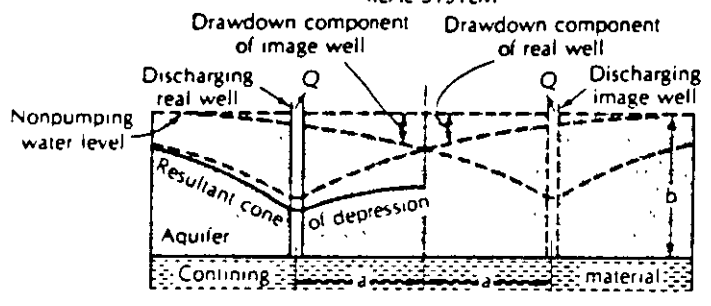
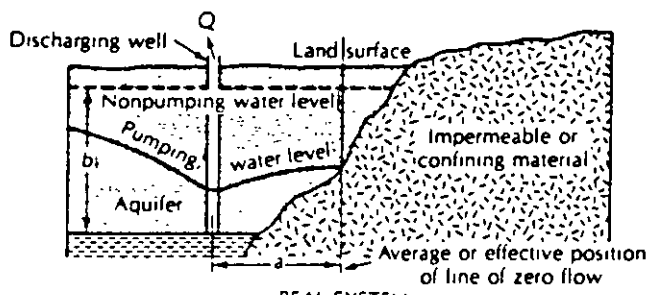
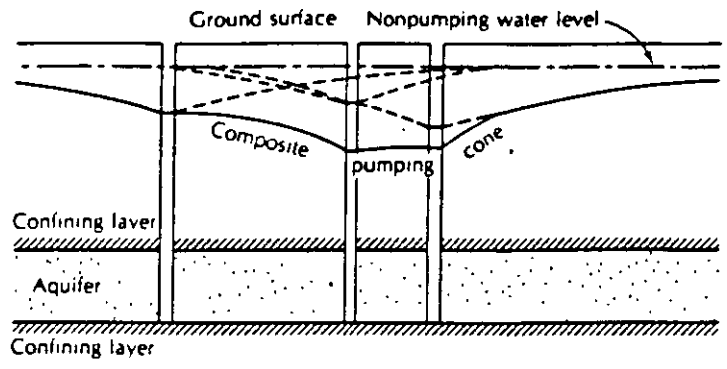


Figure 6.17 Mechanisms of delivery of rainfall to a stream channel from a hillslope in a small tributary watershed (after Freeze, 1974).



B





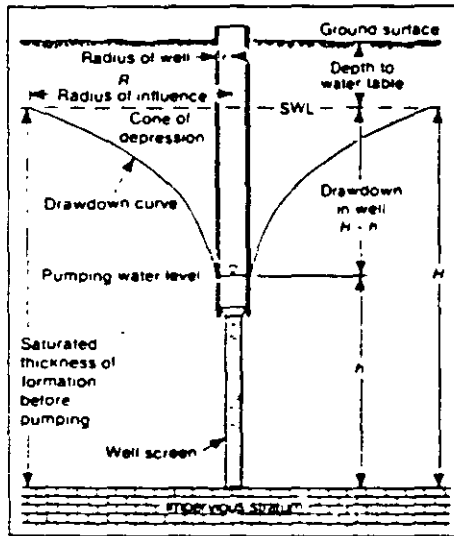
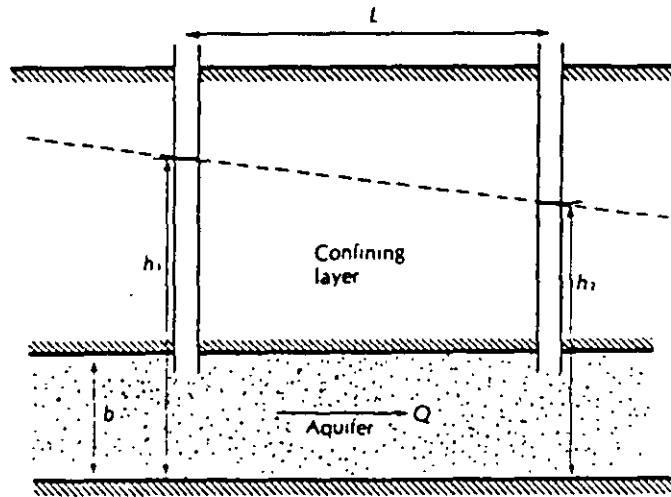


Figure 9.8. Well in an unconfined aquifer showing the meaning of the various terms used in the equilibrium equation.

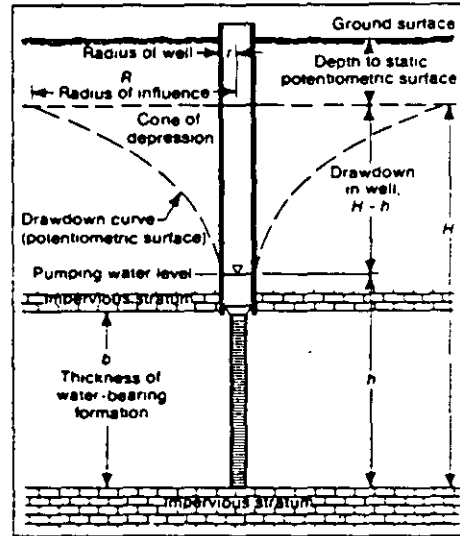
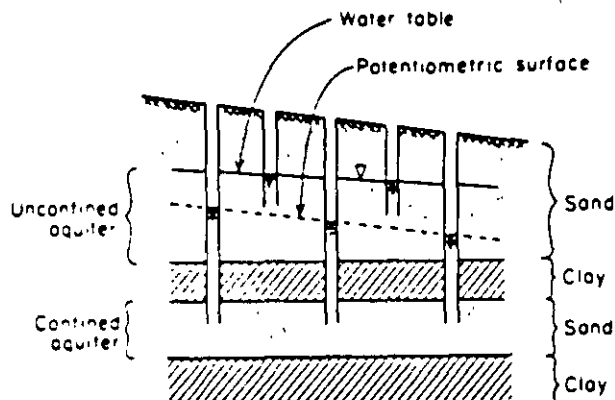
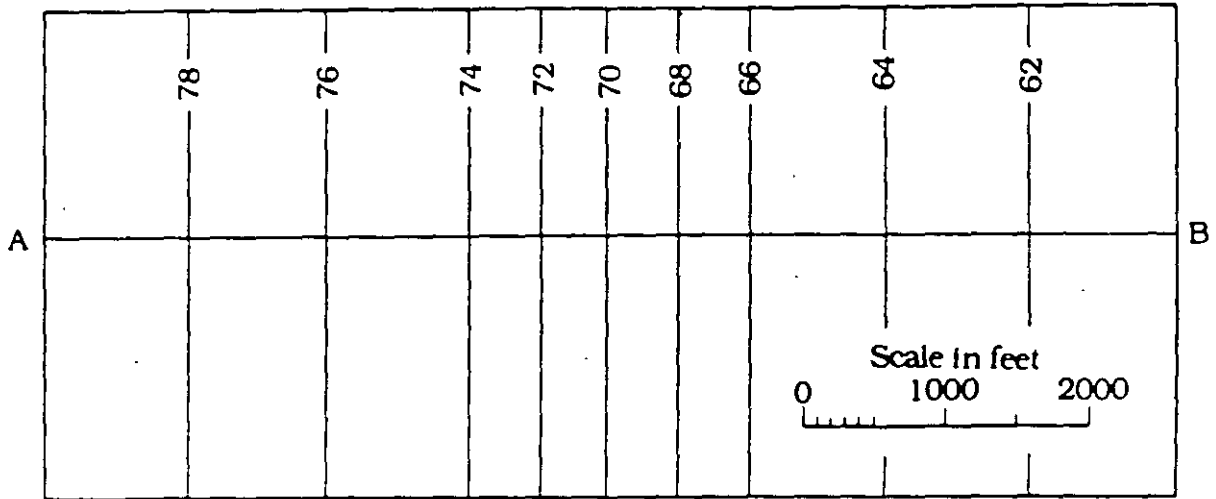
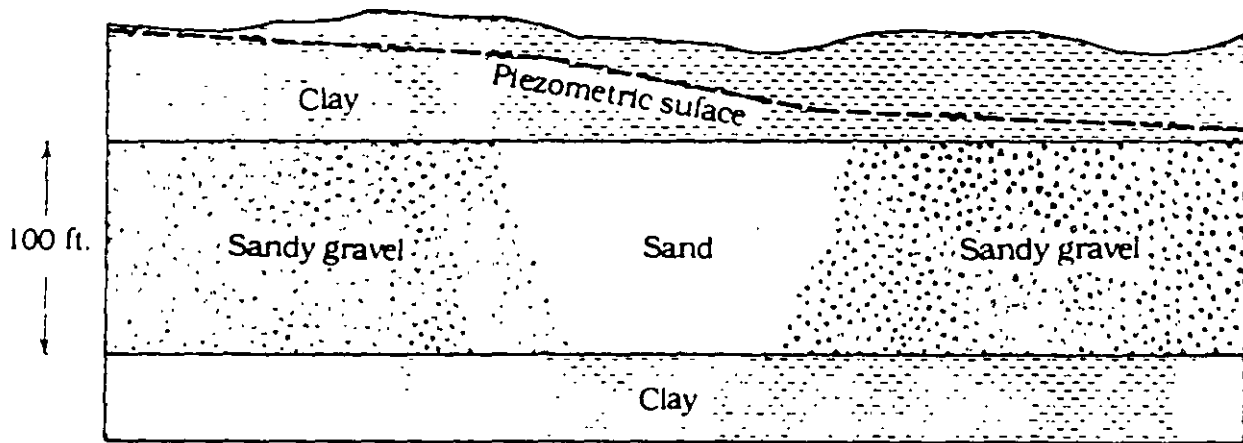


Figure 9.9. Well in a confined aquifer showing the meaning of various terms used in the equilibrium equation.





(A)



(B)

REDES DE FLUJO SUBTERRANEO

CAPITULO 8.7
DEL LIBRO: HIDROLOGIA SUBTERRANEA
POR: EMILIO CUSTODIO Y M. LLAMAS

Capítulo 8.7

Superficies piezométricas

7.1 INTRODUCCIÓN

La superficie piezométrica es el lugar geométrico de los puntos que señalan la altura piezométrica de cada una de las porciones de un acuífero referidas a una determinada profundidad. Se las representa mediante líneas de igual altura piezométrica, de forma similar a la representación de una superficie topográfica mediante curvas de nivel⁶⁵. A estas curvas se las llama *isopiezas* o *hidrosolupsas*⁶⁶: se trata pues de líneas proporcionales a las equipotenciales, y así se las designa también en ocasiones.

En principio se admite que las superficies equipotenciales del flujo del agua en un acuífero son superficies verticales de modo que el potencial es el mismo en cualquier punto de una misma vertical; en este caso la superficie piezométrica es única, al no depender de la profundidad que se considera.

En muchos casos normales de hidrología subterránea las superficies equipotenciales son planos verticales a efectos prácticos, en especial teniendo en cuenta que las dimensiones horizontales son mucho mayores que las verticales. Sin embargo, existen casos en que el potencial varía notablemente en una misma vertical tal como sucede en las cercanías de zonas de recarga, en acuíferos con gran pendiente, en las proximidades de captaciones de agua o ríos parcialmente penetrantes, etc.; en este caso las superficies equipotenciales son planos inclinados y entonces es posible dibujar una infinidad de superficies piezométricas según la profundidad que se considere (fig. 8.78).

La superficie freática es la que define el límite de

saturación de un acuífero libre⁶⁷, y coincide con la superficie piezométrica correspondiente a los puntos situados en el límite de saturación. Se supone que la elevación capilar es muy pequeña (ver capítulo 8.8), de modo que no ser así es preciso definir la superficie sobre la que la presión del agua es igual a la atmosférica, y es la que se observa en pozos y sondeos.

Las superficies piezométricas de los acuíferos no saturados son más elevadas que el techo de los mismos. Excepto algunas veces en las proximidades de captaciones que producen un gran descenso del nivel del agua⁶⁸.

Si se admite que el potencial hidráulico no varía con la profundidad, en acuíferos libres cualquier superficie piezométrica coincide con la superficie freática o superficie lugar geométrico de puntos a presión atmosférica. Sin embargo, si tal suposición no es admisible, se pueden definir superficies piezométricas con zonas más altas o más bajas que la superficie freática, e incluso con zonas cuya superficie piezométrica está por encima del nivel del terreno.

La superficie piezométrica en los acuíferos permeables por fisuración con grietas verticales notablemente espaciadas o en acuíferos muy heterogéneos con zonas extensas impermeables, es una superficie discontinua ya que sólo existe sobre dichas grietas; en general se dibuja continua y entonces debe tomarse como superficie virtual (fig. 8.79). Por debajo de la superficie freática virtual las cavidades del terreno están llenas de agua, sólo cabe esperar cavidades vacías cuando éstas tienen una relativamente fácil comunicación con el exterior y están así continuamente drenadas dando origen a un manantial; este manantial puede pasar inadvertido por ser muy pequeño y quedar enmascarado por el te

⁶⁵ Equivale a las curvas resultantes de cortar la superficie piezométrica por un conjunto de planos horizontales igualmente espaciados.

⁶⁶ Curvas de igual altura de agua.

⁶⁷ "Water table" en la literatura anglosajona.

⁶⁸ Drenado local del acuífero.

rreno de recubrimiento, por una rápida evaporación en superficie o por la salida en forma de aire húmedo en el caso de cuevas abiertas al exterior.

El estudio del movimiento del agua en cualquier acuífero precisa del conocimiento de la superficie piezométrica (superficies piezométricas en caso de existencia de flujo vertical), que así se convierte en una herramienta esencial, la cual debe dibujarse correctamente e interpretarse, con criterio.

Cuando existen flujos verticales que hacen que la superficie piezométrica no sea única en ciertas zonas, puede trazarse una superficie piezométrica determinada y complementarla con perfiles verticales en los que se señalen las líneas equipotenciales. Ello sólo suele suceder en lugares concretos y lo más frecuente es que la superficie piezométrica se pueda tomar como única.

Por debajo del nivel del mar el terreno está naturalmente saturado de agua por razones obvias; los niveles por debajo del nivel del mar son a causa de extracciones por bombeo. Excepcionalmente pueden aparecer pequeñas depresiones transitorias en rocas consolidadas duras muy poco permeables cuando ha aumentado la porosidad del terreno rápidamente por ejemplo por creación de fracturas de descompresión las áreas de canteras con extracción intensiva y frecuentes barrenamientos (trabajos en curso en el Macizo de Garraf, Barcelona, Custodio, Galofré y otros) o en minas.

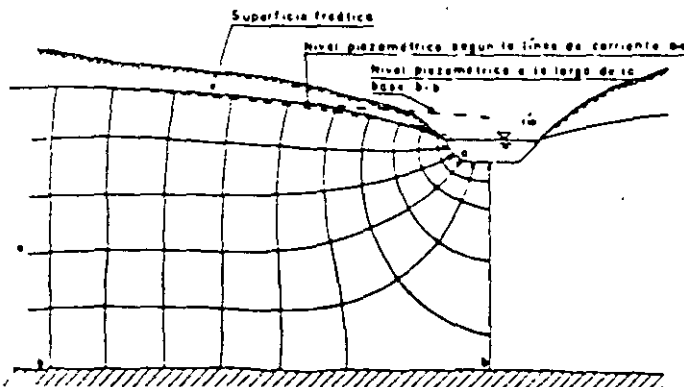


FIGURA 8.78

Red de flujo aproximada en un acuífero libre drenado por un río poco penetrante. En las proximidades del río se crea un flujo con componentes verticales de velocidad. La superficie piezométrica es única lejos del río pero varía con la profundidad cerca del mismo, y puede llegar a quedar por encima del terreno

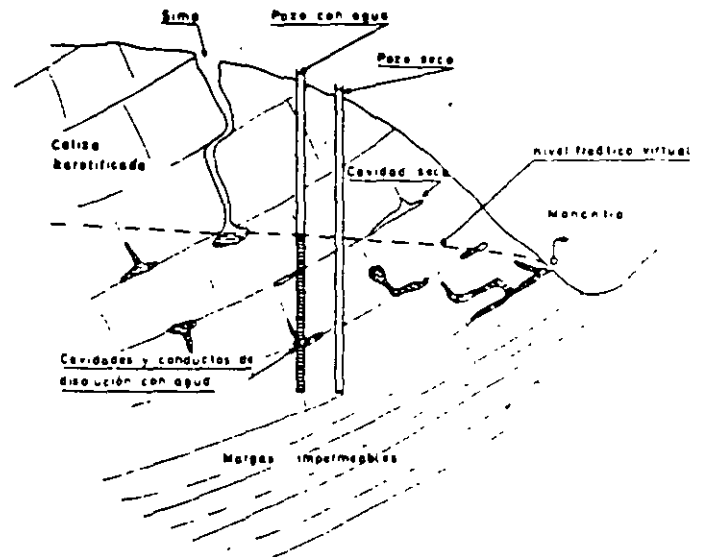


FIGURA 8.79

Nivel piezométrico virtual de un macizo calcáreo karstificado.

7.2 DETERMINACIÓN DE LOS NIVELES PIEZOMÉTRICOS

La única forma disponible para medir los niveles piezométricos en un acuífero es mediante una perforación que permita un acceso directo al mismo. En el caso de acuíferos libre, sólo en raras ocasiones los métodos geofísicos de superficie permiten determinar con una garantía aceptable la posición de la superficie freática.

Las perforaciones para medir los niveles piezométricos son los pozos existentes en la zona, excavaciones hasta el nivel del agua y los piezómetros que son a modo de pozos, en general de pequeño diámetro, contruidos especialmente con este objetivo.

La construcción de piezómetros es costosa y debe reducirse al mínimo indispensable. En acuíferos no consolidados de escasa profundidad se pueden instalar a hincia directa, de forma rápida y relativamente económica, pero en acuíferos más profundos o en rocas consolidadas se precisa de maquinaria costosa y la construcción es a veces lenta y no exenta de dificultades e imprevistos (ver sección 17).

Por las razones aludidas debe tratarse de aprovechar los accesos al acuífero que ya existan y sean suficientemente representativos tales como pozos, galerías, zonas pantanosas, fuentes, ríos conectados con el acuífero, etcétera. Los pozos y galerías en producción provocan

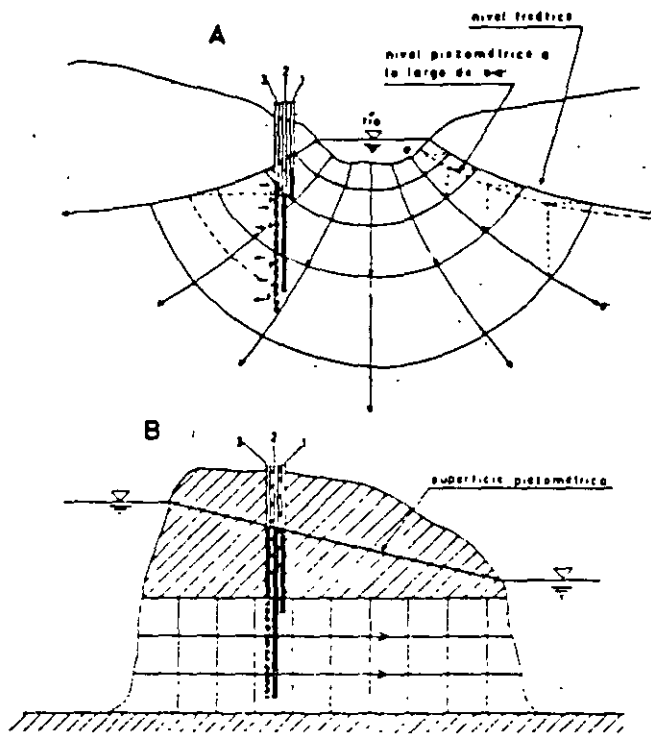


FIGURA 8.80

A) Existen componentes verticales del flujo: los niveles piezométricos varían con la profundidad. B) El flujo es horizontal, los niveles piezométricos no varían con la profundidad. 1 y 2 son piezómetros puntuales y el 3 es un piezómetro con zona ranurada larga.

En el caso B los tres señalaban el mismo nivel, pero no es así en el caso A, donde además en el piezómetro 3 existe una circulación interna de agua.

afecciones a los niveles piezométricos y dan valores dinámicos que varían según el régimen de explotación. Las zonas pantanosas y lagunas indican una salida de agua y en general son una superficie de nivel constante. Las fuentes son rebosaderos naturales y señalan niveles de base si son permanentes, a veces pueden dar lugar a confusiones si drenan zonas no saturadas o acuíferos suspendidos; por eso deben seleccionarse fuentes de caudal importante y con geología bien conocida. Deben considerarse como fuentes las zonas de surgencias en ríos. En ocasiones la verdadera salida de la fuente puede quedar enmascarada por depósitos químicos tales como travertino y la salida observada se produce en otro lugar y a menor cota.

En pozos y piezómetros, el nivel del agua se mide en general con una cinta metálica y un dispositivo o artefacto para delatar el nivel del agua (ver apéndice A.9 de la sección 9). Trabajando correctamente se puede medir con la precisión del mm; para mayores precisiones son necesarios dispositivos más delicados. En general basta con medir con la precisión del cm y en ocasiones basta con errores de ± 10 cm si el gradiente piezométrico es elevado; sólo en acuíferos con gradientes muy pequeños es preciso medir con gran precisión tal como sucede en acuíferos en calizas muy fracturadas o karstificadas.

La profundidad del nivel piezométrico se mide desde una determinada referencia; para conocer el nivel piezométrico es preciso conocer la cota de la referencia respecto a un cierto punto fijo tal como el nivel del mar, una señal determinada, etc. Ello supone una nivelación topográfica de las distintas referencias. Esta nivelación debe tener por lo menos la precisión con que se desean conocer los niveles piezométricos. En general se realiza con un equipo de topografía (nivel y mira). En trabajos preliminares en los que un error de algunos dm es tolerable, puede bastar la nivelación obtenida en las topografías existentes, si la equidistancia en la curva de nivel y la precisión de situación son suficientes.

Se dice que un piezómetro es puntual cuando sirve para determinar el nivel piezométrico en un punto, es decir cuando sólo está en comunicación con el acuífero en un punto o longitud muy corta (fig. 8.80). Si la comunicación con el acuífero se establece en una cierta longitud, el nivel obtenido es un valor medio de las alturas piezométricas en esa longitud (fig. 8.80) y si está comunicado con el acuífero en toda su longitud se obtiene el nivel piezométrico medio en todo el espesor del acuífero; en este caso se dice que el piezómetro es imperfecto; cuando está abierto sólo en un punto o en una corta longitud se dice que es perfecto*.

Si el nivel piezométrico no varía a lo largo de una vertical, el nivel observado en un piezómetro completo es igual al observado en un piezómetro incompleto.

Cuando el nivel piezométrico varía a lo largo de una misma vertical, esta variación debe determinarse e interesa, por medio de una serie de piezómetros puntuales a diferentes profundidades. Los piezómetros con zona ranurada larga, tal como se ha dicho, dan valores promedio en una longitud; dentro de los mismos se establece una circulación de agua que va desde las zonas de mayor nivel piezométrico a las de menor nivel.

* No debe confundirse la designación perfecto e imperfecto con la completa e incompleta. Estas últimas se refieren a la longitud filtrante en relación con el espesor del acuífero (ver capítulo 9.1).

piezométrico; esta circulación supone unas pérdidas de carga de circulación en el acuífero, en la zona ranurada y a lo largo del tubo, de modo que en acuíferos homogéneos el nivel observado tiende a ser menor que el nivel piezométrico medio, teniendo como límite el nivel piezométrico menor.

Los piezómetros pueden dar a veces lecturas falseadas en acuíferos con variación vertical de nivel piezométrico, cuando por un defecto de construcción puede establecerse una circulación de agua entre el tubo del piezómetro y el terreno.

Como se vio en el capítulo anterior (capítulo 6) el nivel piezométrico de un acuífero puede sufrir variaciones temporales, de modo que la superficie piezométrica se refiere a un cierto instante de tiempo; los valores que sirven para definirla deben ser simultáneos, tomando esta palabra como comprendiendo un intervalo de tiempo en el cual no se produzcan variaciones de nivel piezométrico importantes. Los piezómetros deben seguir con fidelidad esas variaciones: ello supone la entrada y salida del tubo de pequeños volúmenes de agua; si la comunicación con el acuífero es muy deficiente, el equilibrio de presiones puede hacerse muy lentamente, introduciéndose errores. Este hecho es especialmente importante en el estudio de ensayos de bombeo¹¹.

Es muy importante considerar la densidad, y a veces la temperatura, del agua que llena el piezómetro por las razones expuestas en el apartado 1.4. De no ser así se pueden tener errores importantes en zonas costeras con agua salada o en acuíferos salinos o cuando el piezómetro esté lleno de lodo de perforación, o cuando se ha extraído agua de un acuífero profundo con agua caliente (ver capítulo 10.4), etc.

7.3 TRAZADO DE LAS CURVAS ISOPIEZAS

En general sólo es posible obtener valores del potencial o nivel piezométrico en una serie de puntos del acuífero. A partir de ellos deben trazarse las curvas de nivel que sirvan para definir la superficie piezométrica. A partir de estas curvas se pueden trazar las líneas de corriente que deben ser normales a las isopiezas. Los puntos seleccionados no deben mostrar, si es posible, efectos de flujo vertical.

Las curvas equipotenciales deben cumplir las condiciones de contorno del problema o sea que deben ser normales a los límites impermeables y paralelas a las

superficies y líneas de nivel constante tales como ríos, lagos, mares, etc., que tengan conexión en el acuífero. Deben también reflejar los cambios bruscos de permeabilidad. En definitiva, deben respetar las mismas condiciones que las redes de flujo.

En principio el trazado de las curvas isopiezas a partir de los datos puntuales se realiza por métodos análogos a los empleados en topografía. La equidistancia entre líneas depende de las condiciones del problema o sea del número y repartición espacial de los datos, pendiente de la superficie piezométrica y precisión de los niveles piezométricos medidos. En planos de detalle a escalas grandes, por ejemplo 1/10 000 ó 1/25 000 se suelen dibujar con equidistancia de 1 m intercalando a veces curvas de intervalo 0.5 m. A escalas menores, hasta 1/2000 000 la equidistancia puede ser cada 5 m y a escalas aún menores, todavía más separadas. No obstante en cada caso hay que elegir la equidistancia más conveniente. En un acuífero muy transmisor puede convenir dibujar curvas con equidistancia de 0.5 m o menos mientras que en acuíferos poco transmisores puede bastar con curvas cada 5 m. En zonas muy montañosas y muy poco transmisoras puede bastar el trazado de curvas cada 100 m en planos de escalas 1/100 000 ó 1/200 000¹².

Conviene señalar en el mapa piezométrico los puntos de medida e incluso el nivel piezométrico en ellos, para poder valorar la bondad de lo representado.

Si se tienen tres puntos en los que se conoce la superficie piezométrica y entre ellos el nivel del agua varía gradualmente y no existen límites ni cambios de medio, las curvas isopiezas se pueden trazar por el método del triángulo o sea a base de unir los puntos de igual cota sobre los lados del triángulo de acuerdo con las divisiones efectuadas sobre los mismos. Estas divisiones se pueden hacer con cualquiera de los procedimientos utilizados en geometría o bien utilizando una cinta elástica graduada que al estirarse se adapta a los valores extremos del segmento. También puede emplearse un papel transparente con un conjunto de escalas radiales. Con un poco de experiencia es posible trazar las curvas a estima y adaptarlas directamente a las condiciones del problema.

En acuíferos libres, la superficie freática no puede estar más alta que el terreno, aunque sí que lo pueden estar las superficies piezométricas de partes profundas

¹¹ La experiencia del autor en Canarias muestra que en los macizos basálticos antiguos poco permeables, basta con tomar intervalos entre curvas de 100 m pero en zonas llanas, con basaltos modernos o roca fríasada por descompresión, al ser elevada la permeabilidad y muy baja la recarga es preciso tomar intervalos de 1 m o menos, sin variar la escala de plano.

¹² Véase apéndice A.6.6 de la sección 6.

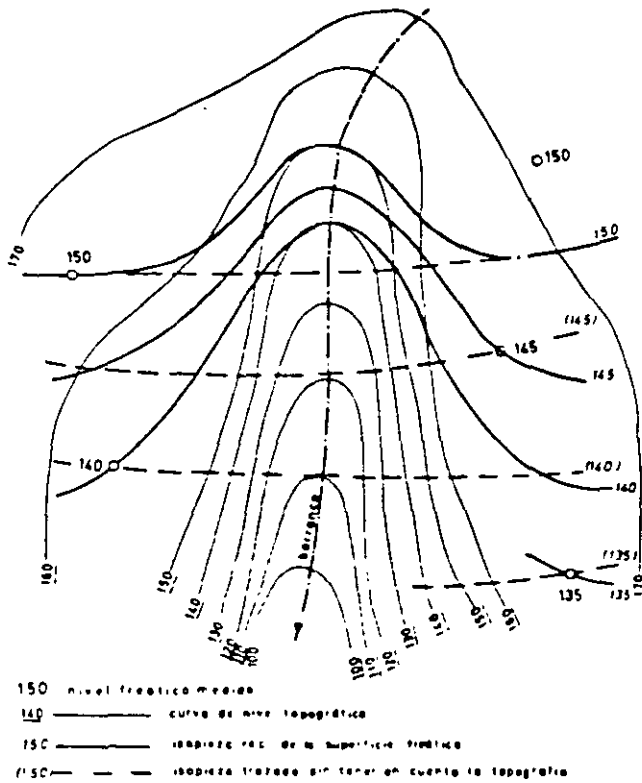


FIGURA 8.81

Diferencia en el trazado de isopiezas al tener en cuenta la topografía en una zona muy accidentada. El barranco es una línea de drenaje, aunque el agua puede que no sea visible si existe un aluvión muy permeable o la evaporación o evapotranspiración es superior al aporte. Se supone que las isopiezas son las de la superficie freática y que los niveles corresponden a datos de pozos abiertos cerca de la misma. Si se trata de niveles profundos, lo dicho puede no ser cierto.

del acuífero en zonas próximas a las de descarga (figura 8.78). Esta circunstancia debe vigilarse en el trazado de isopiezas en zonas de topografía accidentada con pocos puntos de medida y no situados en los centros de los valles (fig. 8.81)

Ejemplo 1

Se tienen los cinco puntos con determinación del nivel piezométrico de la figura 8.82. Trazar las curvas isopiezas que ellos definen con equidistancia de 1 m

En la propia figura 8.82 se ha dibujado con trazo fino la división en 5 triángulos, habiendo dividido sus lados de acuerdo con las cotas de los extremos de sus lados. Se indica de trazos el procedimiento empleado sólo para los lados de FE y FC; las divisiones auxiliares se han obtenido con una regla graduada. Las curvas isopiezas se han obtenido como unas curvas quebradas, posteriormente se pasan a curvas continuas y se adaptan a las condiciones particulares del problema.

Cuando se tienen pocos puntos para definir la superficie piezométrica y/o ésta tiene una superficie muy irregular por la presencia de zonas de drenaje o de bombeo, es preciso efectuar una interpretación a base del conocimiento de la existencia de esas zonas, lo que da cierto carácter subjetivo al trazado final (fig. 8.81)

Si la sección del acuífero varía, es preciso tenerlo en cuenta para definir el espaciado de las curvas si no hay suficientes puntos para el dibujo sin interpretación. En ciertas zonas conviene tener en cuenta el modo de construcción de una red de flujo y a veces conviene ayudarse en el trazado del dibujo de algunas líneas de corriente, las cuales son perpendiculares a las isopiezas, admitiendo que el medio es isótropo en sentido horizontal.

En las figuras 8.83, 8.84 y 8.85, se dan algunas formas indicativas de superficies piezométricas en condiciones frecuentes.

Es frecuente indicar en las superficies piezométricas la dirección del flujo mediante flechas y también la existencia de divisiones o vaguadas de agua subterránea (fig. 8.86).

Es importante indicar en el plano base de la superficie piezométrica todos aquellos detalles que la afectan, tales como bordes impermeables, ríos, canales, presas,

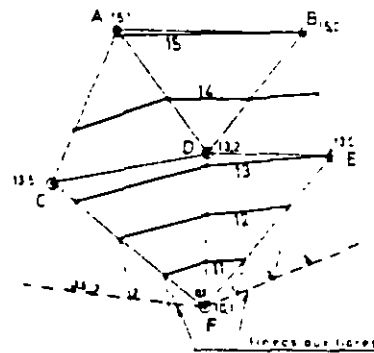


FIGURA 8.82

Trazado de las isopiezas (hidroisohipsas) dados 5 puntos con los respectivos niveles piezométricos.

TABLE 5.3

TABLE NO 1

Table B.1 Values of the Functions of e^x , $K_0(x)$, $-Ei(-x)$, and $Ei(-x)e^x$

x	e^x	$K_0(x)$	$-Ei(-x)$	$Ei(-x)e^x$	x	e^x	$K_0(x)$	$-Ei(-x)$	$Ei(-x)e^x$
0.10	1.1051	4.2712	4.0199	4.2712	0.10	1.1051	4.2712	4.0199	4.2712
0.11	1.1173	4.2770	4.0216	4.2770	0.11	1.1173	4.2770	4.0216	4.2770
0.12	1.1300	4.2828	4.0233	4.2828	0.12	1.1300	4.2828	4.0233	4.2828
0.13	1.1431	4.2886	4.0250	4.2886	0.13	1.1431	4.2886	4.0250	4.2886
0.14	1.1566	4.2944	4.0267	4.2944	0.14	1.1566	4.2944	4.0267	4.2944
0.15	1.1705	4.3002	4.0284	4.3002	0.15	1.1705	4.3002	4.0284	4.3002
0.16	1.1848	4.3060	4.0301	4.3060	0.16	1.1848	4.3060	4.0301	4.3060
0.17	1.1995	4.3118	4.0318	4.3118	0.17	1.1995	4.3118	4.0318	4.3118
0.18	1.2146	4.3176	4.0335	4.3176	0.18	1.2146	4.3176	4.0335	4.3176
0.19	1.2301	4.3234	4.0352	4.3234	0.19	1.2301	4.3234	4.0352	4.3234
0.20	1.2460	4.3292	4.0369	4.3292	0.20	1.2460	4.3292	4.0369	4.3292
0.21	1.2622	4.3350	4.0386	4.3350	0.21	1.2622	4.3350	4.0386	4.3350
0.22	1.2788	4.3408	4.0403	4.3408	0.22	1.2788	4.3408	4.0403	4.3408
0.23	1.2957	4.3466	4.0420	4.3466	0.23	1.2957	4.3466	4.0420	4.3466
0.24	1.3130	4.3524	4.0437	4.3524	0.24	1.3130	4.3524	4.0437	4.3524
0.25	1.3306	4.3582	4.0454	4.3582	0.25	1.3306	4.3582	4.0454	4.3582
0.26	1.3486	4.3640	4.0471	4.3640	0.26	1.3486	4.3640	4.0471	4.3640
0.27	1.3670	4.3698	4.0488	4.3698	0.27	1.3670	4.3698	4.0488	4.3698
0.28	1.3858	4.3756	4.0505	4.3756	0.28	1.3858	4.3756	4.0505	4.3756
0.29	1.4050	4.3814	4.0522	4.3814	0.29	1.4050	4.3814	4.0522	4.3814
0.30	1.4246	4.3872	4.0539	4.3872	0.30	1.4246	4.3872	4.0539	4.3872
0.31	1.4446	4.3930	4.0556	4.3930	0.31	1.4446	4.3930	4.0556	4.3930
0.32	1.4650	4.3988	4.0573	4.3988	0.32	1.4650	4.3988	4.0573	4.3988
0.33	1.4858	4.4046	4.0590	4.4046	0.33	1.4858	4.4046	4.0590	4.4046
0.34	1.5070	4.4104	4.0607	4.4104	0.34	1.5070	4.4104	4.0607	4.4104
0.35	1.5286	4.4162	4.0624	4.4162	0.35	1.5286	4.4162	4.0624	4.4162
0.36	1.5506	4.4220	4.0641	4.4220	0.36	1.5506	4.4220	4.0641	4.4220
0.37	1.5730	4.4278	4.0658	4.4278	0.37	1.5730	4.4278	4.0658	4.4278
0.38	1.5958	4.4336	4.0675	4.4336	0.38	1.5958	4.4336	4.0675	4.4336
0.39	1.6191	4.4394	4.0692	4.4394	0.39	1.6191	4.4394	4.0692	4.4394
0.40	1.6429	4.4452	4.0709	4.4452	0.40	1.6429	4.4452	4.0709	4.4452
0.41	1.6672	4.4510	4.0726	4.4510	0.41	1.6672	4.4510	4.0726	4.4510
0.42	1.6920	4.4568	4.0743	4.4568	0.42	1.6920	4.4568	4.0743	4.4568
0.43	1.7173	4.4626	4.0760	4.4626	0.43	1.7173	4.4626	4.0760	4.4626
0.44	1.7431	4.4684	4.0777	4.4684	0.44	1.7431	4.4684	4.0777	4.4684
0.45	1.7694	4.4742	4.0794	4.4742	0.45	1.7694	4.4742	4.0794	4.4742
0.46	1.7962	4.4800	4.0811	4.4800	0.46	1.7962	4.4800	4.0811	4.4800
0.47	1.8235	4.4858	4.0828	4.4858	0.47	1.8235	4.4858	4.0828	4.4858
0.48	1.8513	4.4916	4.0845	4.4916	0.48	1.8513	4.4916	4.0845	4.4916
0.49	1.8796	4.4974	4.0862	4.4974	0.49	1.8796	4.4974	4.0862	4.4974
0.50	1.9084	4.5032	4.0879	4.5032	0.50	1.9084	4.5032	4.0879	4.5032
0.51	1.9377	4.5090	4.0896	4.5090	0.51	1.9377	4.5090	4.0896	4.5090
0.52	1.9675	4.5148	4.0913	4.5148	0.52	1.9675	4.5148	4.0913	4.5148
0.53	1.9978	4.5206	4.0930	4.5206	0.53	1.9978	4.5206	4.0930	4.5206
0.54	2.0286	4.5264	4.0947	4.5264	0.54	2.0286	4.5264	4.0947	4.5264
0.55	2.0599	4.5322	4.0964	4.5322	0.55	2.0599	4.5322	4.0964	4.5322
0.56	2.0917	4.5380	4.0981	4.5380	0.56	2.0917	4.5380	4.0981	4.5380
0.57	2.1240	4.5438	4.0998	4.5438	0.57	2.1240	4.5438	4.0998	4.5438
0.58	2.1568	4.5496	4.1015	4.5496	0.58	2.1568	4.5496	4.1015	4.5496
0.59	2.1901	4.5554	4.1032	4.5554	0.59	2.1901	4.5554	4.1032	4.5554
0.60	2.2239	4.5612	4.1049	4.5612	0.60	2.2239	4.5612	4.1049	4.5612
0.61	2.2582	4.5670	4.1066	4.5670	0.61	2.2582	4.5670	4.1066	4.5670
0.62	2.2930	4.5728	4.1083	4.5728	0.62	2.2930	4.5728	4.1083	4.5728
0.63	2.3283	4.5786	4.1100	4.5786	0.63	2.3283	4.5786	4.1100	4.5786
0.64	2.3641	4.5844	4.1117	4.5844	0.64	2.3641	4.5844	4.1117	4.5844
0.65	2.4004	4.5902	4.1134	4.5902	0.65	2.4004	4.5902	4.1134	4.5902
0.66	2.4372	4.5960	4.1151	4.5960	0.66	2.4372	4.5960	4.1151	4.5960
0.67	2.4745	4.6018	4.1168	4.6018	0.67	2.4745	4.6018	4.1168	4.6018
0.68	2.5123	4.6076	4.1185	4.6076	0.68	2.5123	4.6076	4.1185	4.6076
0.69	2.5506	4.6134	4.1202	4.6134	0.69	2.5506	4.6134	4.1202	4.6134
0.70	2.5894	4.6192	4.1219	4.6192	0.70	2.5894	4.6192	4.1219	4.6192
0.71	2.6287	4.6250	4.1236	4.6250	0.71	2.6287	4.6250	4.1236	4.6250
0.72	2.6685	4.6308	4.1253	4.6308	0.72	2.6685	4.6308	4.1253	4.6308
0.73	2.7088	4.6366	4.1270	4.6366	0.73	2.7088	4.6366	4.1270	4.6366
0.74	2.7496	4.6424	4.1287	4.6424	0.74	2.7496	4.6424	4.1287	4.6424
0.75	2.7909	4.6482	4.1304	4.6482	0.75	2.7909	4.6482	4.1304	4.6482
0.76	2.8327	4.6540	4.1321	4.6540	0.76	2.8327	4.6540	4.1321	4.6540
0.77	2.8750	4.6598	4.1338	4.6598	0.77	2.8750	4.6598	4.1338	4.6598
0.78	2.9178	4.6656	4.1355	4.6656	0.78	2.9178	4.6656	4.1355	4.6656
0.79	2.9611	4.6714	4.1372	4.6714	0.79	2.9611	4.6714	4.1372	4.6714
0.80	3.0049	4.6772	4.1389	4.6772	0.80	3.0049	4.6772	4.1389	4.6772
0.81	3.0492	4.6830	4.1406	4.6830	0.81	3.0492	4.6830	4.1406	4.6830
0.82	3.0940	4.6888	4.1423	4.6888	0.82	3.0940	4.6888	4.1423	4.6888
0.83	3.1393	4.6946	4.1440	4.6946	0.83	3.1393	4.6946	4.1440	4.6946
0.84	3.1851	4.7004	4.1457	4.7004	0.84	3.1851	4.7004	4.1457	4.7004
0.85	3.2314	4.7062	4.1474	4.7062	0.85	3.2314	4.7062	4.1474	4.7062
0.86	3.2782	4.7120	4.1491	4.7120	0.86	3.2782	4.7120	4.1491	4.7120
0.87	3.3255	4.7178	4.1508	4.7178	0.87	3.3255	4.7178	4.1508	4.7178
0.88	3.3733	4.7236	4.1525	4.7236	0.88	3.3733	4.7236	4.1525	4.7236
0.89	3.4216	4.7294	4.1542	4.7294	0.89	3.4216	4.7294	4.1542	4.7294
0.90	3.4704	4.7352	4.1559	4.7352	0.90	3.4704	4.7352	4.1559	4.7352
0.91	3.5197	4.7410	4.1576	4.7410	0.91	3.5197	4.7410	4.1576	4.7410
0.92	3.5695	4.7468	4.1593	4.7468	0.92	3.5695	4.7468	4.1593	4.7468
0.93	3.6198	4.7526	4.1610	4.7526	0.93	3.6198	4.7526	4.1610	4.7526
0.94	3.6706	4.7584	4.1627	4.7584	0.94	3.6706	4.7584	4.1627	4.7584
0.95	3.7219	4.7642	4.1644	4.7642	0.95	3.7219	4.7642	4.1644	4.7642
0.96	3.7737	4.7700	4.1661	4.7700	0.96	3.7737	4.7700	4.1661	4.7700
0.97	3.8260	4.7758	4.1678	4.7758	0.97	3.8260	4.7758	4.1678	4.7758
0.98	3.8788	4.7816	4.1695	4.7816	0.98	3.8788	4.7816	4.1695	4.7816
0.99	3.9321	4.7874	4.1712	4.7874	0.99	3.9321	4.7874	4.1712	4.7874
1.00	3.9859	4.7932	4.1729	4.7932	1.00	3.9859	4.7932	4.1729	4.7932

See reference 20 at the end of Chapter 5 (Columns of Mahab S. Hanush)

CALCULO DE EFICIENCIA DE EQUIPOS DE BOMBEO

PARAMETRO UNIDADES	D ₁ m	D ₂ m	n RPM	N.E. m	N.D. m	P _m m	A m ²	Q m ³ /seg	h _v m	h _{fc} m	h _d m	H m	I ₁ amp	I ₂ amp	I ₃ amp	I amp
POZO No.	DIAMETRO DE COLUMNA	DIAMETRO DE CUBIERTA	FRECUENCIA DE ROTACION	NIVEL ESTATICO	NIVEL DINAMICO	PRESION MANOMETRICA	AREA 3.141592 (D ₁ ² - D ₂ ²) / 4	GASTO	PERDIDA POR VELOCIDAD (Q/A) ² / 19.81	PERDIDA POR FRICCION	CARGA EN LA DESCARGA P _m + h _v + h _{fc}	CARGA TOTAL N.D. + H _d	CORRIENTE 1	CORRIENTE 2	CORRIENTE 3	CORRIENTE PROMEDIO (I ₁ + I ₂ + I ₃) / 3
TOQUILLA																
103.9	0.1524	0.0635	1781	29.46	78.10	6	0.0151	0.0340	0.259	7.60	13.86	91.98	108	107	105	106.7
103.7	0.2540	0.0635	1700	25	75	17	0.0475	0.0760	0.131	2.18	19.29	94.29	130	135	133	132.7
103.11	0.2012	0.0635	1775	30	90	15	0.0293	0.0360	0.077	1.62	16.70	108.70	123	124	125	124.0
103.12	0.2012	0.0635	1750	34.81	69.47	19	0.0293	0.0469	0.131	1.98	21.11	90.58	108	108	107	107.7
103.22	0.2540	0.0635	1773	21	70	47	0.0475	0.0860	0.167	2.18	49.33	119.33	173	178	176	175.7
103.25	0.2540	0.0635	1782	25	75	43	0.0475	0.0840	0.159	2.25	45.41	120.41	220	222	215	219.0
103.26	0.2012	0.0635	1780	35.30	104.00	28	0.0293	0.0280	0.047	1.03	29.08	133.08	129		128	128.5
103.27	0.2012	0.0635	1758	50.90	51.20	15	0.0293	0.0374	0.083	1.00	18.08	67.28	67.2		68.1	67.7
103.55	0.1524	0.0508	1785	27	118	11	0.0162	0.0200	0.078	4.18	15.24	133.24	80	79	81	80.0

CALCULO DE EFICIENCIA DE EQUIPOS DE BOMBEO

PARAMETRO. UNIDADES	V ₁ volts	V ₂ volts	V ₃ volts	V volts	fp ₁ %	fp ₂ %	fp ₃ %	fp %	Pe Kw	Ps Kw	η %	Ce lps/m
	TENSION ₁₂	TENSION ₁₃	TENSION ₂₃	TENSION PROMEDIO (V ₁ + V ₂ + V ₃) / 3	FACTOR DE POTENCIA 1	FACTOR DE POTENCIA 2	FACTOR DE POTENCIA 3	FACTOR DE POTENCIA PROMEDIO (fp ₁ + fp ₂ + fp ₃) / 3	POTENCIA DE ENTRADA PROMEDIO I x V x fp x 0.00001732	POTENCIA DE SALIDA Q x H x 9.806	EFICIENCIA (Ps / Pe) x 100	CAPACIDAD ESPECIFICA Q / (ND - NE)
POZO No. TOLUQUILLA												
TO 1	446	445	445	445.3	89	87	88	88.0	72.4	30.66	42.35	0.6990
TO 7	442	440	442	441.3	84	83	86	84.3	85.5	70.27	82.17	1.5200
TO 11	457	457	458	457.3	88	88	88	88.0	86.4	37.67	43.58	0.6000
TO 12	440	439	439	439.3	91	92	92	91.7	75.1	41.66	55.47	1.3531
TO 22	437	437	438	437.3	88	88	87	87.7	116.6	100.63	86.27	1.7551
TO 25	438	436	438	437.3	81	79	80	80.0	132.7	99.18	74.74	1.6800
TO 26	438	438	437	437.7	82		82	82.0	79.9	36.54	45.74	0.4076
TO 27	436	431	435	434.0	84		89	86.5	44.0	24.68	56.10	124.6667
TO-SS	431	435	431	432.3	86	85	84	85.0	50.9	26.13	51.32	0.2198

ESTUDIO PARA LA REHABILITACION DE POZOS PROFUNDOS

POZO No.
SISTEMA:
FECHA:

MOTOR

MARCA:
POTENCIA (HP):
RPM:
ARMAZON:
CORRIENTE (amp):
TENSION (volts):
FACTOR DE SERVICIO:
CORR. A FACT. DE SERV (amp):
OBSERVACIONES:

BOMBA

MARCA:
MODELO:
DIAM. FLECHA (pulg):
DIAM. CUBIERTA (pulg):
DIAM. COLUMNA (pulg):
LUBRICADA POR:
DIAM. DESCARGA (pulg):
LONG. COLUMNA (cm):
No. DE IMPULSORES:
OBSERVACIONES:

DATOS HIDRAULICOS

NIVEL DINAMICO (m):
NIVEL ESTATICO (m):
OBSERVACIONES:

PRESION MANOMETRICA (Kg/cm ²):
DIAMETRO DE DESCARGA (pulg) :
VALVULA PARA AFORO (pulg):
ALTURA PIEZOMETRICA (cm):
DISTANCIA X (cm):
(regla de aforo) Y (cm):
CAUDAL (lps):

TRANSFORMADOR

CAPACIDAD (KVA):

ARRANCADOR

MARCA:
CAPACIDAD (HP):
TENSION (volts):
FASE ALERT:
TIEMPO DE ARRANQUE:
RELEVADOR DE CORRIENTE:
BANCO DE CAPACITORES:
OBSERVACIONES:

MEDICIONES

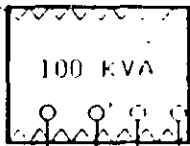
V ₁₂	
A ₁	
K _{w1}	
PF ₁	
KVA _{r1}	
KVA ₁	
HZ ₁	

V ₁₂	
A ₂	
K _{w2}	
PF ₂	
KVA _{r2}	
KVA ₂	
HZ ₂	

V ₂₃	
A ₃	
K _{w3}	
PF ₃	
KVA _{r3}	
KVA ₃	
HZ ₃	

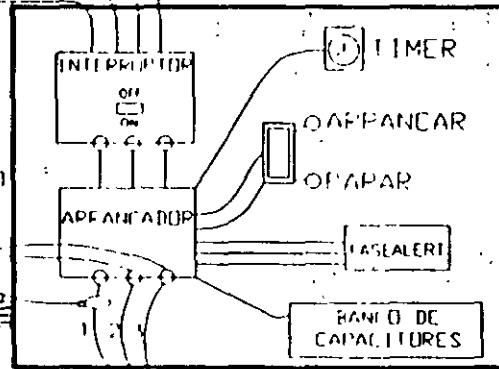
MEDICIONES ELECTROMECAICAS

TRANSFORMADOR

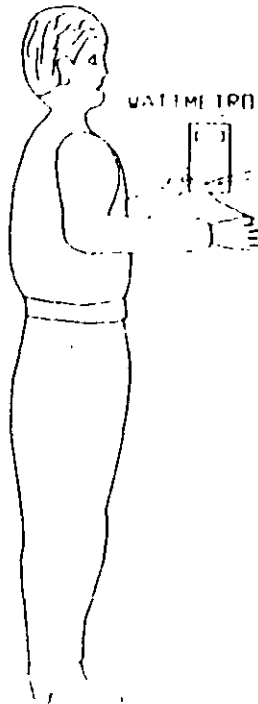


TIERRA

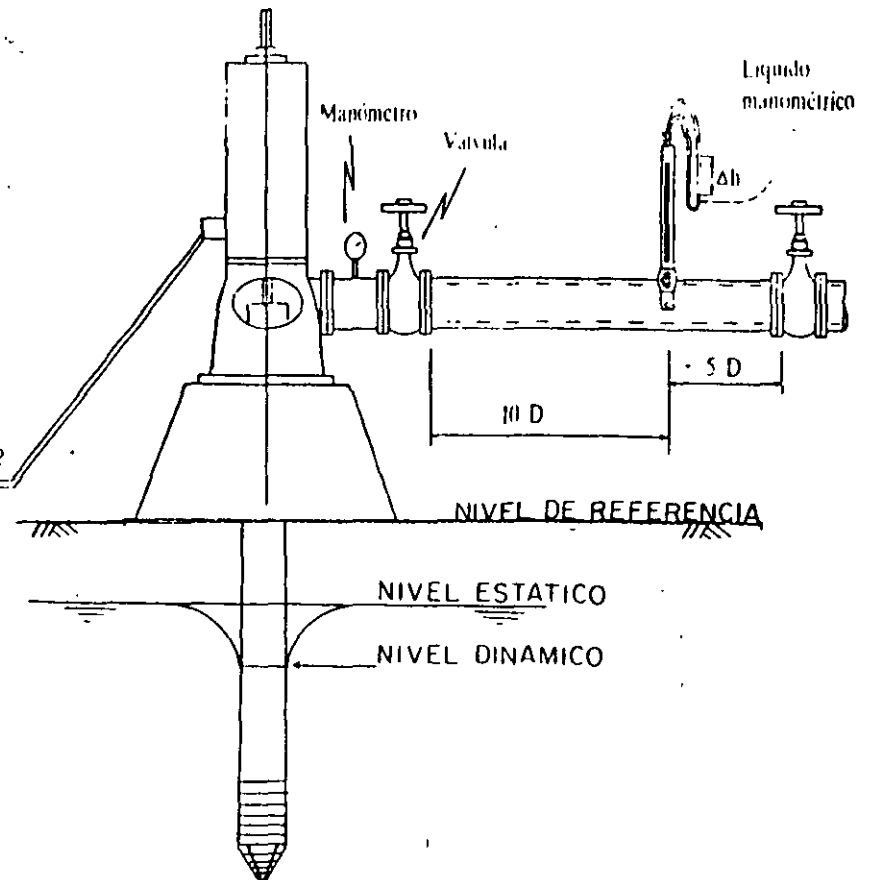
TABLERO DE CONTROL



WATIMETRO



ALIMENTACION AL MOTOR



NIVEL DE REFERENCIA - Es el plano inferior de la placa base y es la referencia para todas las mediciones hidráulicas

NIVEL DINAMICO (ND o Z_d) - Es la distancia vertical desde el nivel de referencia hasta la superficie del agua cuando se encuentra en operación el equipo de bombeo

POTENCIA DE ENTRADA AL MOTOR (P_e) - Es la potencia, en watt, que requiere el motor eléctrico acopiado a la bomba y en operación normal para motores trifásicos se define como

$$P_e = \sqrt{3}VI\cos\phi$$

donde

- V = Tensión eléctrica, en volt
- I = Corriente eléctrica, en ampere
- $\cos\phi$ = Factor de potencia, adimensional

POTENCIA DE SALIDA DE LA BOMBA (P_s) - Es la potencia, en watt, transferida al agua por la bomba, medida lo más cerca posible del cabezal descarga. Su expresión matemática es

$$P_s = q \cdot \rho g H$$

donde

- q = Flujo volumétrico, en m^3/s
- ρ = Densidad del agua bombeada, en kg/m^3
- g = Aceleración de la gravedad, en m/s^2
- H = Carga total de bombeo, en m

SISTEMA DE BOMBEO - Es el conjunto motor eléctrico, bomba y conductos que se instalan para la extracción y manejo cualquier tipo de aguas

TENSION ELECTRICA (V) - Diferencia de potencial medida entre dos puntos de un circuito, expresada en volt

ND o Z_d = Nivel dinámico, en m.

h_{fc} = Pérdidas por fricción en la columna en m c a. Se determina por medio de tablas proporcionadas por el fabricante o mediante tablas generales para efectos de esta Norma las pérdidas en el codo de descarga y otros accesorios no se consideran por ser poco significativas

h_v = Carga de velocidad, en m

CORRIENTE ELECTRICA (I).- Su unidad práctica es el ampere. Es la intensidad de corriente que pasa a través de un conductor con resistencia R y cuya diferencia de potencial entre sus extremos es V

EFICIENCIA ELECTROMECHANICA PARA POZO PROFUNDO (η).- Es el cociente de la potencia medida a la salida de la bomba entre la potencia de entrada al motor eléctrico. Se expresa en %

$$\eta = \frac{P_s}{P_e} \times 100$$

donde:

P_s = Potencia de salida de la bomba

P_e = Potencia de entrada al motor

FACTOR DE POTENCIA (f_p).- Relacion entre la potencia activa y la potencia aparente

FLUJO, CAPACIDAD O GASTO (q_v).- Razon a la cual el volumen del agua cruza la sección transversal del tubo en la unidad e tiempo, se expresa en m^3/s

FRECUENCIA DE ROTACION (n).- Es el número de revoluciones por unidad de tiempo a las que gira el conjunto bomba-motor expresada en la práctica en RPM (revoluciones por minuto)

MOTOR ELECTRICO.- Maquina que transforma la energia eléctrica en energia mecánica

VALORES MINIMOS DE EFICIENCIA PARA SISTEMAS DE BOMBEO PARA POZO PROFUNDO EN OPERACION

Cualquier sistema de bombeo para pozo profundo que utilice la energía eléctrica como medio de energía para sus fines y que, derivado del diagnóstico de eficiencia electromecánica ésta resulta menor o igual 40% en forma combinada, esto es, del conjunto bomba-motor, deben efectuarse acciones de rehabilitación o sustitución de los equipos electromecánicos

DEFINICIONES

CARGA.- Es la cantidad de energía mecánica que requiere la bomba para mover el agua desde el nivel dinámico hasta el punto final del sistema.

CARGA DE VELOCIDAD (h_v) - Es la energía cinética por unidad de peso del líquido en movimiento. Es expresada por $h_v = v^2/2g$; donde: h_v carga de velocidad, en m; v velocidad del agua dentro de la tubería, en m/s, g aceleración de la gravedad ($g = 9,80665 \text{ m/s}^2$ a nivel del mar)

CARGA TOTAL DE BOMBEO (H) - Está dada por la suma algebraica de la presión manométrica medida a la descarga (convertida en metros de columna de agua y corregida con la altura a la línea de centros de la toma de señal de presión), el nivel dinámico, las pérdidas por fricción en la columna y la carga de velocidad. Su expresión matemática es

$$H = P_m + ND + h_{fc} + h_v$$

donde

H = Carga total de bombeo en m

P_m o P_{gd} = Presión en la descarga en metros de columna de agua (m c a), se mide directamente en el manómetro colocado inmediatamente después del cabezal de descarga (ver figura 4.1) Normalmente la medición se realiza en kg/cm^2

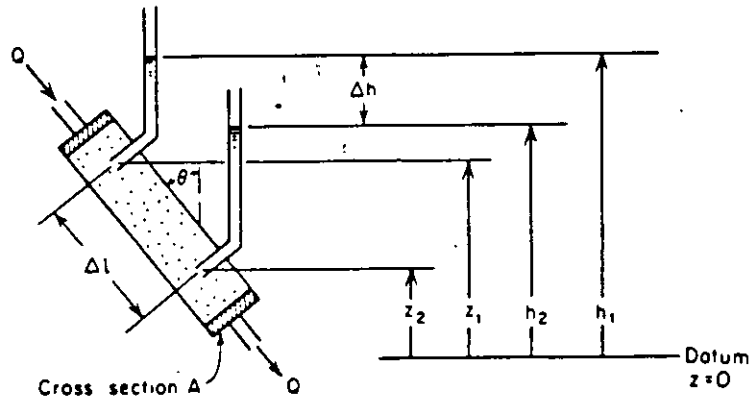
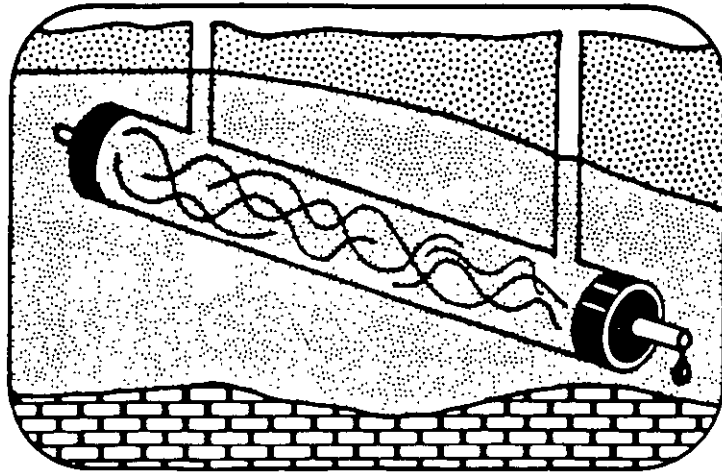


Figure 2.1 Experimental apparatus for the illustration of Darcy's law.

LEY DE DARCY

$$V = Q/A$$

$$T = K/b$$

$$V = Ki$$

$$I = L/l$$

$$Q = Tbi$$

POROSIDAD

$$n = V_h/V_t$$

POROSIDAD EFECTIVA = (S_y) RENDIMIENTO EFECTIVO

$$S_y = V_d/V_t$$

V_d = Volumen drenado

COEFICIENTE DE ALMACENAMIENTO

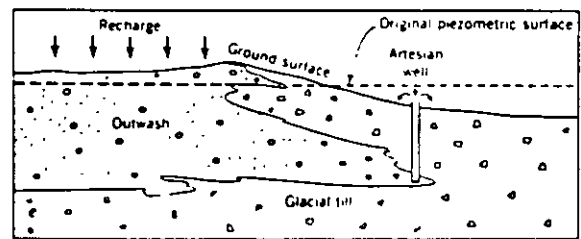
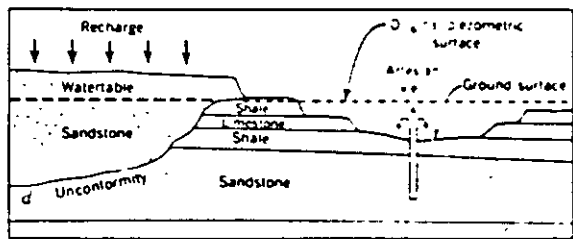
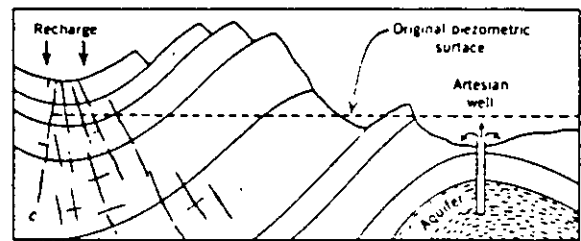
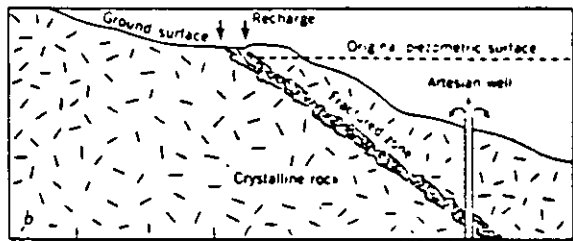
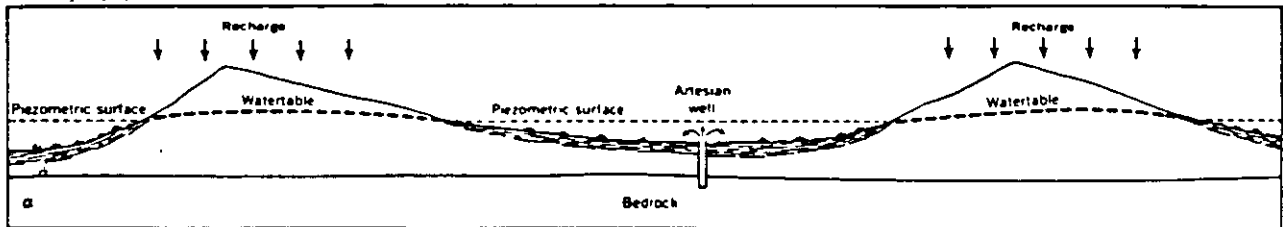
ACUIFERO LIBRE 2 - 30%

ACUIFERO CONFINADO 0.001 - 0.00001

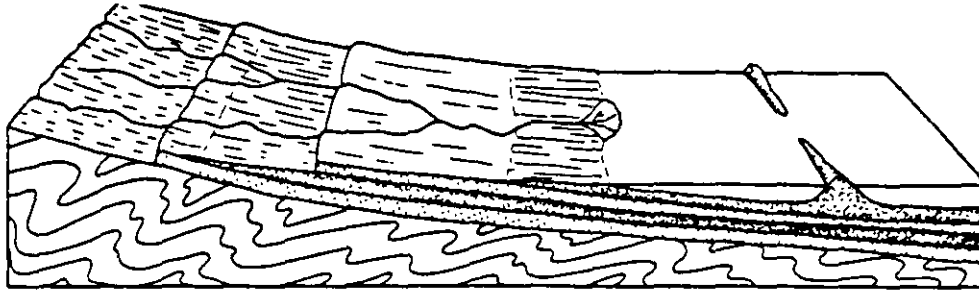
**(K) PERMEABILIDAD = CONDUCTIVIDAD HIDRAULICA
FLUJO EN UNA SECCION UNITARIA**

**(T) TRANSMISIBILIDAD
FLUJO SOBRE UNA FRANJA DE L = b
b = ESPESOR DEL ACUIFERO**

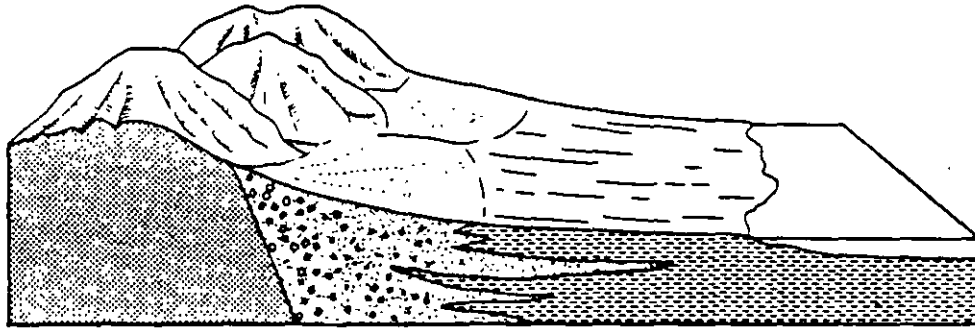
ASPECTOS GEOLOGICOS QUE ORIGINAN POZOS ARTESIANOS



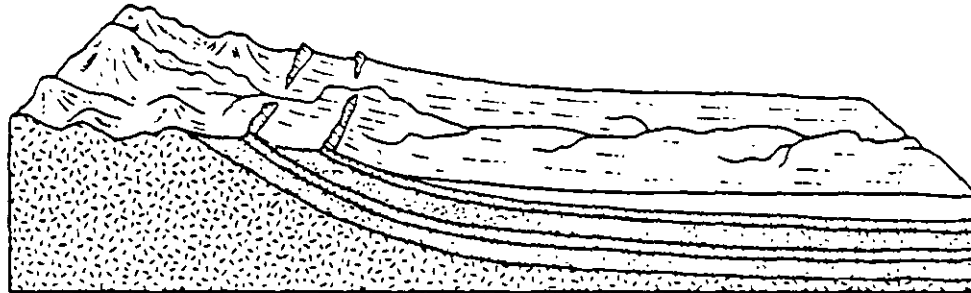
ASPECTOS GEOLOGICOS PARA LA FORMACION DE ACUIFEROS CONFINADOS



Confined aquifers created by alternating aquifers and confining units deposited on a regional dip.



Confined aquifers created by deposition of alternating layers of permeable sand and gravel and impermeable silts and clays deposited in intermontane basins.



Confined aquifer created by upwarping of beds by intrusions

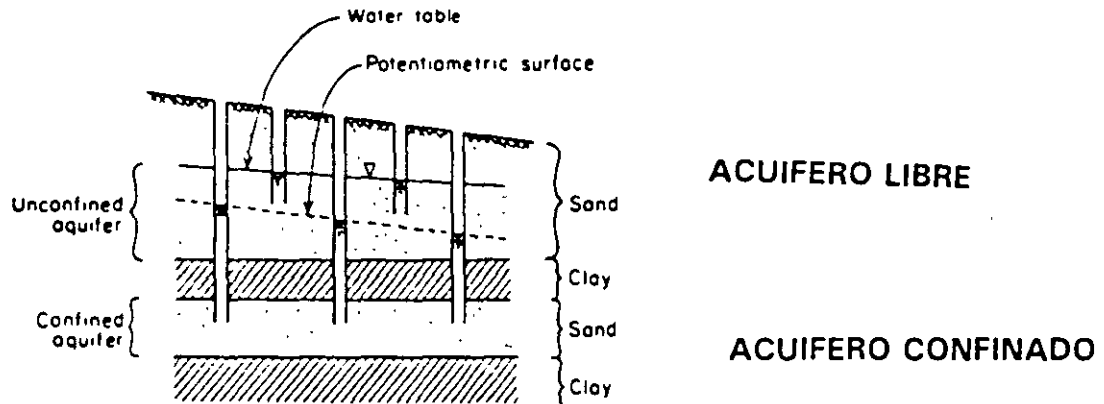


Figure 2.16 Unconfined aquifer and its water table; confined aquifer and its potentiometric surface.

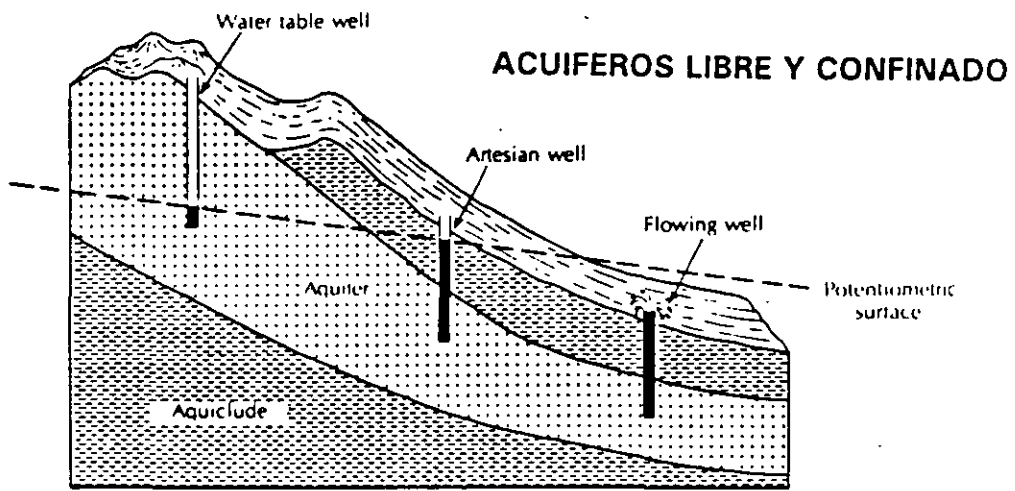
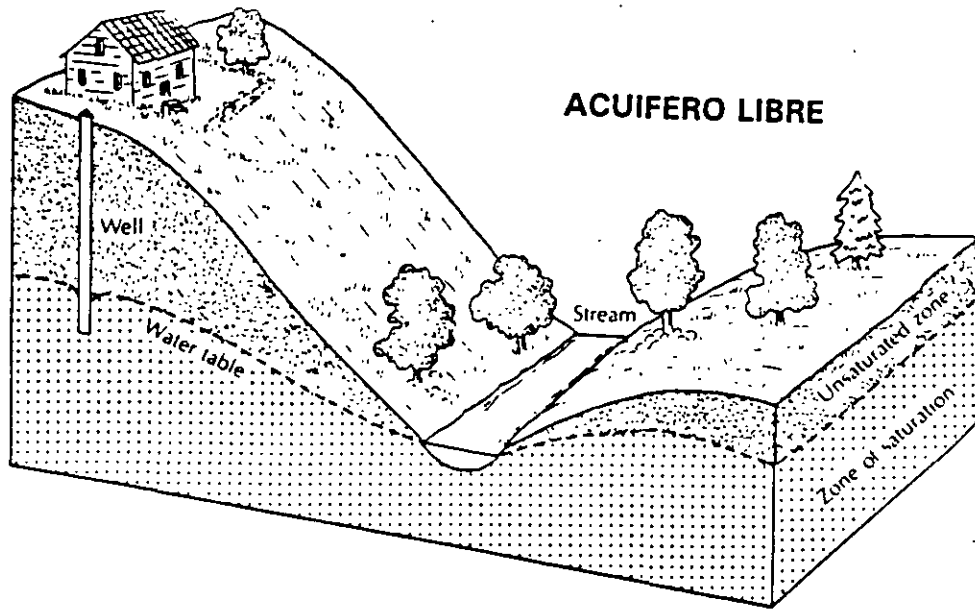
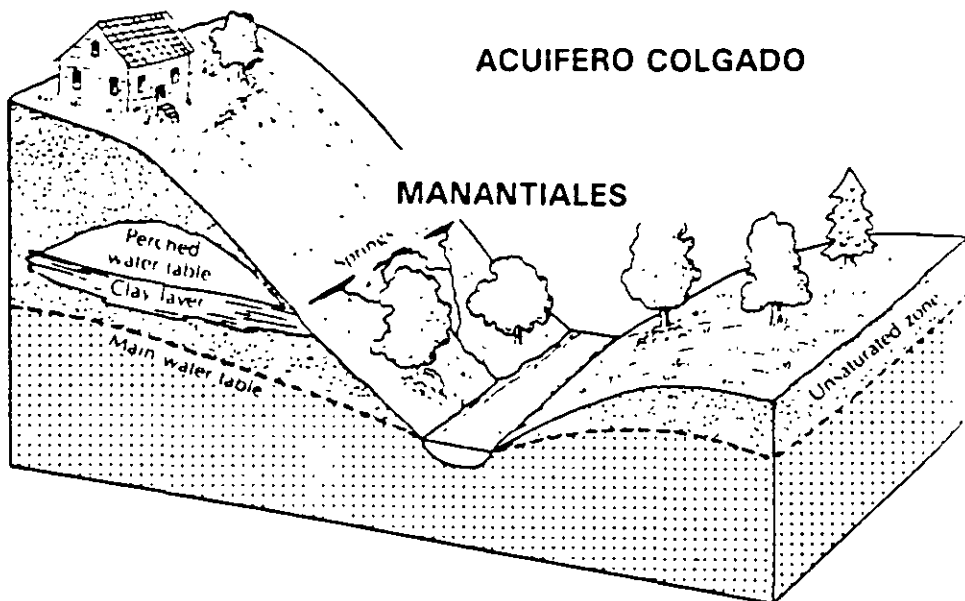
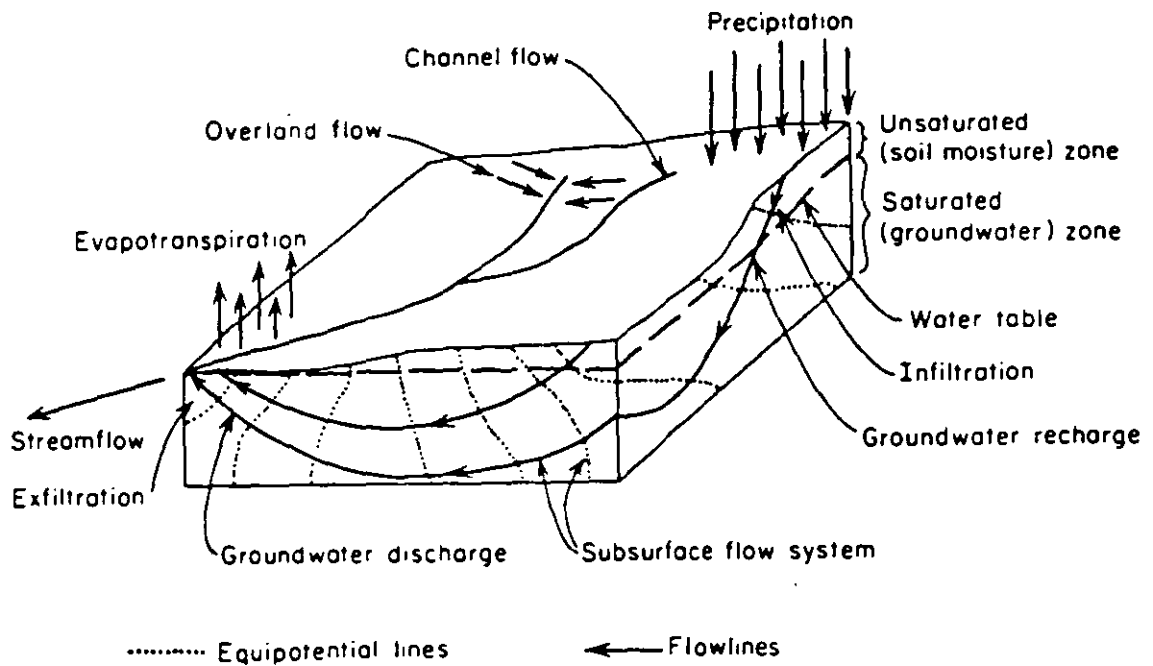
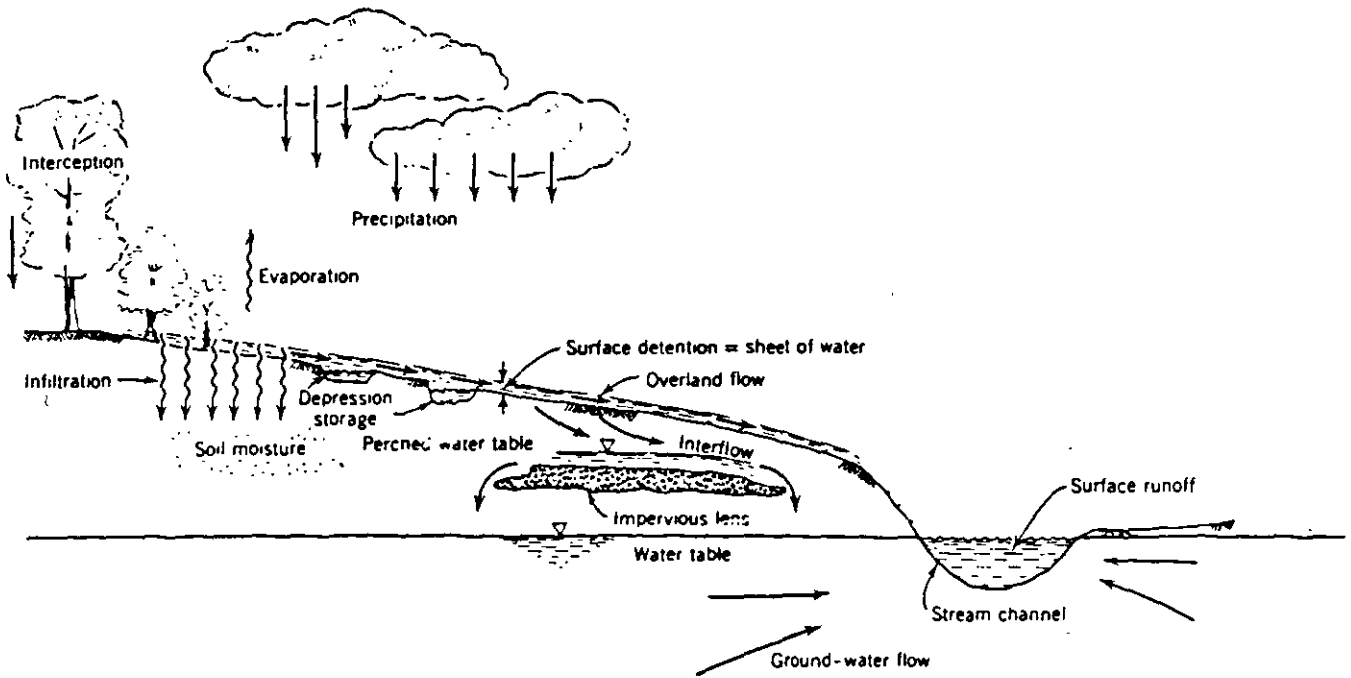
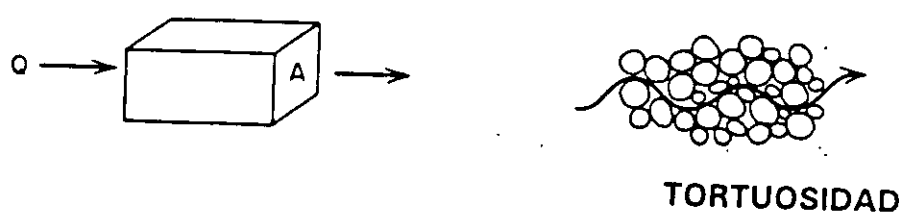
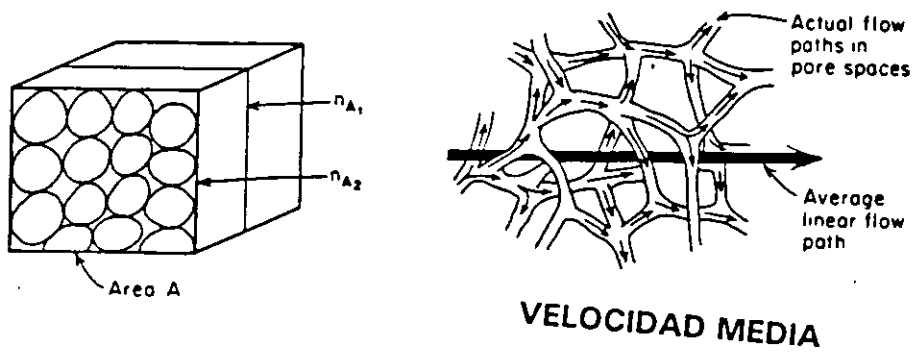


FIGURE 4.29 Artesian and flowing well in confined aquifer



CICLO HIDROLOGICO





DISPERSION MECANICA

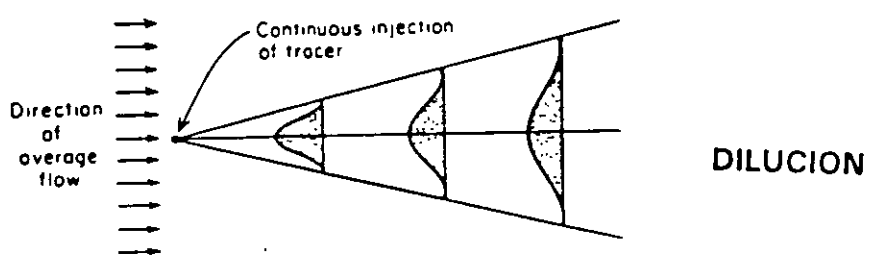


Figure 2.29 Schematic representation of the dilution process caused by mechanical dispersion in granular porous media.

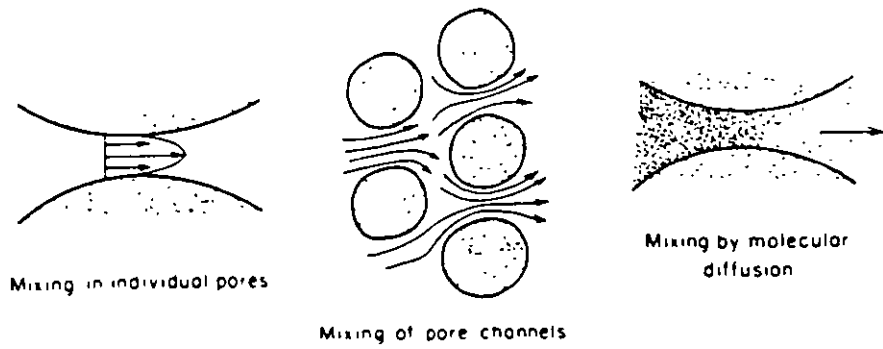
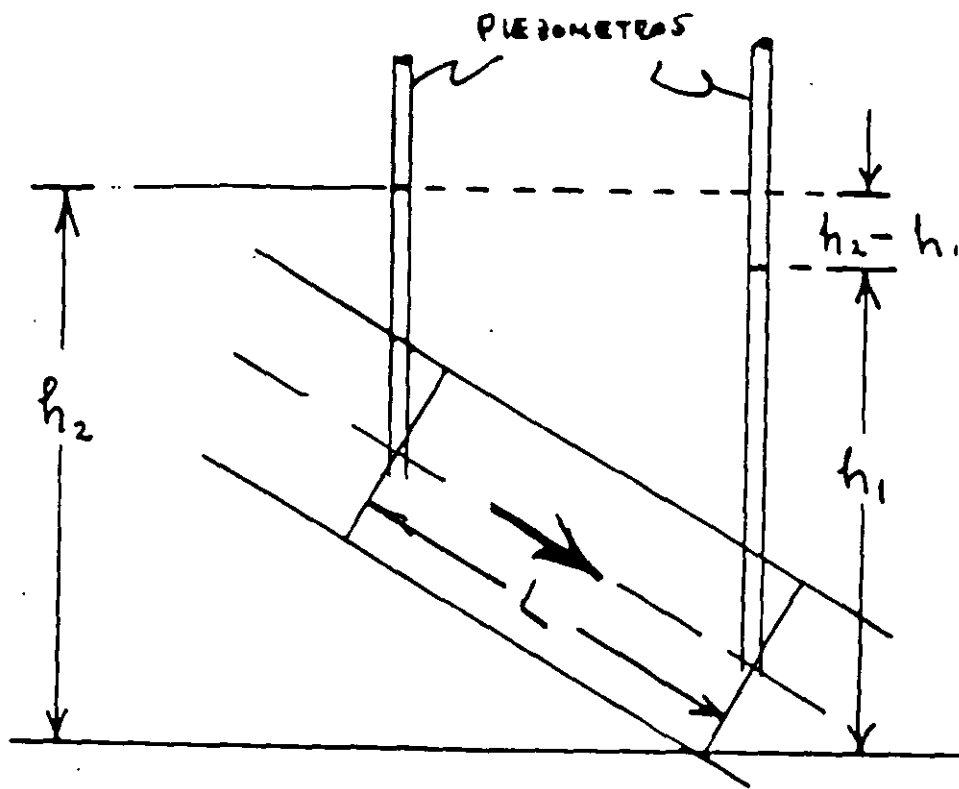


Figure 2.30 Processes of dispersion on a microscopic scale.

ROCA	POROSIDAD n (%)	RENDIMIENTO ESPECIFICO O S_y (%) POROSIDAD EFFECTIVA
Arcilla	45 - 55	1 - 10
Arena	35 - 40	10 - 30
Grava	30 - 40	18 - 30
Arena y grava	20 - 35	18 - 25
Arenisca	10 - 20	8 - 15
Lutita	1 - 10	0.5 - 5
Caliza	1 - 10	0.5 - 5

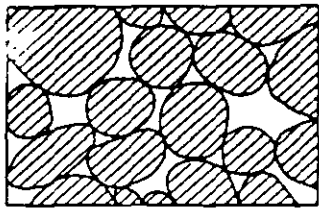


ARCILLA < 1/256 mm
 LIMO 1/256-1/16 mm
 ARENA 1/16-2 mm
 GRAVA > 2 mm
 CANTOS RODADOS Y BLOQUES

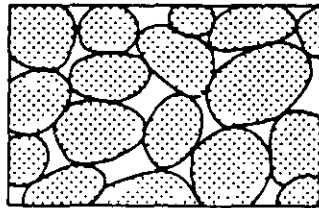
POROSITY OF EARTH MATERIALS

Limiting particle diameter		Size	Class		
(mm)	(ϕ units)				
2048	-11	V. Large	Boulders	1 m	
		Large			
1024	-10	Medium			
512	-9	Small			
256	-8	Large	Cobbles	10 ⁻¹	
128	-7	Small			
64	-6	V. Coarse	Pebbles	10 ⁻²	
32	-5	Coarse			
16	-4	Medium			
8	-3	Fine			
4	-2	V. Fine	Sand	10 ⁻³	
2	-1	V. Coarse			
1	0 (Microns μ)	Coarse			
1/2	+1	Medium			
1/4	+2	Fine			
1/8	+3	125	V. Fine	10 ⁻⁴	
1/16	+4	62	V. Coarse	Silt	10 ⁻⁵
1/32	+5	31	Coarse		
1/64	+6	16	Medium		
1/128	+7	8	Fine		
1/256	+8	4	V. Fine		
1/512	+9	2		Clay	

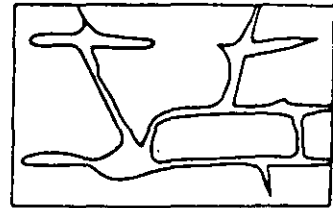
FIGURE 4.3 Standard sizes of sediments with limiting particle diameters and the ϕ scale of sediment size, in which ϕ is equal to $\log_2 s$ (the particle diameter). Source: G. M. Friedman and J. E. Sanders, *Principles of Sedimentology* (New York, John Wiley & Sons, 1978). Used with permission.



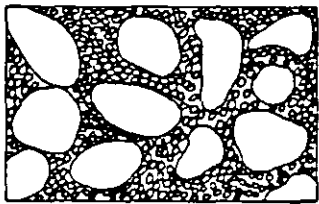
(a)



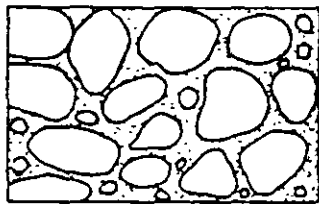
(c)



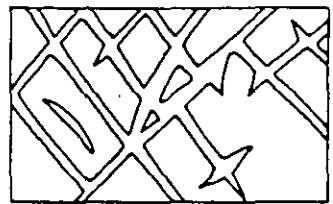
(e)



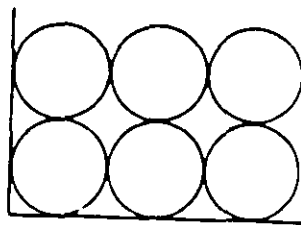
(b)



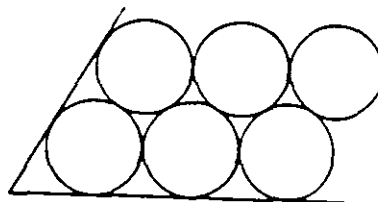
(d)



(f)



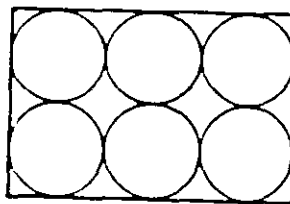
A



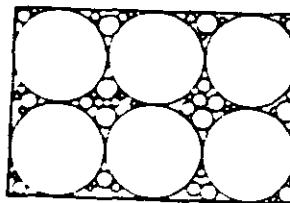
B

FIGURE 4.1 A. Cubic packing of spheres with a porosity of 47.65 percent B. Rhombohedral packing of spheres with a porosity of 25.95 percent.

POROSIDAD



A



medio, se debe de tomar en consideración que hacia el año de 1985 la extracción de agua en esta zona era baja y por lo tanto la evolución del nivel fue mínima, mientras que, hacia 1995 las extracciones se presentan en mayor rango y consecuentemente los abatimientos son mayores.

En el área de Texcoco la historia piezométrica permite obtener solo datos parciales de la evolución para el periodo de 1985-1995. Solamente al sur del poblado mencionado se marcan las evoluciones de -5 a -13 metros.

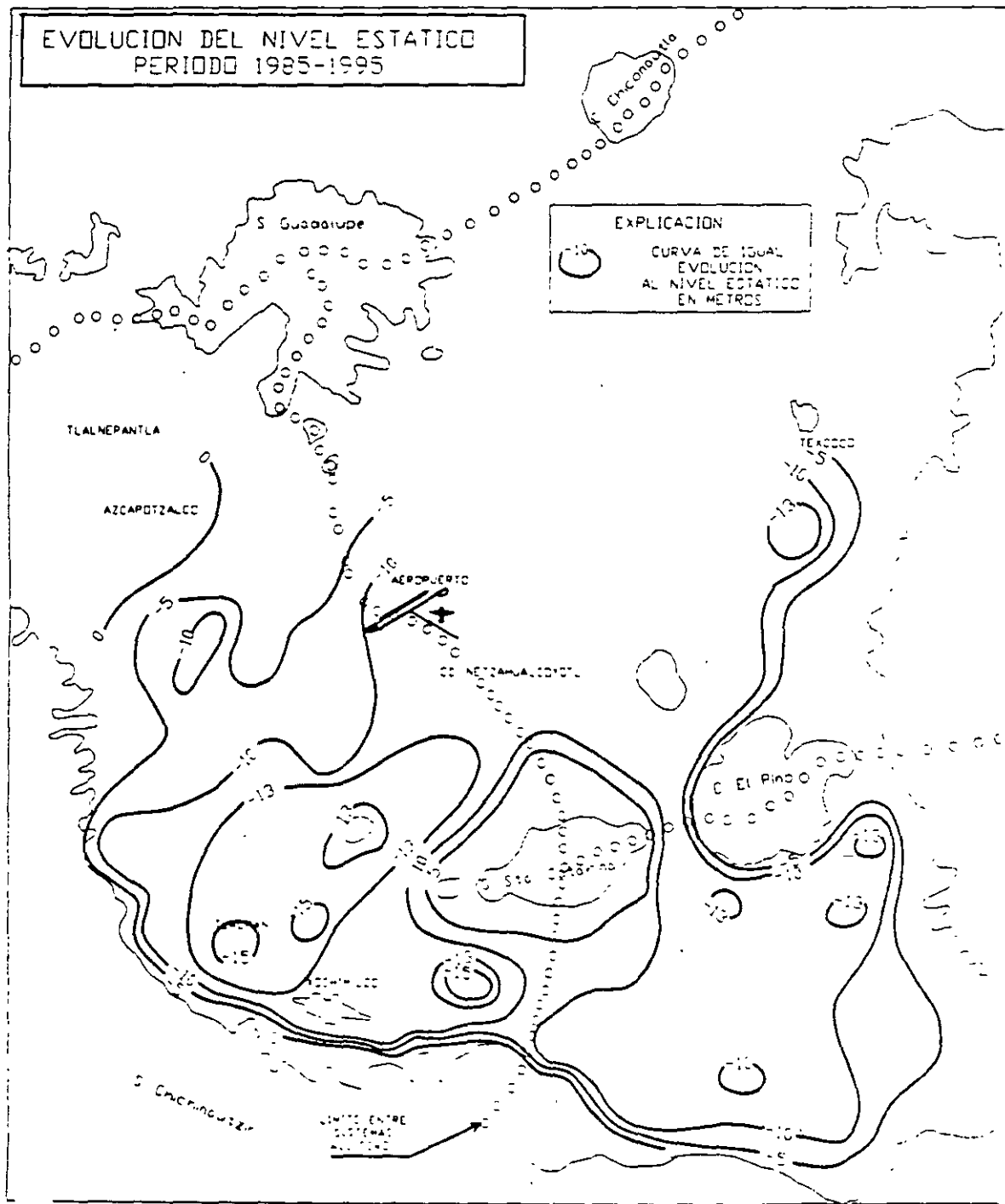


FIGURA 29

2.6.2.3.- EVOLUCION DEL NIVEL ESTATICO

Las configuraciones piezométricas son una forma de representar gráficamente al acuífero. El estudio de estas configuraciones en diferentes fechas, permite deducir las variaciones que ha sufrido como consecuencia esencialmente de la extracción de agua por bombeo.

Utilizando los valores obtenidos en el presente año de 1995, se calcularon evoluciones del nivel estático para un periodo de 1985-1995 y 1993-1995

Evolución del período 1985-1995

Se trazó una configuración (figura 2.9) observándose valores que van de 0 a -15 metros.

En la Ciudad de México, en la porción comprendida por el Distrito Federal, las menores evoluciones registradas se encuentran en la parte norte mientras que las evoluciones negativas o abatimientos más fuertes se registraron hacia el sur.

En el norte, alrededor de Azcapotzalco, se trazó la curva 0 que indica que el nivel estático no ha variado en los últimos 10 años. Hacia el sur de Azcapotzalco o sea entre la Calzada México-Tacuba y continuando al sur hasta aproximadamente la Avenida Río Churubusco, la evolución fue negativa o sea que existió un abatimiento de entre 5 y 10 metros.

Continuando hacia el sur y en una zona entre El Río Churubusco y el anillo periférico sur, se encuentran abatimientos mayores, los que en general van de 10 a 13 metros con algunas áreas donde alcanzan los 15 metros

La evolución del nivel estático en los últimos 10 años es un reflejo de la extracción de agua subterránea, la cual ha sido comparativamente mayor hacia el sur. Al centro y norte de la ciudad, la extracción ha disminuido, además de que el rendimiento de los pozos es menor

En los alrededores del Valle de Chalco, se presentan abatimientos que van de 0 a 13 metros. Los valores que predominan en prácticamente todo el valle son de -10 a -12 metros para el periodo mencionado, lo que equivale a un abatimiento medio anual de 1 metro por año. En este valor

áreas circundantes, lo que motiva movimientos de agua con diferentes velocidades y el establecimiento de variaciones en los gradientes hidráulicos.

Valle de Texcoco

Hacia el noreste de la Zona Metropolitana de la Ciudad de México se encuentra el poblado de Texcoco, así como la zona plana del exvaso del Lago de Texcoco. En su conjunto, se denominó en el presente trabajo como "Subsistema Acuífero de Texcoco". En ésta área se delimitaron curvas piezométricas que van de 2195 a 2240 msnm. Los valores mayores se localizan al pie de las elevaciones topográficas que se encuentran al este de Texcoco, a partir de donde disminuyen en dirección al poniente indicando un flujo de agua subterránea en la misma dirección. A partir de las Sierras de Santa Catarina y El Pino (que limitan a éste valle en su porción sur), se presentan curvas de 2220 msnm que disminuyen en dirección al norte.

Alrededor de la Sierra de Guadalupe (en la porción occidental de éste valle), existe también un flujo o recarga de agua subterránea hacia el Valle de Texcoco, el cual fue marcado con las curvas 2195 y 2200 msnm

Como se observa en el plano de la figura 3.2, existe un parteaguas subterráneo al noroeste del Aeropuerto Internacional Benito Juárez de la Ciudad de México, que ocasiona una bifurcación, un flujo que se establece hacia Azcapotzalco y otro que se dirige al Valle de Texcoco. Hacia el sureste del aeropuerto, existe comunicación entre los dos subsistemas acuíferos mencionados, aunque hacia Texcoco el gradiente hidráulico es prácticamente nulo. Por ello, se optó por dividir a los valles de la Ciudad de México y el de Texcoco, trazando una línea divisoria entre la Sierra de Guadalupe, el Aeropuerto Internacional, El Peñón del Marqués y la Sierra de Santa Catarina.

El flujo dentro del Valle de Texcoco, es en general de tipo radial, tendiendo a fluir hacia el centro del mismo. Presenta dos salidas subterráneas. La primera al suroeste (hacia la Ciudad de México) y la segunda hacia el noroeste (hacia Chiconautla). En Chiconautla por considerarse conveniente se cerró el sistema acuífero de Texcoco marcando un parteaguas subterráneo que cruza el valle entre las dos elevaciones topográficas.

Benito Juárez. Hacia la parte central de esta área, se encuentran tres curvas cerradas con valores de 2200 msnm que forman en general una zona piezométrica ligeramente más alta que su entorno. De acuerdo al conocimiento obtenido mediante los diversos estudios que se han realizado, se deduce que este "domo" piezométrico (o elevaciones ligeramente mayores) ubicados hacia el Centro Histórico, son debidas a la presencia de espesores fuertes de materiales arcillosos, cuyo drenado es lento; además, en esta zona la extracción de agua del subsuelo es mínima, mientras que hacia sus alrededores se encuentran un mayor número de pozos con su consecuente extracción y abatimientos.

Hacia el área de Tlalpan-Xotepingo, se encuentra un cono piezométrico que se ha venido formando y agrandando en los últimos años. Este, está delimitado actualmente por la curva 2180 msnm y se extiende desde el Cerro de La Estrella al noreste, hasta el Estadio Azteca al suroeste. Su formación ha sido la consecuencia de la concentración de la extracción de agua subterránea en esta porción.

Valle de Chalco

En el Valle de Chalco se trazaron curvas piezométricas que van de 2220 a 2200 metros sobre el nivel del mar. Los valores mayores se ubican hacia los flancos de las sierras y disminuyen hacia el centro del valle, de donde se deduce un gradiente piezométrico de: el norte al sur o sea de las Sierras de Santa Catarina y El Pino, hacia el Valle de Chalco; del este al oeste o sea de la Sierra Nevada a la altura de San Martín Cuautlalpan hacia Chalco; de sur a norte o sea de los poblados de Tecomitl y Temamatla hacia Chalco y, del poniente al oriente o sea de Tlahuac hacia Chalco.

Esta zona forma un subsistema acuífero que se puede estudiar en forma independiente a los descritos anteriormente. Presenta un puerto topográfico hacia el norte, entre las Sierras de Santa

Catarina y El Pino. Hacia el oeste, a la altura de Tlahuac, existe un parteaguas subterráneo que indica que no hay movimiento o paso del agua de este valle hacia el oeste.

Al oriente del valle, se encuentran algunos puntos con cotas piezométricas arriba de 2220 msnm, que permiten el trazo de curvas aisladas. Estas zonas podrían estar influenciadas por condiciones locales, posiblemente horizontes arcillosos de menor permeabilidad comparativamente con las

Area de Chiconautla

En el extremo norte de la zona estudiada se localizan en el poblado de Ojo de Agua y el Cerro de Chiconautla, en cuyos alrededores se encuentran perforados varios pozos cuyos niveles estáticos se ubican a alrededor de 50 metros de profundidad.

2.6.2.2.- ELEVACION DEL NIVEL ESTATICO

Se obtuvieron las elevaciones del nivel estático referidas al nivel del mar para los pozos piloto que cuentan con cota de brocal, y con ellos se construyó la configuración de la figura 2 8.

La configuración de la elevación del nivel estático sobre el nivel del mar, es una forma de representar al acuífero que se encuentra alojado en los materiales que constituyen el subsuelo de la ZMCM.

Zona Metropolitana de la Ciudad de México

Por lo que se refiere al área correspondiente al Distrito Federal, se observan elevaciones que van de 2230 metros sobre el nivel del mar en la zona sur-poniente (Contreras, Pie del Ajusco) y que disminuyen paulatinamente hacia el oriente y nor-oriente. En general, al pie de las sierras del poniente y sur, se encuentran las equipotenciales 2230 a 2180, indicando una zona de alimentación por flujo subterráneo que va de las elevaciones topográficas hacia el valle

Dentro del acuífero alojado en el valle de la Ciudad de México, las curvas piezométricas permiten la diferenciación de tres zonas: Azcapotzalco, centro y centro-este; Tlalpan-Xotepingo

En el área de Azcapotzalco se encuentra un cono piezométrico delimitado por las curvas con valores 2190, 2180 y 2175 msnm. Se hace notar de que esta distribución de curvas cerradas formando el cono piezométrico, se ha venido observado desde el año de 1984, siendo notorio que en los últimos años el nivel se ha recuperado.

Por lo que se refiere a la zona centro-este, delimitada por la curva 2195 msnm, que tiene un trazo aproximado que va de la Calzada de Tlalpan hacia el oriente rumbo al aeropuerto Internacional

Hacia el valle de Xochimilco-Tlahuac, el nivel del agua se encuentra a profundidades de entre 30 y 50 metros. En la batería de pozos Tlahuac-Neza, se presentan valores de alrededor de 50 metros de profundidad al nivel estático.

Valle de Chalco

En la porción suroriental de la zona de trabajo se encuentra el valle de Chalco, donde las profundidades máximas al nivel del agua se ubican hacia los flancos de las sierras. Al norte del valle, en los alrededores de San Francisco Acuautla, el nivel estático se encuentra a poco más de 80 metros de profundidad. En las estribaciones de las sierras de Santa Catarina y El Pino, el nivel se encuentra a 60-70 metros de profundidad y en la Sierra del Chichinautzin a 50-60 metros.

Los valores disminuyen hacia del valle, donde se registraron profundidades en algunos casos menores de 30 metros. En los pozos que constituyen la batería Mixquic-Santa Catarina, localizados en el límite entre el Distrito Federal y el Estado de México, las profundidades al nivel del agua varían alrededor de 30 metros. Al sur de Chalco, se encuentran varios pozos con niveles estáticos más someros, posiblemente debido a la influencia de un acuífero colgado, freático, ya que alrededor de ellos se presentan valores de entre 30 y 40 metros de profundidad al nivel estático.

Valle de Texcoco

En la zona noreste del área estudiada se encuentra el valle de Texcoco, donde la profundidad al nivel estático presenta las características siguientes

Hacia el centro del vaso del exlago de Texcoco, se encuentra los niveles más someros los cuales son menores de 30 metros. Prácticamente en todo el vaso del lago de texcoco el nivel estático se encuentra a profundidades de entre 30 y 40 metros

Hacia los flancos de la sierra y conforme la topografía se eleva, se presentan profundidades al nivel estático ligeramente mayores que en el valle. En el poblado de Texcoco y en una franja orientada norte-sur que se extiende desde Chiconcuac y Papalotla hasta Chicoloapan de Juárez, las profundidades al nivel estático varían entre 40 y 60 metros

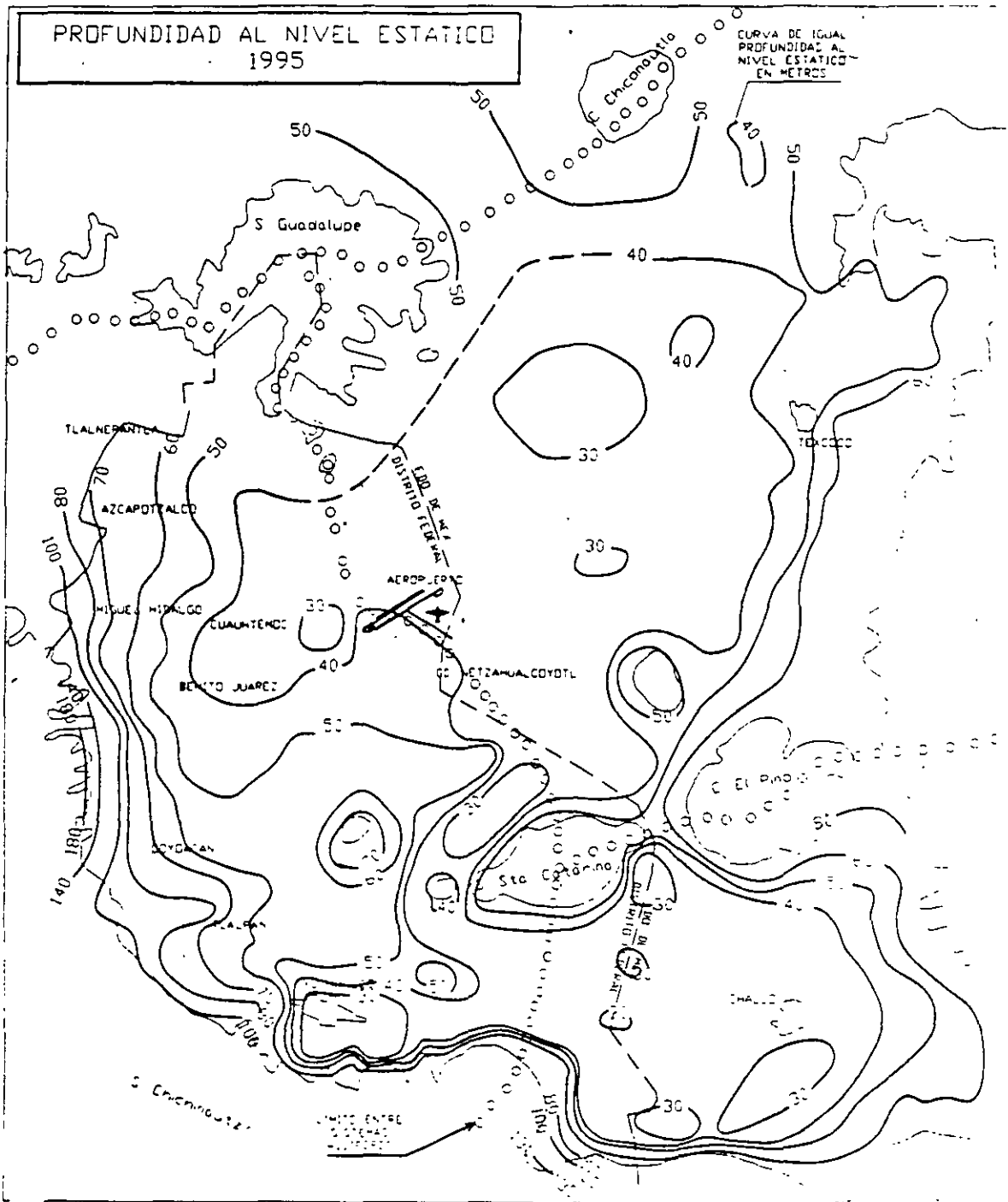


FIGURA 27

2.6.2.- PIEZOMETRIA

2.6.2.1.- PROFUNDIDAD AL NIVEL ESTATICO

Con los valores relativos a la profundidad al nivel estático medidos en cada uno de los pozos piloto para el presente año de 1995, se trazó una configuración (figura 2.7) que muestra la distribución de valores, la cual va de 30 a 180 metros. Los valores menores, se encuentran hacia la parte central de los valles, mientras que los valores más altos se ubican hacia los flancos de las sierras que circundan al valle.

Zona Metropolitana de la Ciudad de México

En la zona metropolitana de la Ciudad de México que enmarca esencialmente al Distrito Federal, se observan curvas de profundidad entre 100 y 180 metros al pie de la Sierra de Las Cruces. Esto es debido a que los pozos se encuentran perforados en partes altas. Una distribución de valores similar, se observa en los pozos del sistema sur, entre Xochimilco y Tecomilt, donde varios pozos se ubican en zonas topográficamente altas, por lo que la profundidad al nivel estático se encuentra a entre 80 y 130 metros de profundidad, como se marca en las curvas de la configuración piezométrica. En algunos puntos locales como en el pozo del reclusorio Sur la profundidad al nivel del agua es de 172 metros de profundidad.

Los valores de profundidad disminuyen hacia el valle. Por lo general, en una franja alargada norte-sur en la zona de lomeríos del poniente, que va desde Azcapotzalco pasando por la Avenida

Constituyentes y a lo largo del anillo periférico hasta Perisur y el estadio azteca, se encuentran valores de profundidad al nivel estático que van de 50 a 80 metros.

Valores menores de 60 metros dominan la parte central de los valles. En los alrededores del aeropuerto Internacional Benito Juárez, la profundidad al nivel del agua es de 40 metros, al oeste del aeropuerto, entre la Avenida Eduardo Molina y la Calzada Ignacio Zaragoza, se encuentra una zona con valores de 30 metros, hacia el centro histórico y entre la Avenida Insurgentes, el Viaducto Miguel Alemán, el aeropuerto Internacional Benito Juárez y Los Indios Verdes, se encuentra la zona con profundidades de entre 30 y 40 metros.

En los lagos formados hacia Texcoco, predominaba el agua salada y la evaporación originaba horizontes salinos o bien agua salobre. En los lagos del centro de México Tenochtitlán y del sur, existía una continua alimentación de aguas provenientes principalmente de los basaltos y piroclásticos de la Sierra del Chichinautzin, lo que dio origen a lagos de agua dulce. Los depósitos arcillosos lacustres producto de los lagos y que actualmente forman la porción superficial del valle, no son homogéneos e incluyen horizontes arenosos. Su estudio ha sido detallado por mecanistas de suelos, debido a su importancia en el asentamiento de la ciudad y su repercusión a obras civiles

ACUITARDO Y ACUIFERO

ARCILLAS LACUSTRES RECIENTES (ACUITARDO)

Los sedimentos recientes en el Valle de México, están representados por arcillas de los antiguos lagos de Texcoco, México, Xochimilco, Tlahuac y Chalco. Desde su origen, se distinguieron los depósitos de Texcoco por incluir altos contenidos salinos, aparentemente producto de manantiales, en contraste con el agua "dulce" hacia el centro y sur.

El espesor de las arcillas lacustres es variable. Va desde más de 100 metros en algunas zonas como Tlahuac-Chalco y Texcoco hasta acuñarse y desaparecer en el borde del antiguo lago.

Las arcillas se encuentran saturadas. Presentan una baja permeabilidad, del orden de 10^{-9} m/seg y geohidrológicamente funcionan como un acuitardo

BASALTOS Y ALUVIONES (ACUIFERO)

Los productos volcánicos y aluviones cuaternarios mencionados anteriormente, presenta permeabilidad media o alta. Al encontrarse constituyendo el subsuelo en la zona del valle, forman el acuífero de la región. Cuando afloran en las zonas topográficamente altas, dan origen a zonas de recarga de agua subterránea

TERCIARIO

Sobre los sedimentos cretácicos se encuentra una alternancia de productos volcánicos y aluviales que alcanzan espesores de alrededor de 2000 metros.

Las rocas aflorantes más antiguas que forman el Valle de México, consisten en rocas volcánicas y material granular del Terciario. Estas, forman las sierras del norte, este y oeste. Dentro de la secuencia volcánica terciaria, F. Mosser (1974) en su cartografía geológica ha distinguido vulcanitas del Mioceno constituyendo a lo que denomina como Sierras Mayores, Tmv. Le sobreyacen andesitas y dacitas también del Grupo Sierras Mayores, así como la Formación Tarango constituida por tobas, aglomerados, depósitos fluviales, delgadas capas de pómez, horizontes de cenizas y arenas, y en algunos sitios intercalaciones de lahares y lacustres, las cuales han sido asignadas al Plioceno Inferior. Culmina la secuencia terciaria con lavas y piroclásticos que forman los principales conos volcánicos.

CUATERNARIO

Sobre los depósitos mencionados en el inciso anterior, se encuentran productos volcánicos, sedimentos lacustres y aluviones, todo ello del Cuaternario. Forman la mayor parte de los afloramientos y constituyen el acuífero que es explotado en el valle.

Emisiones volcánicas del cuaternario cerraron la cuenca del Valle de México, la que antes de esta época drenaba hacia el sur. Los productos volcánicos dieron origen a la Sierra del Chichinautzin con el emplazamiento de numerosas lavas y piroclásticos eyectados a través de un gran número de conos volcánicos de tamaño que varía de menos de uno a varios kilómetros de diámetro. Al mismo tiempo, se formó la Sierra de Santa Catarina.

Antes y durante el cierre hidrológico del sur por los volcanes de la Sierra del Chichinautzin, se depositaron aluviones intercalados con corrientes lavicas. El cierre de la cuenca formó grandes lagos que propiciaron el depósito de materiales finos que actualmente funcionan como un acuífero.

cuencas lacustres. En las primeras, predominan lavas y piroclásticos, mientras que en las cuencas lacustres se interdigitan aluviones, sedimentos lacustres, lavas y piroclásticos de edad que va del Terciario al Reciente. Estas, sobreyacen a rocas calcáreas marinas de edad cretácica

El Valle de México se encuentra limitado al oeste por sierras andesíticas terciarias (Sierra de Las Cruces); al sur por basaltos cuaternarios (Sierra del Chichinautzin); al norte por rocas volcánicas terciarias (Sierra de Guadalupe), hacia el noreste se abre una planicie lacustre (Exlago de Texcoco) y, en la porción central-este se encuentra una sierra de basaltos cuaternarios (Cerro de La Estrella y Sierra de Santa Catarina). El valle, de forma prácticamente plana, está formado por los sedimentos arcillosos de los antiguos lagos de Texcoco, México, Xochimilco y Chalco.

El valle está formado por sedimentos lacustres que sobreyacen a aluviones y basaltos que forman en conjunto un paquete de materiales de varios cientos de metros de espesor. A profundidades del orden de 1600-2000 metros, se han detectado, mediante perforaciones, rocas sedimentarias marinas del Cretácico.

La zona estudiada es eminentemente volcánica. Está circundada en su mayor parte por sierras que, por su actividad volcánica, formaron cuencas cerradas donde se originaron lagos con sus consecuentes depósitos.

ESTRATIGRAFIA E HISTORIA GEOLOGICA CRETACICO

Las rocas más antiguas corresponden a sedimentos calcáreos marinos de edad Cretácica, las cuales no afloran pero han sido encontrados a profundidades de entre 1600 y 2000 metros en perforaciones realizadas por PEMEX en el año de 1986.

Las rocas calcáreas han sido correlacionadas con los sedimentos cretácicos que afloran en el Estado de Morelos, donde por lo general se comportan como impermeables al flujo subterráneo, ya que los pozos perforados en calizas han resultado en su mayoría negativos por bajo rendimiento. Por lo anterior, las rocas calcáreas marinas que han sido detectadas a alrededor de 1600 - 2000 metros de profundidad en el Valle de México, podrían ser pobres geohidrológicamente

TABLA 2.9.- CALCULO DE VOLNERABILIDAD

FACTOR	BASALTOS AL PIE DE LA SIERRA DEL CHICHINAUTZIN	ACUIFERO AL CENTRO DE LA ZONA METROPOLITANA
NIVEL ESTATICO	5	5
RECARGA NETA	36	4
TIPO DE ROCA	27	6
TIPO DE SUELO	20	2
PENDIENTE DEL TERRENO	1	10
ZONA VADOSA	45	5
PERMEABILIDAD	30	3
SUMA	164	35
CLASIFICACION	ALTAMENTE VULNERABLE	REDUCIDA VULNERABILIDAD

2.6.- CARACTERISTICAS DEL ACUIFERO DE LA CIUDAD DE MEXICO

El presente trabajo tiene como referencia el agua subterránea contenida en el acuífero que subyace a la Ciudad de México y sus alrededores, por lo que se incluye a continuación las características generales del acuífero, las cuales fueron tomadas de los estudios DGCOH-5-111-1-181-1 y DGCOH-5-111-1-0415

2.6.1.- GEOLOGIA GENERAL

La zona estudiada se encuentra dentro de la Provincia Fisiográfica del Eje Neovolcánico, caracterizada por existir en ella numerosos volcanes que han dado origen a sierras volcánicas y

TABLA 2.7.- ZONA VADOSA

TIPO	RANGO	VALOR TIPICO
CAPA CONFINANTE	1	1
LIMO O ARCILLA	2-6	3
LUTITA	2-5	3
CALIZA	2-7	6
ARENISCA		6
HORIZONTES DE CALIZA, ARENISCA Y LUTITA	4-8	6
ARENA Y GRAVA CON ALTO CONTENIDO DE LIMO Y ARCILLA	4-8	6
ROCAS IGNEAS Y METAMORFICAS	4-8	4
ARENA Y GRAVA	6-9	8
BASALTO	2-10	9
CALIZA CARSTICA	8-10	10

PESO ESPECIFICO: 5

TABLA 2.8 - PERMEABILIDAD EN VARIOS TIPOS DE ROCA
CONDUCTIVIDAD HIDRAULICA
(m/s)

RANGO	VALOR
$5 \times 10^{-7} - 5 \times 10^{-5}$	1
$5 \times 10^{-5} - 1 \times 10^{-4}$	2
$1 \times 10^{-4} - 3 \times 10^{-4}$	4
$3 \times 10^{-4} - 5 \times 10^{-4}$	6
$5 \times 10^{-4} - 9 \times 10^{-4}$	8
$9 \times 10^{-4} +$	10

PESO ESPECIFICO 3

TABLA 2.4.- TIPO DE ROCA

TIPO	RANGO	VALOR TIPICO
LUTITA	1-3	2
ROCAS IGNEAS Y METAMORFICAS	2-5	3
ROCAS IGENAS Y METAMORFICAS INTEMPERIZADAS	3-5	4
SECUENCIAS DE CAPAS DE ARENISCA CALIZA Y LUTITA	4-6	5
TILITA	5-9	6
ARENISCA	4-9	6
CALIZA	4-9	6
ARENA Y GRAVA	4-9	8
BASALTO	2-10	9
CALIZA CASTICA	9-10	10

PESO ESPECIFICO . 3

TABLA 2.5.- TIPO DE SUELO

TIPO	VALOR
CAPA DELGADA O AUSENTE	10
GRAVA	10
ARENA	9
CARBON	8
AGREGADO DE ARCILLAS	7
MEZCLA ARENOSA	6
MEZCLA	5
MEZCLA LIMOSA	4
MEZCLA ARCILLOSA	3
ABONO	2
ARCILLA	1

PESO ESPECIFICO . 2

TABLA 2.6 - PENDIENTE DEL TERRENO
(ANGULO DE INCLINACION EN %)

RANGO	VALOR
0-2	10
2-6	9
6-12	5
12-18	3
18+	1

PESO ESPECIFICO : 1

2.5.8.- CALCULO DE LA VULNERABILIDAD DE UNA ZONA

Aplicando los valores de vulnerabilidad para cada uno de los factores mencionados, en los párrafos anteriores se obtiene un valor de vulnerabilidad para un sitio. Así por ejemplo, en una zona con rocas basálticas y una porción de medios granulares las calificaciones serian de 164 y 35 conforme se muestra en la tabla 2.10, siendo los basaltos de mayor vulnerabilidad que los materiales granulares.

TABLA 2.2.- VALORES DE VULNERABILIDAD
DE ACUERDO A LA PROFUNDIDAD AL NIVEL ESTÁTICO

RANGO EN METROS	VALOR
0-1.5	10
1.5-4.5	9
4.5-9.0	7
9.0-15.2	5
15.2-23.0	3
23.0-30.0	2
30.0-0+	1

PESO ESPECIFICO : 5

TABLA 2.3.- RECARGA NETA

RANGO EN mm	VALOR
0-50	1
50-100	3
100-175	6
175-250	8
250-+	9

PESO ESPECIFICO 4

En el caso de la Ciudad de México, las arcillas que constituyen el acuitardo funcionan como una capa de suelo de gran espesor.

2.5.5.- PENDIENTE DEL TERRENO

La topografía del terreno ayuda a controlar que el contaminante permanezca en un sitio (donde la pendiente tiende a ser horizontal) o sea arrastrada hacia otros sitios (donde la pendiente es fuerte). Este efecto se encuentra asociado con el grado de infiltración, siendo este menor en las zonas donde la pendiente del terreno es fuerte y mayor donde la pendiente es moderada o nula. En la tabla No. 2.6 se muestran los rangos de calificaciones de acuerdo a la pendiente del terreno.

2.5.6.- ZONA VADOSA

La zona vadosa o zona de aereación, es la que se encuentra entre la superficie del terreno y el nivel estático. En esta porción se producen procesos de biodegradación, neutralización, filtración, reacciones químicas, volatilización y dispersión. El grado de biodegradación y volatilización decrece con la profundidad. De acuerdo a la composición de los materiales que constituyen a la zona vadosa, esta presenta un rango de calificación de vulnerabilidad el cual se muestra en la tabla No. 2.7.

2.5.7.- PERMEABILIDAD

La permeabilidad es la facilidad que presenta un medio para que circule el agua a través de él. En zonas donde la permeabilidad es alta, existirá mayor vulnerabilidad a la contaminación, tal como es el caso de las rocas basálticas que forman la Sierra del Chichinautzin. Donde los materiales presentan transmisibilidades bajas, el factor de contaminación disminuye.

Para calcular este factor, inicialmente se mide la permeabilidad del material, ya sea mediante pruebas de bombeo o bien en forma general utilizando tablas como la del tipo de la mostrada en la figura No. 2.8. Posteriormente y conociendo el valor de permeabilidad, se obtiene la calificación de la vulnerabilidad respecto a este parámetro, la cual se muestra en la tabla No. 2.9.

unidad de área. El agua que se infiltra transporta al contaminante. De acuerdo al volumen de agua existirá un parámetro de dispersión y dilución del contaminante. La cantidad de agua que se recarga es el principal vehículo para el transporte de contaminantes. Mientras mayores sean los volúmenes de recarga, mayor será el potencial de contaminación al subsuelo, lo cual se cumple hasta que la cantidad de recarga es tan grande que causa dilución del contaminante. En la tabla 2.3 se muestran valores para calcular la vulnerabilidad a partir de recargas netas de agua al subsuelo

2.5.3.- TIPO DE ROCA

La vulnerabilidad del acuífero a la contaminación está influenciada también por el tipo de materiales que constituyen el subsuelo. Materiales granulares pueden "filtrar" a los contaminantes presentes en el agua al existir procesos de adsorción, reacción o dispersión. En los acuíferos formados en rocas fracturadas prácticamente no se presenta la atenuación de contaminantes, por lo que estos son más vulnerables a la contaminación

En la tabla 2.4 se presentan las calificaciones que el programa DRASTIC aplica a diferentes tipos de rocas, observándose que los basaltos son muy vulnerables, calificándose con el valor 9, en contraste con otros tipos como se indica en la tabla

2.5.4.- TIPO DE SUELO

Incluye a la porción superficial del terreno donde generalmente existe una actividad biológica significativa. En esta clasificación, se considera al suelo como la porción superficial de terreno con una profundidad máxima de 2 metros. Los suelos tienen un impacto significativo en la cantidad de agua que se puede infiltrar en el subsuelo y por lo tanto en la habilidad para mover a un contaminante en forma vertical a través de la zona vadosa. La presencia de materiales finos tales como arcillas, disminuyen la permeabilidad y restringen el movimiento de contaminantes. Por otra parte, existen procesos de filtración, biodegradación, adsorción y volatilización, que remueven partículas contaminantes

Otra variable es el tipo de suelos, el cual puede variar de una grava a arena y arcilla. En la figura 2.5 se muestra una tabla con calificaciones de acuerdo al tipo de suelos.

2.5.- VULNERABILIDAD DE LOS ACUIFEROS A LA CONTAMINACION

Cada lugar presenta diferentes características químicas y físicas que permiten en mayor o menor grado la contaminación de los acuíferos. Los principales factores a través de los cuales se puede evaluar la vulnerabilidad de un acuífero son los siguientes.

- Profundidad al nivel estático.
- Recarga neta.
- Tipo de roca.
- Tipo de suelo.
- Pendiente del terreno
- Zona vadosa.
- Permeabilidad.

2.5.1.- PROFUNDIDAD AL NIVEL ESTÁTICO

La profundidad al nivel del agua es un factor importante en la vulnerabilidad de los acuíferos, debido a que está en relación con la distancia que el contaminante va a viajar antes de alcanzar al acuífero, dando oportunidad para que existan procesos como la oxidación, adsorción y en general la atenuación del contaminante. Por otra parte, las aguas que se encuentran a profundidad implican mayores tiempos de estancia en el subsuelo. Mientras mayor sea la profundidad al nivel estático, la vulnerabilidad será menor.

En la tabla 2.2 se muestran los valores con que el programa DRASTIC de la EPA clasifica la vulnerabilidad de los acuíferos. Cuando la profundidad al agua se encuentra a entre 0 y 1.5 metros se le asigna un valor de 10 puntos, mientras que cuando el agua se encuentra a profundidades mayores de 30 metros, el valor con que se califica es de 1 punto.

2.5.2.- CANTIDAD DE RECARGA (RECARGA NETA)

La recarga típica de los acuíferos es la precipitación pluvial, la cual se infiltra a través del subsuelo hasta el acuífero. La recarga neta consiste en la cantidad de agua que se infiltra por

Por lo tanto, el agua de lluvia que se infiltra y circula por rocas basálticas se va a caracterizar por presentar bajos contenidos salinos, principalmente de bicarbonatos y sodio (del agua de lluvias), y en algunos casos magnesio, hierro y manganeso (de los minerales ferro-magnesianos)

Durante las erupciones volcánicas son comunes las emisiones de gases que contienen sales, las cuales se acumulan por lo general alrededor de los cráteres o centros eruptivos. Ocasionalmente éstas sales pueden ser transportadas y depositadas a lo largo de fallas y fracturas, por medio de soluciones hidrotermales. Por ello, ocasionalmente el agua de los acuíferos basálticos llega a tener contacto con dichos horizontes salinos e incrementa notablemente su concentración, como es el caso de los flancos de la Sierra de Santa Catarina y algunas porciones del pie de la Sierra del Chichinautzin, como fue detectado mediante este trabajo y se menciona en capítulos posteriores.

2.4.3.- ORIGEN DE ACUIFEROS CON AGUA SALADA

Otro origen de sales en el subsuelo se puede encontrar en la circulación de flujos de agua regional. Es común que estos flujos, después de circular grandes distancias y a gran profundidad, tengan contacto con sales las cuales son disueltas por el agua. Pueden existir también focos termales que ocasiona el incremento de temperatura en el agua, lo que a su vez facilita la disolución de sales. El agua de flujos regionales puede circular y en muchas ocasiones llegar a ascender hasta la superficie o cerca de ella, a través de fallas o fracturas. El agua con altos contenidos salinos se llega a manifestar en varias formas: (1) la presencia de manantiales, en ocasiones termales, con agua salada, (2) el depósito de sales a lo largo de fracturas con mecanismos semejantes a los que en minería son comunes y se conocen como depósitos hidrotermales y, (3) la acumulación o entrapamiento de agua salada en ciertos horizontes.

Durante la perforación de un pozo, se puede llegar a atravesar una falla o un horizonte donde se encuentre atrapada el agua salina o las sales que se puede incorporar al acuífero a través del pozo.

Las aguas naturales generalmente tienen un largo tiempo de estancia en el subsuelo. Las aguas saladas naturales, se caracterizan por la ausencia de organismos

2.4.- CALIDAD DE LAS AGUAS SUBTERRANEAS NATURALES

El agua de lluvia que se infiltra al subsuelo circula a través de las rocas disolviendo las sales y minerales que las forman, produciendo cambios en su composición química. Por lo tanto, la composición química del agua subterránea dependerá del tipo y grado de solubilidad de las rocas y sales naturales con las que el agua tiene contacto al circular por el subsuelo.

2.4.1.- COMPOSICION QUIMICA DEL AGUA DE LLUVIA

El agua de lluvia al precipitarse sobre la corteza terrestre arrastra materiales finos que se encuentran suspendidos en la atmósfera y que en muchos casos son transportados por el viento. La composición química general del agua de lluvia según Garrels y Mackenzie (1971), es la siguiente:

Na	1.98 ppm	Ca	0.09 ppm	HCO ₃	0.12 ppm
K	0.30 ppm	Cl	3.79 ppm		
Mg	0.27 ppm	SO ₄	0.58 ppm		

La contaminación de la atmósfera produce modificación en la composición química de las aguas de lluvia, generalmente ocasionando la presencia de lo que se denomina como "lluvia ácidas". Sin embargo, la concentración total de sales en un agua de lluvia se caracteriza por presentar valores bajos, generalmente menores de 40 miligramos por litro.

2.4.2.- CALIDAD DEL AGUA EN ACUIFEROS BASALTICOS

Los basaltos son rocas fracturadas constituidas por minerales ferromagnesianos. Presentan bajo grado de solubilidad, la alta permeabilidad de las rocas disminuye la capacidad de disolución de sales por el agua.

2.3.2.- PERMEABILIDAD DE LOS ACUITARDOS

La permeabilidad de los acuitardos y en especial de las arcillas que se encuentra cubriendo la parte plana del Valle de México, presentan valores de entre 10^{-7} y 10^{-9} m/seg.

2.3.3.- NIVEL FREÁTICO

El nivel de saturación en las arcillas que forman el acuitardo de la Ciudad de México se encuentra muy cerca de la superficie, por lo general a profundidades del orden de 3 metros. A este nivel somero se le denomina *nivel freático*.

2.3.4.- ASENTAMIENTOS DEL TERRENO

Las arcillas que se encuentra cubriendo la parte plana del Valle de México corresponden a sedimentos de los antiguos lagos. Tienen un espesor que fluctúa entre 40 y 60 metros en la mayor parte del valle, el cual se acuña hacia las elevaciones topográficas. En las partes centrales de las zonas de Texcoco y Tlahuac-Chalco, las arcillas se encuentran intercaladas y/o mezcladas con horizontes de arenas, y llegan a presentar espesores de más de 100 metros. Las arcillas están saturadas y presentan un nivel freático a entre 2.5 y 3.5 metros de profundidad. Bajo ellas, se encuentra un acuífero que actualmente, funciona como libre, teniendo el nivel estático a cierta profundidad bajo del acuitardo, lo que provoca que éste último presente un "goteo" o drenado vertical hacia el acuífero. La pérdida de agua del acuitardo ocasiona una pérdida de su volumen, que se traduce en el asentamiento del terreno que es típico en la Ciudad de México.

Las arcillas tienen una compresibilidad que va de 0.11 a 6 centímetros cuadrados por kilogramo; una relación de vacíos que varía de 2 a 15 y, una permeabilidad entre 1×10^{-7} y 1×10^{-9} m/seg.

Para mayor información sobre los hundimientos del terreno en la Ciudad de México se recomienda consultar el capítulo 4 del contrato 4-33-1-2531 de la DGCOH.

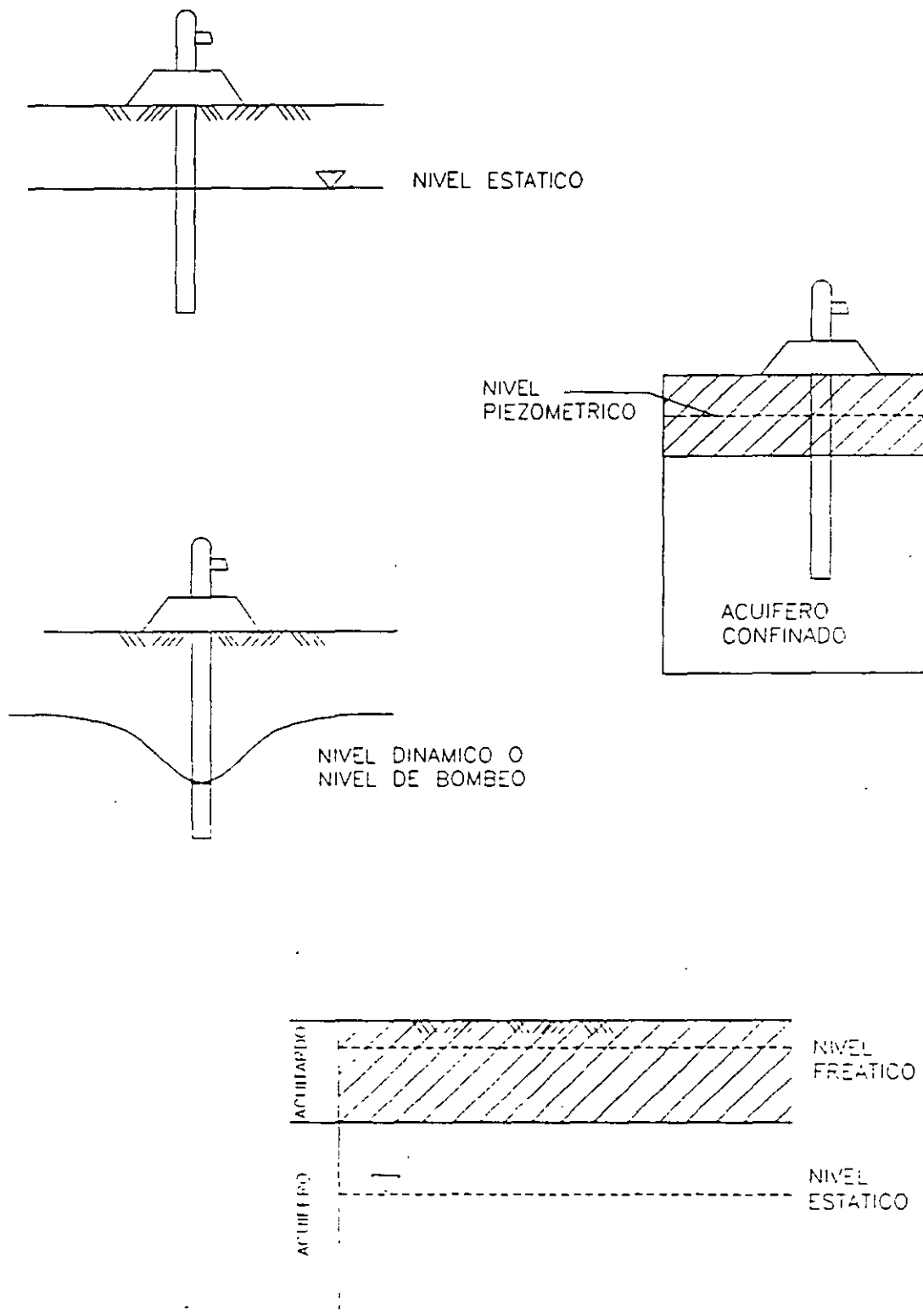


FIGURA 2.6

2.2.7.- NIVELES ESTÁTICO, DINÁMICO Y FREÁTICO

En un acuífero libre, se define como *nivel estático* la porción superficial del acuífero (figura 2.6). En contraste, se define como *nivel dinámico* al que se refleja en un pozo al encontrarse operando, razón por la que también se le denomina *nivel de bombeo*.

Nivel piezométrico generalmente se utiliza para los acuíferos confinados donde el nivel corresponde a la presión a que está sujeta el agua del acuífero.

Recibe el nombre de *nivel freático* el nivel que presentan los acuíferos someros, cuya agua en ocasiones se denomina también como aguas freáticas.

2.3.- FUNCIONAMIENTO DE LOS ACUITARDOS

En contraste con el funcionamiento de los acuíferos tratados en el inciso 2.2, en el presente inciso se mencionan las características de los acuitardos

Una *acuitardo* corresponde a una roca o material de baja permeabilidad que retarda pero no previene el flujo del agua de o hacia el acuífero adyacente. En la Ciudad de México las arcillas lacustres que se encuentran cubriendo la parte plana, constituyen un acuitardo.

2.3.1.- RECARGA Y DESCARGA DE LOS ACUITARDOS

La recarga de los acuitardos se genera por la infiltración de las aguas de lluvia o bien de las aguas que circulan a través de arroyos y canales, en forma similar a la recarga de los acuíferos pero con la diferencia de que la recarga de un acuitardo es muy lenta

Su descarga se lleva a cabo también en forma muy lenta, generalmente como "lloraderos" que llegan a formar manantiales insipientes

En la Ciudad de México, el acuitardo en las arcillas lacustres presenta un drenado vertical hacia el acuífero que se encuentra a mayor profundidad. Esta descarga del acuitardo corresponde a una recarga del acuífero

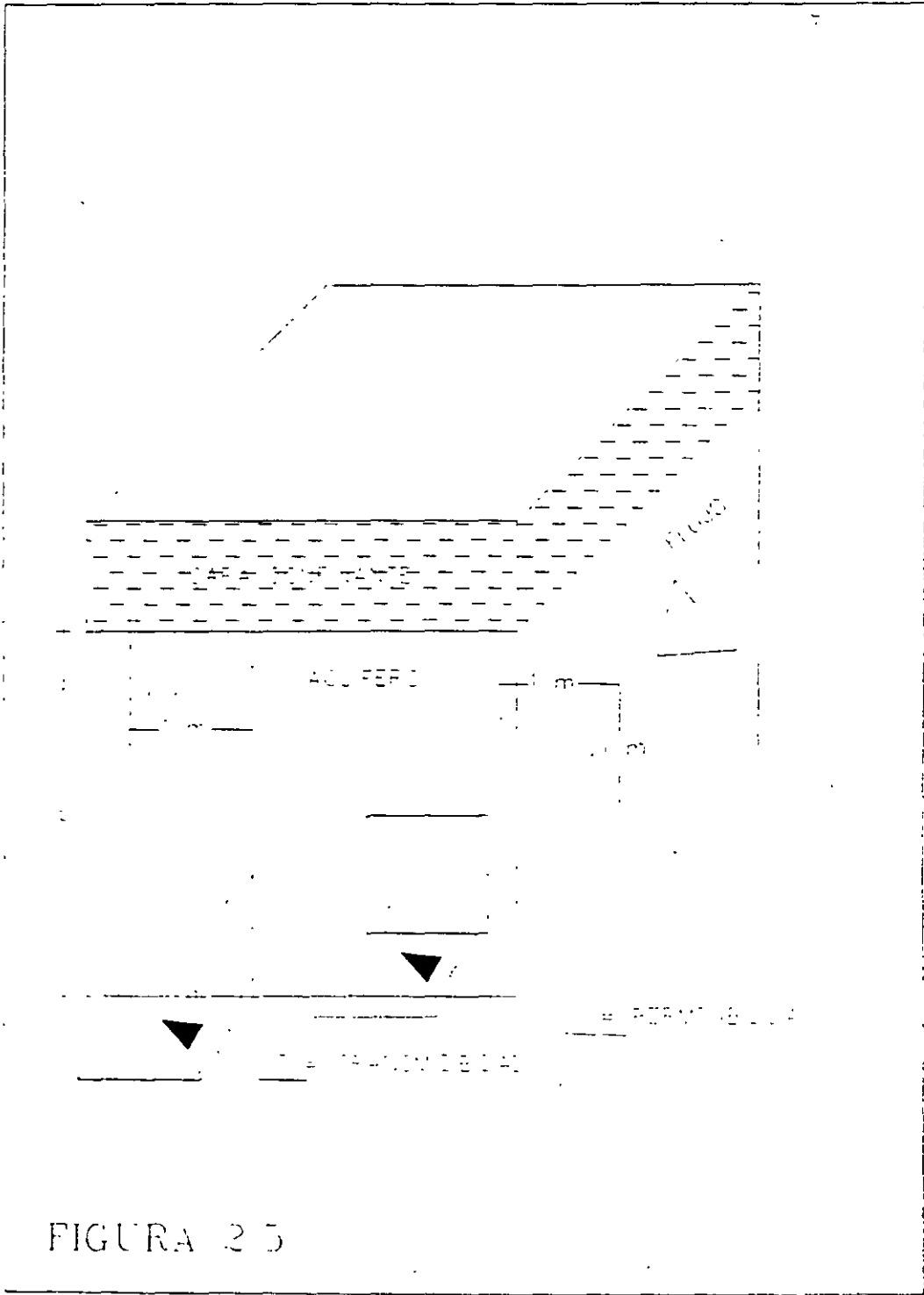


FIGURA 25

Table 2. Range of Values of Hydraulic Conductivity and Permeability

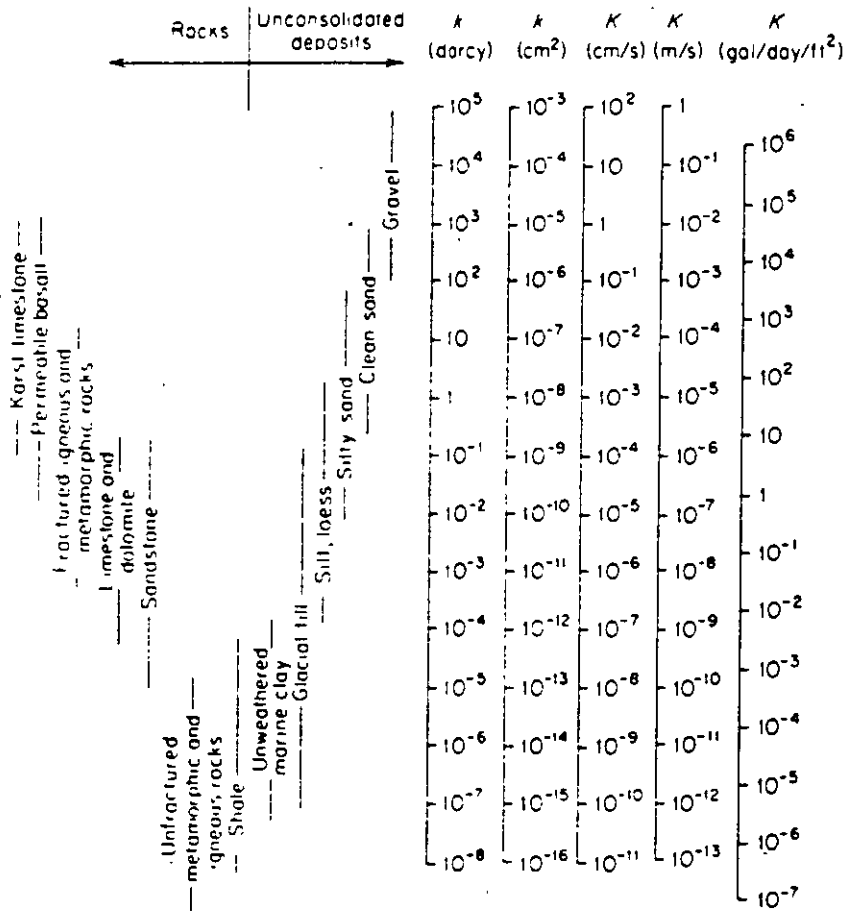


Table 2.1 Conversion Factors for Permeability and Hydraulic Conductivity Units

	Permeability, <i>k</i> *			Hydraulic conductivity, <i>K</i>		
	cm ²	ft ²	darcy	m/s	ft/s	U.S. gal/day/ft ²
cm ²	1	1.05 × 10 ⁻²	1.01 × 10 ⁸	9.80 × 10 ⁻²	3.22 × 10 ³	1.85 × 10 ⁹
ft ²	9.29 × 10 ⁻²	1	9.42 × 10 ¹⁰	9.11 × 10 ⁵	2.99 × 10 ⁶	1.71 × 10 ¹²
darcy	9.87 × 10 ⁻⁹	1.06 × 10 ⁻¹¹	1	9.66 × 10 ⁻⁶	3.17 × 10 ⁻⁵	1.82 × 10 ¹
m/s	1.02 × 10 ⁻³	1.10 × 10 ⁻⁶	1.04 × 10 ³	1	3.28	2.12 × 10 ⁸
ft/s	3.11 × 10 ⁻⁴	3.35 × 10 ⁻⁷	3.15 × 10 ⁴	3.05 × 10 ⁻¹	1	6.46 × 10 ⁵
U.S. gal/day/ft ²	5.42 × 10 ⁻¹⁰	5.83 × 10 ⁻¹³	5.49 × 10 ⁻²	4.72 × 10 ⁻⁷	1.55 × 10 ⁻⁶	1

De: Freeze and Cherry, 1979.

Los acuíferos son recargados en forma prácticamente continua y principalmente en las épocas de lluvia.

2.2.4.- ZONAS DE DESCARGA

La salida o descarga natural del agua de los acuíferos, se realiza en forma natural a través de manantiales, así como o del drenado por medio de ríos. Actualmente, la salida del agua de la mayor mayor parte de los acuíferos, se realiza mediante la extracción por el bombeo de pozos.

2.2.5.- PERMEABILIDAD

Dentro de los conceptos fundamentales de las características de las rocas que forman acuíferos, se encuentra el concepto de *permeabilidad*, el cual es la propiedad de un medio poroso o fracturado para permitir el paso de un fluido. Se define como el flujo de agua por unidad de tiempo que cruza una sección unitaria bajo un gradiente también unitario. Se expresa en metros por segundo.

En la tabla No. 2.1 se muestran valores de permeabilidad para diferentes materiales, haciéndose notar que en la Ciudad de México las arcillas tienen una permeabilidad del orden entre 10^{-7} y 10^{-9} m/seg, los materiales granulares 1×10^{-3} m/seg y, los basaltos 5×10^{-2} m/seg.

2.2.6.- TRANSMISIBILIDAD

La *transmisibilidad* es otra forma de expresar la facilidad con que puede circular el agua en un acuífero. Se define como la cantidad de agua que puede fluir a través de una sección unitaria bajo un gradiente unitario y un tiempo instantáneo. En la figura No. 2.5 se muestra la diferencia entre la transmisibilidad y la permeabilidad, siendo la transmisibilidad la descarga que ocurre a través de un segmento unitario respecto a la anchura pero una altura (b) que equivale al espesor del acuífero, mientras que la permeabilidad corresponde a una descarga que ocurre a través de una sección unitaria y, para ambos casos, bajo un gradiente hidráulico unitario.

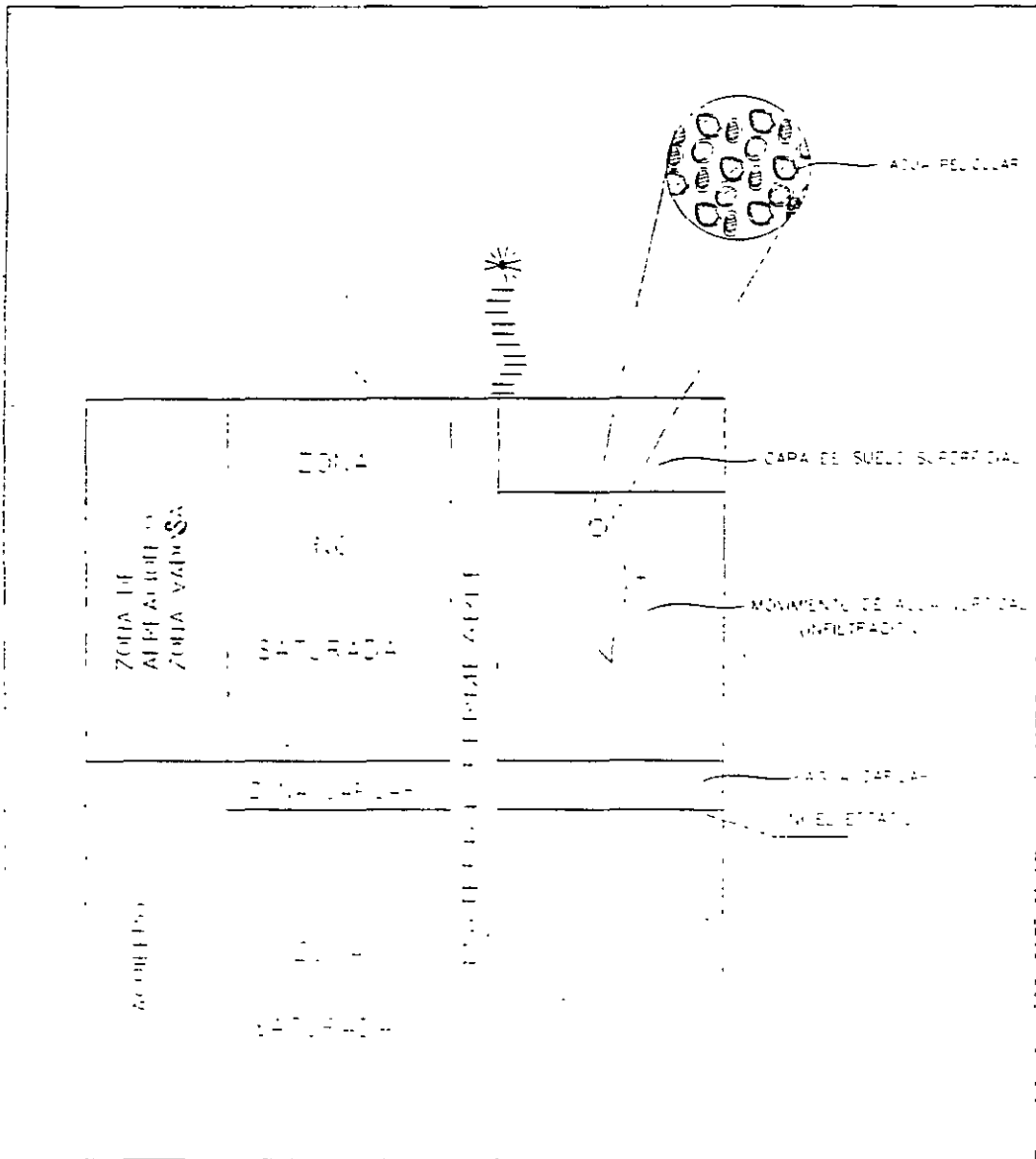


FIGURA 2.4 DISTRIBUCION DEL AGUA EN EL SUBSUELO

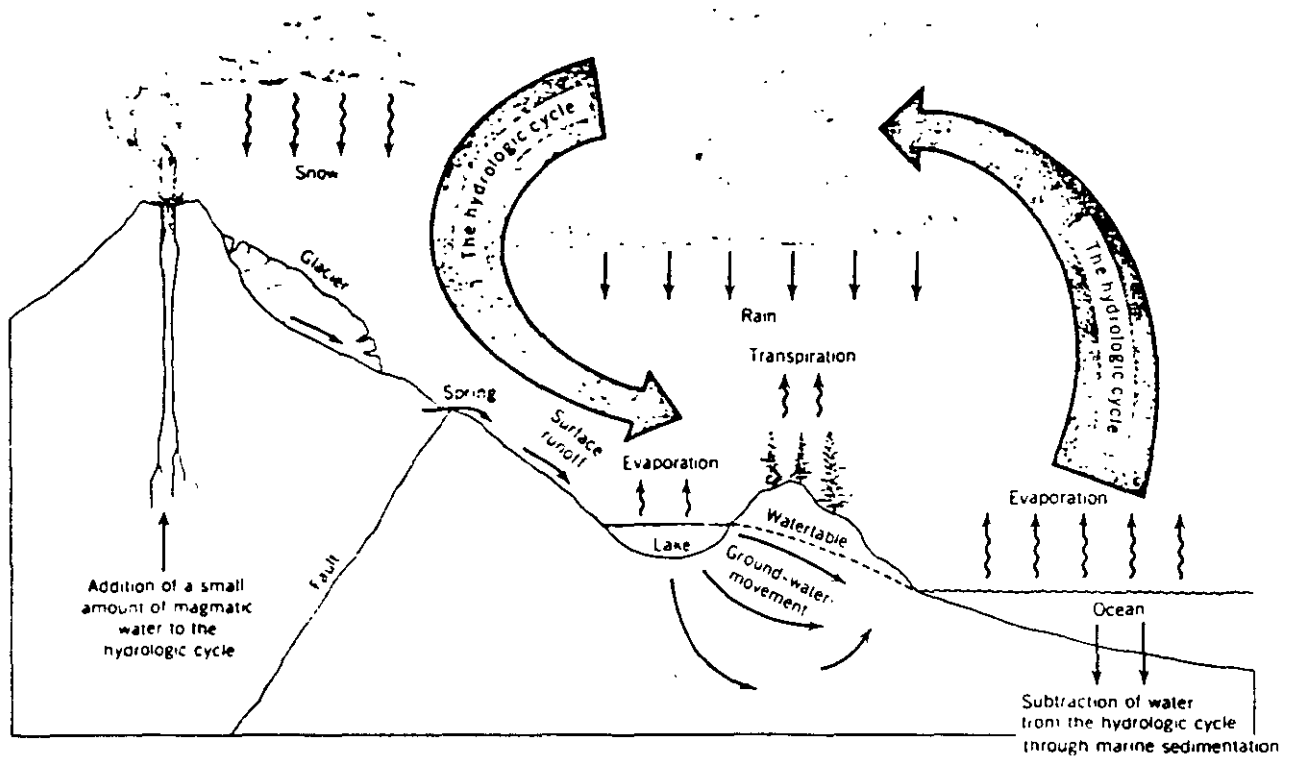


Figure 2.3 The hydrologic cycle

El agua de lluvia que se precipita sobre los continentes tiene tres caminos a seguir: Evaporarse para formar las nubes; escurrir por la superficie del suelo formando arroyos y ríos que finalmente vierten sus aguas al mar e; infiltrarse en el subsuelo para formar acuíferos. Esta agua infiltrada posteriormente es drenada por corrientes superficiales o aflora en forma de manantiales, para evaporarse o seguir su camino al mar donde también parte de ésta se evapora y continua en su ciclo natural conforme se ilustra en la figura No 2.3. Las aguas que no se encuentran en movimiento dentro del ciclo hidrológico se caracterizan por incrementar su contenido salino y se conocen como aguas fósiles; la proporción de agua fósil respecto a agua dentro del ciclo hidrológico es sumamente baja.

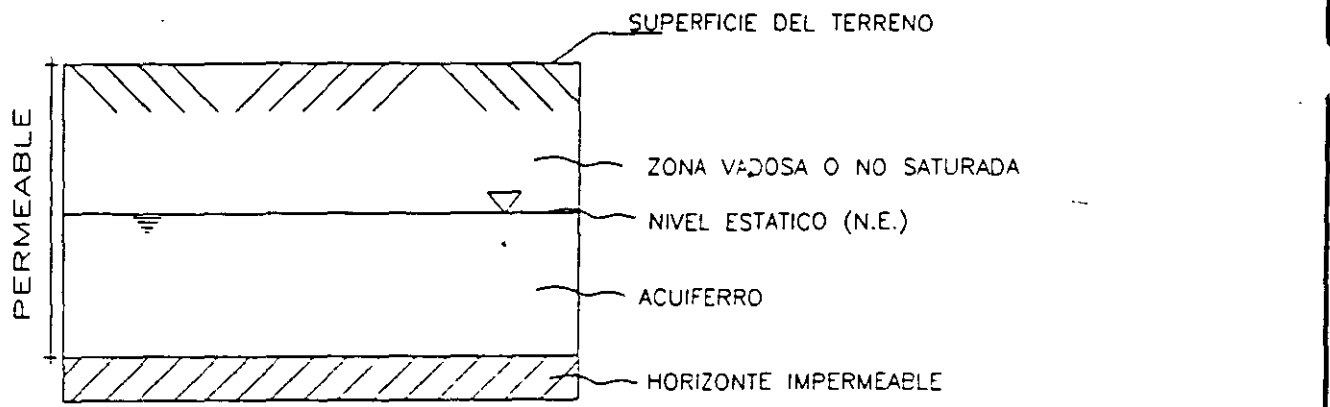
El agua subterránea que forma los acuíferos proviene principalmente de la lluvia, donde parte de esta al precipitarse sobre las formaciones geológicas, se infiltra y corre a través de ellas. El agua infiltrada, en ocasiones pasa por zonas cercanas a cámaras magmáticas donde incrementa su temperatura o puede permanecer atrapada entre sedimentos en forma de agua fósil.

2.2.2.- DISTRIBUCION DEL AGUA EN EL SUBSUELO

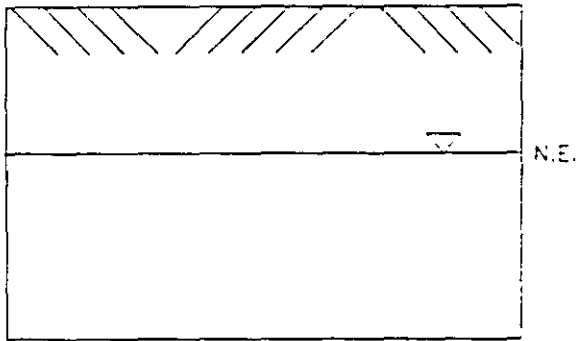
La distribución del agua en el subsuelo se ilustra en la figura 2.4, donde se muestra el límite de la zona saturada que se denomina nivel estático. La porción que se encuentra bajo el nivel estático en la roca saturada se denomina acuífero. La zona no saturada que corresponde a la porción entre la superficie del terreno y el nivel estático recibe también el nombre de zona vadosa. Cuando los acuíferos corresponden a materiales granulares, en los pozos se produce un efecto de capilaridad que permite la ascensión del agua, dando origen a una zona denominada de aguas capilares.

2.2.3.- ZONAS DE RECARGA

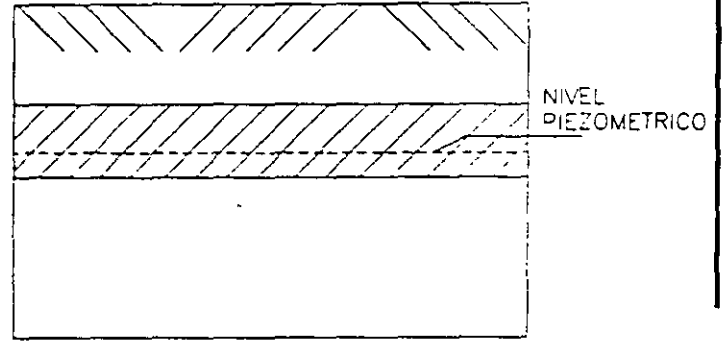
Las porciones permeables ubicadas topográficamente altas, permiten la infiltración y circulación de agua hacia los acuíferos. Estas áreas son las principales zonas de recarga. En los valles también se infiltra y recarga agua al acuífero, en la Ciudad de México, las áreas cubiertas impiden o limitan la recarga en el valle.



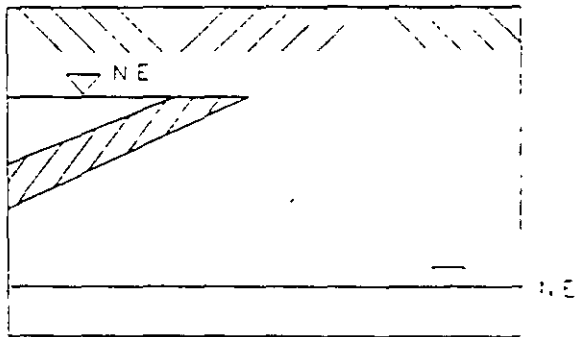
ACUIFERO LIBRE



ACUIFERO CONFINADO



ACUIFERO COLGADO



ACUIFERO SEMICONFINADO

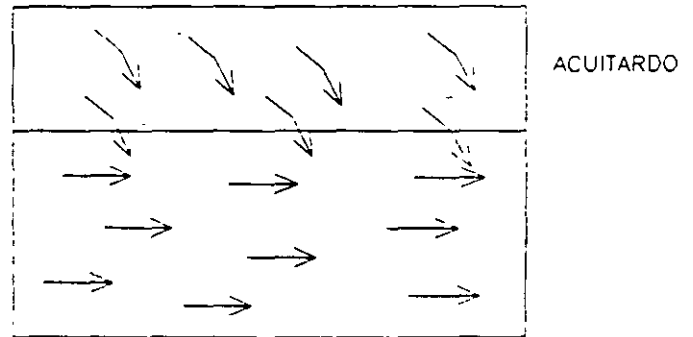


FIGURA 2.2

TIPOS DE ACUIFEROS

2.1.5.- MATERIALES SEMIPERMEABLES

MATERIAL QUE PERMITE EL PASO DE REDUCIDA CANTIDAD DE AGUA.

Cuando los materiales granulares consisten en una mezcla de arcillas y arenas, los espacios libres entre granos permiten la circulación de cierta (aunque reducida) cantidad de agua, ocasionando que la permeabilidad del material sea mayor que en las arcillas pero menor que en las arenas

2.1.6.- ACUIFERO

Se denomina *acuifero* a un cuerpo de roca que se encuentra saturado y presenta una permeabilidad tal que permite la circulación de agua en cantidades económicamente significativas y que puede ser explotada a través de pozos. Existen diferentes acuíferos entre los cuales destacan los siguientes: *acuifero libre*, es aquel en el que la superficie de nivel estático se encuentra a la presión atmosférica. *Acuifero confinado*, es aquel que se encuentra sujeto a una presión, generalmente ocasionada por el encajonamiento de agua entre dos cuerpos impermeables. *Acuifero colgado*, es aquel que circula sobre una capa impermeable localizada arriba del nivel estático de un acuífero regional

Acuifero semiconfinado, es aquel que se encuentra cubierto por un material semipermeable (figura 2.2)

2.1.6.- ACUITARDO

Es una capa que retiene pero no evita el flujo del agua hacia un acuífero adyacente. El acuitardo no permite un paso rápido del flujo del agua pero puede servir como una zona de alta capacidad de almacenamiento.

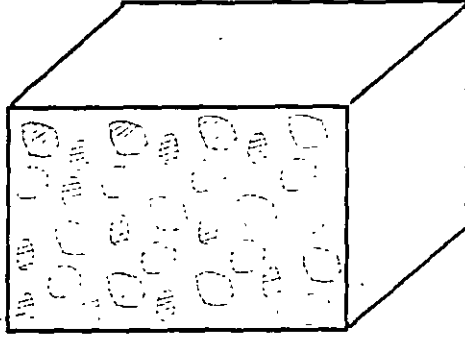
2.2.- FUNCIONAMIENTO DE LOS ACUIFEROS

2.2.1.- CICLO HIDROLOGICO

En la corteza terrestre el agua en su gran mayoría se encuentra formando parte del ciclo hidrológico

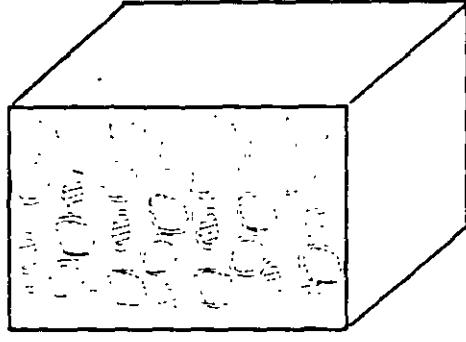
1 2 3 4 5 6 7 8 9 10 11 12 13 14 15 16 17 18 19 20 21 22 23 24 25 26 27 28 29 30 31 32 33 34 35 36 37 38 39 40 41 42 43 44 45 46 47 48 49 50 51 52 53 54 55 56 57 58 59 60 61 62 63 64 65 66 67 68 69 70 71 72 73 74 75 76 77 78 79 80 81 82 83 84 85 86 87 88 89 90 91 92 93 94 95 96 97 98 99 100

1 2 3 4 5 6 7 8 9 10 11 12 13 14 15 16 17 18 19 20 21 22 23 24 25 26 27 28 29 30 31 32 33 34 35 36 37 38 39 40 41 42 43 44 45 46 47 48 49 50 51 52 53 54 55 56 57 58 59 60 61 62 63 64 65 66 67 68 69 70 71 72 73 74 75 76 77 78 79 80 81 82 83 84 85 86 87 88 89 90 91 92 93 94 95 96 97 98 99 100



1 2 3 4 5 6 7 8 9 10 11 12 13 14 15 16 17 18 19 20 21 22 23 24 25 26 27 28 29 30 31 32 33 34 35 36 37 38 39 40 41 42 43 44 45 46 47 48 49 50 51 52 53 54 55 56 57 58 59 60 61 62 63 64 65 66 67 68 69 70 71 72 73 74 75 76 77 78 79 80 81 82 83 84 85 86 87 88 89 90 91 92 93 94 95 96 97 98 99 100

1 2 3 4 5 6 7 8 9 10 11 12 13 14 15 16 17 18 19 20 21 22 23 24 25 26 27 28 29 30 31 32 33 34 35 36 37 38 39 40 41 42 43 44 45 46 47 48 49 50 51 52 53 54 55 56 57 58 59 60 61 62 63 64 65 66 67 68 69 70 71 72 73 74 75 76 77 78 79 80 81 82 83 84 85 86 87 88 89 90 91 92 93 94 95 96 97 98 99 100



1 2 3 4 5 6 7 8 9 10 11 12 13 14 15 16 17 18 19 20 21 22 23 24 25 26 27 28 29 30 31 32 33 34 35 36 37 38 39 40 41 42 43 44 45 46 47 48 49 50 51 52 53 54 55 56 57 58 59 60 61 62 63 64 65 66 67 68 69 70 71 72 73 74 75 76 77 78 79 80 81 82 83 84 85 86 87 88 89 90 91 92 93 94 95 96 97 98 99 100

2.1.3.- ROCAS IMPERMEABLES

ROCA QUE IMPIDE EL PASO DE AGUA A TRAVES DE ELLA

Cuando las rocas se presentan densas y sin fracturamiento, impiden el flujo de agua a través de ellas lo cual hace que se comporten como *impermeables*. En la zona metropolitana de la Ciudad de México solo en algunas porciones aisladas se encuentran rocas de este tipo, como en la Sierra de Guadalupe y en algunos sitios de la Sierra Nevada.

2.1.4.- MATERIALES IMPERMEABLES

MATERIAL QUE IMPIDE EL FLUJO DE AGUA A TRAVES DE EL.

Conforme se mencionó en párrafos anteriores se hace la distinción entre roca (cuerpo de material compacto) y materiales, siendo estos últimos los constituidos por fragmentos no consolidados.

Cuando estos materiales son de tipo arcilloso, como es el caso de los antiguos sedimentos lacustres arcillosos de los lagos de México, entonces presentan una baja permeabilidad y pueden clasificarse como impermeables, en ciertas zonas, su permeabilidad puede llegar a permitir el paso de reducida cantidad de agua y se clasifican como materiales semipermeables (ver inciso siguiente).

Las arcillas están constituidas por fragmentos de tamaños menores de $1/256$ mm. El agua que satura a estos materiales, en su mayor parte es retenida por atracción molecular hacia cada uno de los granos de arcilla, como se ilustra en la figura No. 2.1 y solamente un porcentaje muy reducido de agua circula a través de ellas. Por ello, en general las arcillas se consideran como material impermeable, especialmente para propósitos prácticos, ya que los pozos perforados en estos materiales rinden caudales de agua muy reducidos, generalmente menores de 1 lps.

compactarse forman las *tobas*. Fragmentos de mayor tamaño y que son importantes para el caso que nos ocupa son los denominados *tezontles*. Estos, corresponden en esencia a la misma roca basáltica que, en el momento de ser eyectada, incluye abundantes gases. Ello, hace que el basalto presente una textura de apariencia de esponja. En ocasiones se define al *tezontle* como la espuma del basalto. Es común que, durante las erupciones volcánicas de tipo explosivo, los fragmentos de la lava basáltica sean lanzados al aire, acumulándose sobre los flancos de los conos volcánicos. Los tezontles asociados con las lavas fracturadas, presentan una alta permeabilidad y permiten la fácil infiltración y circulación del agua en el subsuelo

2.1.2.- MATERIALES GRANULARES

Como su nombre lo indica, los *materiales granulares* corresponden a fragmentos de rocas que semejan granos, los cuales se clasifican de acuerdo a su tamaño. Se originan por la erosión y transporte de rocas que forman elevaciones topográficas. El principal agente erosivo lo constituyen las corrientes superficiales, las cuales mueven o transportan los fragmentos de roca de las partes altas de las sierras hacia las porciones bajas, donde son acumulados o depositados. Durante su trayecto, los fragmentos son redondeados obteniendo la apariencia de granos. El tamaño de estos puede variar desde fracciones de milímetro hasta varios centímetros. Los materiales granulares más finos (con diámetros menores de 1/16 mm) se conocen con el nombre de *arcillas y limos*. Los materiales granulares de mayor tamaño (entre 1/16 y 2 milímetros) se denominan *arenas*, tamaños mayores de 2 milímetros se denominan *gravas y cantos rodados*.

Al encontrarse sueltos los granos se denominan "materiales"; cuando se encuentran consolidados reciben el nombre de "roca".

Los materiales granulares finos (arcillas y limos) presentan una baja permeabilidad y se clasifican como impermeables al flujo subterráneo. Por lo que respecta a las arenas y gravas, éstas presentan permeabilidades altas y constituyen buenos acuíferos. Generalmente las arenas y gravas incluyen cierto porcentaje de arcilla; su permeabilidad esta en relación a la mezcla resultante.

ADAPTADO PARA EL CURSO DE CONTAMINACION DE ACUIFEROS, 1998

CAPITULO 2.- GEOLOGIA DEL AGUA SUBTERRANEA

POR: ING. JUAN MANUEL LESSER ILLADES

2.1.- ROCAS Y ACUIFEROS DE LA CIUDAD DE MEXICO

La corteza terrestre se encuentra formada por diferentes rocas y materiales que varían en su capacidad geohidrológica. Mientras que algunas tienen porosidad y permeabilidad, permitiendo el paso del agua, otras se presentan compactas e impermeables.

En la zona metropolitana de la Ciudad de México, se agruparon los diferentes tipos de rocas y/o materiales en relación a su composición y a sus características geohidrológicas en: rocas fracturadas y piroclásticos; materiales granulares; rocas impermeables; materiales impermeables y; materiales semipermeables. A continuación se describen estas unidades.

2.1.1.- ROCAS FRACTURADAS Y PIROCLASTICOS

El tipo de *roca fracturada* existente en el área de estudio corresponde a los *basaltos*. Estos, son el producto de erupciones volcánicas. Existen centros eruptivos alrededor de la Ciudad de México, que estuvieron activos en épocas recientes, dando origen a acumulaciones de rocas que actualmente forman la Sierra del Chichinautzin, la Sierra de Santa Catarina y el Cerro de La Estrella.

A partir de dichos centros eruptivos, fueron eyectadas corrientes de lavas de composición basáltica, muchas de las cuales forman los flancos de los volcánes. Algunas de dichas coladas de lava se extendieron hacia el Valle de México, en donde actualmente se encuentran formando el acuífero y están cubiertas por las arcillas de los antiguos lagos.

Las coladas de basalto, al enfriarse, se enjutan provocando el fracturamiento de la roca, lo que ocasiona que permitan fácilmente la infiltración, circulación y almacenamiento de agua.



**FACULTAD DE INGENIERIA U.N.A.M.
DIVISION DE EDUCACION CONTINUA**

CURSOS ABIERTOS

**X CURSO INTERNACIONAL
CONTAMINACIÓN DE ACUIFEROS**

MÓDULO I:

GEOHIDROLOGÍA

TEMA :

GEOLOGÍA DEL AGUA SUBTERRÁNEA

COMPLEMENTO

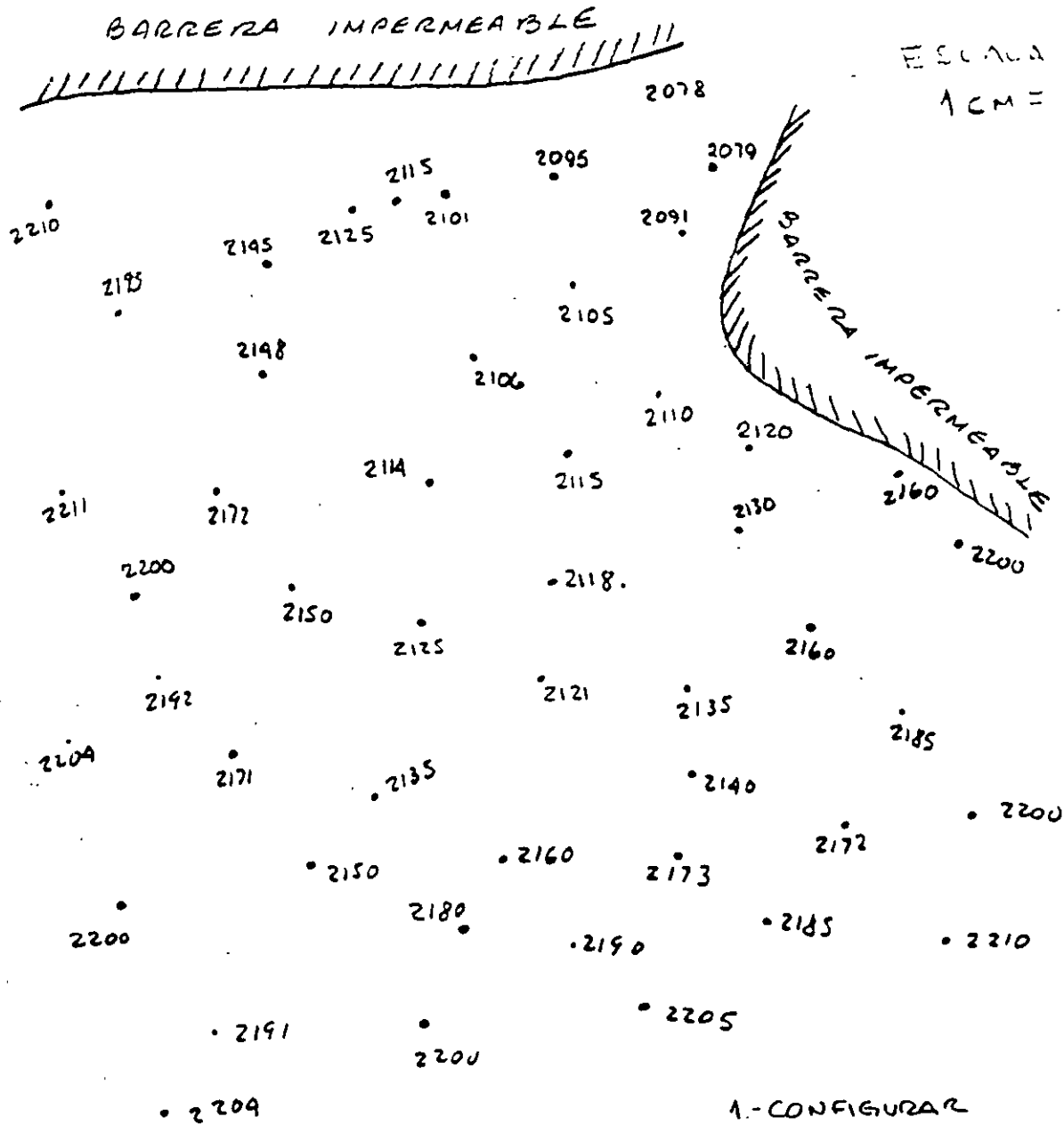
**PRESENTADO POR: ING. JUAN MANUEL LESSER ILLADES
SEPTIEMBRE 1998**

CUANTIFICACION DEL FLUJO SUBTERRANEO

EXPLICACION

• POZO

2220 - ELEVACION DEL NIVEL ESTADICO EN M.S.N.M.



$$E_s + I = S_s + \bar{E}_x \pm \Delta S$$

$$\text{EXTRACCION} = 4.3 \times 10^6 \text{ m}^3/\text{año}$$

$$\Delta S = 0$$

- 1.- CONFIGURAR
- 2.- MARCAR LINEAS DE CORRIENT Y CELDAS
- 3.- CALCULAR ENTRADAS Y SALIDAS SUBTERRANEAS
 $Q = T \Delta h$; $T = 3 \times 10^{-3} \text{ m}^2/\text{seg}$
- 4.- ESTABLECER ECUACION DE BALANCE VOLUMETRICO

7.9 MAPAS DERIVADOS DE LAS SUPERFICIES PIEZOMÉTRICAS

Comparando la superficie piezométrica (freática) con A se puede obtener B.

A	B
Superficie piezométrica (freática) en otra época	Mapa de variación de niveles: mapa de variación del volumen saturado en un acuífero libre
Superficie topográfica	Profundidad del nivel de agua o de la superficie freática si el acuífero es libre.
Mapa de la base del acuífero	Mapa de espesor saturado si el acuífero es libre

Los mapas de variación de nivel en acuíferos libres son especialmente interesantes para estudiar las variaciones totales del agua almacenada y puede poner de relieve ciertas particularidades del funcionamiento del acuífero. En la figura 8.107 se muestra el plano de variación de niveles correspondientes a las dos superficies piezométricas de la figura 8.99, puede apreciarse un ascenso general de niveles excepto en una pequeña área en la que se produce un descenso quizás debido a una intensificación del bombeo. Los ascensos mayores corresponden a una zona de notables bombeos veraniegos, que en invierno cesan. La variación de nivel supone sólo

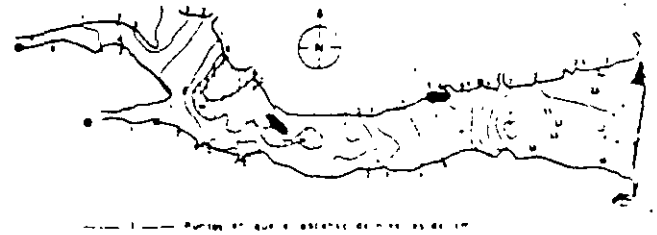


FIGURA 8.107
Plano de curvas de igual variación de nivel correspondientes a las superficies piezométricas de la figura 8.99. Las zonas rayadas son de descenso de nivel y las no rayadas son de ascenso de nivel.

un pequeño aumento de reserva puesto que en esa zona el acuífero estudiado es semiconfinado.

Los mapas de máxima variación de nivel tienen interés para el proyecto de pozos. Los planos de espesor saturado máximo pueden condicionar la ubicación de captaciones permanentes en un acuífero libre.

El trazado de estos mapas se facilita en gran medida si se tienen sobre papel transparente los mapas originales y se determinan las cotas diferenciales en los puntos de intersección de las isopiezas entre sí y con las curvas de nivel. Estos puntos sirven para trazar directamente las nuevas curvas (isolinéas) que deben pasar por ellos. En algunas zonas puede ser necesario determinar puntos adicionales por trazado de curvas intermedias.

altura de agua por unidad de tiempo, B el bombeo en volumen por unidad de tiempo y S el coeficiente de almacenamiento:

$$(i_c \cdot T_c \cdot i_c - i_s \cdot T_s \cdot i_s) (t_2 - t_1) + W \cdot A \cdot (t_2 - t_1) - \int_{t_1}^{t_2} B \cdot dt = A \cdot \Delta h \cdot S$$

siendo A el área del balance y Δh el incremento de altura piezométrica supuesta uniforme en toda la superficie.

En general las incógnitas son T_1 , T_2 , W y S que se pueden determinar si se plantean cuatro ecuaciones independientes. En general conviene manejar más ecuaciones para contrastar los errores que se cometen.

En ciertas circunstancias pueden obtenerse simplificaciones $W = 0$, si se trabaja en un período en que no hay recarga, pero deben tomarse precauciones en definir este período ya que el agua de lluvia o de riego puede tardar a veces algunas semanas o incluso meses en alcanzar el acuífero si éste es profundo.

$S = 0$ si se trata de un acuífero cautivo y entonces $W = 0$; si es $W \approx 0$ es que el acuífero es semiconfinado. Si $\Delta h = 0$, no existe segundo miembro y es más fácil calcular W.

Si el límite superior es una divisoria de aguas subterráneas fija puede prescindirse del término de entrada subterránea.

Se tiene aún poca experiencia sobre este método como método manual de análisis de superficies piezométricas, pero en algunos casos los errores parecen aceptables (Llamas, 1967).

Llamas y Custodio han aplicado el método de forma independiente al estudio del acuífero del valle bajo del río Llobregat (Barcelona) y los resultados son aceptables y encajan aceptablemente con los obtenidos con un modelo matemático (MOP, Cuena y Custodio, 1971; Custodio, Cuena y Bayó, 1971), que no es más que un análisis similar programado con mayor número de datos y efectuado balance en varias áreas contiguas. Molist en MOP 1971, también ha obtenido resultados aceptables con el mismo método en la cubeta de La Llágusta, en el río Besòs, próximo a Barcelona.

Ejemplo 3

En un acuífero aluvial se tomaron dos secciones separadas 1 km. En la sección de aguas arriba el ancho es de 150 m y en la de aguas abajo es de 250 m.

Se han trazado superficies piezométricas el 15 de junio, el 15 de julio y el 15 de septiembre encontrándose un descenso general de niveles freáticos de 0,5 m entre las dos primeras fechas y de 0,6 m entre las dos últimas. Los gradientes en el límite de agua arriba en esas fechas han sido 2‰, 2‰, 2,5‰, y en el límite de aguas abajo de 2,5‰, 2,5‰ y 3‰, respectivamente.

Se trata de una época seca, sin lluvias desde abril y con el río sin agua circulante. El bombeo es de 600 000 m³/mes y se usa para riego, estimándose que el 20 % del caudal vuelve al acuífero en el primer período y el 15 % en el segundo. Varios ensayos de bombeo realizados hacen presuponer que la transmisibilidad es de 1000 m²/día en el límite de aguas arriba y de 800 m²/día en el límite de aguas abajo, cuando el espesor saturado es de 20 m. El 15 de junio este espesor saturado era de 22 m. Calcular la porosidad eficaz del acuífero (coeficiente de almacenamiento). La ecuación del balance para el primer período es

$$\left\{ \left[150 \text{ m} \frac{1000 \text{ m}^2/\text{día}}{20 \text{ m}} \left(22 - \frac{0,5}{2} \right) \text{ m} \cdot 0,002 \right] - \left[250 \text{ m} \frac{800 \text{ m}^2/\text{día}}{20 \text{ m}} \cdot \left(22 - \frac{0,5}{2} \right) \text{ m} \cdot 0,0025 \right] \right\} \cdot 30 \text{ días} - \frac{600\,000 - 0,8 \text{ m}^3/\text{mes}}{30 \text{ días, mes}} =$$

$$= -1000 \text{ m} \cdot \frac{250 - 150}{2} \text{ m} \cdot 0,5 \cdot S$$

$$S = 0,162$$

La ecuación del balance para el segundo período es

$$\left\{ \left[150 \text{ m} \frac{1000 \text{ m}^2/\text{día}}{20 \text{ m}} \left(22 - \frac{0,6}{2} \right) \text{ m} \frac{2 - 2,5}{2} \frac{1}{1000} \right] - \left[250 \text{ m} \frac{800 \text{ m}^2/\text{día}}{20 \text{ m}} \left(22 - \frac{0,6}{2} \right) \text{ m} \frac{2,5 - 3}{2} \frac{1}{1000} \right] \right\} \times$$

$$\times 30 \text{ días} - \frac{600\,000 - 0,85 \text{ m}^3/\text{mes}}{30 \text{ días, mes}} =$$

$$= 1000 \text{ m} \frac{250 - 150}{2} \text{ m} \cdot 0,6 \text{ m} \cdot S$$

$$S = 0,144$$

Los valores de S obtenidos en ambos períodos son relativamente similares y por lo tanto puede tomarse que S varía entre ellos. En el valor de S lo que más influye en este caso son las extracciones.

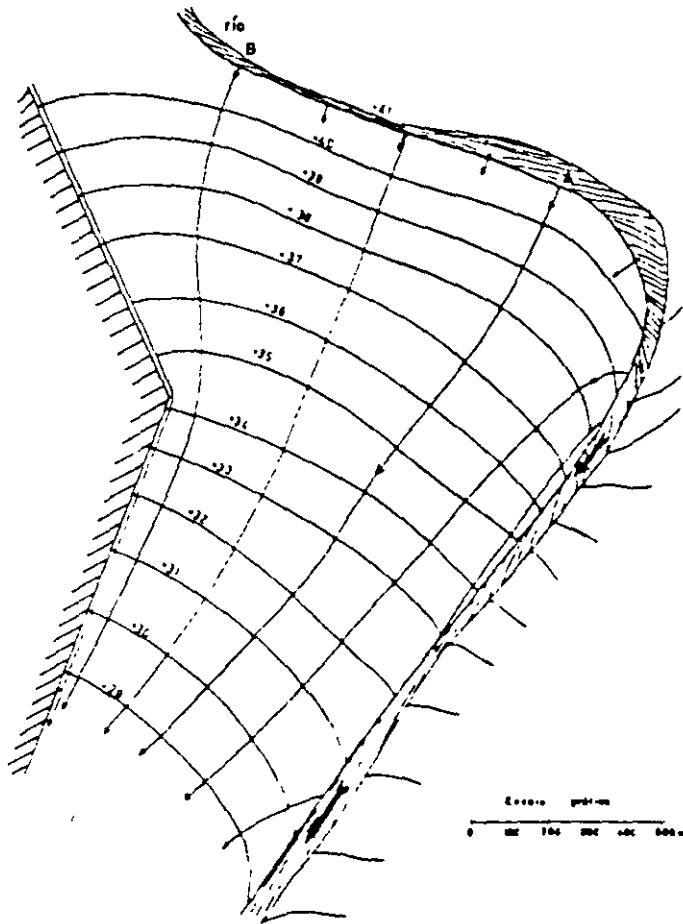


FIGURA 8.105 Superficie piezométrica con un borde impermeable y un río. Corresponde al ejemplo 2.

Entre la curva de -40 y de -30 puede establecerse:
 $850 \text{ m} \cdot 200 \text{ m/día} \cdot 5,5 \text{ m} \cdot 0,01 = 320 \text{ m} \cdot k \cdot 11,5 \text{ m} \cdot 0,0057 = - \frac{0,1}{365} \text{ m/día} \cdot 770.000 \text{ m}^3$
 $k = 456 \text{ m/día}$ sobre la curva de -30
 Entre la curva de -40 y de -37 puede establecerse
 $850 \text{ m} \cdot 200 \text{ m/día} \cdot 5,5 \text{ m} \cdot 0,01 = 800 \cdot T \cdot 0,008 = - \frac{0,1}{365} \text{ m/día} \cdot 264.000 \text{ m}^3$
 $T = 1472 \text{ m/día}$

El río aporta entre A y B el agua que atraviesa la curva de +40, ya que el aporte por infiltración de lluvia y riego es muy pequeño por la reducida superficie de recarga

$$Q = 850 \text{ m} \cdot 200 \text{ m/día} \cdot 5,5 \text{ m} \cdot 0,01 = 9350 \text{ m}^3/\text{día}$$

7.8 MÉTODO DEL BALANCE PARA EL CÁLCULO DE LA RECARGA Y DE LA POROSIDAD EFICAZ

Si en un acuífero se tienen variaciones de altura en la superficie piezométrica pero sin que la forma general de las isopiezas se altere notablemente, o lo que es lo mismo, que las líneas de corriente apenas modifiquen su posición, es posible entonces realizar un balance temporal. Sea la figura 8.106 que representa una porción de acuífero entre dos líneas de corriente cuya posición varía poco en el tiempo y entre dos isopiezas cuya forma varía también poco en el tiempo aunque varíen sus valores. Si T , i y l son respectivamente la transmisividad, gradiente y ancho entre dos líneas de flujo, indicando el subíndice e entrada y el s salida es:

$$\text{entrada} - \text{salida} + \text{aportaciones} = \text{incremento de almacenamiento}$$

Efectuando el balance entre el tiempo t_1 y el tiempo t_2 y llamado W a la recarga por unidad de superficie en

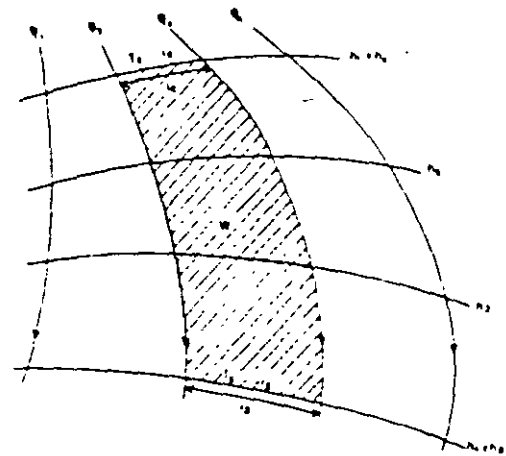


FIGURA 8.106 Esquema para establecer el balance temporal en una superficie piezométrica de altura variable pero de forma constante.

- $T_{i \rightarrow 1}$ = transmisividad media a lo largo de CD
- i_1 = gradiente a lo largo de AB
- $i_{i \rightarrow 1}$ = gradiente a lo largo de CD
- q = caudal neto saliente (salidas-entradas, negativo si es entrante) por unidad de superficie en la superficie ABCD.

Esta simple ecuación permite calcular cómo varia T en el acuífero conociendo el valor en un punto cuando no hay recarga ni descarga o se conoce en el acuífero el valor de las mismas en cada zona. Si se conoce T en cada punto del acuífero es posible calcular la recarga o la descarga neta a partir de una superficie piezométrica, siempre y cuando la variación de la misma en el tiempo sea lenta y pequeña.

En un acuífero de ancho constante l con $q = 0$, en dos puntos A y B debe cumplirse que

$$T_A i_A = T_B i_B$$

y si la transmisibilidad es constante, debe ser $i_A = i_B$.

Si el acuífero es de bordes divergentes en el sentido del flujo (fig. 8.104) debe cumplirse si $q = 0$:

$$l_A T_A \cdot i_A = l_B T_B \cdot i_B$$

e aproximadamente

$$l'_A \cdot T_A \cdot i_A = l'_B \cdot T_B \cdot i_B$$

$$\frac{T_A}{T_B} = \frac{l'_B}{l'_A} \cdot \frac{i_B}{i_A}$$

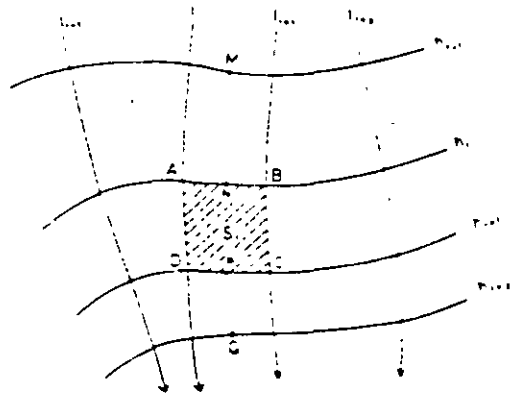


FIGURA 8.105
Esquema de aplicación del método del balance
Las líneas h son isopiezas y las l líneas de corriente

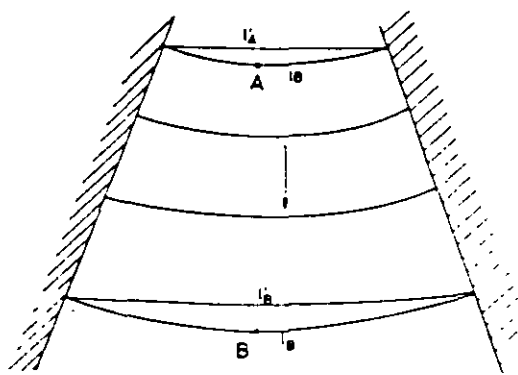


FIGURA 8.104
Esquema de un acuífero que diverge en el sentido del flujo.

Ejemplo 2

En la superficie piezométrica de la figura 8.105, que representa un acuífero recargado y drenado por un río y con un borde impermeable, se sabe que a lo largo de la curva isopieza + 40 m el espesor saturado es de 5.50 m y que a lo largo de la curva isopieza + 30 m el espesor saturado es de 11,5 m. Se sabe además que la permeabilidad a lo largo de la curva isopieza + 40, la permeabilidad media es de 200 m²/día. Calcular la permeabilidad media a lo largo de la curva isopieza + 30, la transmisividad media a lo largo de la curva isopieza + 37 y el caudal medio recargado por el río en el tramo AB. Se supone que existe un aporte constante de agua de riego y lluvia de 100 mm/año.

Las líneas de flujo que parten de los puntos A y B sobre el río definen un tubo de flujo cuyo ancho es de

- 650 m en la curva + 40
- 600 m en la curva + 37
- 320 m en la curva + 30

Las superficies son (planimetrando) _

- 770 000 m² entre las curvas + 40 y + 30
- 2e+ 000 m² entre las curvas + 40 y + 37

Los gradientes medios son,

$$i = \frac{2}{200} = 0.01 \quad \text{en la curva de } + 40$$

$$i = \frac{2}{250} = 0.008 \quad \text{en la curva de } + 37$$

$$i = \frac{2}{350} = 0.0057 \quad \text{en la curva de } + 30$$

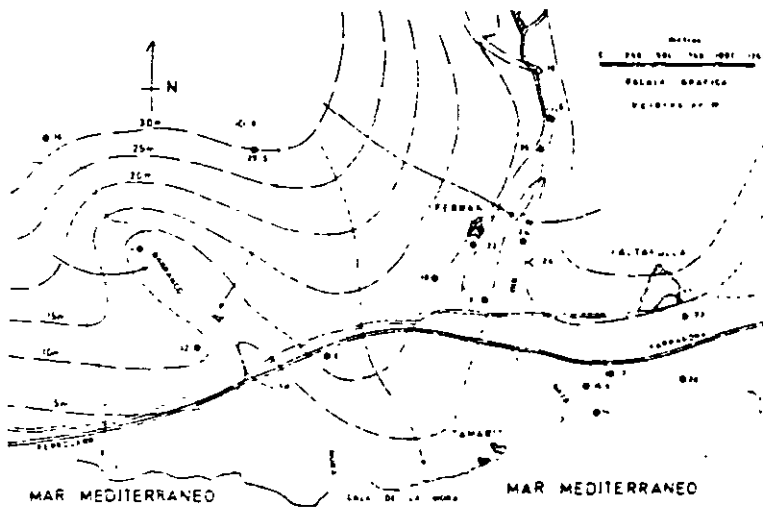


FIGURA 8.101
Isopiezas tentativas en la parte costera del macizo caláureo de Gaià (Tarragona) en 1970 (Según Torrents y Del Pozo, 1970).

cidos, el agua drenada no llega en general al río pues o se evapora antes o es absorbida por el relleno cuaternario

7.7 ANÁLISIS CUANTITATIVO DE SUPERFICIES PIEZOMÉTRICAS

El análisis cuantitativo de superficies piezométricas se basa en la aplicación de la ley de Darcy cuando puede admitirse que ésta es válida y que el medio puede suponerse de permeabilidad isotrópica.

El flujo que atraviesa la línea AB (fig. 8.102) vale $q = k \cdot AB \cdot i$ siendo k la permeabilidad e i el gradiente piezométrico. Se supone que k e i no varían a lo largo de AB, si así fuese se divide el segmento en porciones y en cada uno de ellos se determina el caudal que la cruza, el caudal total es la suma de caudales parciales.

El gradiente piezométrico en zonas de variaciones suaves puede determinarse a partir de las isopiezas antecedentes y siguiente. Si h_1 es el potencial correspondiente a la isopieza sobre la que se quiere determinar el gradiente

$$i = \frac{h_{1+1} - h_{1-1}}{CD}$$

siendo CD la distancia (en las mismas unidades que h_1) entre esas dos isopiezas. Puede determinarse con un poco más de precisión dibujando el perfil piezométrico a lo largo de una línea de corriente que corta en un punto central al segmento AB y trazando la tangente a la misma en el punto de nivel correspondiente a la isopieza considerada.

Debe tenerse en cuenta que lo expresado se refiere a flujo horizontal. Para el cálculo de i debe evitarse que entre h_{1+1} y h_{1-1} existan recargas o drenajes importantes.

Si en una superficie piezométrica estacionaria se consideran dos líneas contiguas perpendiculares a las líneas isopiezas, en ausencia de recarga y descarga son líneas de corriente y el flujo entre ellas es constante. Si hay recarga o descarga el flujo entre las mismas varía en esas cantidades pero no hay intercambio con los tubos enmarcados por las líneas contiguas. Sea la malla ABCD de superficie S_1 (fig. 8.103). El balance en la misma establece que:

$$\text{entrada por AB} - \text{salida por CD} = \text{descarga en } S_1 - \text{recarga en } S_1$$

o sea:

$$T_1 \cdot AB \cdot i_1 - T_{1+1} \cdot CD \cdot i_{1+1} = q \cdot S_1$$

en la que

T_1 = transmisividad media a lo largo de AB

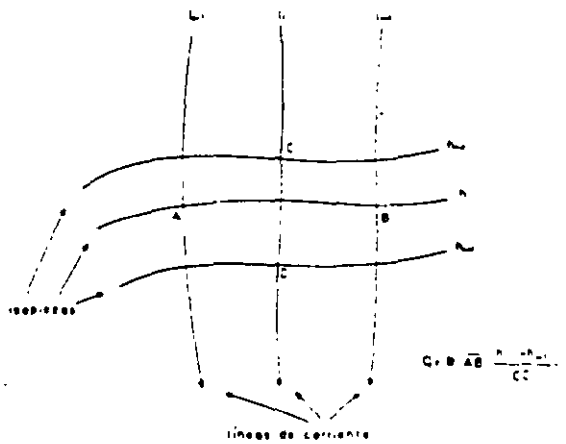


FIGURA 8.102
Cálculo del flujo que atraviesa AB o que circula por el tubo 1-1-1 en ausencia de recarga

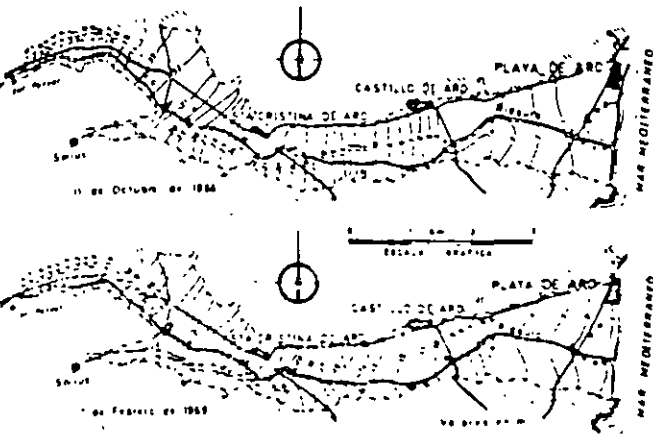


FIGURA 8.99
Superficie piezométrica del acuífero aluvial del Valle del río Riera (Cosia Brava, Gerona) en dos fechas diferentes. Los puntos indican los pozos de bombeo más importantes (Según Domènech y Llamas, 1969).

mayor es la permeabilidad vertical de los limos, menor su espesor y mayor la diferencia de niveles piezométricos, también se toma agua directamente del acuífero del valle a través del estrecho de Cornellà y del mar a través del extremo E.

Alrededor de la cota +25 m el ancho del relleno aluvial es muy pequeño y además allí existe una pequeña presa en la que se hicieron inyecciones de cemento, por ello el flujo de agua de otras unidades de aguas arriba es muy pequeño.

En la figura 8.99 se muestran las curvas isopiezas en dos épocas diferentes de un acuífero aluvial sencillo, con la parte próxima al mar semiconfinada. En las isopiezas de octubre, final de la temporada de verano, se aprecia el efecto de las fuertes extracciones de las semanas anteriores.

La figura 8.100 es también un ejemplo de acuífero aluvial único y libre (cubeta de La Llagosta) a la que confluyen los valles con terrenos aluviales de varios afluentes del río principal. Se indican las principales áreas de bombeo y se aprecia como éstas disminuyen el flujo circulante aguas abajo, indicado por la mayor separación entre las isopiezas. Se puede ver también la disminución de la separación entre las isopiezas en los estrechamientos y el efecto de una galería transversal y de un paso de tubería en sifón con refuerzos (reduce el espesor útil de gravas) en el estrecho inferior (MOP, 1971, b).

En la figura 8.101 se muestran las isopiezas en un macizo calcáreo costero limitando con formaciones miocénicas (geología no señalada). Se aprecia el drenaje realizado por los barrancos y los pozos en ellos estable-

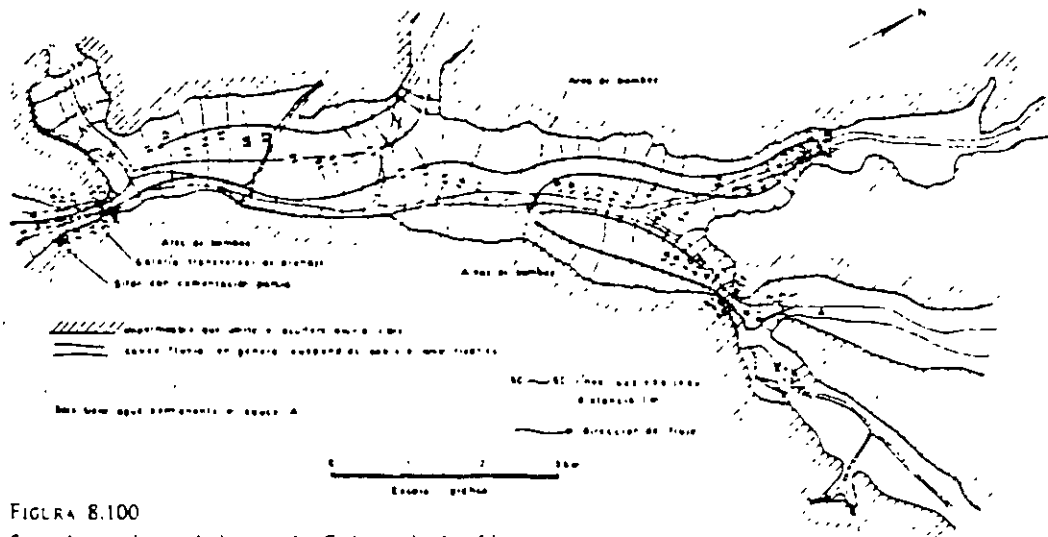


FIGURA 8.100
Superficie piezométrica en la Cubeta de La Llagosta (río Besòs, cerca de Barcelona) en el verano de 1970. La gran concentración de líneas de corriente en la zona próxima a la salida es debido a que allí el espesor de gravas es grande comparado con el resto del perfil.

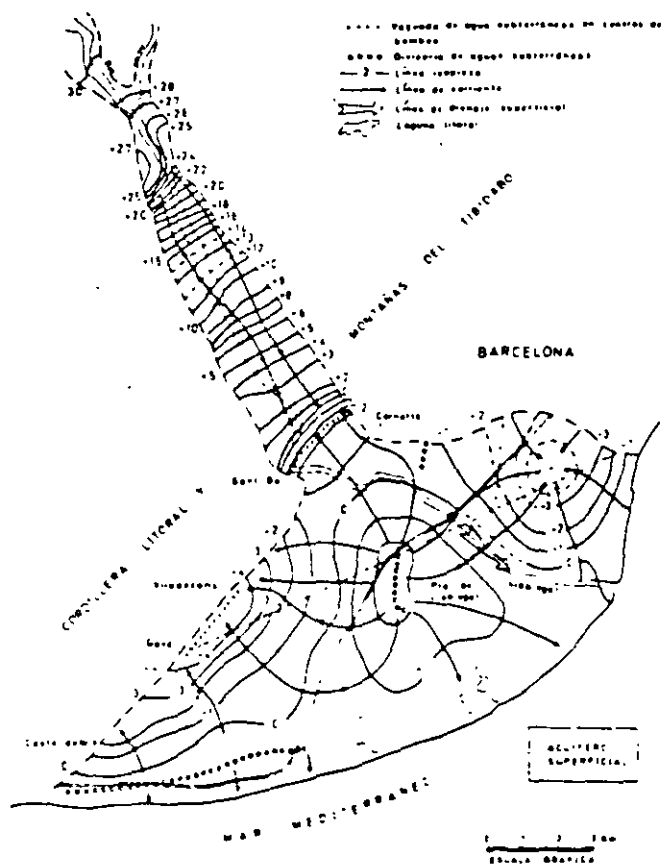


FIGURA 8.97

Superficie piezométrica del Valle Bajo y del acuífero superficial del delta en el río Llobregat, en julio de 1970 (Custodio, Galofré e Iglesias).

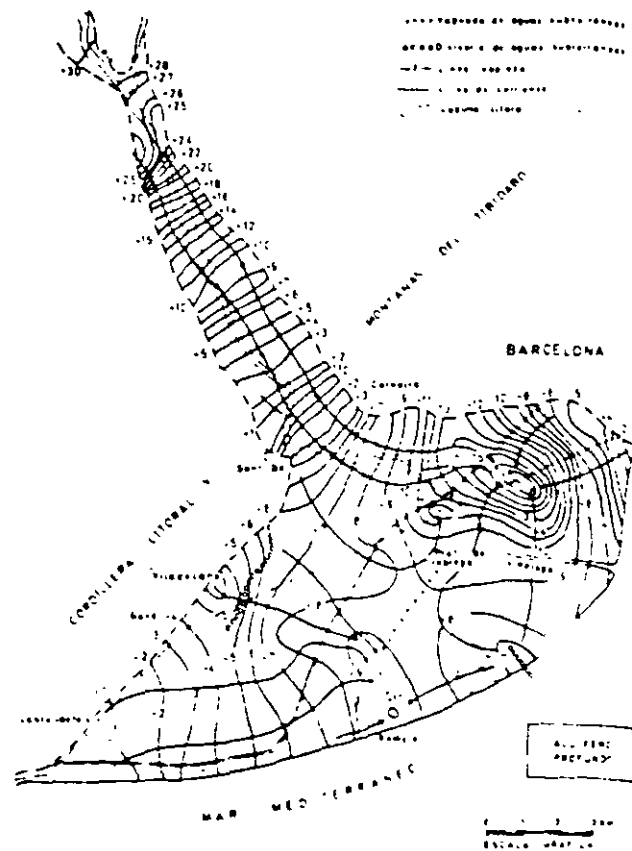


FIGURA 8.98

Superficie piezométrica del Valle Bajo y del acuífero profundo (semiconfinado) del delta en el río Llobregat en julio de 1970 (Custodio, Galofré e Iglesias).

va a parar al mar, otra parte es drenada por el río, otra parte fluye hacia los centros de bombeo en la zona de Gavá-Viladecans y una pequeña última parte se dirige hacia el estrecho de Cornellá, para allí recargar el acuífero profundo o ser captado en los pozos allí existentes. Los intensos bombeos a lo largo del borde de Gavá-Viladecans, produce una depresión alargada que además explica la formación de una divisoria de aguas próxima al mar en una zona en que la lluvia recarga un cordón de dunas litorales.

Las lagunas litorales ayudan a deprimir el nivel freático cerca de la costa. En la margen izquierda existe una notable depresión creada por infiltración al acuífero profundo (casi no existe intercalación limosa) que

se recarga a partir de vertidos locales del río (recarga inducida) y del mar (intrusión marina en inicio)

La superficie piezométrica del acuífero profundo difiere de la del acuífero superficial excepto aguas arriba de Cornellá donde coinciden pues se trata de un único acuífero. En el acuífero profundo existen muy intensos bombeos concentrados en la margen izquierda (Puerto Franco) Prat de Llobregat, Gavá-Viladecans y Laguna de Remolar como lugares más importantes. Esto produce una notable depresión general de niveles, mucho más marcada en la margen izquierda, donde la transmisividad es menor. El agua necesaria para mantener el flujo hacia los pozos procede de infiltración del acuífero superficial, la cual es tanto mayor cuanto

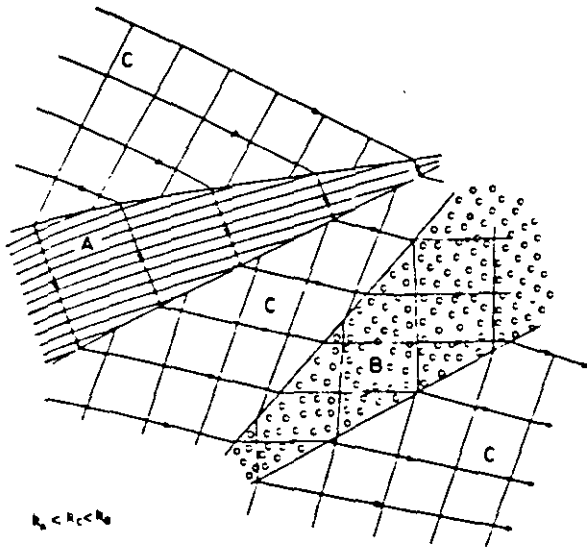


FIGURA 8.95
Esquema de isopiezas de un conito con dos cuñas de diferente permeabilidad una menos permeable (A) y otra más permeable (B)

7.6 EJEMPLOS DE SUPERFICIES PIEZOMÉTRICAS

En la figura 8.96 se representan algunos perfiles geológicos que muestran la estructura del delta del Valle Bajo del río Llobregat; en el valle, que acaba en Cornellá, existe un único acuífero que en el delta se divide en un acuífero superficial, en general libre, y un acuífero profundo, semiconfinado por una formación de limes, espesa en el centro y que desaparece en los bordes (MOP, 1966, Custodio, Bayó y Peláez, 1971). Las superficies piezométricas de estos dos acuíferos vienen representadas en las figuras 8.97 y 8.98 (MOP, 1971, Custodio y otros).

La superficie piezométrica del acuífero superior no corta en ningún momento a la superficie del terreno excepto junto al tramo final del río. En el valle existe un flujo aguas abajo con recarga local procedente de infiltración del río (está suspendido sobre el acuífero pues su fondo está parcialmente colmatado) y de los riegos. En la margen derecha del delta existe un domo de agua (originado en recarga local por riegos, infiltración de canales y pozos de vertido de aguas residuales) que se distribuye radialmente; una parte de esta agua

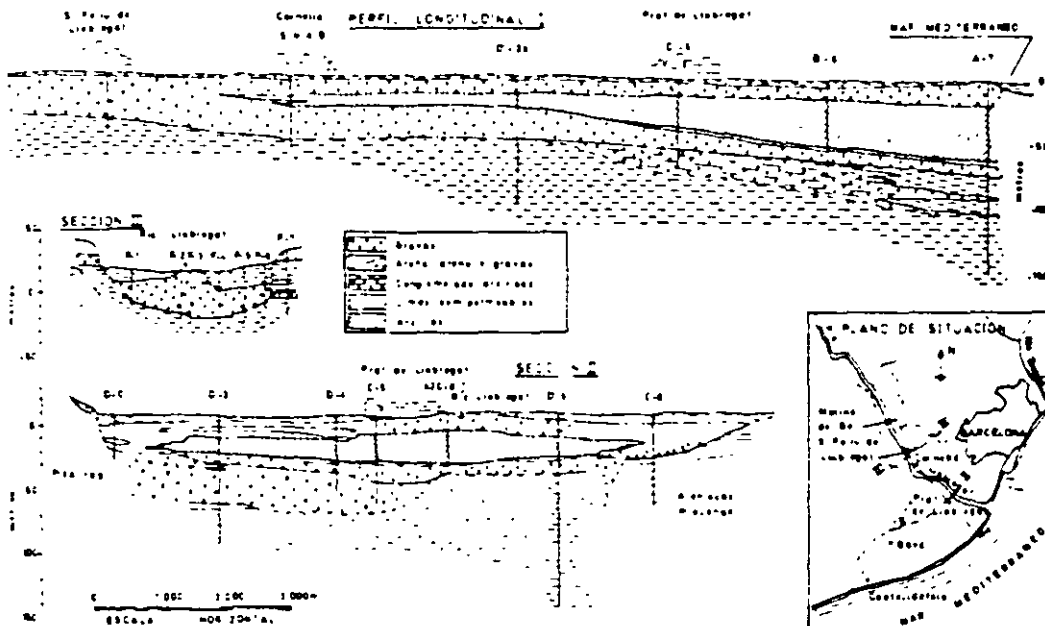


FIGURA 8.96
Perfiles geológicos típicos del delta y Valle Bajo del Llobregat (Según Bayó y Custodio)

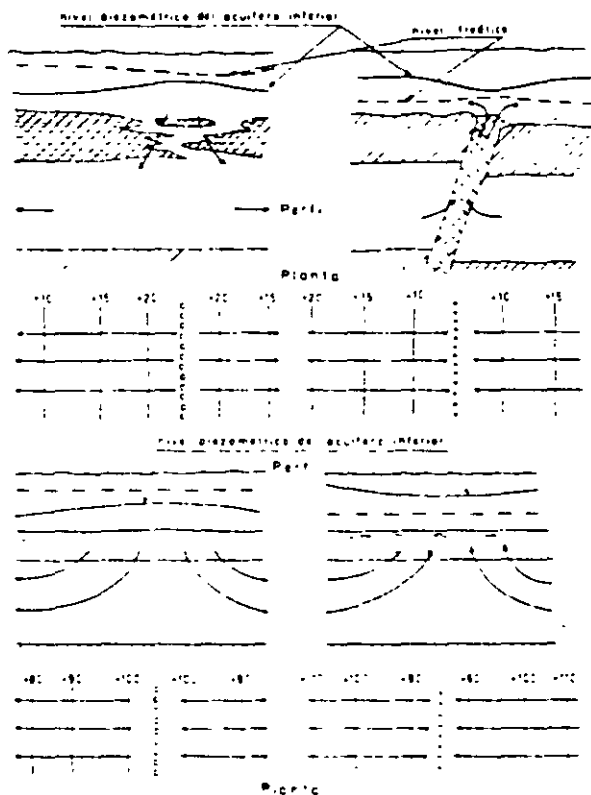


FIGURA 8.93

Explicación de ciertas divisorias o vaguadas de aguas subterráneas en las superficies piezométricas de algunos acuíferos cautivos y semiconfinados

En los acuíferos cautivos o semiconfinados aparecen a veces divisorias o vaguadas de aguas que no corresponden a líneas de pozos de recarga o de bombeo. Estas zonas pueden ser interpretadas de dos formas: a) existe allí una discontinuidad en el confinamiento que permite una fácil entrada o salida de agua (zona fallada permeable, adelgazamiento del techo, etc.) b) es una línea de caudal cero de forma que sólo representa la línea sobre la cual el caudal circulante es cero porque a partir de ella el caudal infiltrado circula hacia un lado u otro o el caudal circulante se ha escapado al llegar a la misma (fig. 8.93). La interpretación basada en la existencia de una zona alargada de gran permeabilidad en el acuífero semiconfinado no es posible ya que ello exige que el agua circule a su largo con aumento progresivo del caudal por lo que las líneas de corriente deben ser cada vez más oblicuas a la divisoria en vez

de ser casi normales (Margat 1967). La existencia de estas divisorias puede servir para diferenciar acuíferos cautivos de acuíferos semiconfinados.

La observación de superficies piezométricas puede señalar ciertas estructuras geológicas que supongan un cambio notable de permeabilidad. Tales pueden ser las fallas, zonas falladas y diques que actúen como una barrera poco permeable o como una zona de permeabilidad preferente, todo ello dependiendo de la permeabilidad de la roca encajante y de la dirección de flujo (fig. 8.94).

También se pueden localizar lentejones menos permeables o más permeables teniendo en cuenta que en éstos las isopiezas se concentran y en aquellos se separan (fig. 8.95). En formaciones sedimentarias extensas se pueden también a veces identificar ejes de flexión o proximidad a la superficie del zócalo (Castany, 1966, págs. 104-106).

En todas estas interpretaciones es esencial que la superficie piezométrica esté bien dibujada a partir de un número suficiente de datos, y que se tenga cierta base geológica para la interpretación.

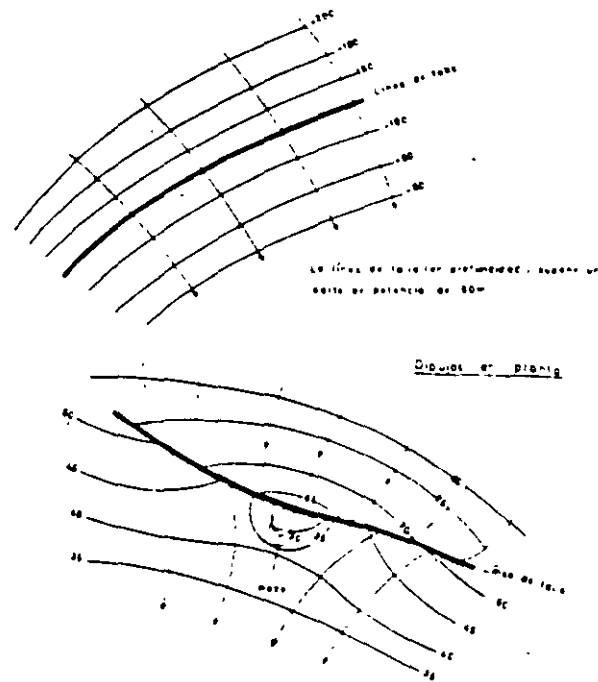


FIGURA 8.94

Esquemas del efecto de las fallas poco permeables

de las líneas de corriente tal como se pudo apreciar en el esquema superior izquierdo de la figura 8.83. Con frecuencia, la convergencia está ligada a la descarga a un río o a una zona de bombeo o evapotranspiración mientras que la divergencia es una consecuencia de recarga localizada o distribuida. (Véanse las figuras 8.81, 8.83, 8.85 y 8.89). Si en un flujo divergente, el espaciado de las isopiezas es constante o disminuye es que existe una recarga distribuida y/o la transmisividad disminuye progresivamente; si el flujo es convergente y el espaciado de las isopiezas es constante o disminuye es que existe una descarga distribuida (zona pantanosa, evapotranspiración por freatofitas, área de bombeo, etc.) y/o la transmisividad aumenta progresivamente.

En una zona de fuertes extracciones no delatada por curvas cerradas, existe un espaciamiento brusco de las líneas isopiezas aguas abajo si la captación es una gale-

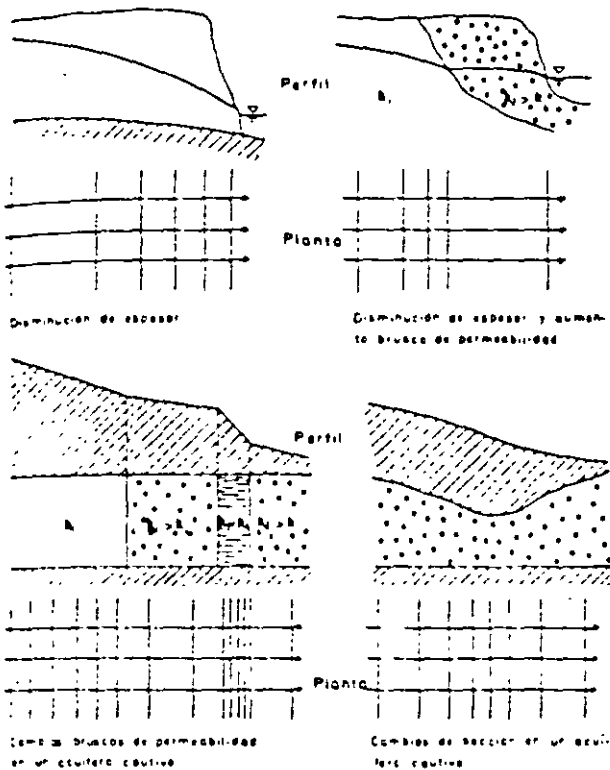


FIGURA 8.91

Efectos de cambios de espesor o de permeabilidad en la separación de las líneas isopiezas en un sistema de líneas de corriente paralelas

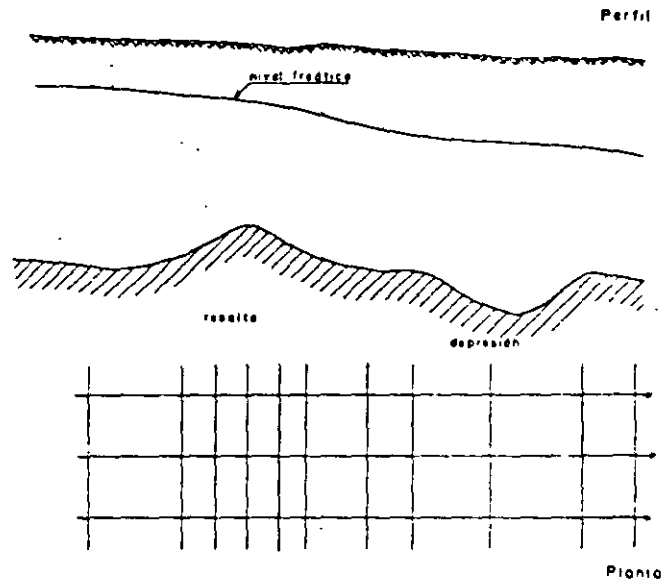


FIGURA 8.92

Efecto de un resalto y de una depresión en la base de un acuífero libre de espesor progresivamente decreciente

ría o drén transversal; si se trata de un grupo de pozos puede observarse el espaciamiento de las líneas isopiezas aguas abajo que aparece en los esquemas de la figura 8.85.

En las proximidades de los ríos y masas de agua que cambian de nivel con rapidez se tienen efectos dinámicos ya expuestos en el capítulo anterior²²; en los planos de isopiezas pueden aparecer como depresiones o crestas paralelas a las orillas en las proximidades de las mismas. Estas formas son rápidamente cambiantes y en general no aparecen igual en mapas correspondientes a diferentes épocas. Desde luego, la altura o profundidad de esas anomalías es menor que la semiamplitud de la oscilación del agua libre. Si los cambios son muy rápidos el mapa de isopiezas, cuyas mediciones pueden haber sido hechas a lo largo de dos o tres días, puede no reflejarlas y en su lugar aparecer malformaciones por no simultaneidad de las mediciones.

La existencia de la interfase agua dulce-agua salada en las regiones costeras reduce notablemente el espesor saturado útil al acercarse a la línea de costa²³, por lo que el gradiente piezométrico aumenta rápidamente y pueden tener cotas de agua dulce en acuíferos libres de incluso algunos metros en la misma playa²⁴.

²² Esquema de la figura 8.57

²³ Véase capítulo 13.1.

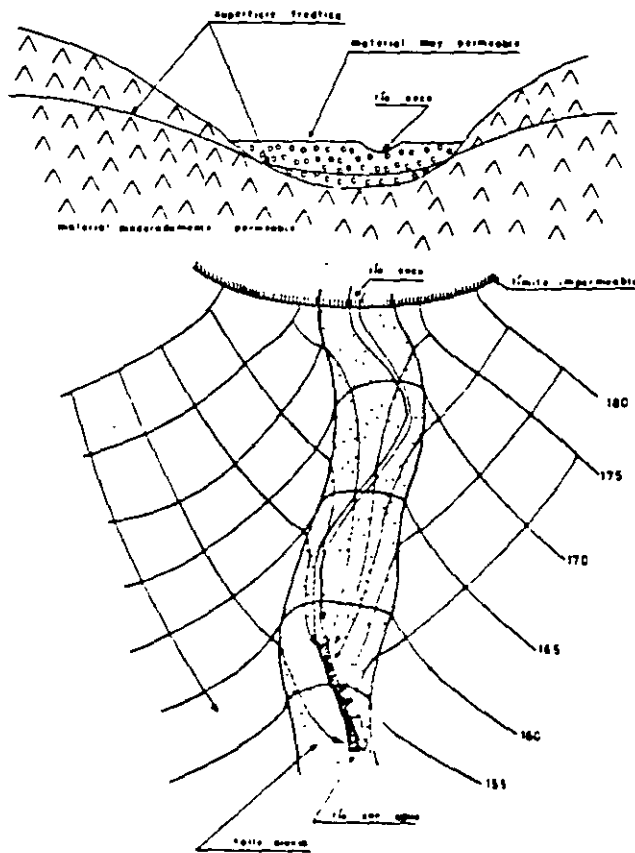


FIGURA 8.89

Ejemplo esquemático de drenaje por una zona de mayor permeabilidad. El río lleva agua cuando el relleno aluvial no es capaz de transmitir toda el agua aportada por las laderas del valle.

fundidad, la superficie freática es muy tendida. La figura 8.90 ilustra estas afirmaciones

Cuando el flujo se dirige hacia una línea, en general debe interpretarse como un drenaje a lo largo de la misma (río efluente, canal efluente, galería, zona de fractura permeable por la que se escapa agua a la superficie o a otro acuífero, etc.) Cuando éstas se alejan de la misma, significa lo contrario (río o canal influente, zona de fractura permeable por la que entra agua desde la superficie u otro acuífero, etc.). En ambos casos las isopiezas tienden a ponerse paralelas a dicha línea, tal como se mostró en las figuras 8.83 y 8.86

La presencia de curvas cerradas indican áreas de recarga o de descarga localizadas, pero no necesariamente

las zonas de descarga o recarga dan origen a curvas cerradas como se ve en la figura 8.85. Su existencia queda señalada por el comportamiento de las líneas de corriente y la densidad de datos.

Si en una zona con líneas de corriente aproximadamente paralelas las isopiezas se acercan hacia aguas abajo, es a consecuencia de una disminución de la transmisividad (disminución de la permeabilidad, del espesor o de ambos a la vez); si se separan hacia abajo es a consecuencia de un aumento de transmisividad (ver fig. 8.91).

En la figura 8.92 se ilustran efectos similares por resaltos o depresiones en la base de un acuífero libre.

Cuando las líneas de corriente son convergentes el análisis cualitativo es algo más complicado ya que juegan a la vez cambios de transmisividad y la existencia de recarga o descarga. Si no hay recarga ni descarga y la transmisividad es constante, las líneas isopiezas deben aumentar su espaciado en el sentido de la divergencia

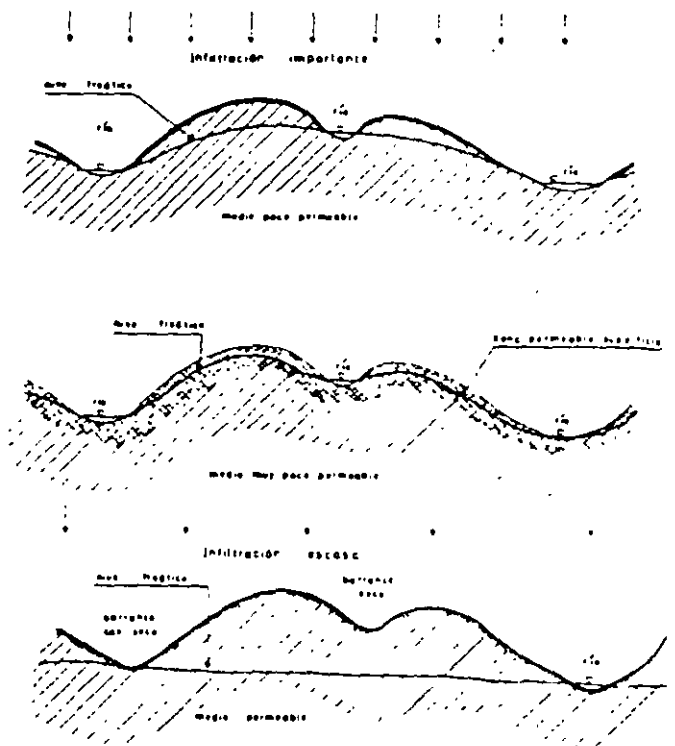


FIGURA 8.90

Diferentes formas de relación de la superficie freática con la topografía

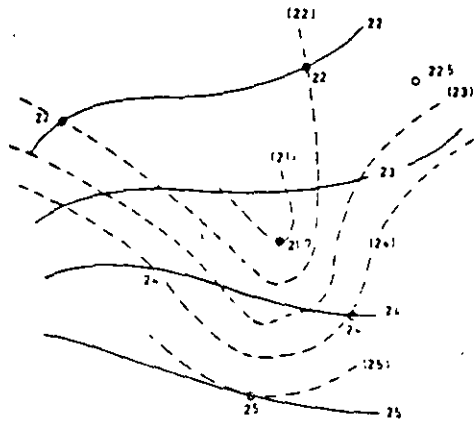


FIGURA 8.87
 Alteración en el trazado de las isopiezas al considerar un punto anómalo. Si el punto anómalo (cota 21) hubiese sido un error de medición, por haber tomado un pozo en bombeo con grandes pérdidas en el pozo, su consideración deformaría el trazado.

por $v^2/2g$ (fórmula 8.5), en un canal con $v = 1$ m/seg. es $v^2/2g = 5$ cm. y para $v = 5$ m/seg es $v^2/2g = 46$ cm. lo que da una idea del error máximo cometido. Únicamente en situaciones excepcionales, en grandes estrangulamientos y con carácter local se tienen velocidades mayores que den lugar a alturas dinámicas importantes, como mucho de unos pocos m

La superficie piezométrica representa la situación en un instante determinado, y puede variar de una época a otra, variando el almacenamiento de agua, pero ello afecta poco, en general, a la interpretación cualitativa.

En ocasiones conviene tener presente la superficie topográfica para localizar zonas surgentes, zonas con posibles movimientos verticales, etc. Cuando se trata de establecer relaciones con ríos, lagos, etc., conviene conocer la posición topográfica de la superficie de los mismos.

Cuando la superficie topográfica es cortada por la superficie piezométrica de acuíferos libres, allí se producen fuentes y manantiales, o se descarga agua a un río. Cuando la evaporación es muy intensa y la transmisividad del acuífero es pequeña, puede ser que esas surgencias no se manifiesten claramente, excepto por un cambio de vegetación. La existencia de materiales muy permeables en el fondo de los valles puede disimular fuentes y surgencias, las cuales pueden no aparecer hasta otros lugares alejados (fig 8.89), algo similar puede suceder si existen depósitos de travertino.

La relación entre la forma de la superficie freática en acuíferos libres y la topografía es una función de la infiltración anual y de la transmisividad (producto de la permeabilidad por el espesor del acuífero). En general la superficie freática es parecida a la superficie topográfica en zonas con recarga abundante y baja transmisividad (baja permeabilidad y/o escaso espesor de zona permeable) mientras que en zonas con menor recarga y materiales suficientemente permeables hasta gran pro-

TIPO	Cilíndrico plano	Parabólico cilíndrico	Parabólico radial convergente	Hipérbólico radial divergente	Elíptico cilíndrico
PERFIL SEGUN EL FLUJO					
ISOPIEZAS					

FIGURA 8.88
 Ilustraciones simples de algunos tipos sencillos de superficies piezométricas.

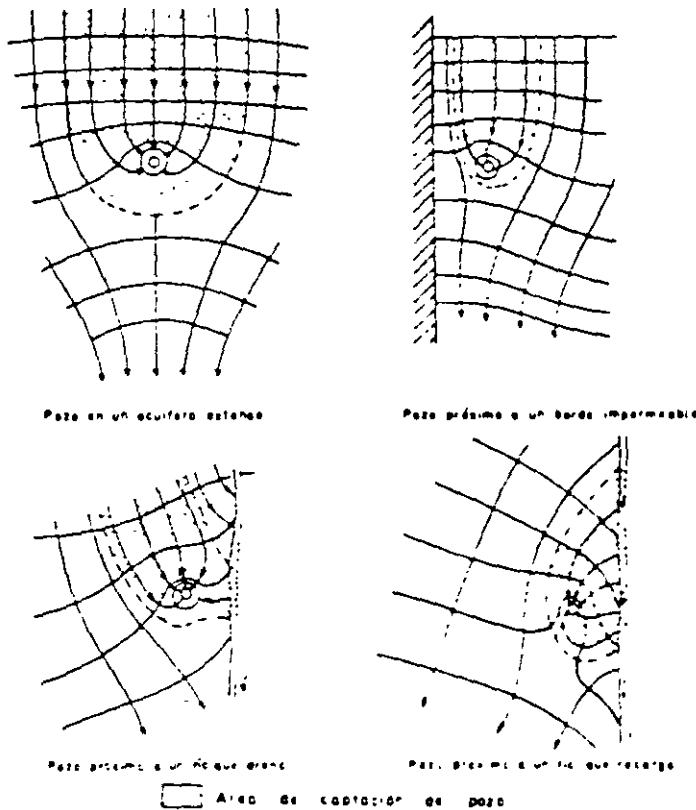


FIGURA 8.85
Isopiezas aproximadas creadas por el bombeo en pozos en acuíferos con flujo natural.

Superficie hiperbólica La separación entre isopiezas aumenta hacia aguas abajo.

Superficie elíptica La separación entre isopiezas aumenta tanto hacia aguas arriba como hacia aguas abajo a partir de una de ellas.

En la figura 8.8b se ilustran estas definiciones con algunos ejemplos simples. Las superficies reales pueden ser simples mixtas o complejas si participan de varios tipos según las zonas que se consideren.

7.5 INTERPRETACIÓN CUALITATIVA DE SUPERFICIES PIEZOMÉTRICAS

El estudio de las superficies piezométricas permiten obtener datos básicos sobre el movimiento y comportamiento del agua subterránea. No sólo puede realizarse

una interpretación cualitativa, sino también una interpretación cuantitativa, ya sea por métodos simples, sea a través del estudio de una colección de las mismas en diferentes épocas, con o sin modelos.

Como la superficie piezométrica, en los lugares con escasez relativa de datos, puede contener una interpretación del que la ha trazado, es preciso no caer en el error de deducir de la superficie piezométrica como resultado, aquellos supuestos que se establecieron para su trazado.

Se facilita la interpretación de las superficies piezométricas si éstas se complementan con el trazado de algunas líneas de corriente divisorias, etc. Las líneas de corriente se trazan ortogonalmente a las isopiezas, admitiendo tácitamente que se trata de un sistema de permeabilidad isótropa en el plano horizontal que se considera, lo cual es en general admisible a escala suficientemente grande. En rocas fisuradas y en sistemas kársticos puede no ser válido; en sistemas kársticos con canales subterráneos, el nivel piezométrico afectado por uno de esos canales puede representar sólo una parte de la energía del agua, si la velocidad de circulación es elevada. Como la altura dinámica viene representada

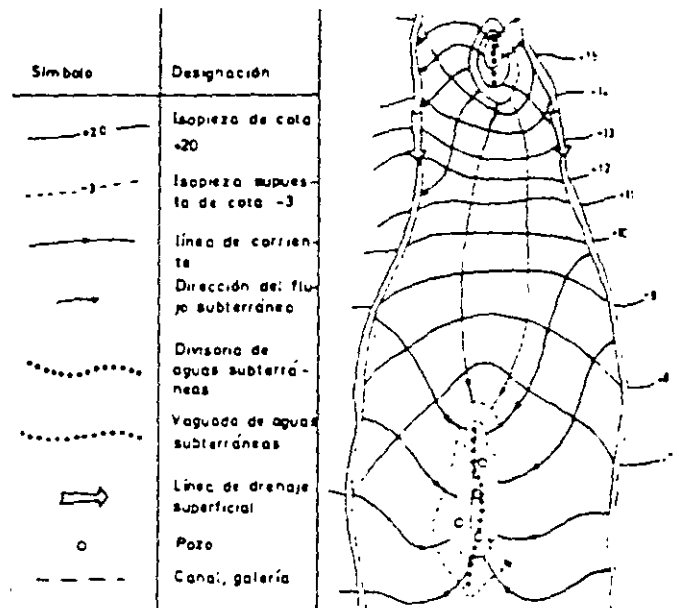


FIGURA 8.8b
Símbolos para planos de isopiezas. El ejemplo muestra un acuífero entre dos ríos con área de recarga y un área de extracciones. La porción de los ríos frente al área de recarga son líneas de drenaje pero no el resto.

zonas pantanosas, fuentes, núcleos de bombeo, costas, accidentes geológicos de interés hidrogeológico, etc.

Las curvas interpretativas, basadas en deducciones más que en mediciones reales, deben indicarse como hipotéticas (en trazos).

En general es peligroso y poco razonable basar la conformación de una superficie piezométrica en un solo punto de valor diferente de la tónica general, a menos que se tenga la seguridad de que tanto la medición como la representatividad son correctas (fig 8.87).

Es evidente que debe tenerse especial cuidado en que todos los datos de niveles correspondan a un mismo acuífero y que dentro del mismo correspondan a un mismo subacuífero en caso de que exista una notable estratificación. Debe tenerse cuidado en la elección de los puntos de observación para no tomar aquellos que afecten a la vez a varios acuíferos de diferente potencial.

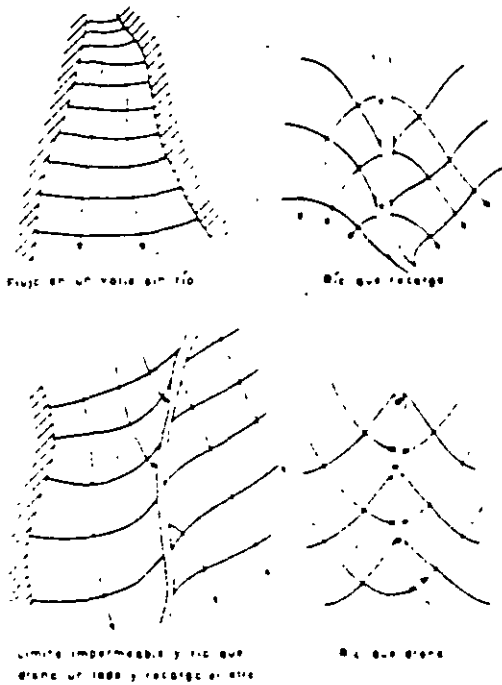


FIGURA 8.83

Forma de las isopiezas y líneas de corriente en las proximidades de límites impermeables y ríos conectados al acuífero. En el río, las isopiezas tienen cota similar a la del nivel del agua del río, salvo que las isopiezas se hayan determinado con piezómetros profundos y el río sea poco penetrante.

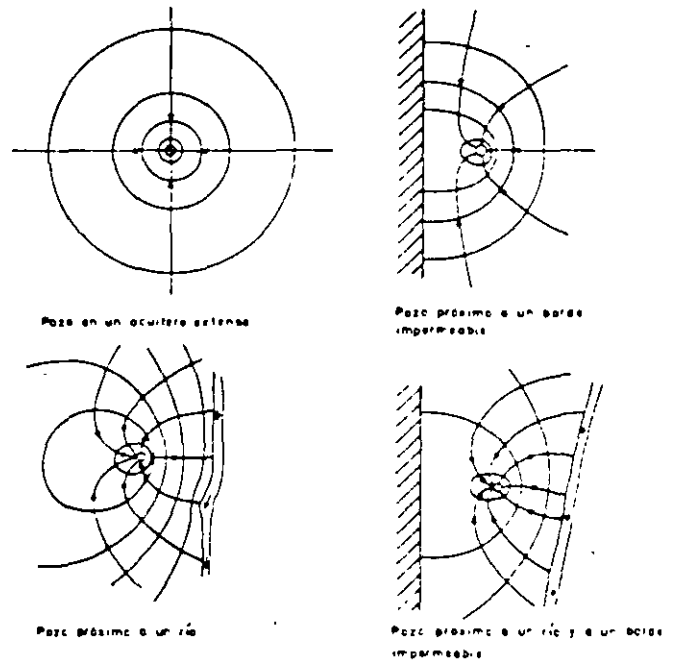


FIGURA 8.84

Pozo en un acuífero con pequeño gradiente natural

7.4 TIPOS DE SUPERFICIES PIEZOMÉTRICAS

Según la separación de las isopiezas y su concavidad o la disposición relativa de las líneas de corriente se suelen señalar varios tipos de superficies piezométricas. Estas designaciones son corrientes en la bibliografía francesa especializada en hidrología y están particularmente desarrolladas en los textos de Castany (1963, 1968), son designaciones de carácter morfológico y responden a los siguientes criterios:

Superficie cilíndrica. Las isopiezas son rectas paralelas.

Superficie radial. Las isopiezas son curvas y las líneas de corriente tienden a converger; si convergen aguas arriba (isopiezas convexas desde aguas abajo), se dice que la superficie es radial divergente y se llama radial convergente si las líneas de corriente tienden a converger aguas abajo (isopiezas cóncavas desde aguas abajo).

Superficie plana. La separación entre isopiezas es constante.

Superficie parabólica. La separación entre isopiezas disminuye hacia aguas abajo.